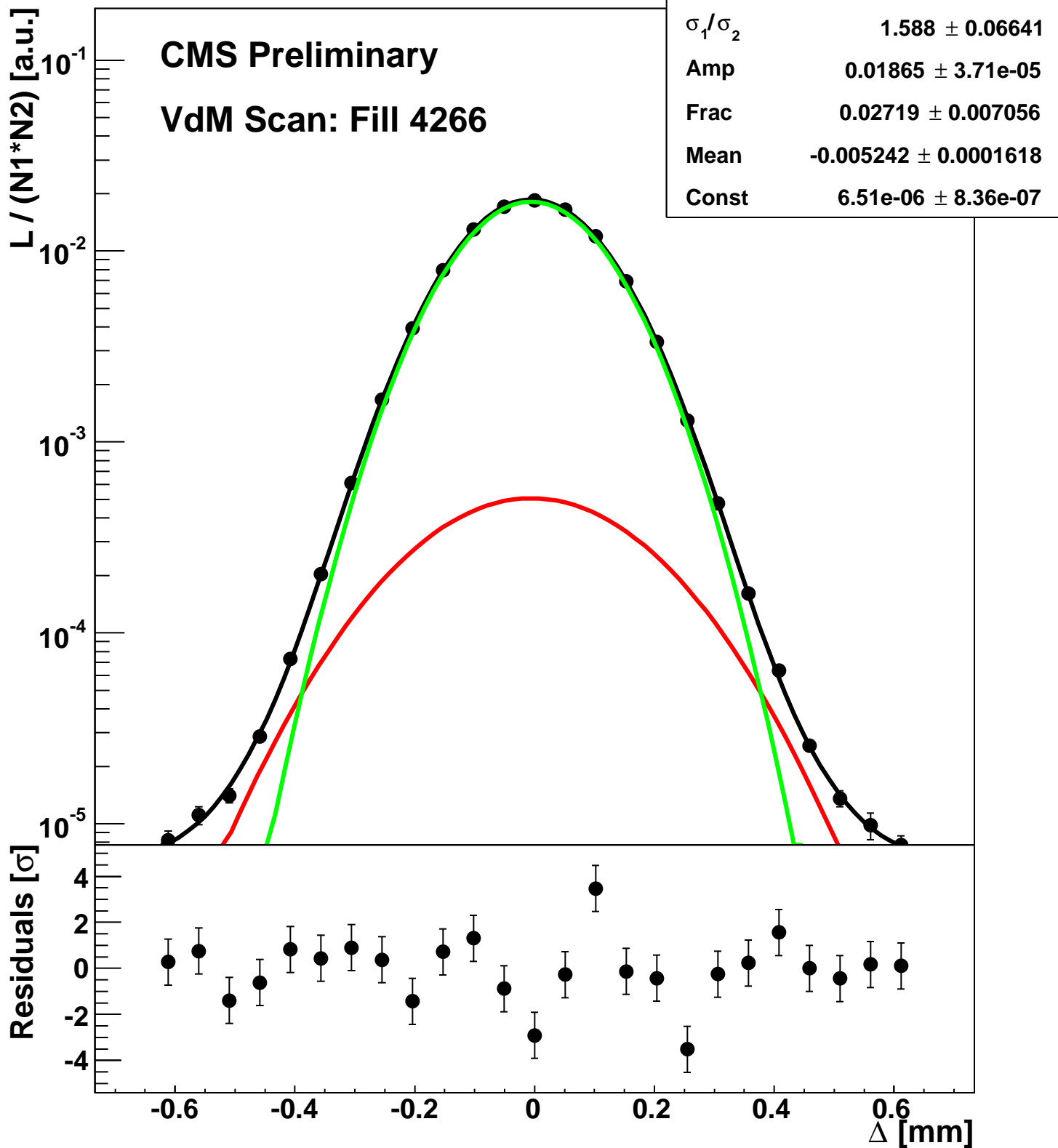
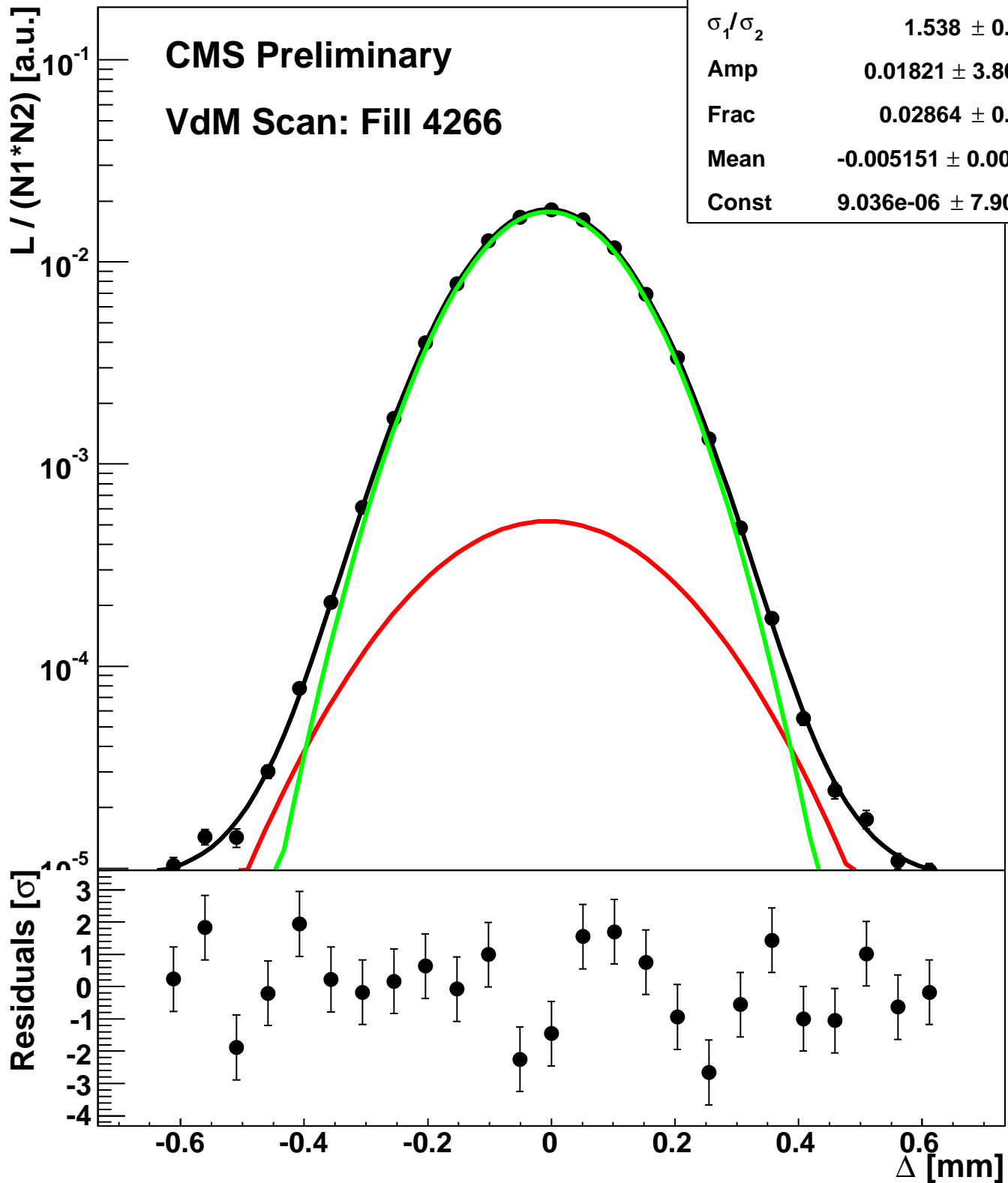


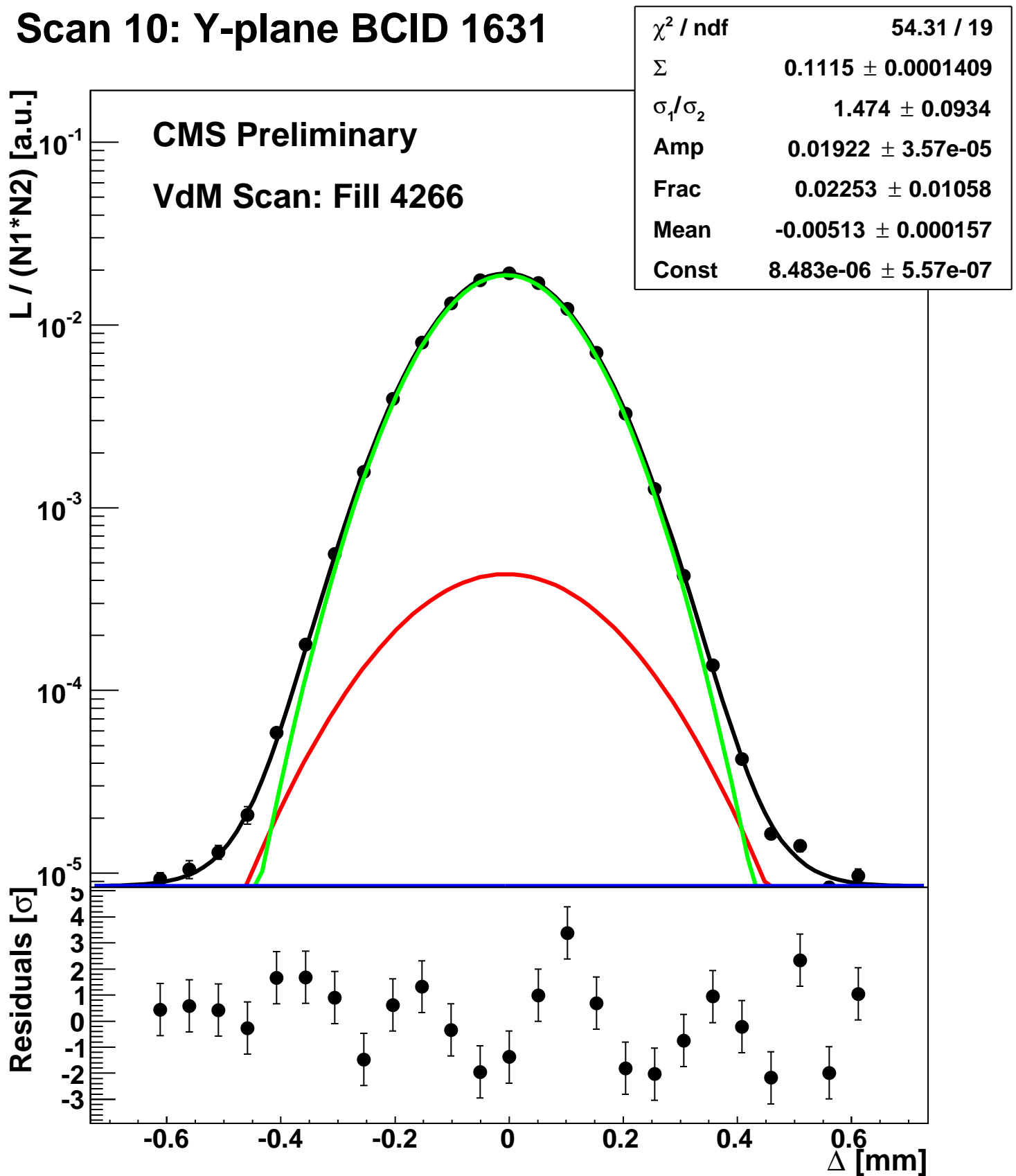
Scan 10: Y-plane BCID 1011



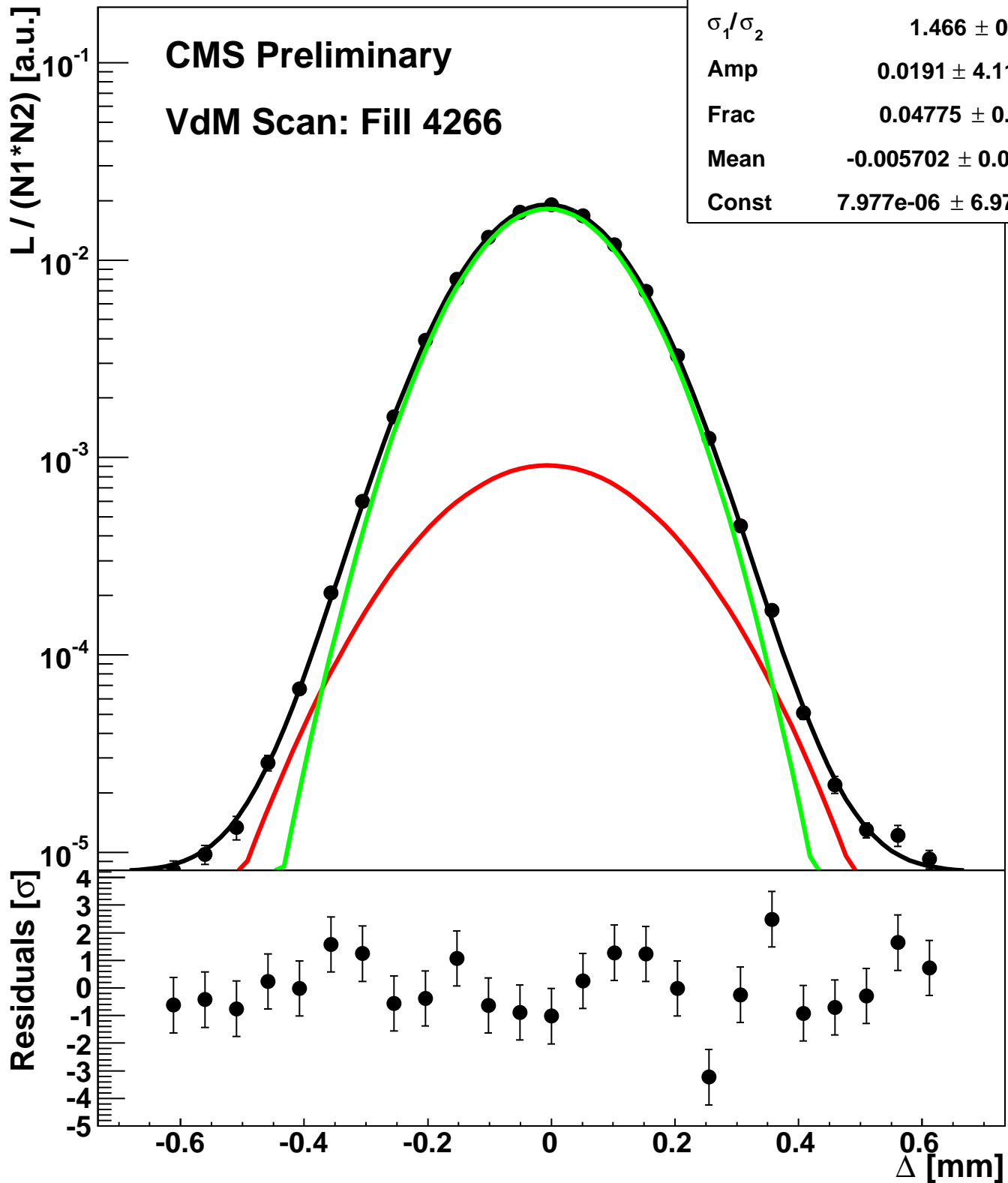
Scan 10: Y-plane BCID 131



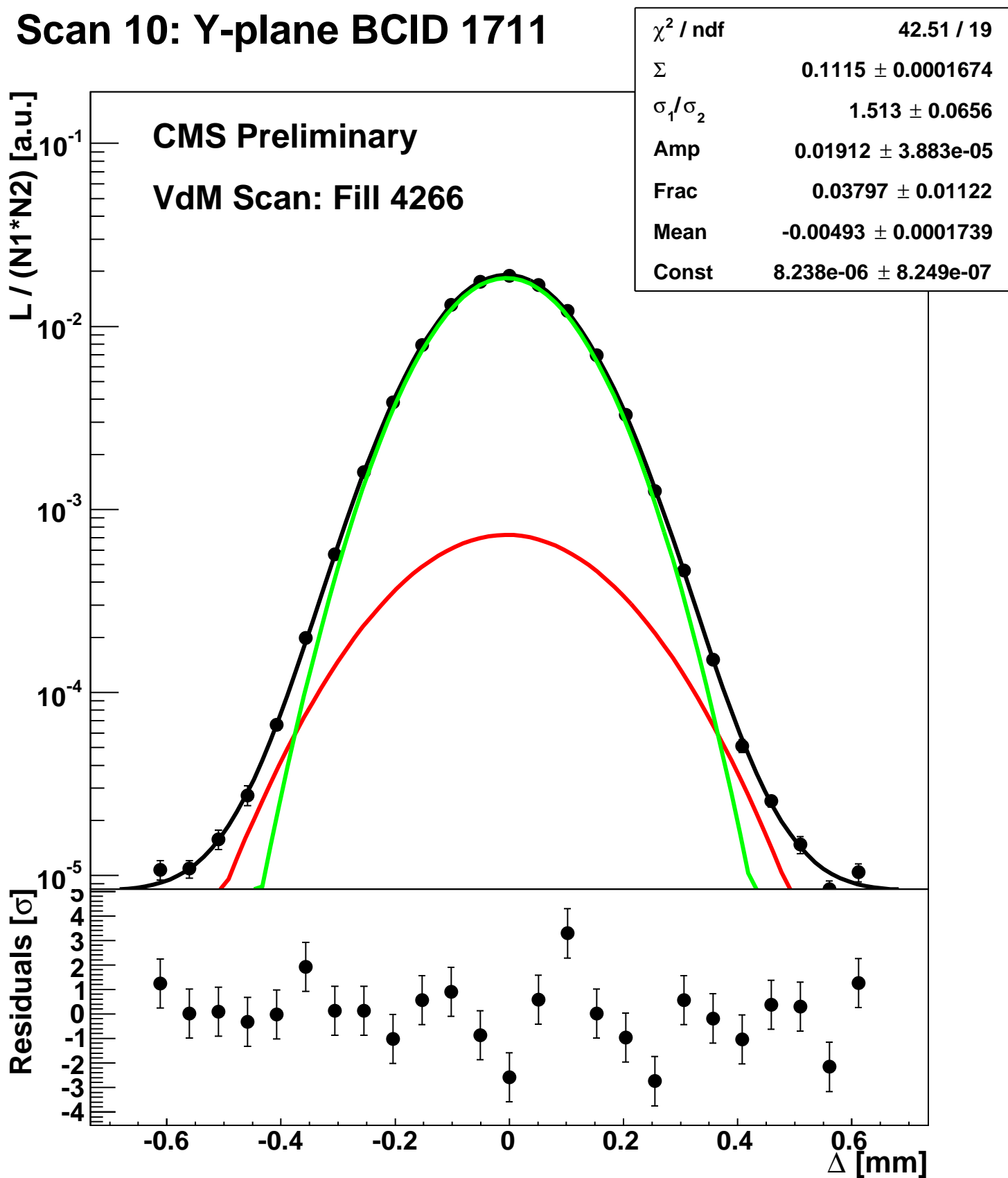
Scan 10: Y-plane BCID 1631



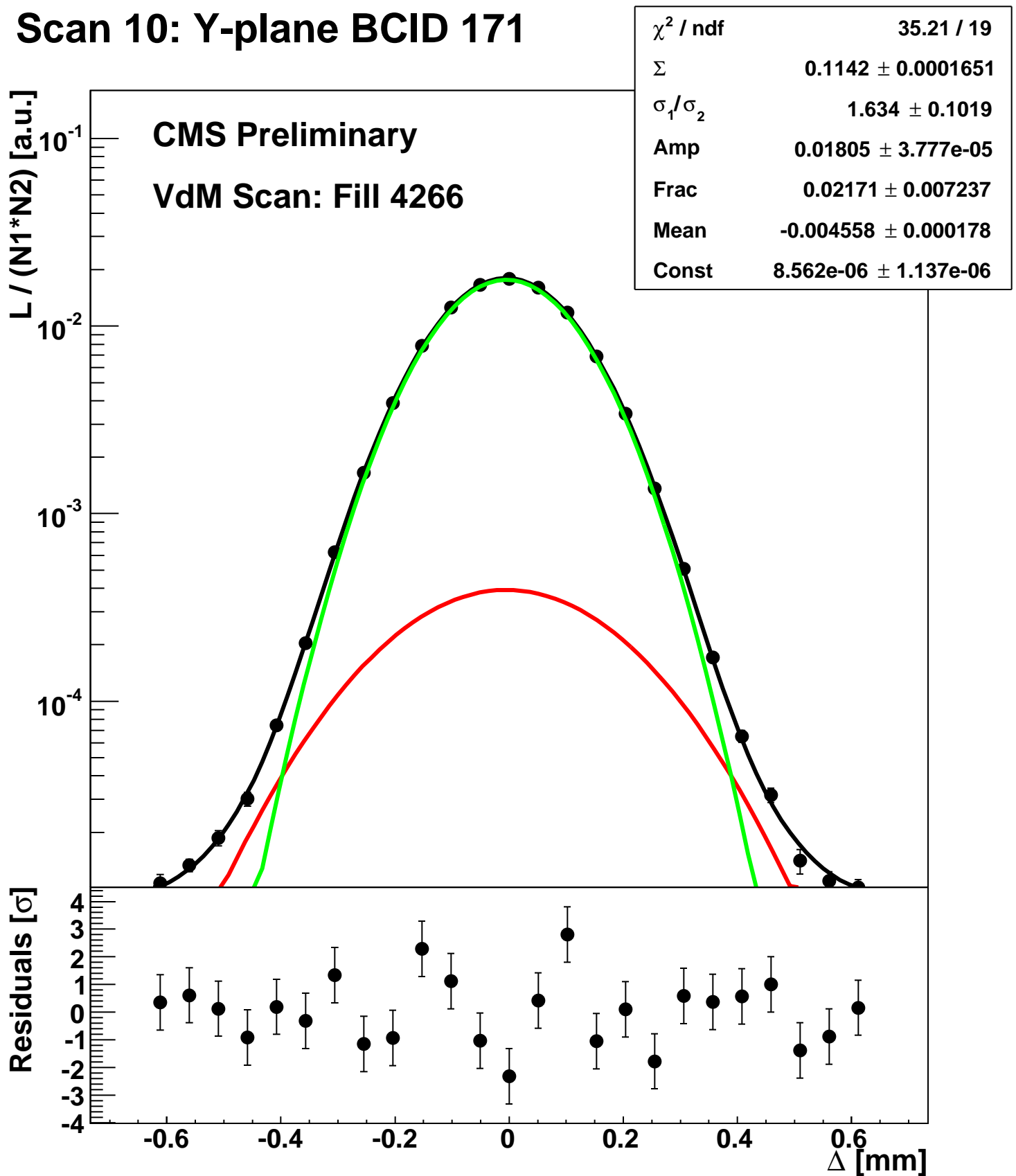
Scan 10: Y-plane BCID 1671



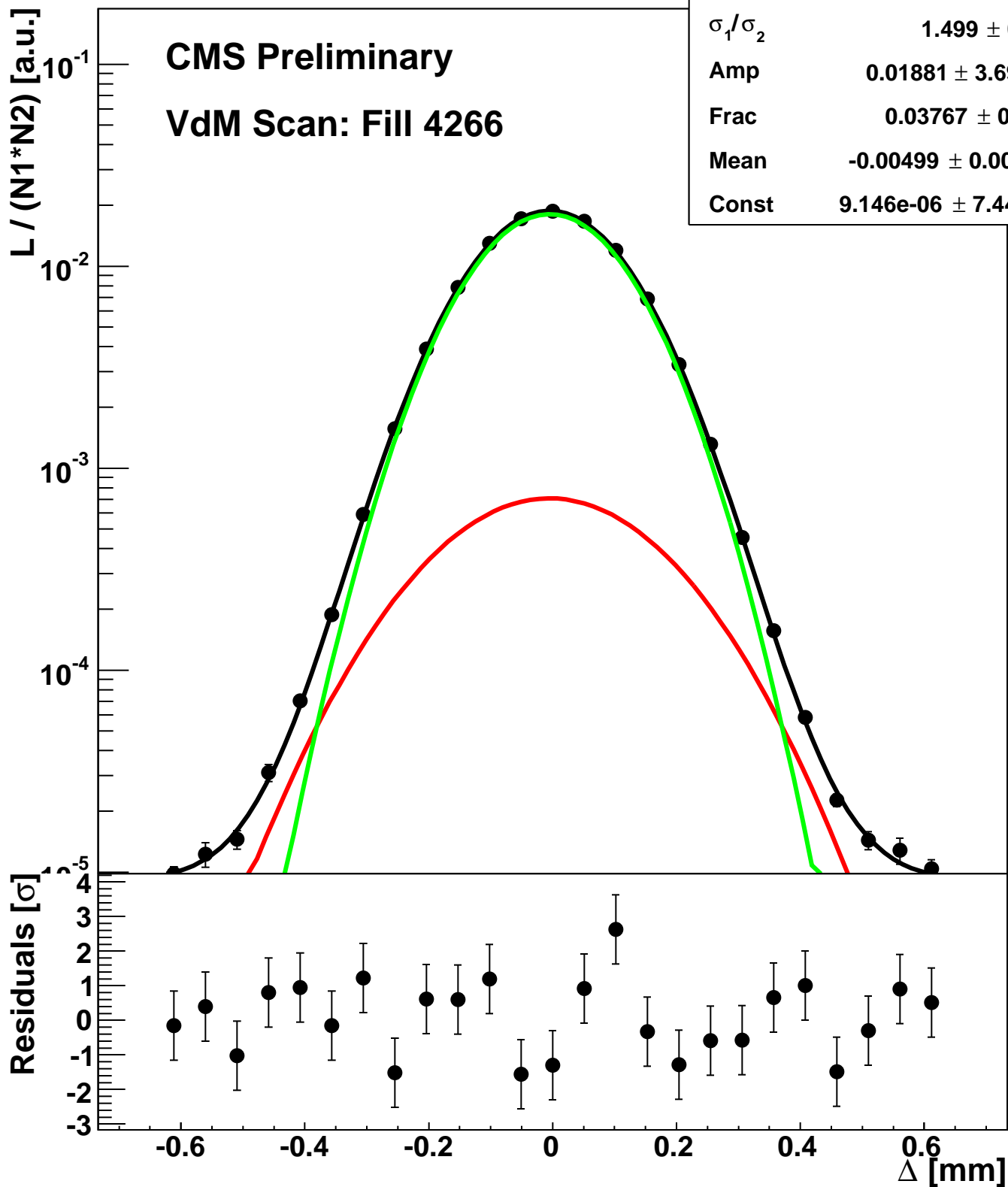
Scan 10: Y-plane BCID 1711



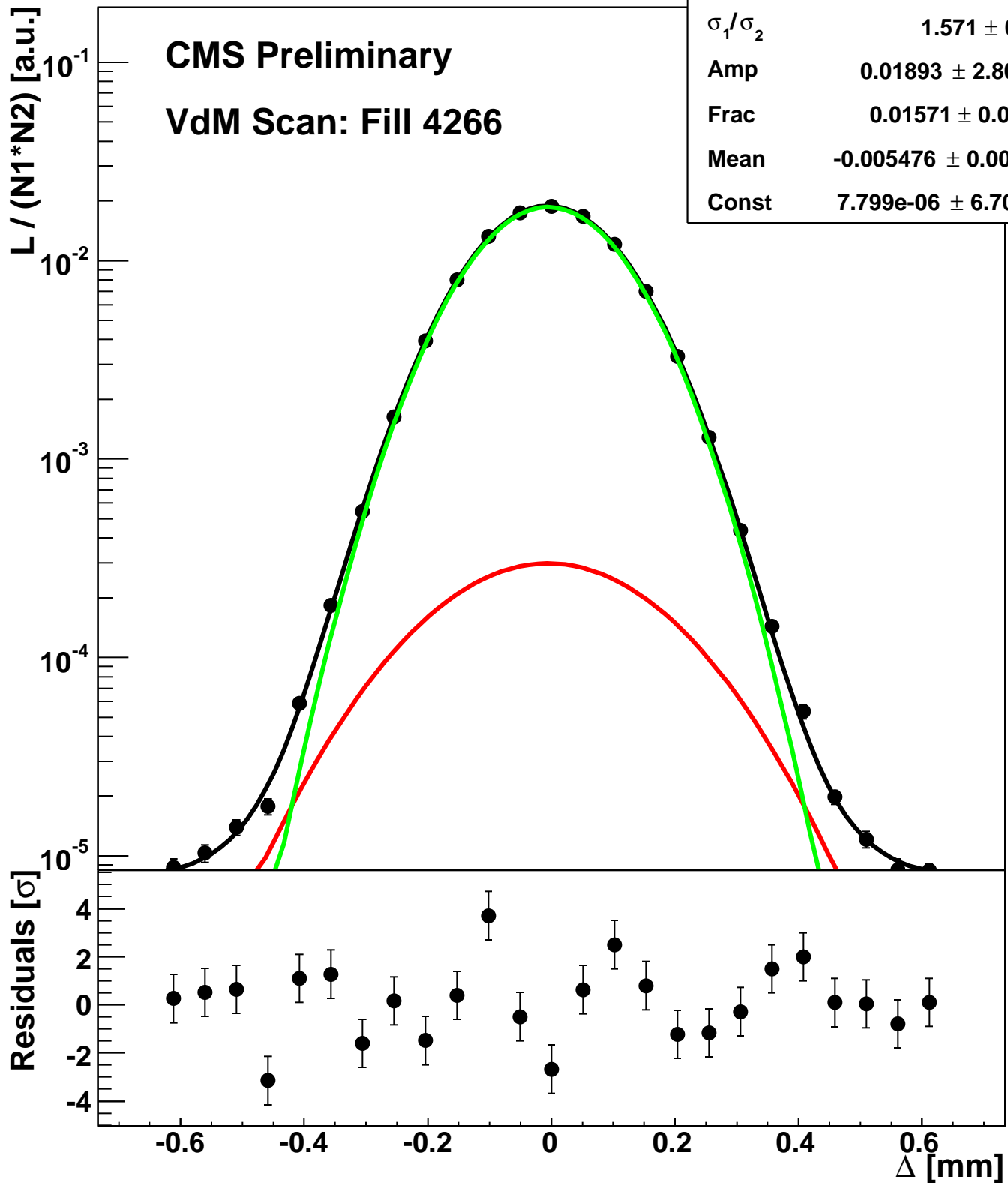
Scan 10: Y-plane BCID 171



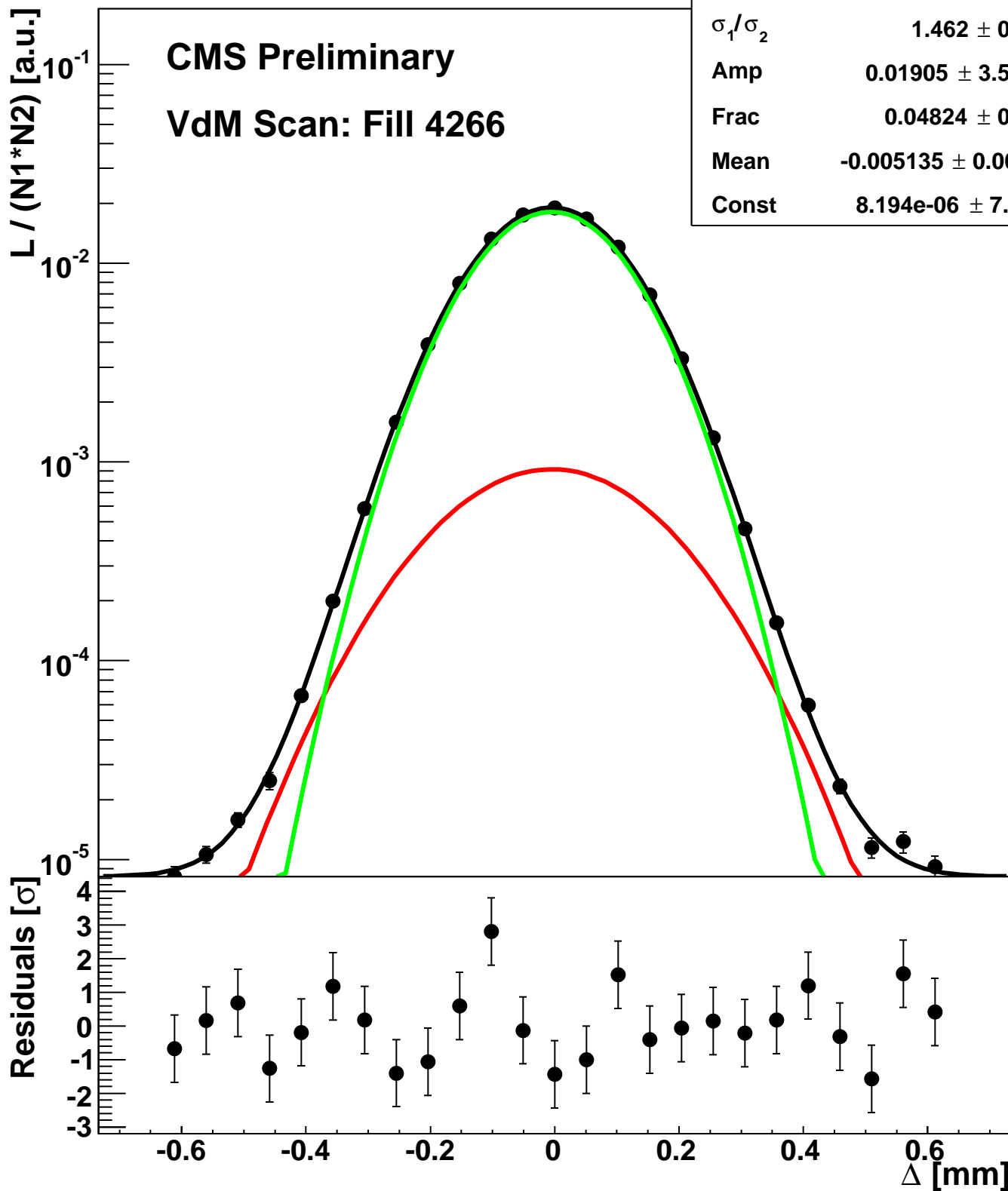
Scan 10: Y-plane BCID 1751



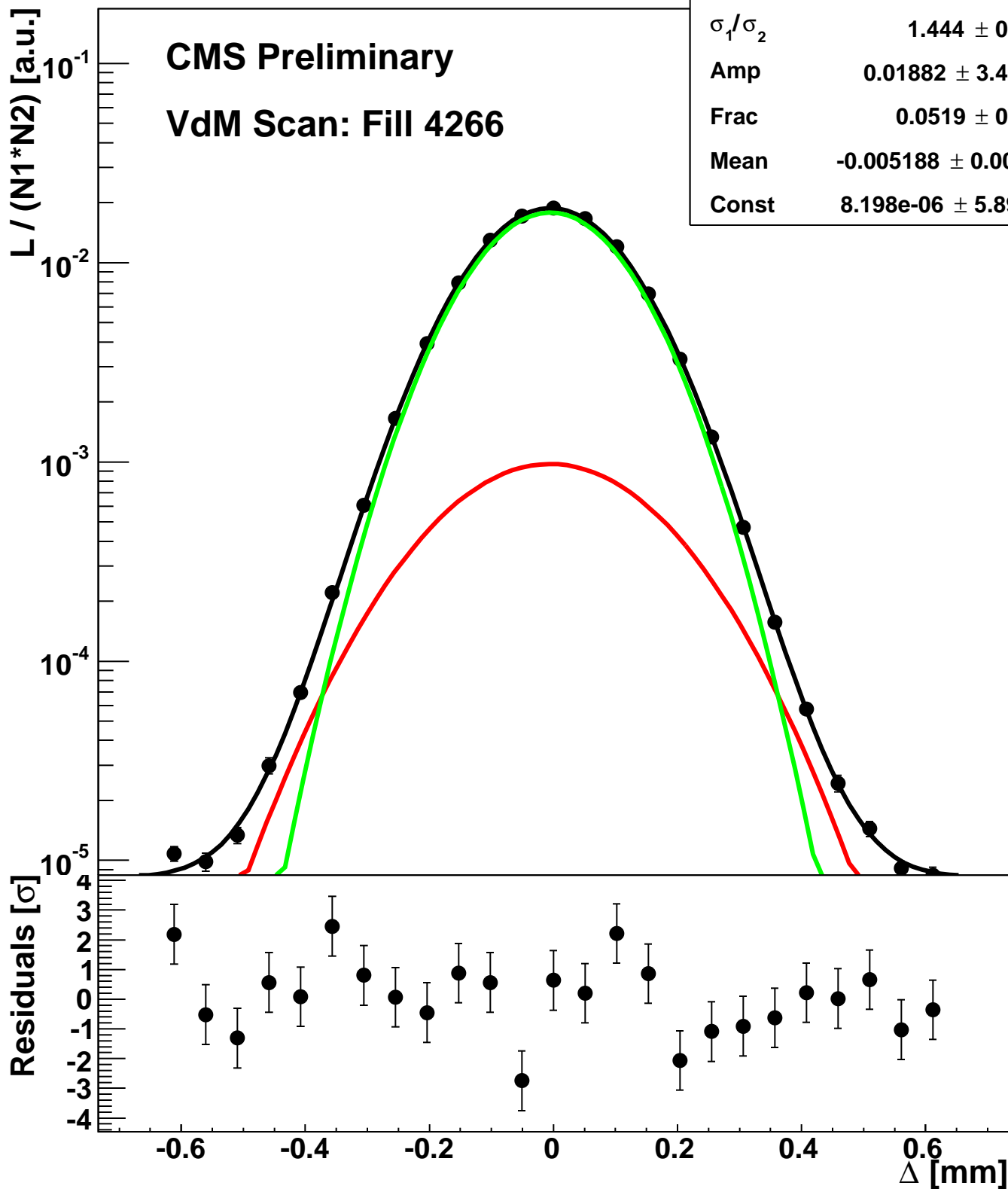
Scan 10: Y-plane BCID 1791



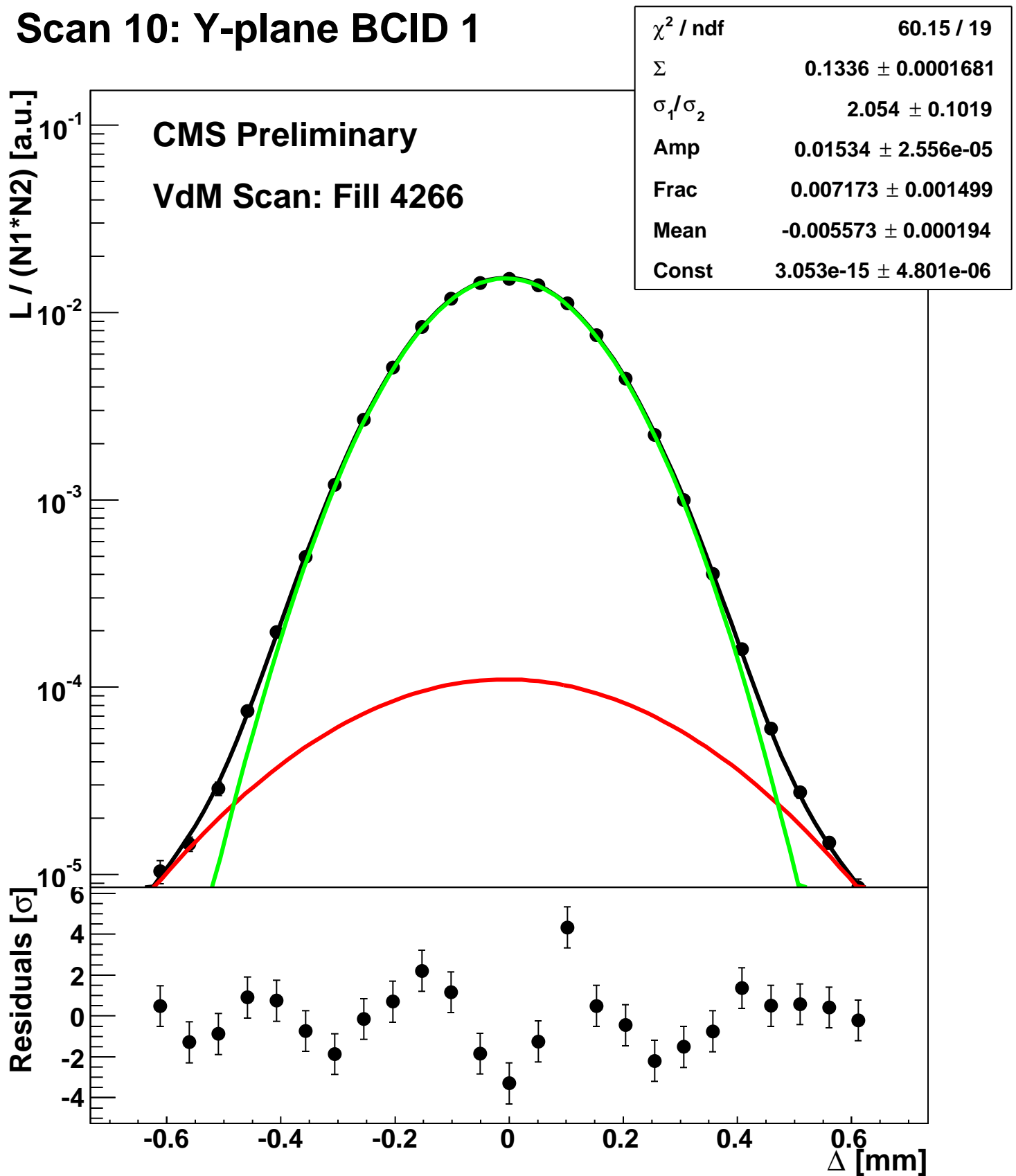
Scan 10: Y-plane BCID 1831



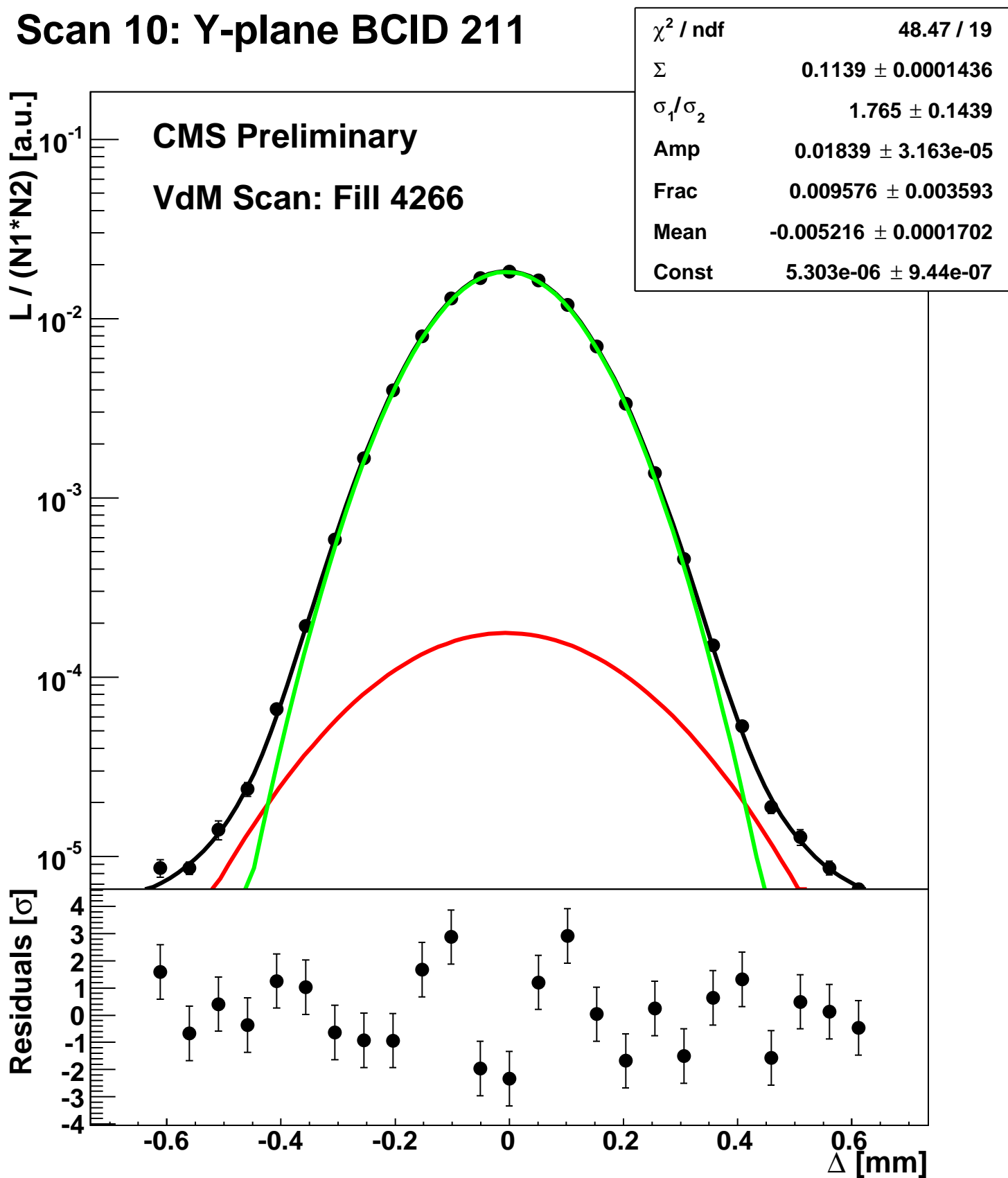
Scan 10: Y-plane BCID 1871



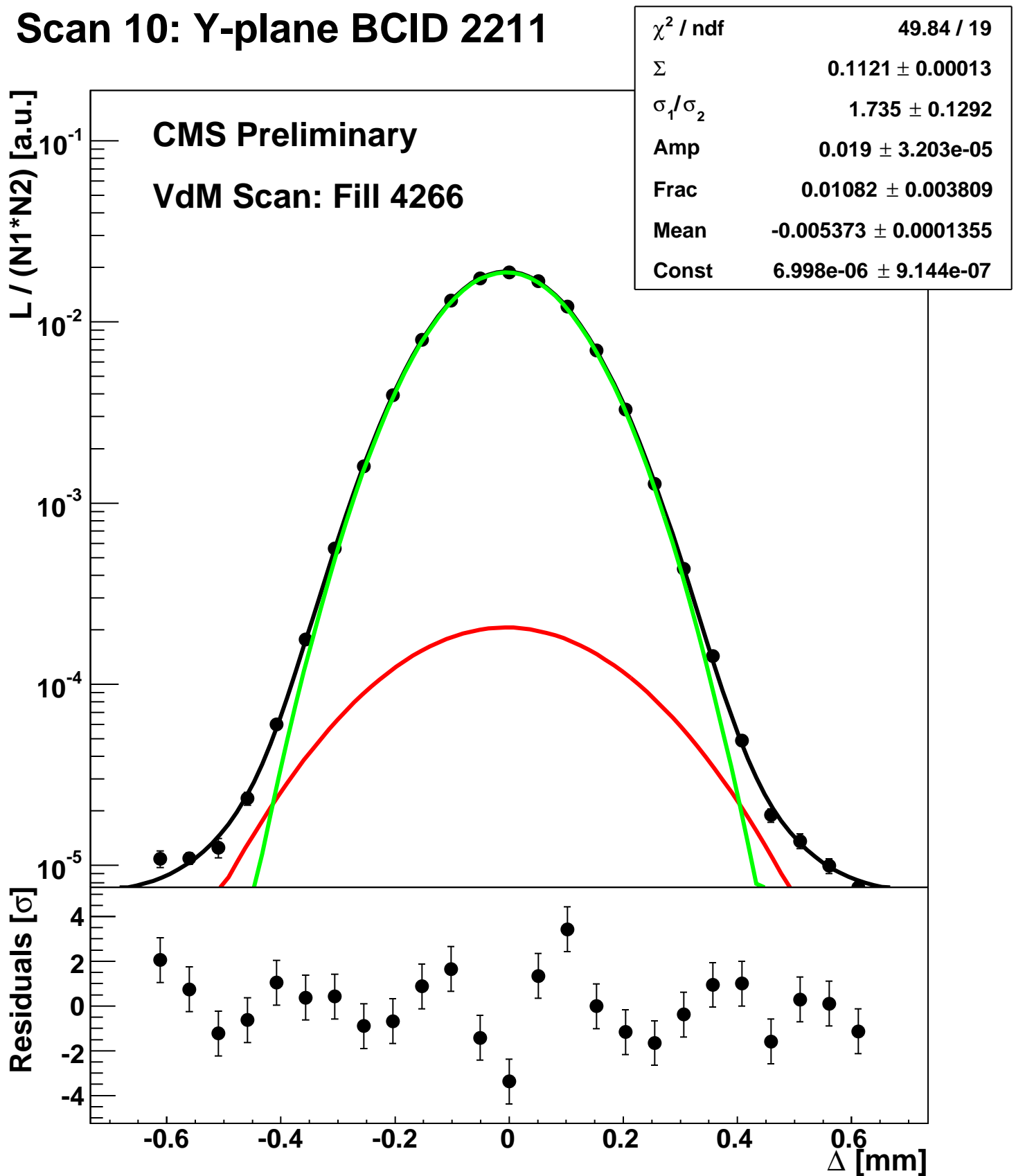
Scan 10: Y-plane BCID 1



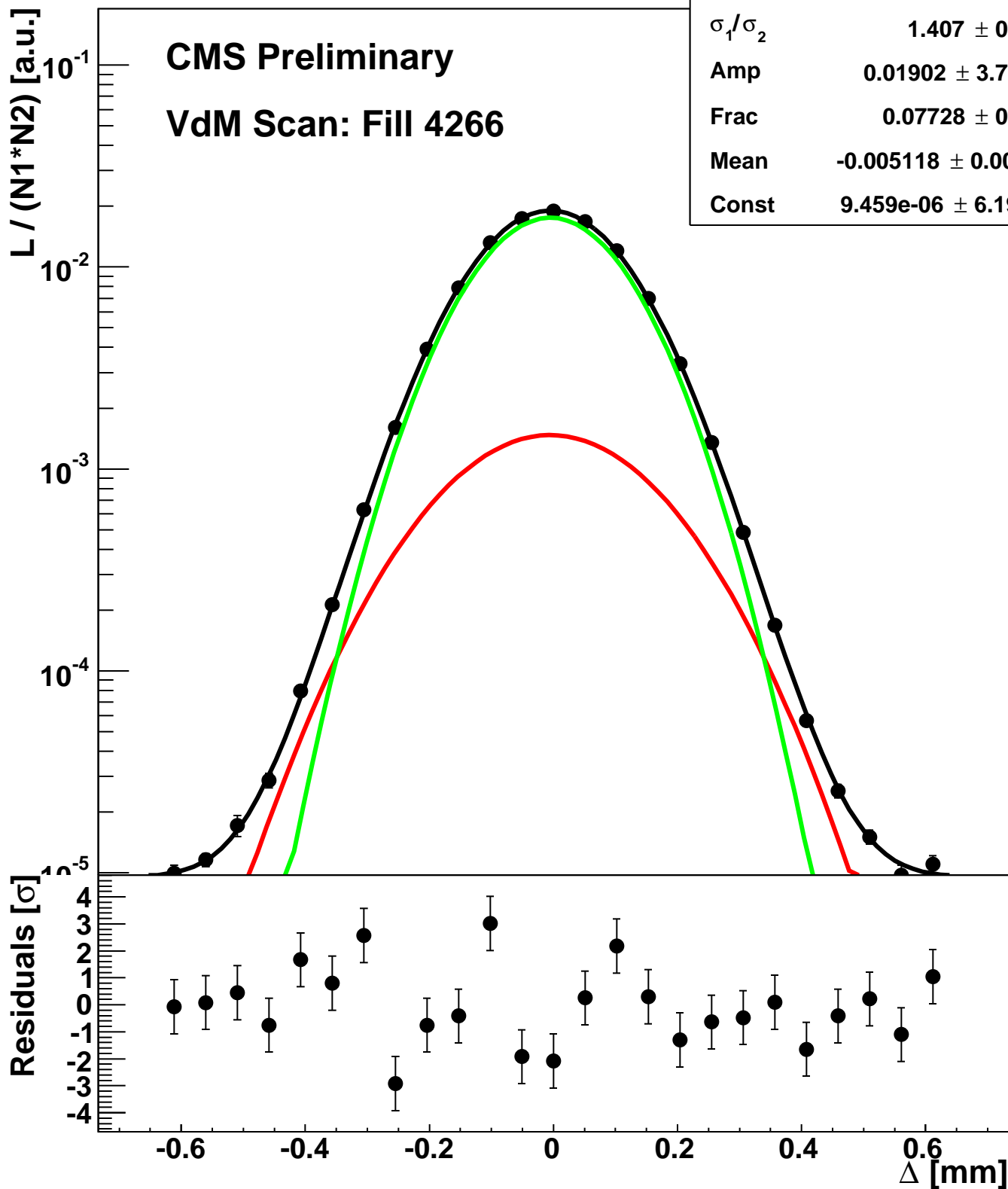
Scan 10: Y-plane BCID 211



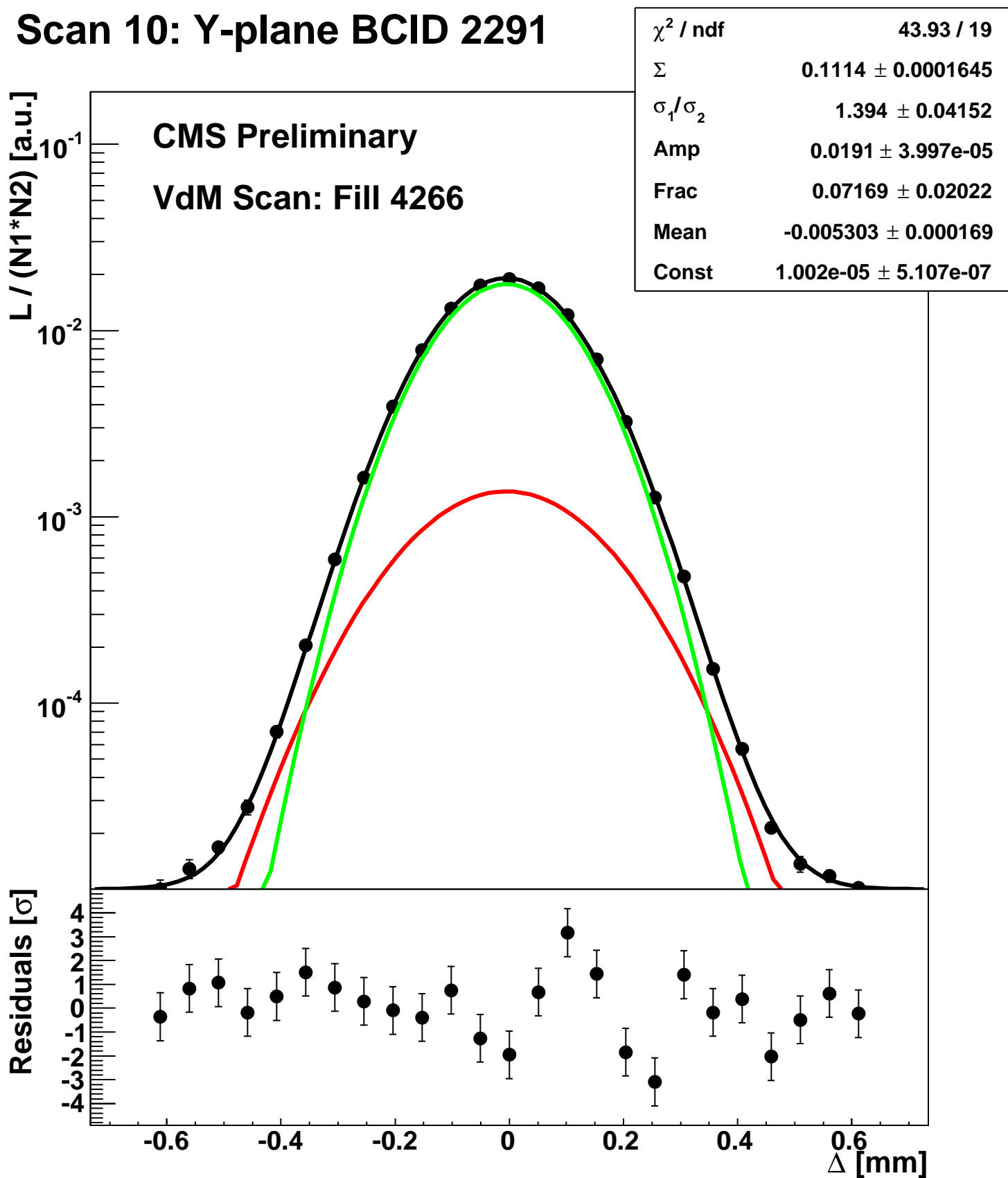
Scan 10: Y-plane BCID 2211



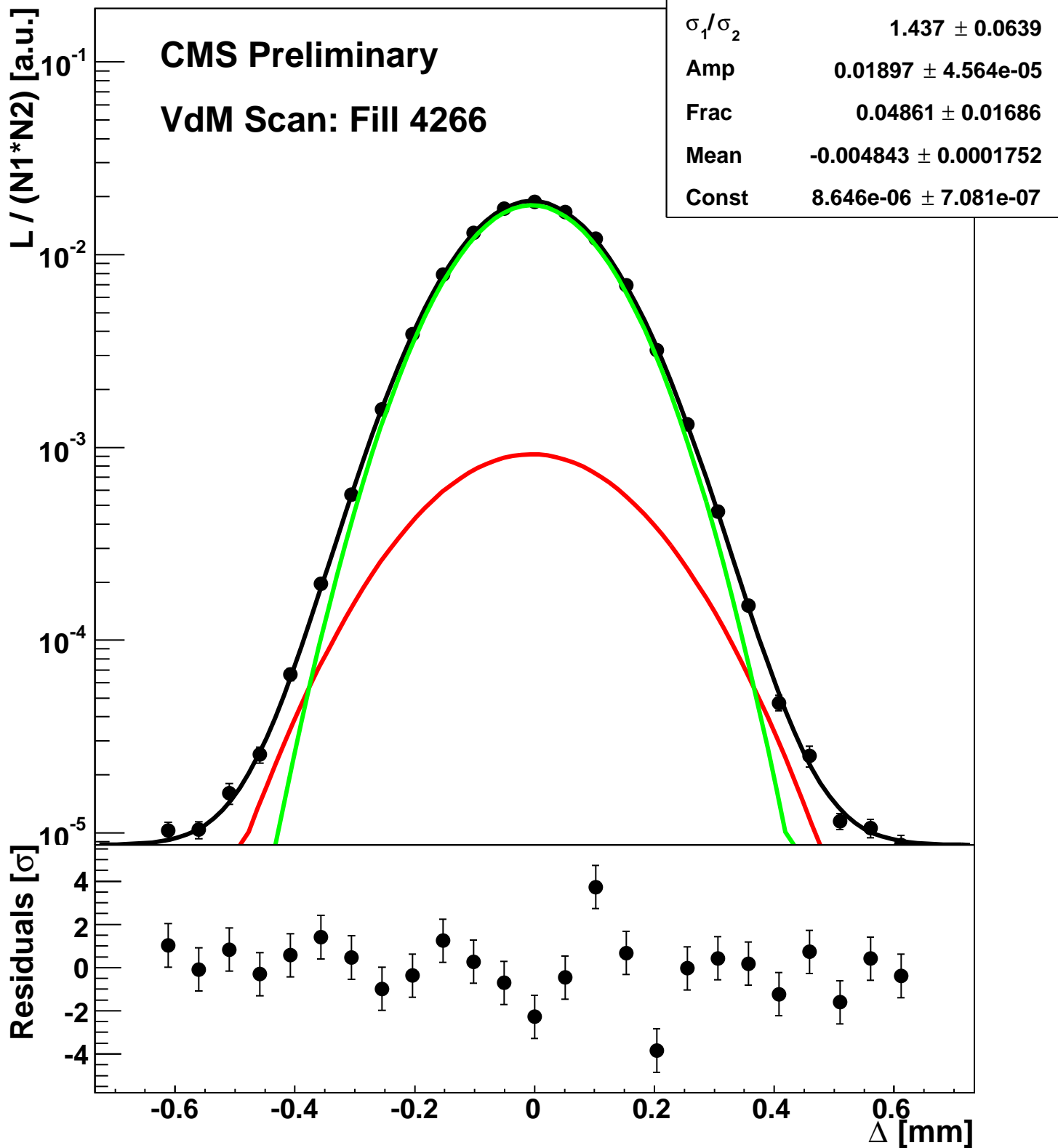
Scan 10: Y-plane BCID 2251



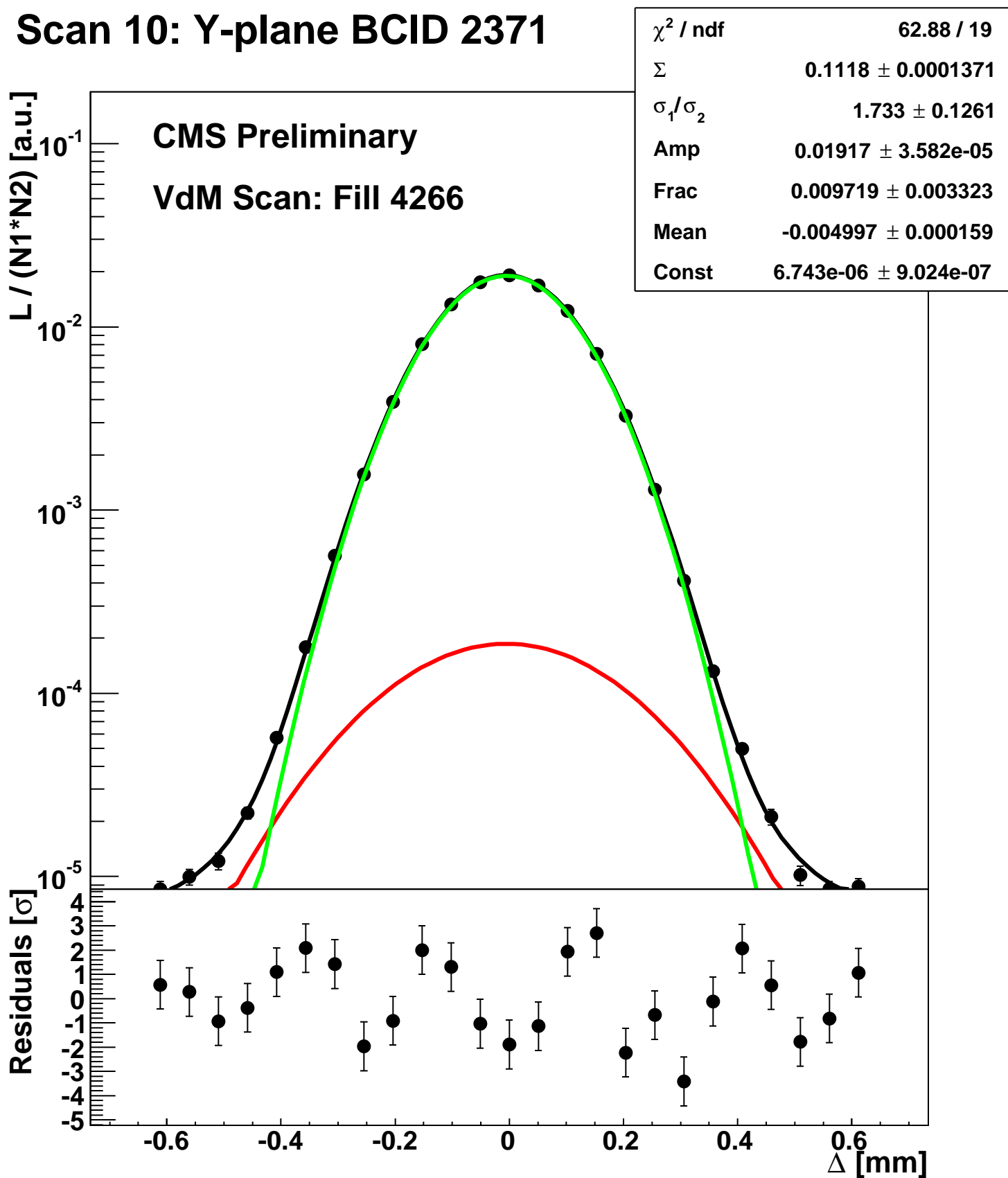
Scan 10: Y-plane BCID 2291



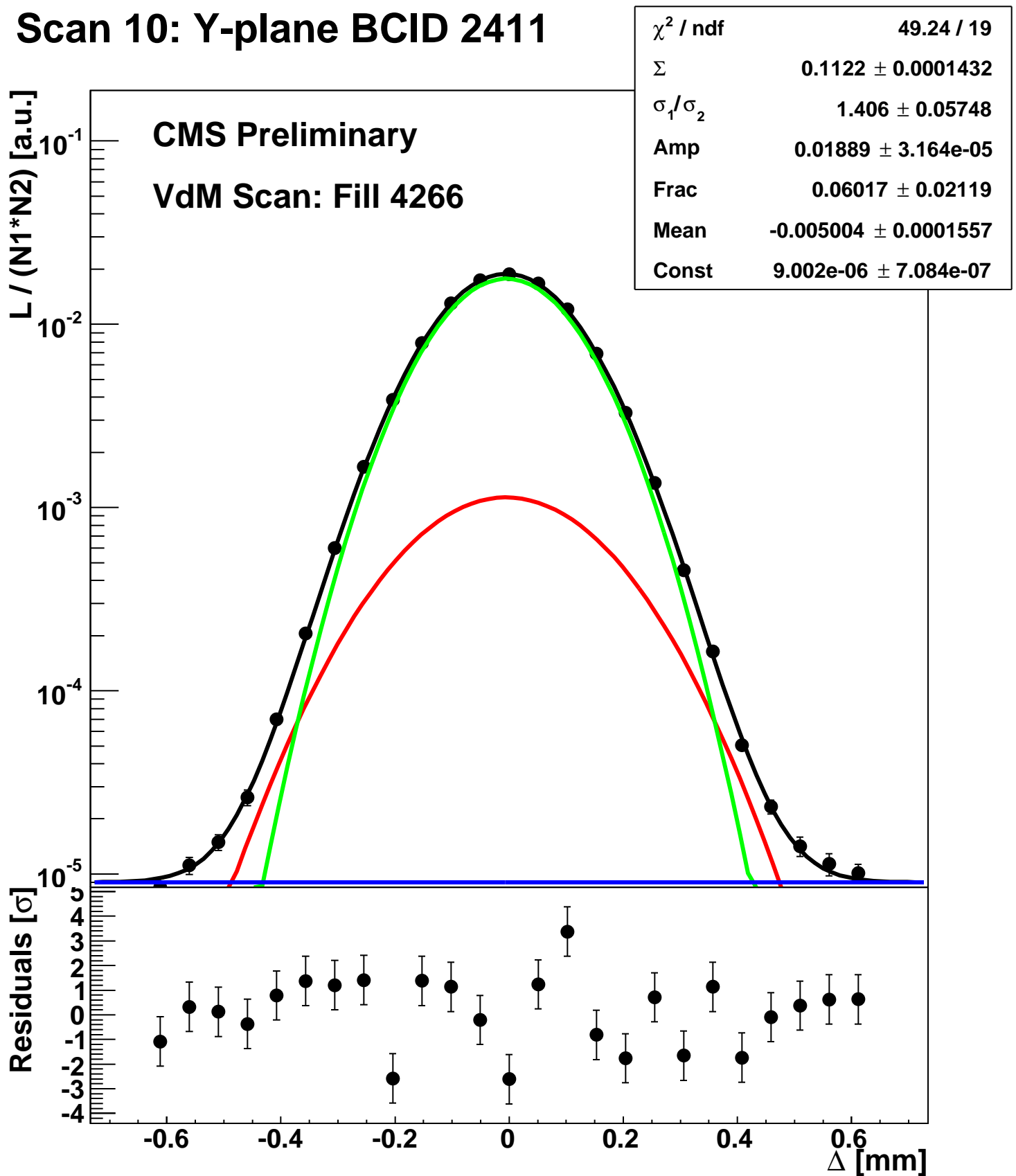
Scan 10: Y-plane BCID 2331



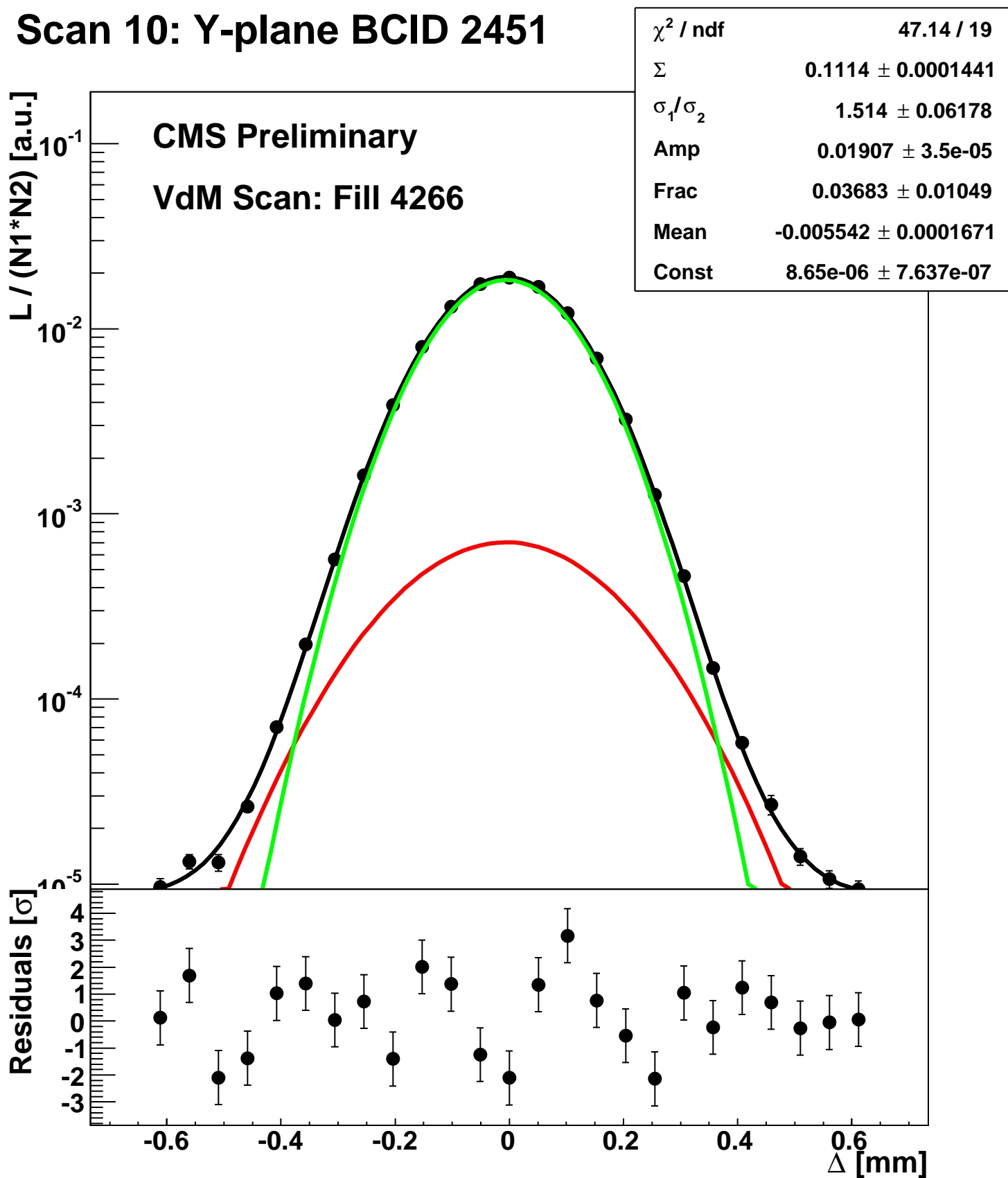
Scan 10: Y-plane BCID 2371



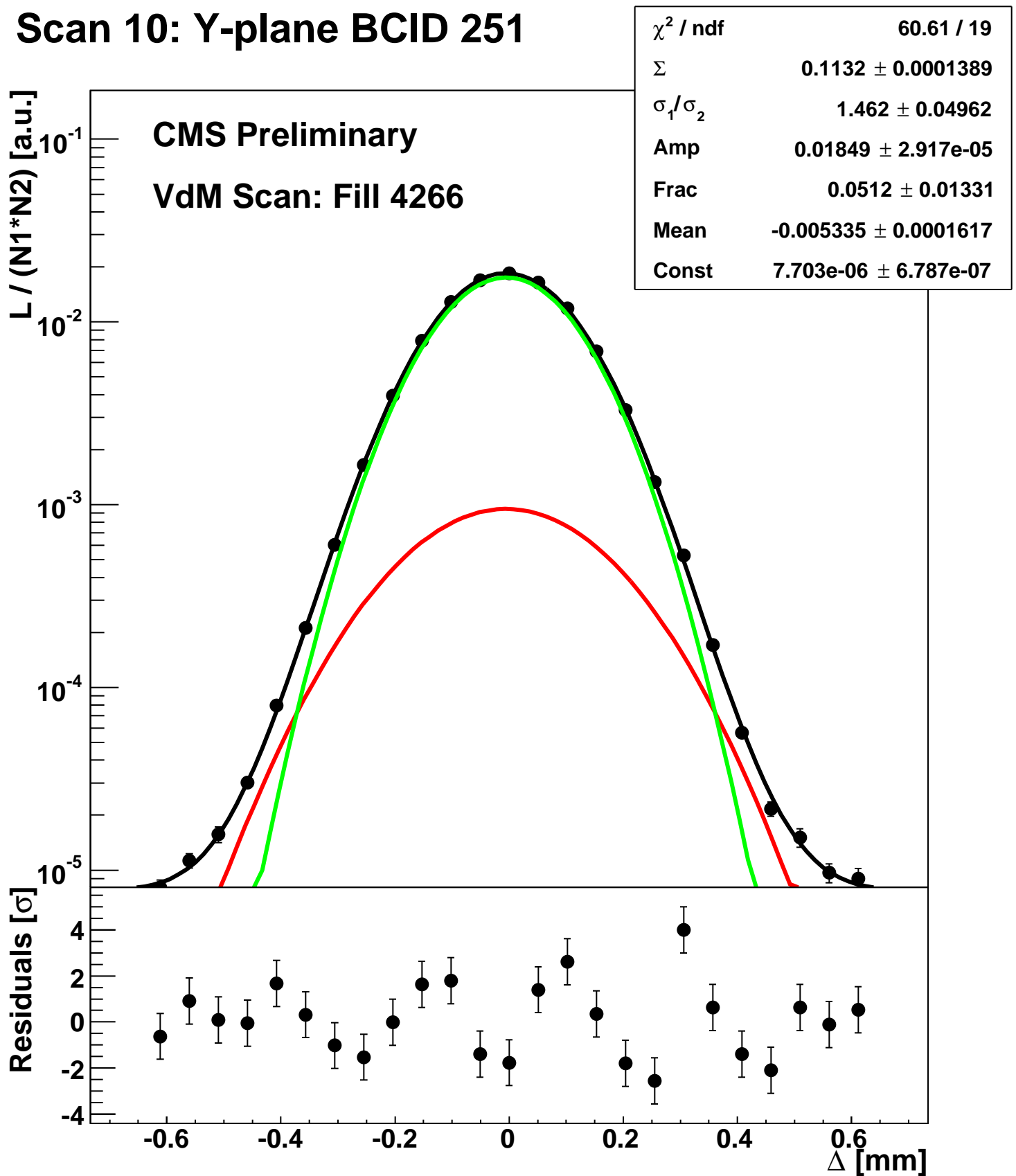
Scan 10: Y-plane BCID 2411



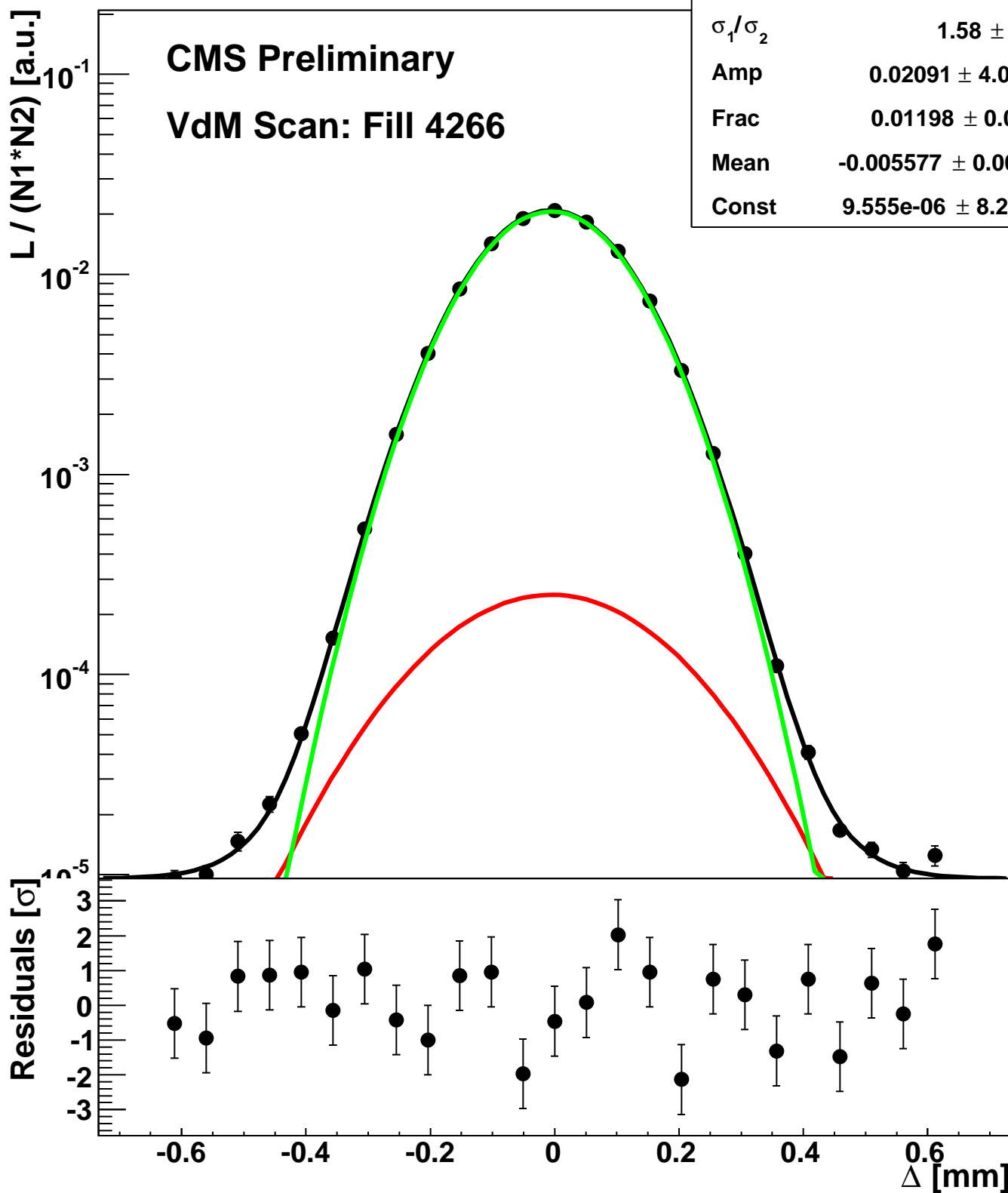
Scan 10: Y-plane BCID 2451



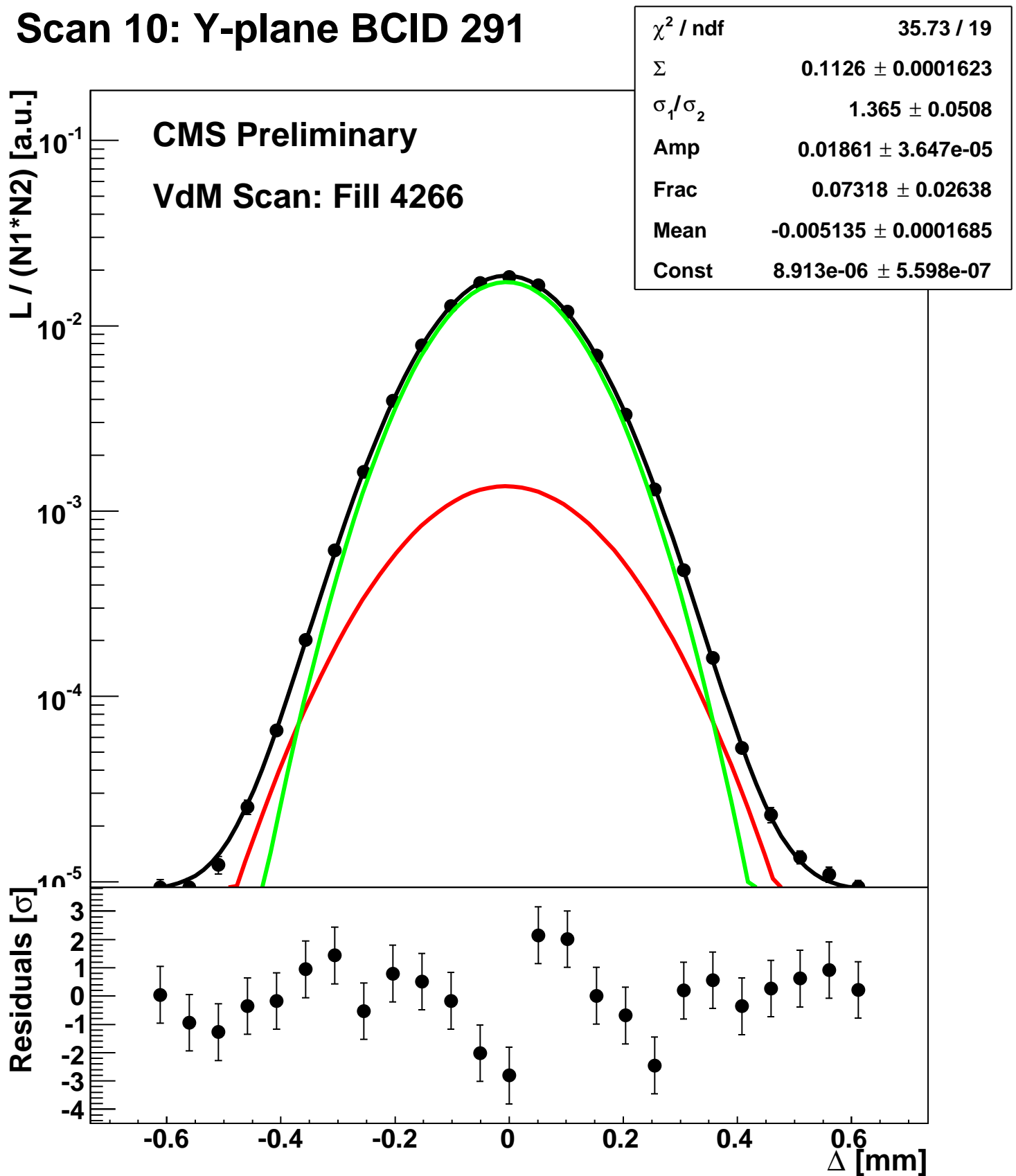
Scan 10: Y-plane BCID 251



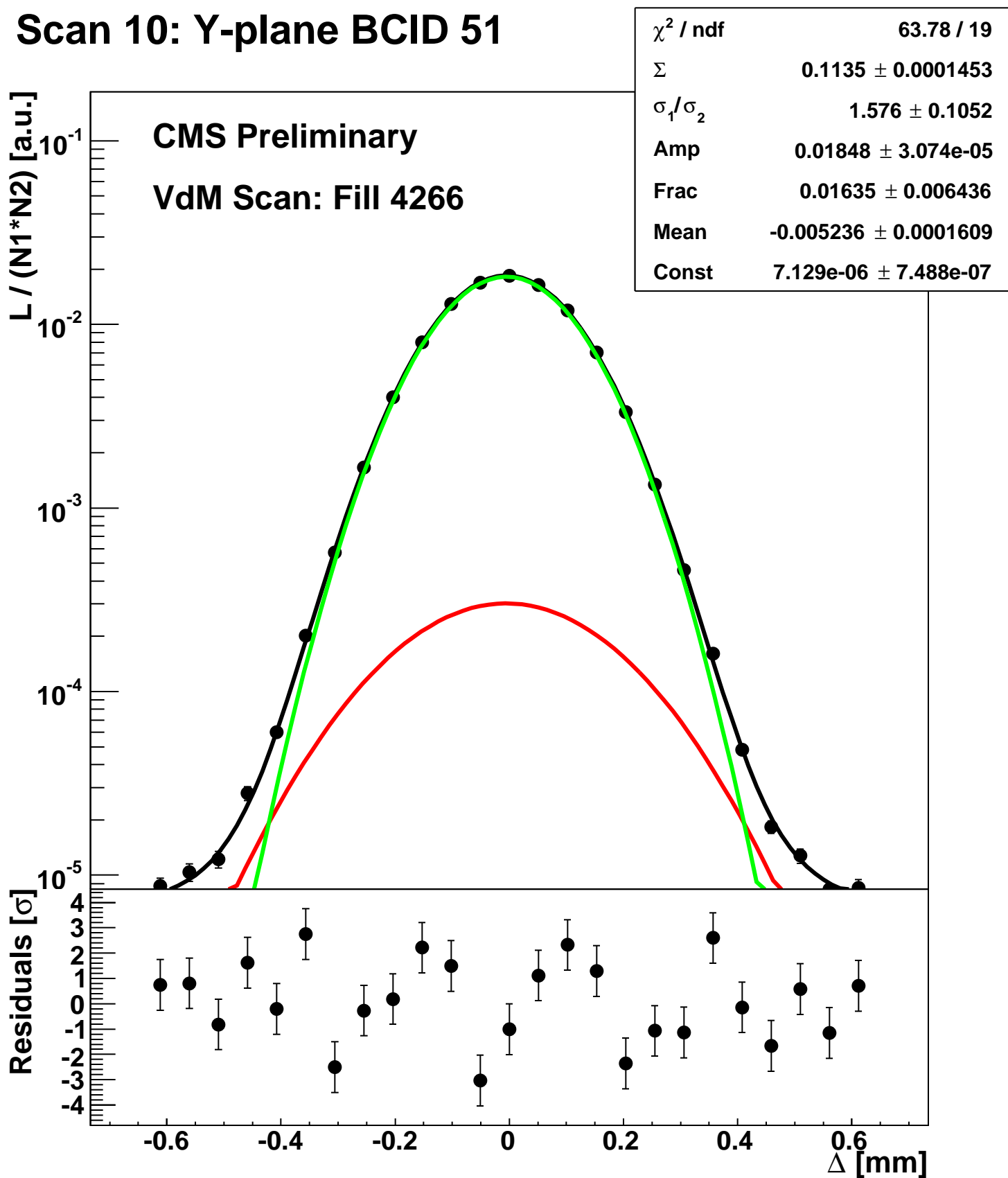
Scan 10: Y-plane BCID 2674



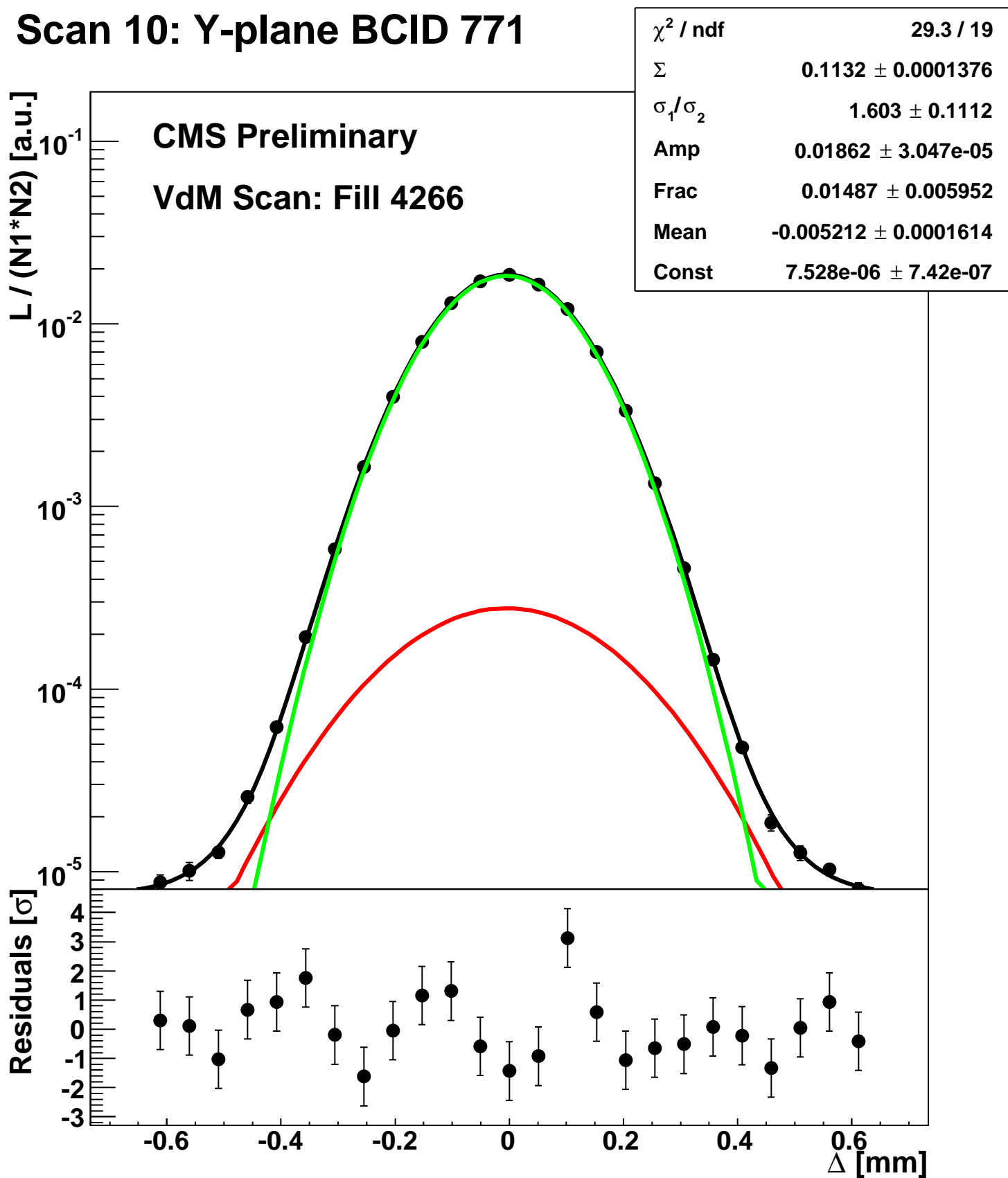
Scan 10: Y-plane BCID 291



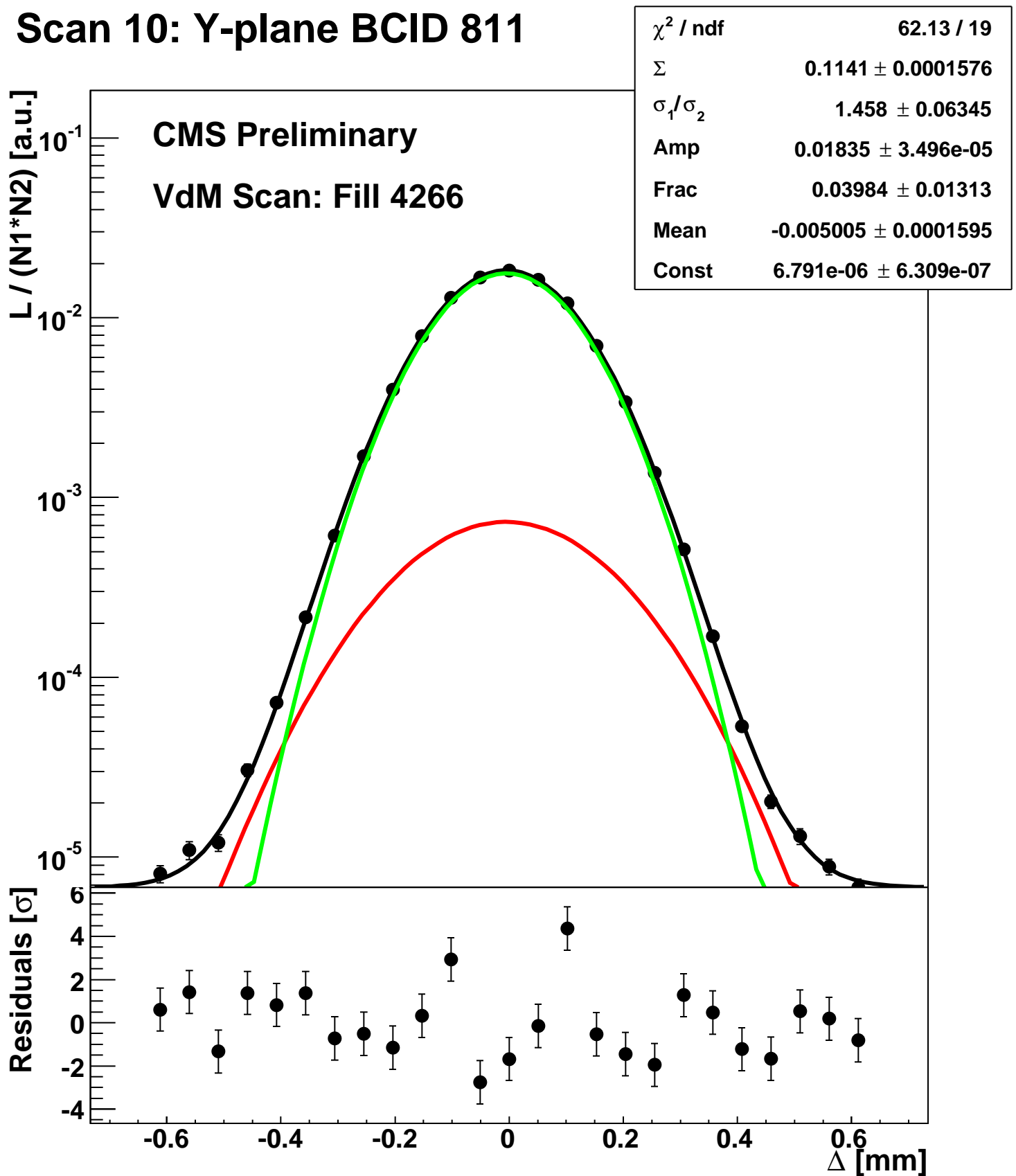
Scan 10: Y-plane BCID 51



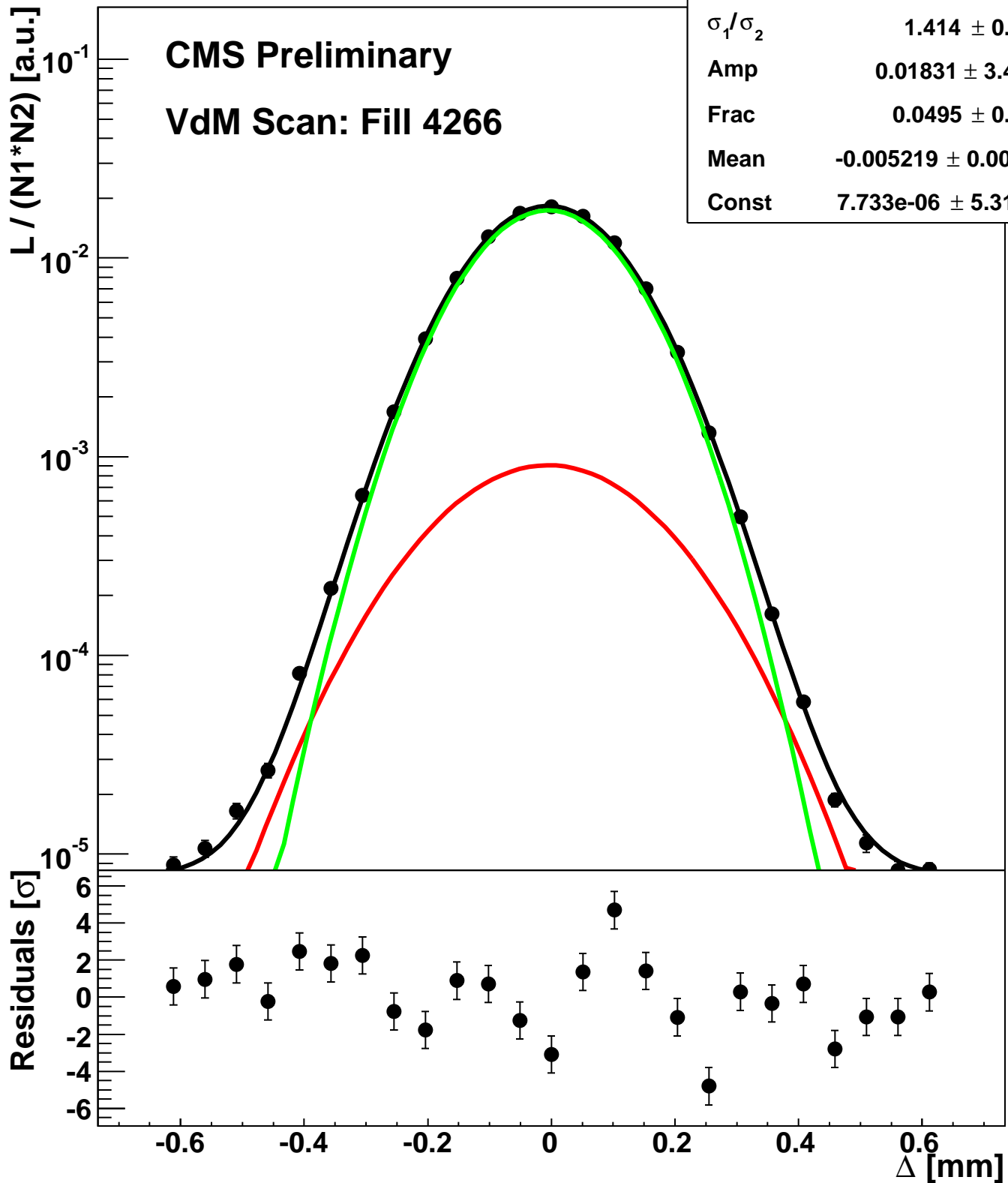
Scan 10: Y-plane BCID 771



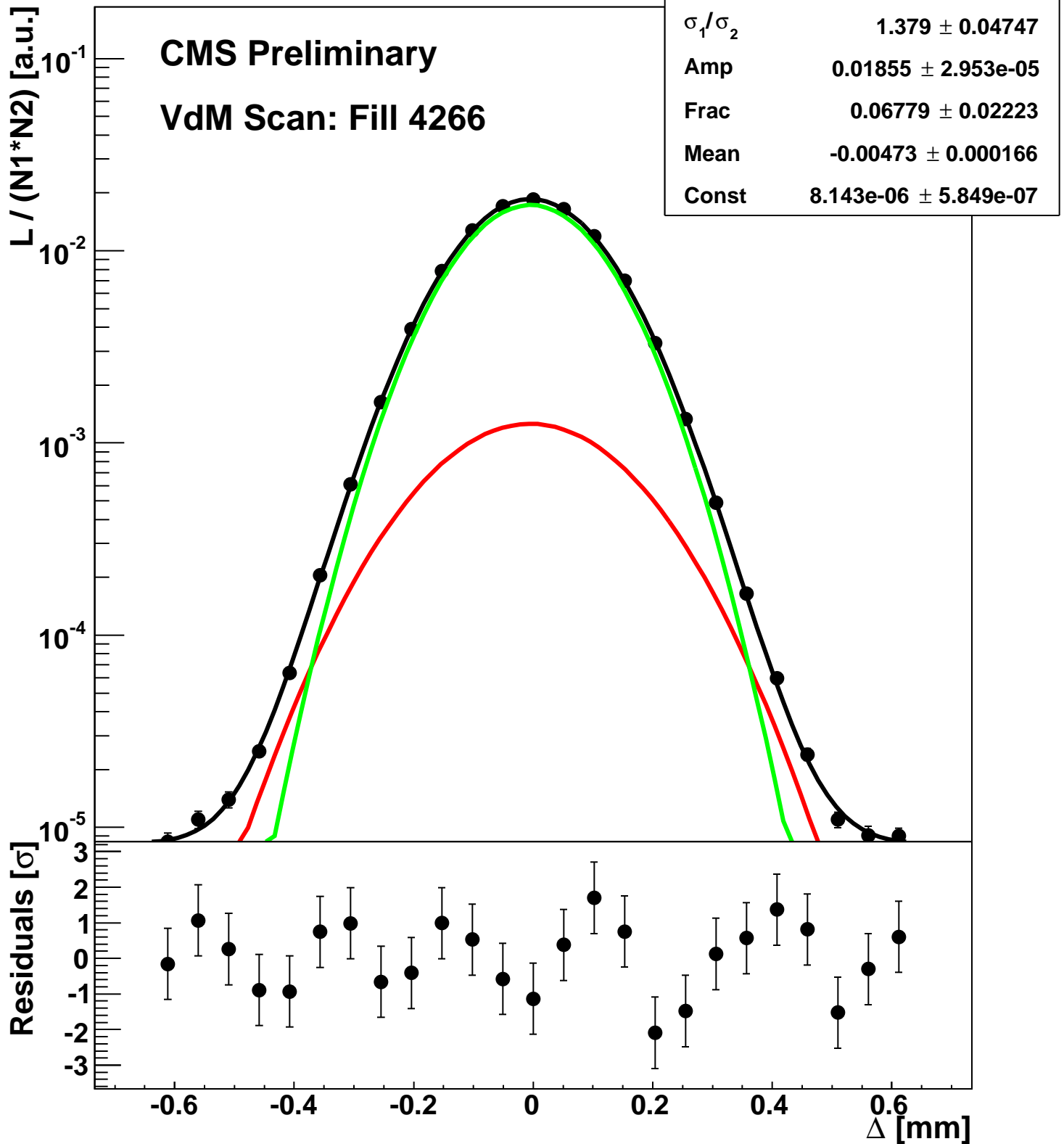
Scan 10: Y-plane BCID 811



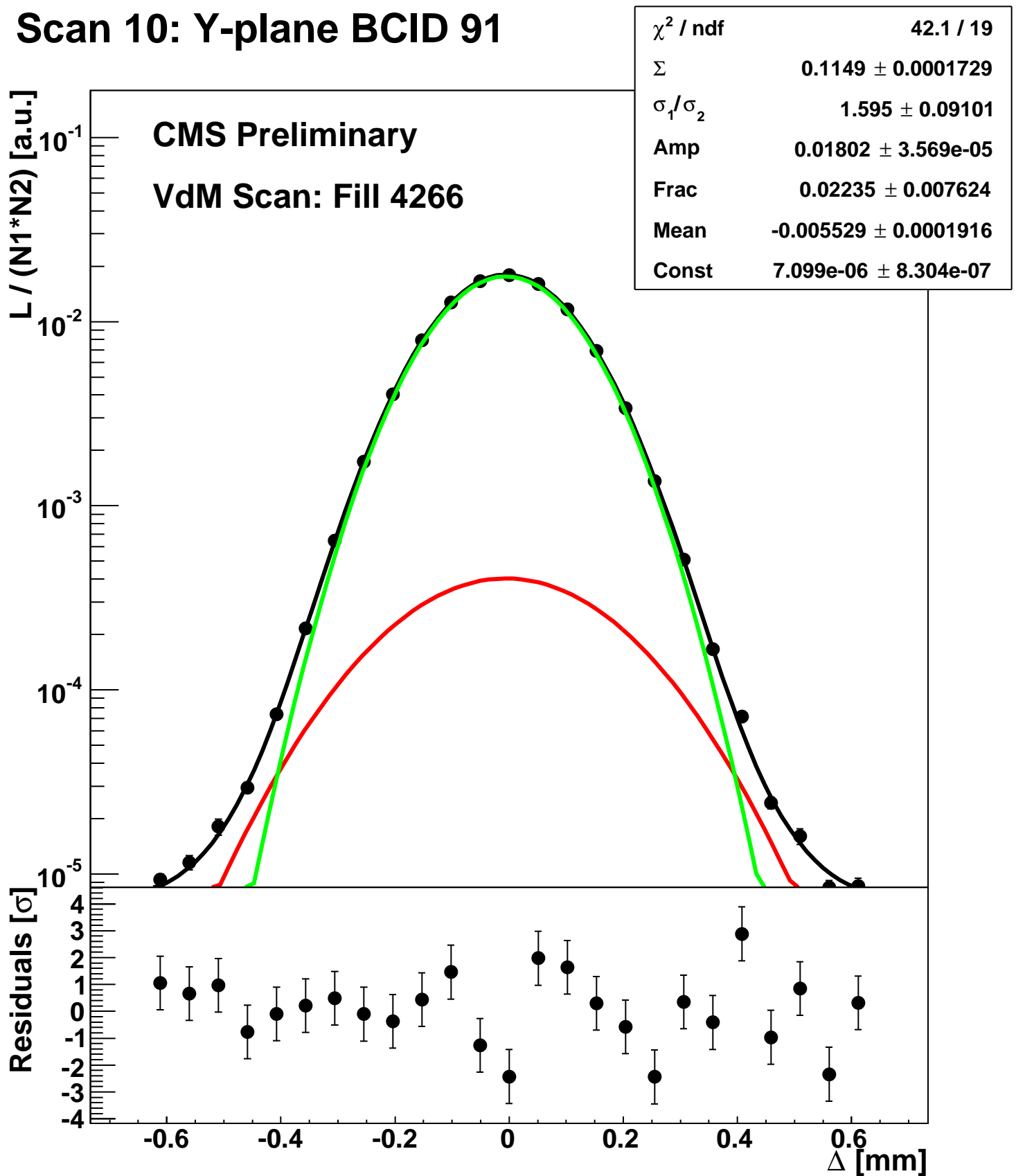
Scan 10: Y-plane BCID 851



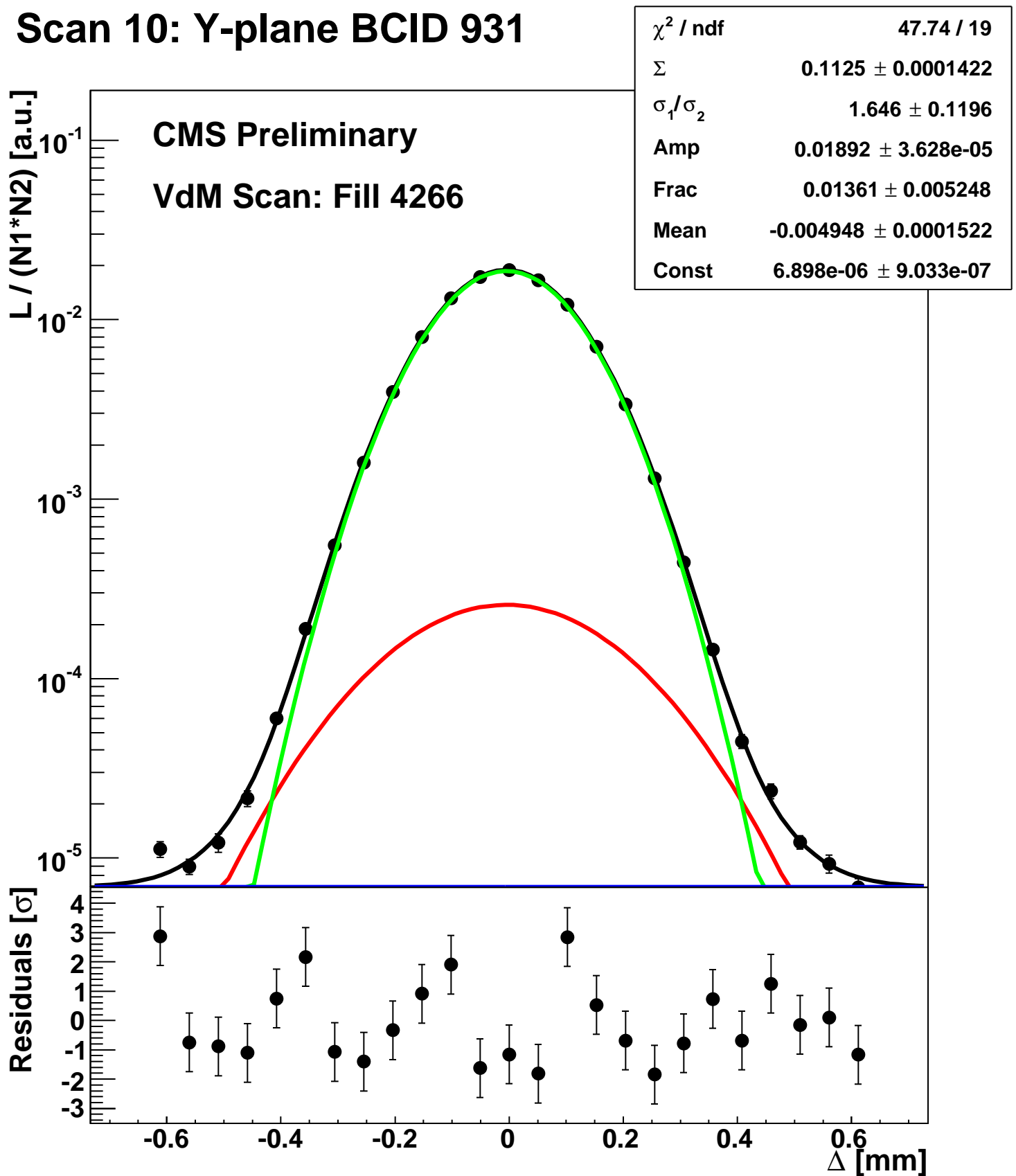
Scan 10: Y-plane BCID 891



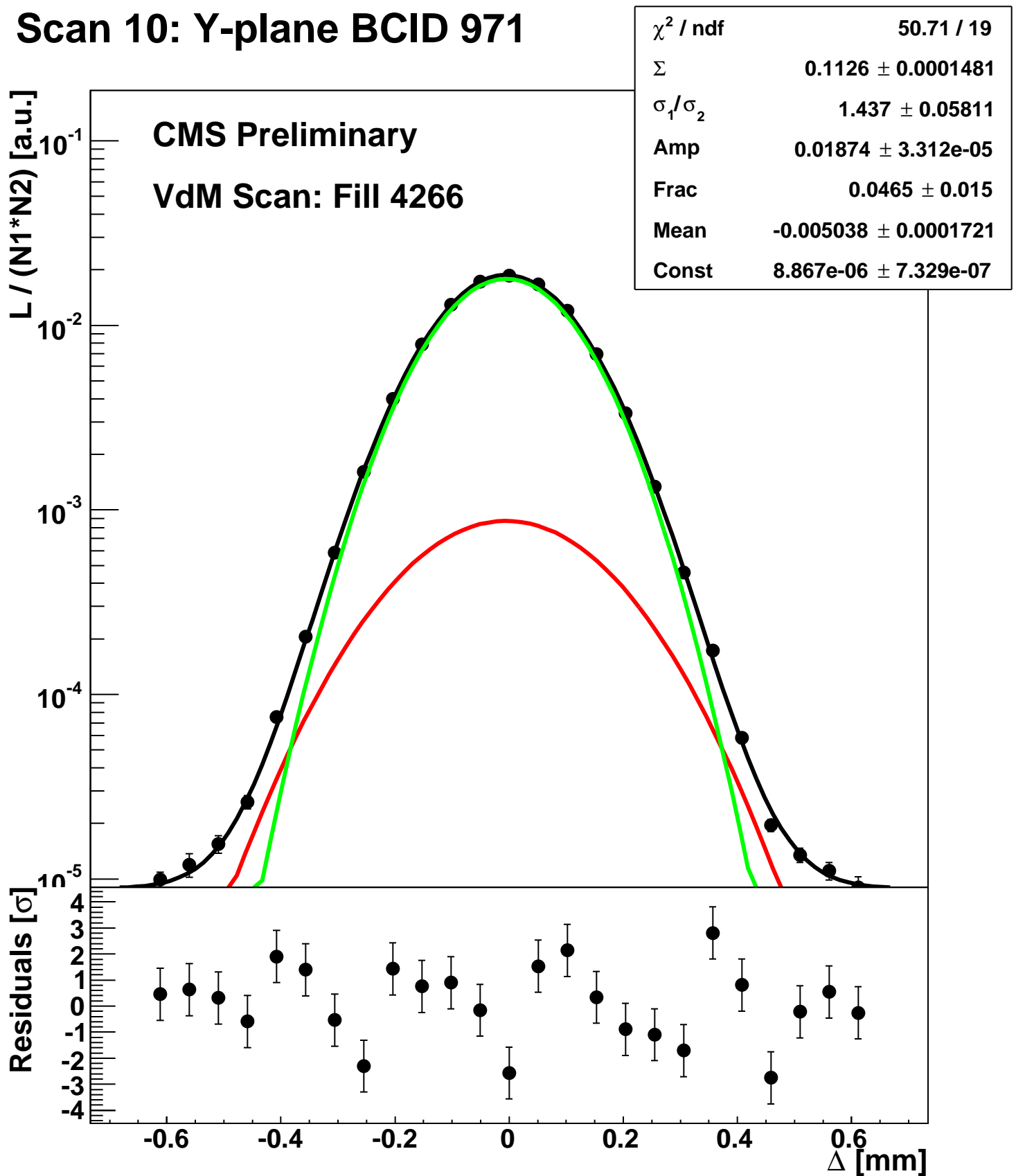
Scan 10: Y-plane BCID 91



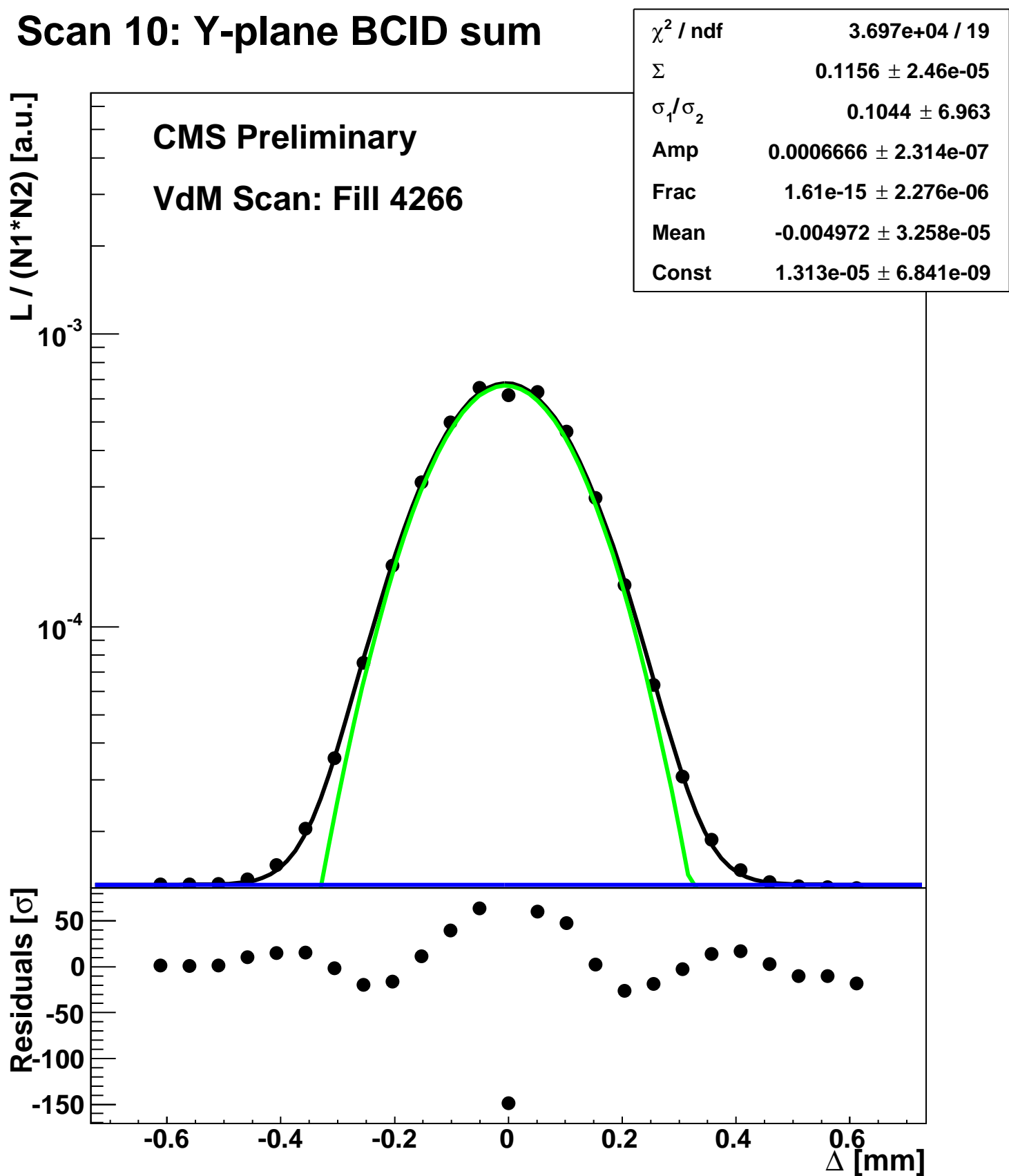
Scan 10: Y-plane BCID 931



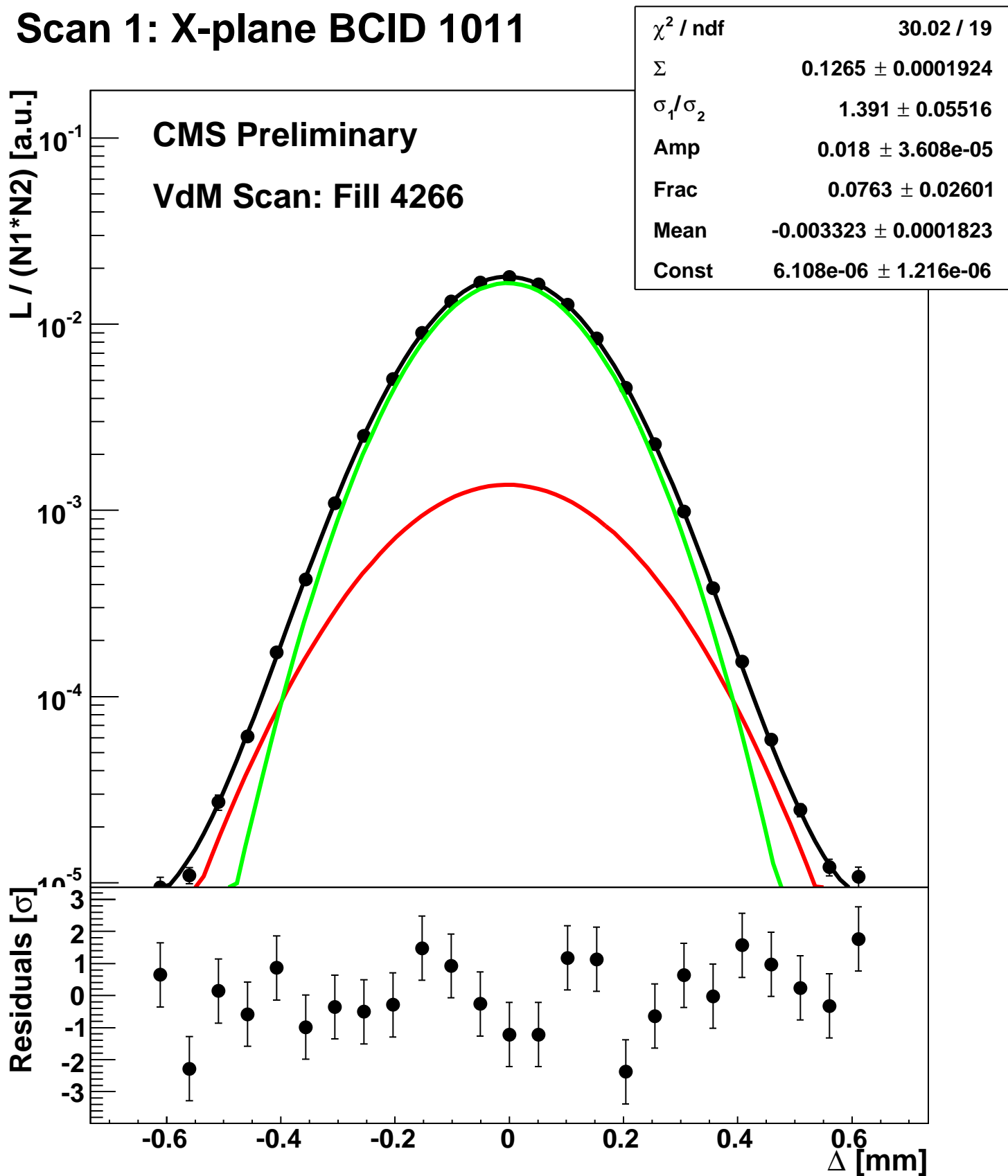
Scan 10: Y-plane BCID 971



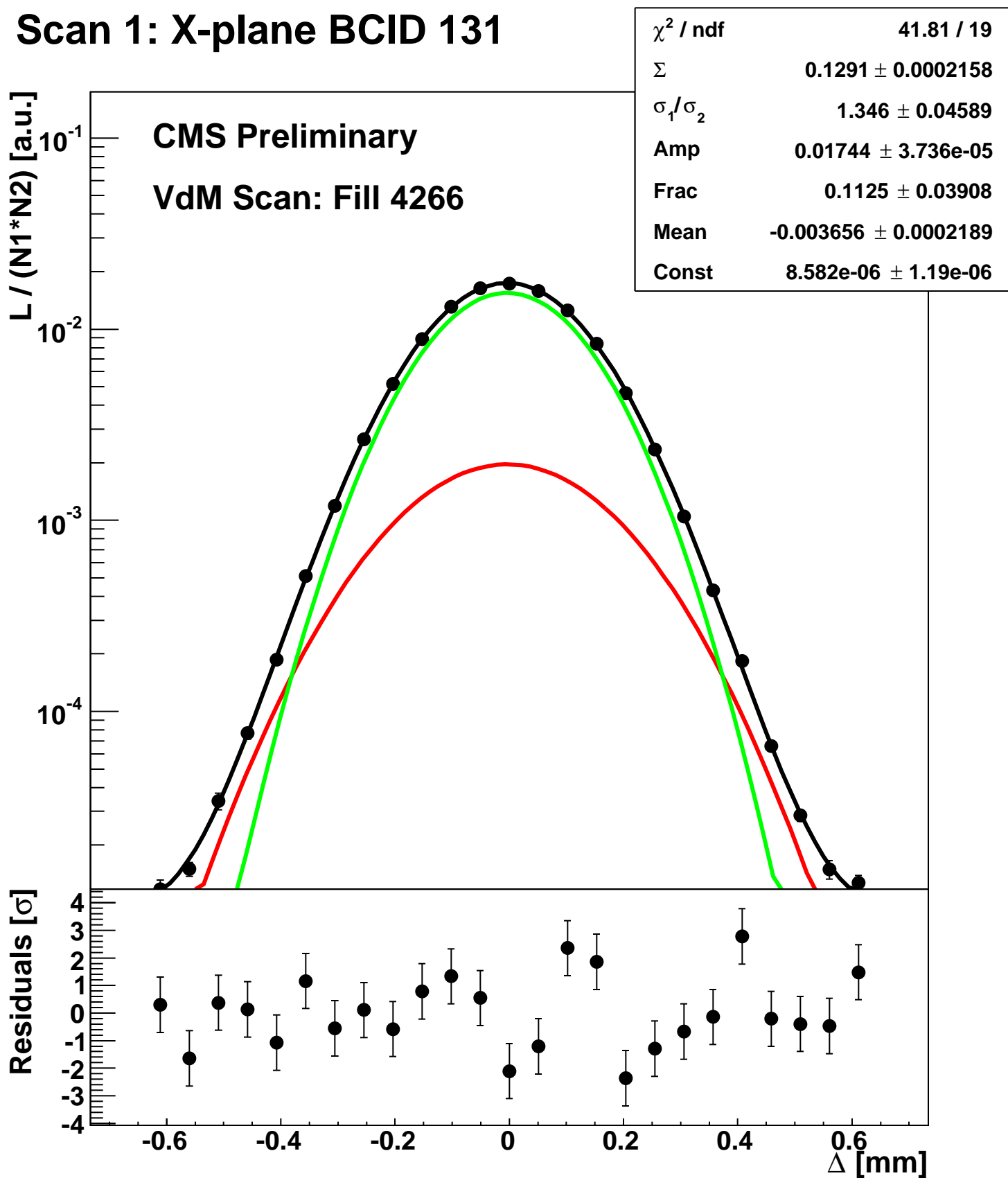
Scan 10: Y-plane BCID sum



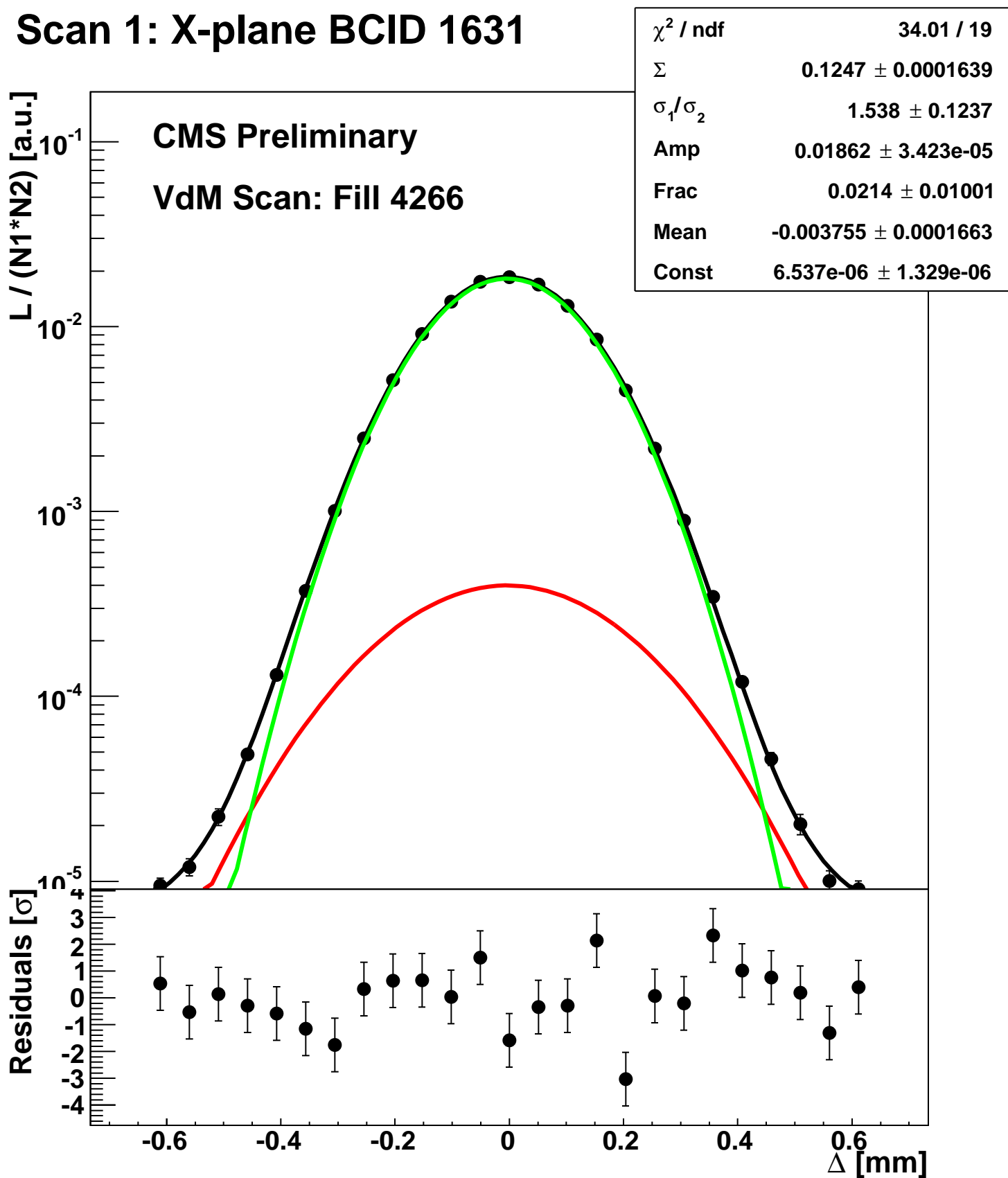
Scan 1: X-plane BCID 1011



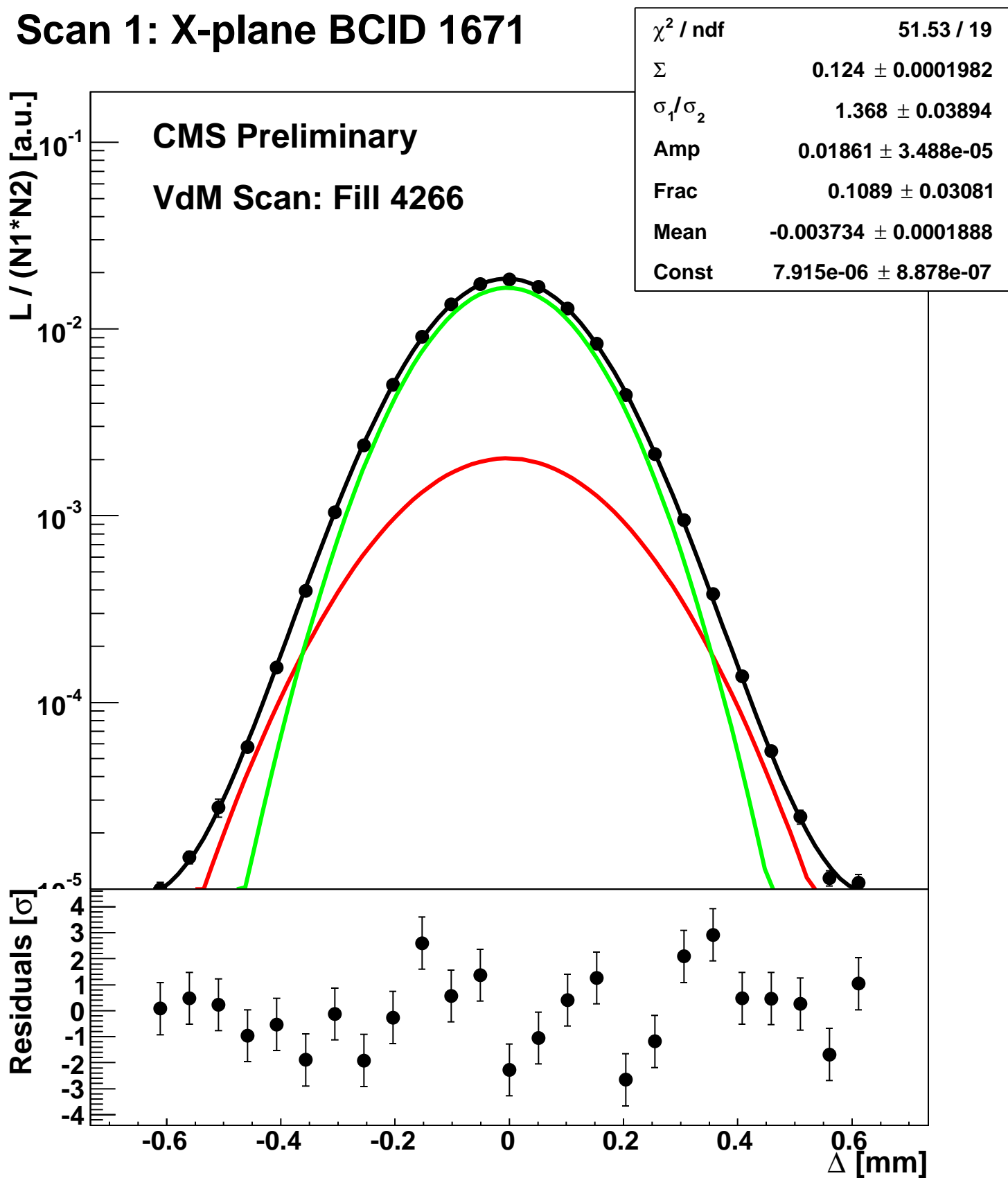
Scan 1: X-plane BCID 131



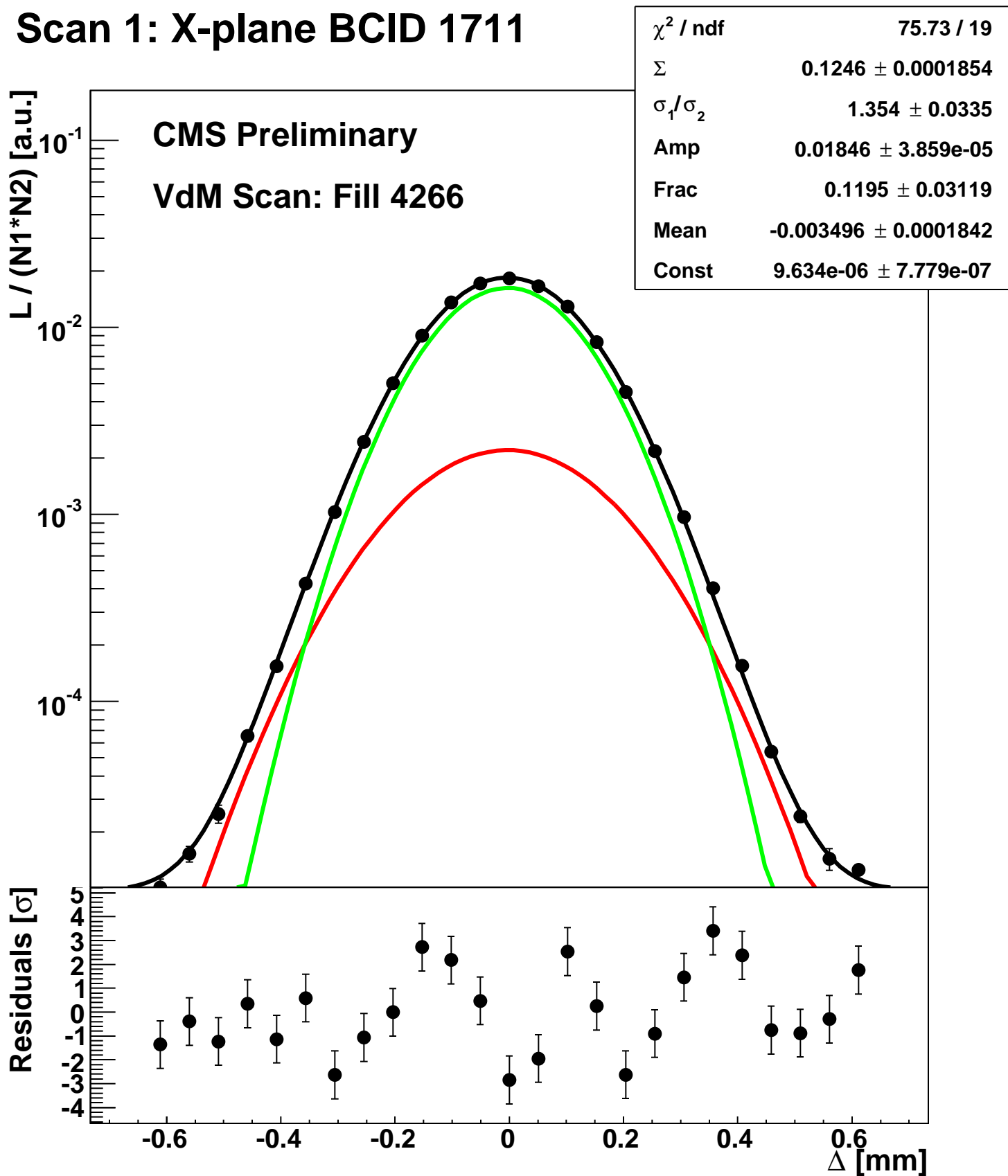
Scan 1: X-plane BCID 1631



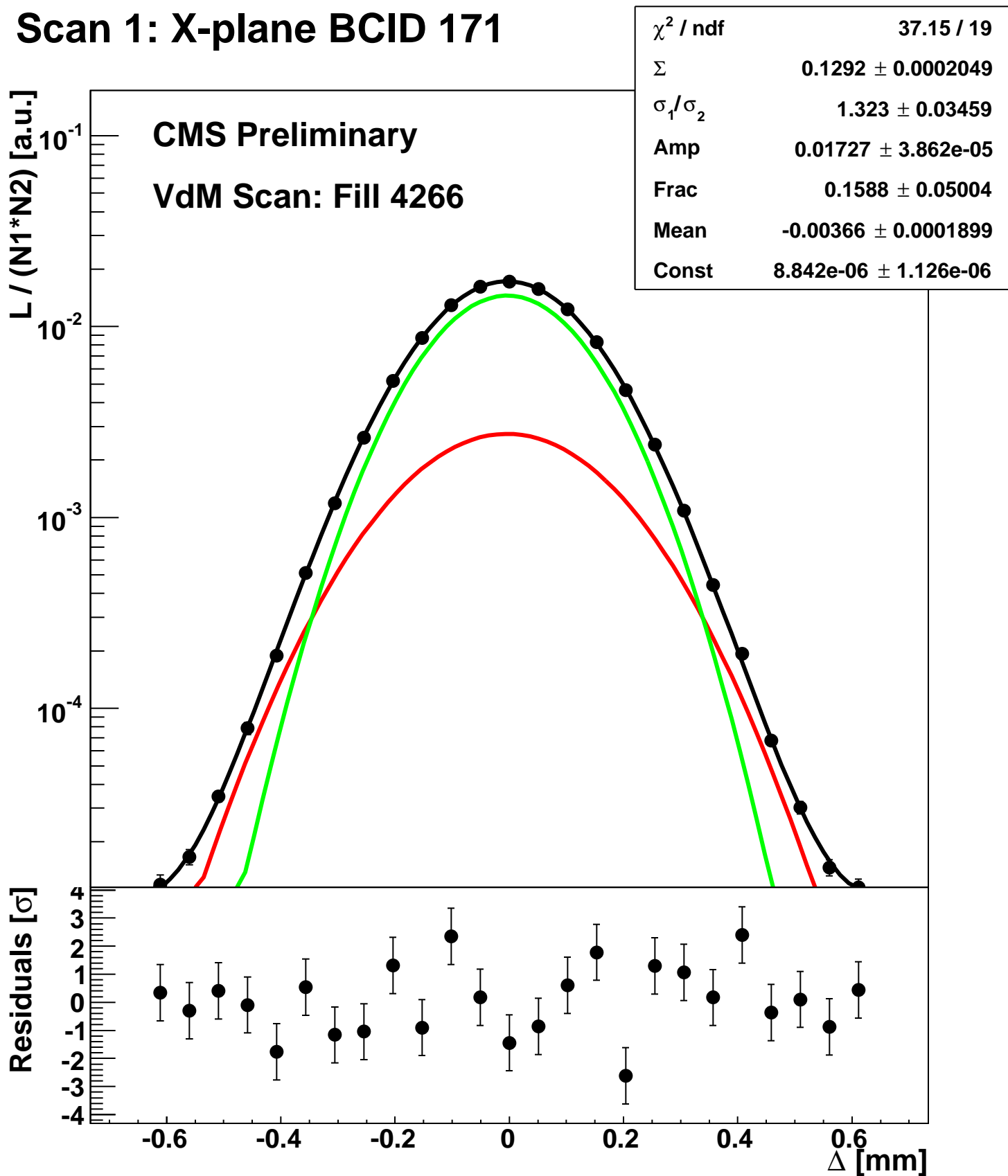
Scan 1: X-plane BCID 1671



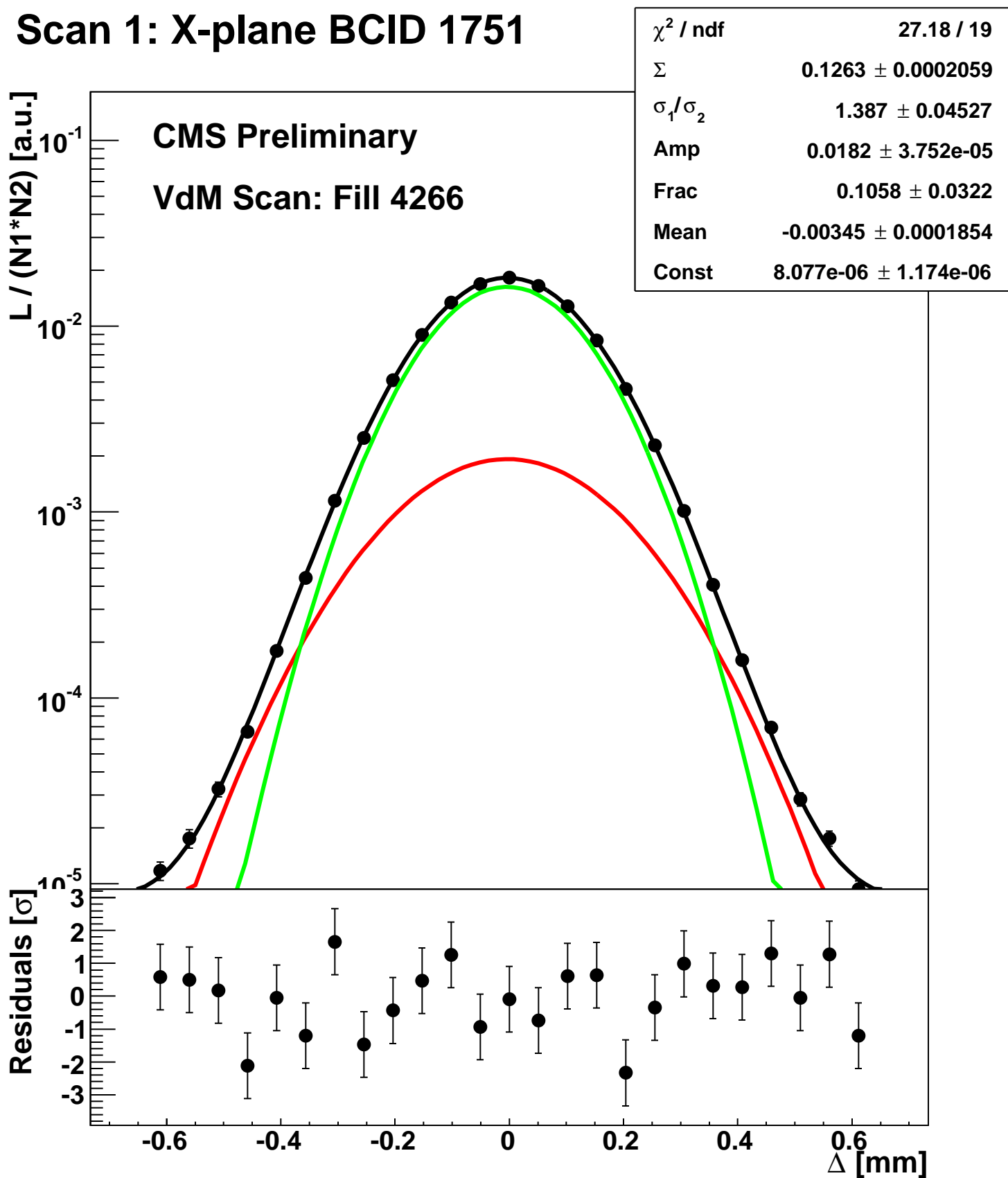
Scan 1: X-plane BCID 1711



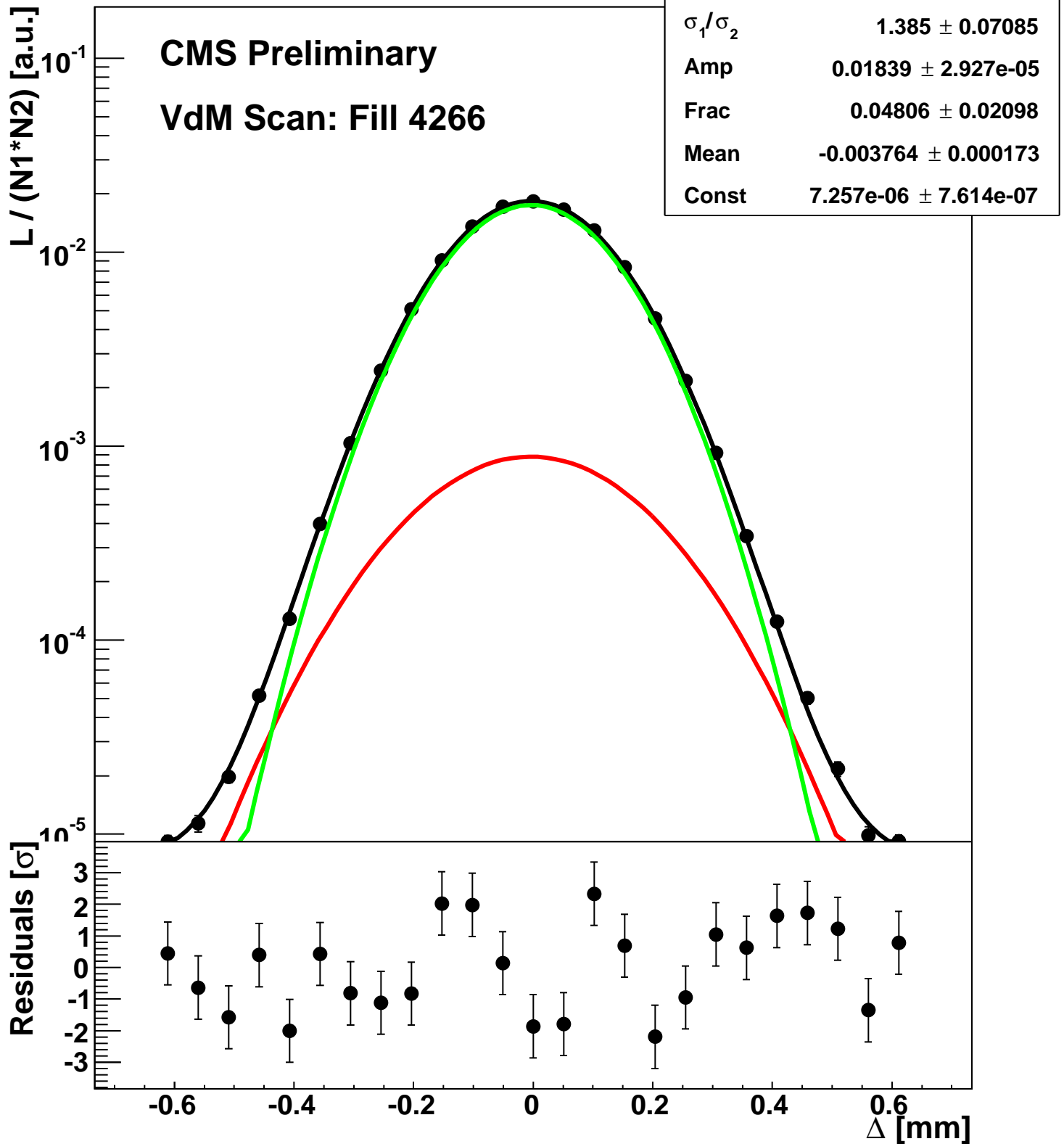
Scan 1: X-plane BCID 171



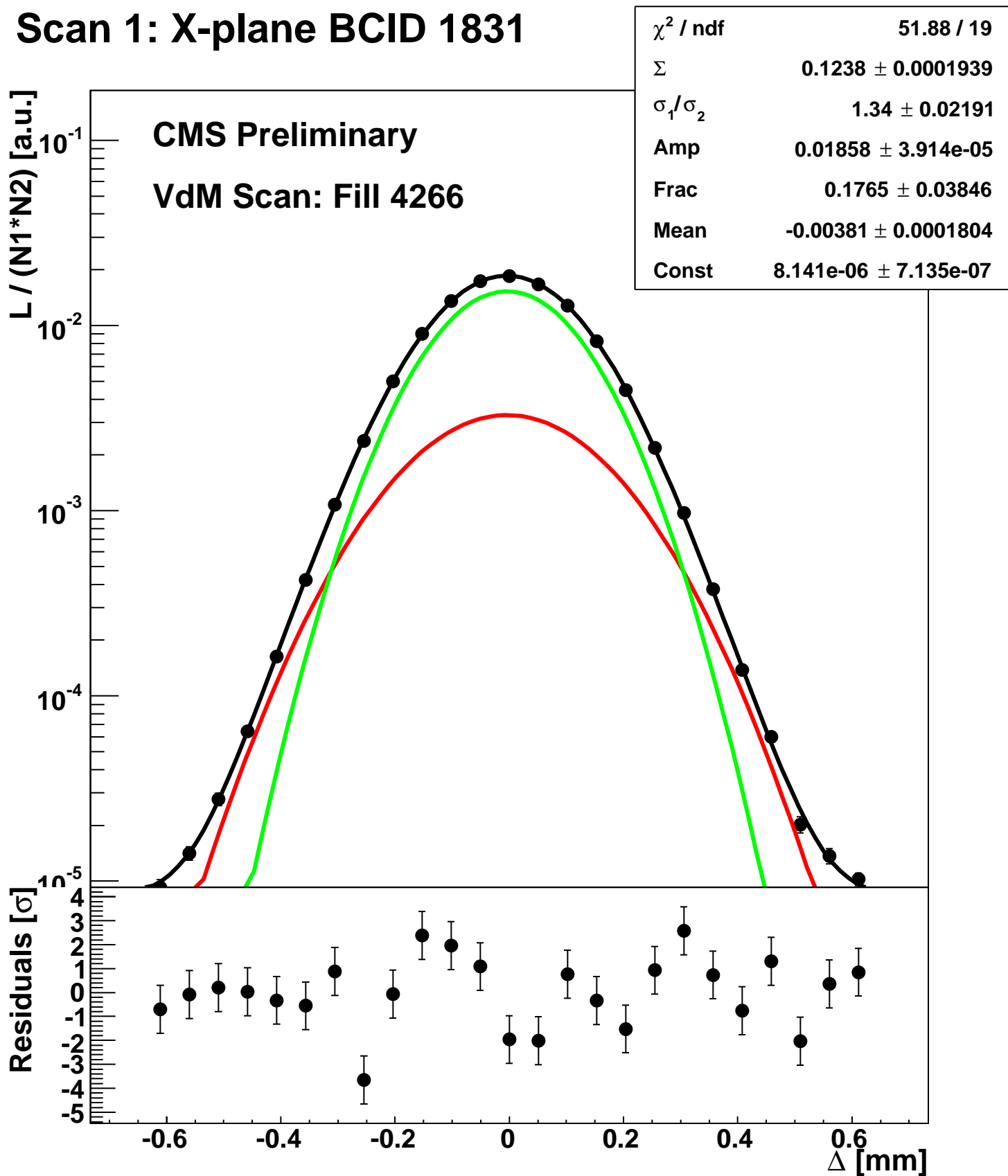
Scan 1: X-plane BCID 1751



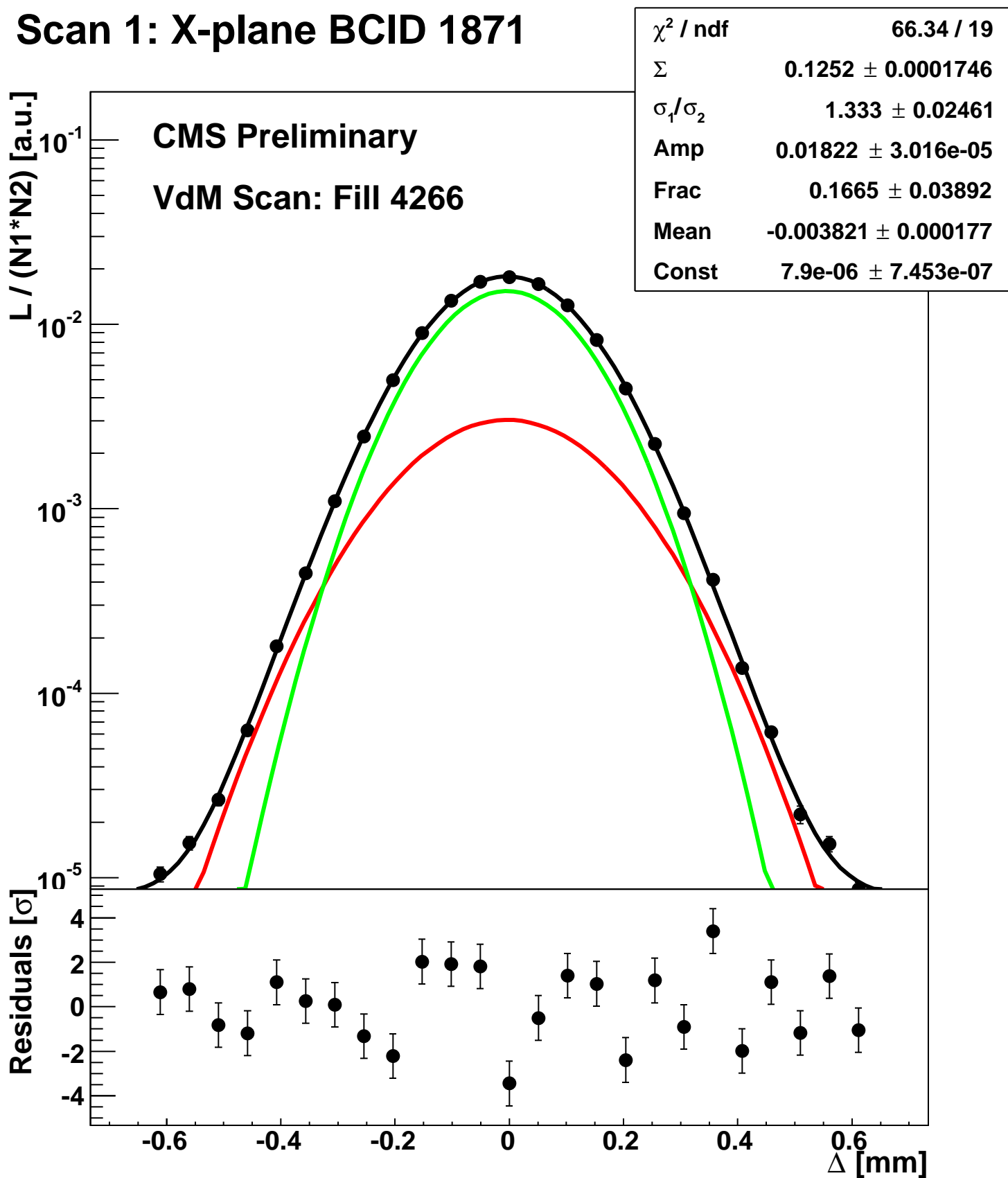
Scan 1: X-plane BCID 1791



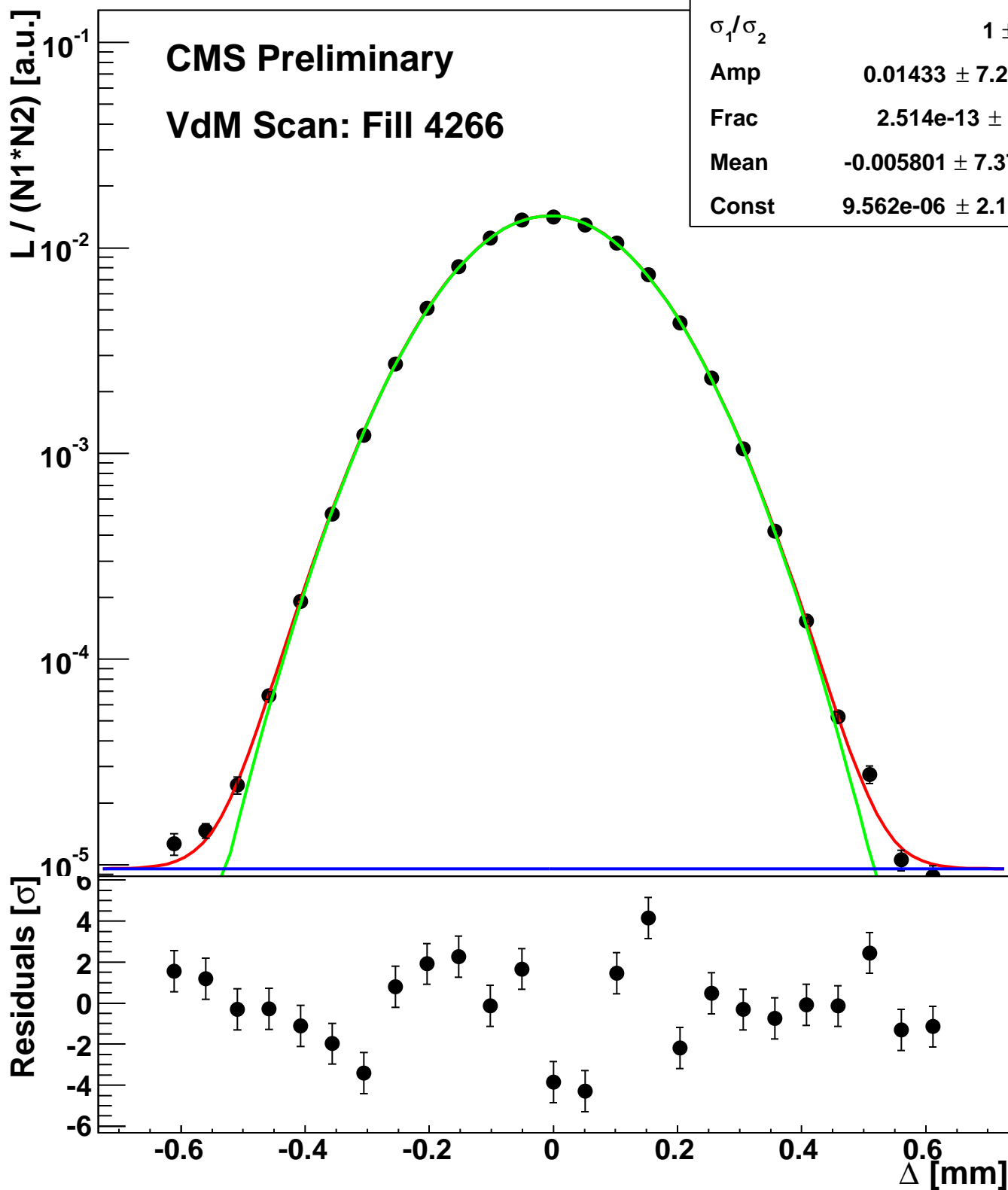
Scan 1: X-plane BCID 1831



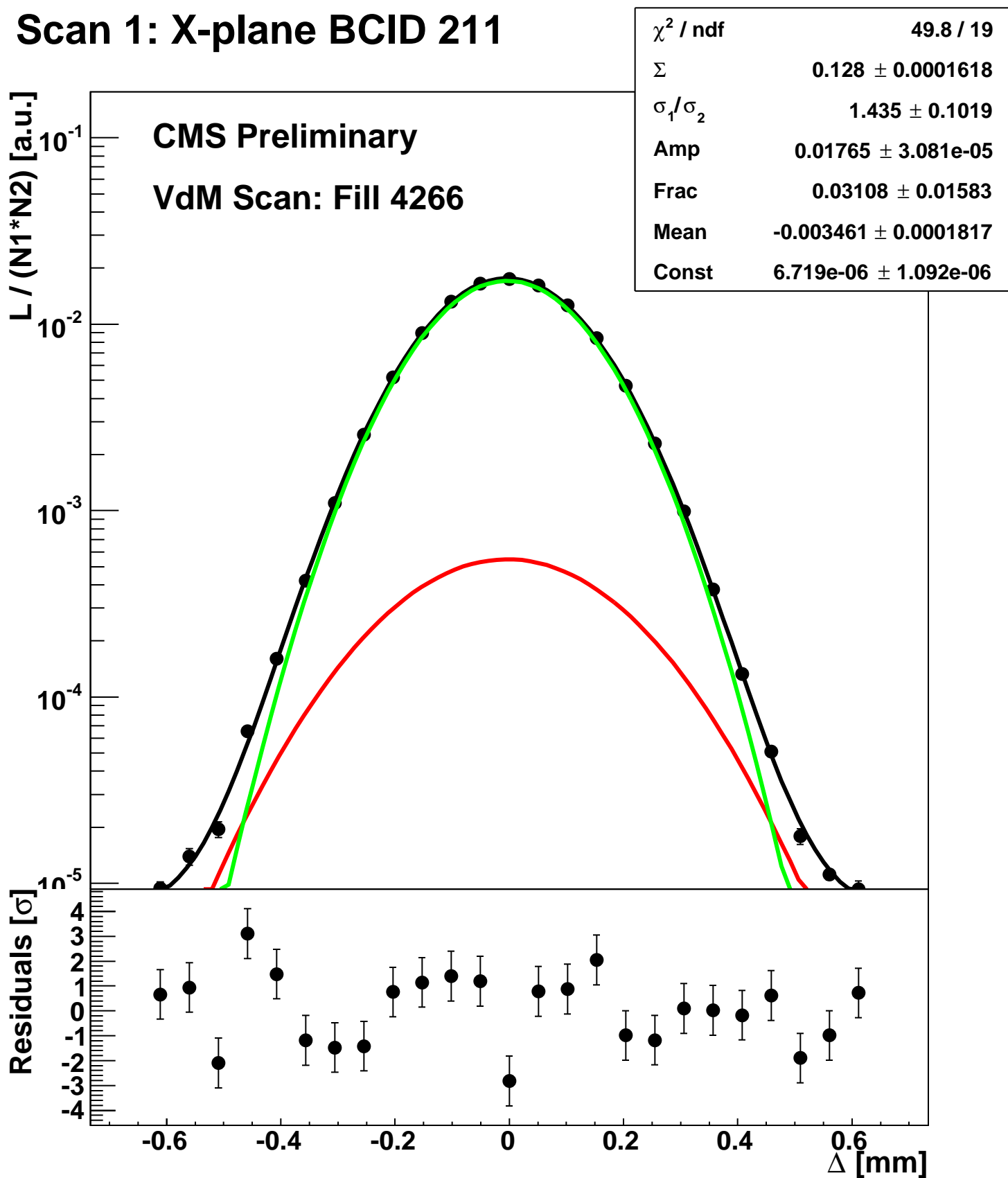
Scan 1: X-plane BCID 1871



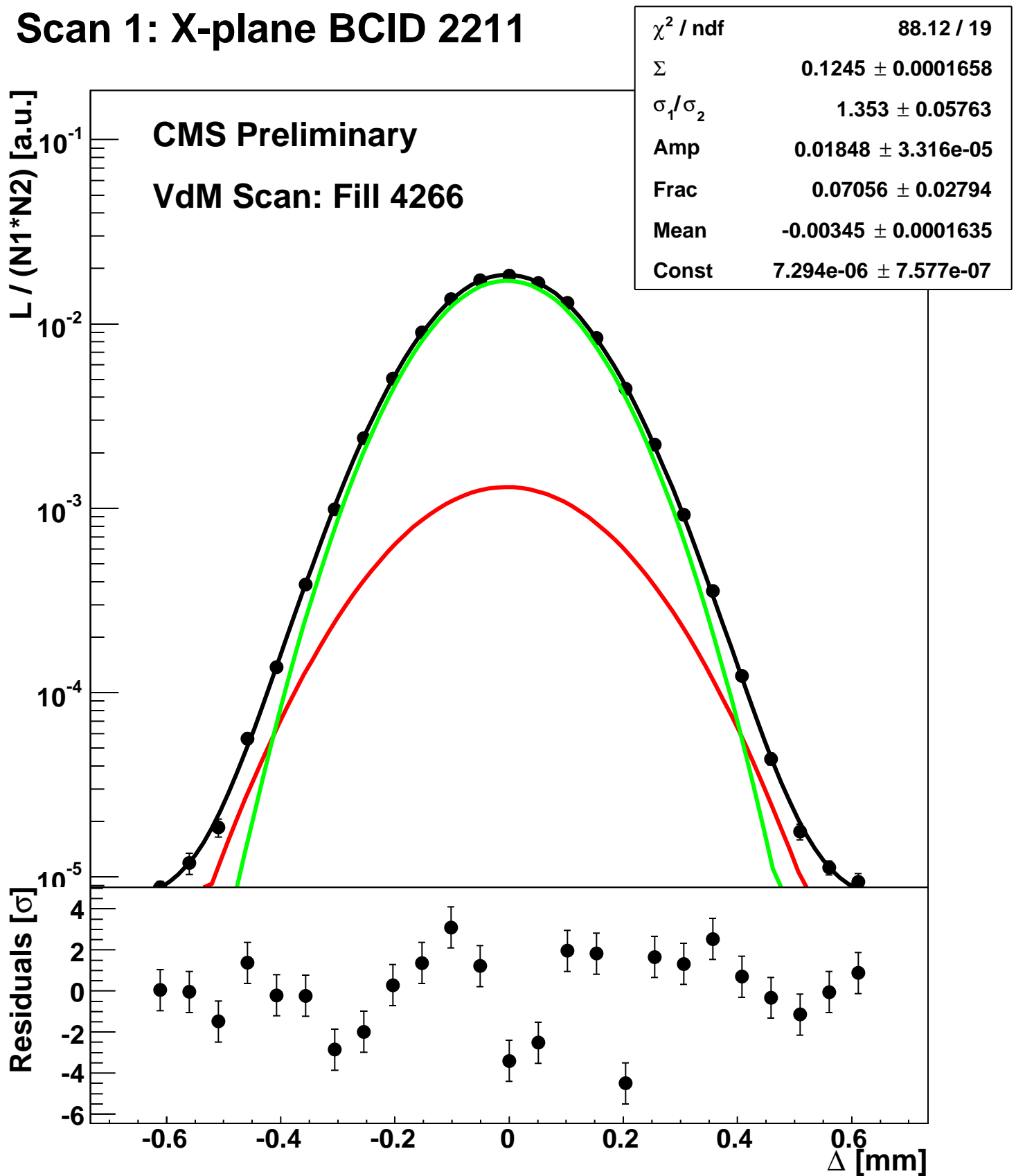
Scan 1: X-plane BCID 1



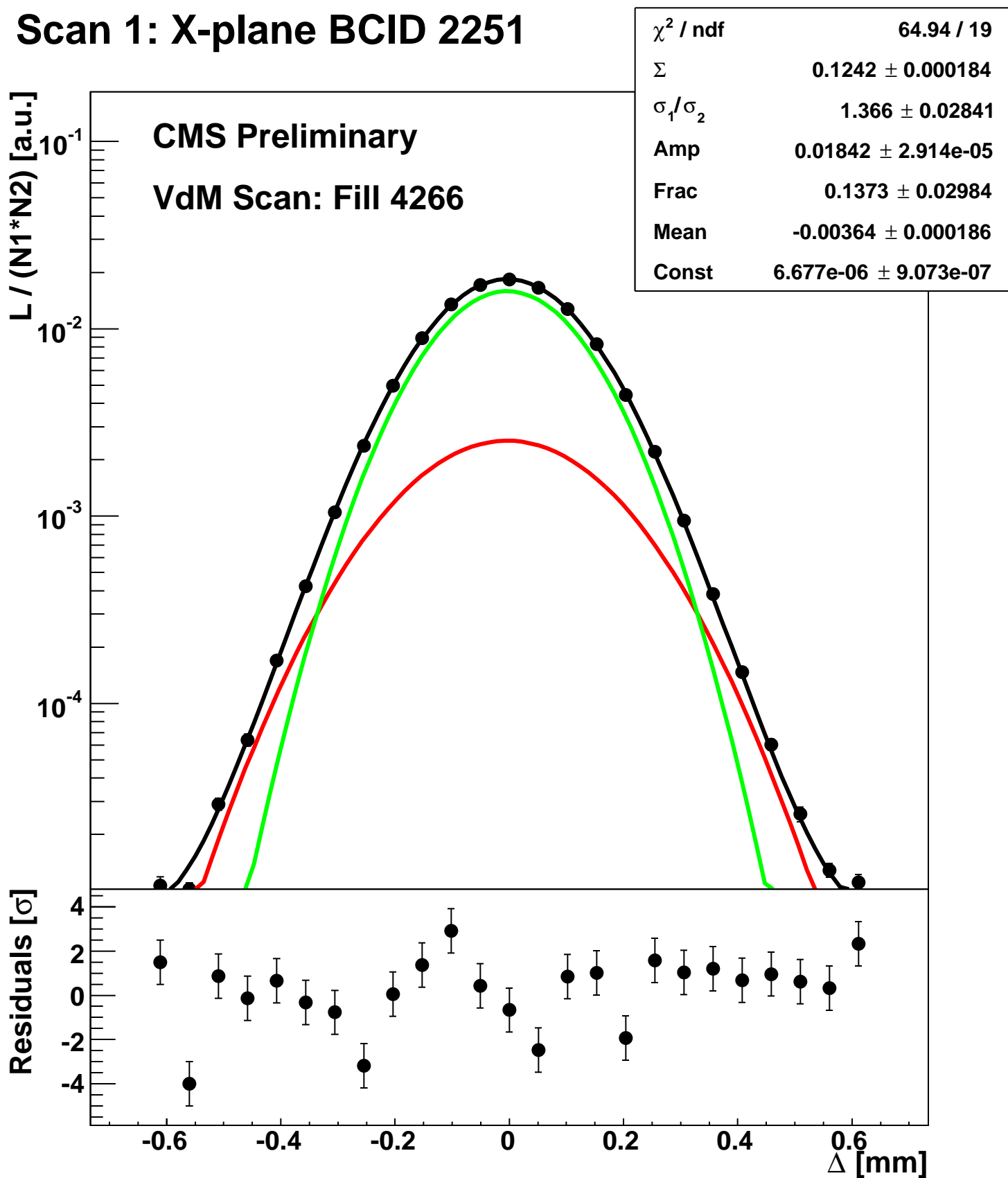
Scan 1: X-plane BCID 211



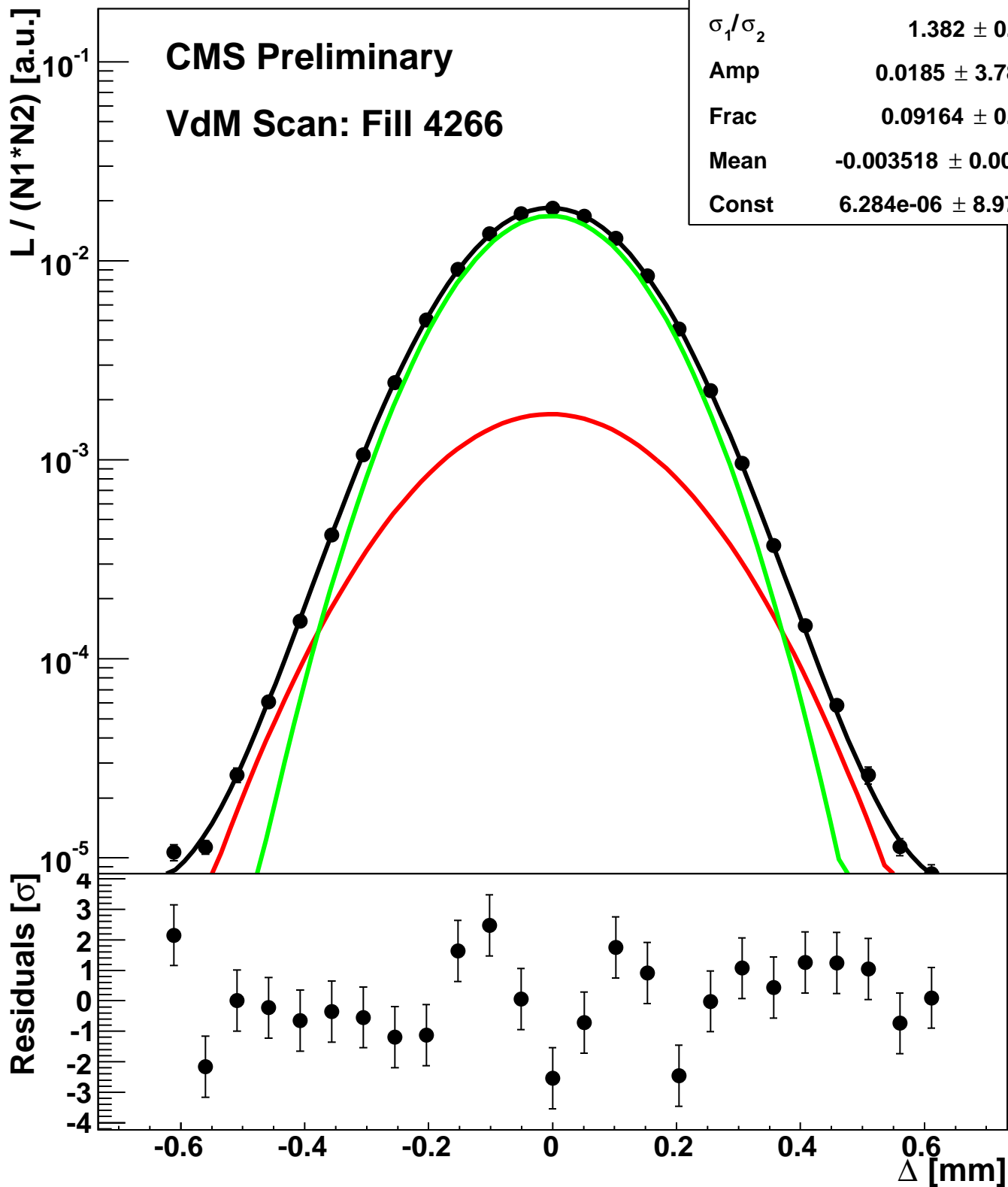
Scan 1: X-plane BCID 2211



Scan 1: X-plane BCID 2251

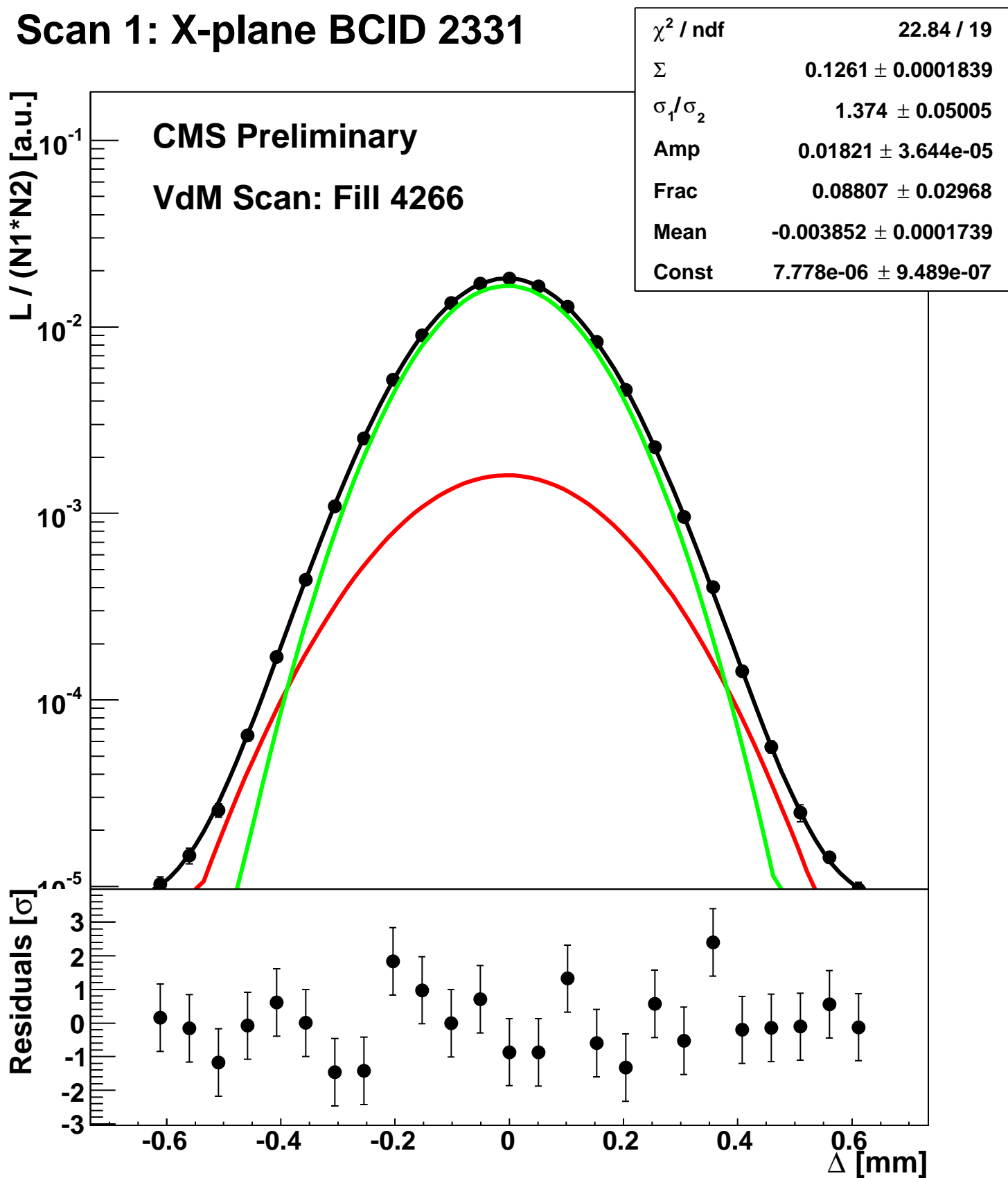


Scan 1: X-plane BCID 2291

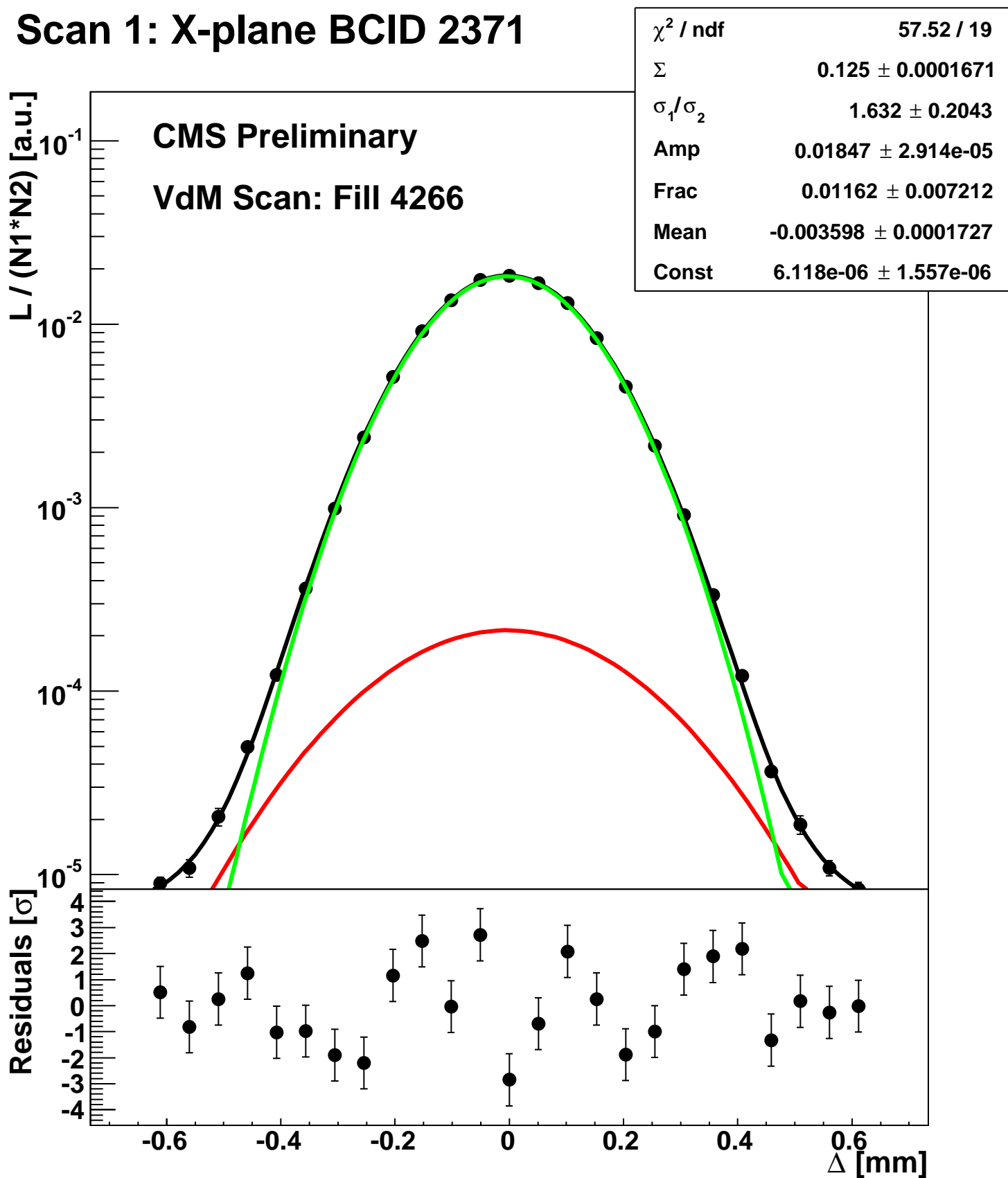


χ^2 / ndf	44.72 / 19
Σ	0.1249 ± 0.0001944
σ_1 / σ_2	1.382 ± 0.04185
Amp	$0.0185 \pm 3.787\text{e-}05$
Frac	0.09164 ± 0.02566
Mean	-0.003518 ± 0.0001975
Const	$6.284\text{e-}06 \pm 8.975\text{e-}07$

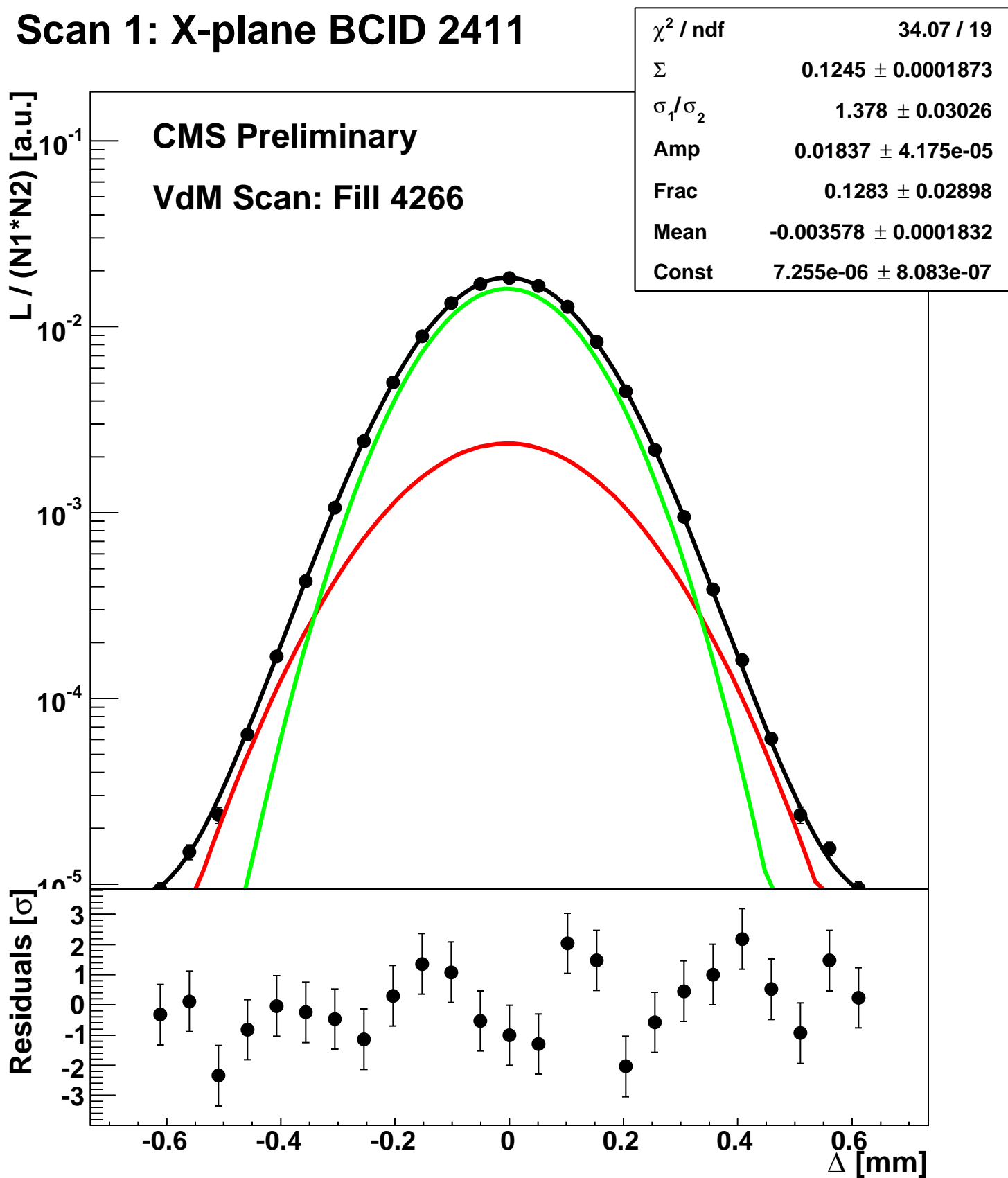
Scan 1: X-plane BCID 2331



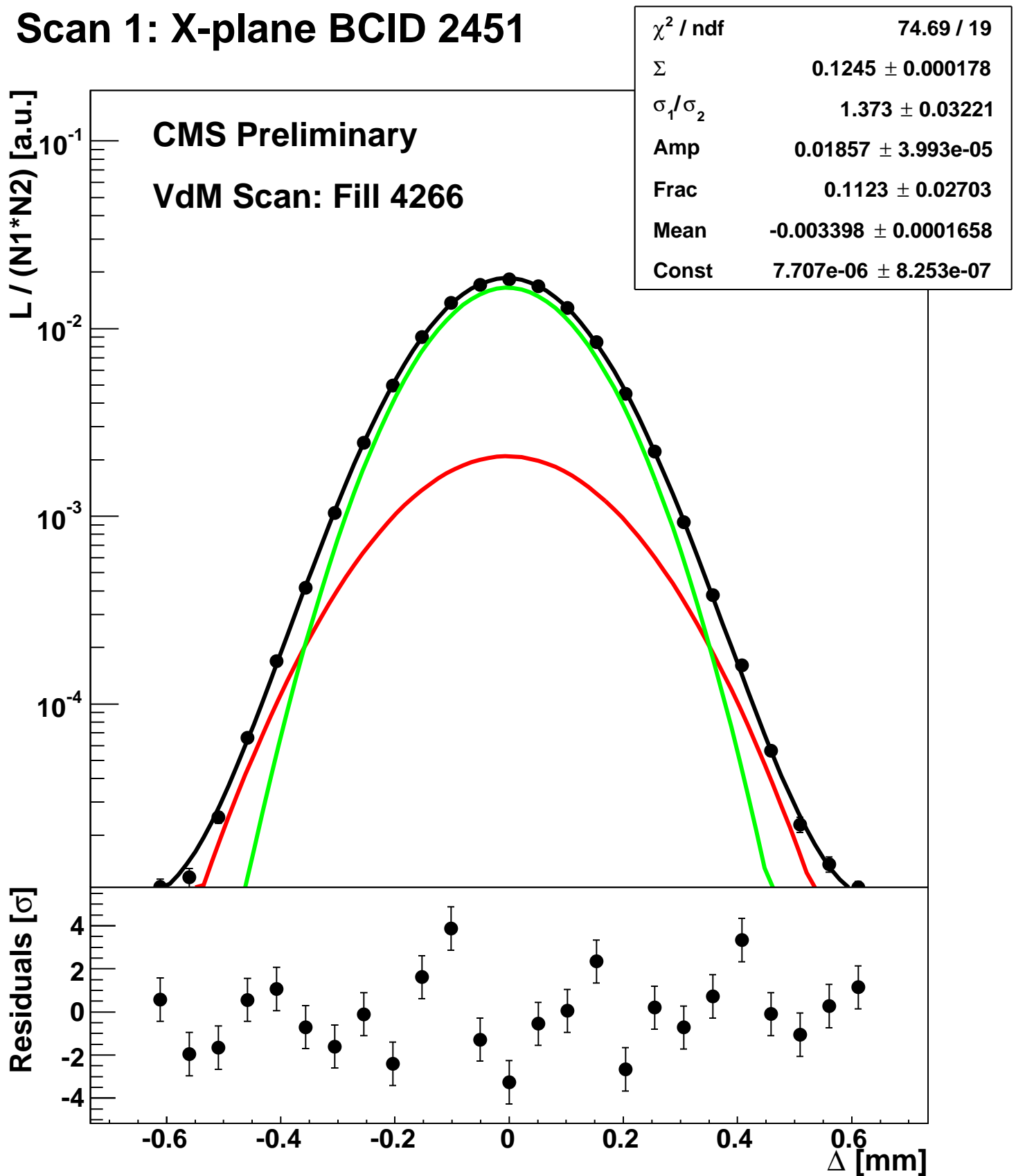
Scan 1: X-plane BCID 2371



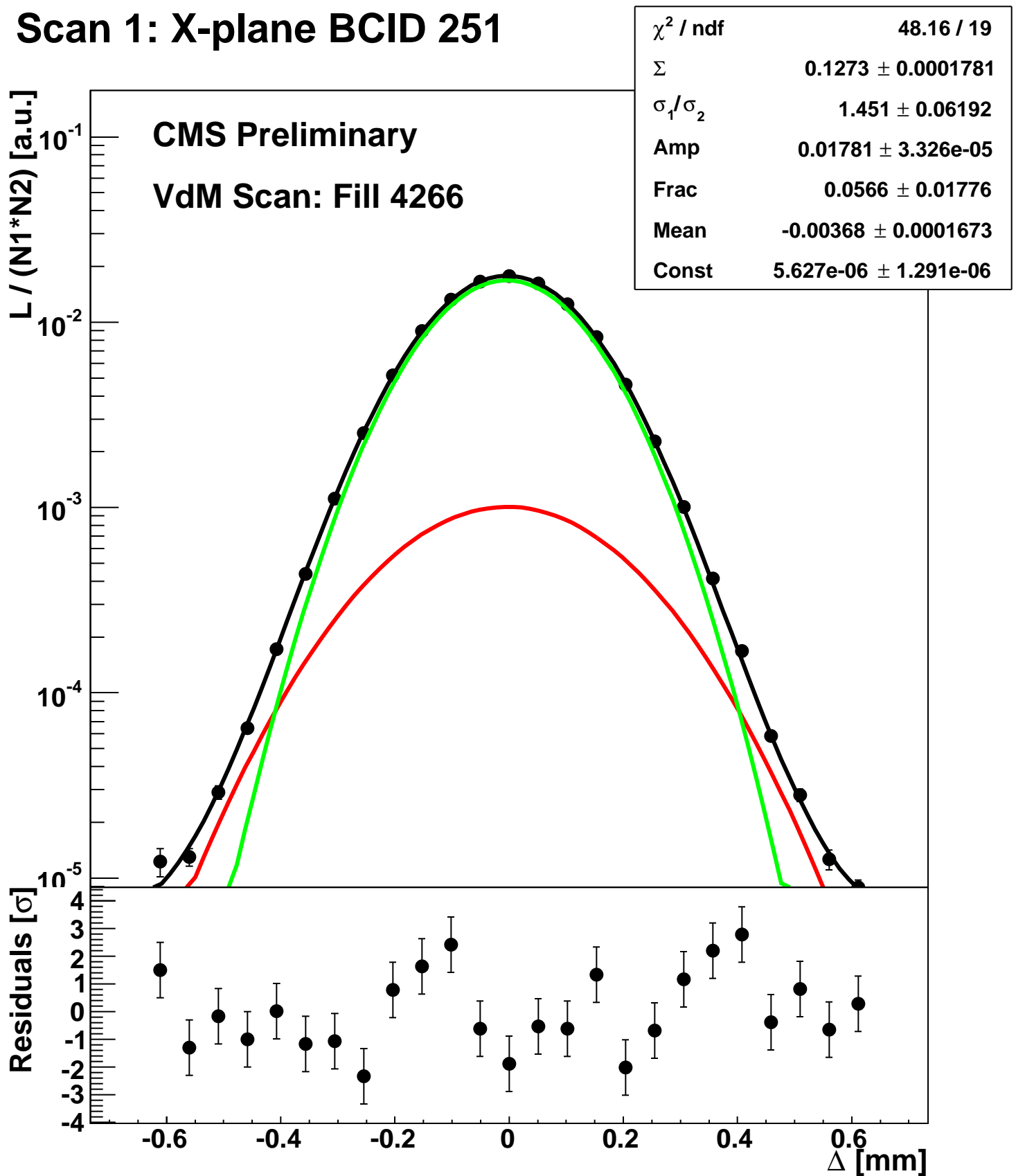
Scan 1: X-plane BCID 2411



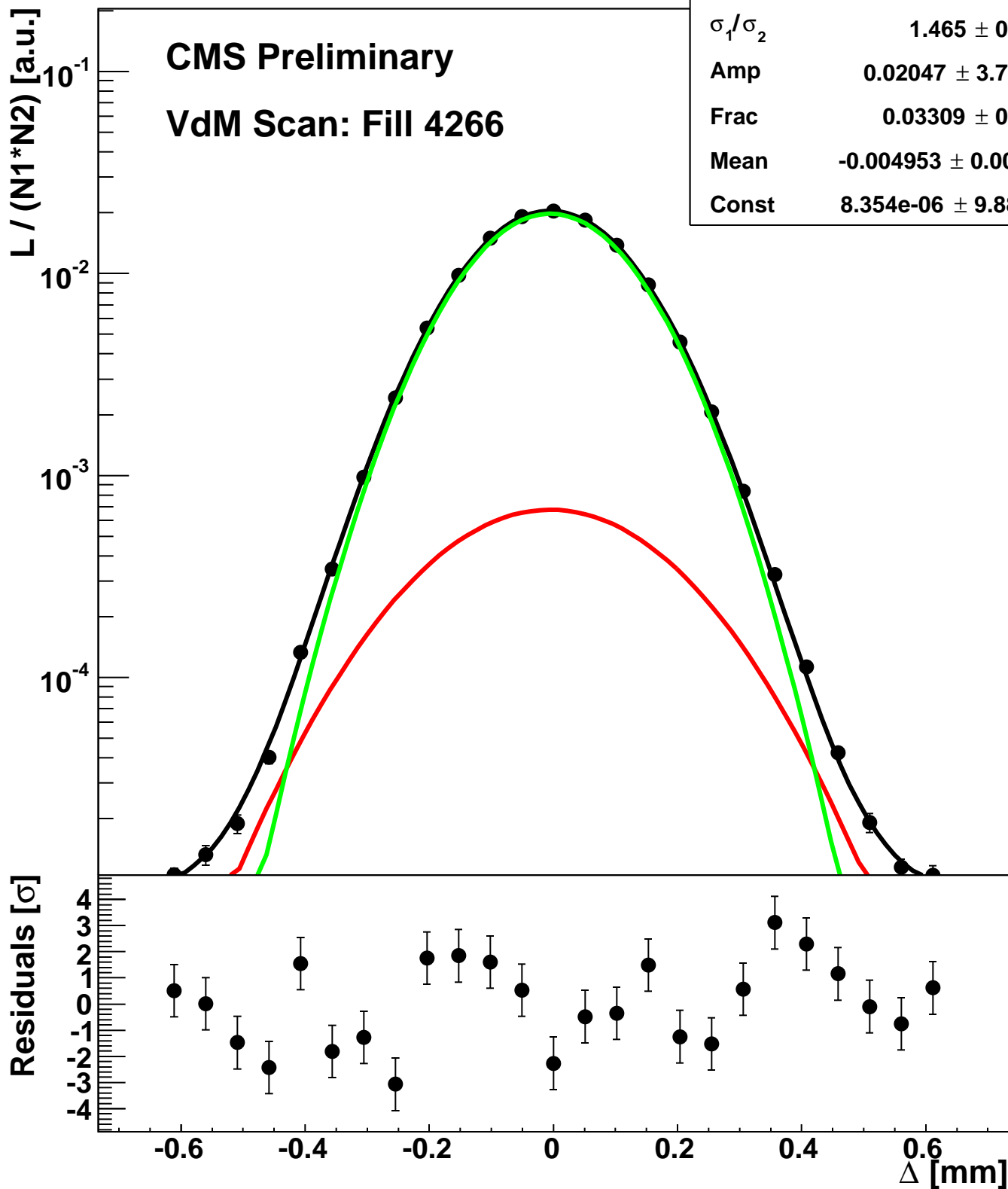
Scan 1: X-plane BCID 2451



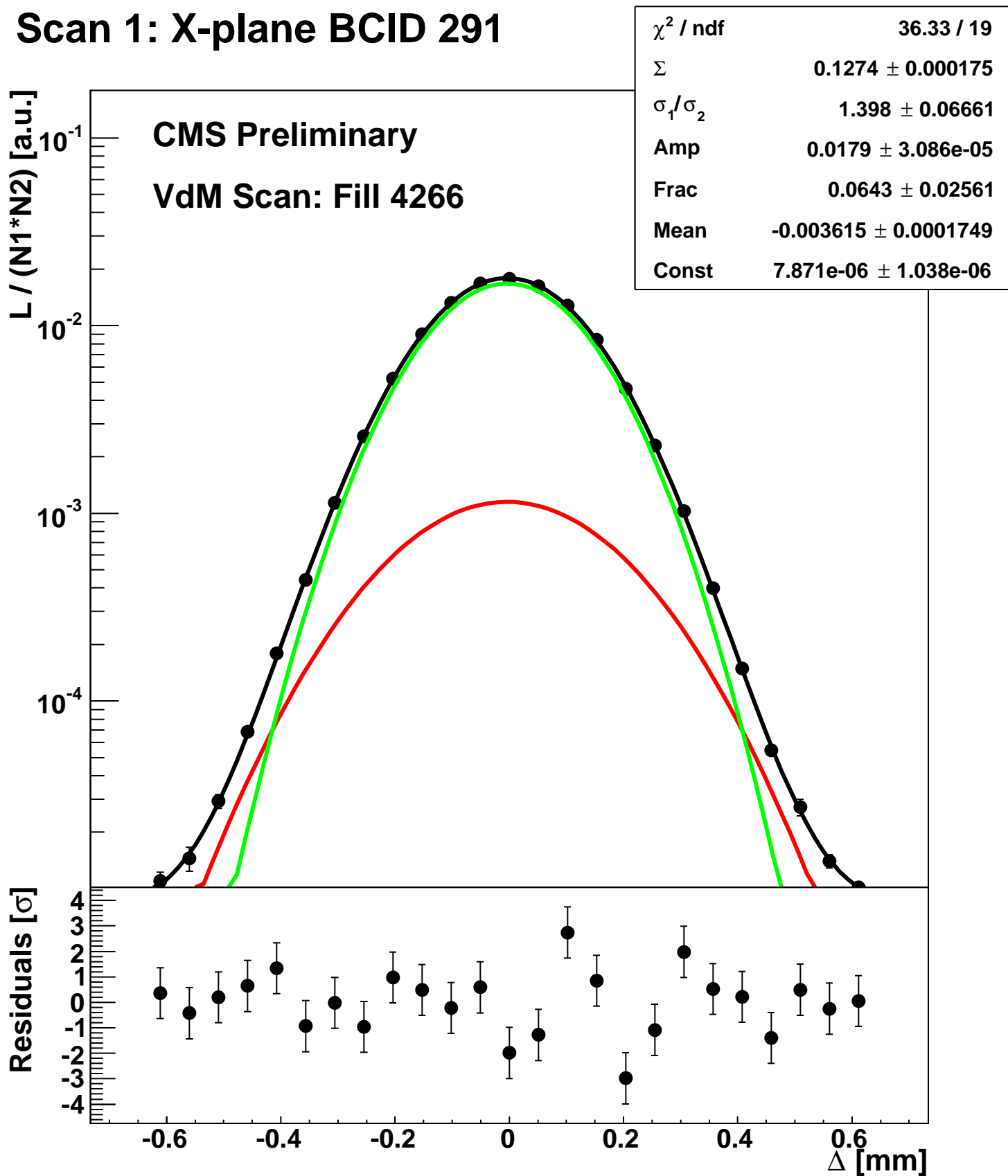
Scan 1: X-plane BCID 251



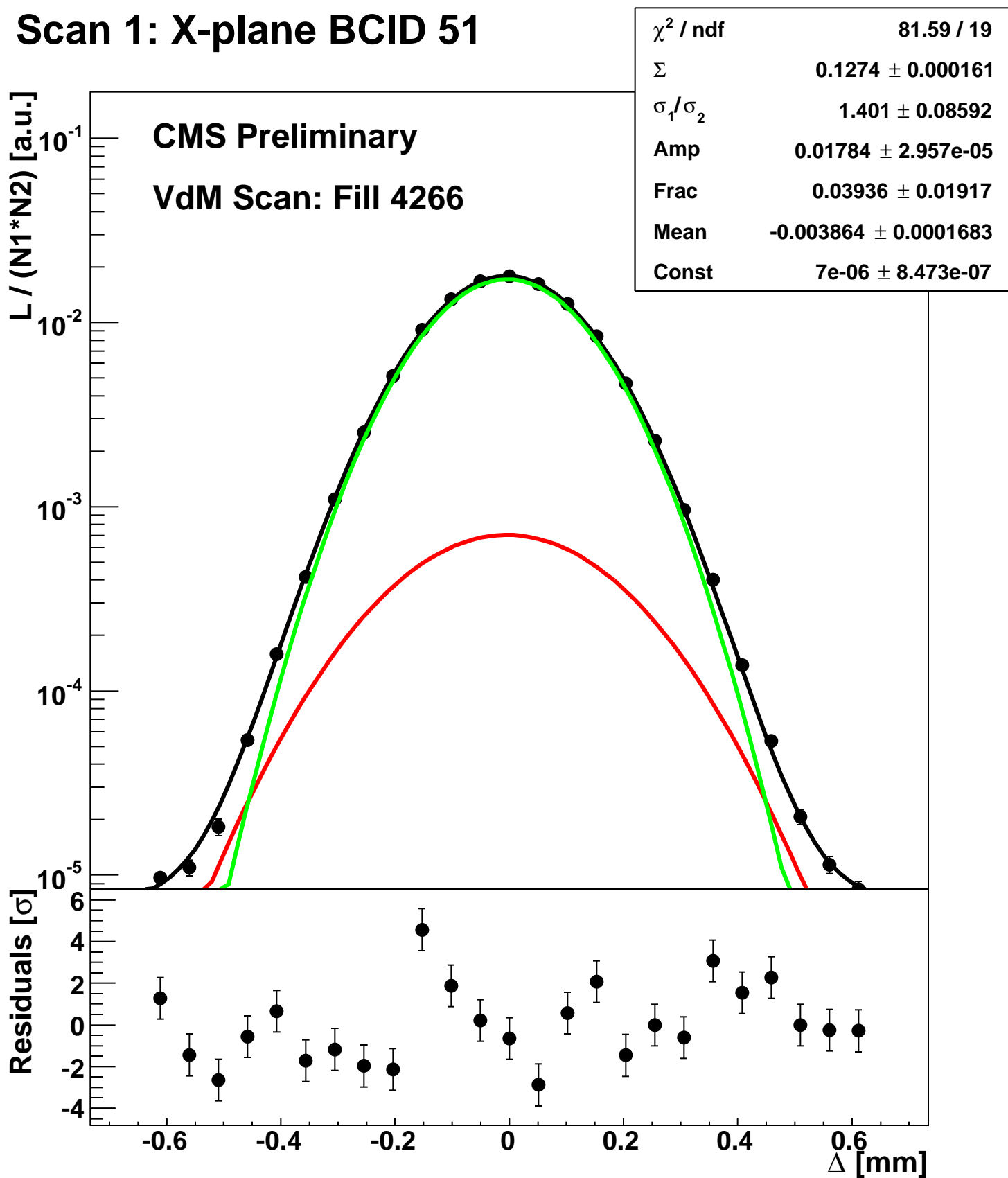
Scan 1: X-plane BCID 2674



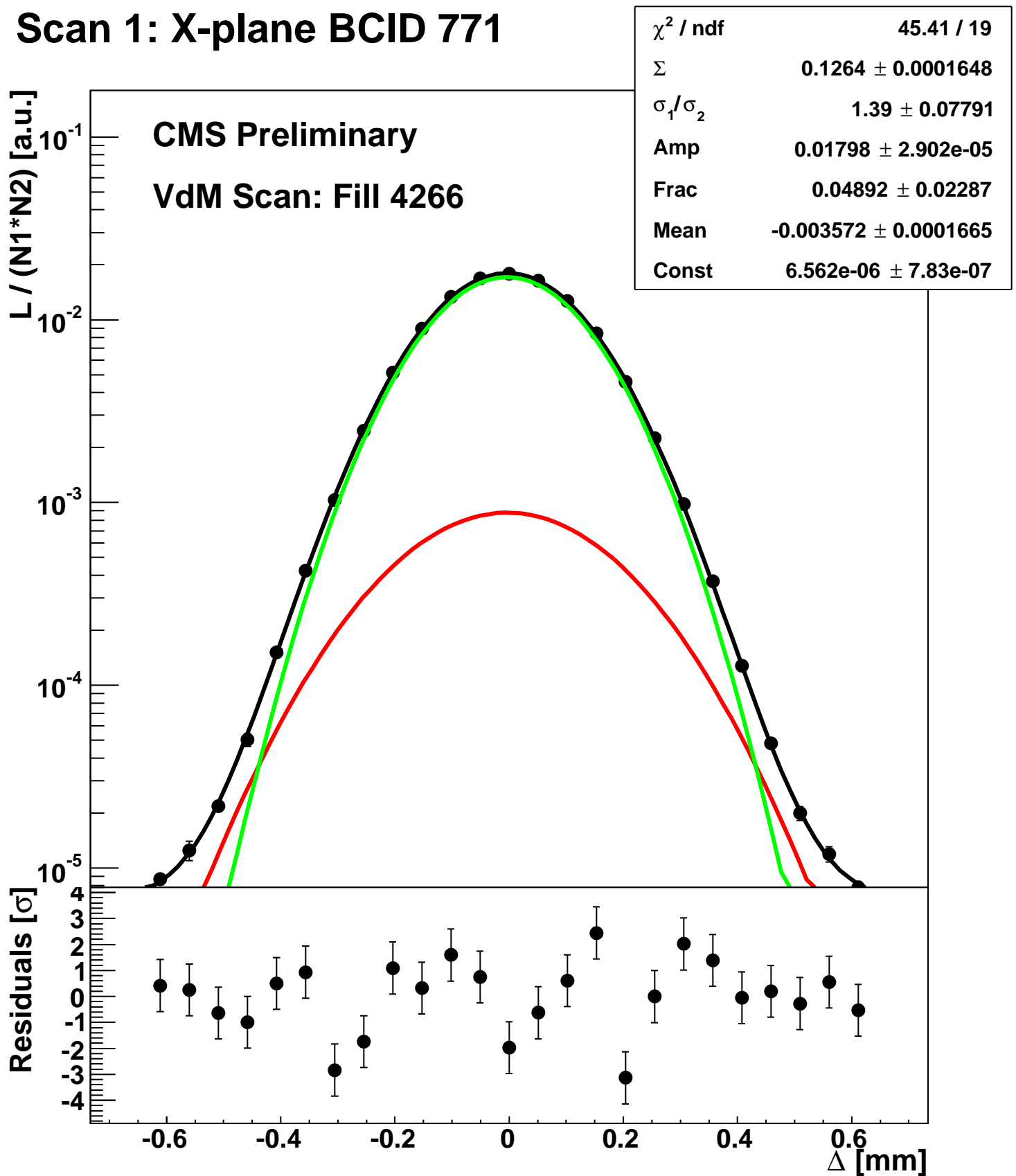
Scan 1: X-plane BCID 291



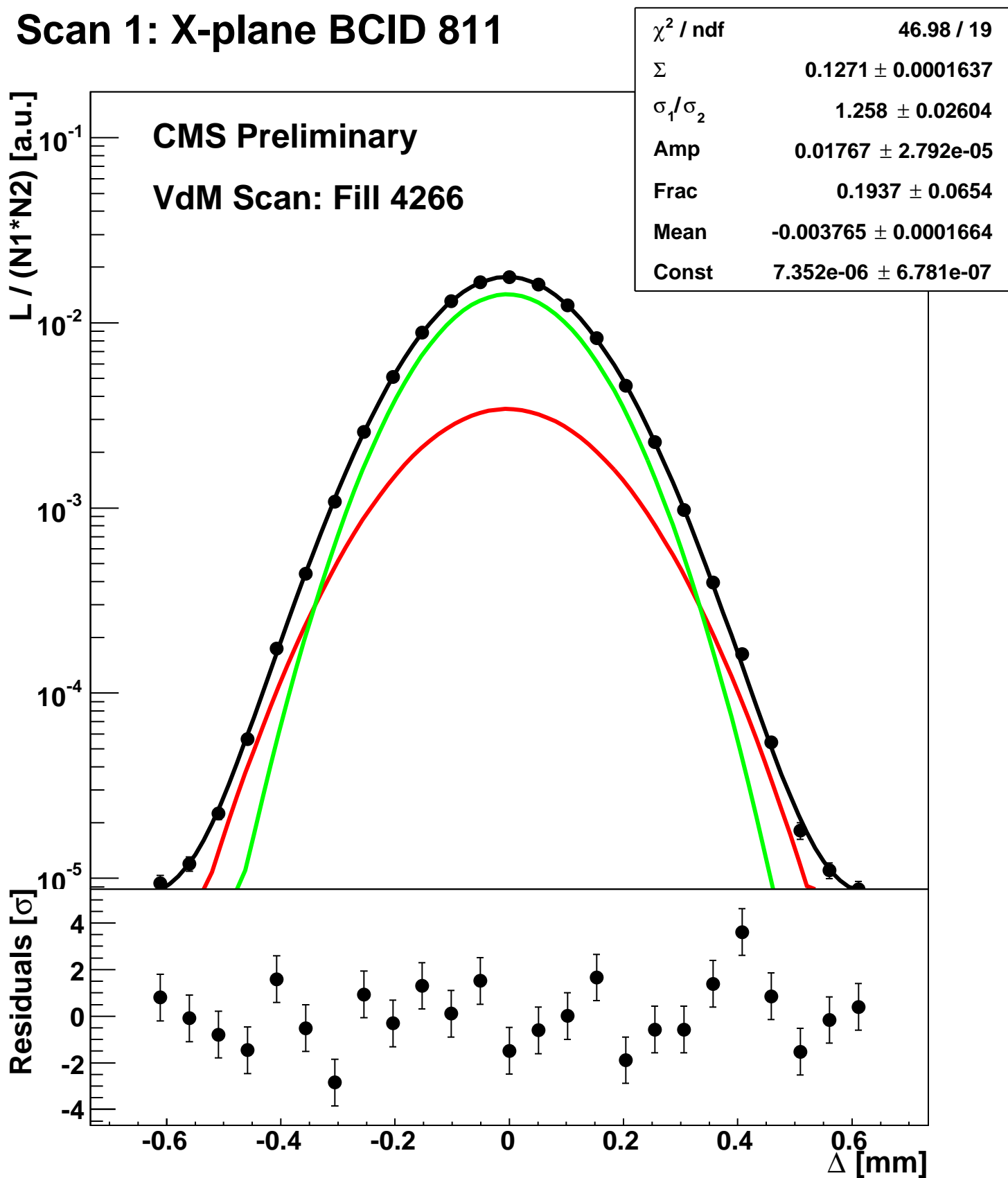
Scan 1: X-plane BCID 51



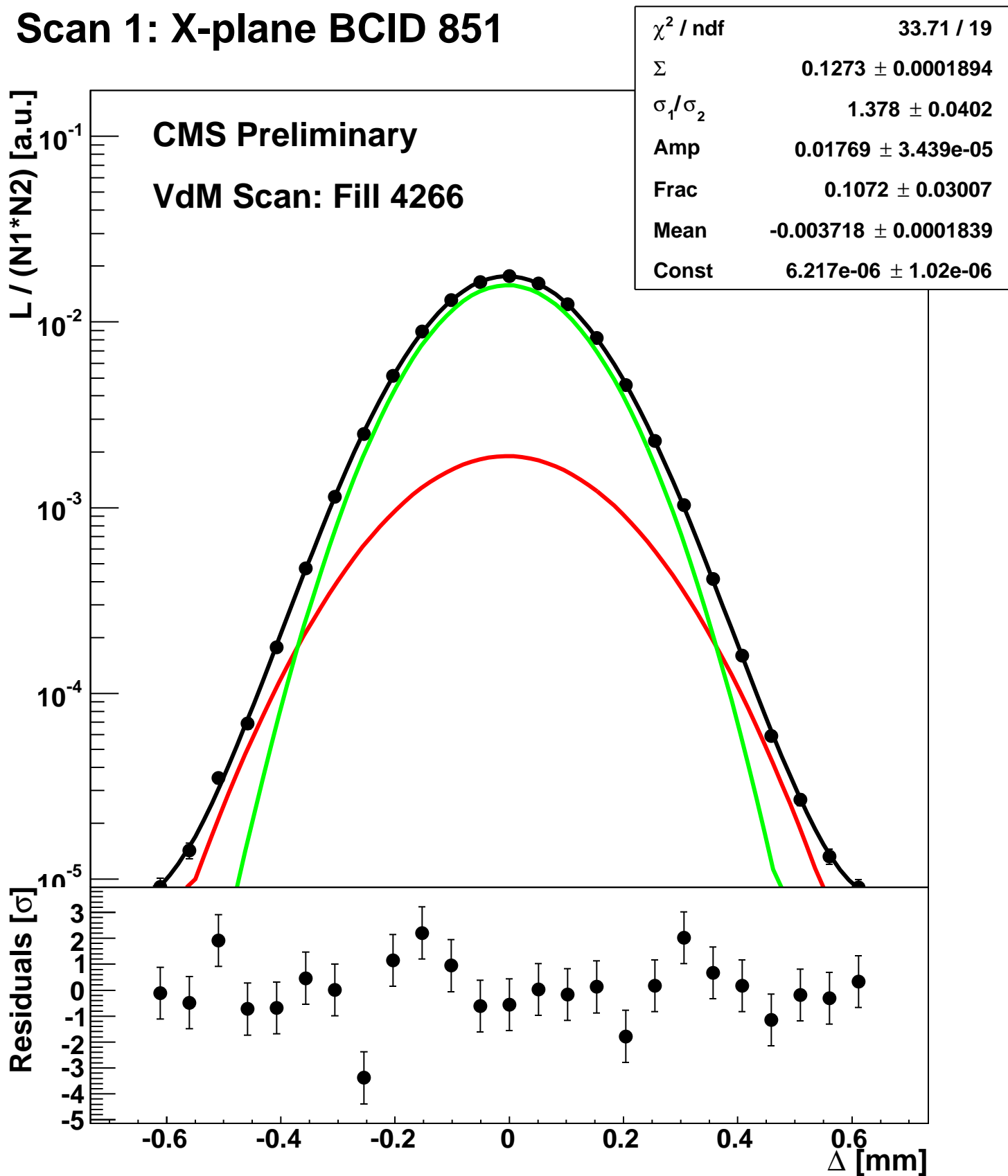
Scan 1: X-plane BCID 771



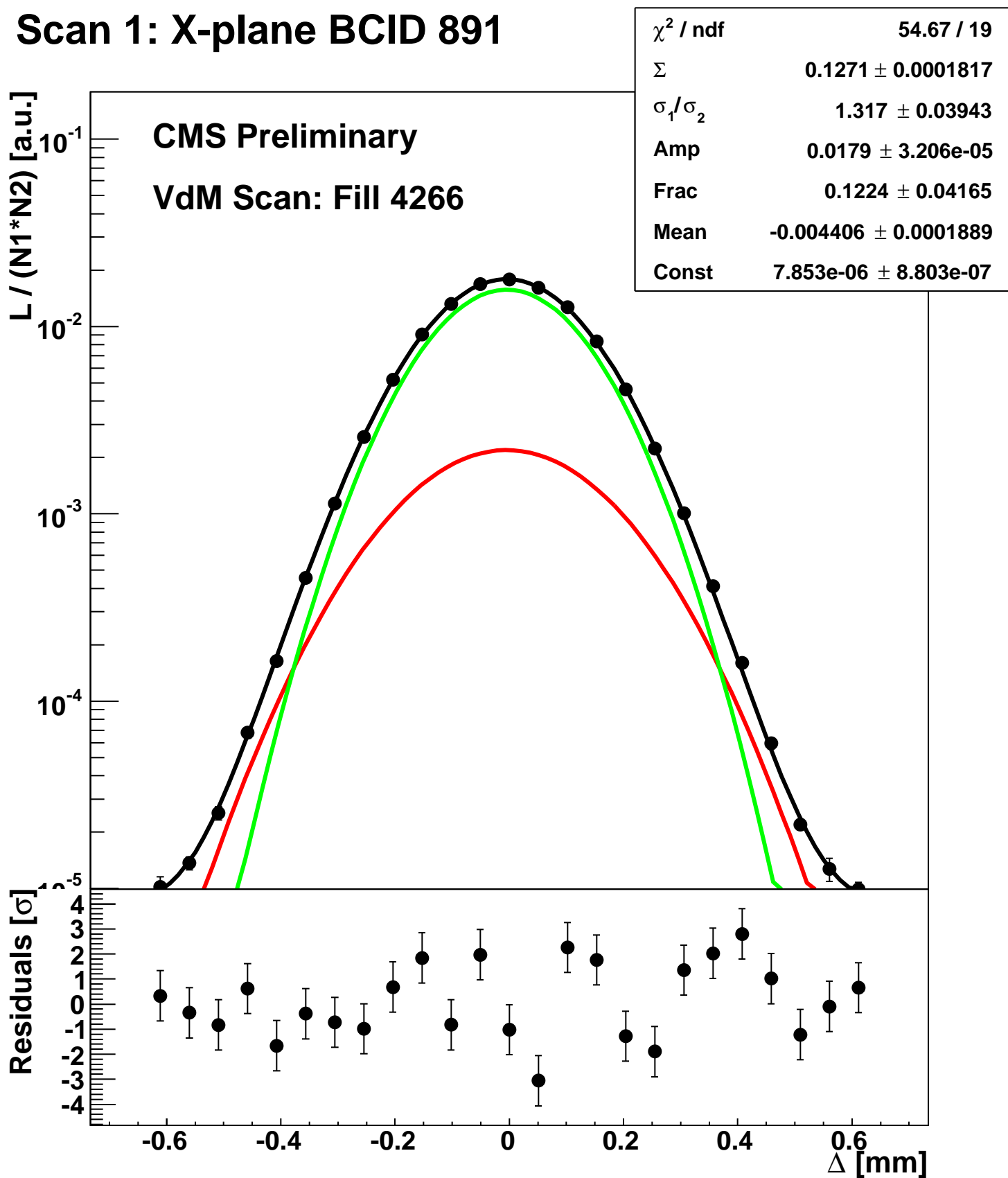
Scan 1: X-plane BCID 811



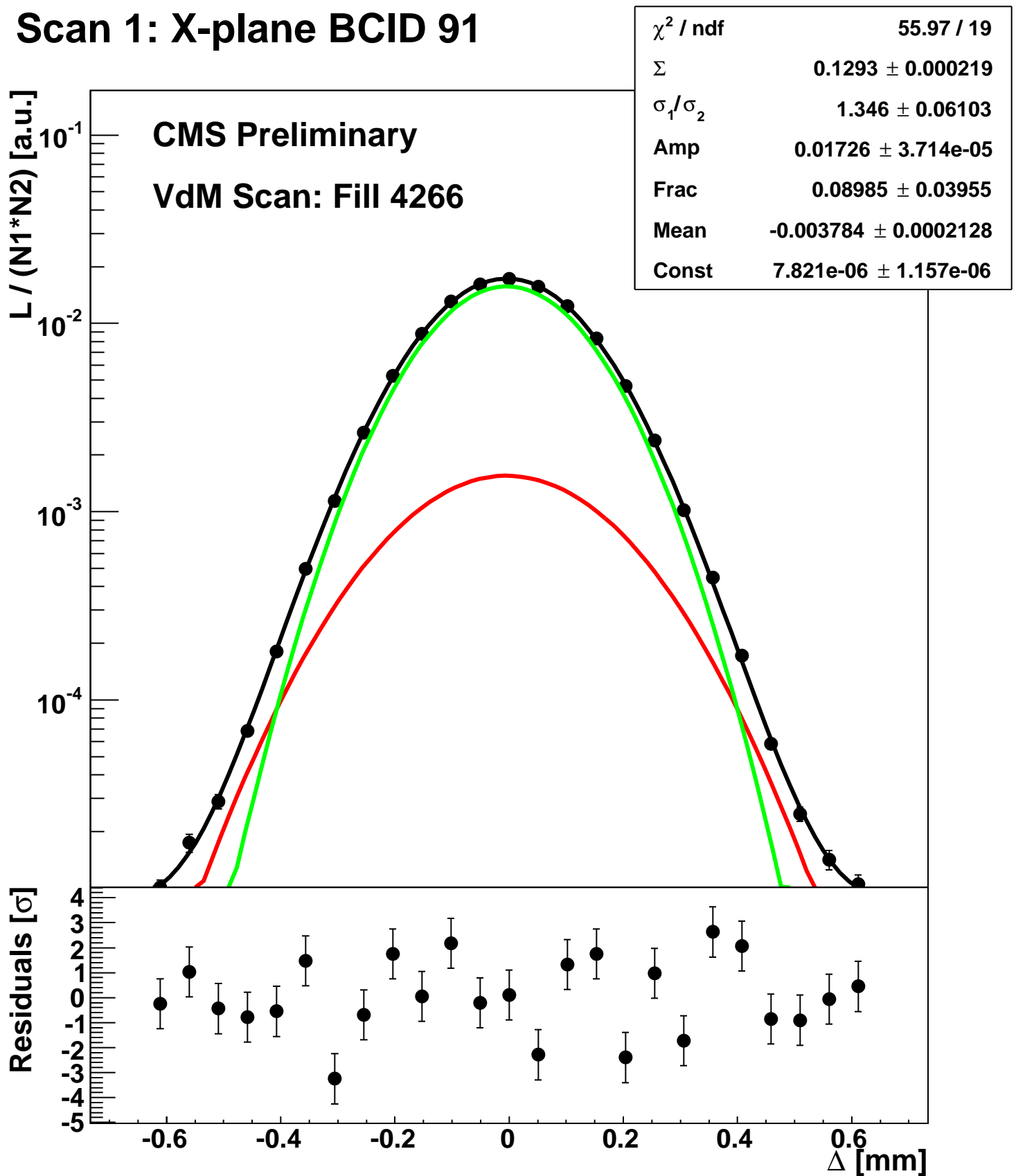
Scan 1: X-plane BCID 851



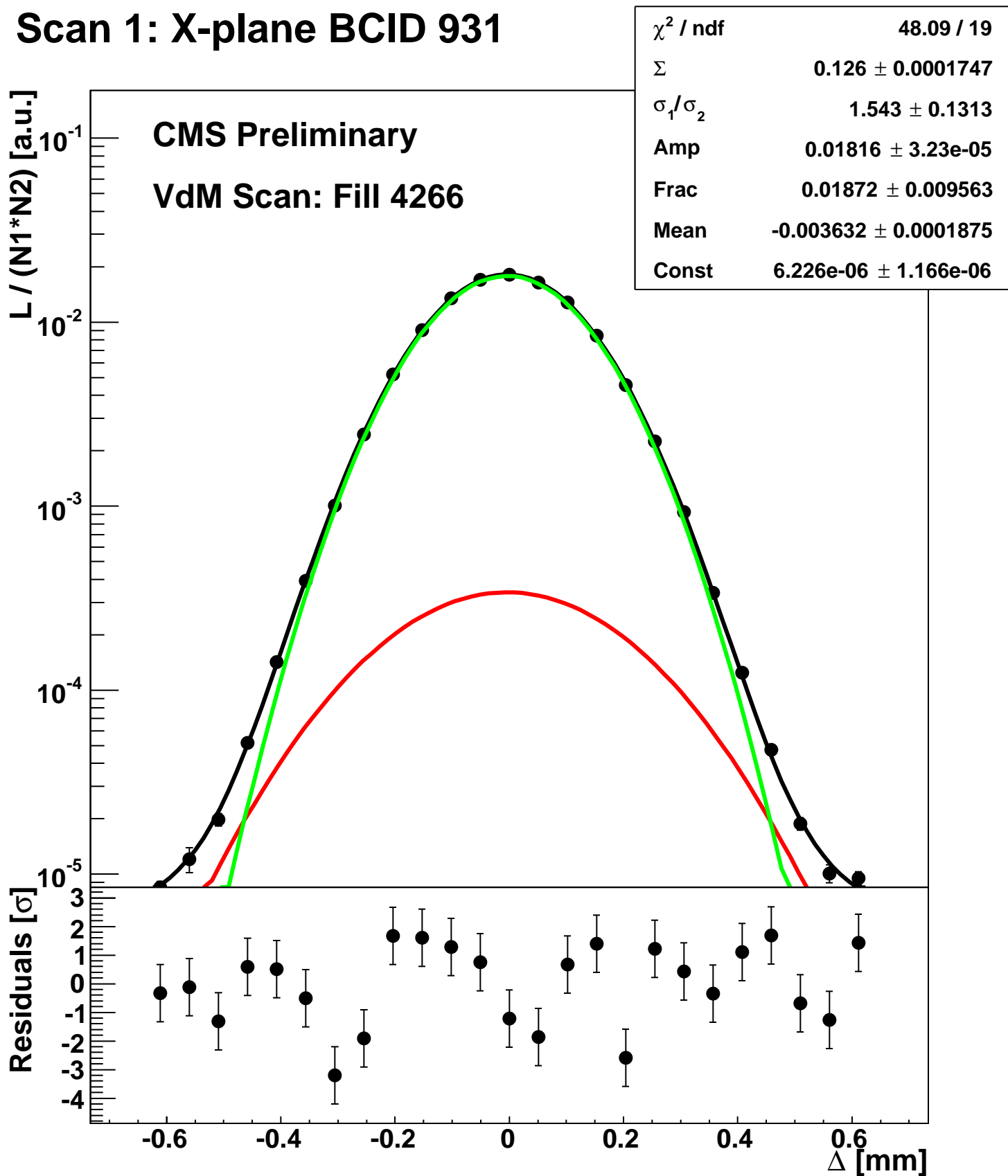
Scan 1: X-plane BCID 891



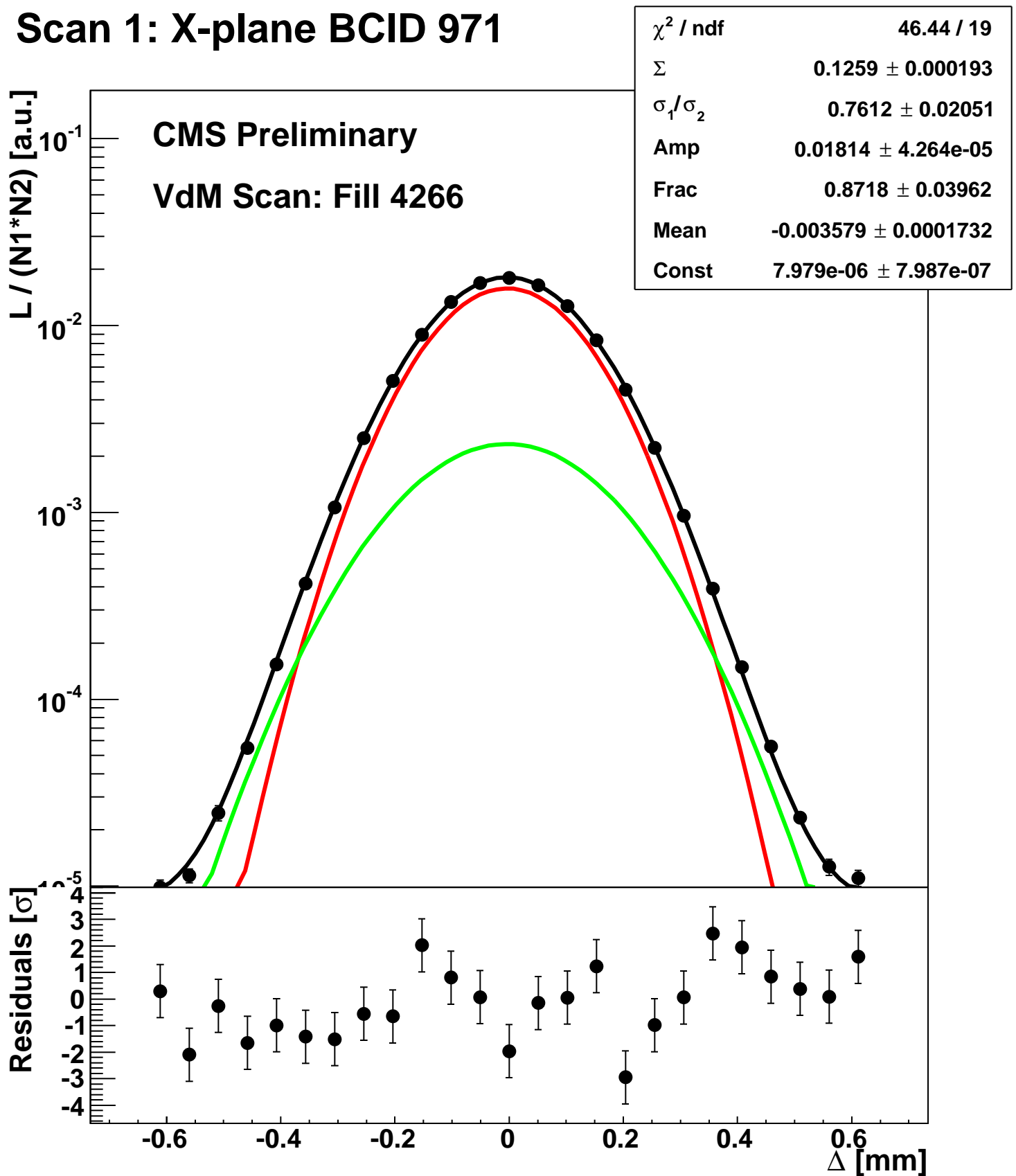
Scan 1: X-plane BCID 91



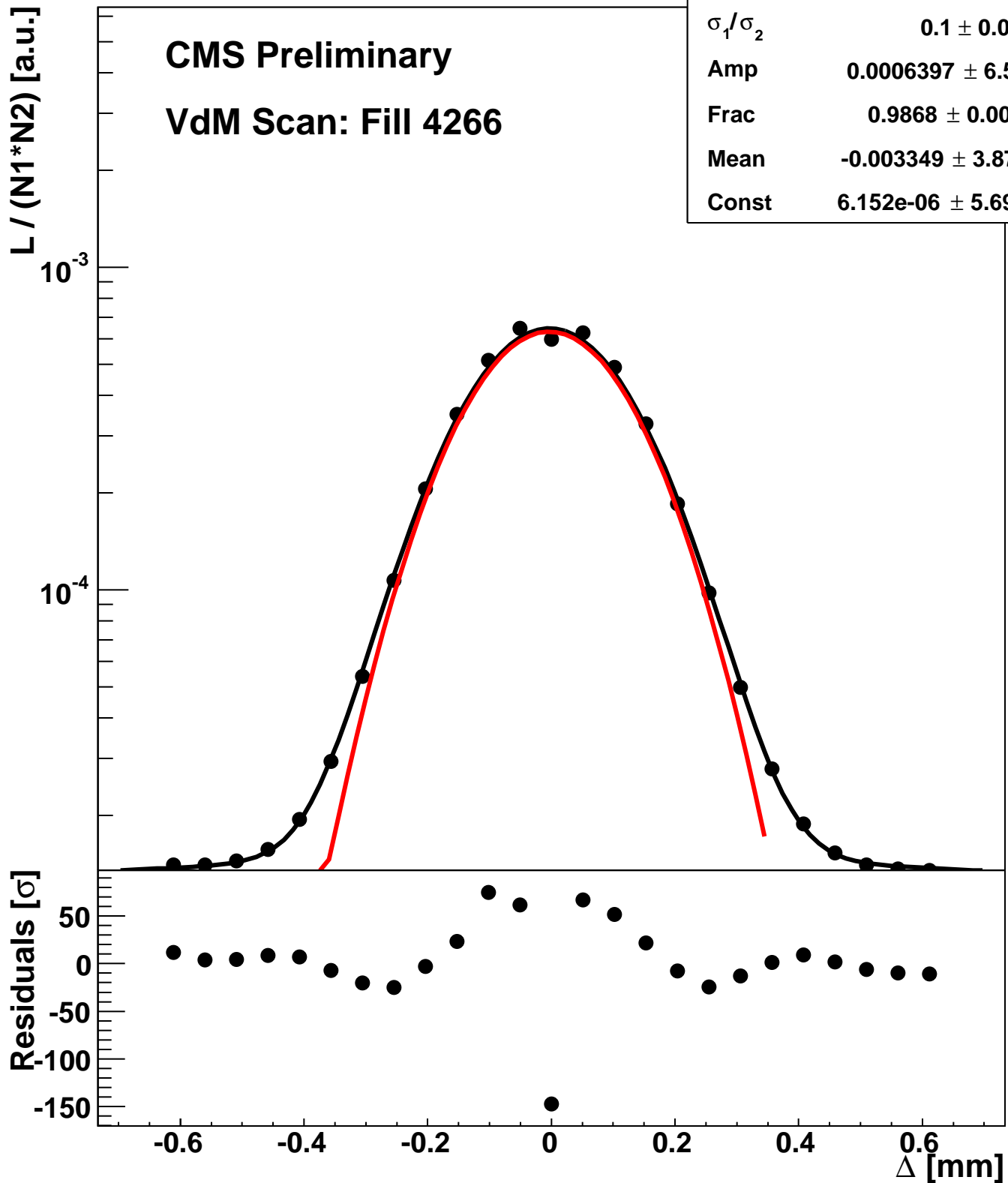
Scan 1: X-plane BCID 931



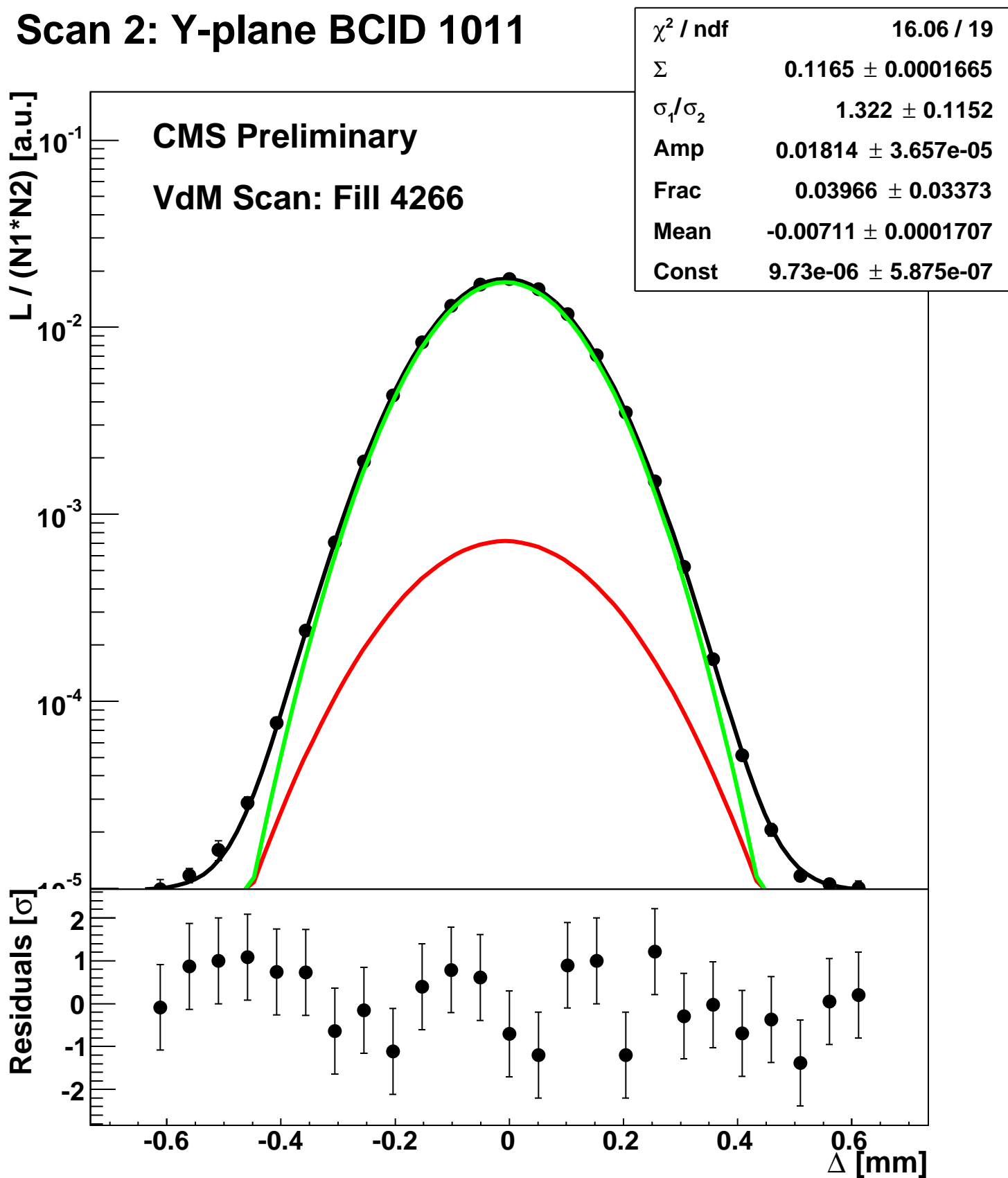
Scan 1: X-plane BCID 971



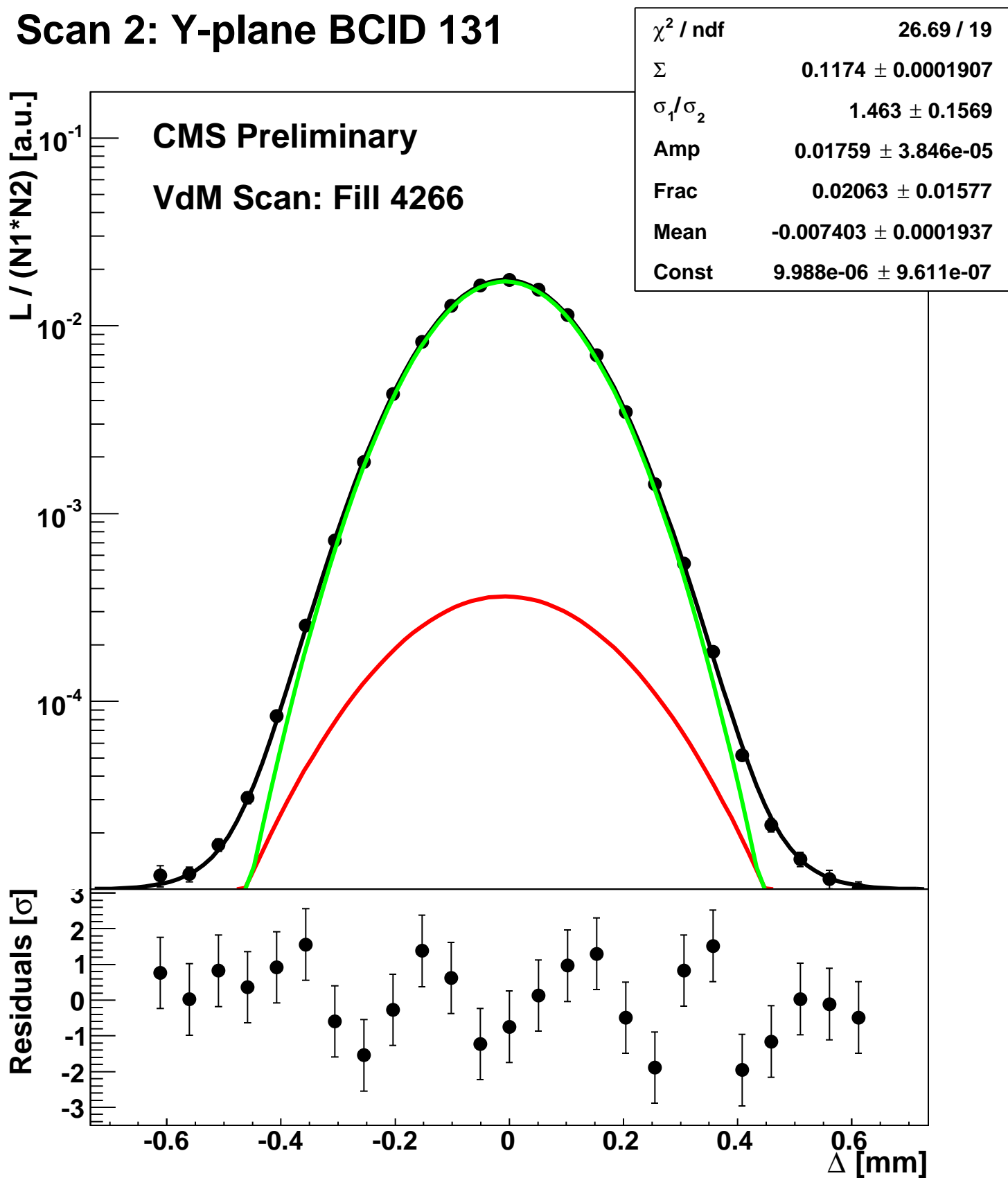
Scan 1: X-plane BCID sum



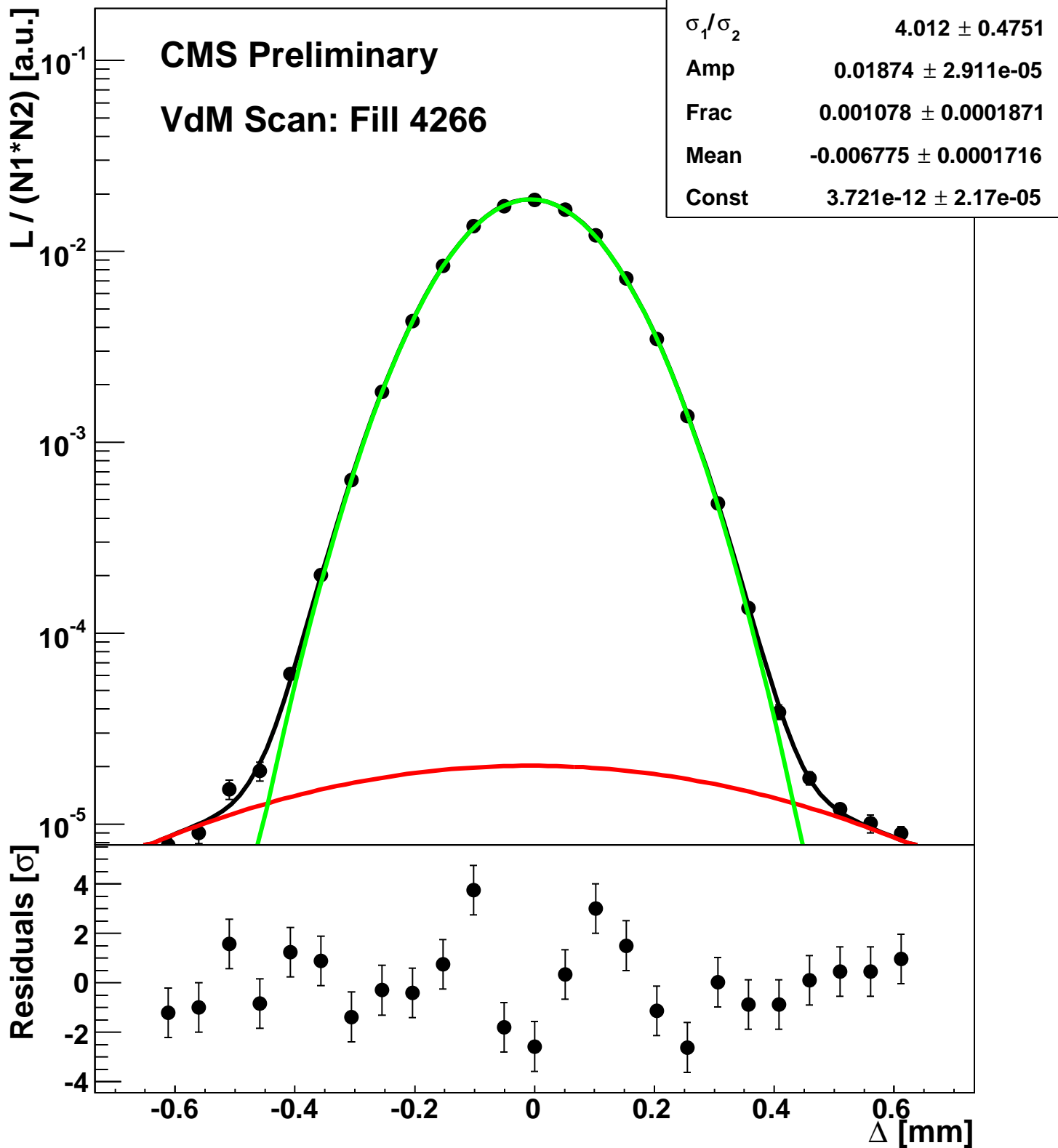
Scan 2: Y-plane BCID 1011



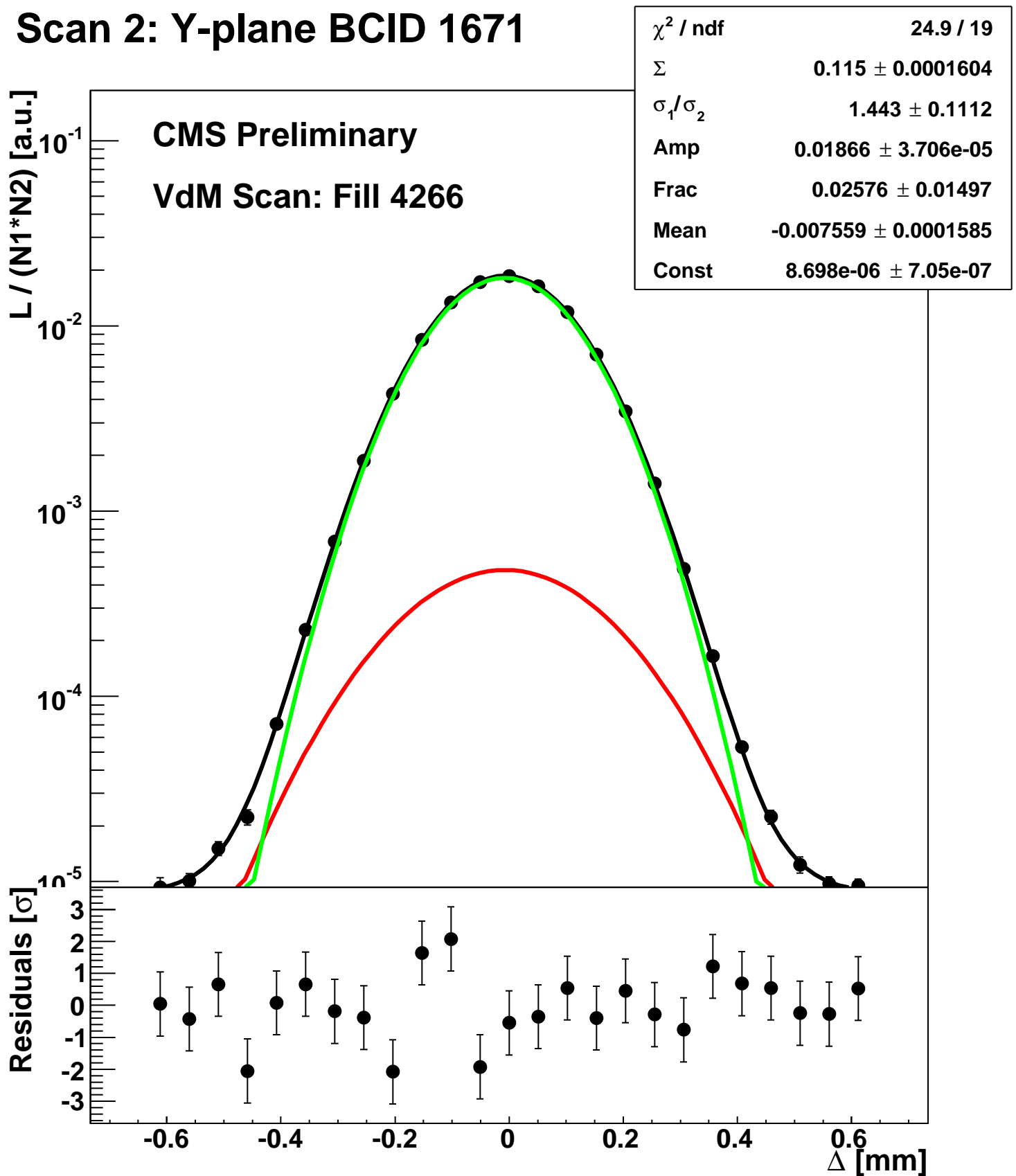
Scan 2: Y-plane BCID 131



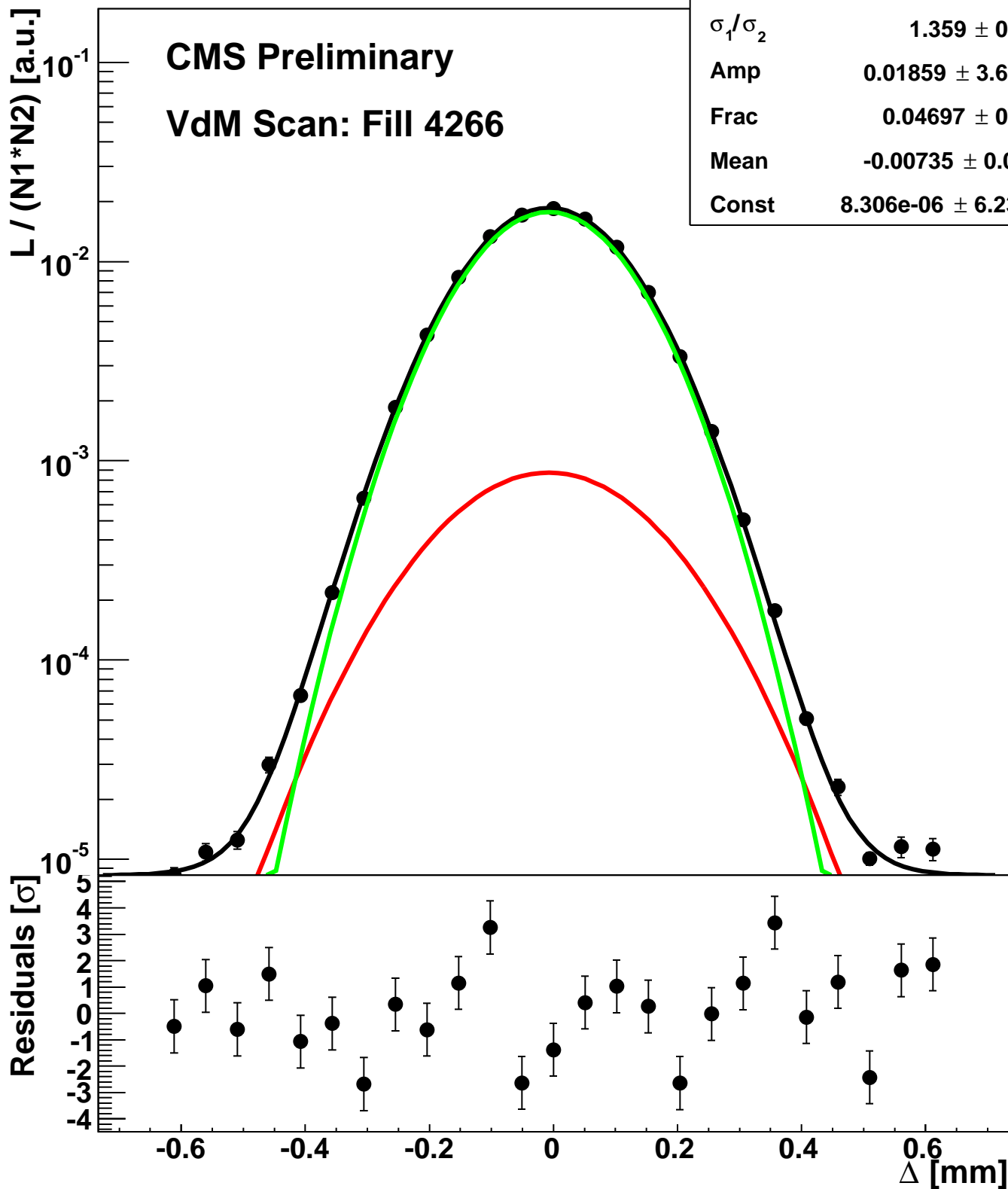
Scan 2: Y-plane BCID 1631



Scan 2: Y-plane BCID 1671

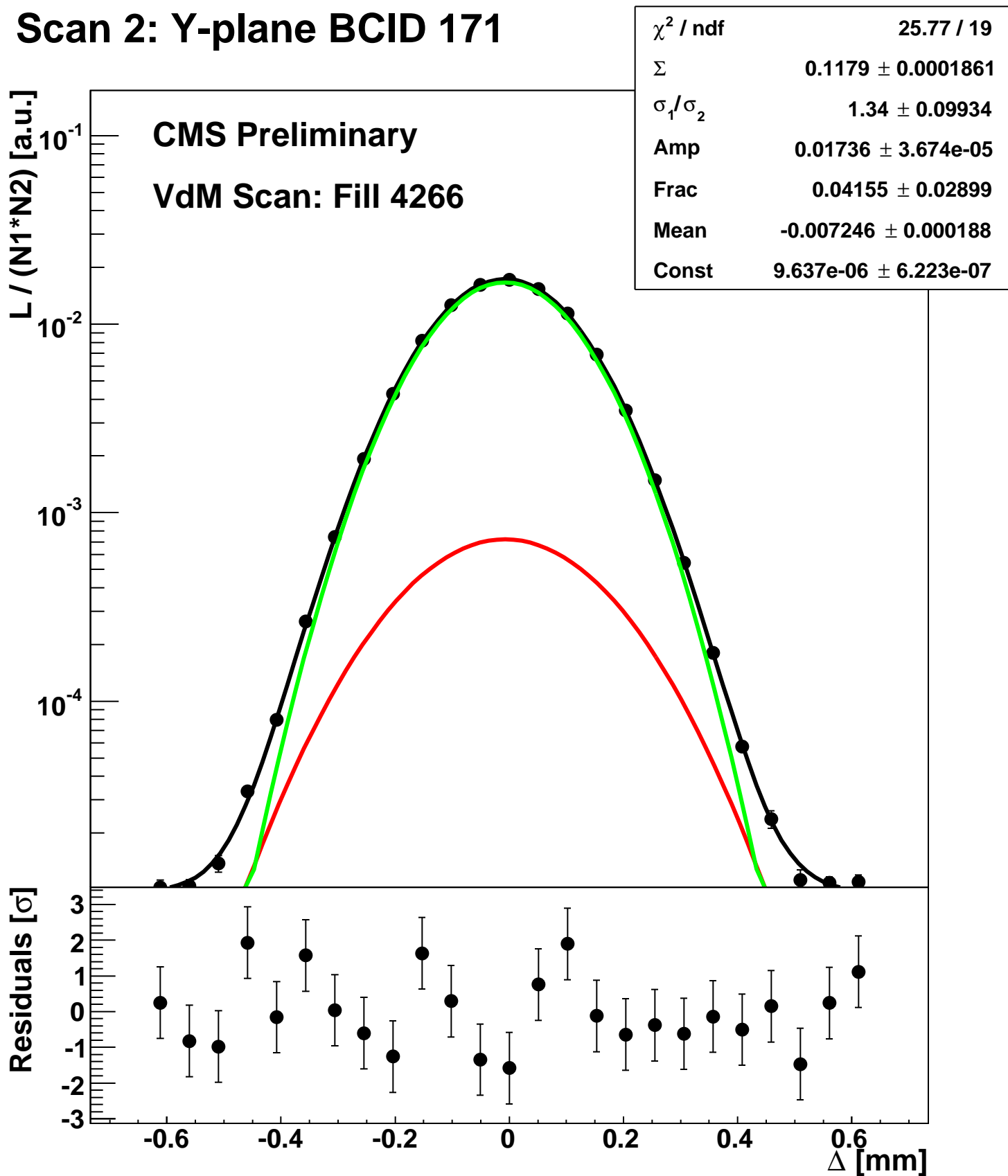


Scan 2: Y-plane BCID 1711

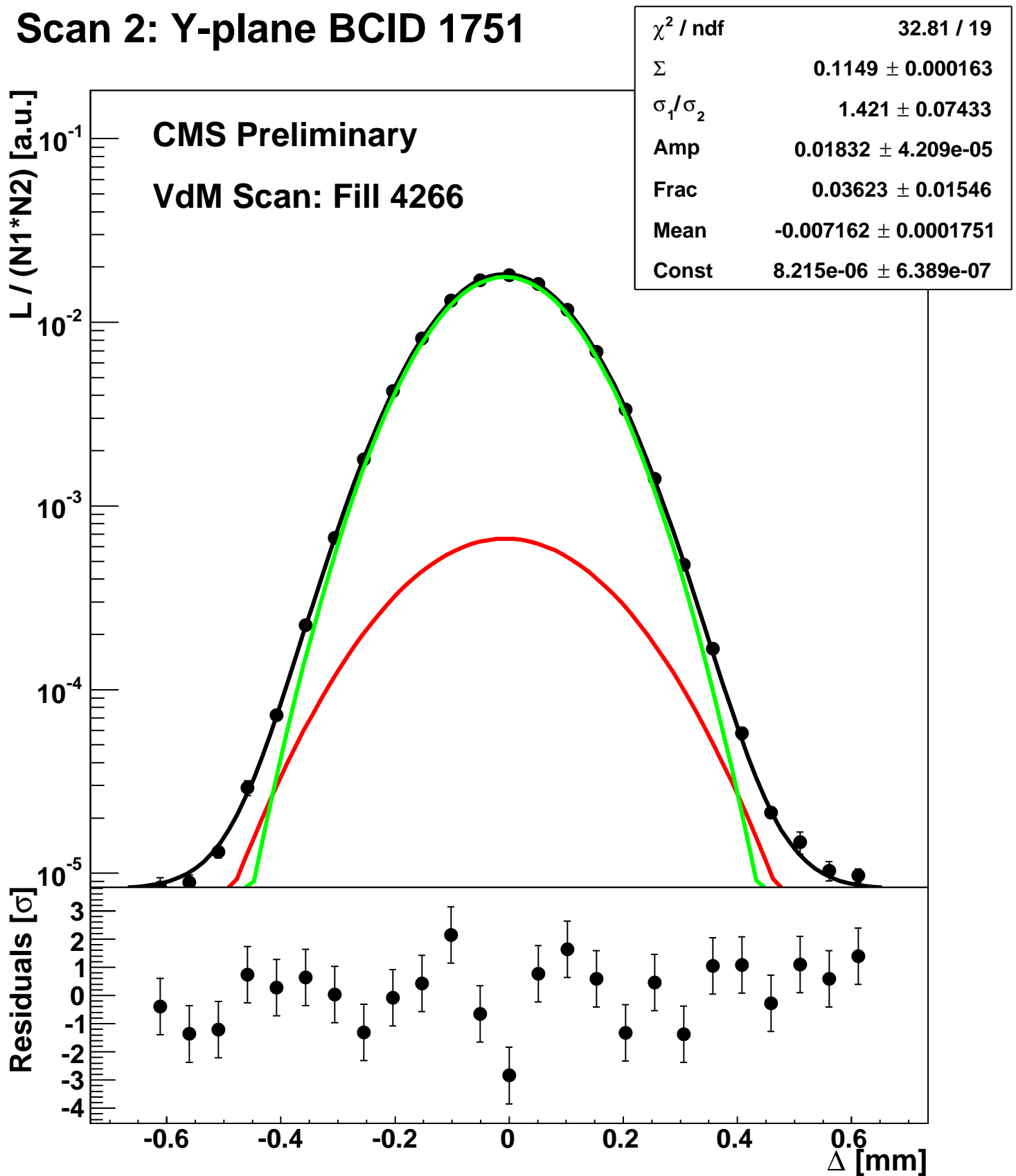


χ^2 / ndf	68.46 / 19
Σ	0.1147 ± 0.0001641
σ_1 / σ_2	1.359 ± 0.07289
Amp	$0.01859 \pm 3.666\text{e-}05$
Frac	0.04697 ± 0.02279
Mean	-0.00735 ± 0.000172
Const	$8.306\text{e-}06 \pm 6.237\text{e-}07$

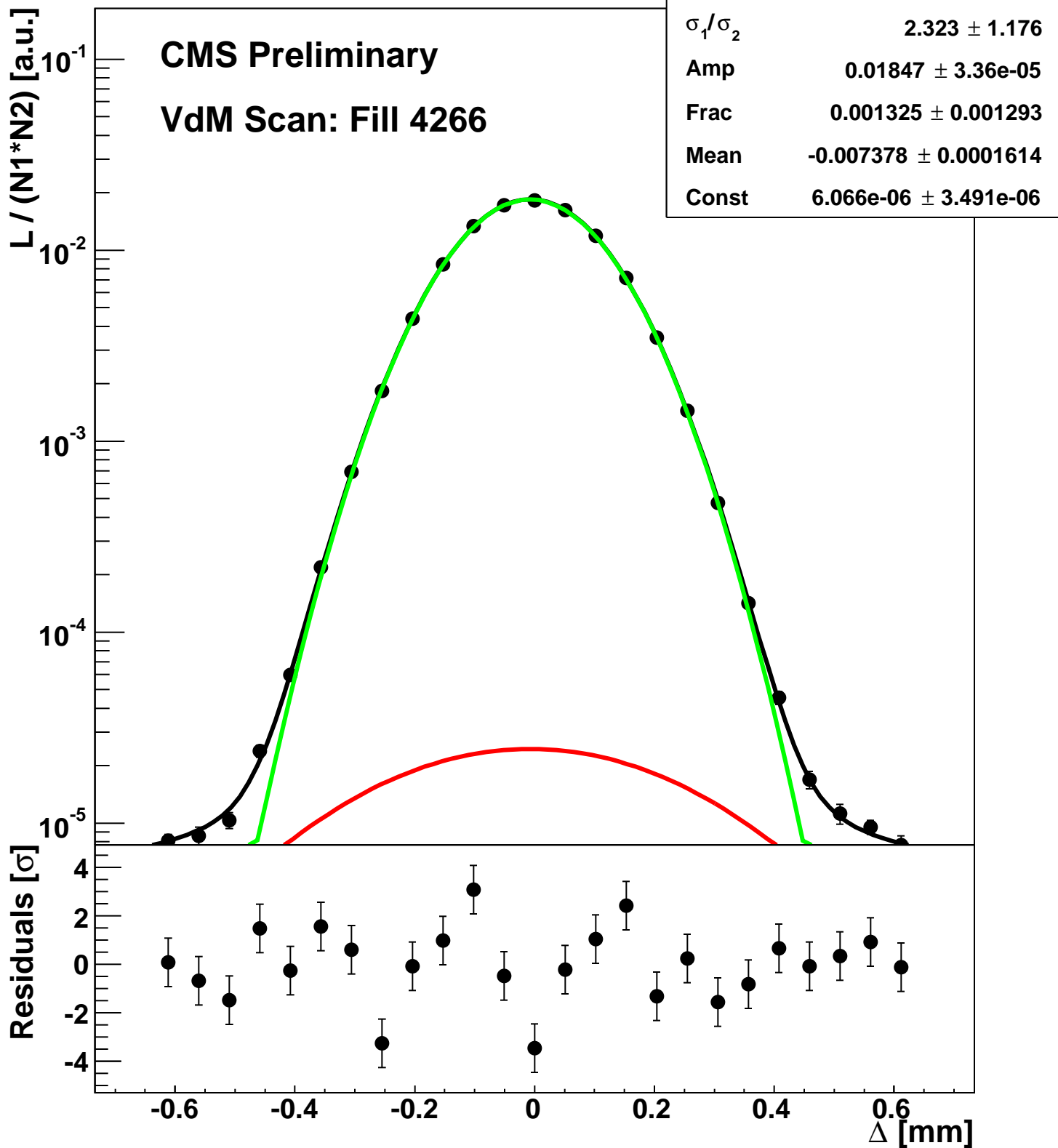
Scan 2: Y-plane BCID 171



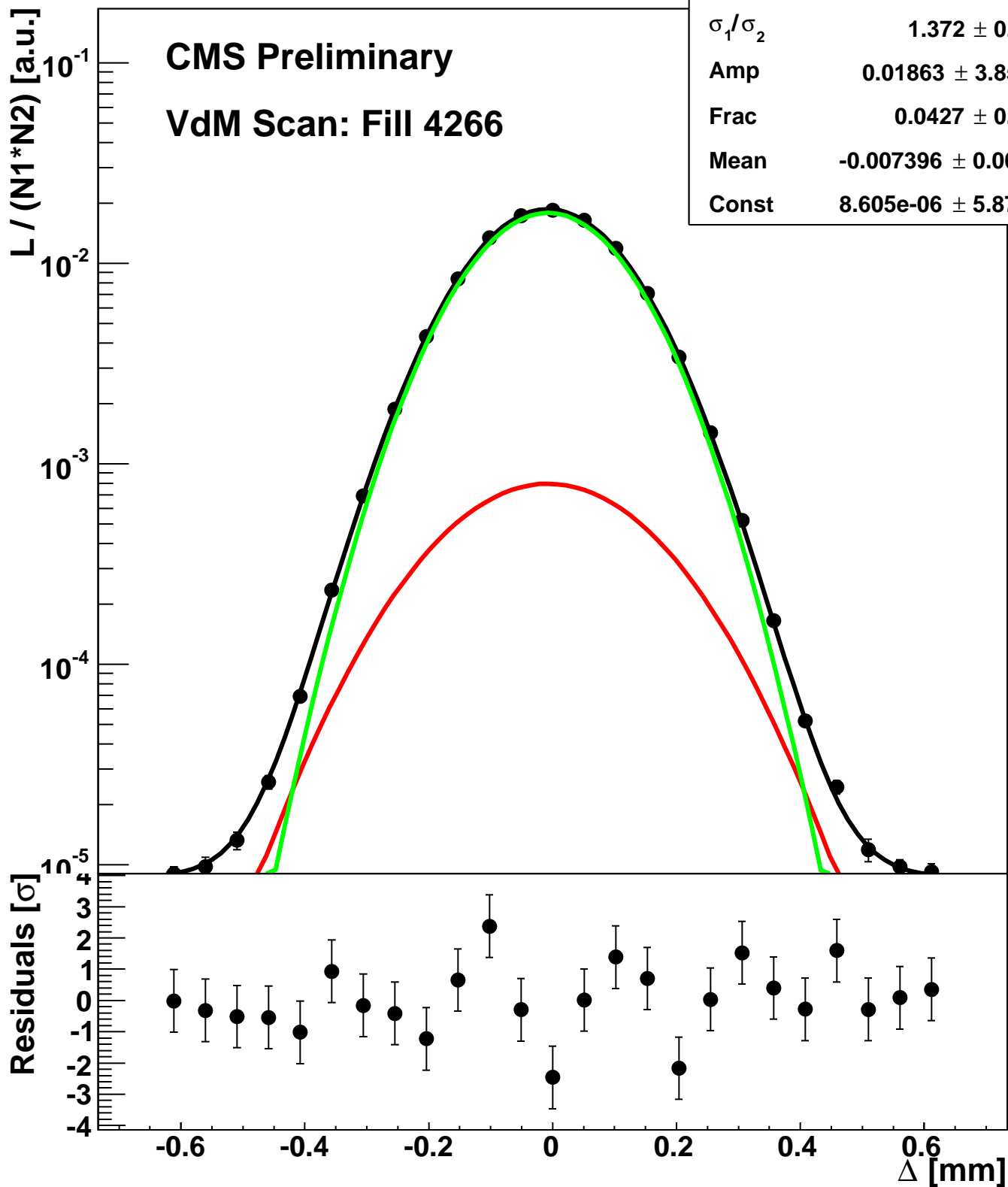
Scan 2: Y-plane BCID 1751



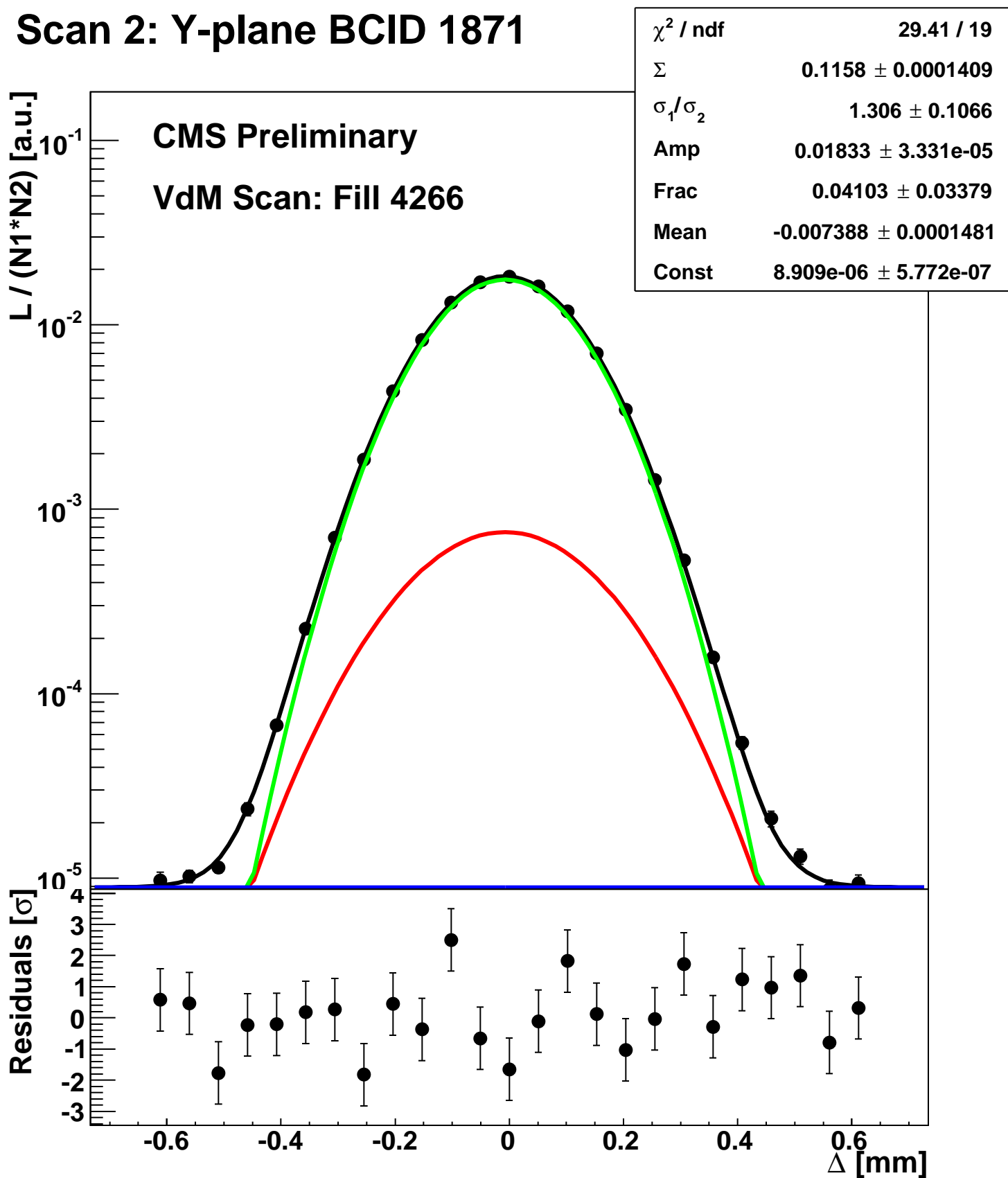
Scan 2: Y-plane BCID 1791



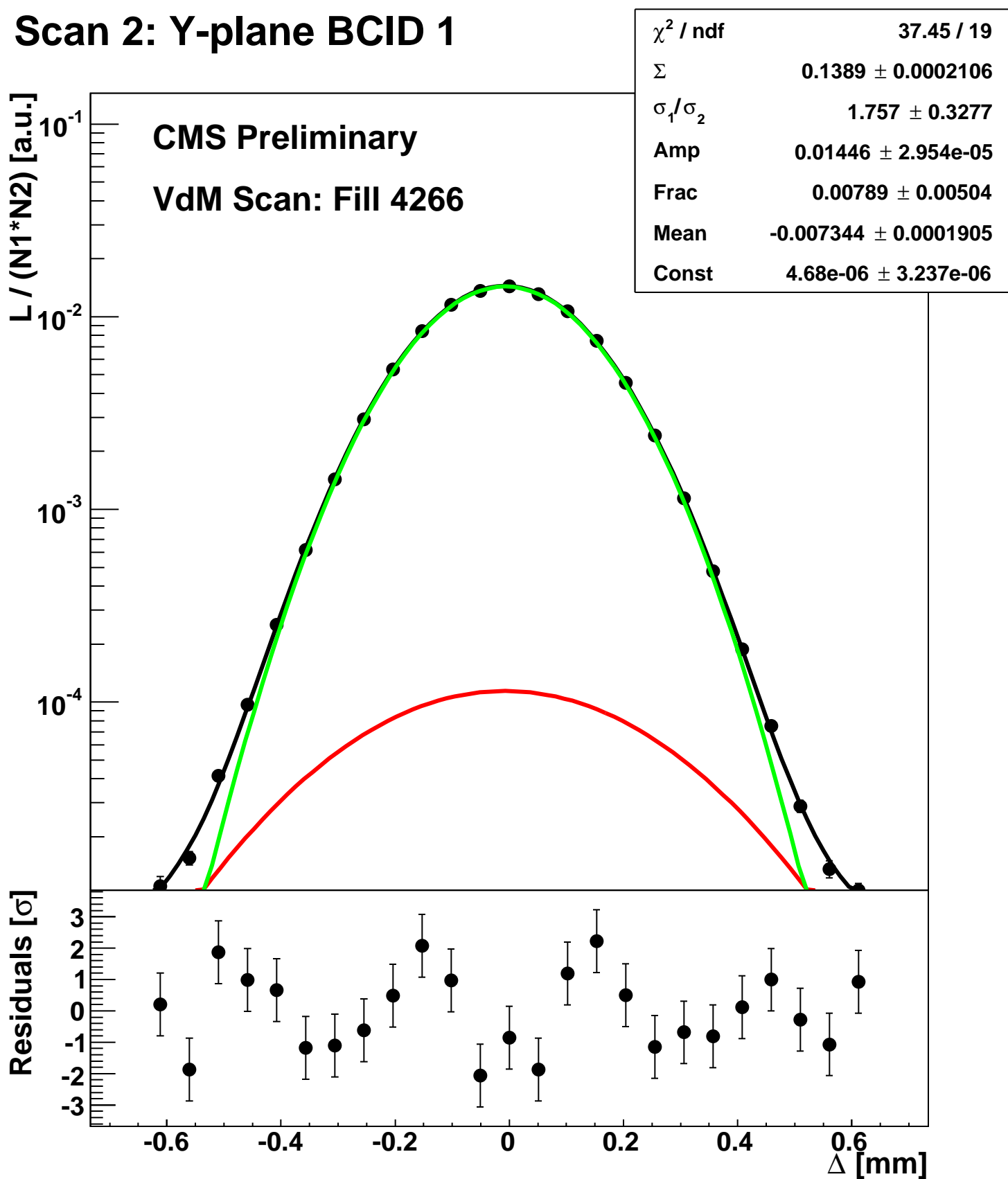
Scan 2: Y-plane BCID 1831



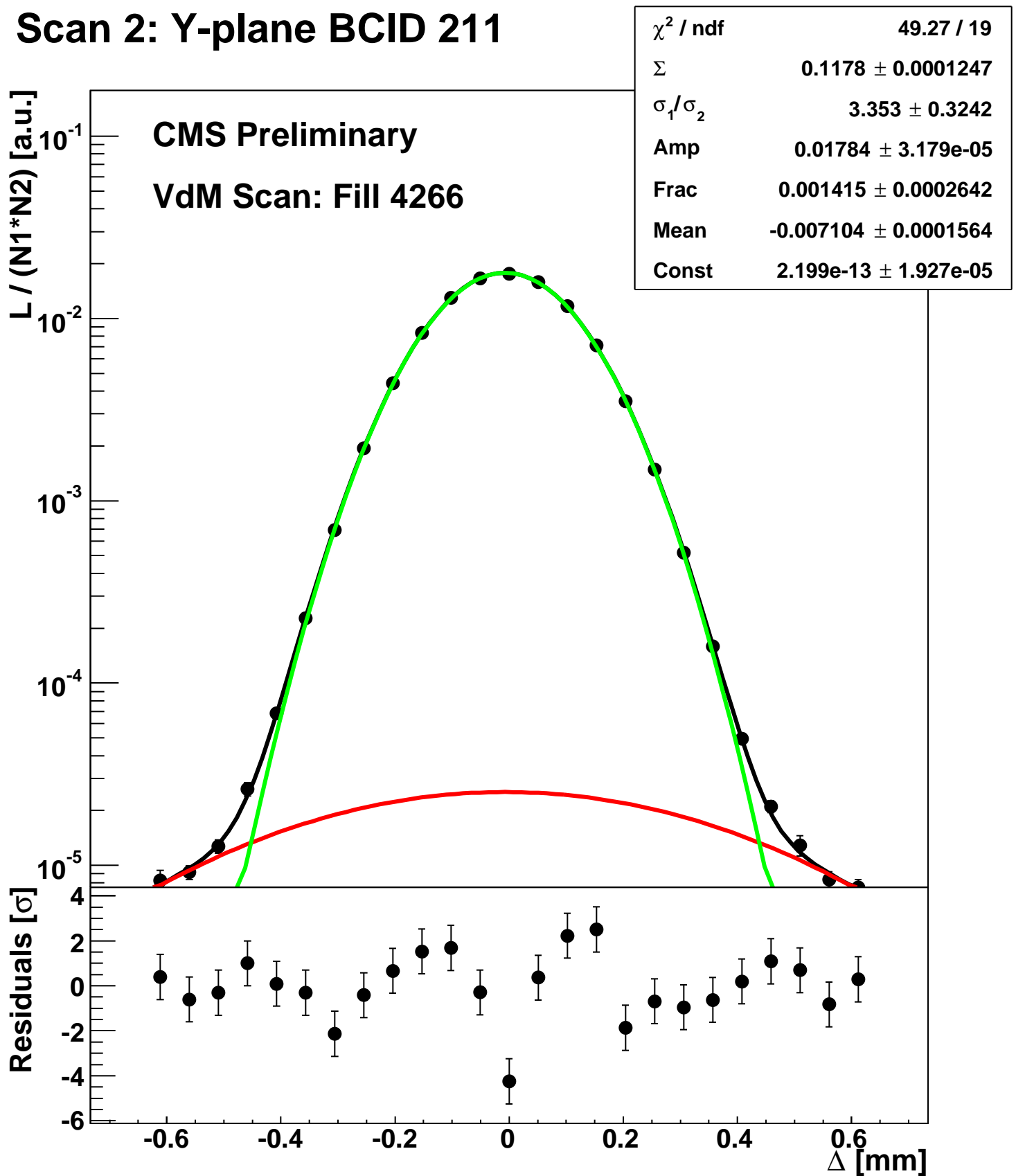
Scan 2: Y-plane BCID 1871



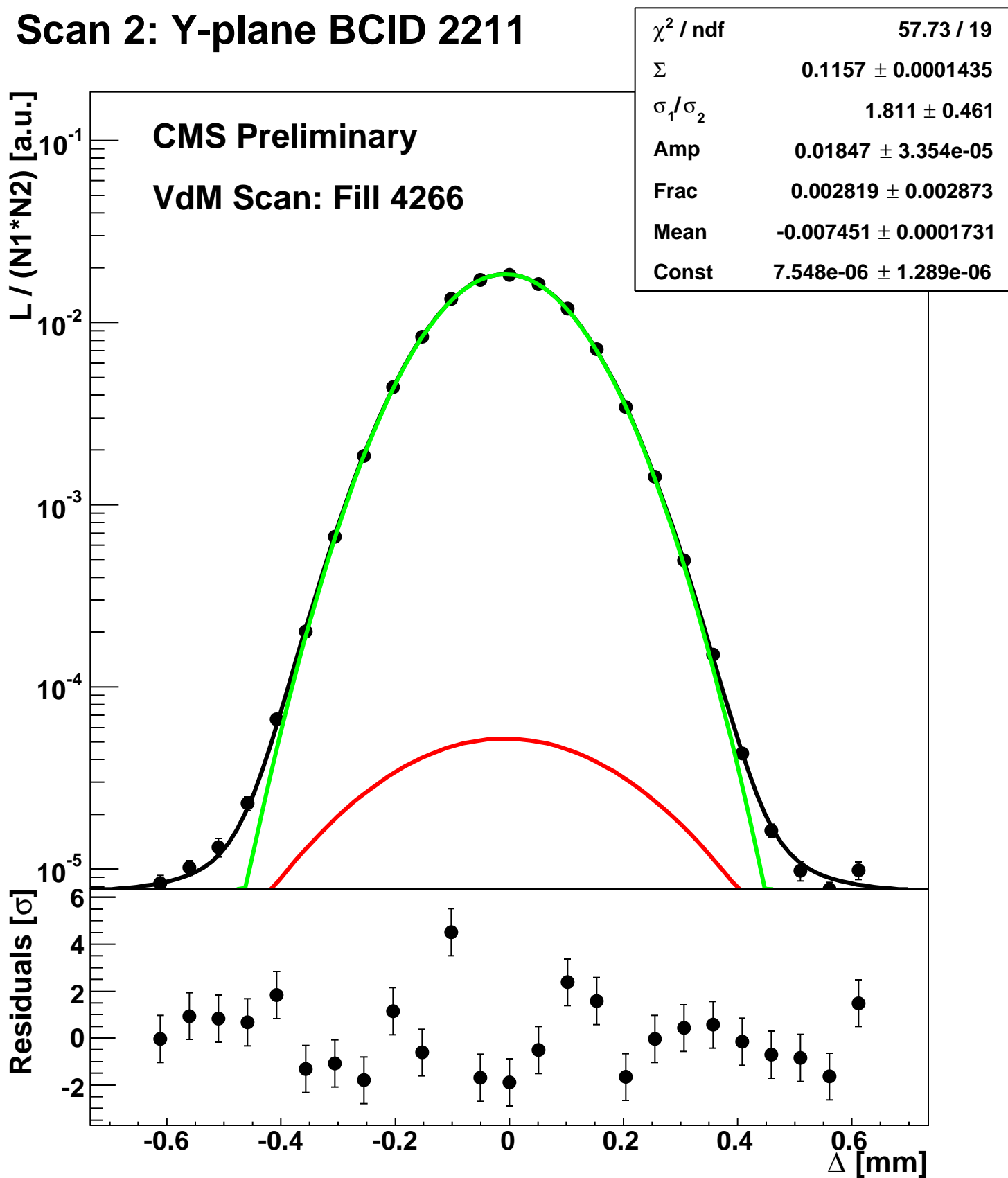
Scan 2: Y-plane BCID 1



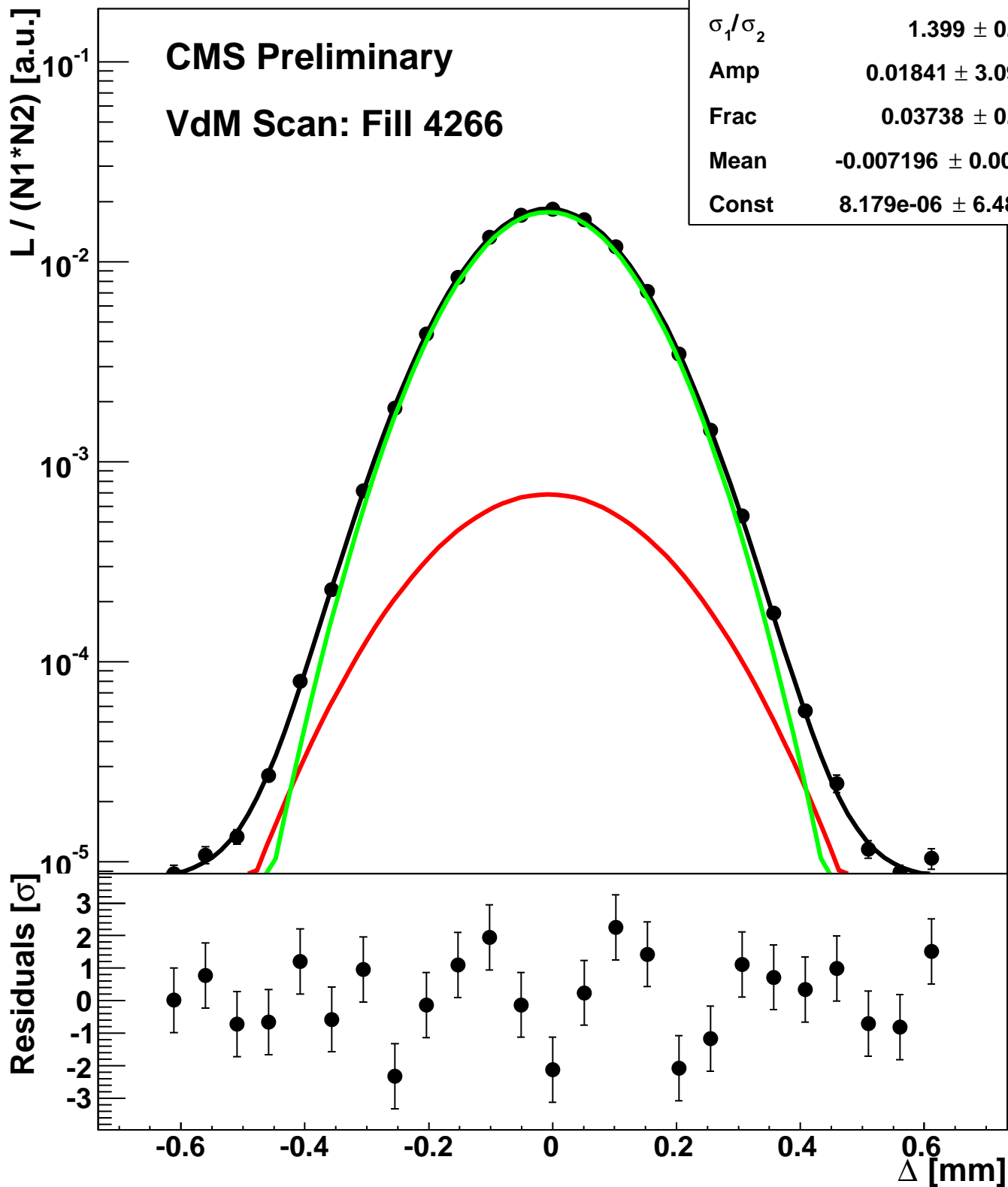
Scan 2: Y-plane BCID 211



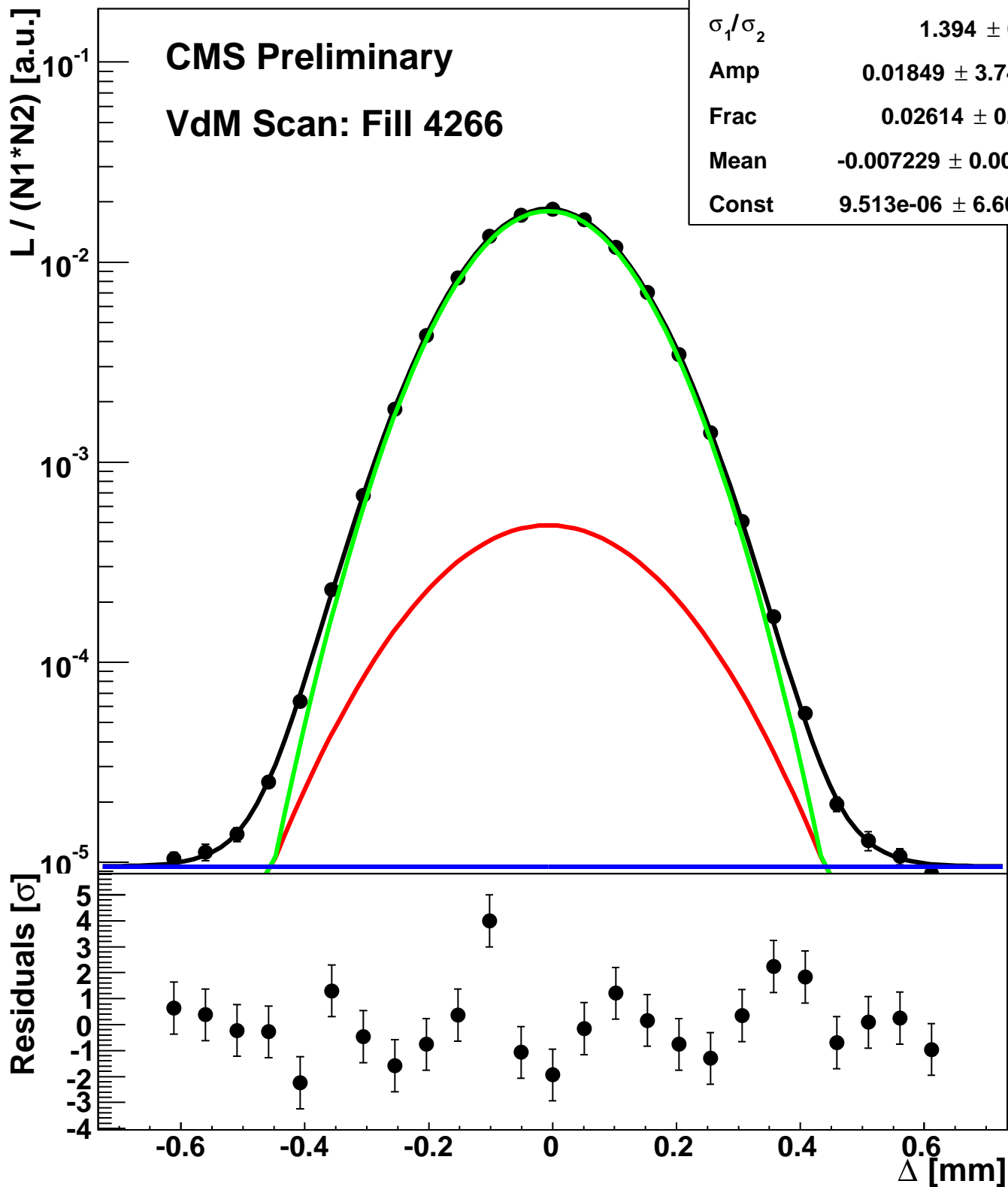
Scan 2: Y-plane BCID 2211



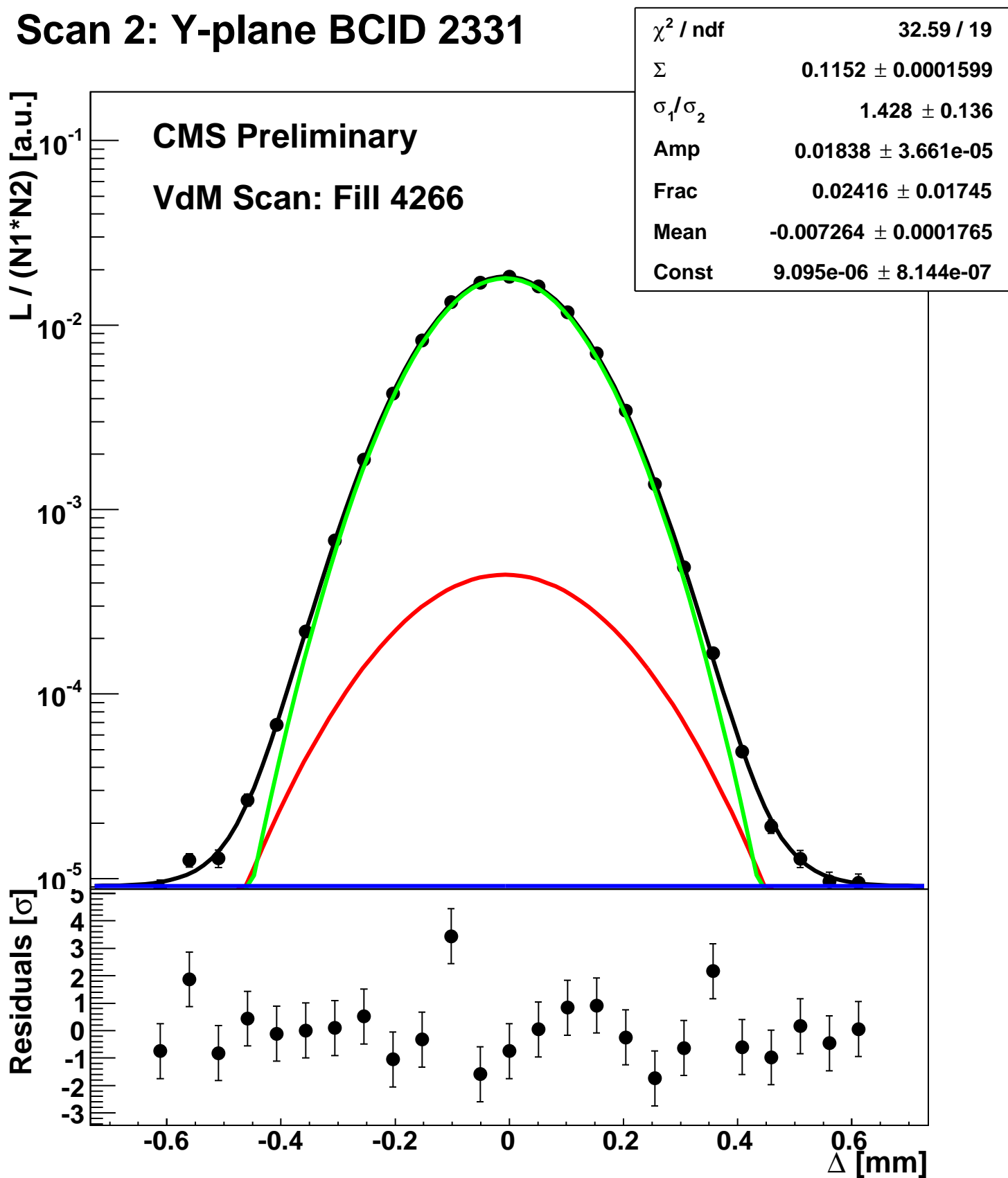
Scan 2: Y-plane BCID 2251



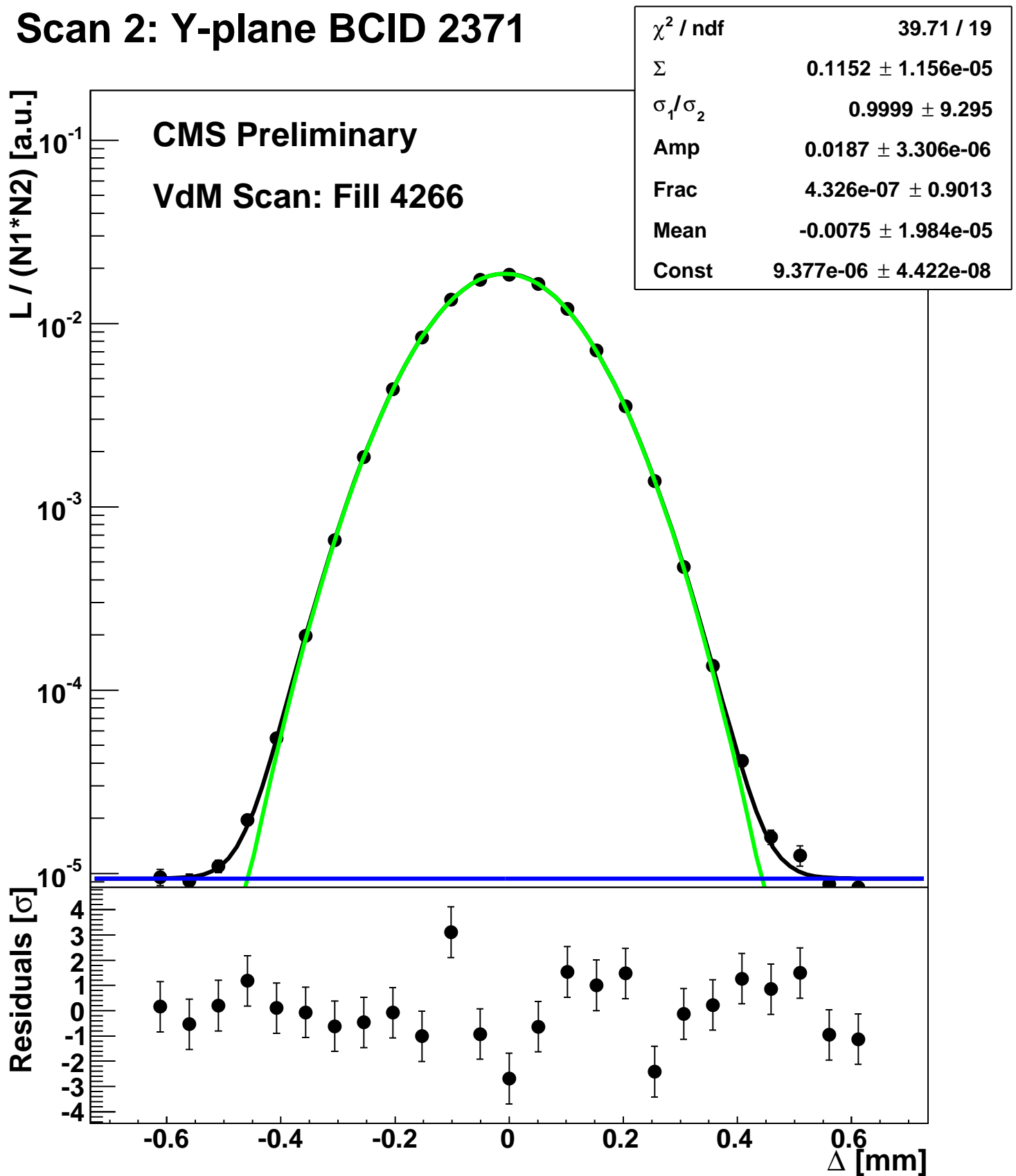
Scan 2: Y-plane BCID 2291



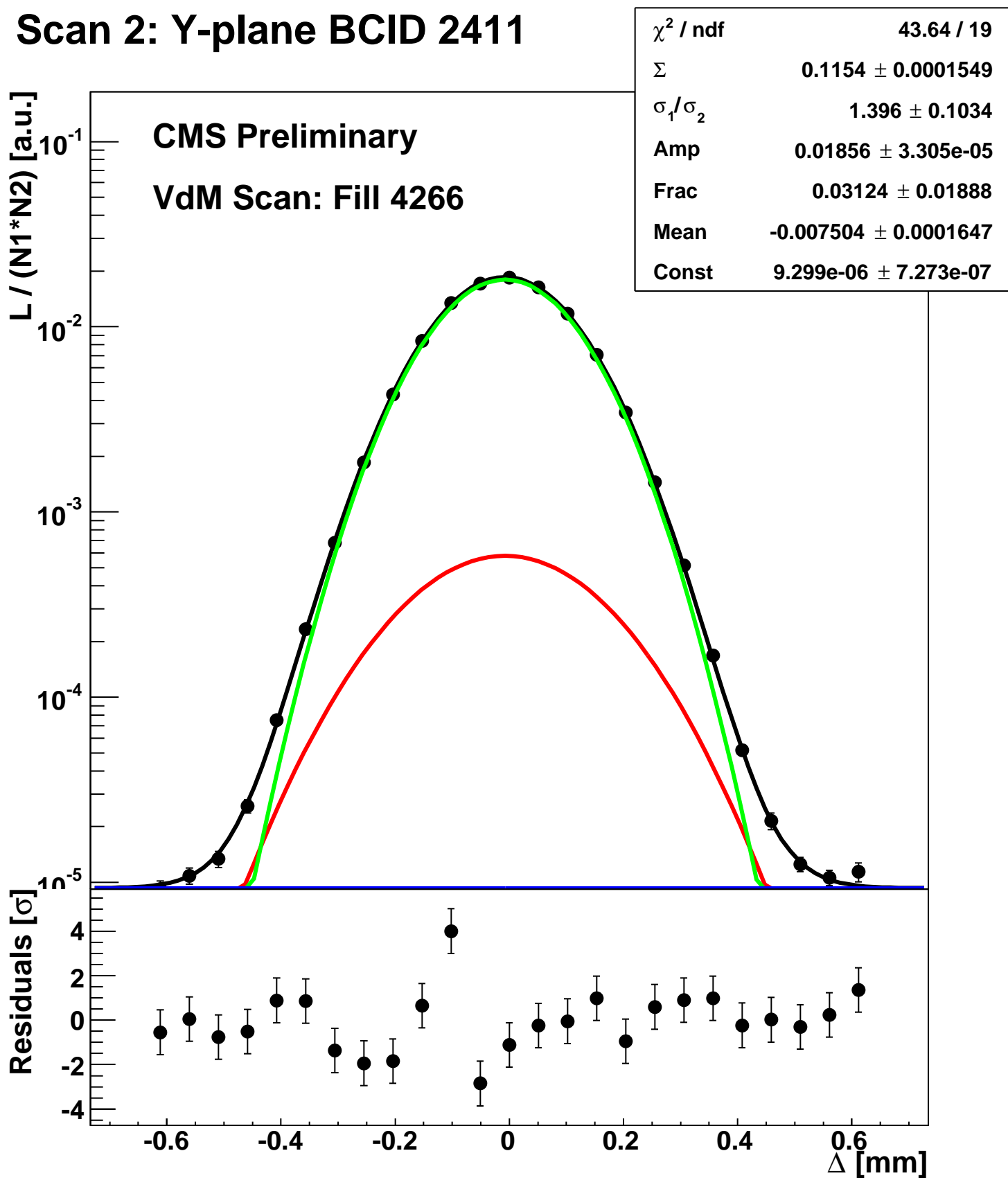
Scan 2: Y-plane BCID 2331



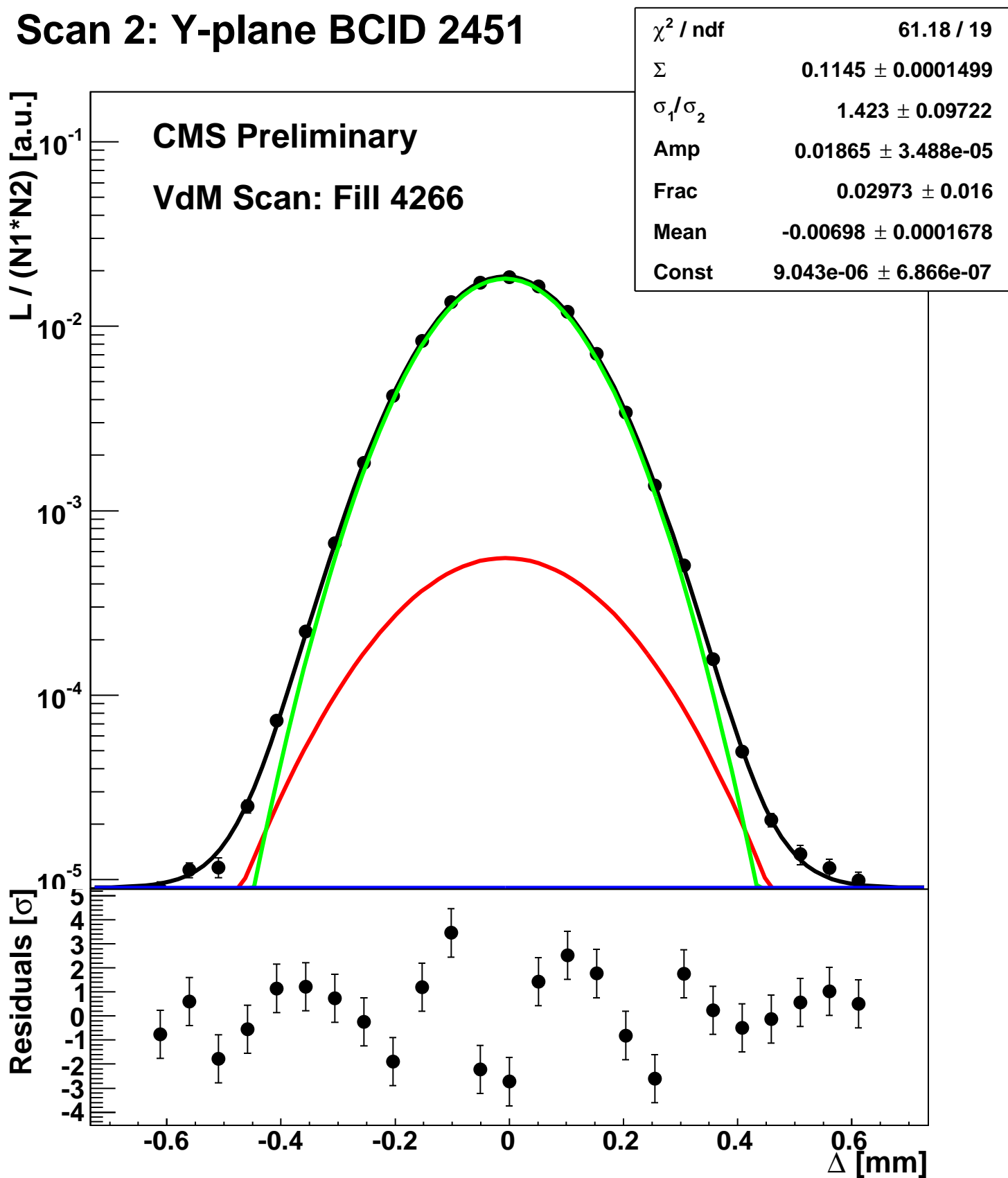
Scan 2: Y-plane BCID 2371



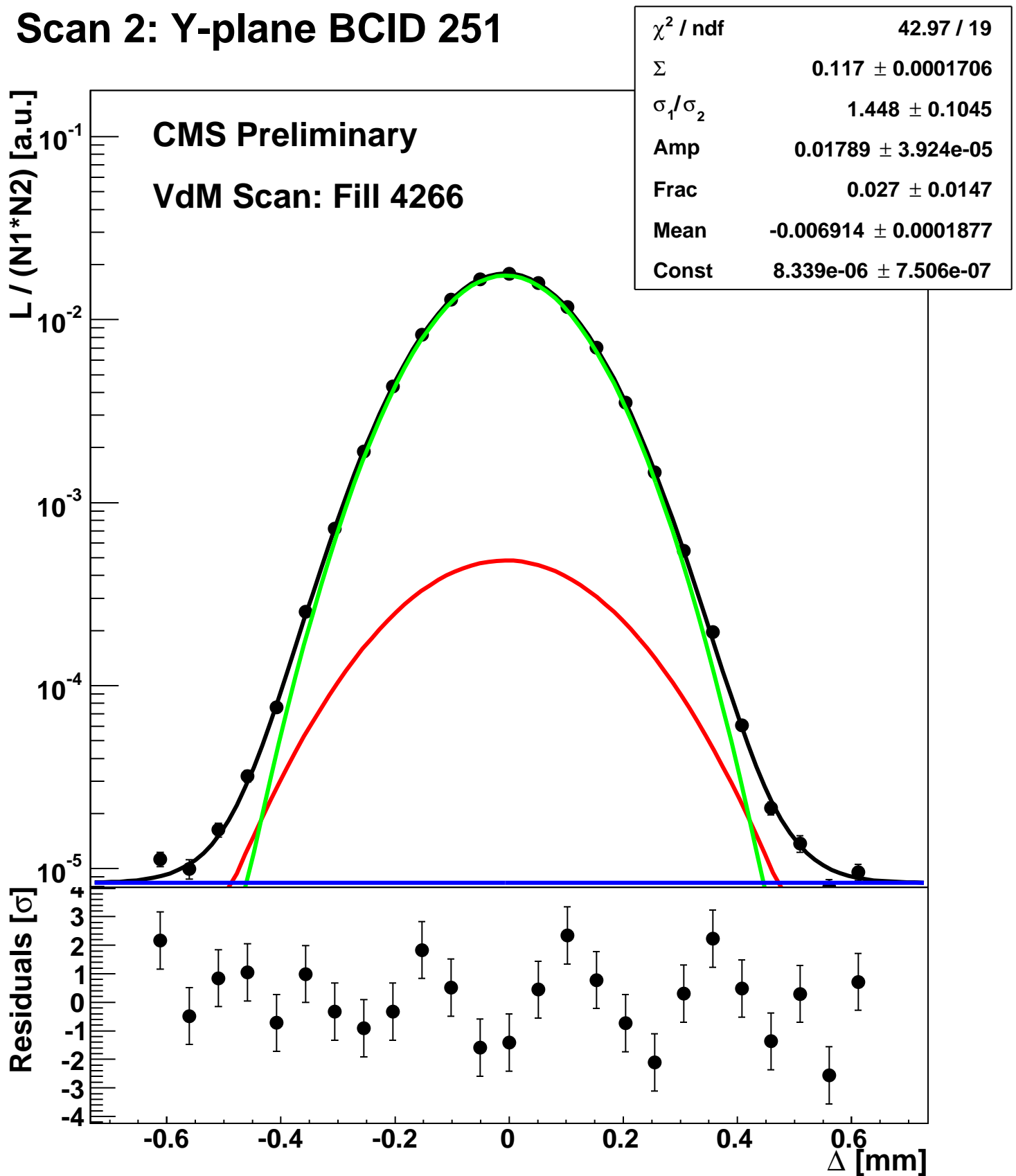
Scan 2: Y-plane BCID 2411



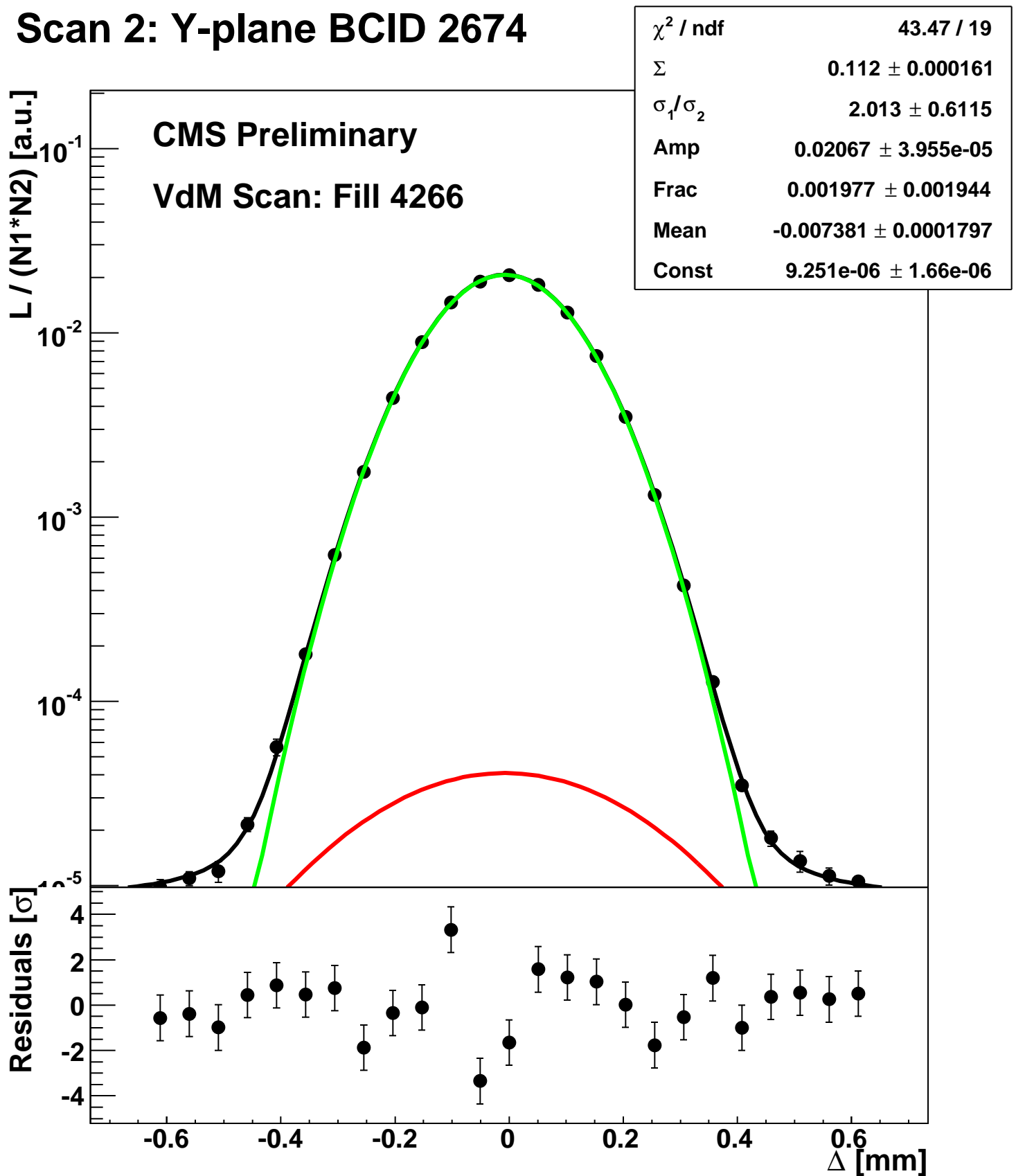
Scan 2: Y-plane BCID 2451



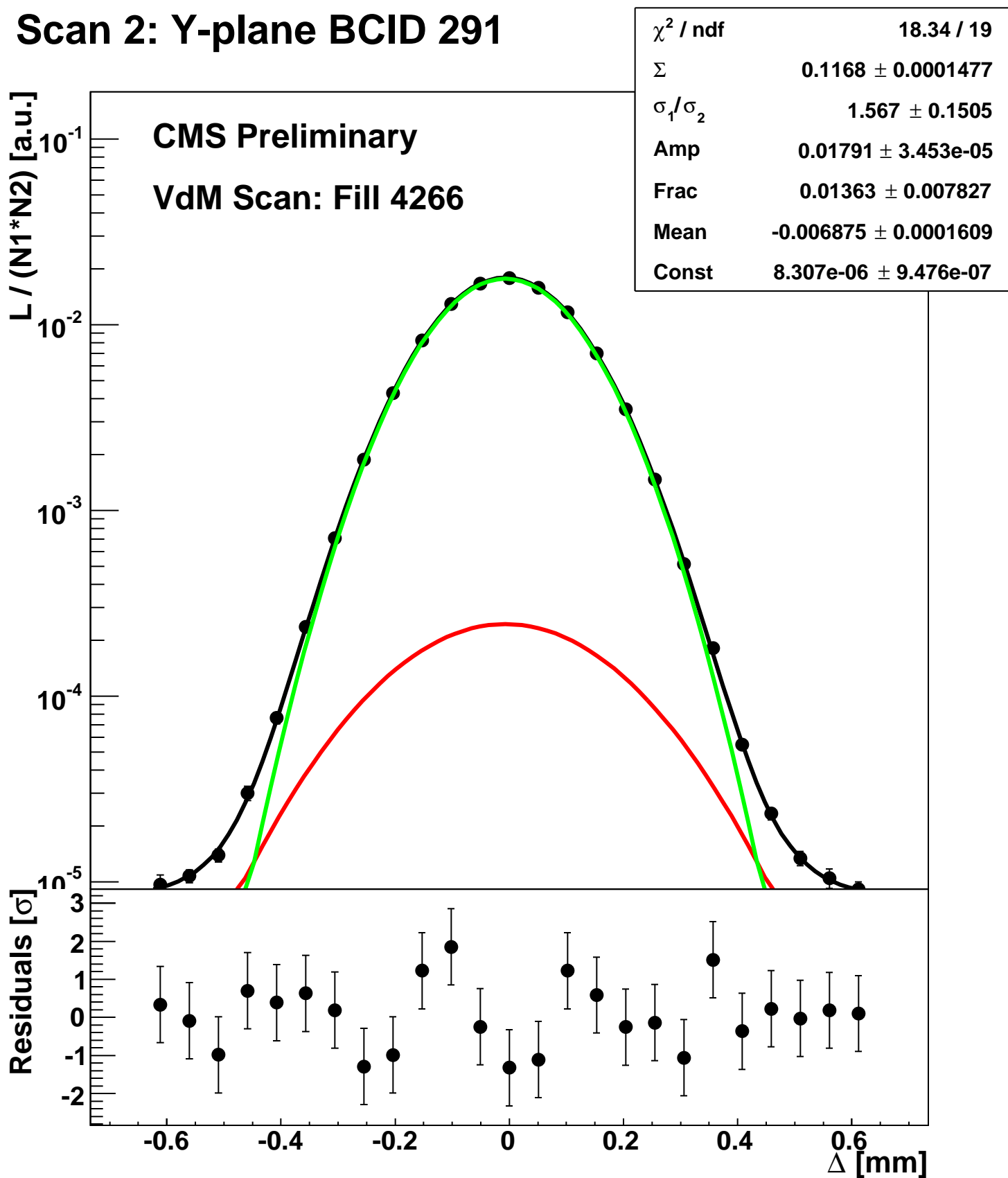
Scan 2: Y-plane BCID 251



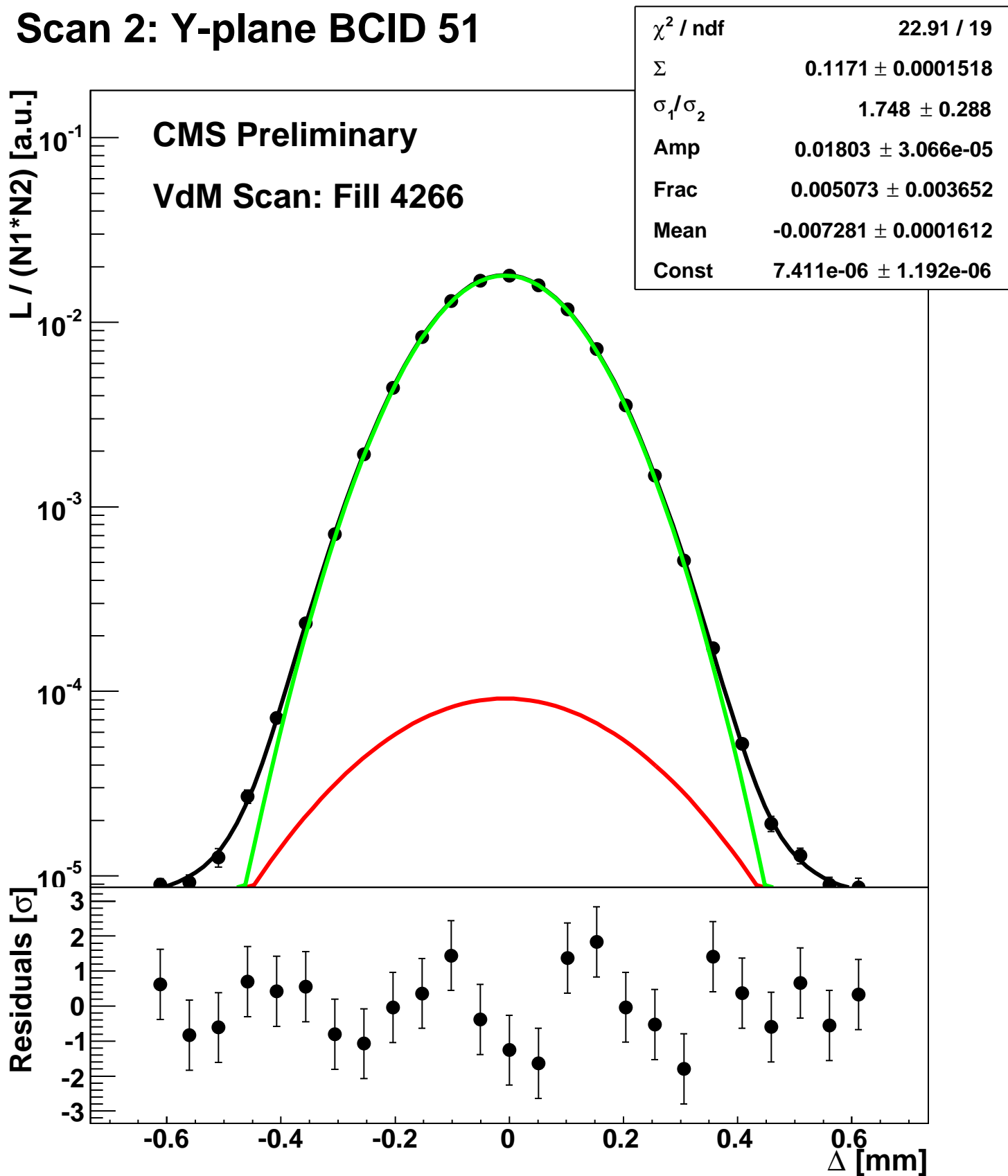
Scan 2: Y-plane BCID 2674



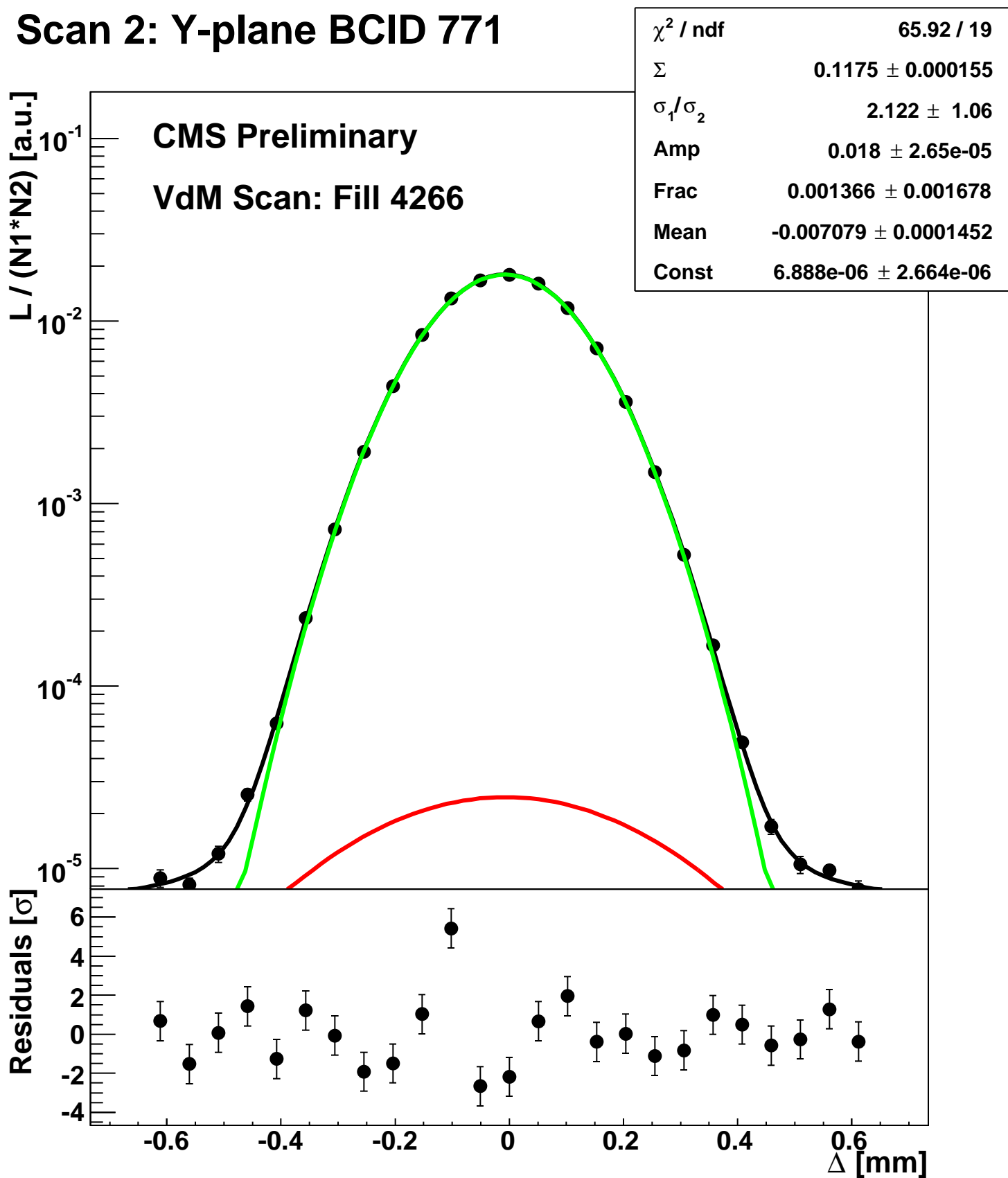
Scan 2: Y-plane BCID 291



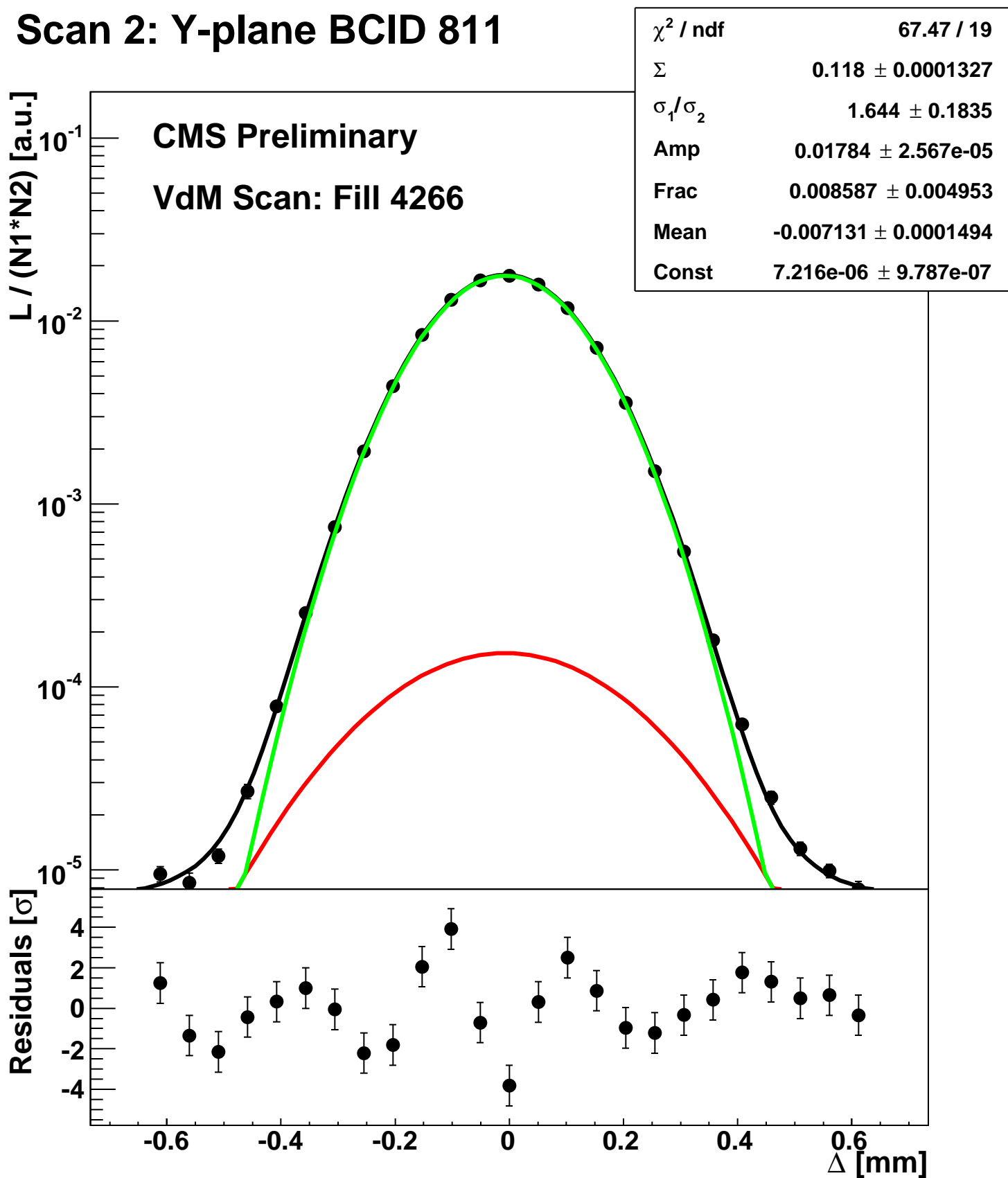
Scan 2: Y-plane BCID 51



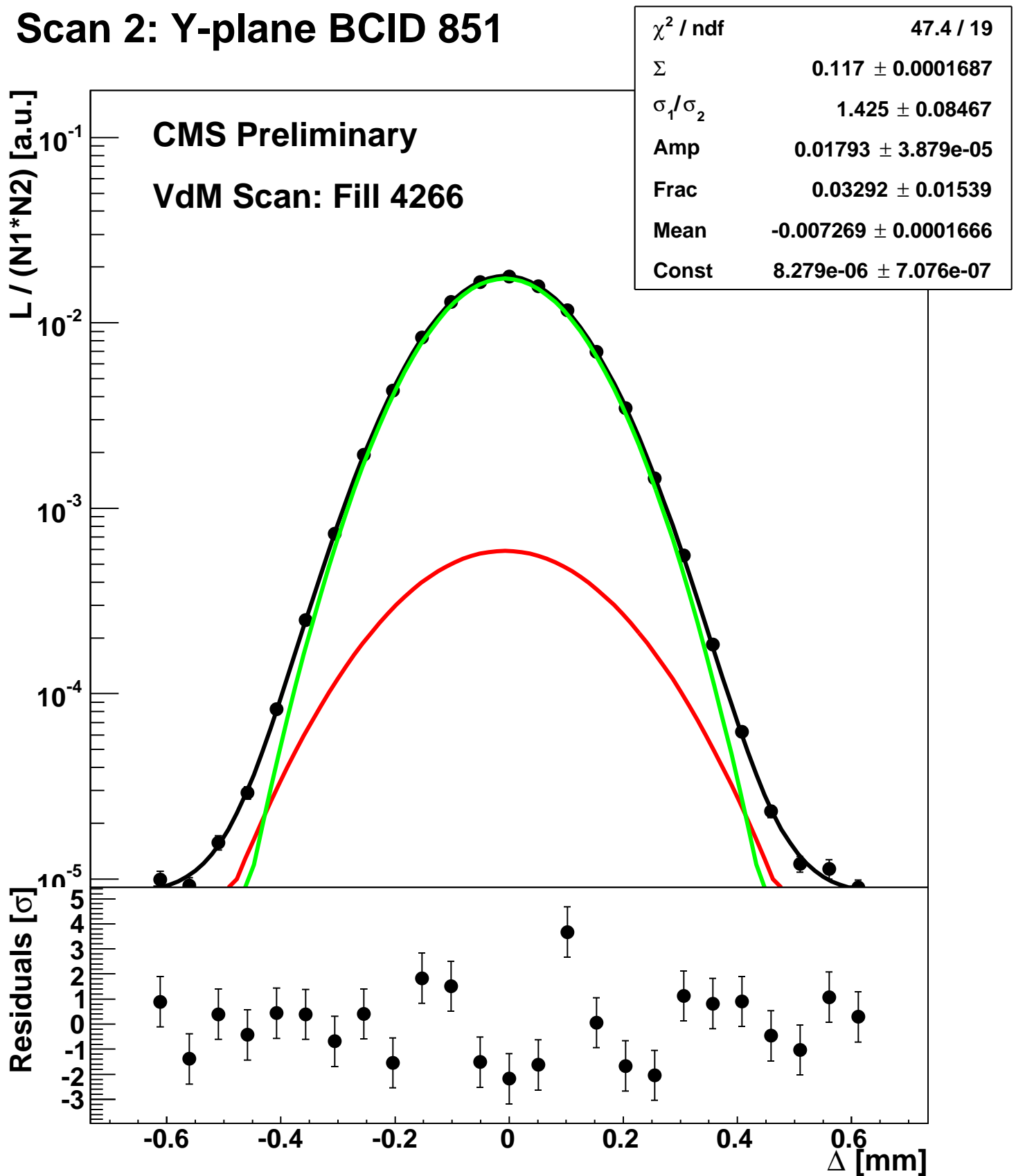
Scan 2: Y-plane BCID 771



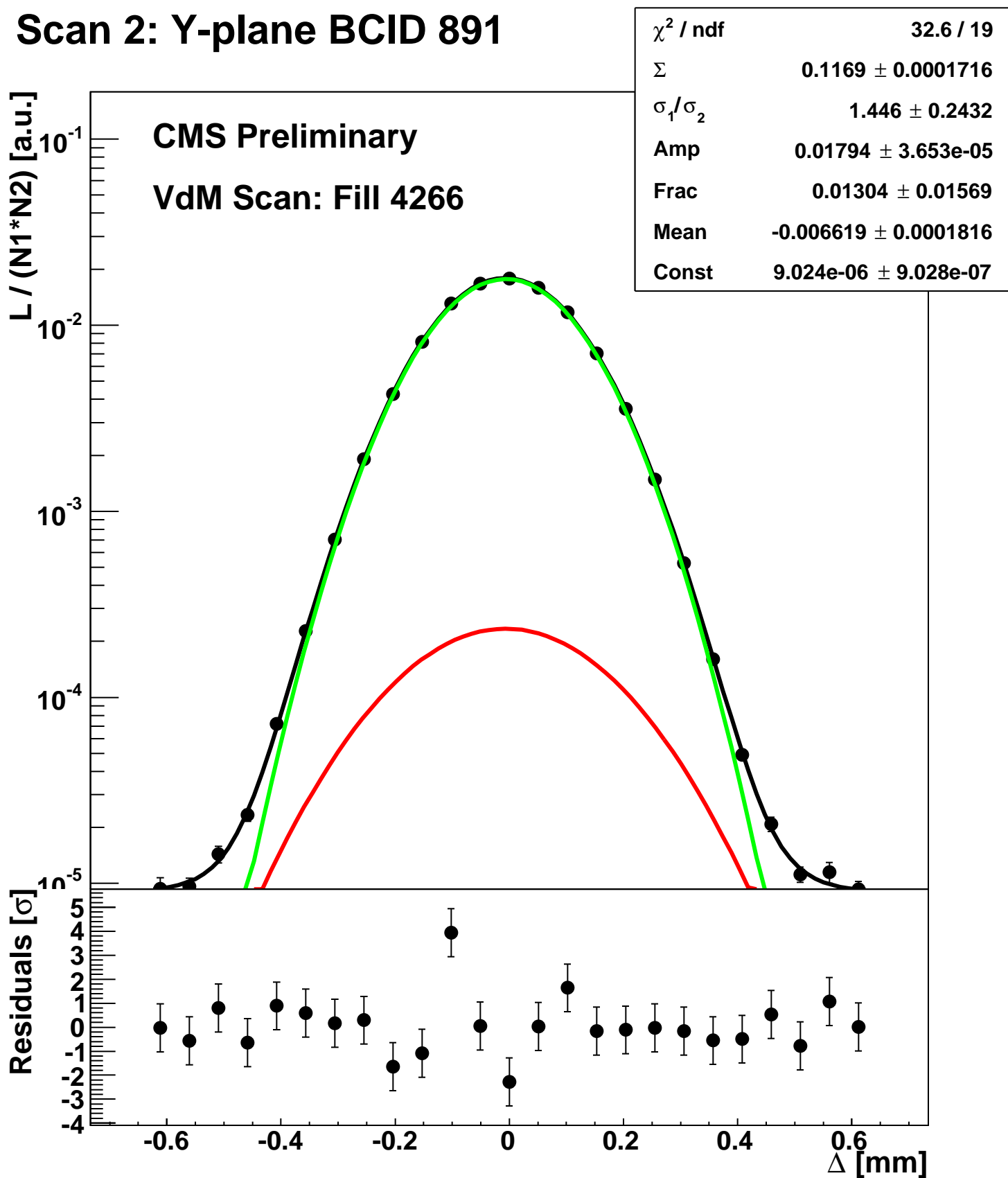
Scan 2: Y-plane BCID 811



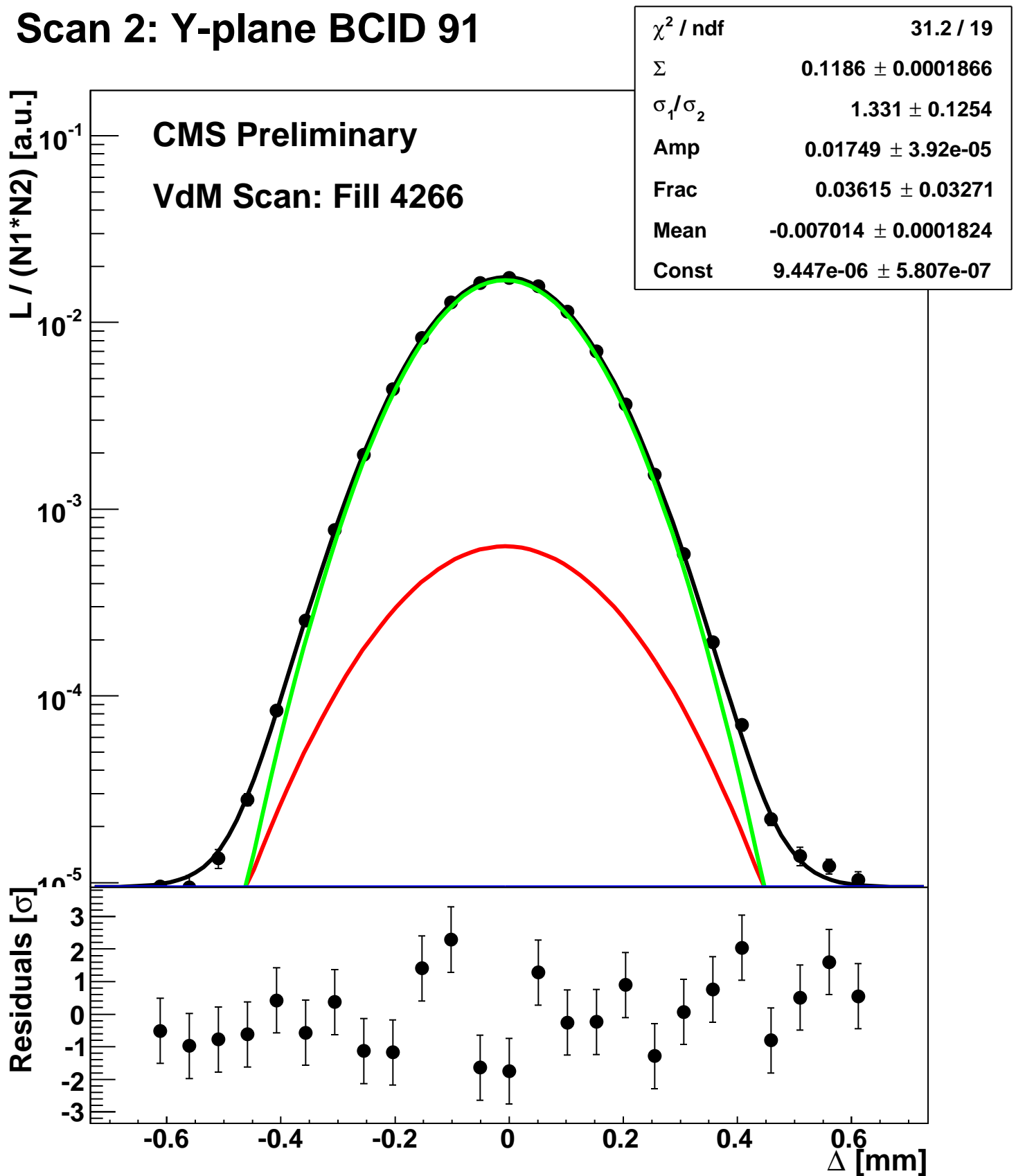
Scan 2: Y-plane BCID 851



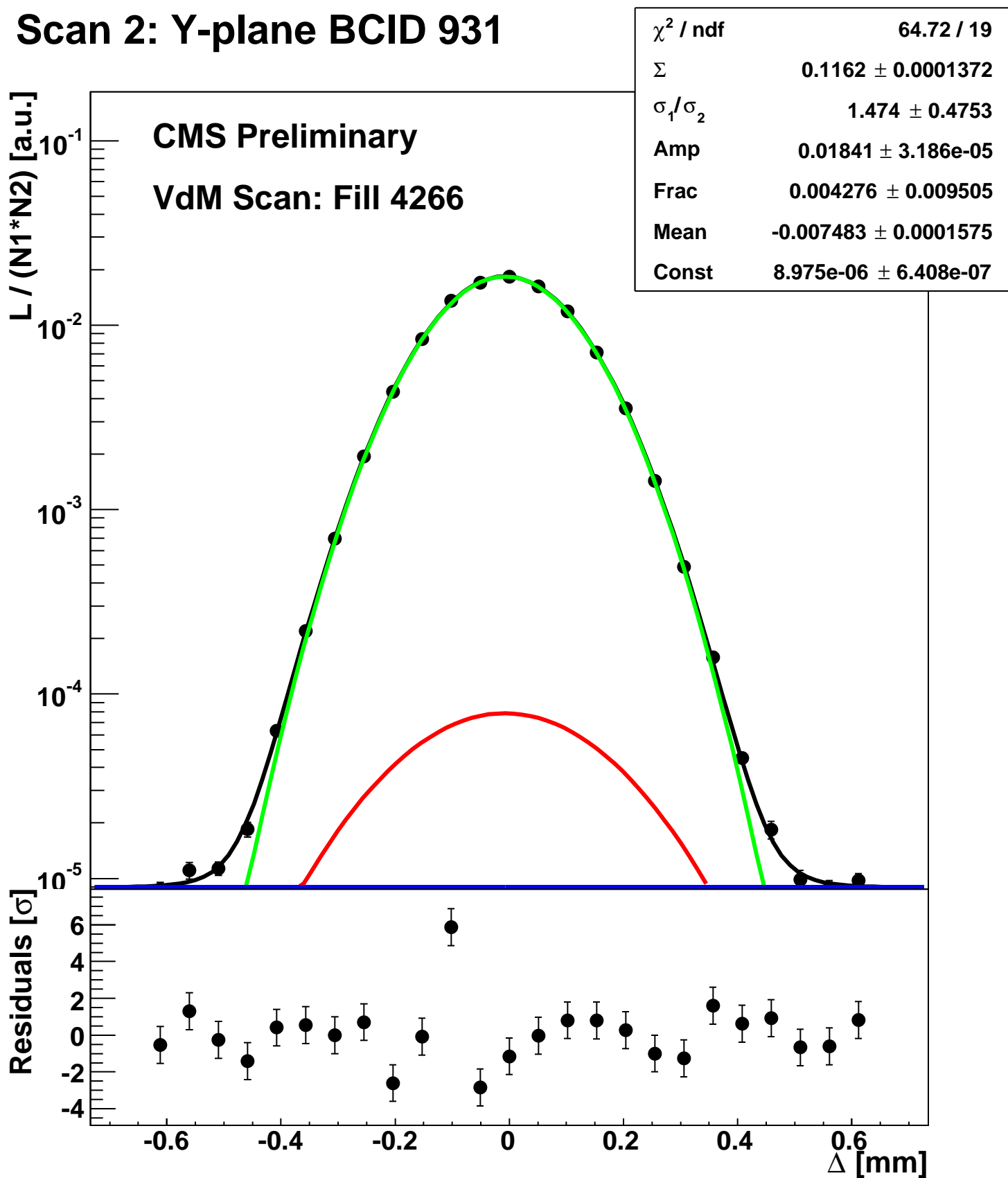
Scan 2: Y-plane BCID 891



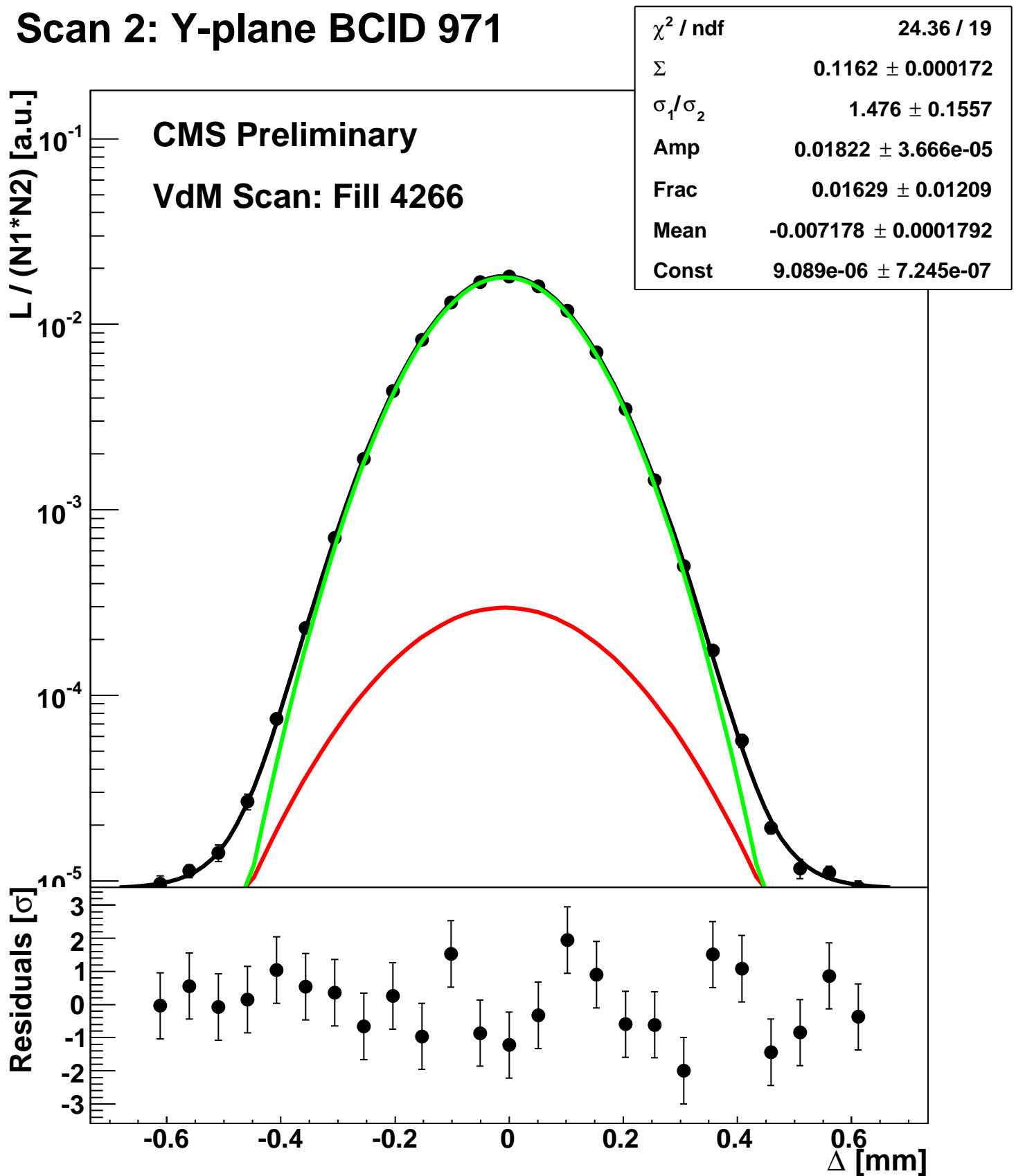
Scan 2: Y-plane BCID 91



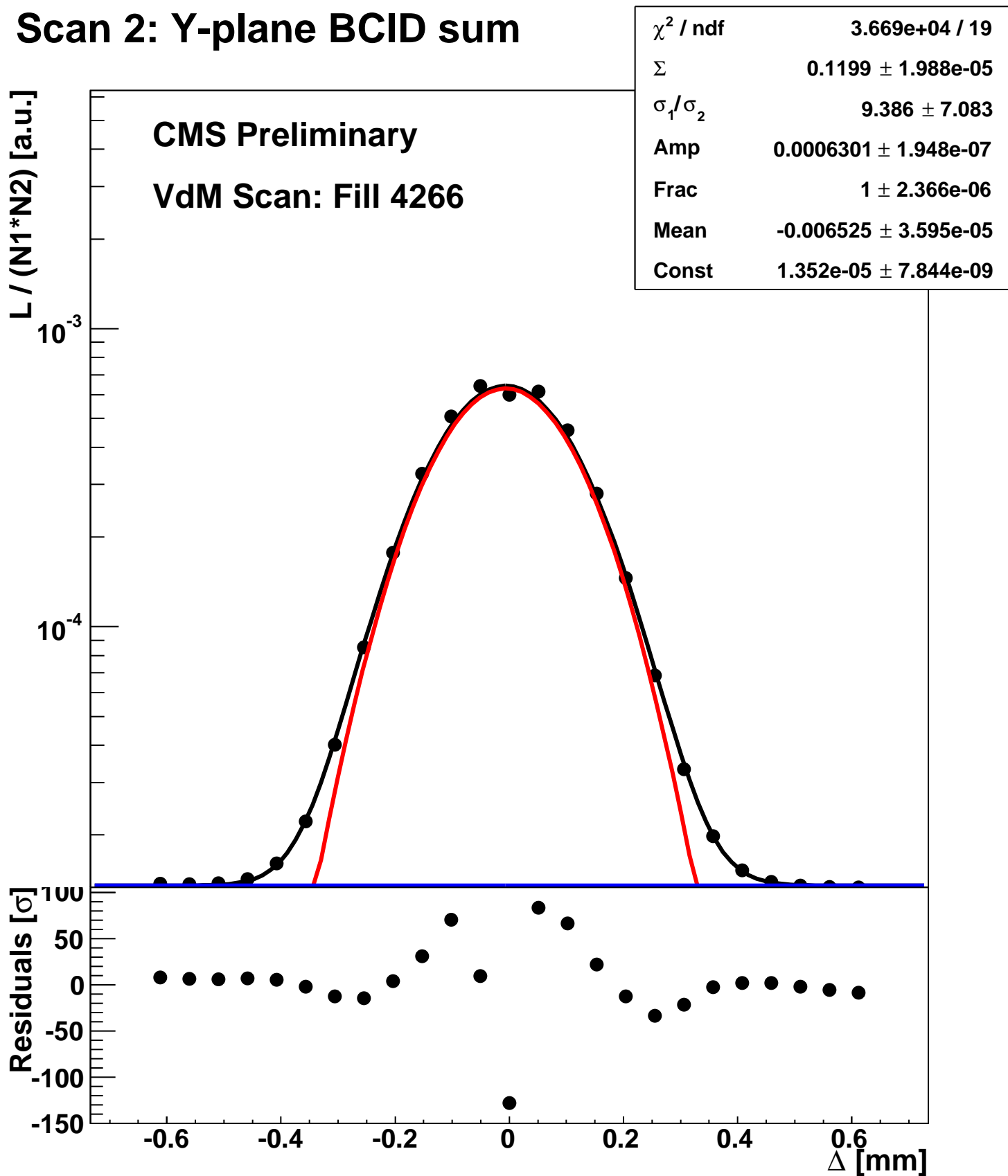
Scan 2: Y-plane BCID 931



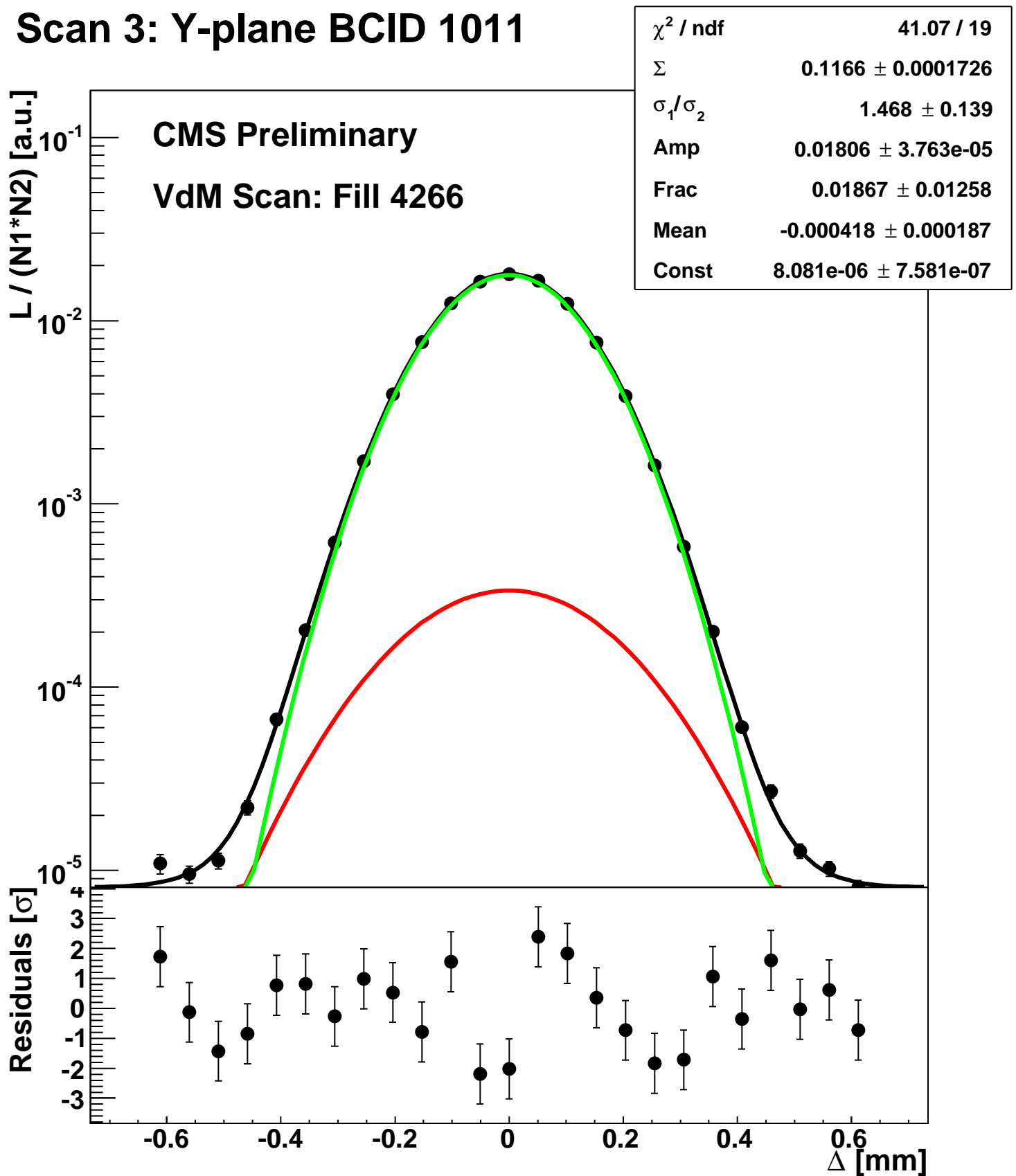
Scan 2: Y-plane BCID 971



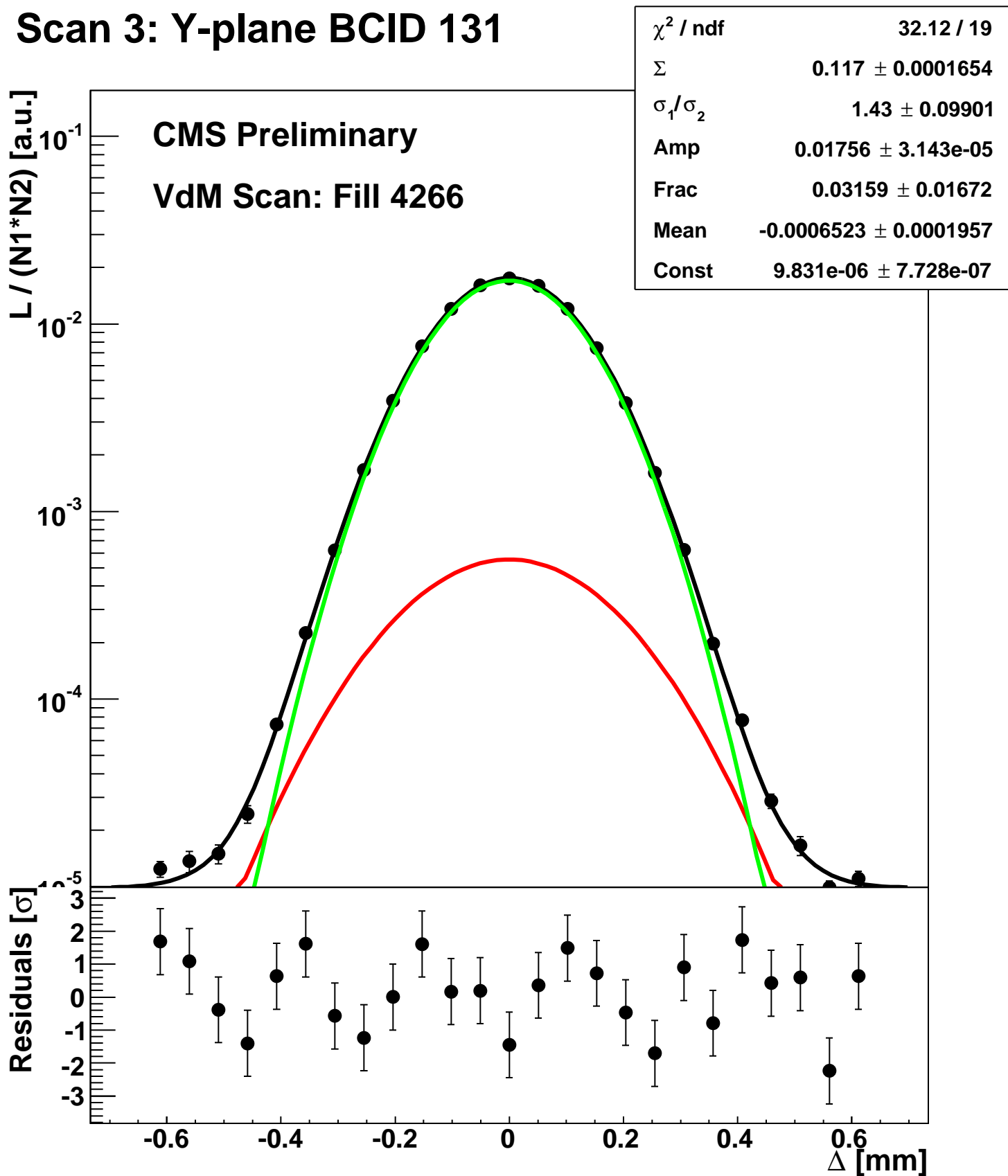
Scan 2: Y-plane BCID sum



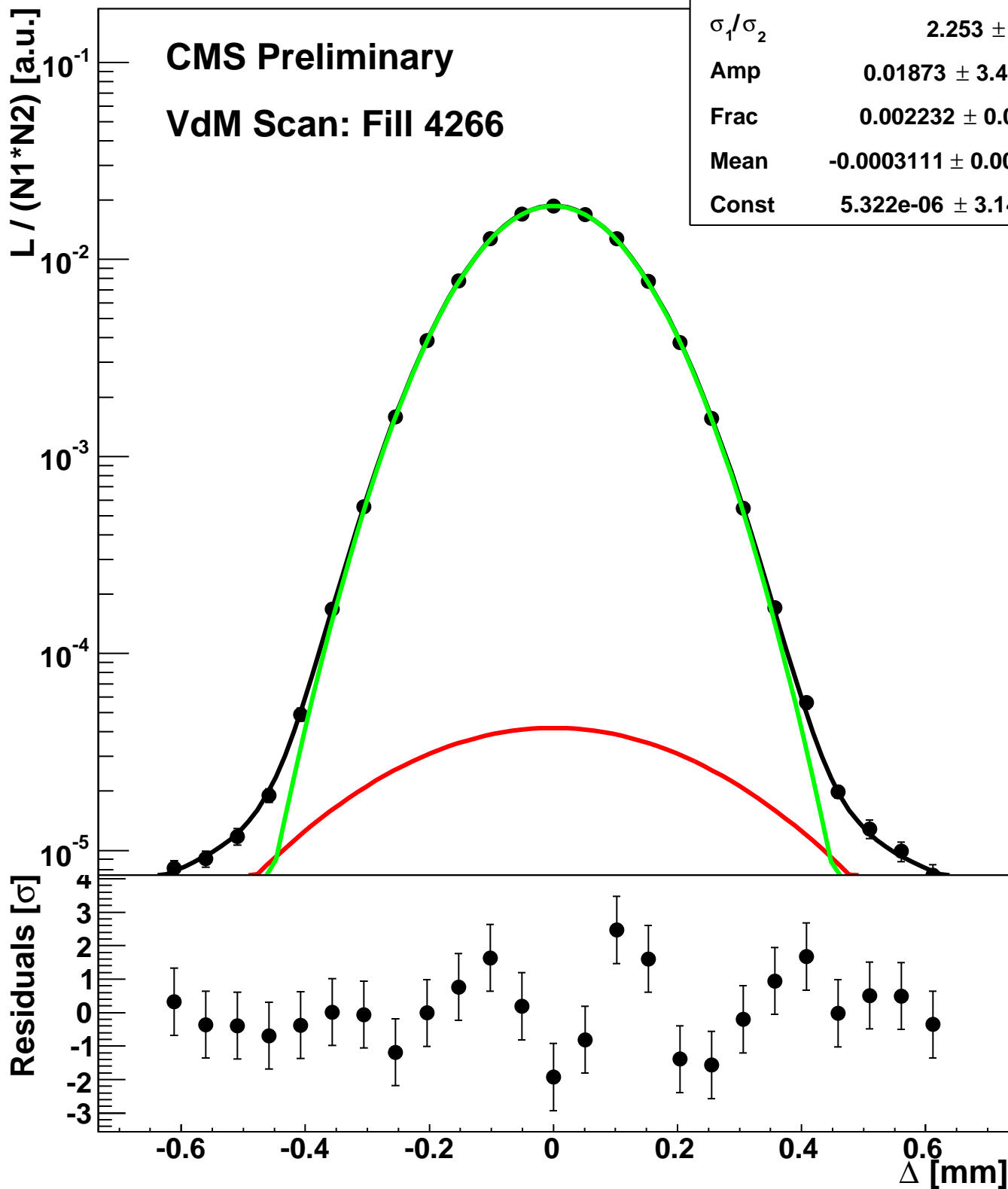
Scan 3: Y-plane BCID 1011



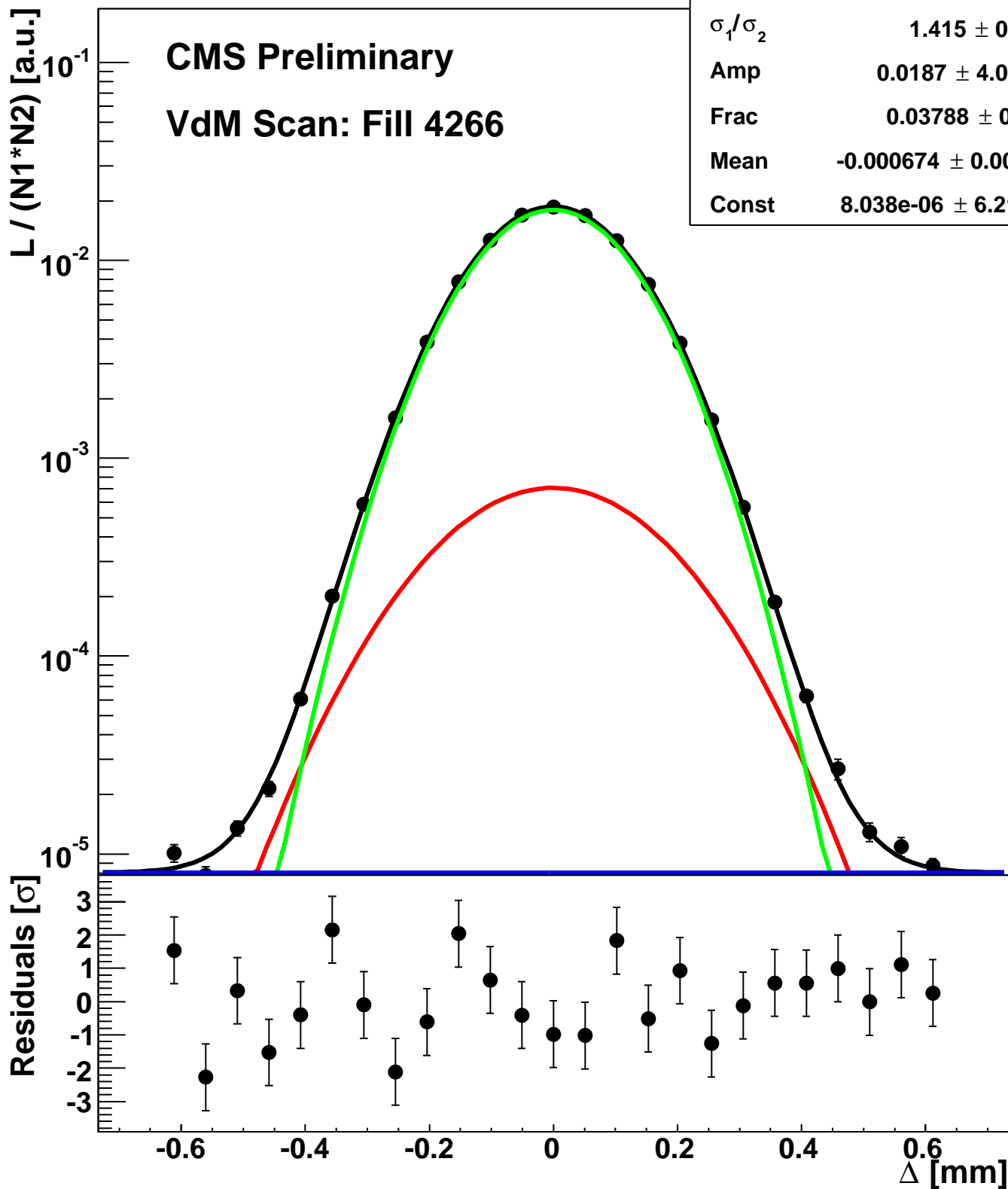
Scan 3: Y-plane BCID 131



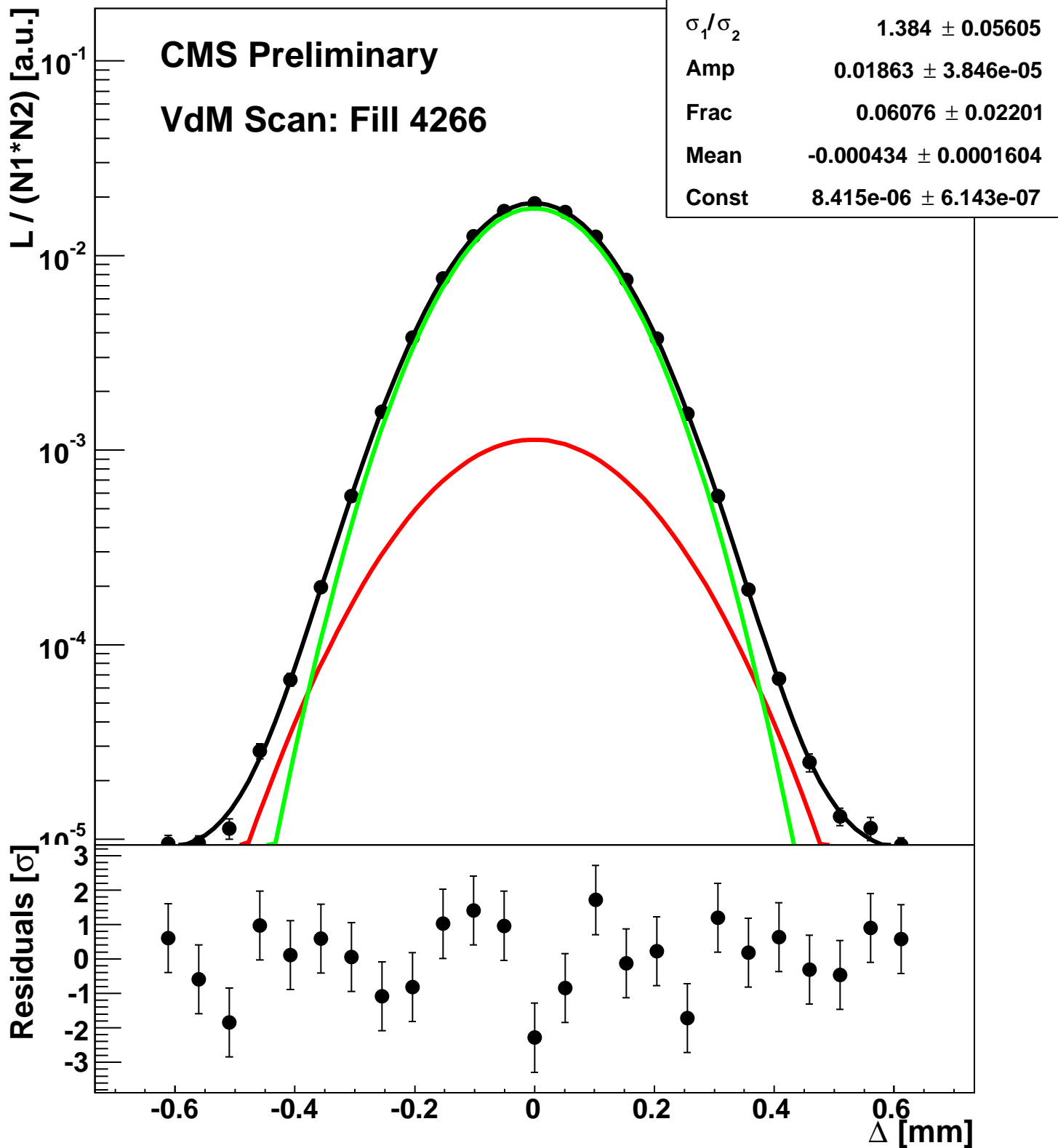
Scan 3: Y-plane BCID 1631



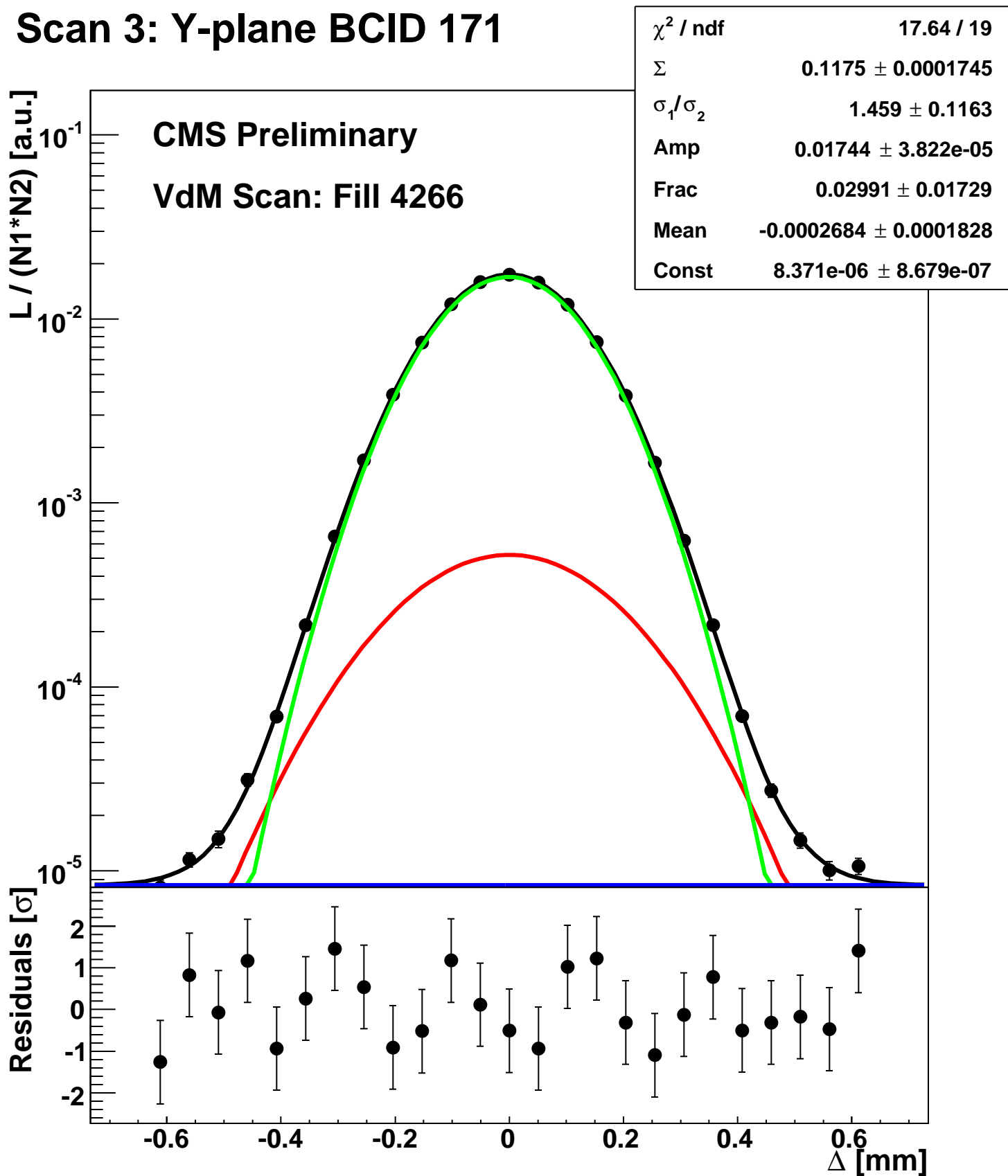
Scan 3: Y-plane BCID 1671



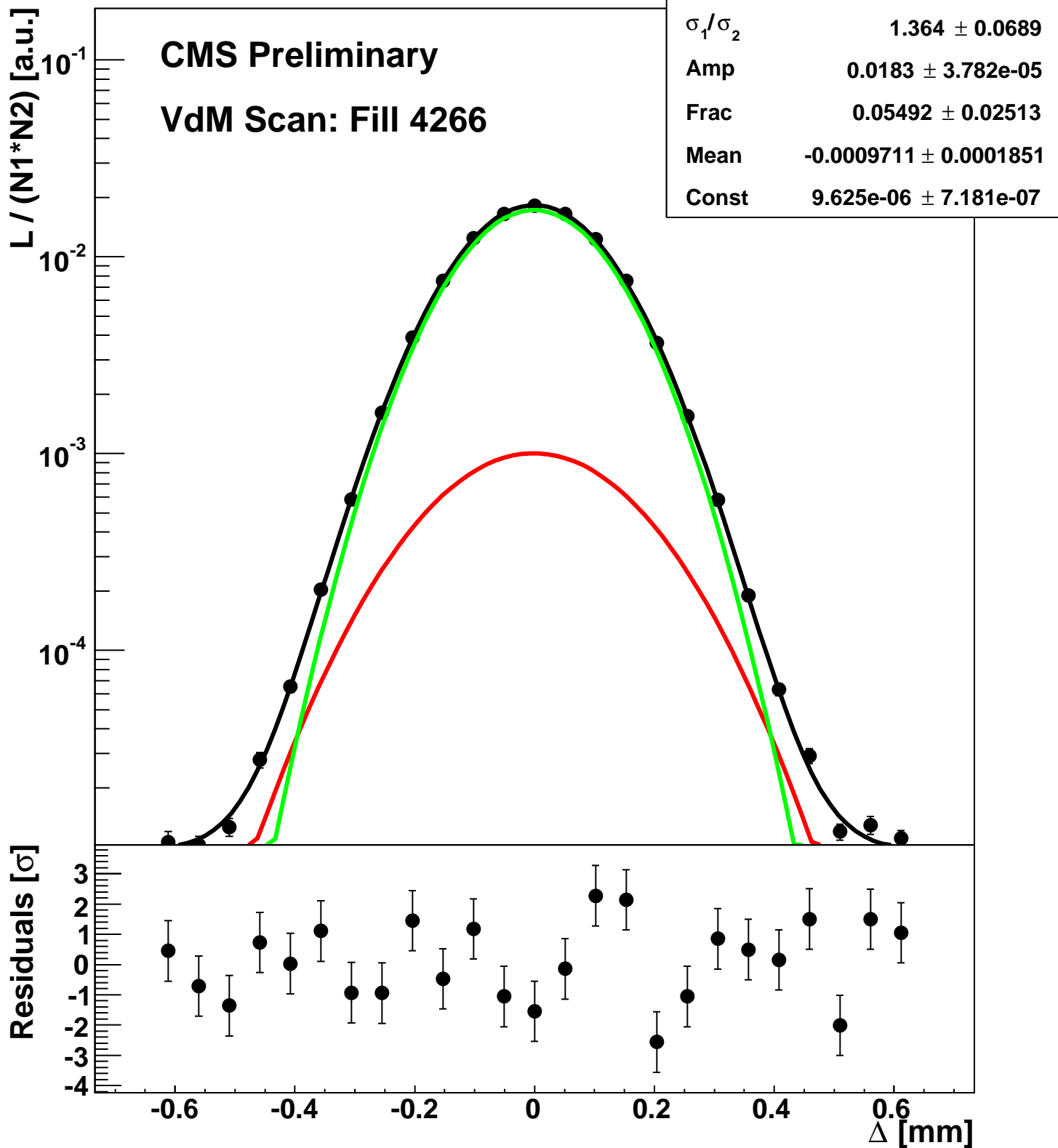
Scan 3: Y-plane BCID 1711



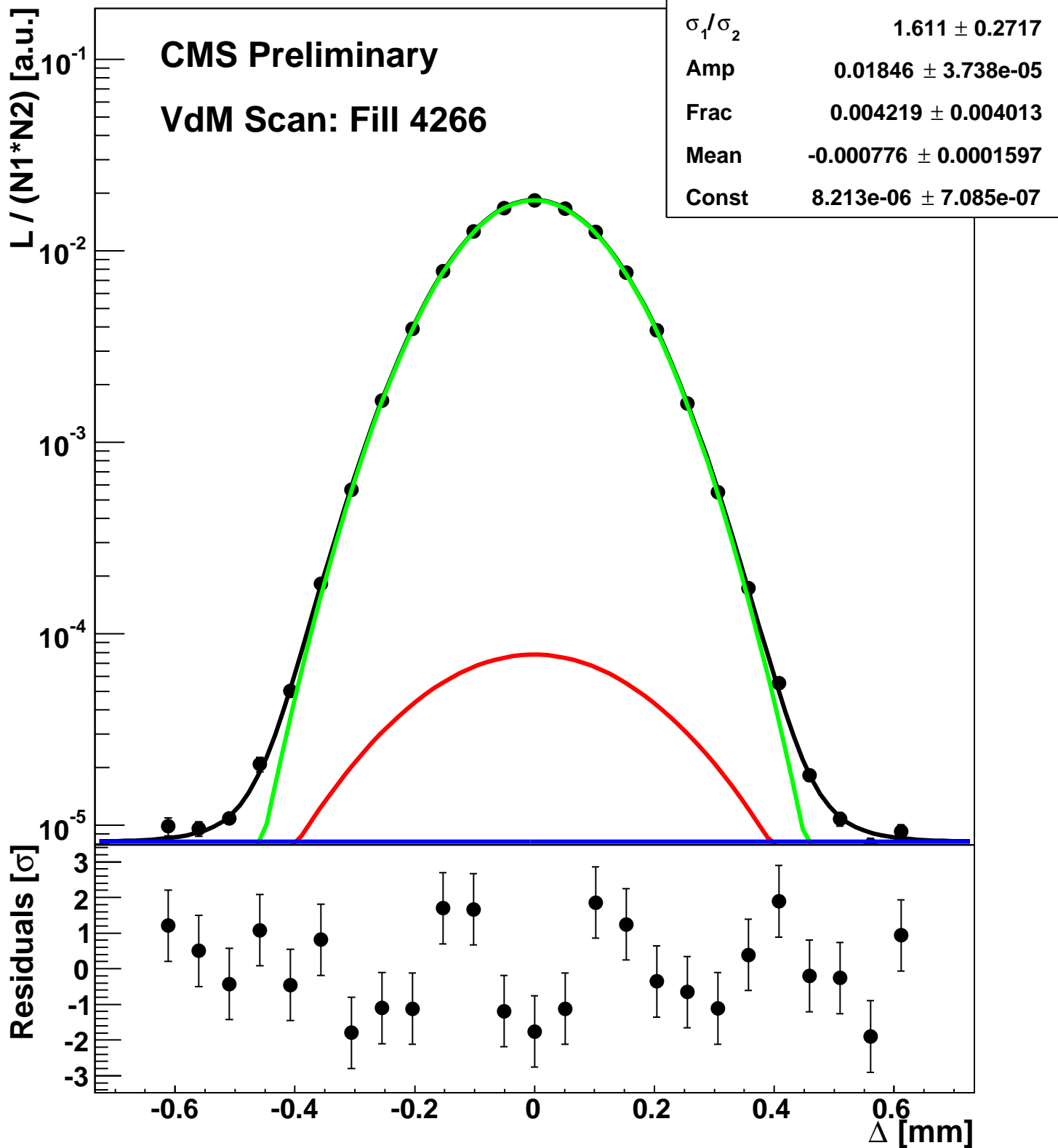
Scan 3: Y-plane BCID 171



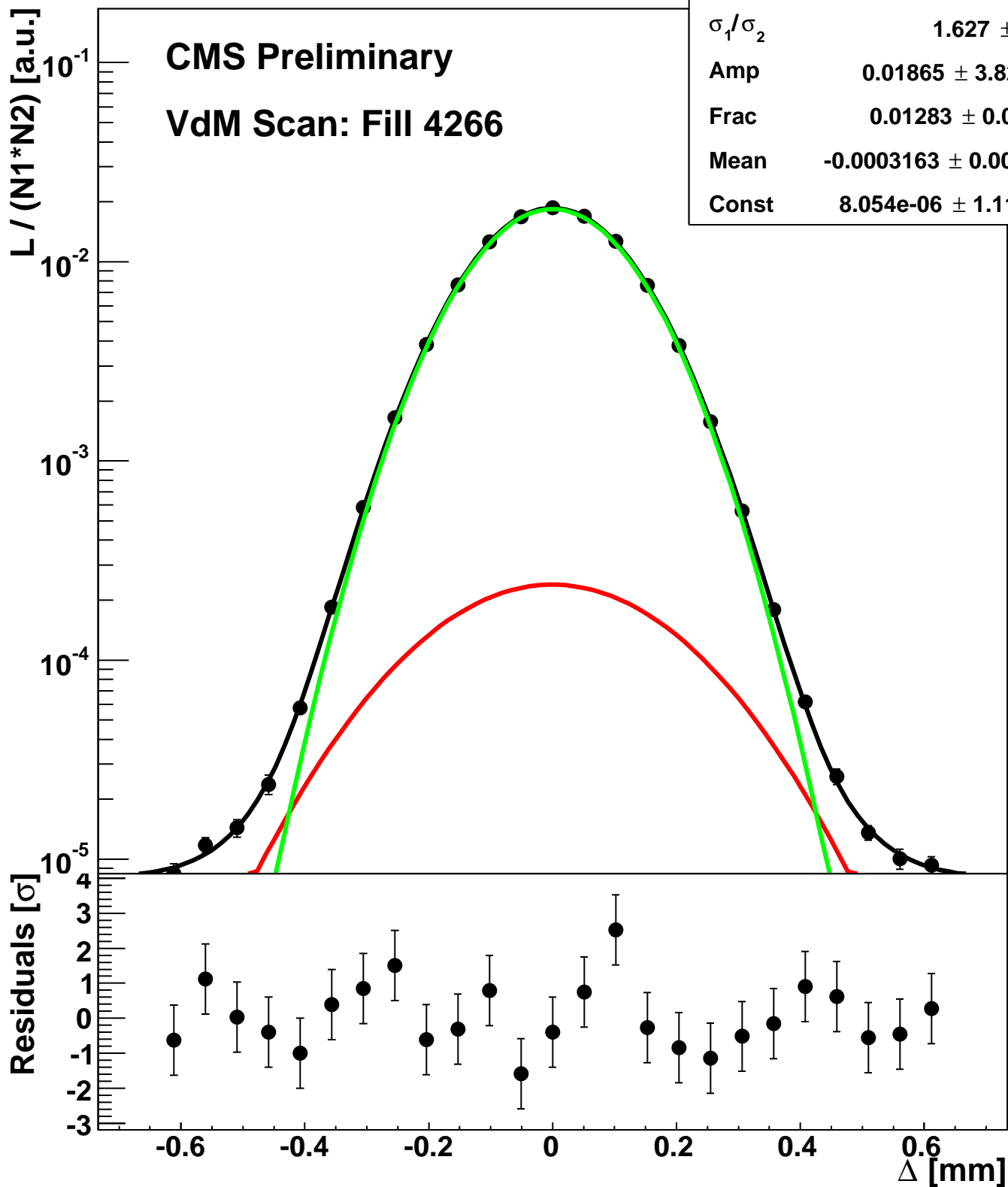
Scan 3: Y-plane BCID 1751



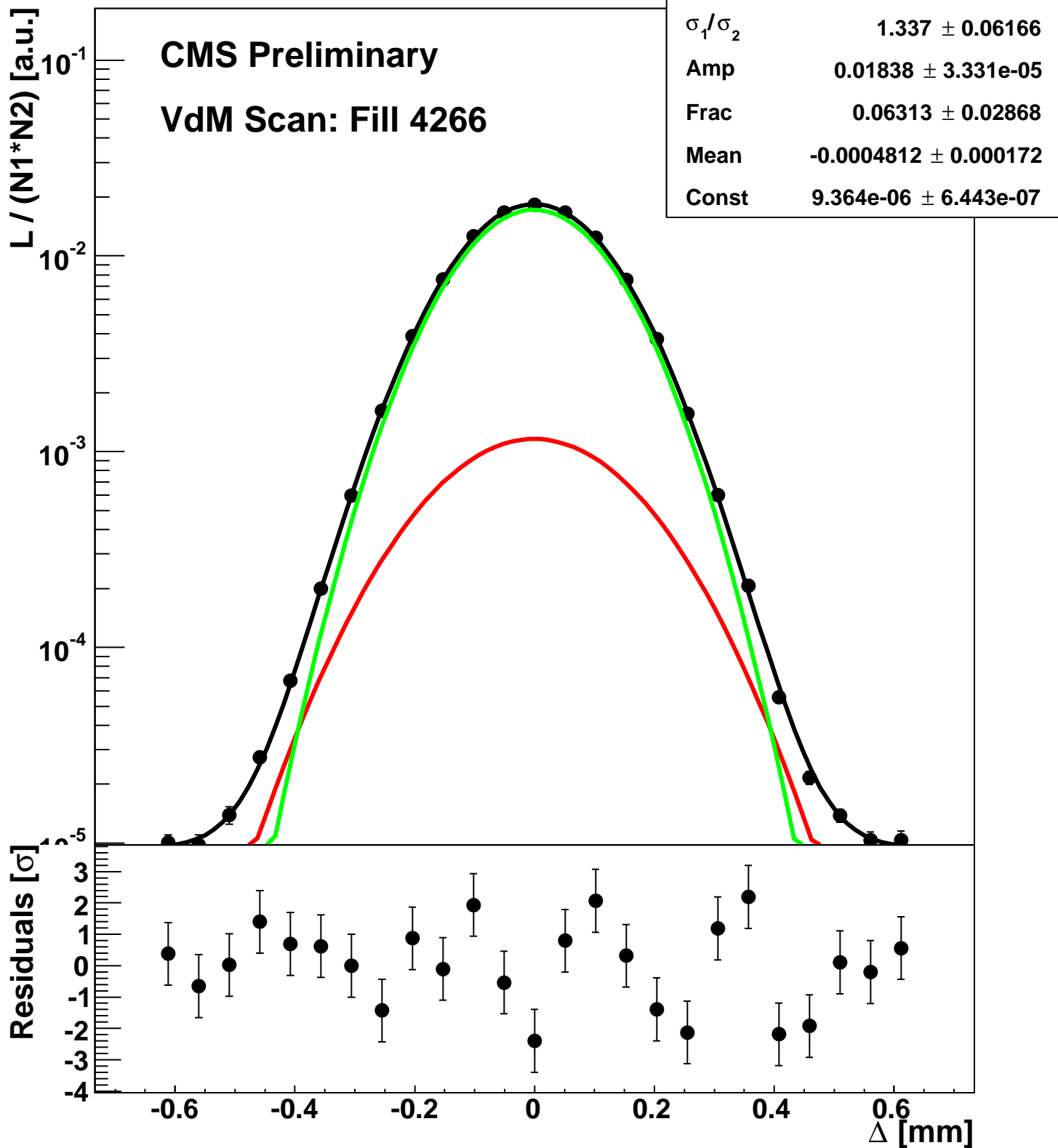
Scan 3: Y-plane BCID 1791



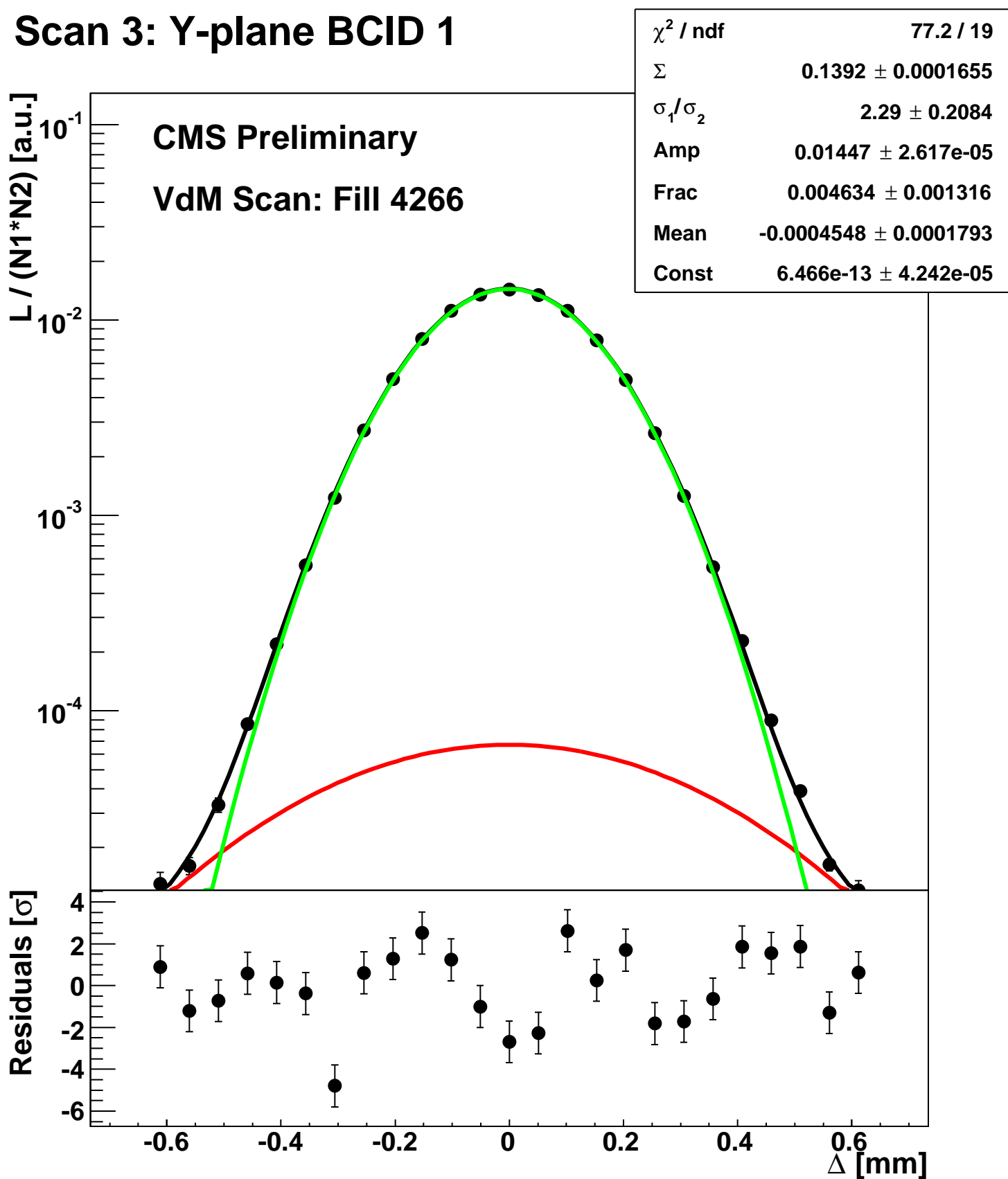
Scan 3: Y-plane BCID 1831



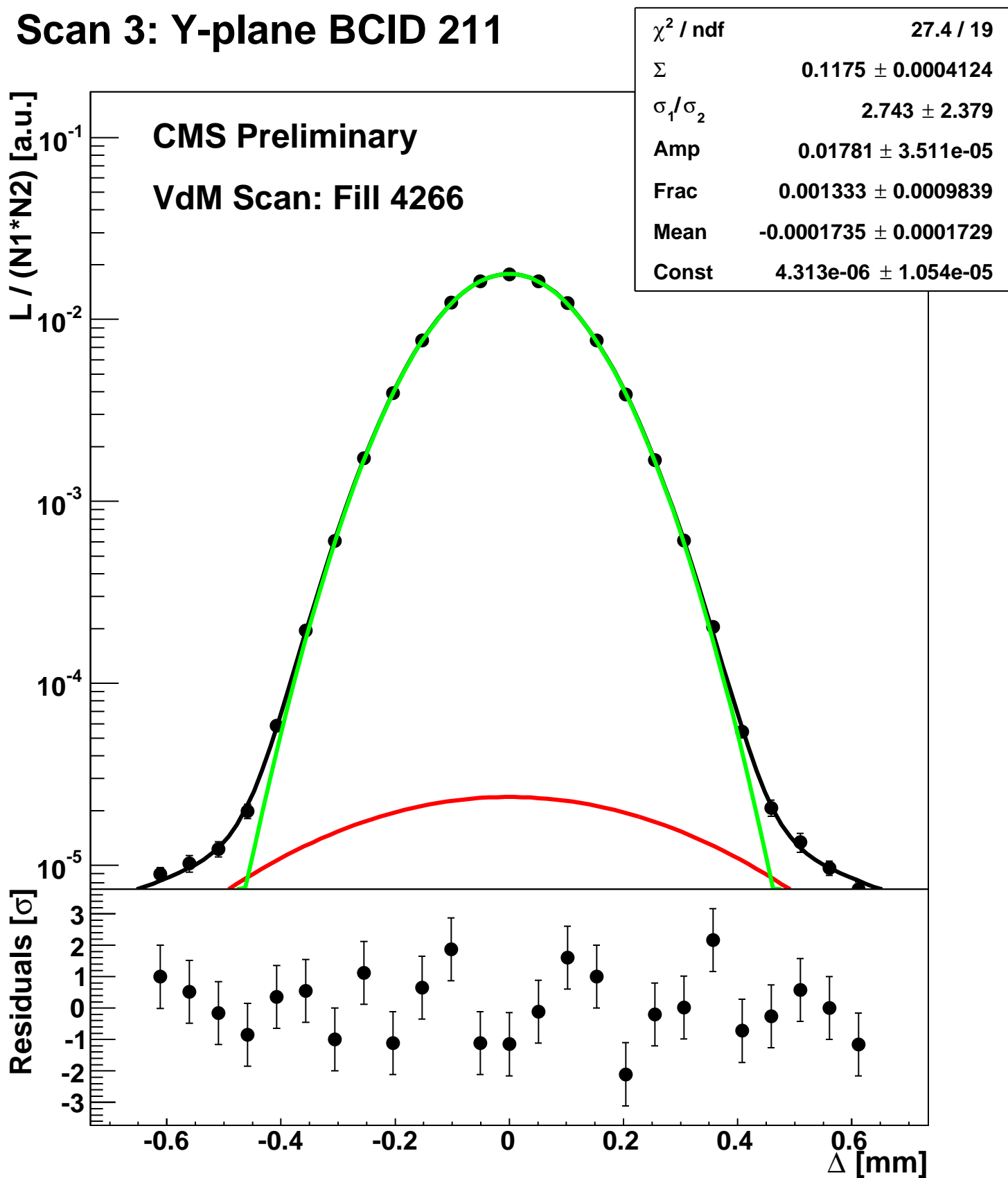
Scan 3: Y-plane BCID 1871



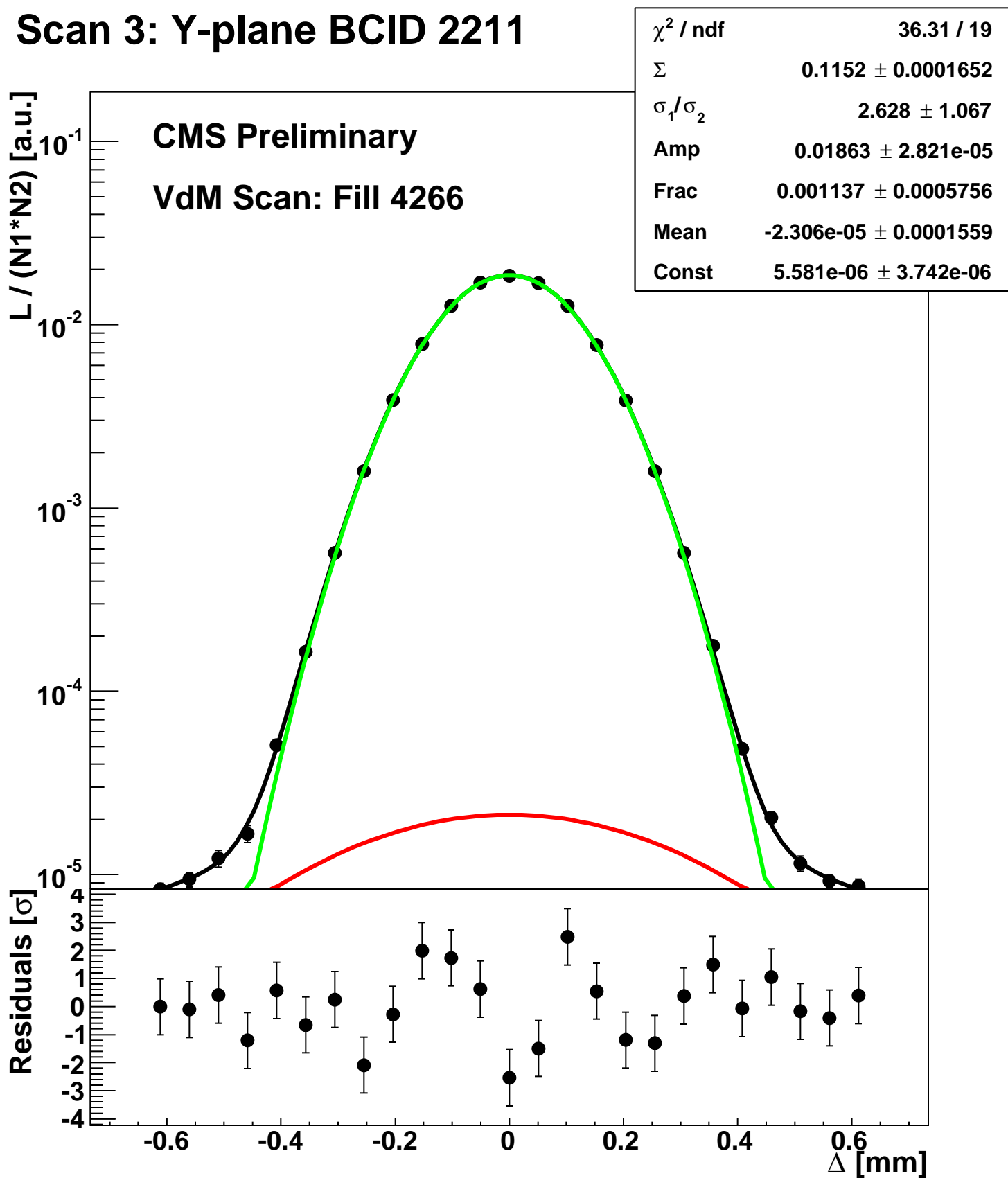
Scan 3: Y-plane BCID 1



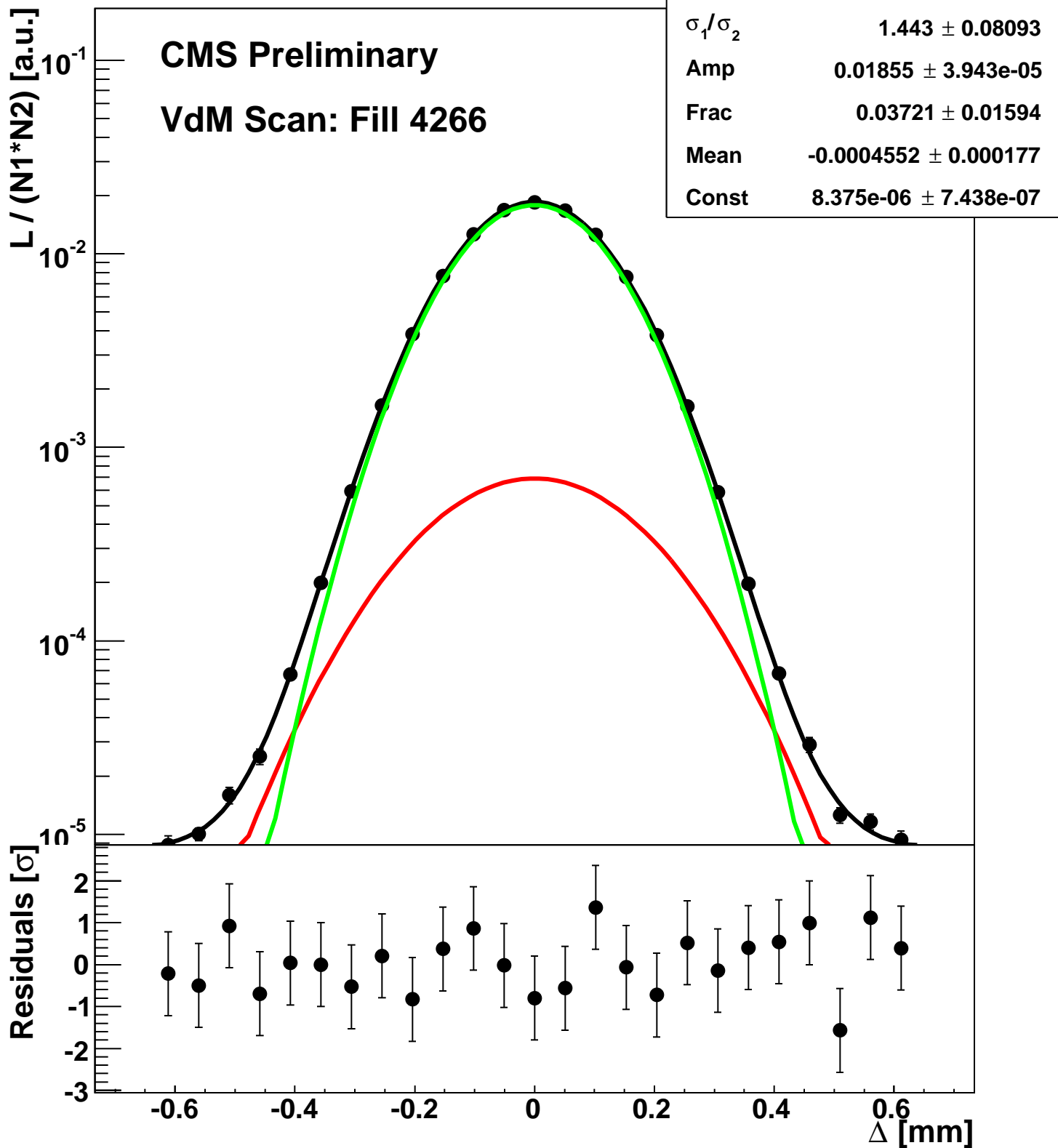
Scan 3: Y-plane BCID 211



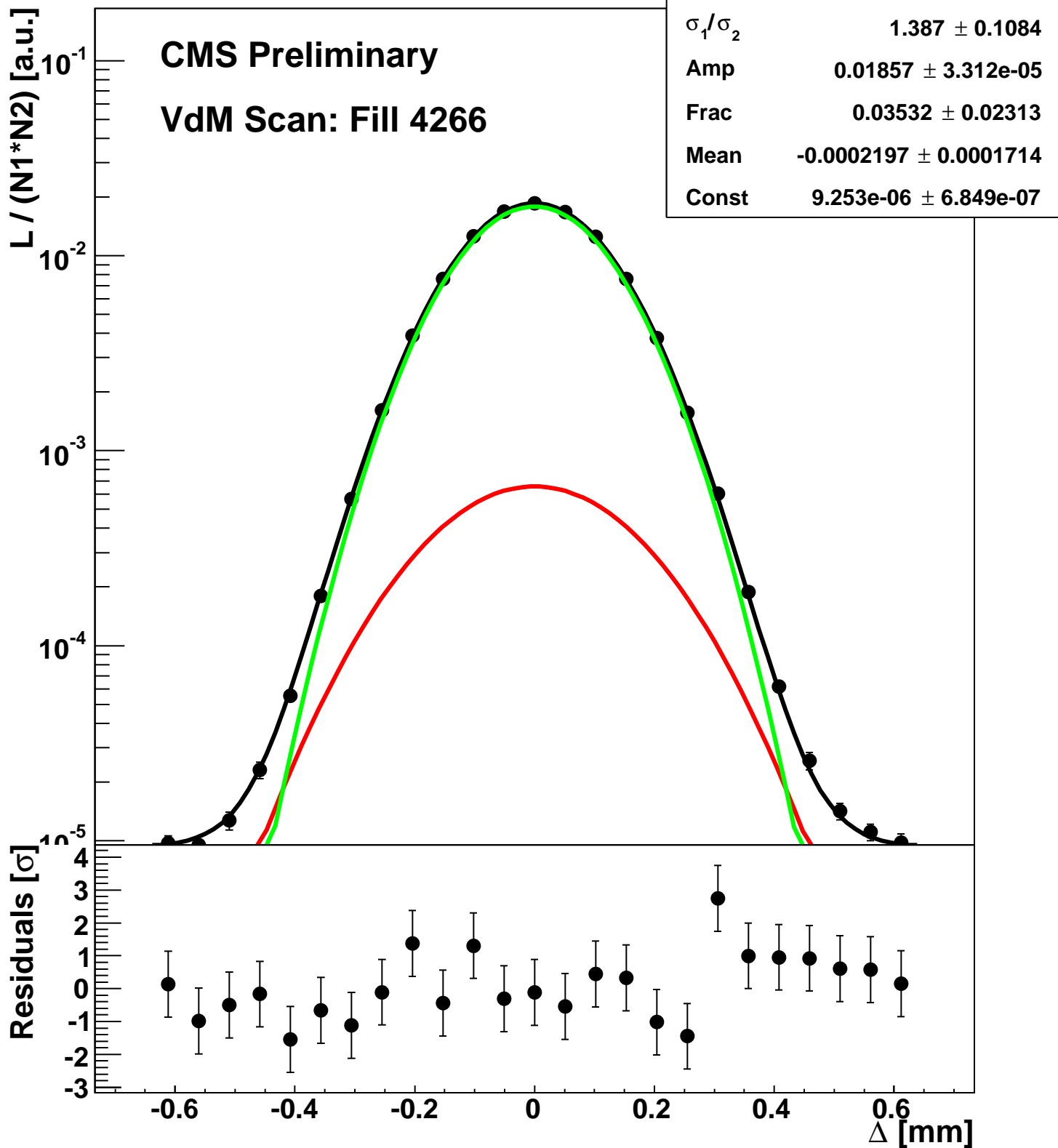
Scan 3: Y-plane BCID 2211



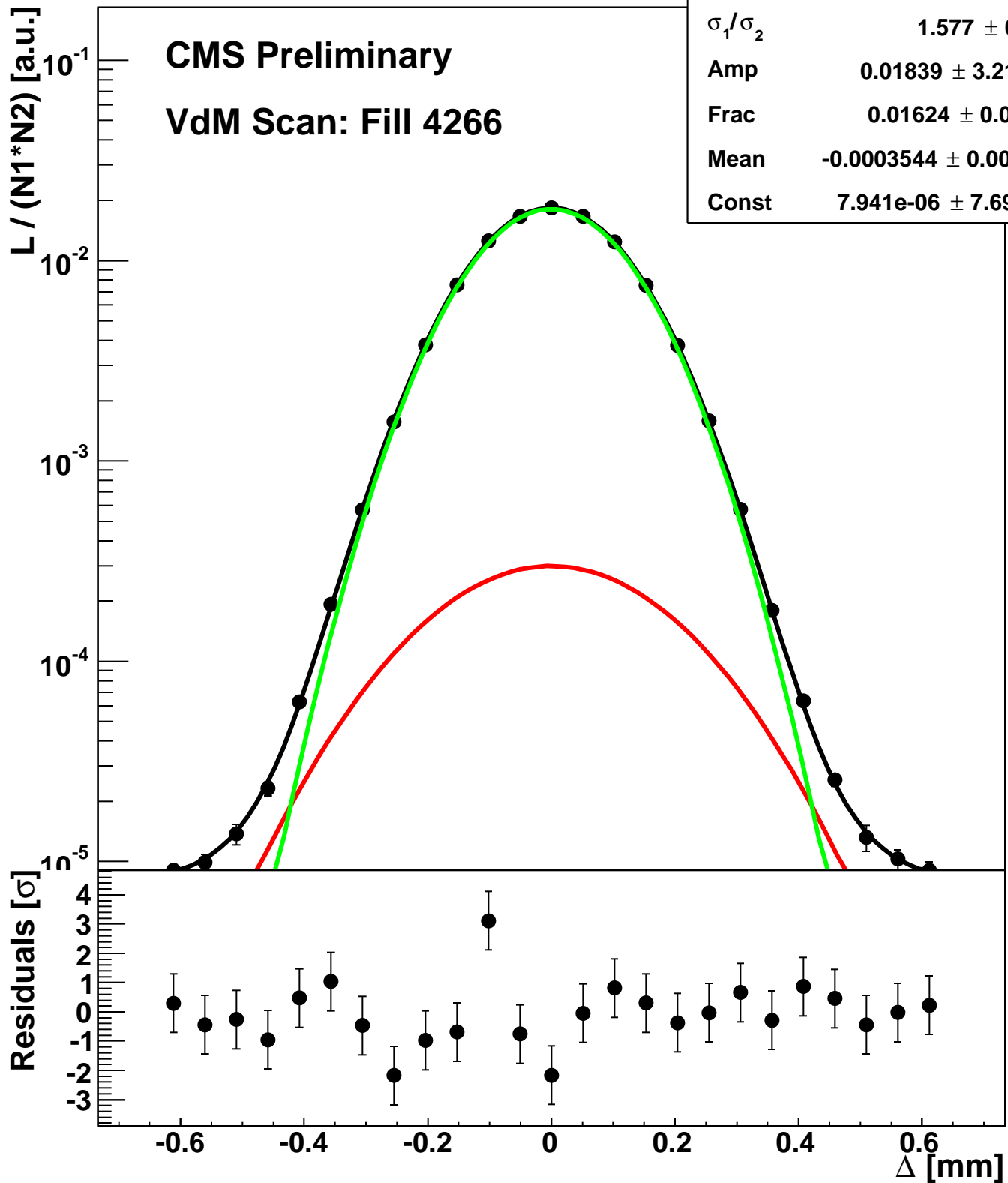
Scan 3: Y-plane BCID 2251



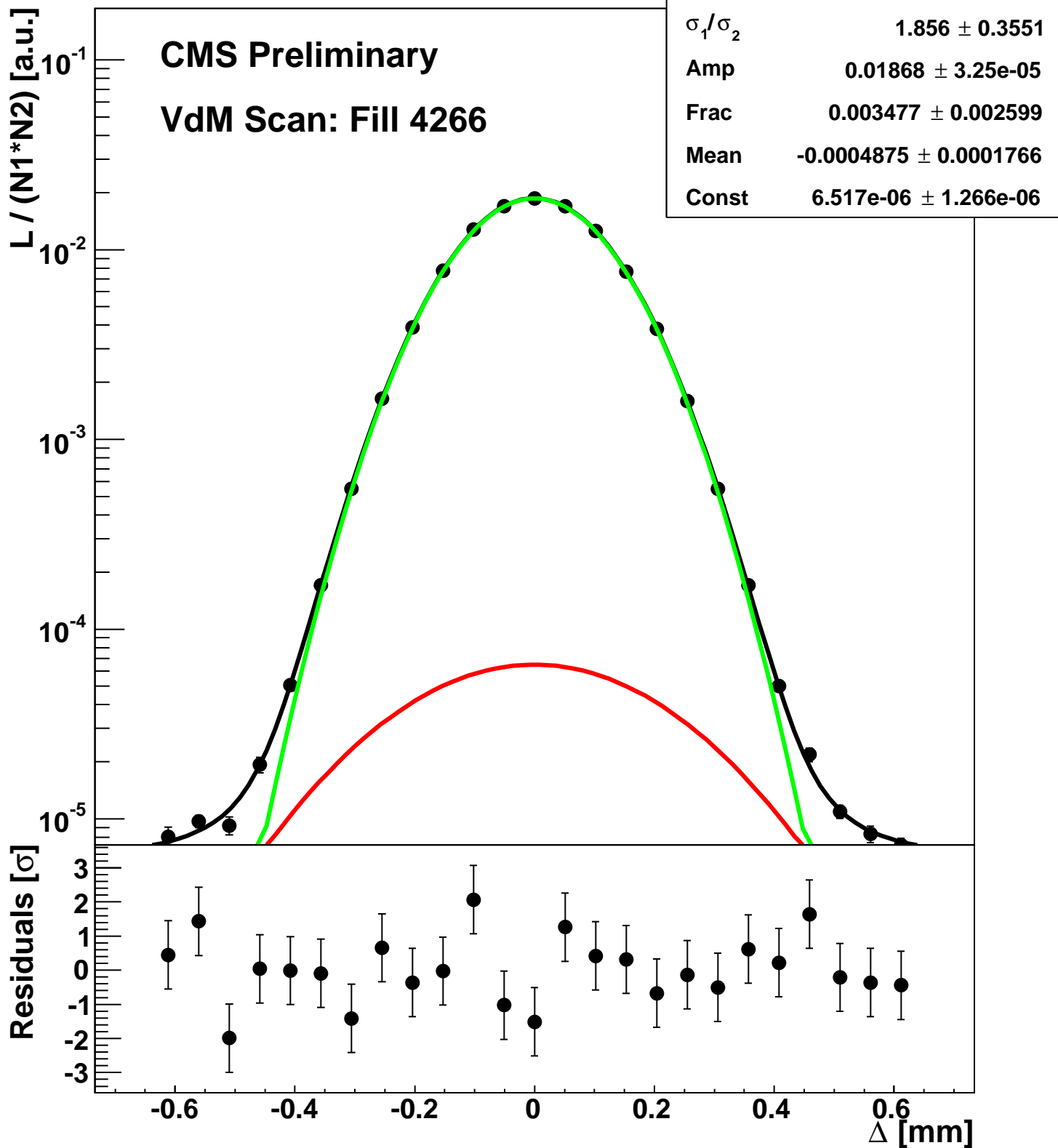
Scan 3: Y-plane BCID 2291



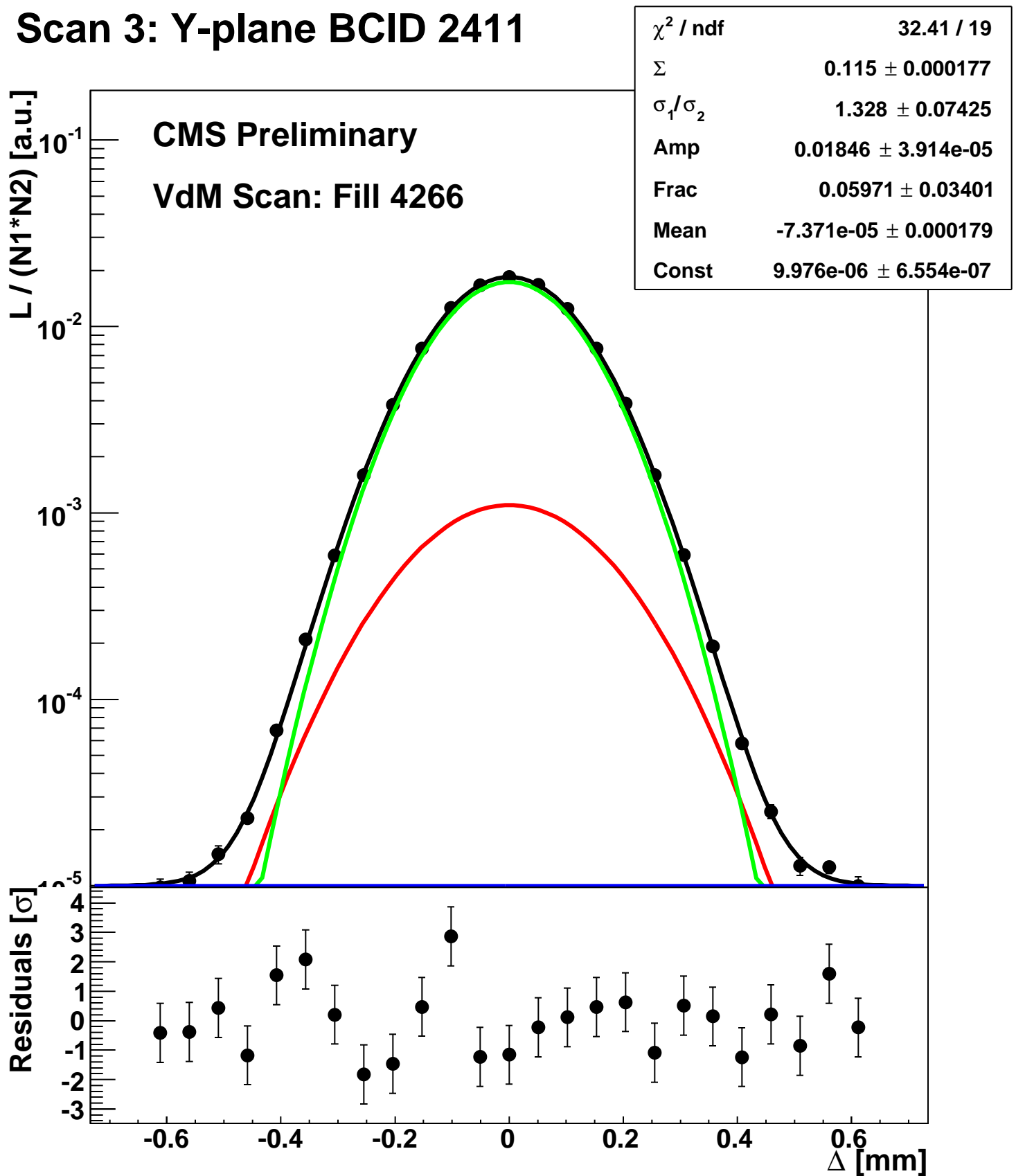
Scan 3: Y-plane BCID 2331



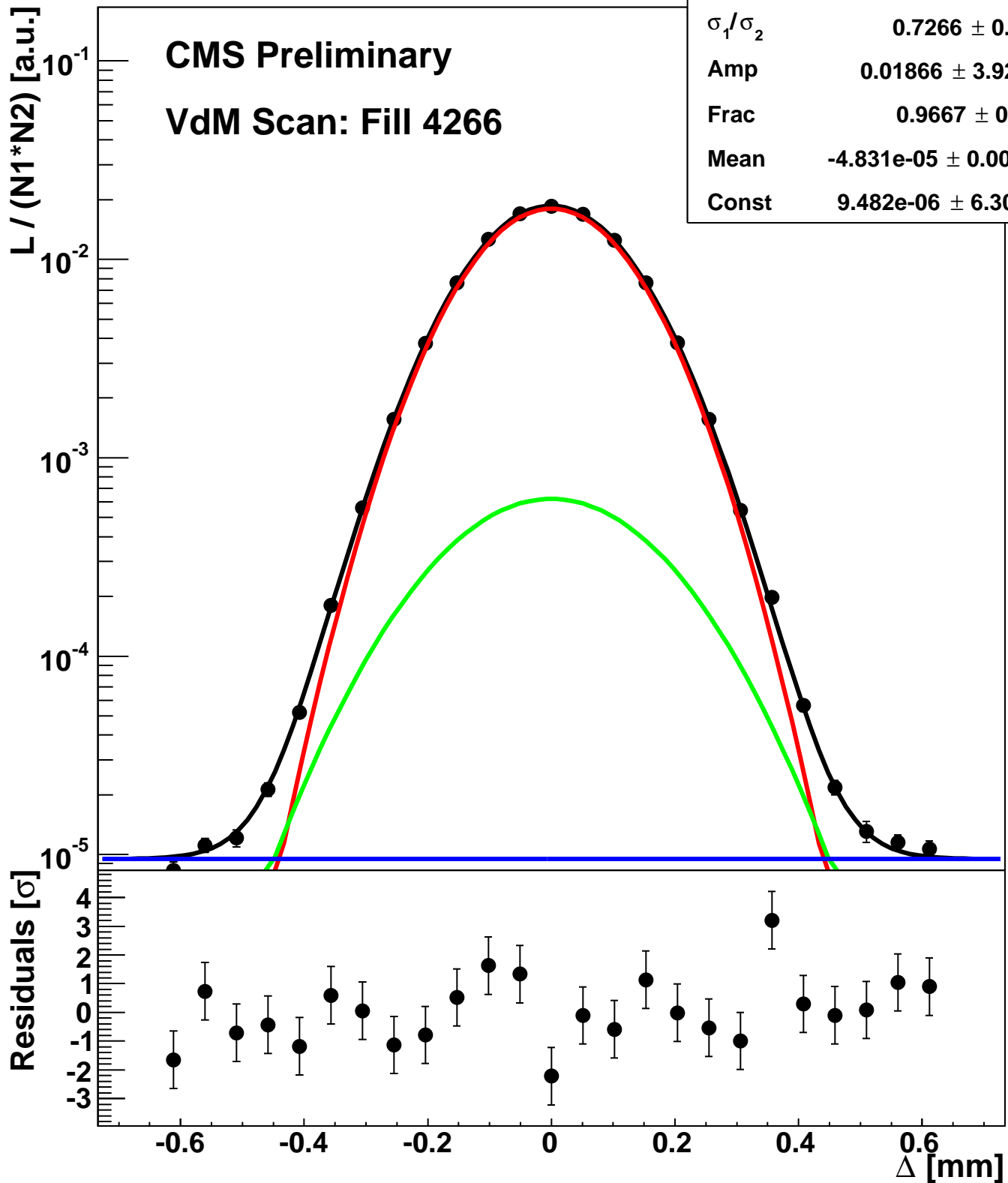
Scan 3: Y-plane BCID 2371



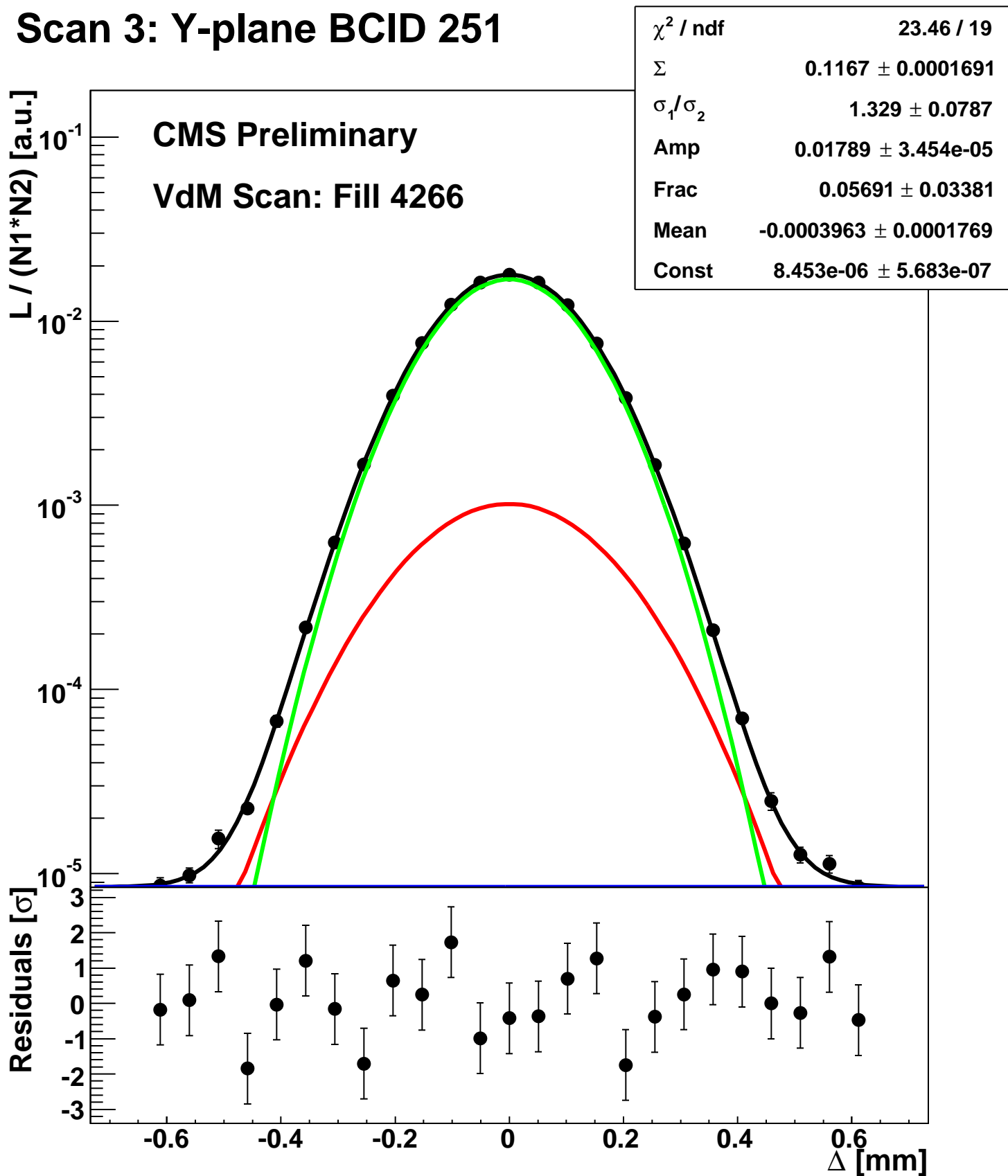
Scan 3: Y-plane BCID 2411



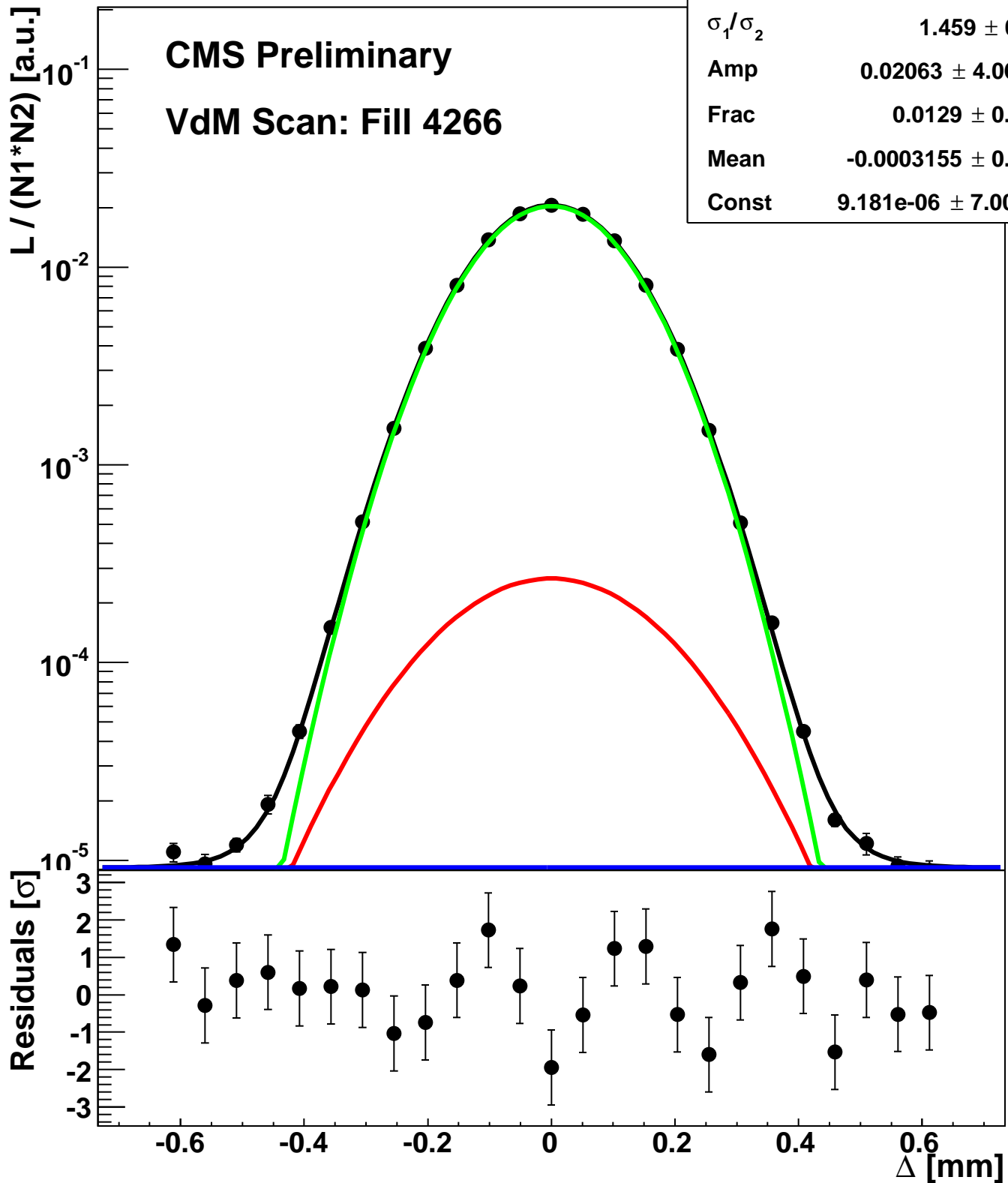
Scan 3: Y-plane BCID 2451



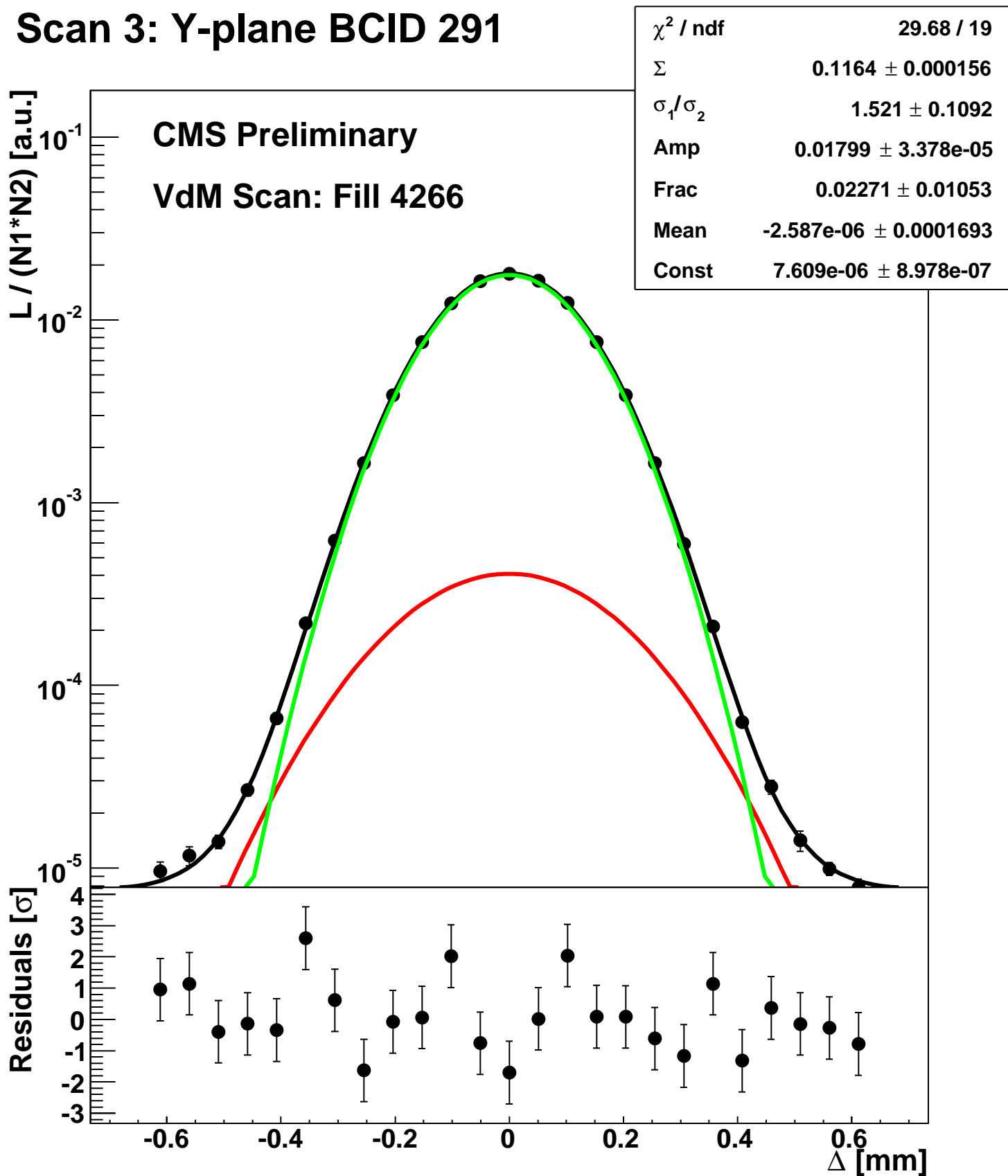
Scan 3: Y-plane BCID 251



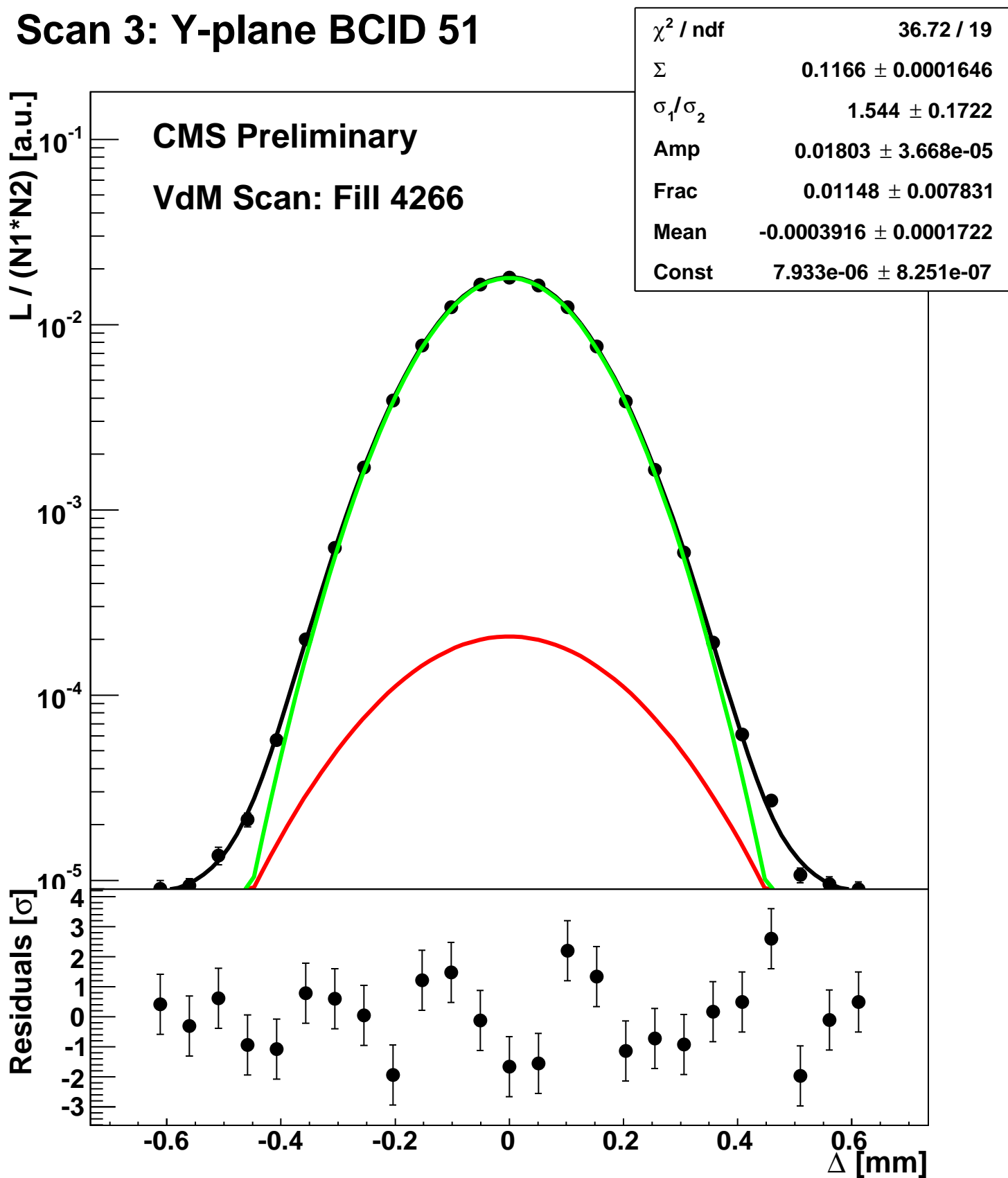
Scan 3: Y-plane BCID 2674



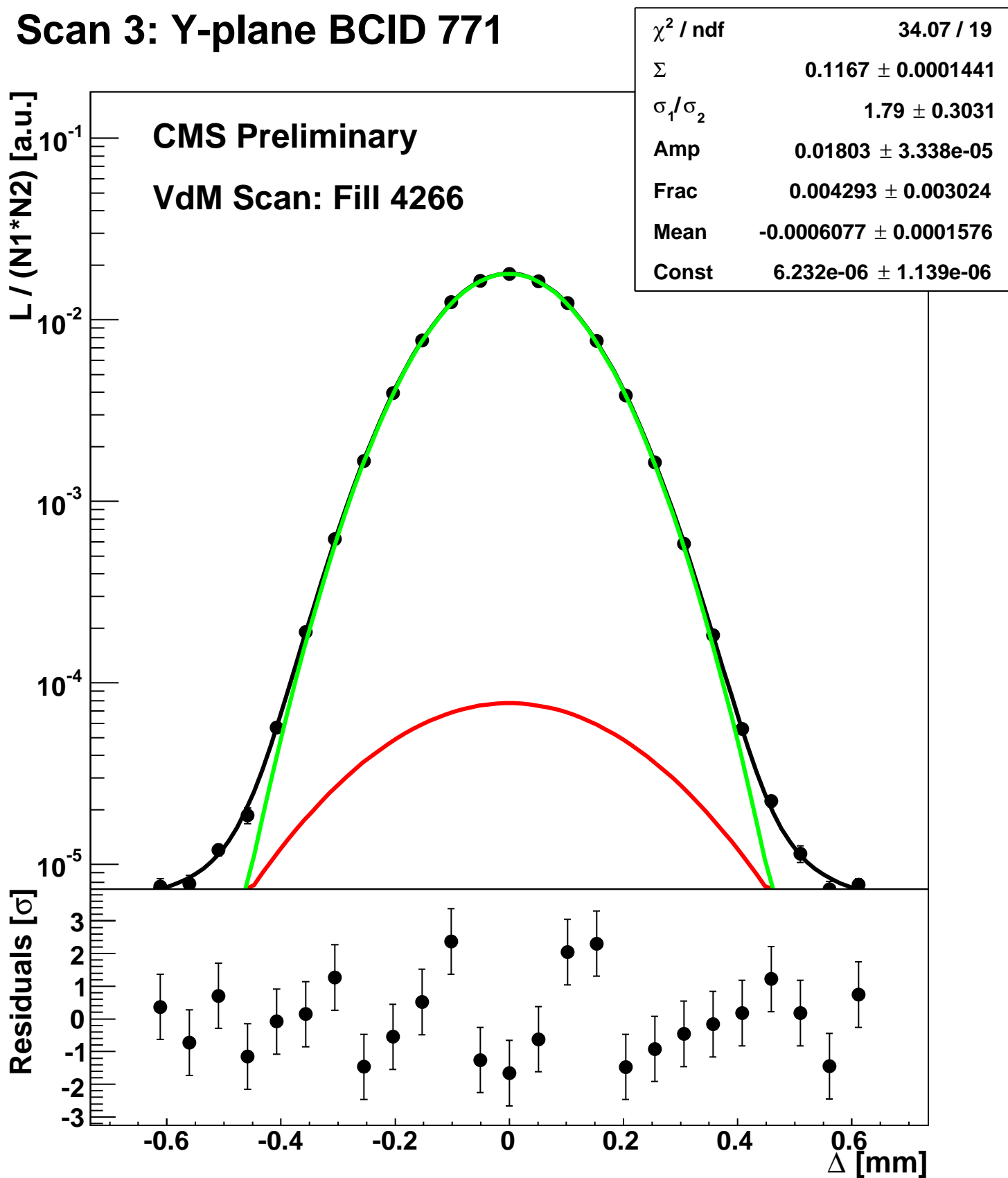
Scan 3: Y-plane BCID 291



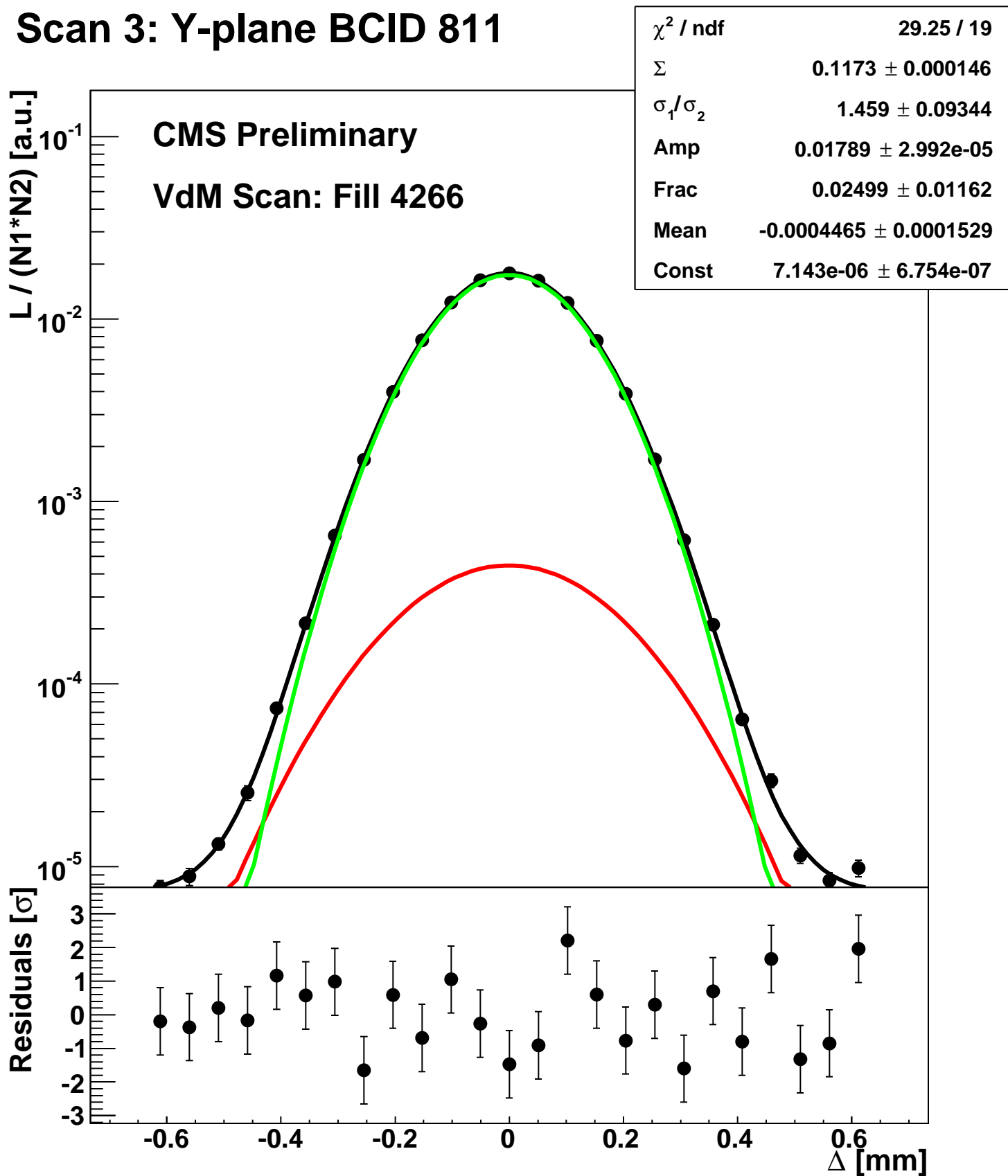
Scan 3: Y-plane BCID 51



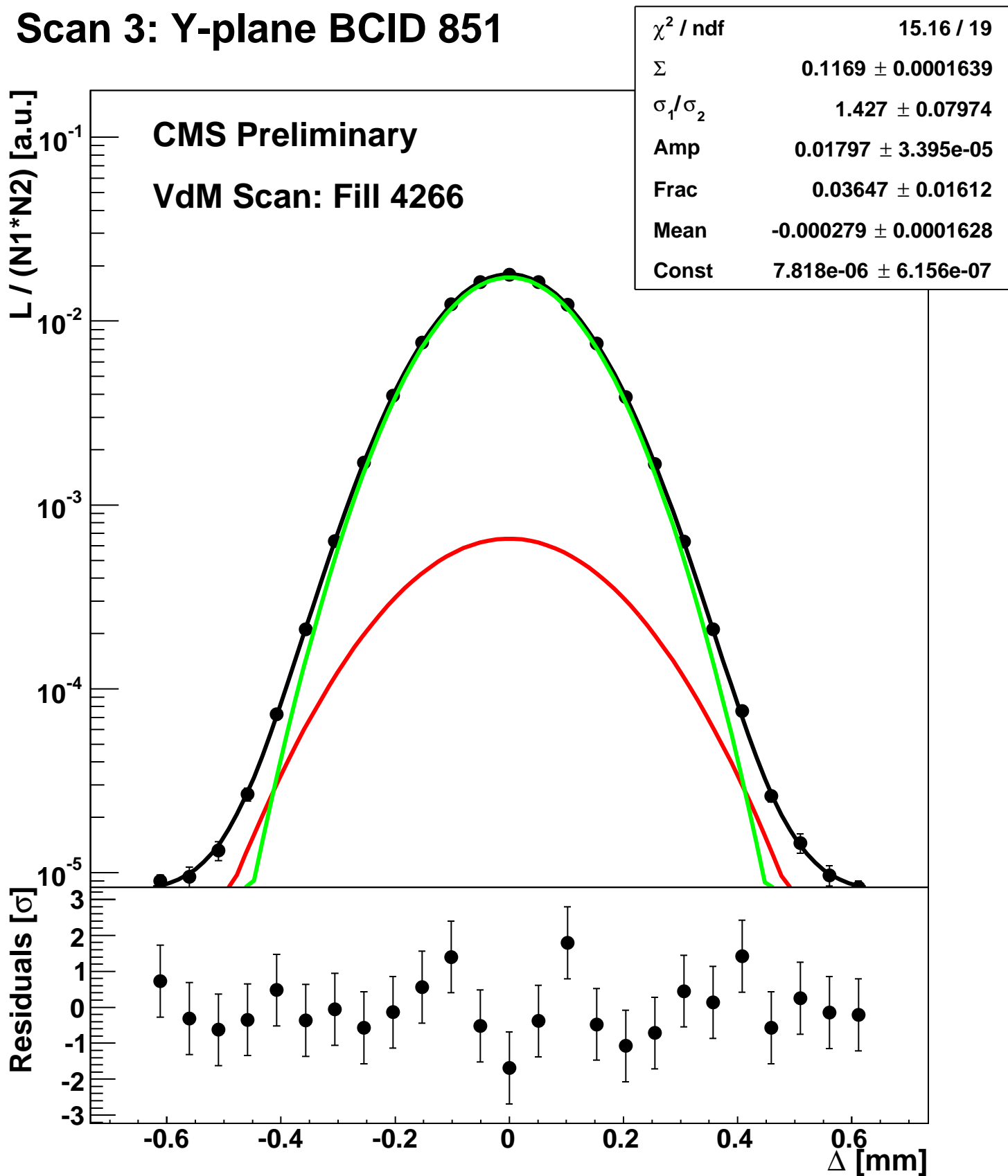
Scan 3: Y-plane BCID 771



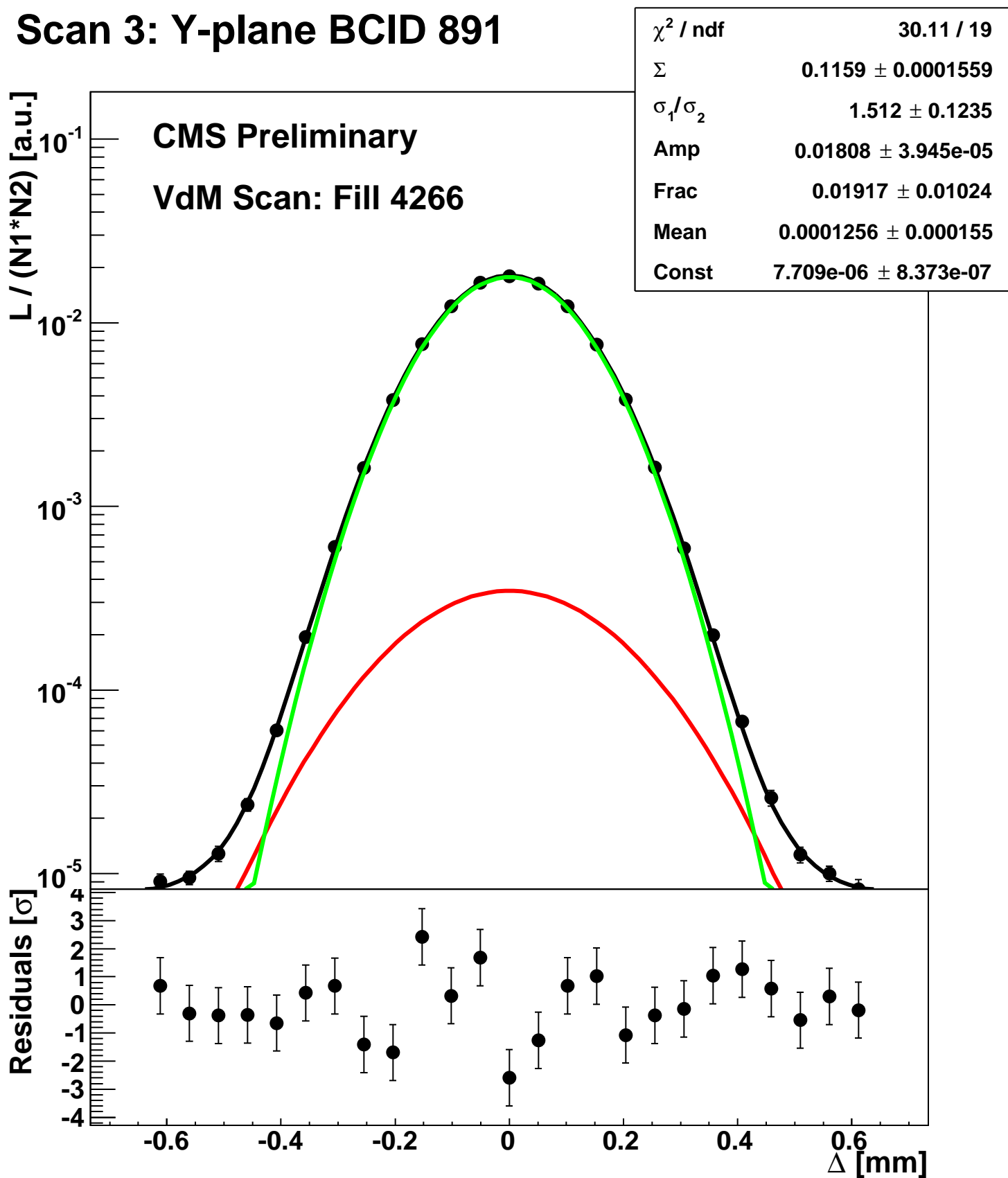
Scan 3: Y-plane BCID 811



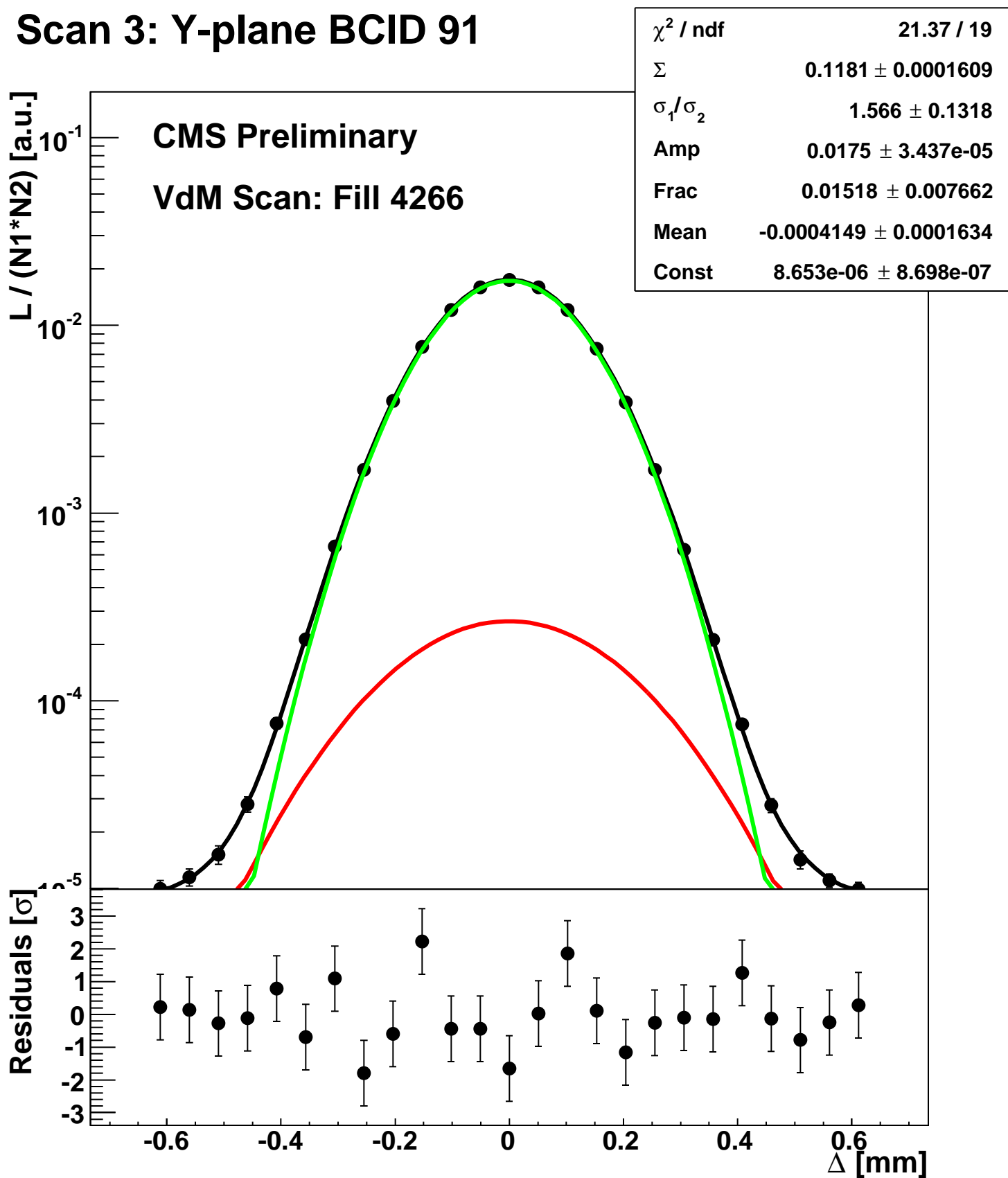
Scan 3: Y-plane BCID 851



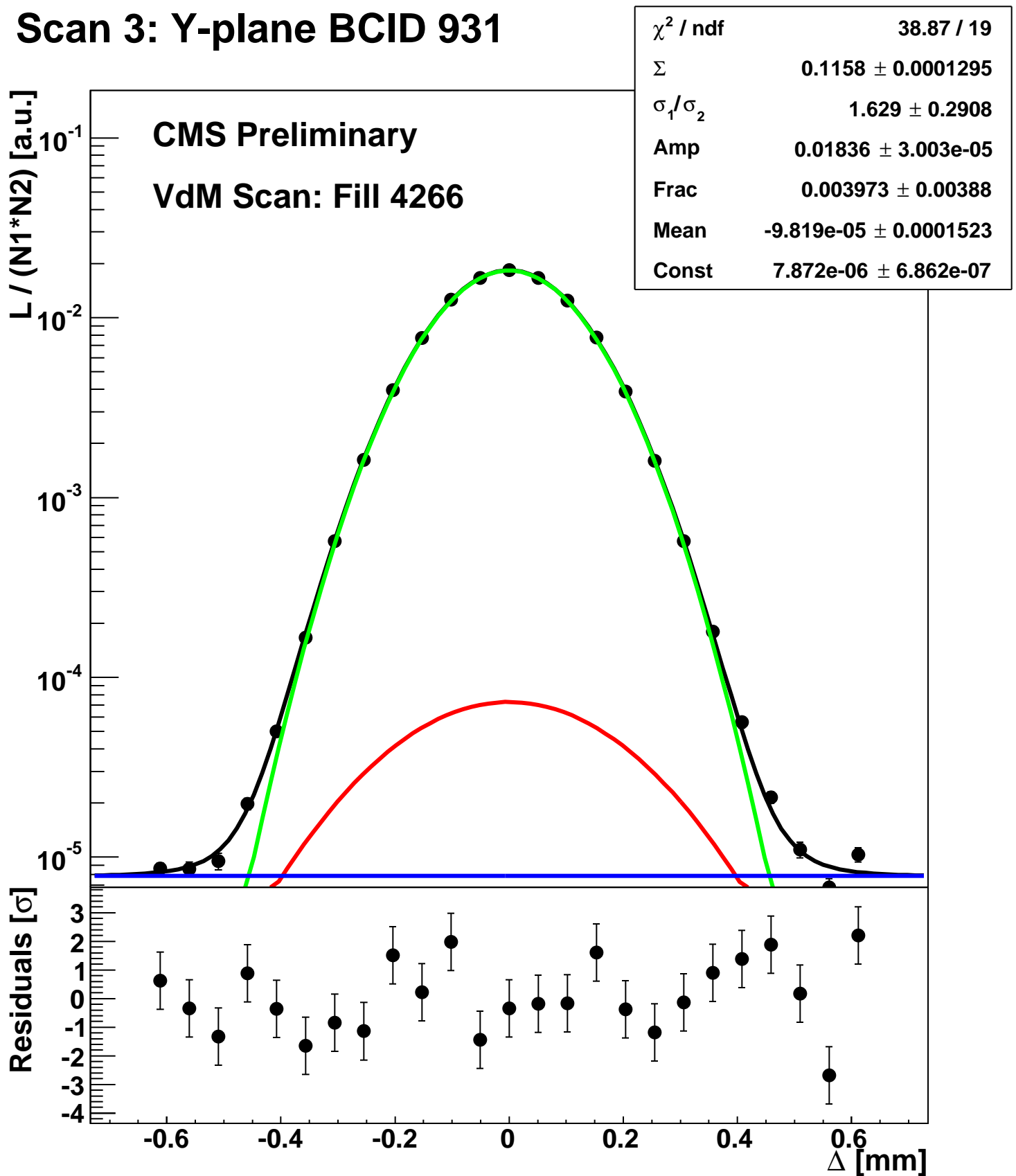
Scan 3: Y-plane BCID 891



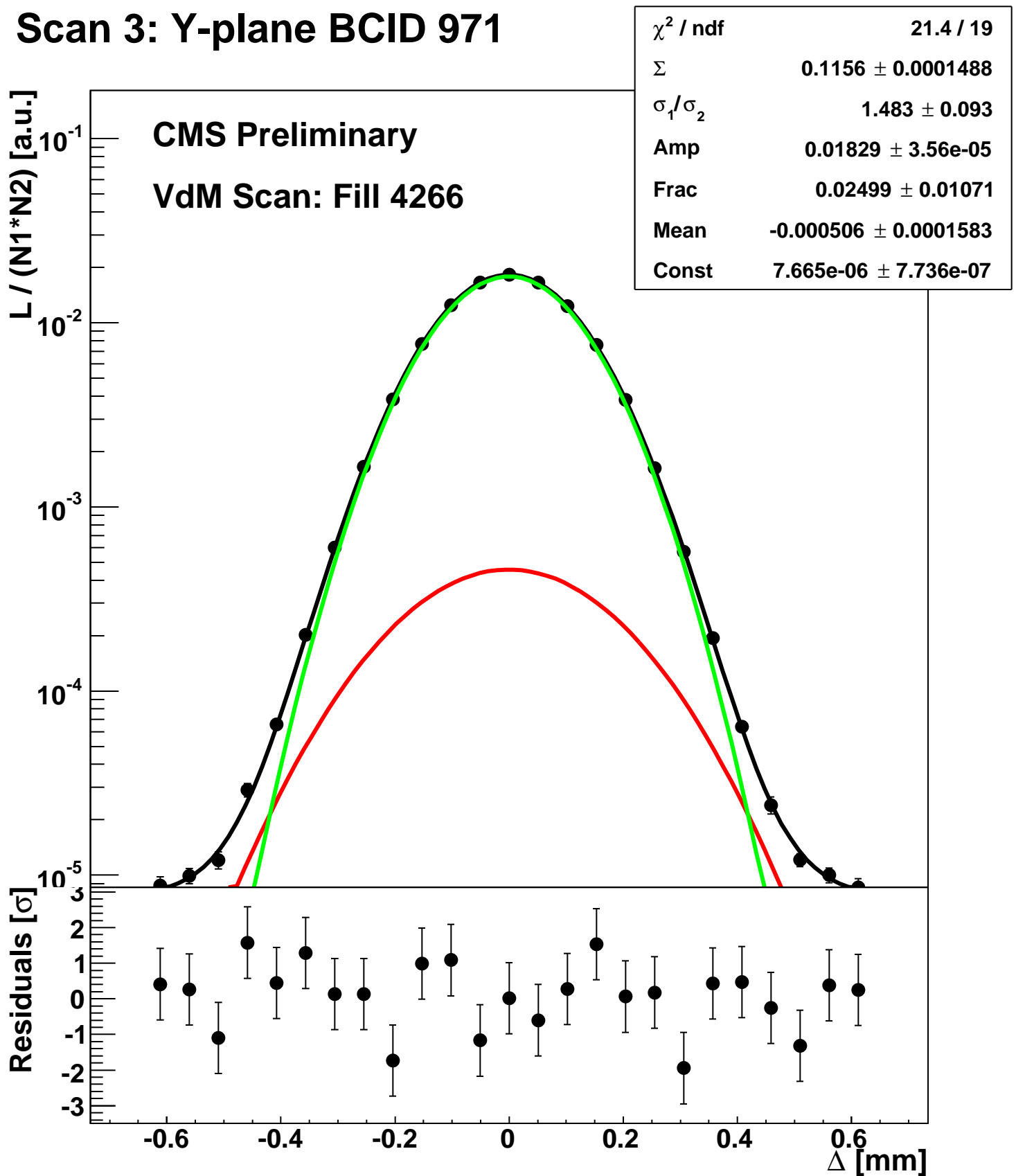
Scan 3: Y-plane BCID 91



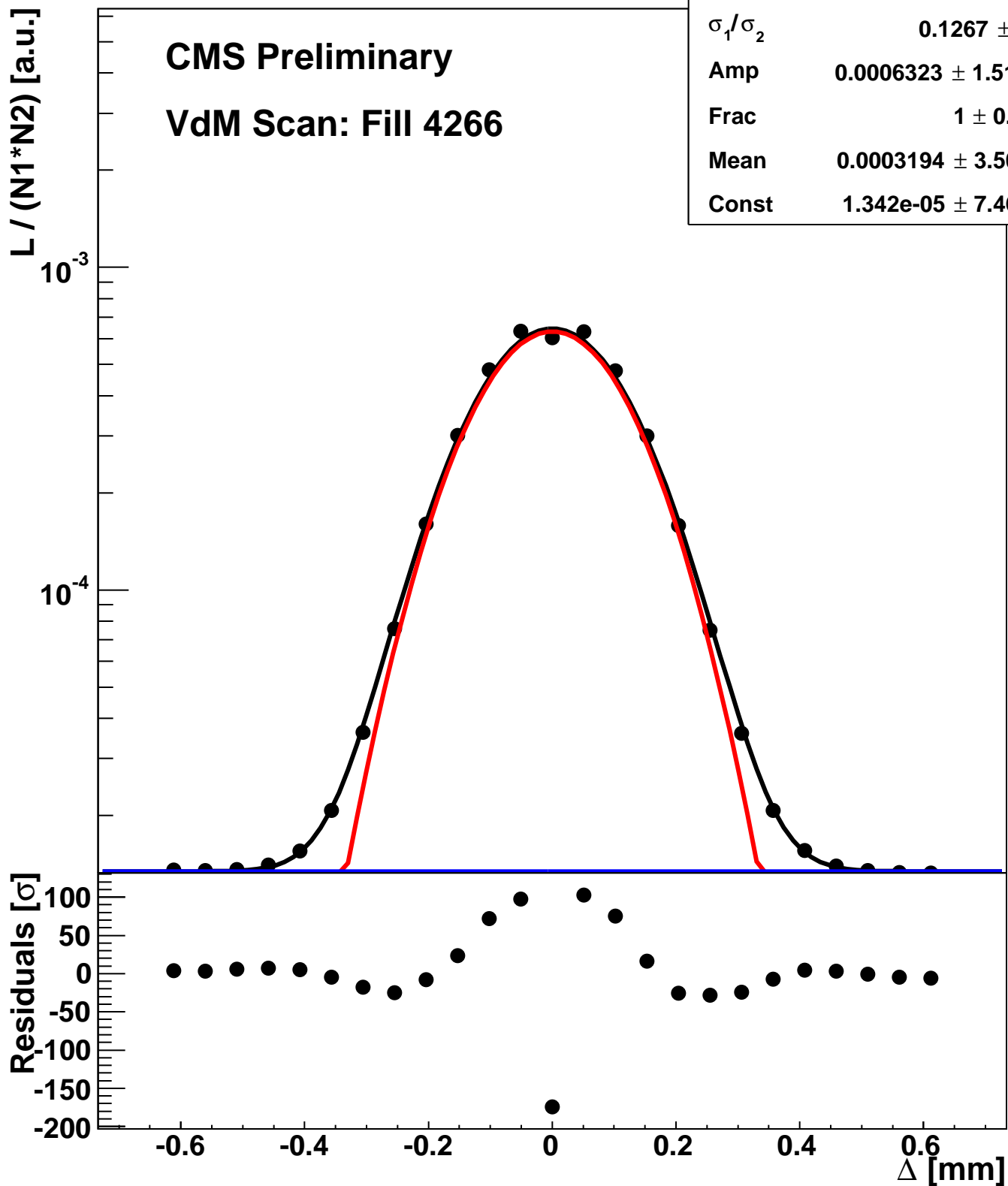
Scan 3: Y-plane BCID 931



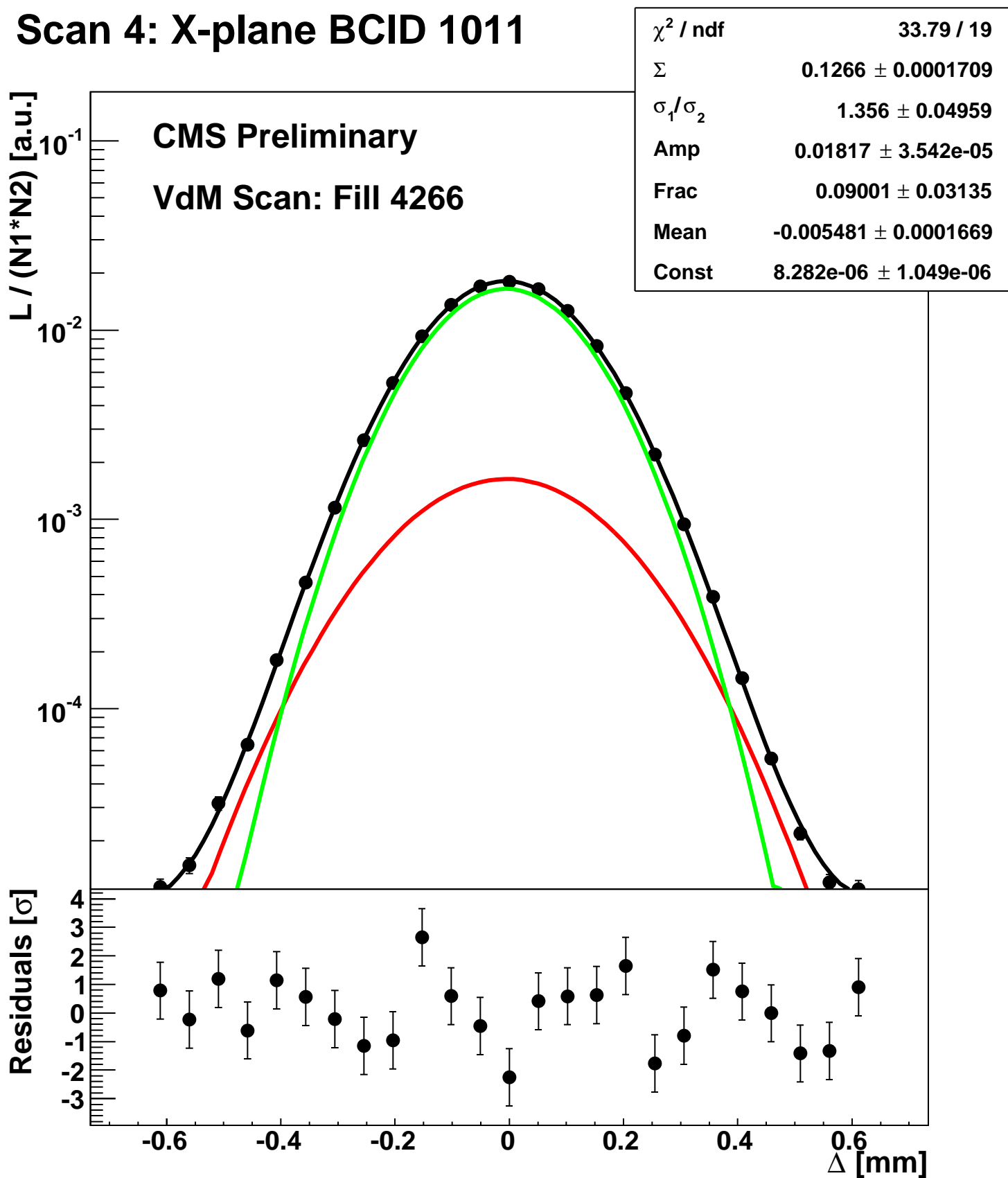
Scan 3: Y-plane BCID 971



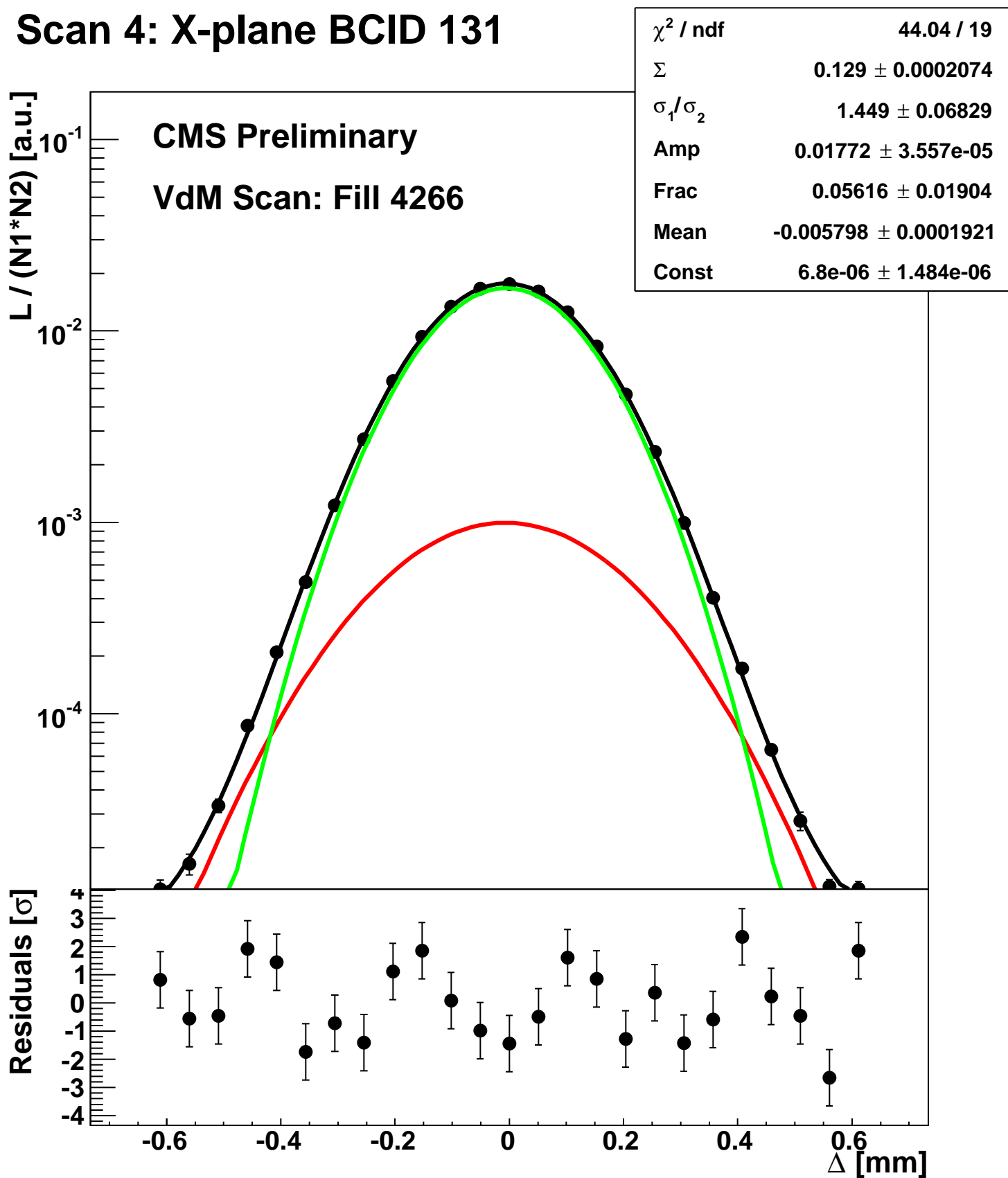
Scan 3: Y-plane BCID sum



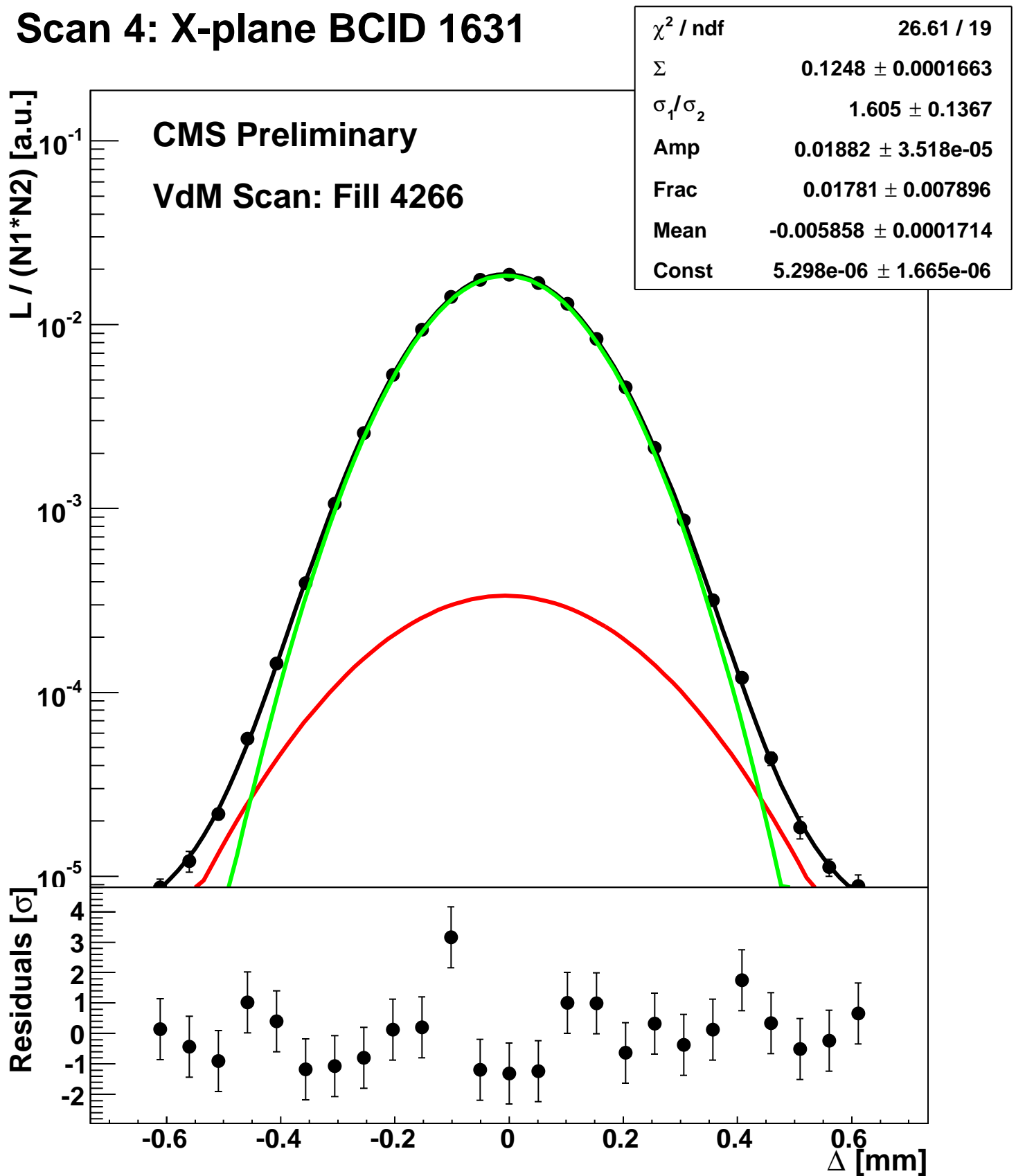
Scan 4: X-plane BCID 1011



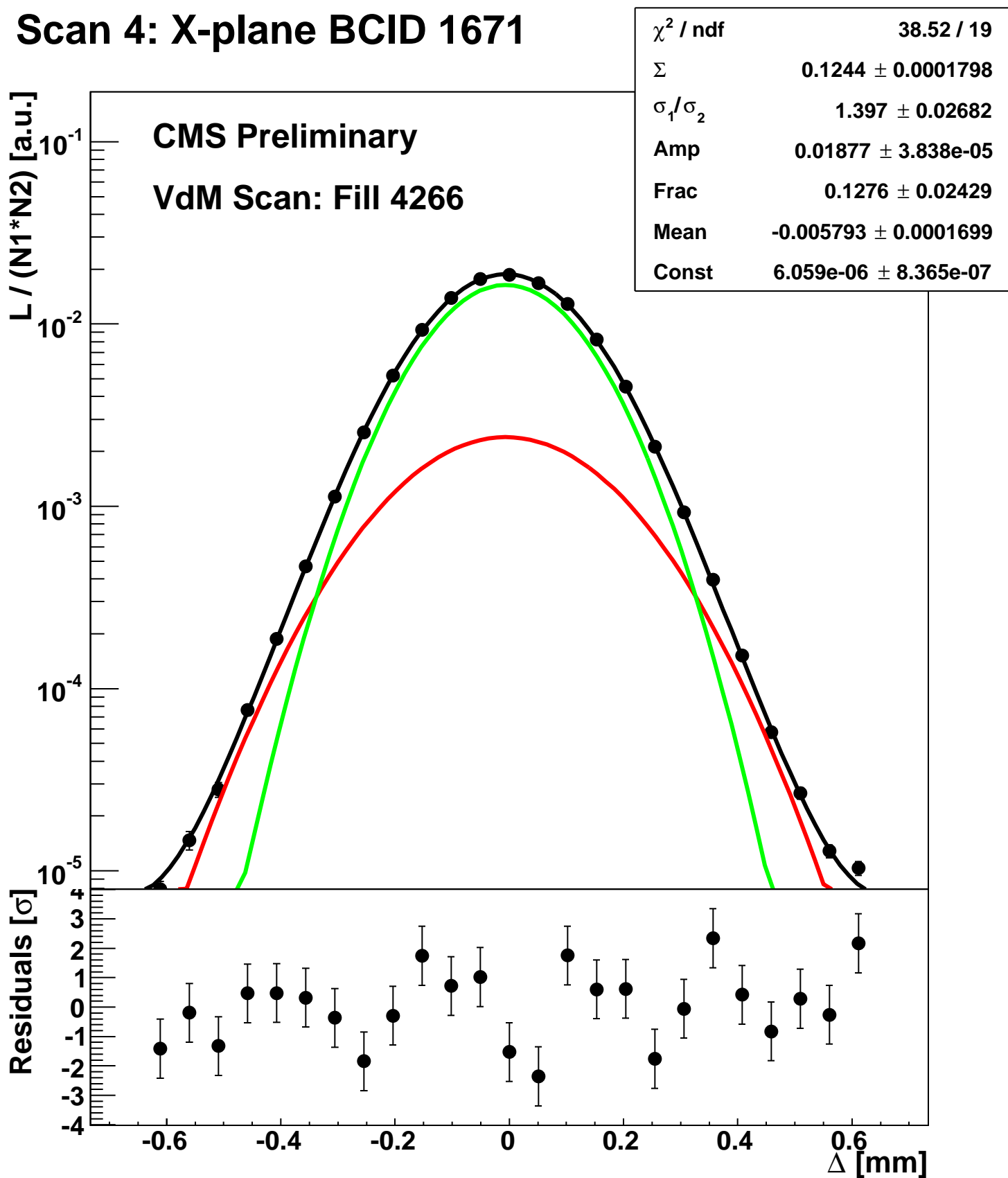
Scan 4: X-plane BCID 131



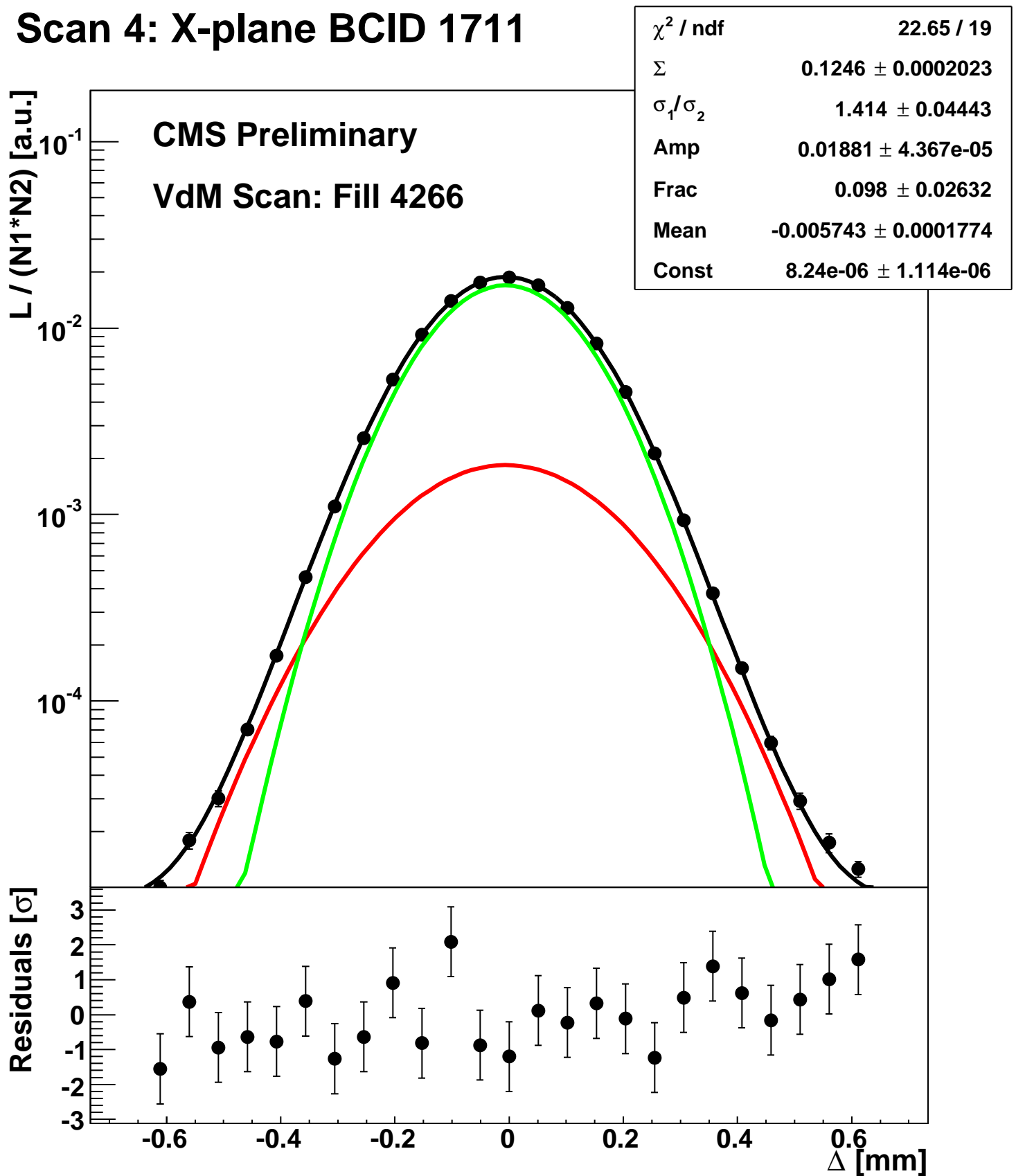
Scan 4: X-plane BCID 1631



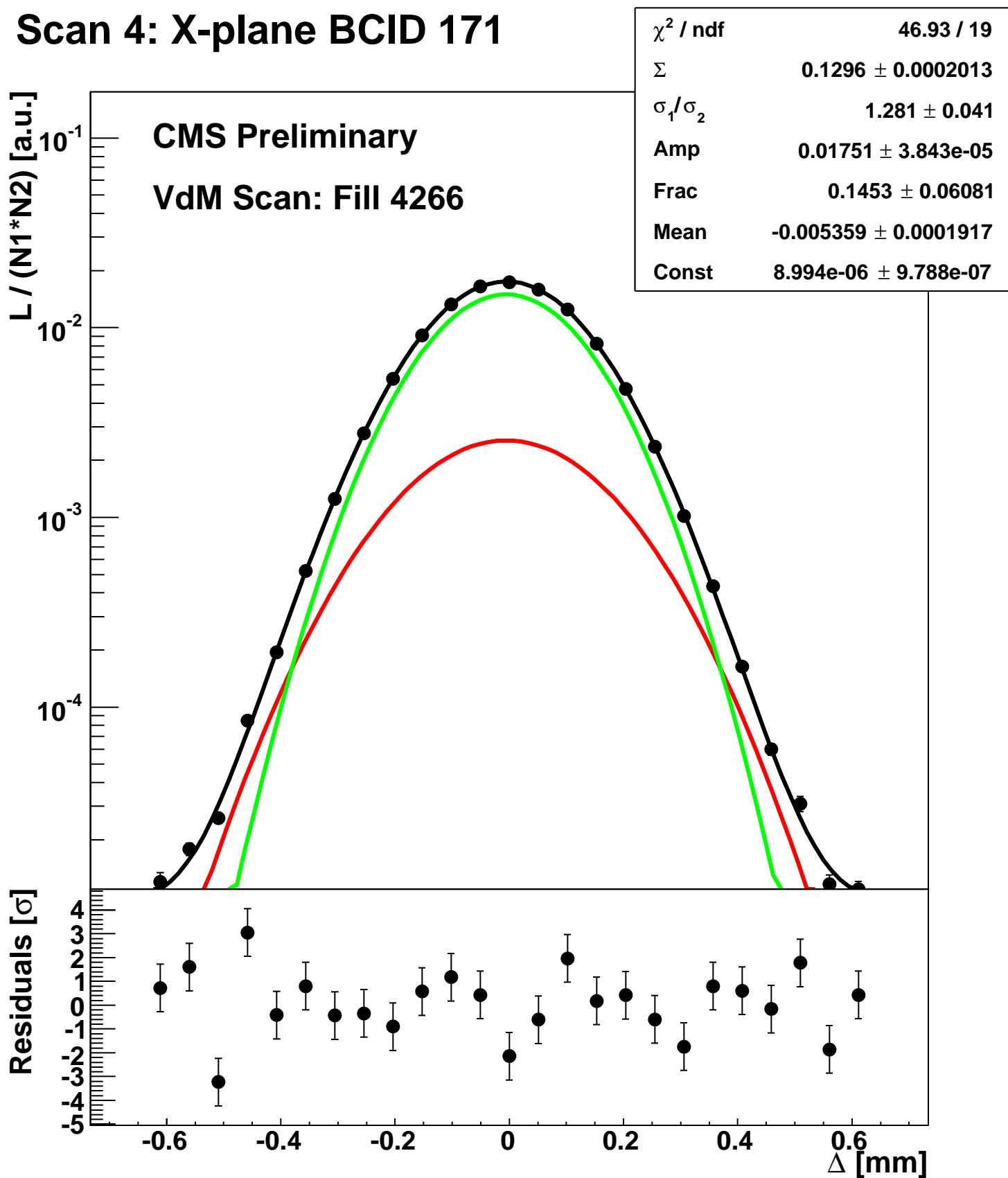
Scan 4: X-plane BCID 1671



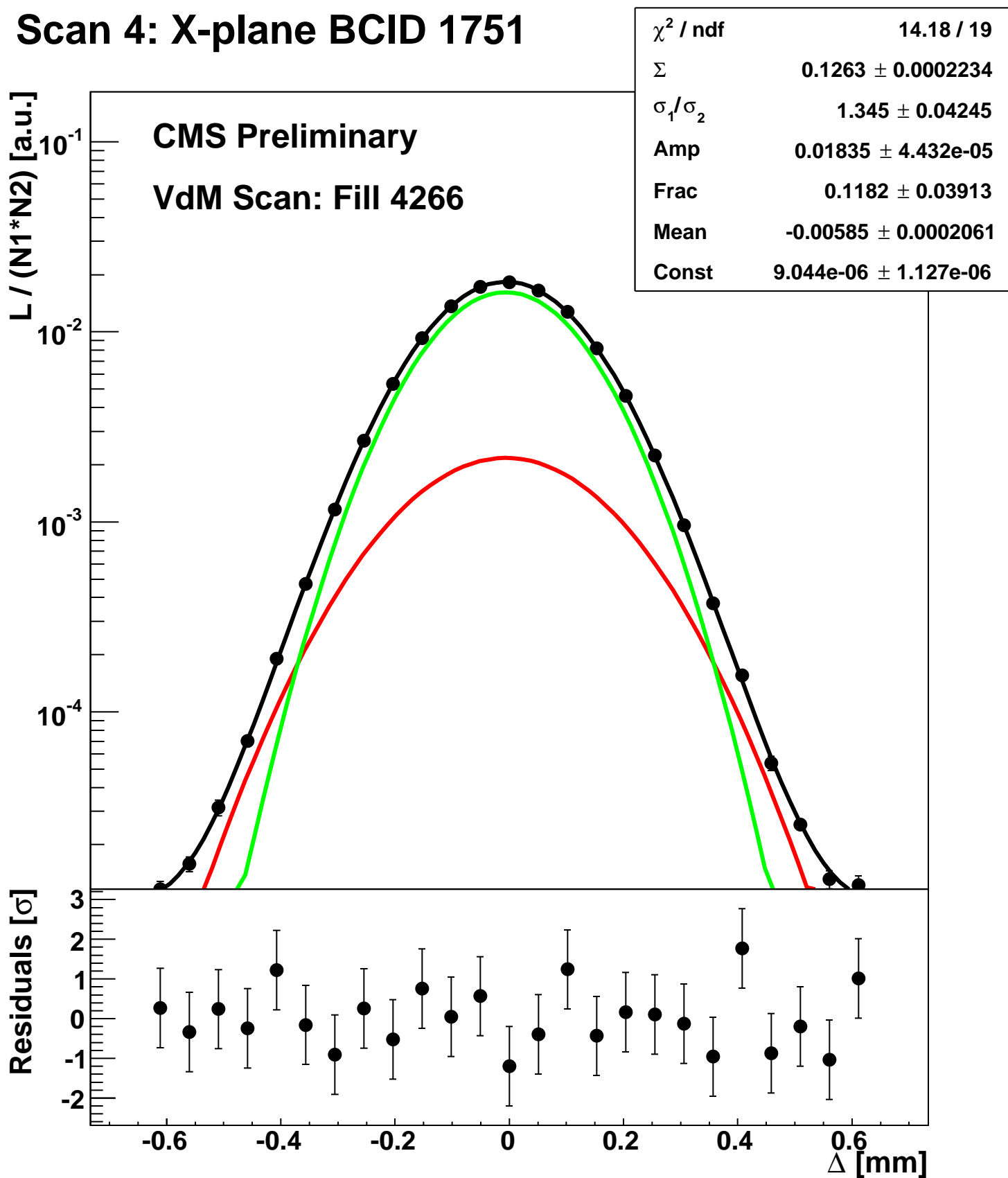
Scan 4: X-plane BCID 1711



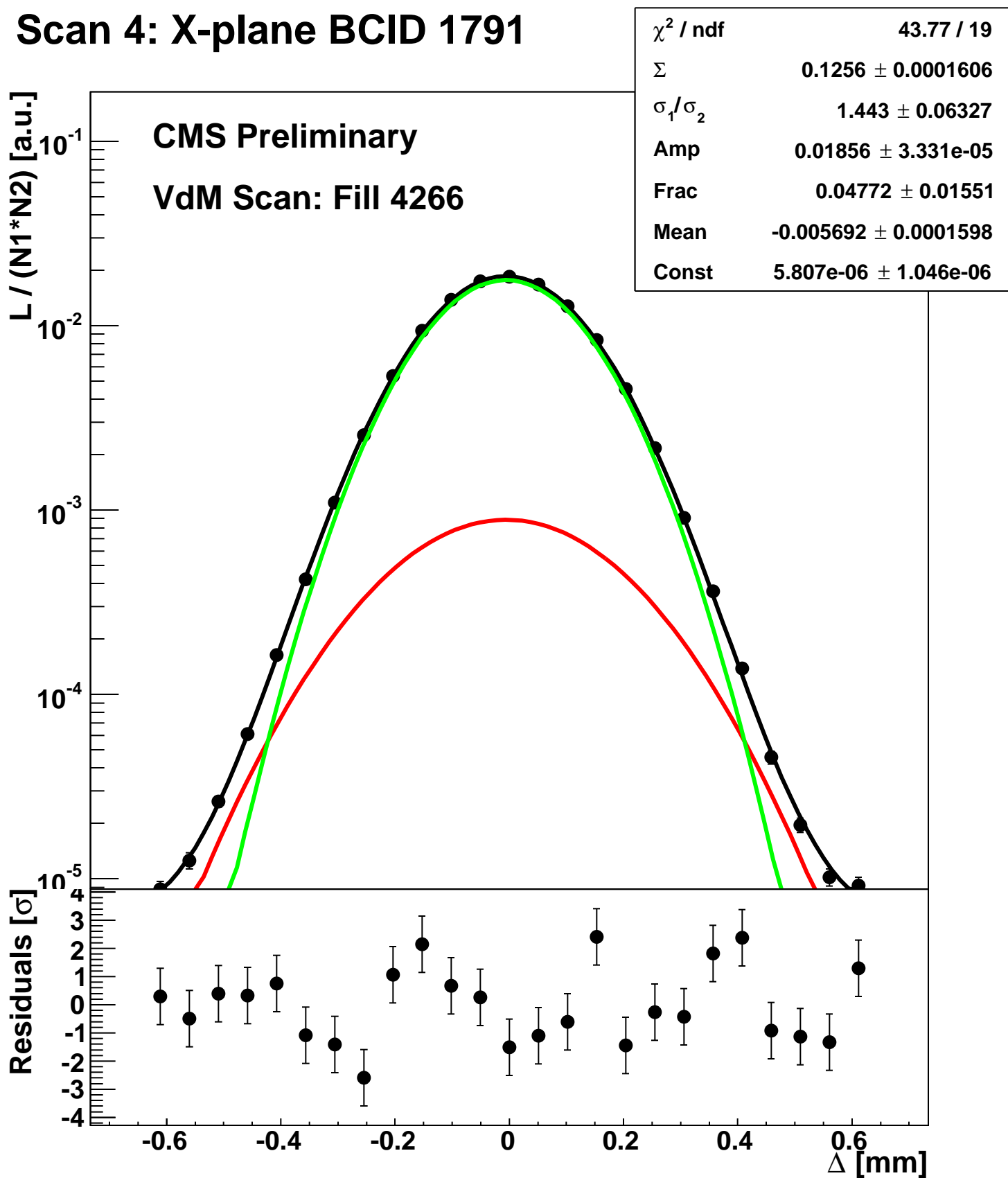
Scan 4: X-plane BCID 171



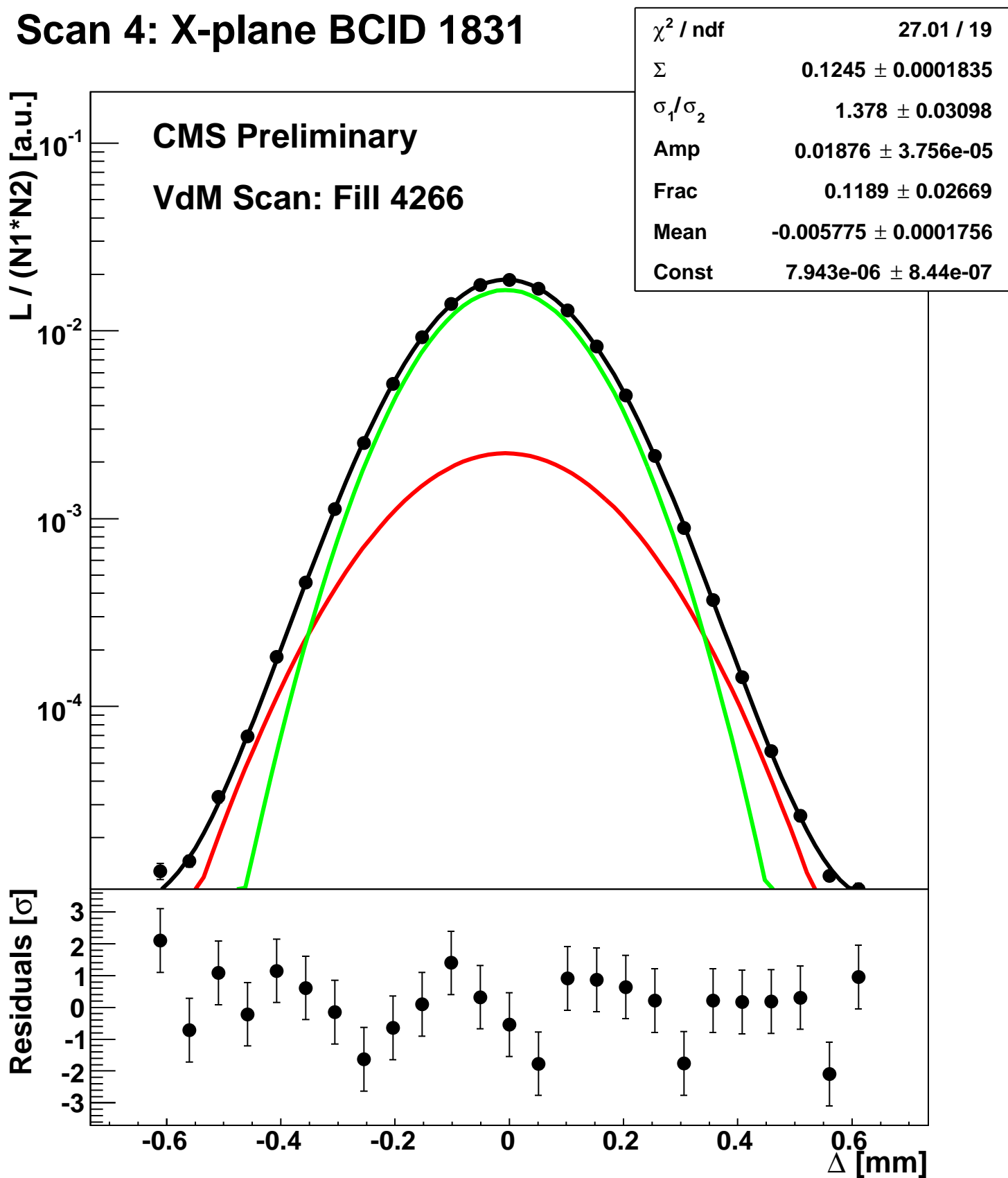
Scan 4: X-plane BCID 1751



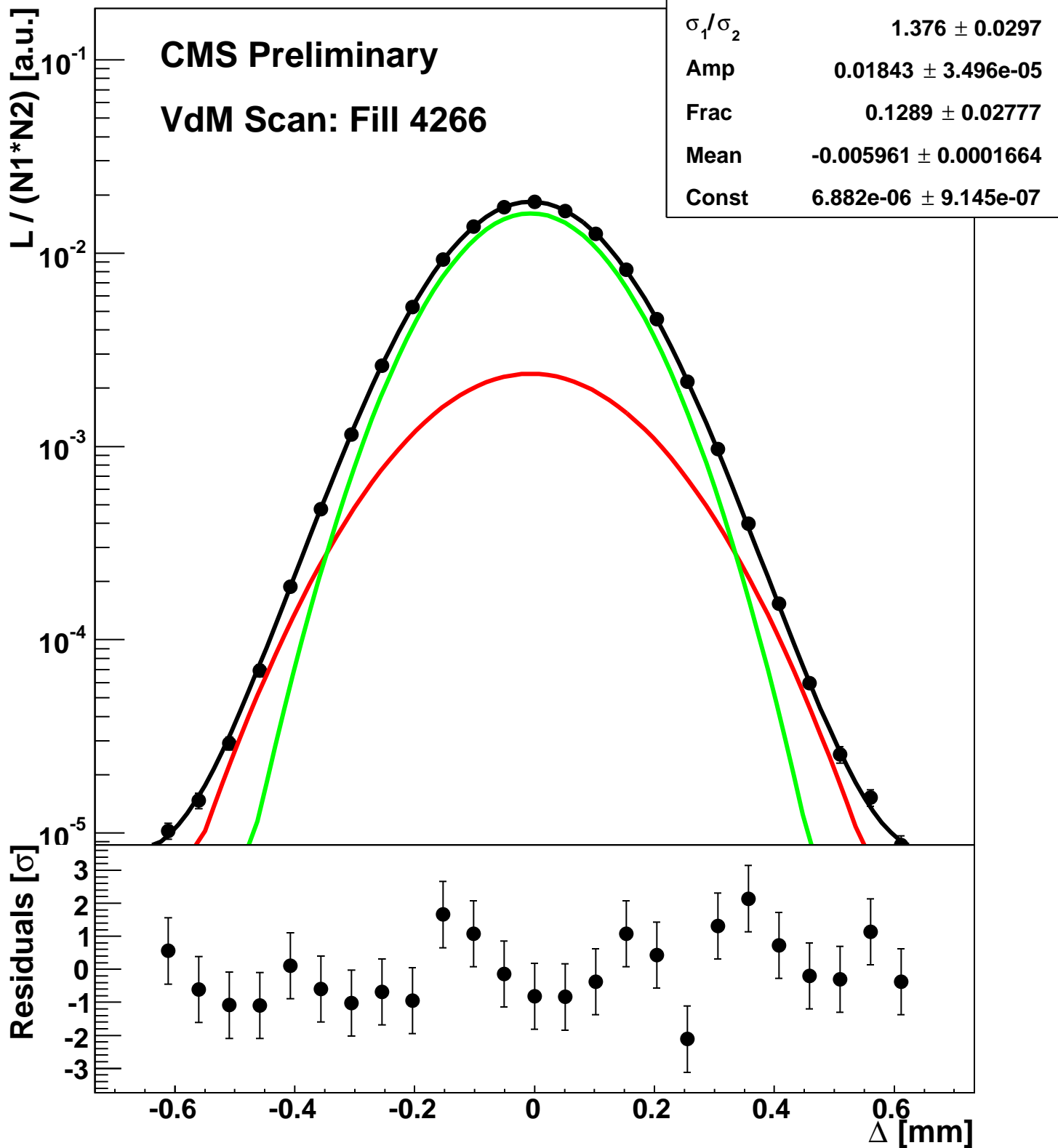
Scan 4: X-plane BCID 1791



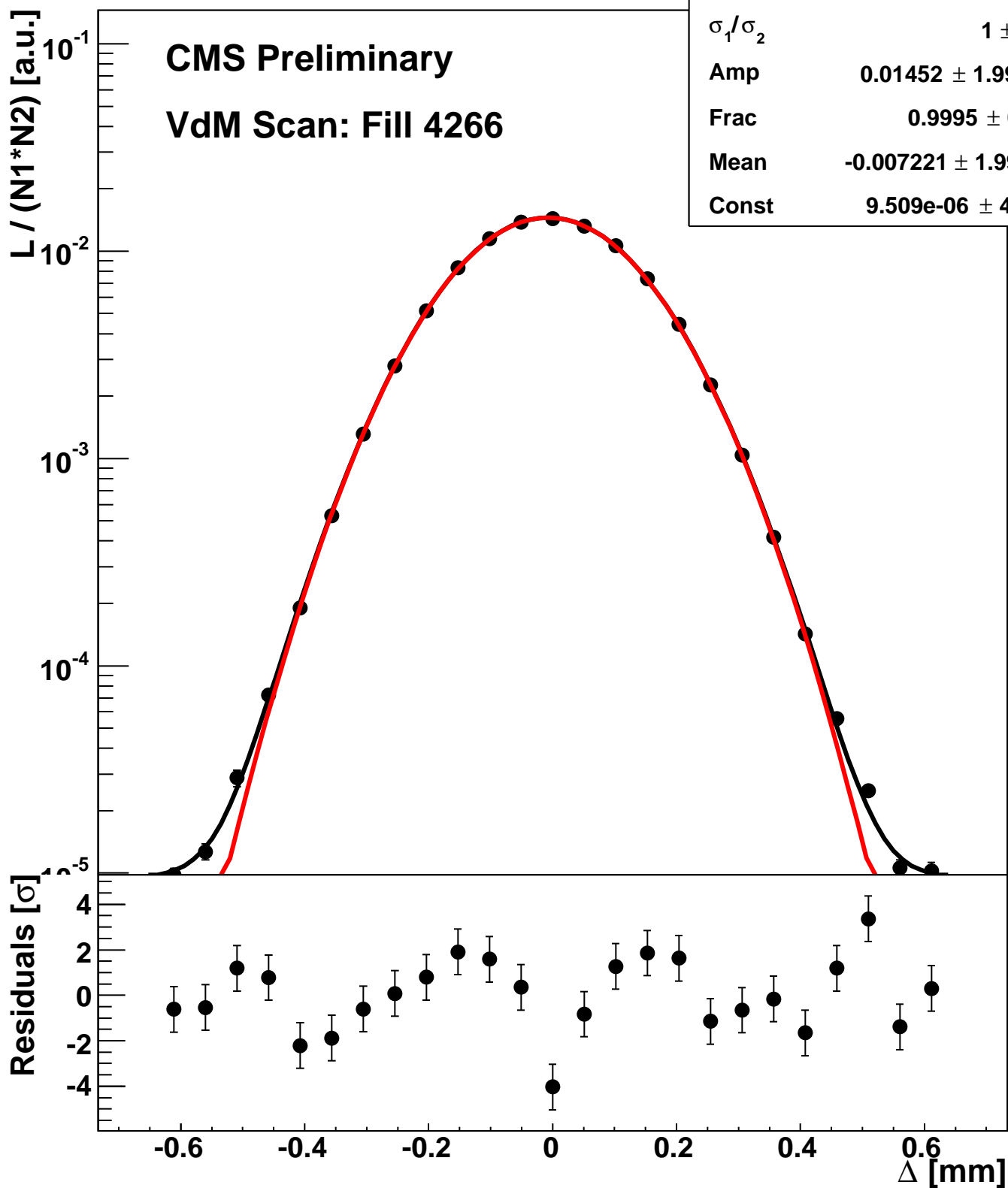
Scan 4: X-plane BCID 1831



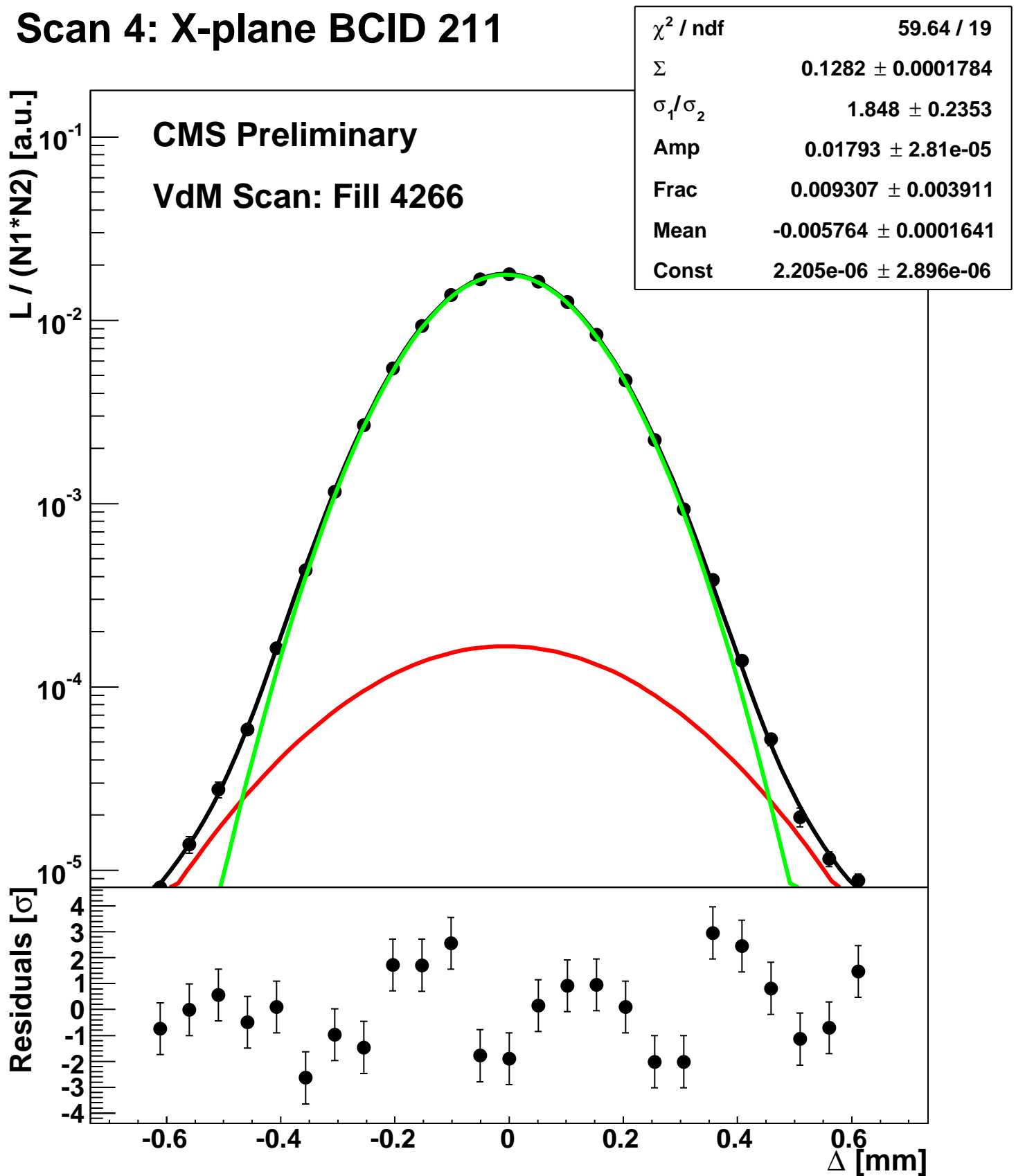
Scan 4: X-plane BCID 1871



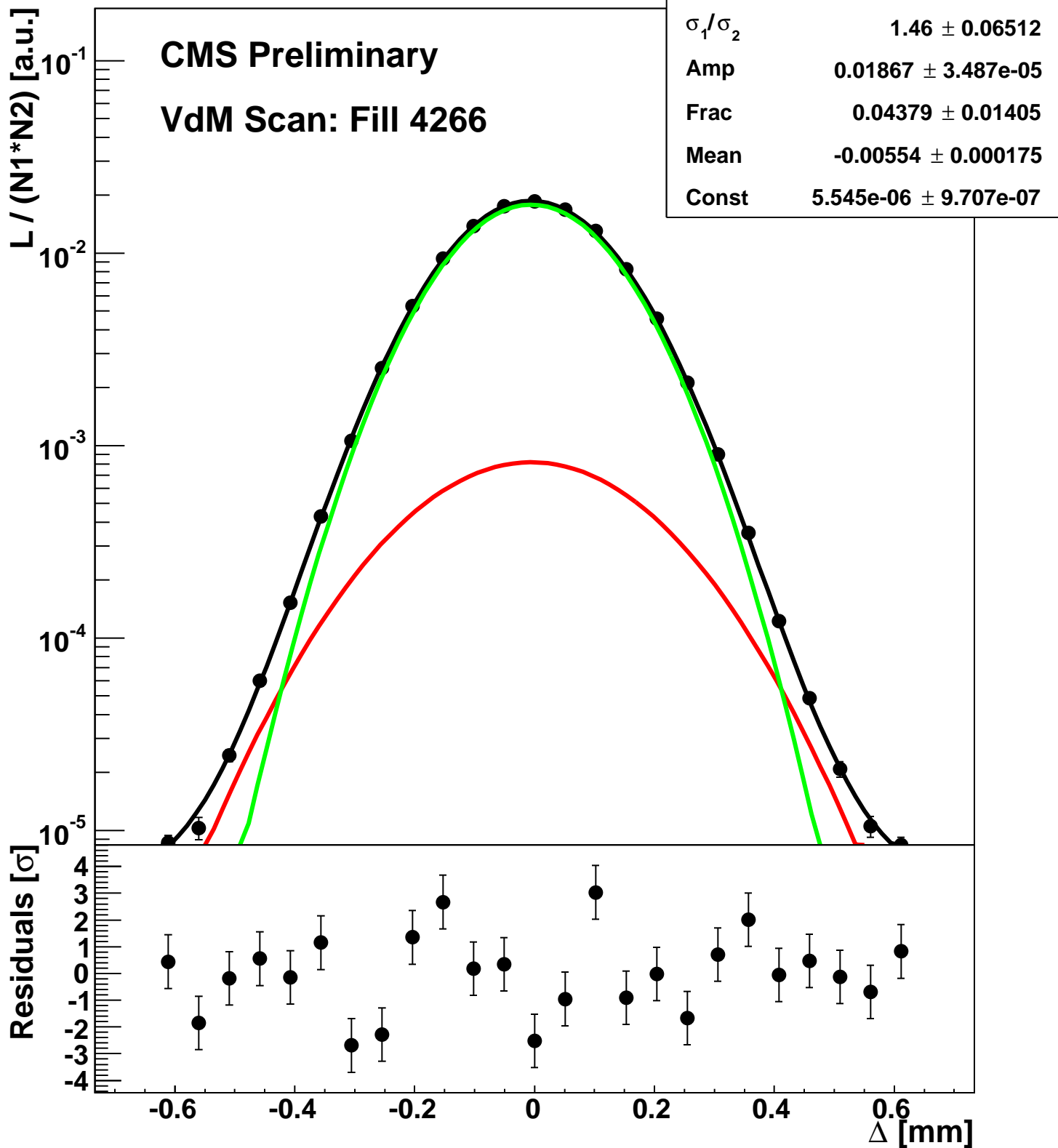
Scan 4: X-plane BCID 1



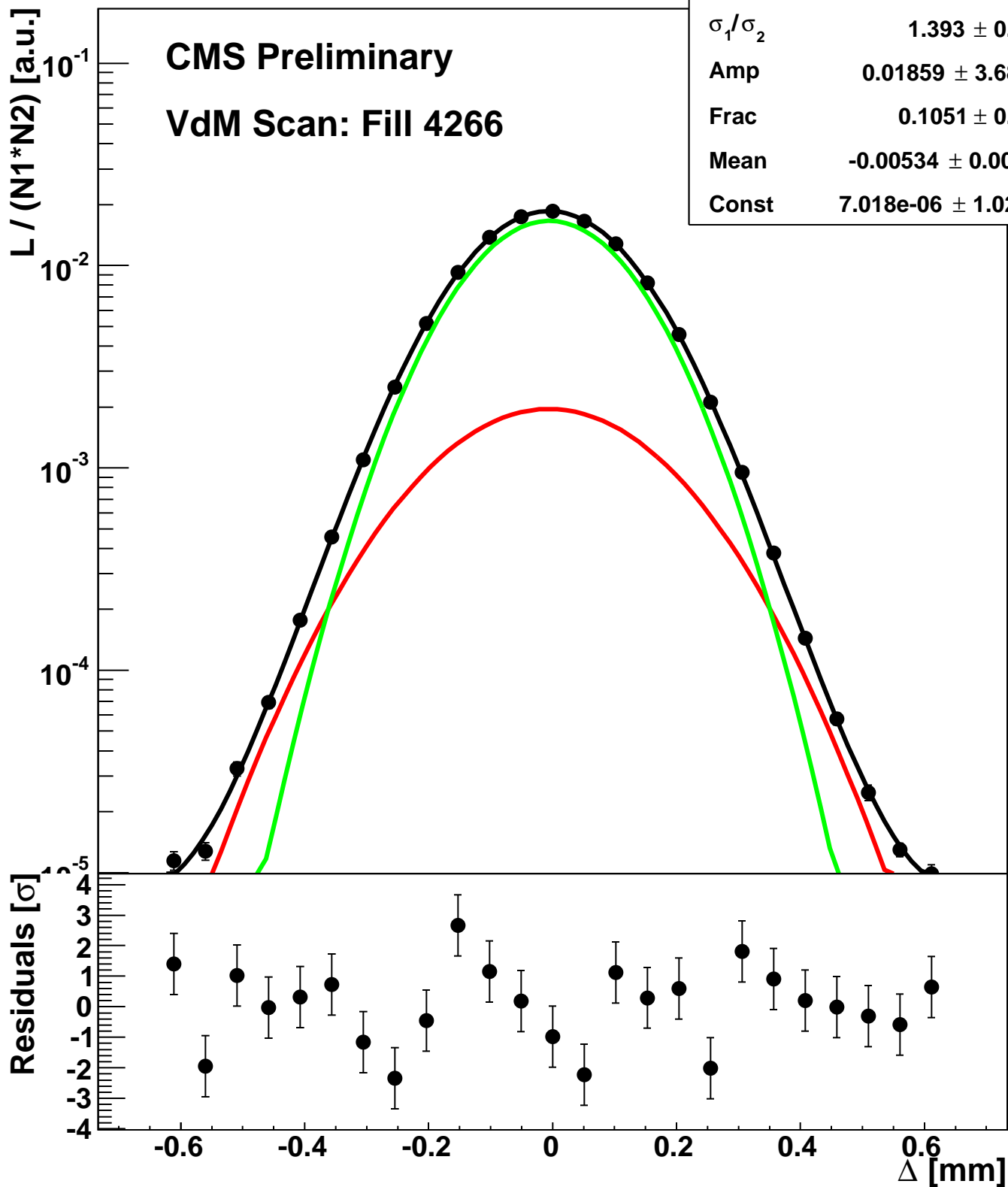
Scan 4: X-plane BCID 211



Scan 4: X-plane BCID 2211

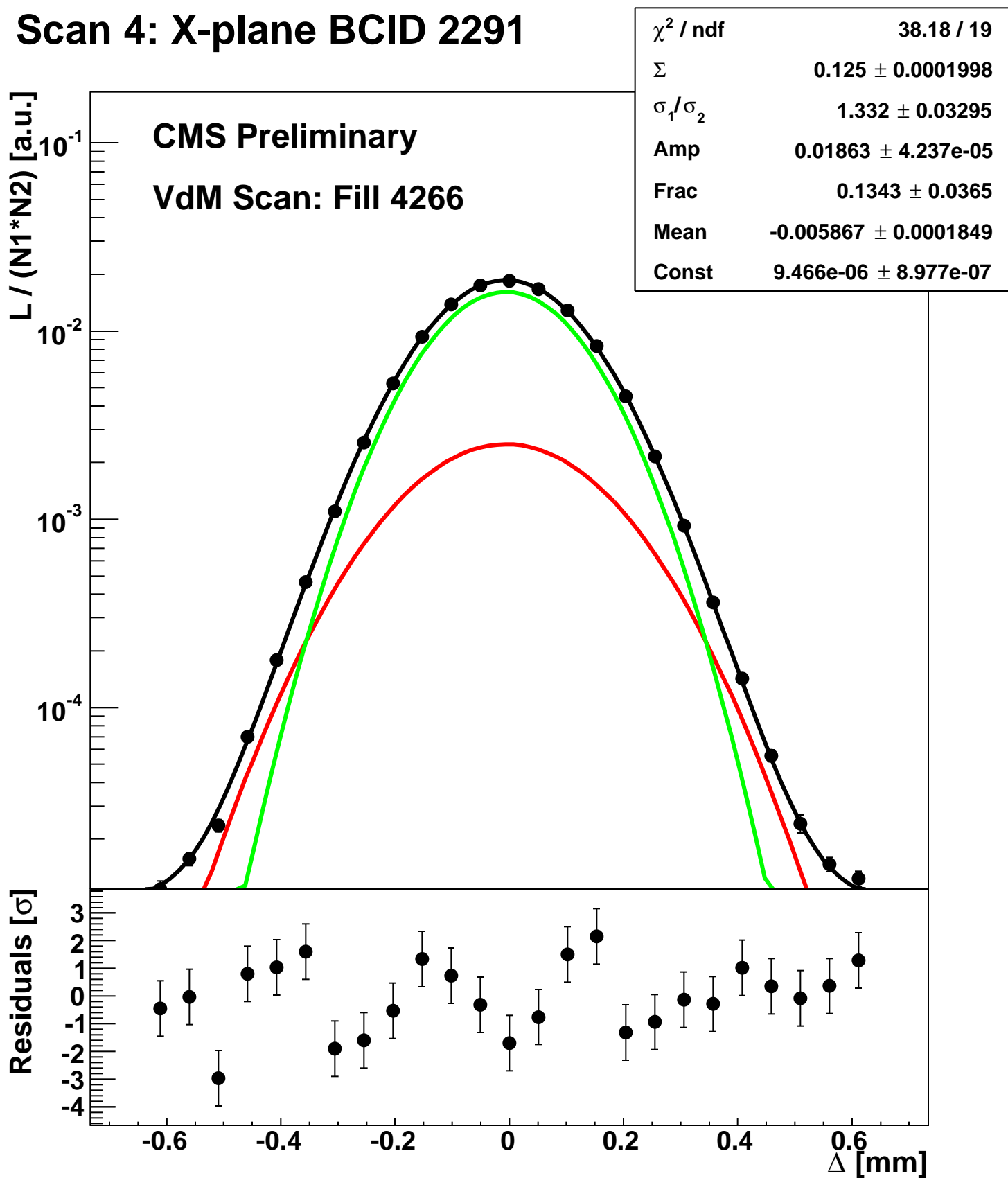


Scan 4: X-plane BCID 2251

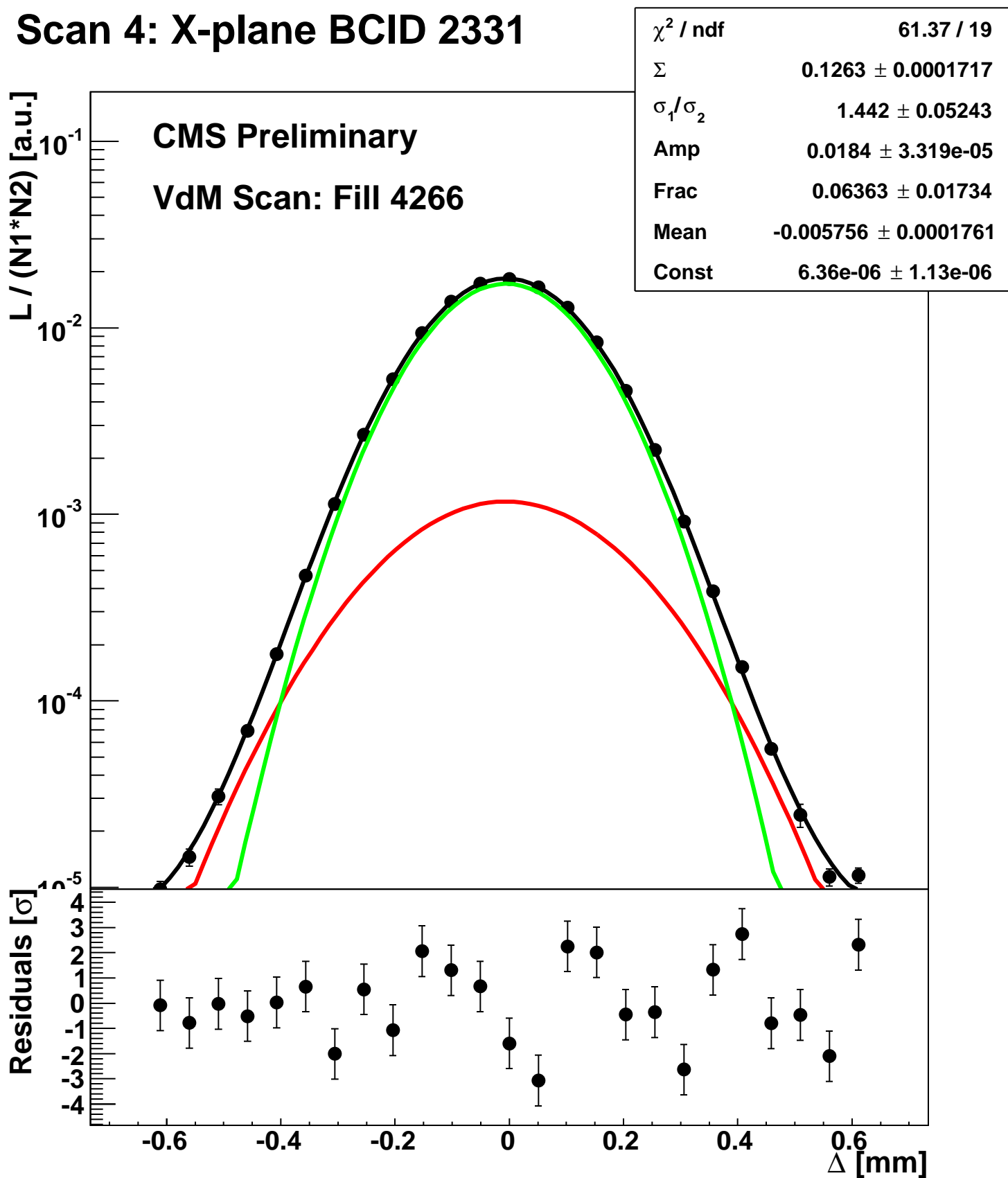


χ^2 / ndf	39.57 / 19
Σ	0.1248 ± 0.0001797
σ_1 / σ_2	1.393 ± 0.03696
Amp	$0.01859 \pm 3.684\text{e-}05$
Frac	0.1051 ± 0.02552
Mean	-0.00534 ± 0.0001786
Const	$7.018\text{e-}06 \pm 1.029\text{e-}06$

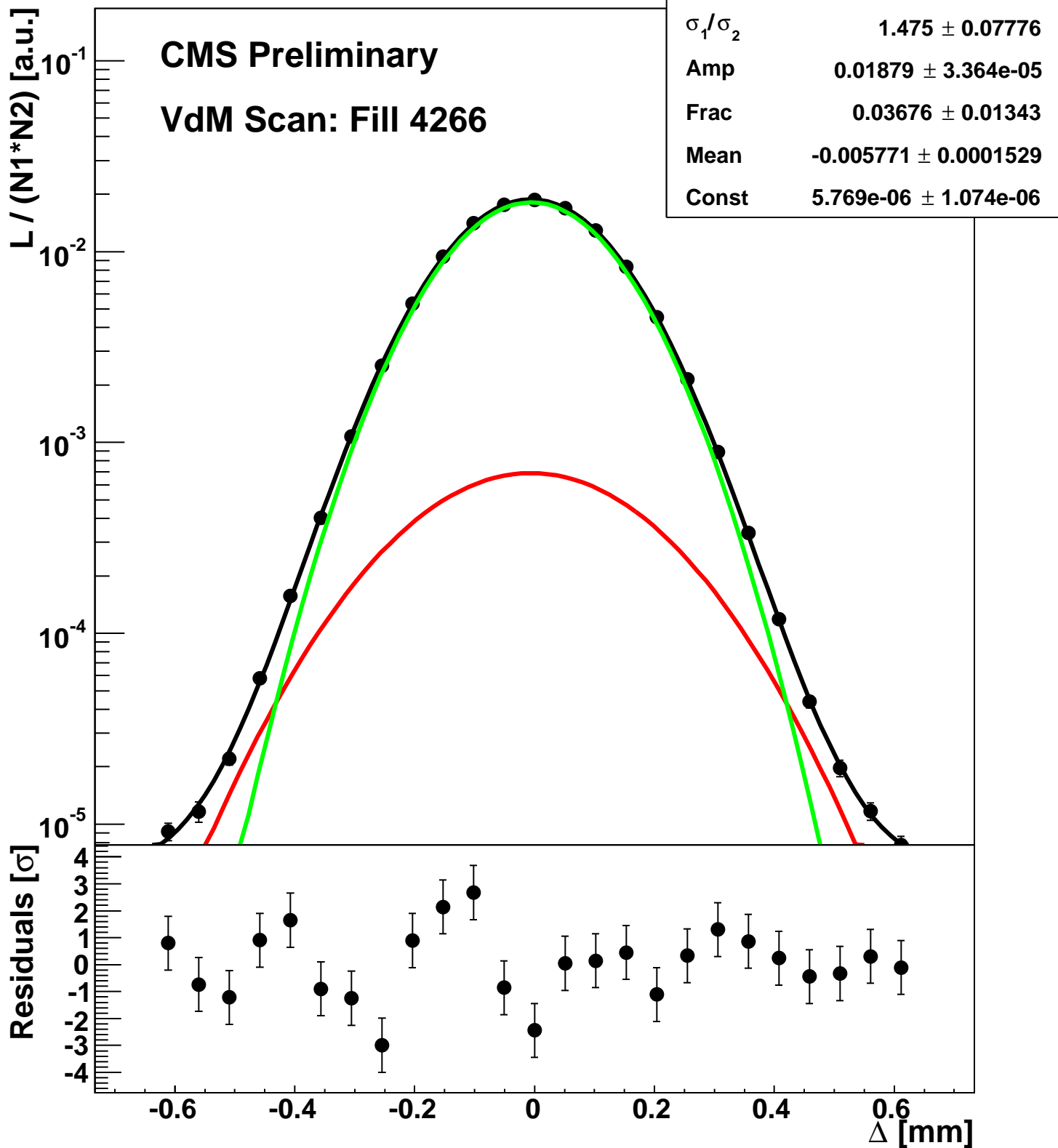
Scan 4: X-plane BCID 2291



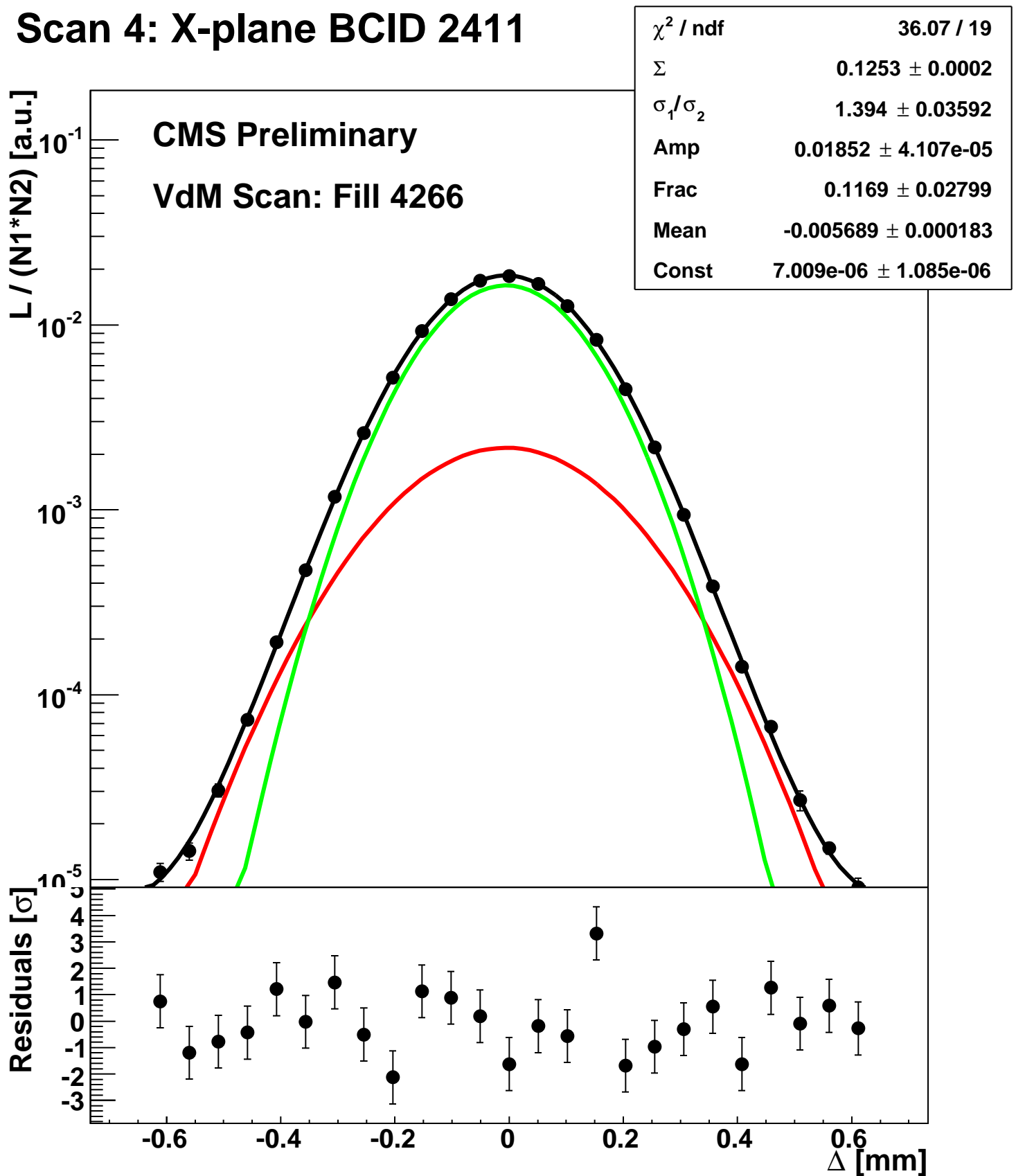
Scan 4: X-plane BCID 2331



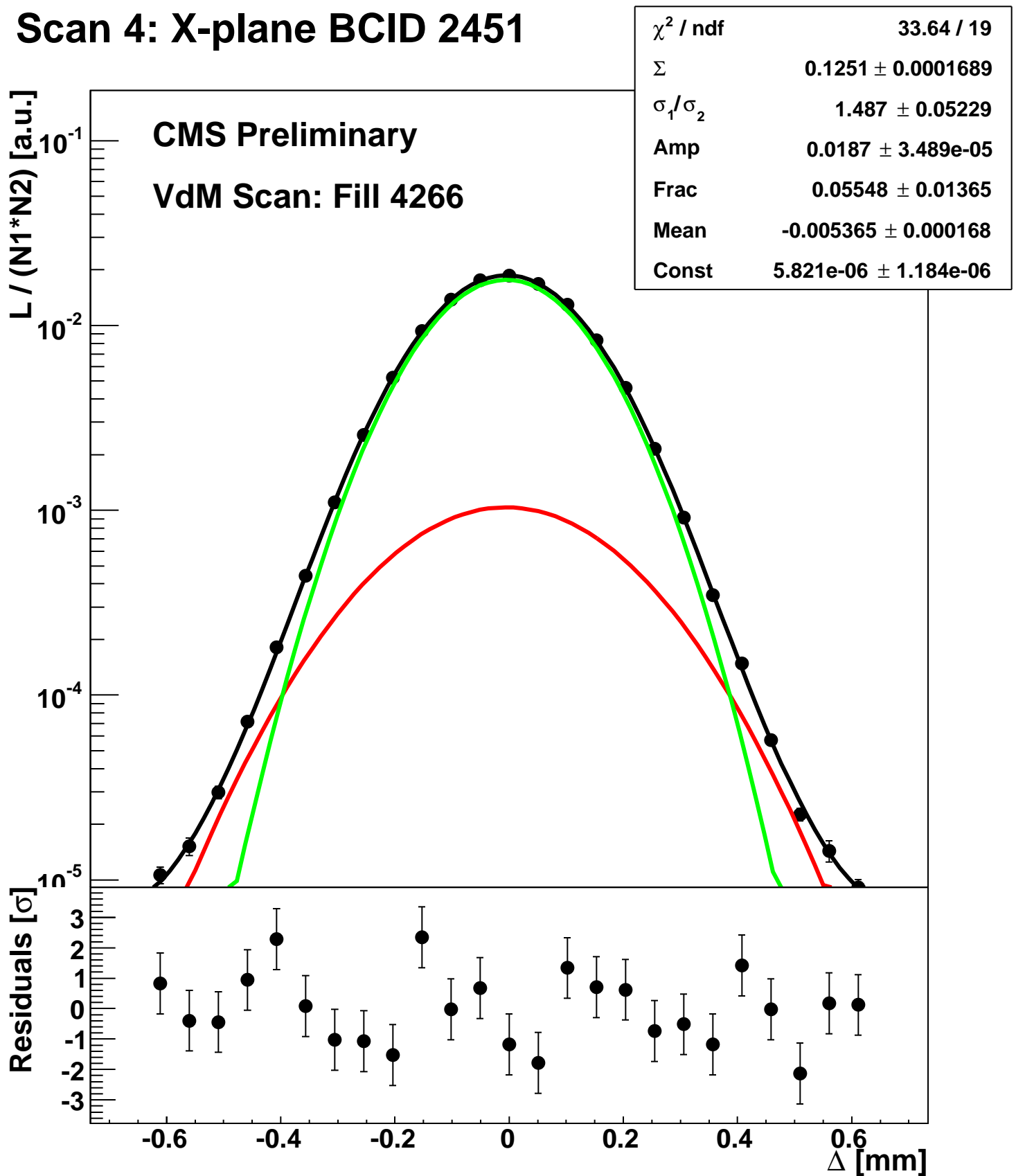
Scan 4: X-plane BCID 2371



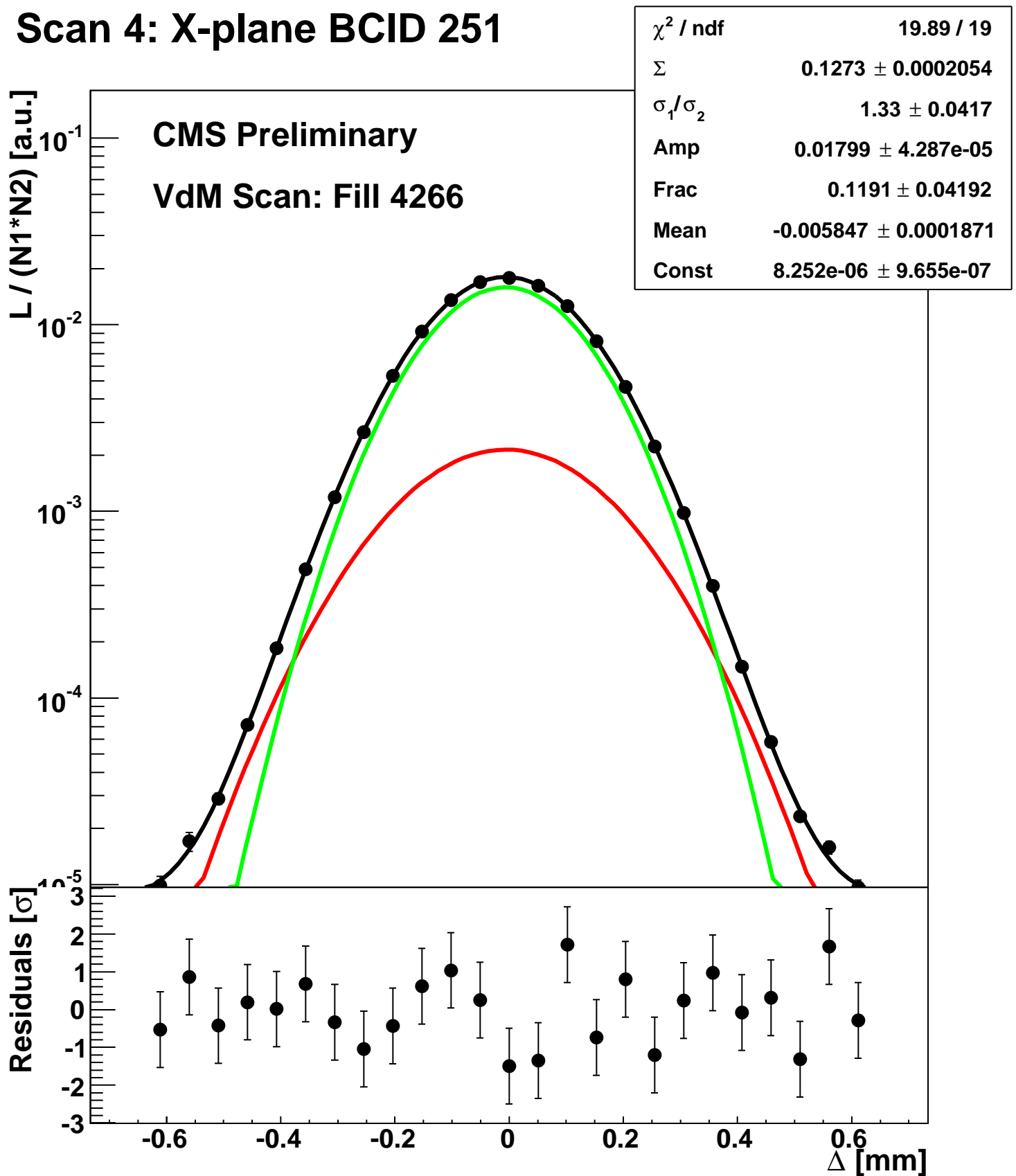
Scan 4: X-plane BCID 2411



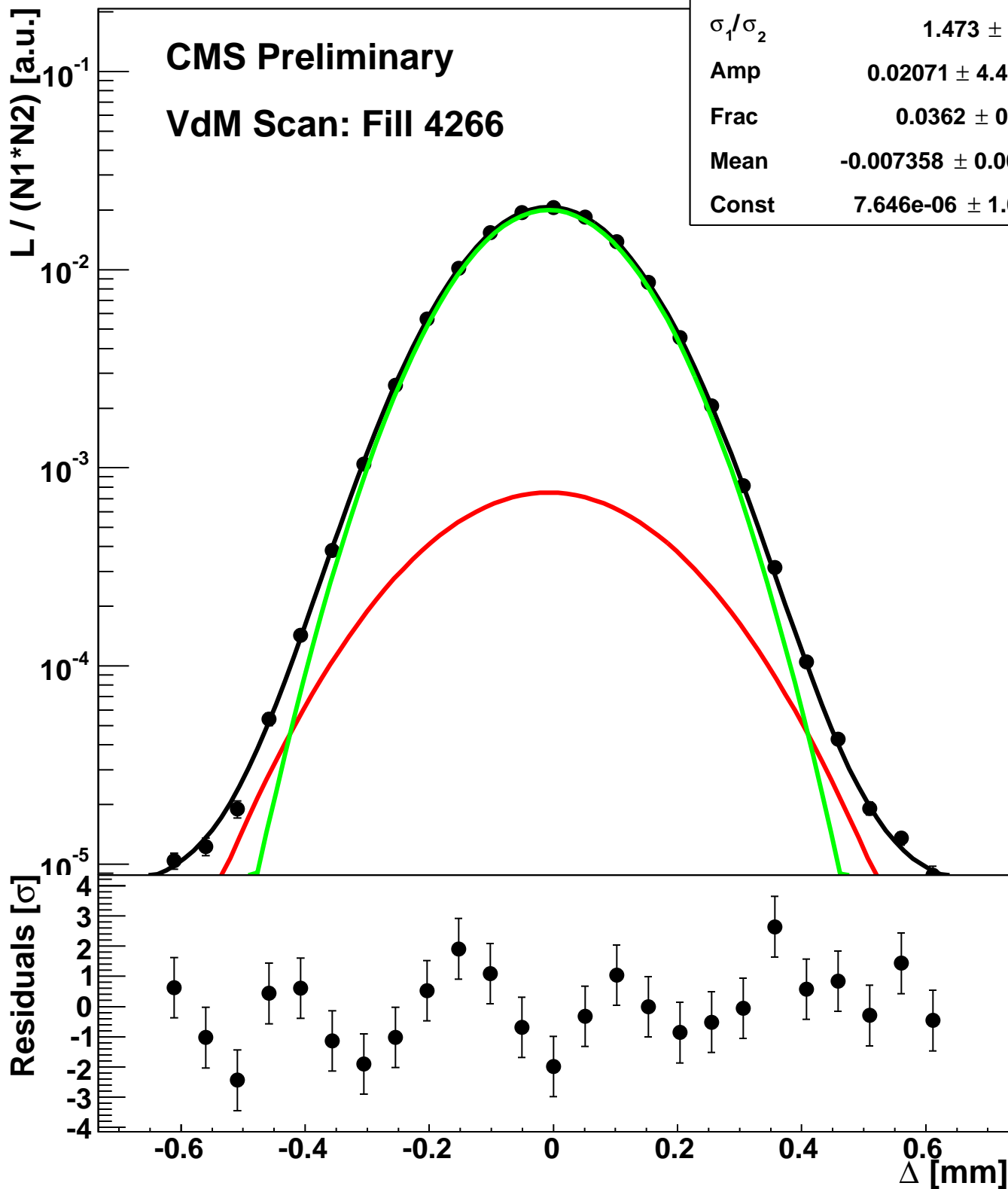
Scan 4: X-plane BCID 2451



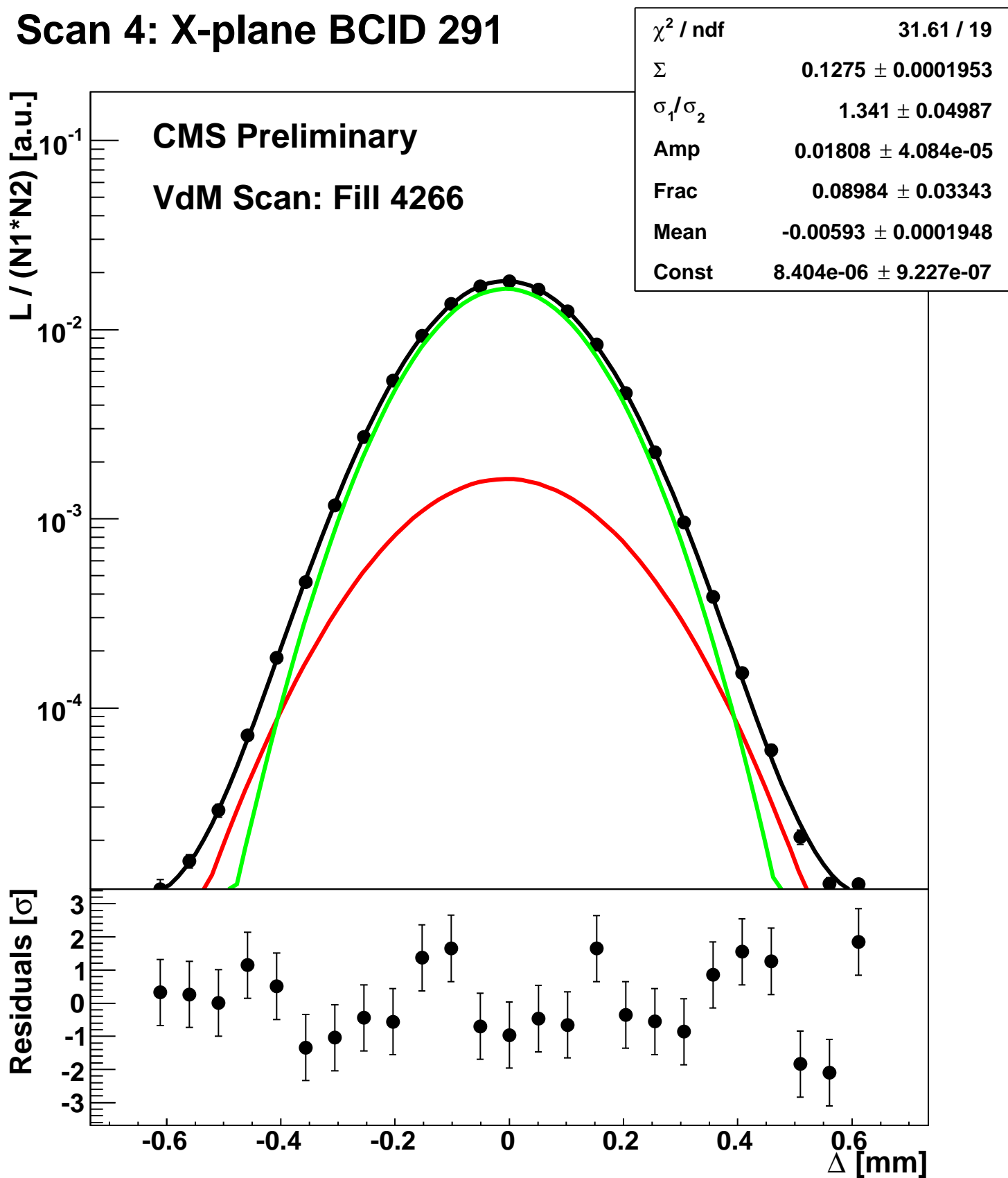
Scan 4: X-plane BCID 251



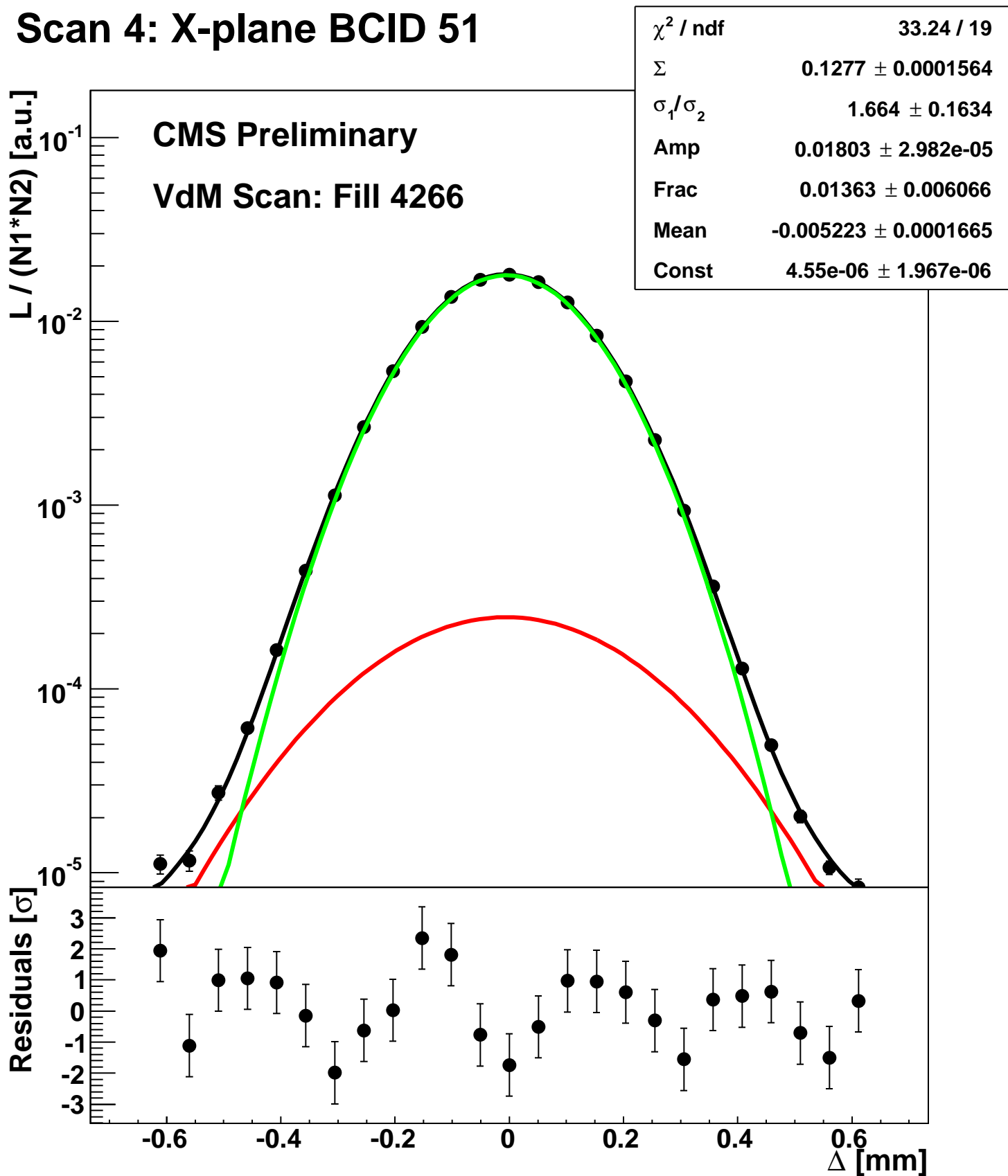
Scan 4: X-plane BCID 2674



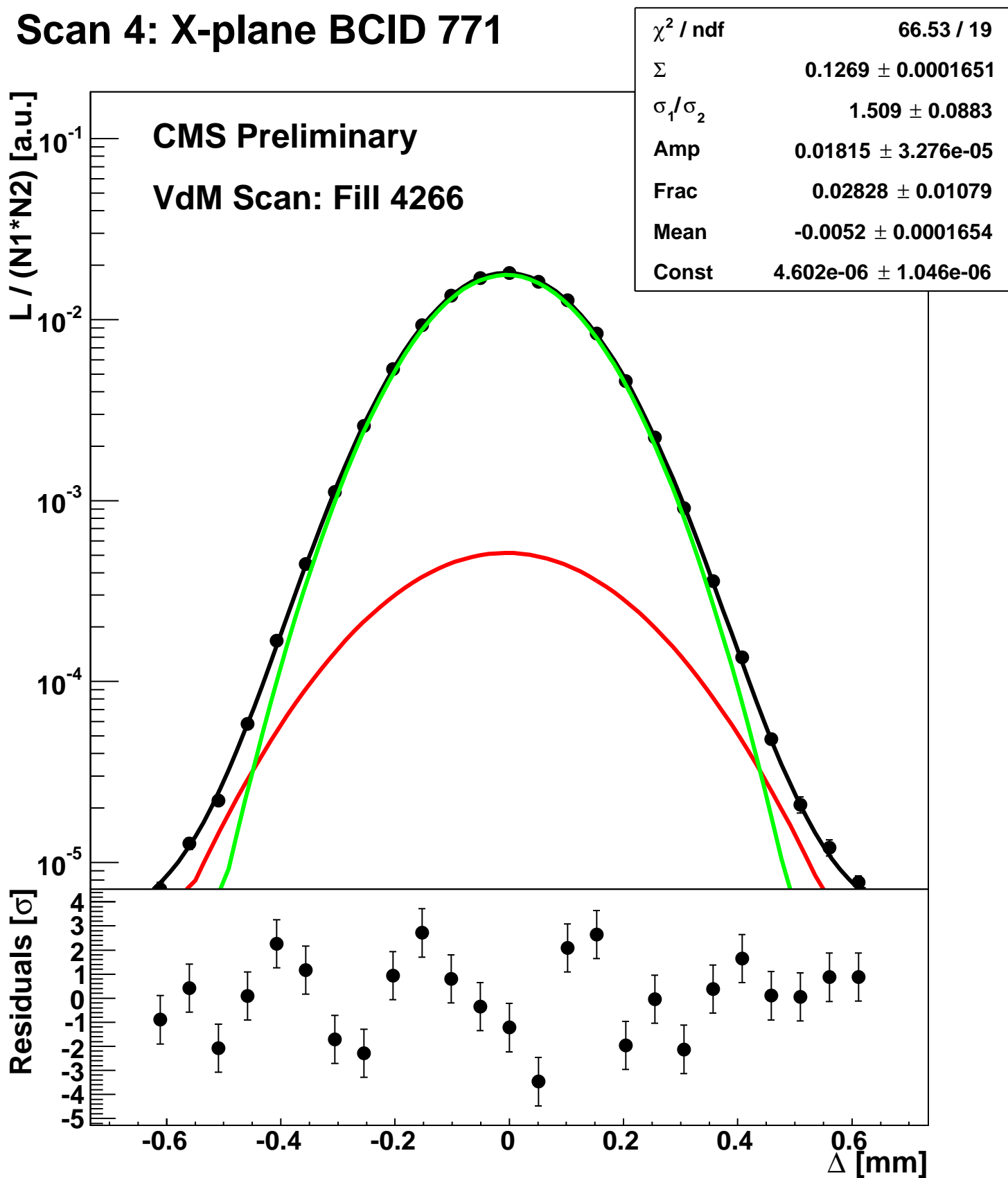
Scan 4: X-plane BCID 291



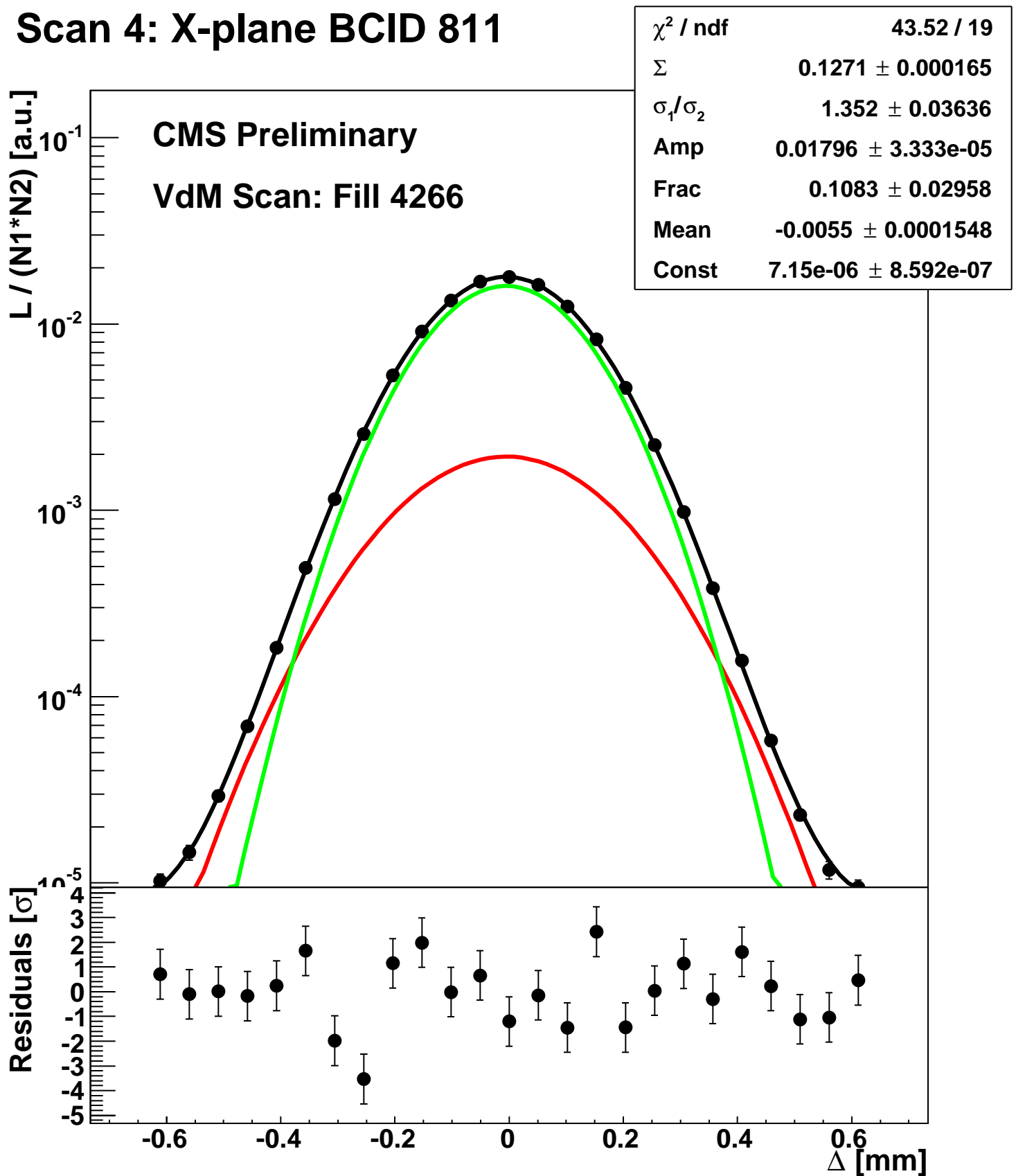
Scan 4: X-plane BCID 51



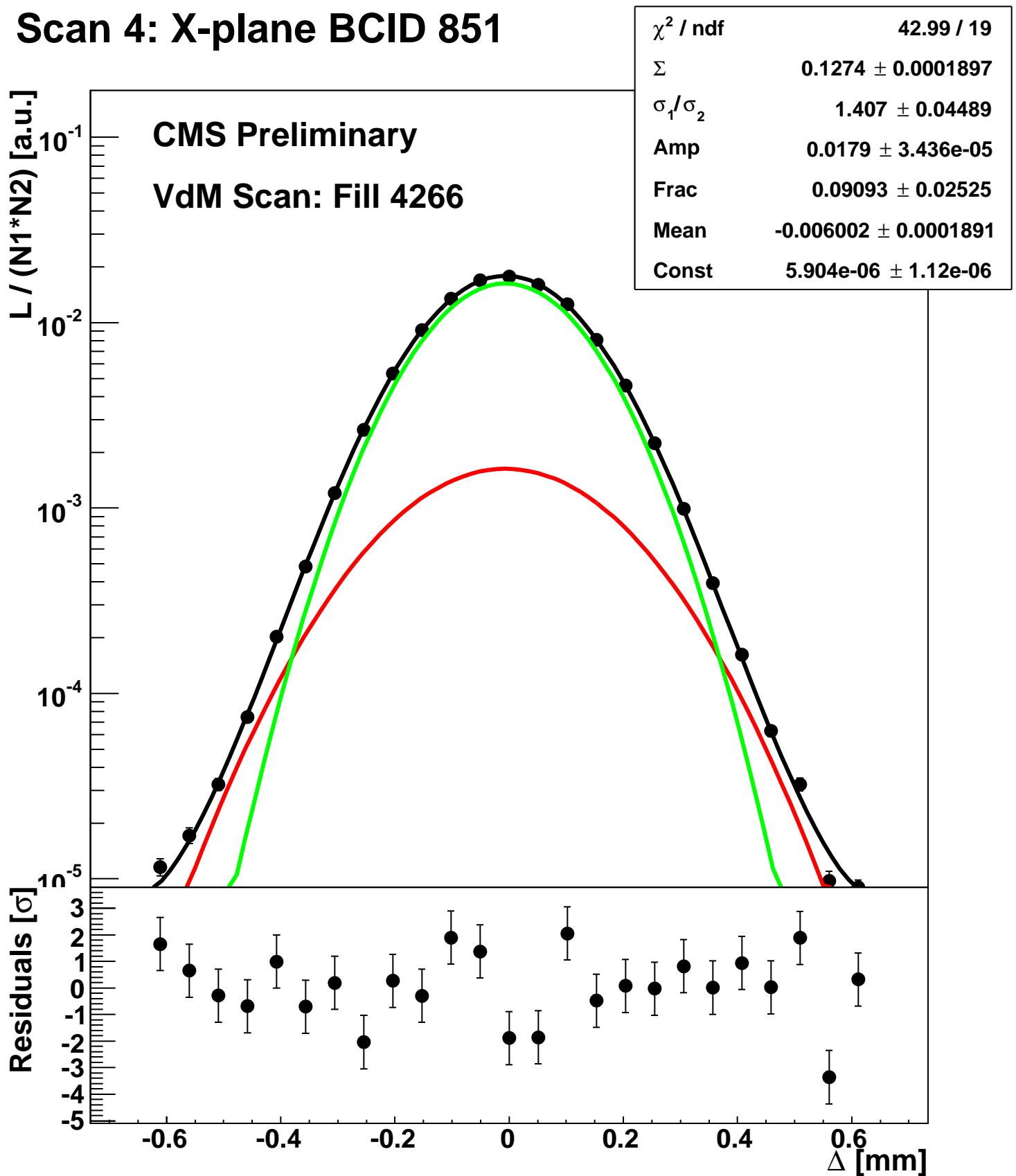
Scan 4: X-plane BCID 771



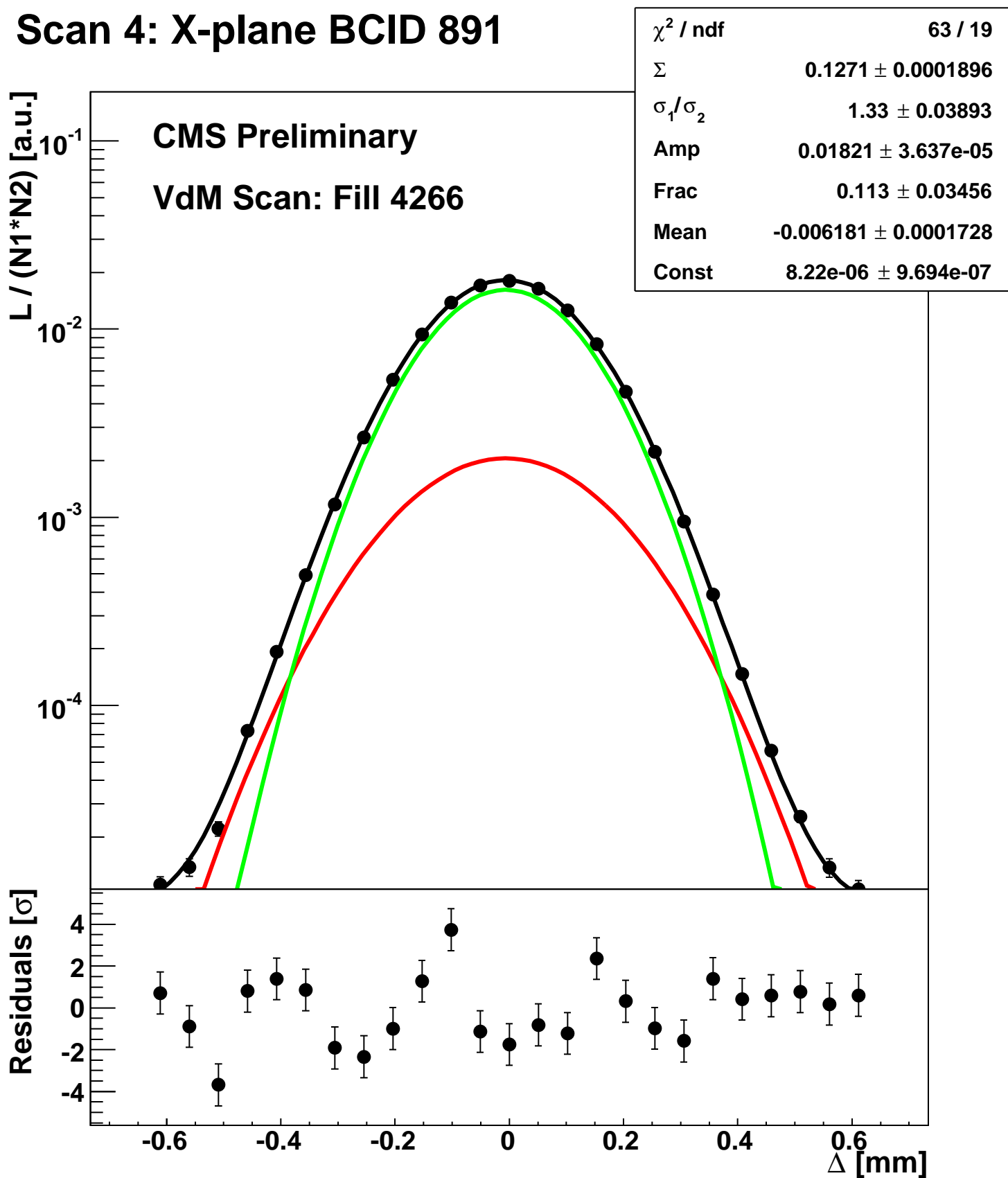
Scan 4: X-plane BCID 811



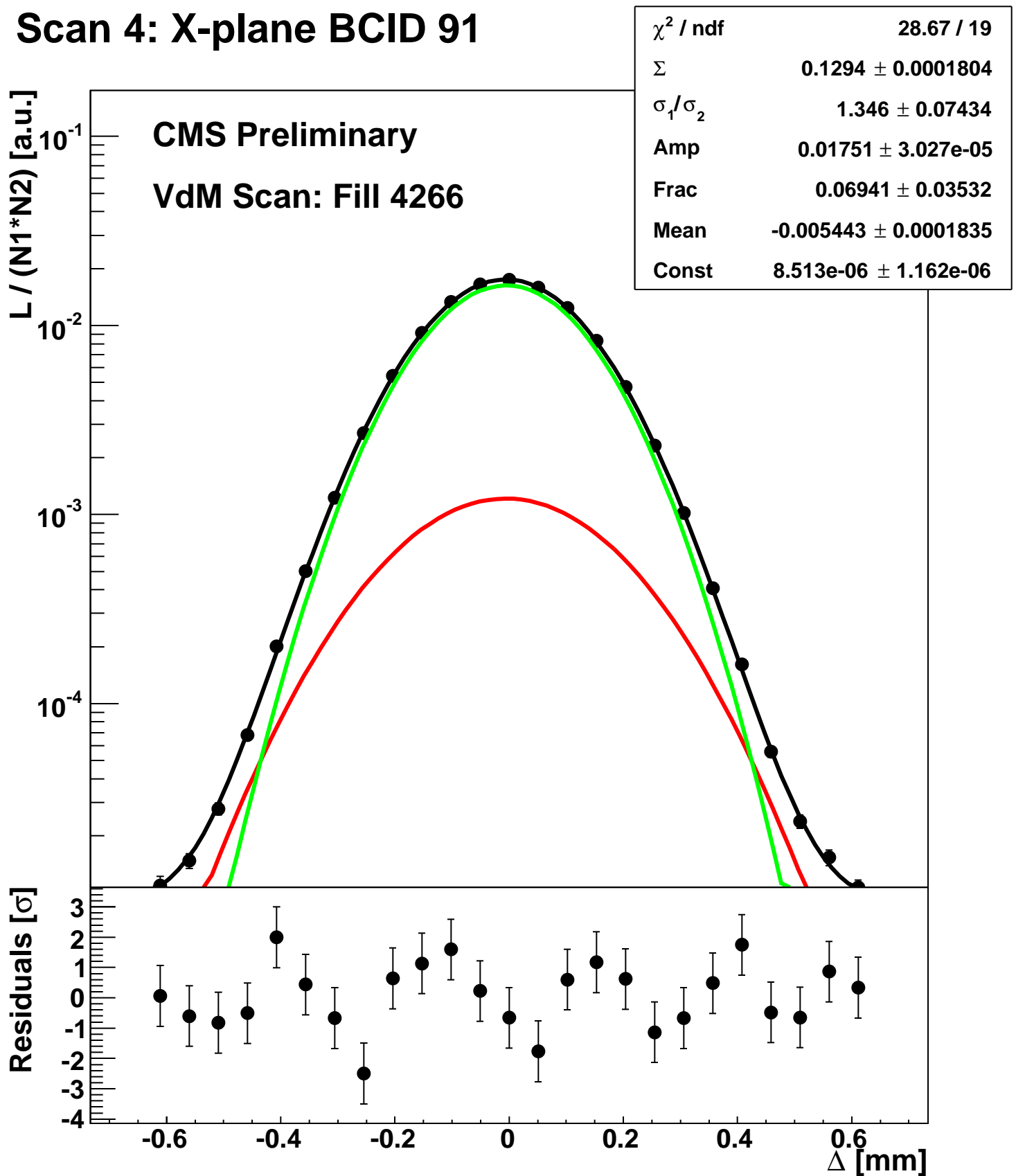
Scan 4: X-plane BCID 851



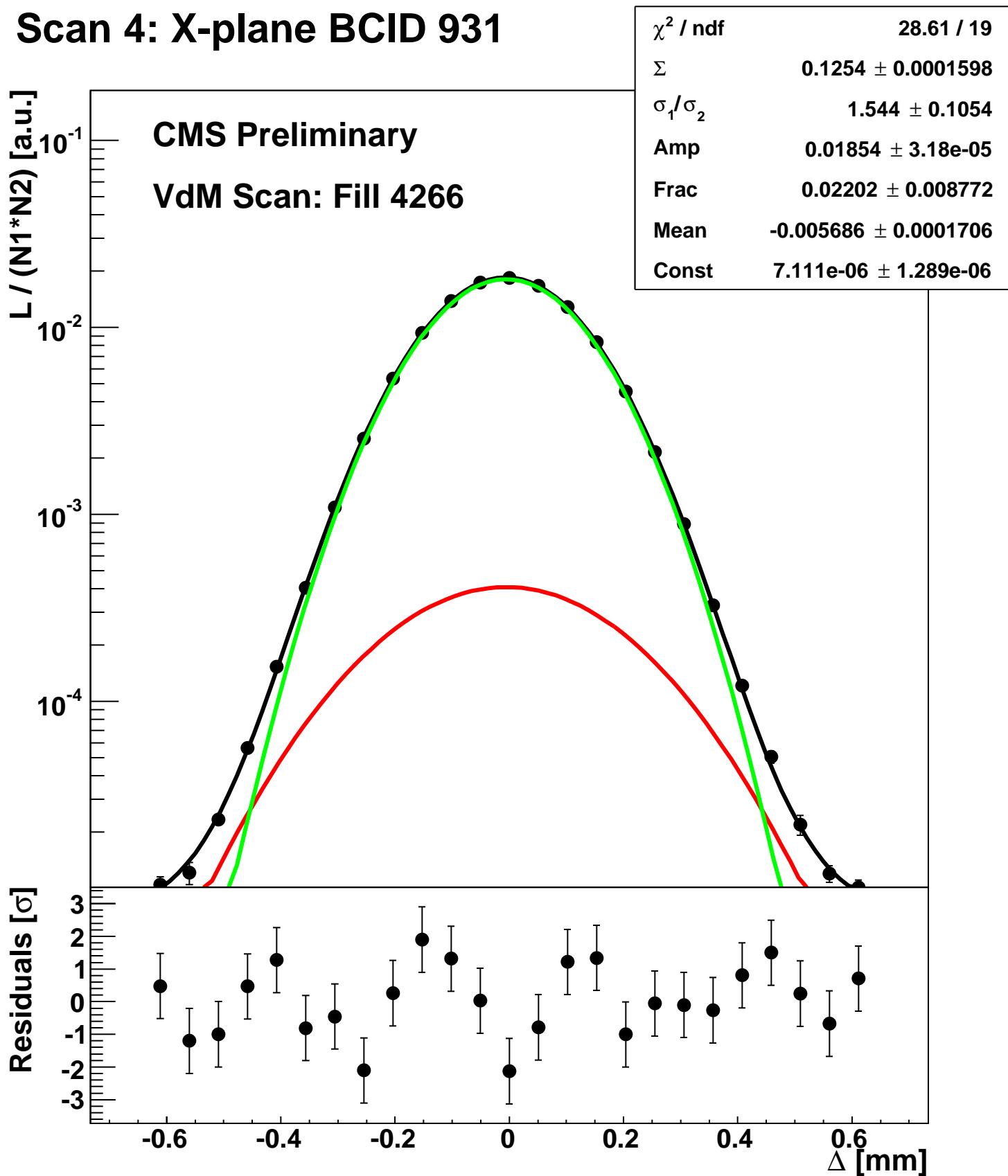
Scan 4: X-plane BCID 891



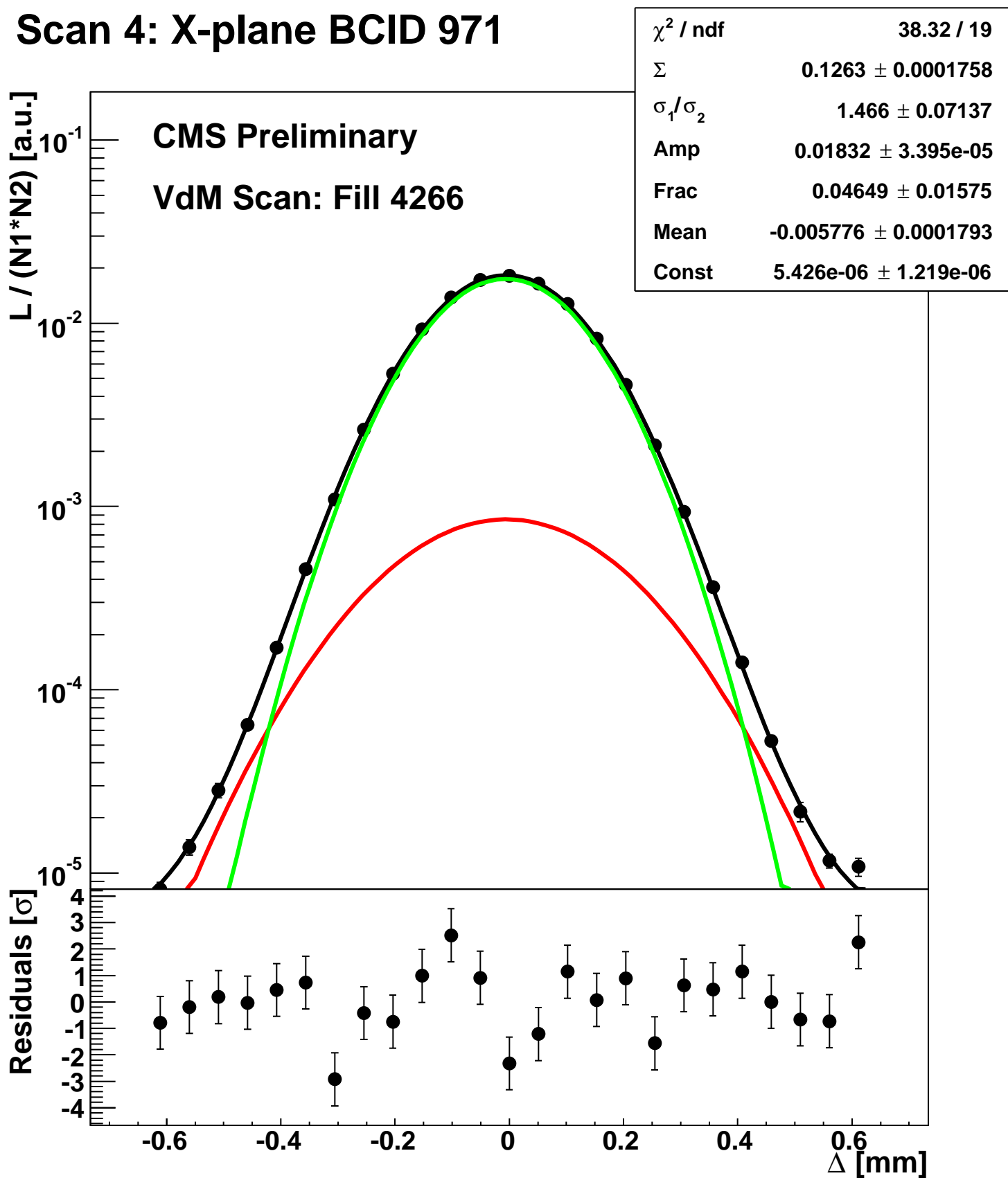
Scan 4: X-plane BCID 91



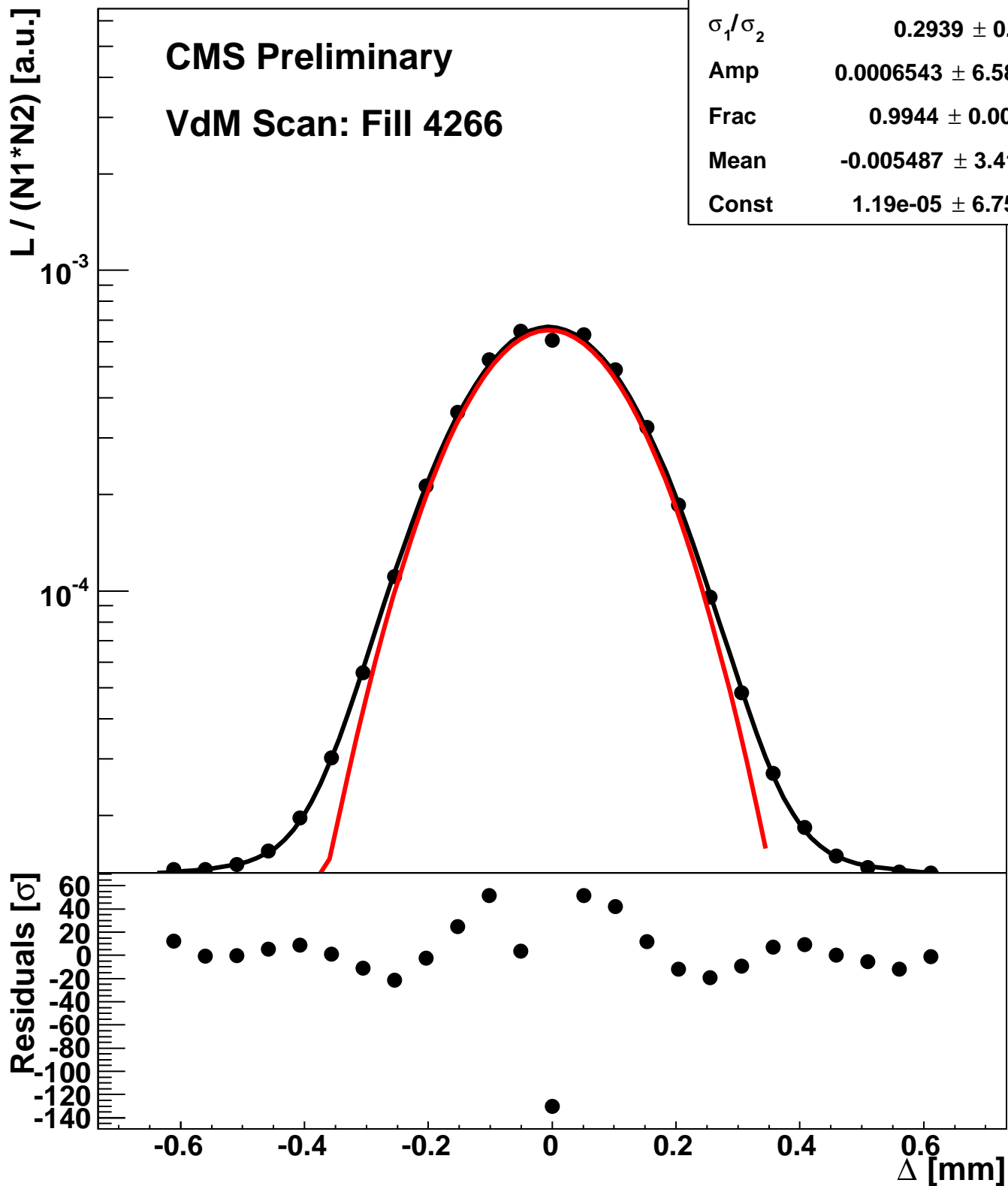
Scan 4: X-plane BCID 931



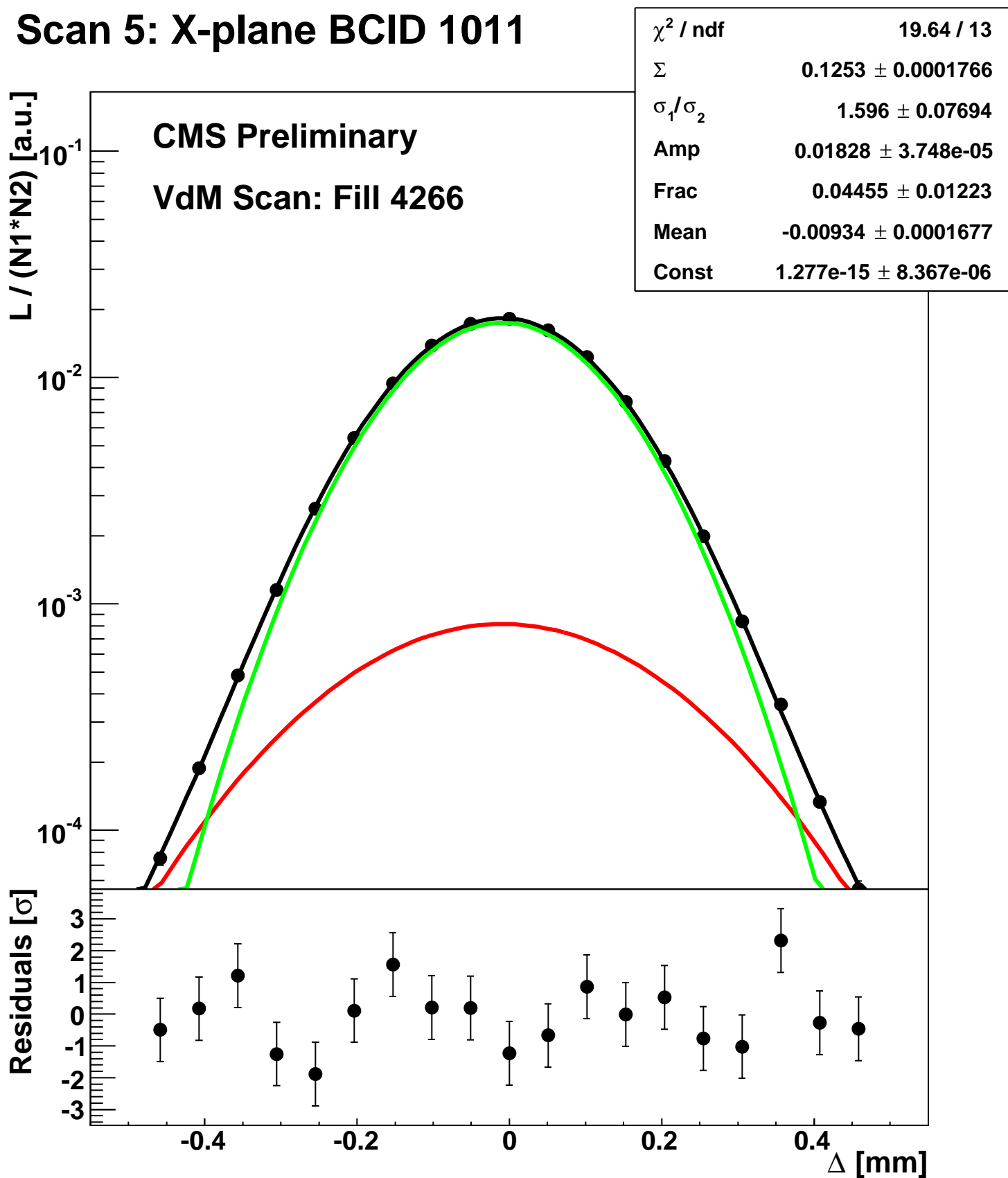
Scan 4: X-plane BCID 971



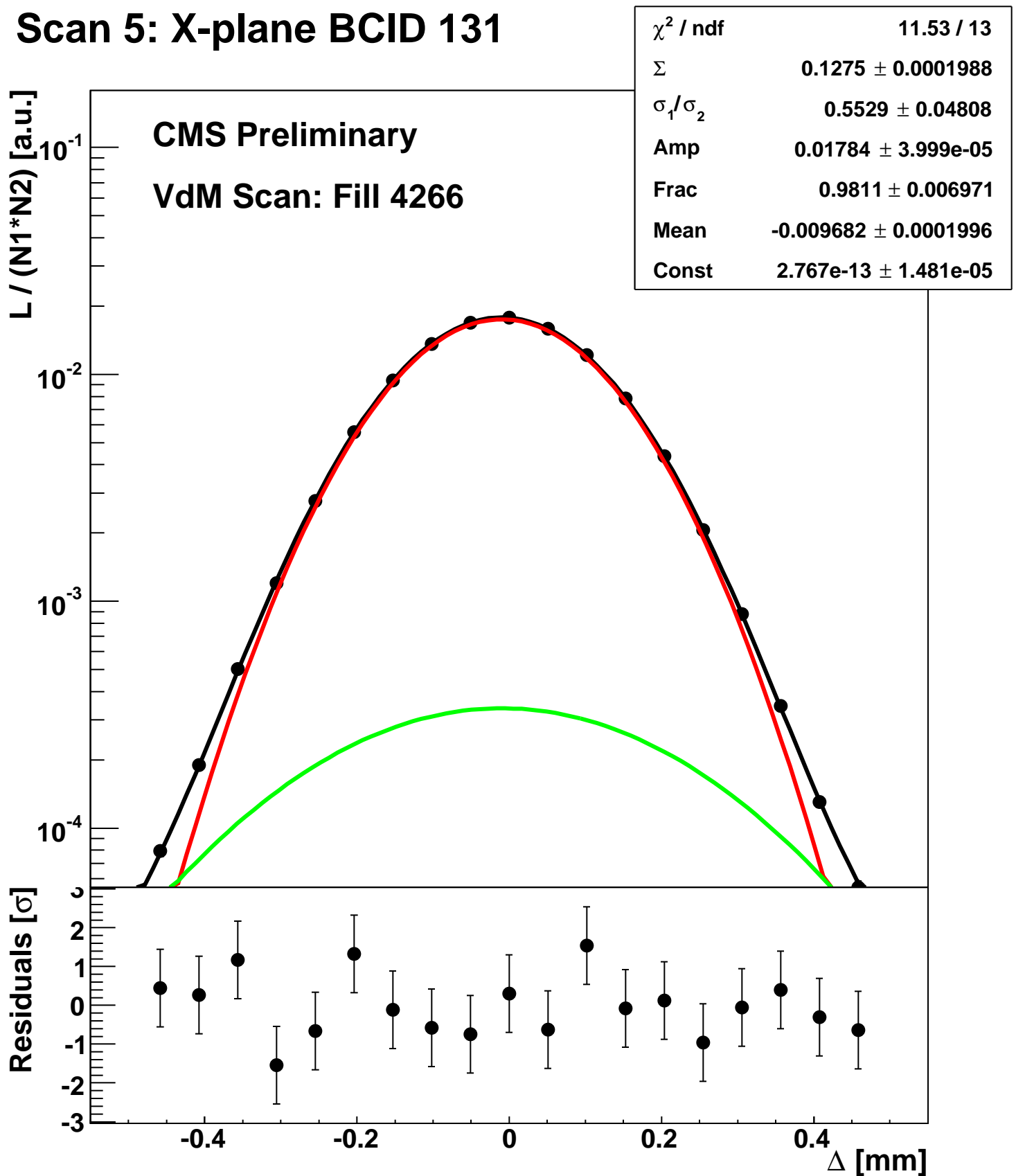
Scan 4: X-plane BCID sum



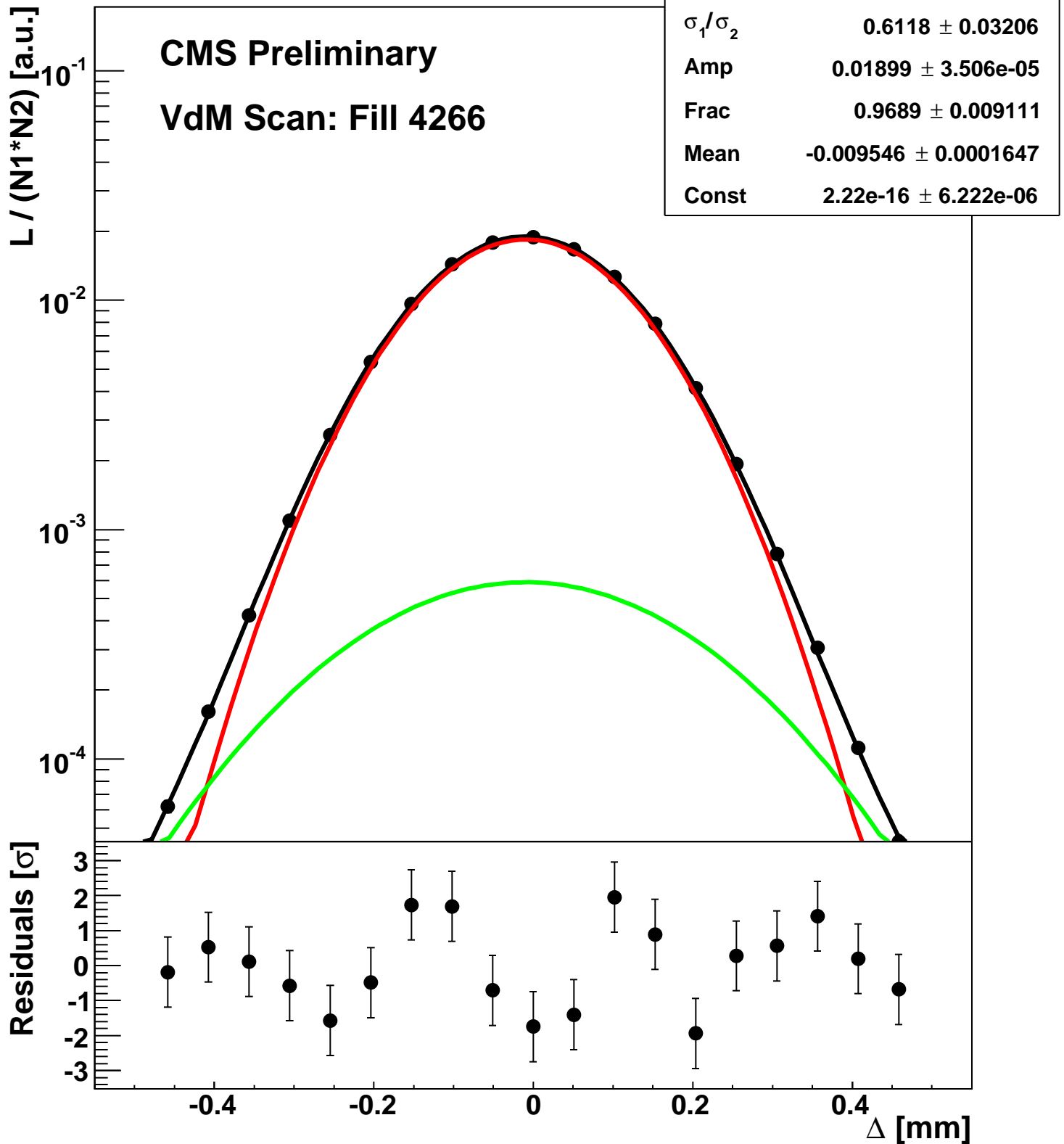
Scan 5: X-plane BCID 1011



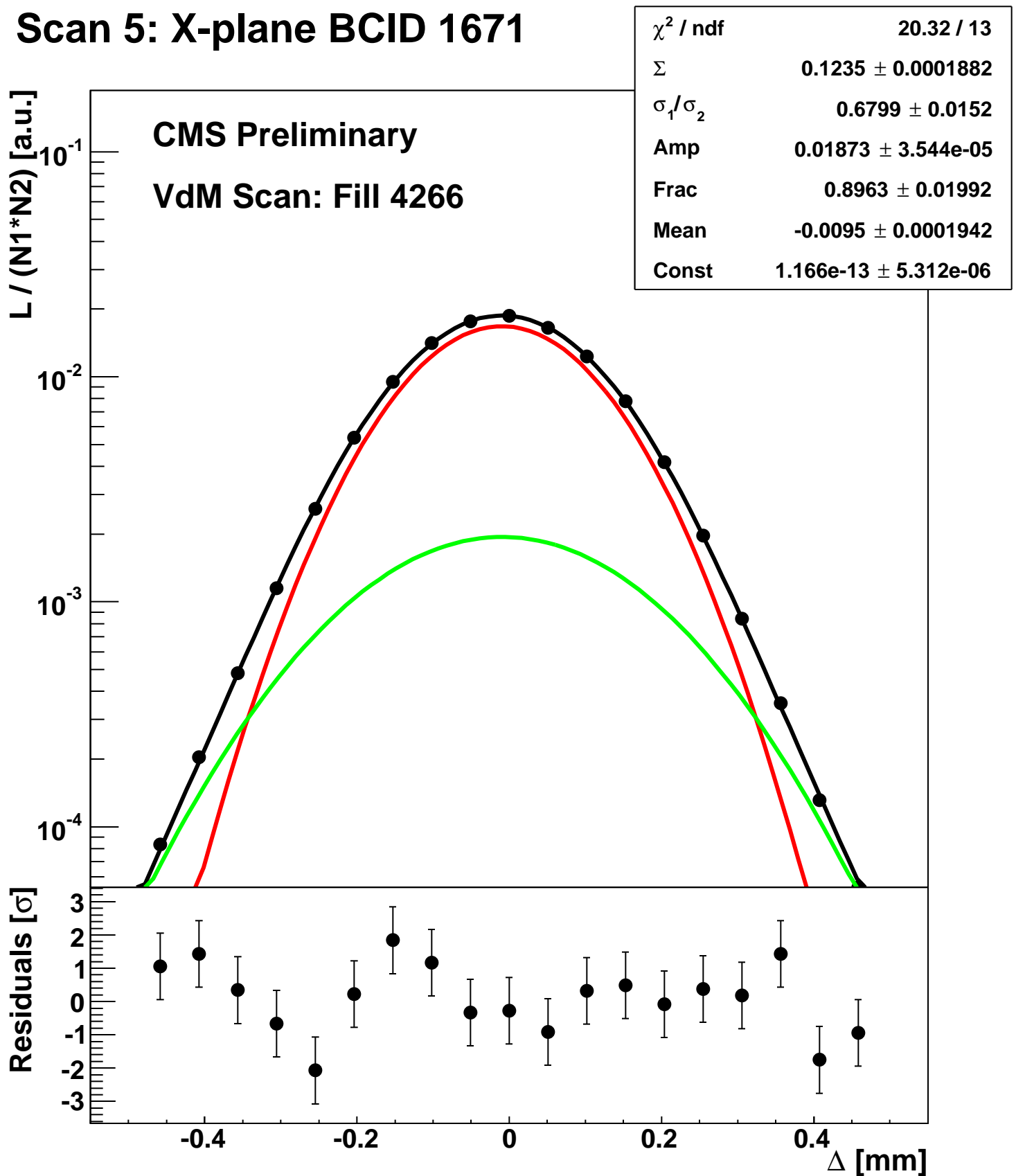
Scan 5: X-plane BCID 131



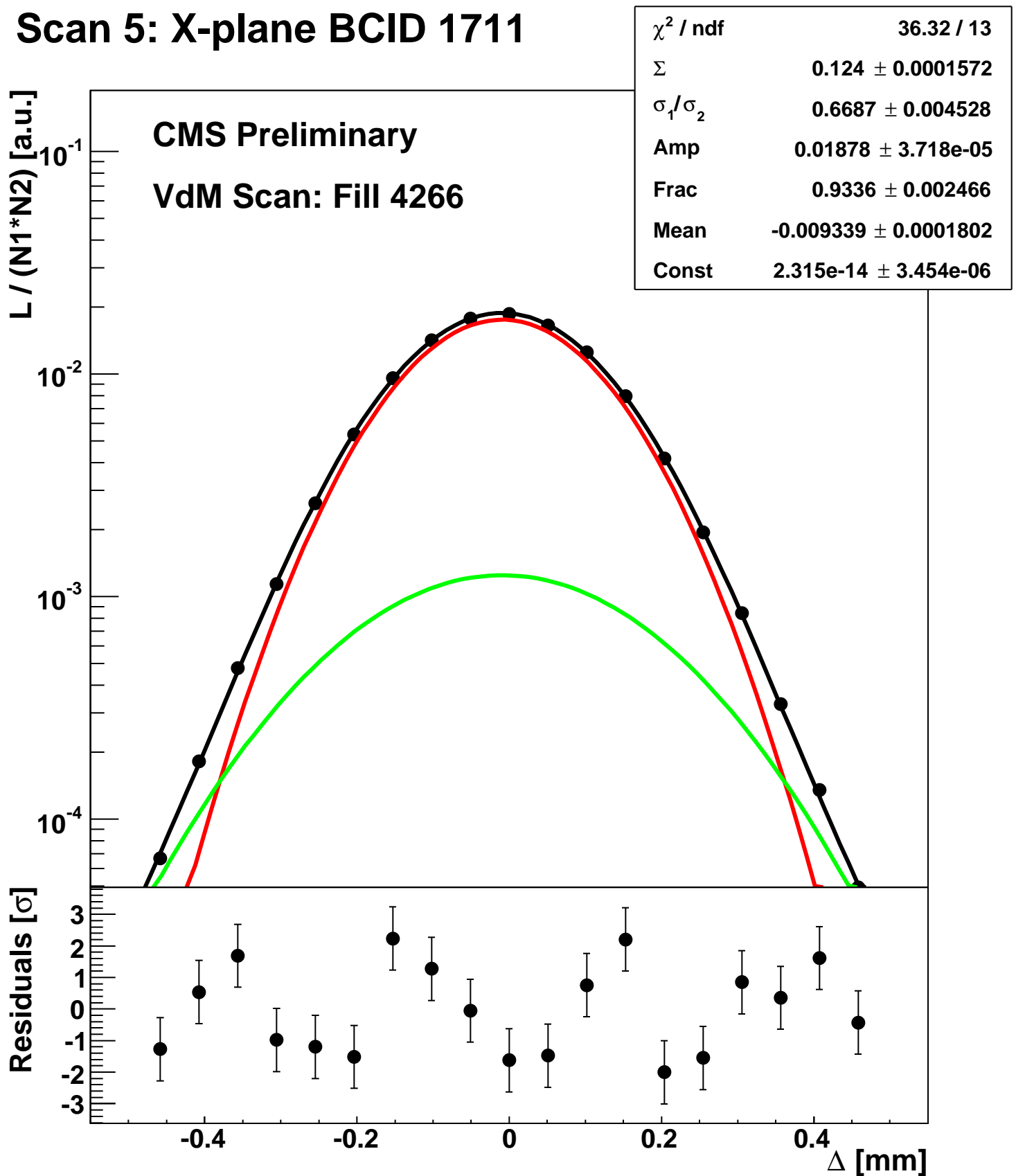
Scan 5: X-plane BCID 1631



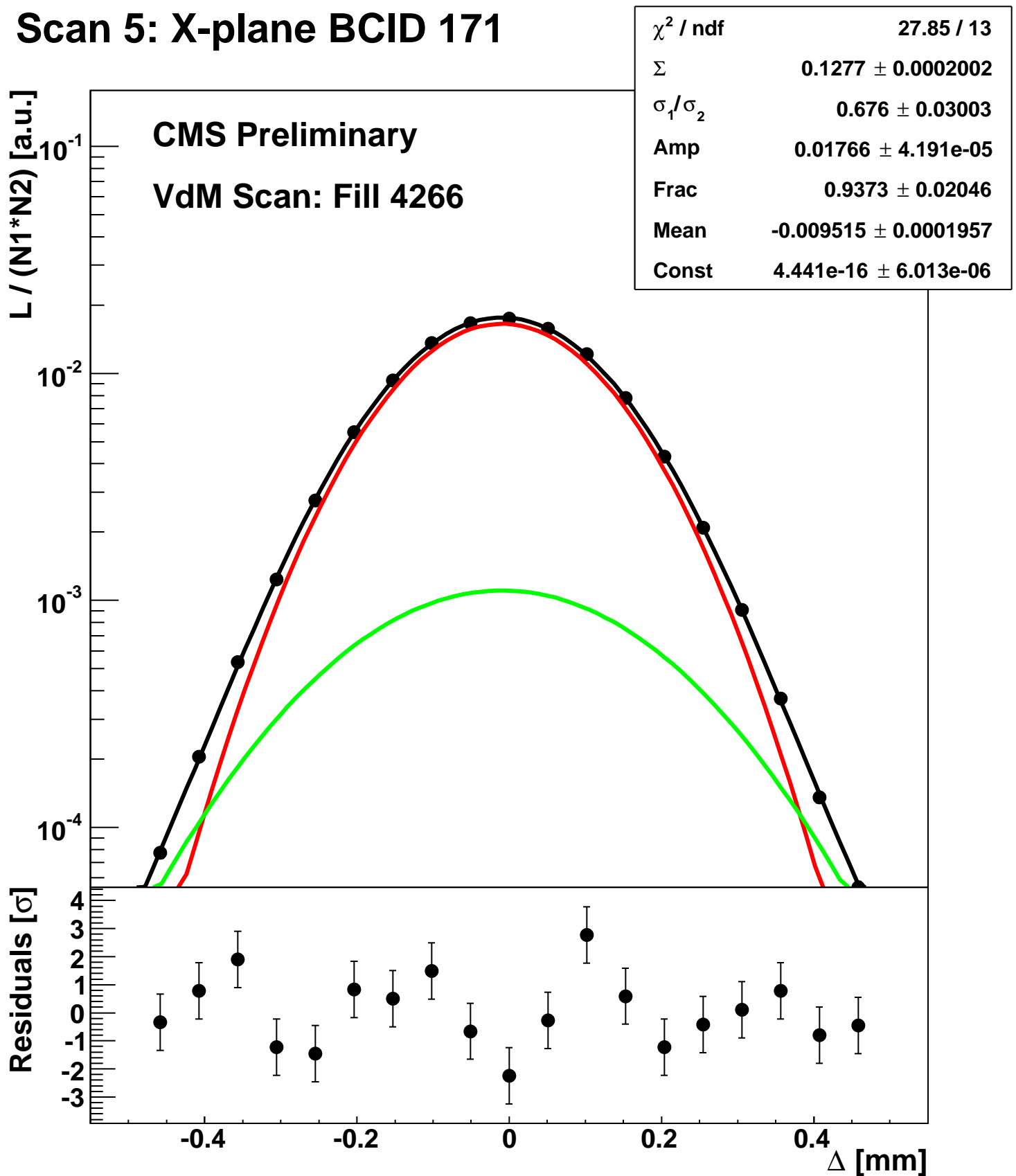
Scan 5: X-plane BCID 1671



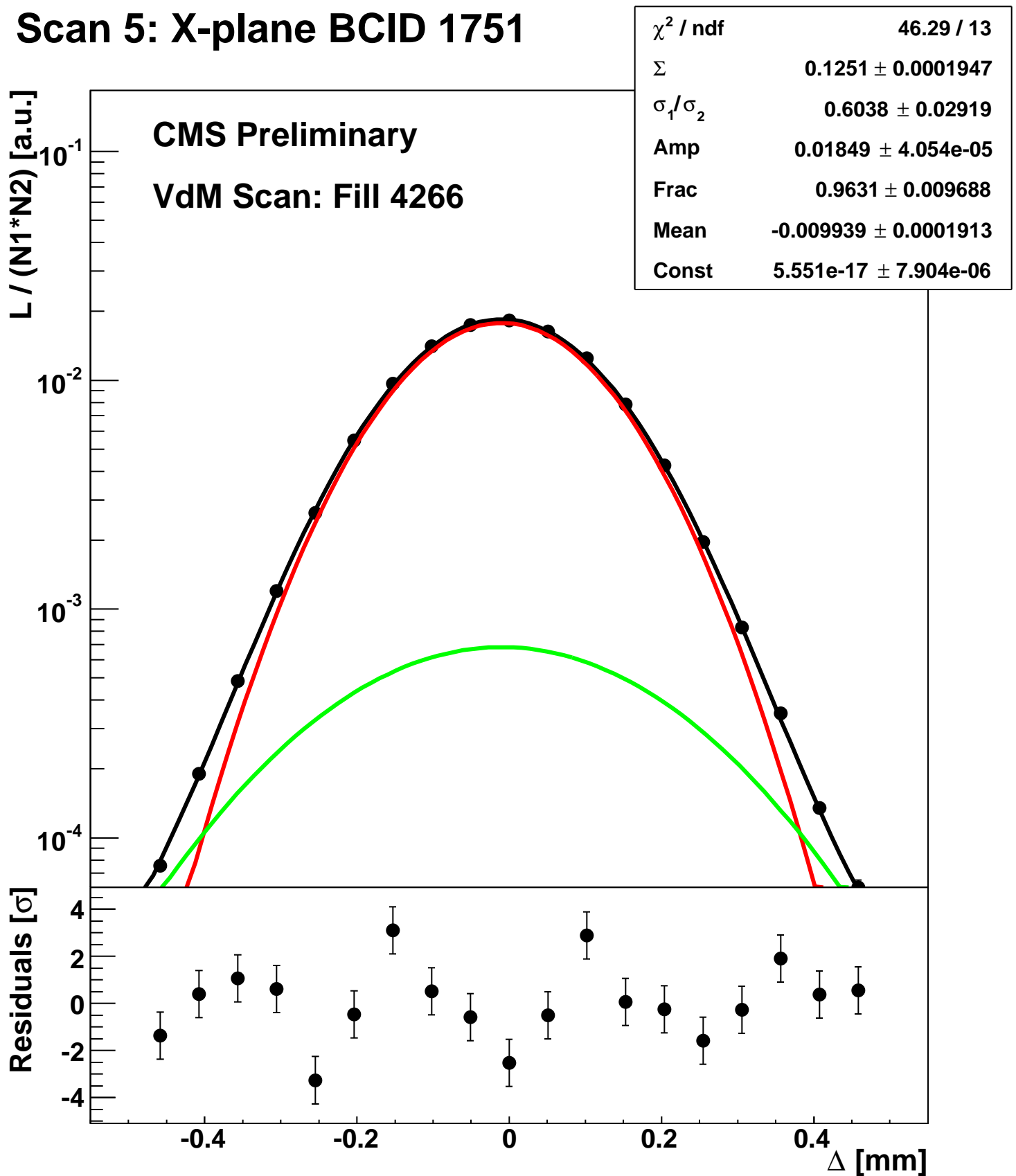
Scan 5: X-plane BCID 1711



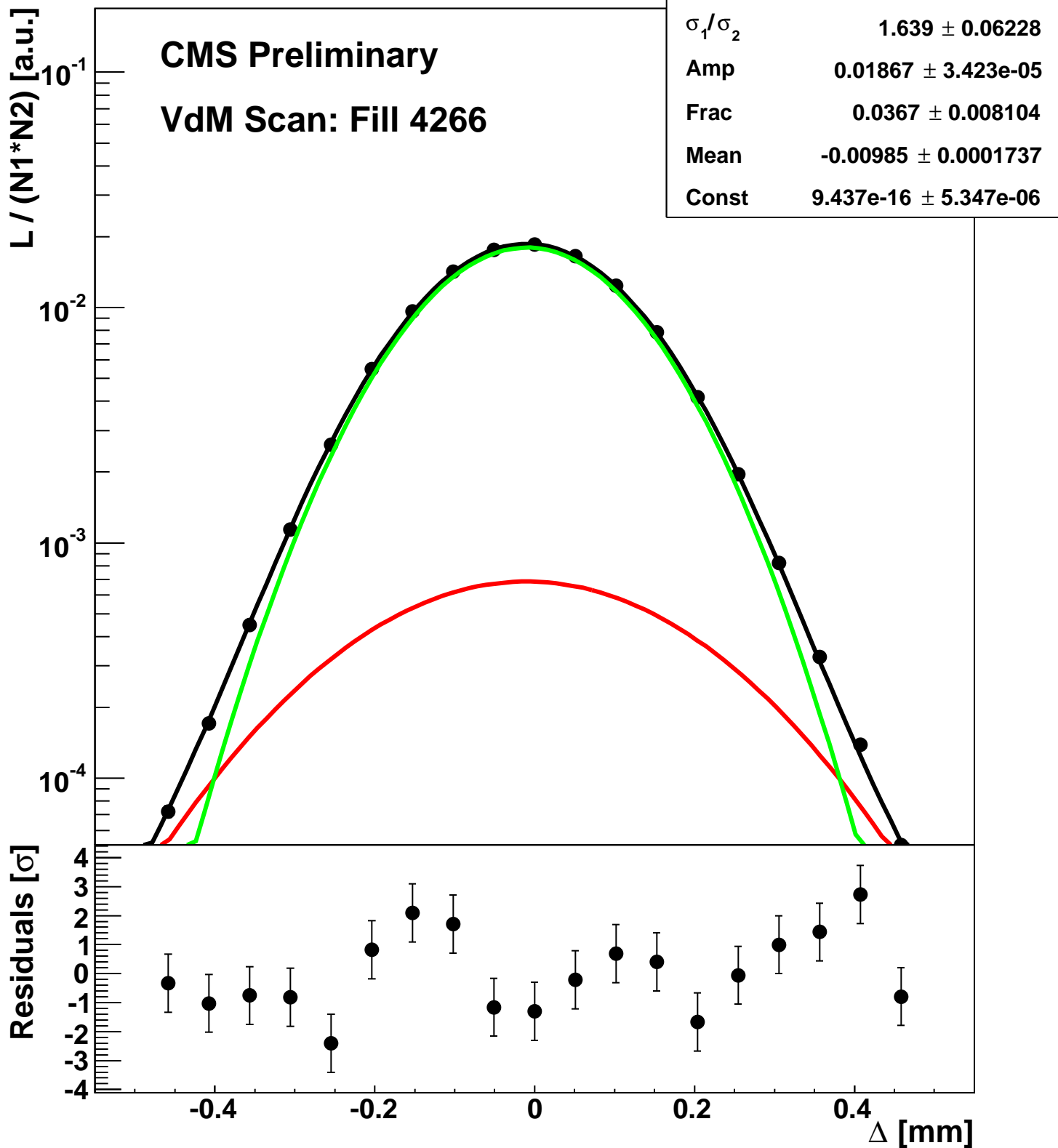
Scan 5: X-plane BCID 171



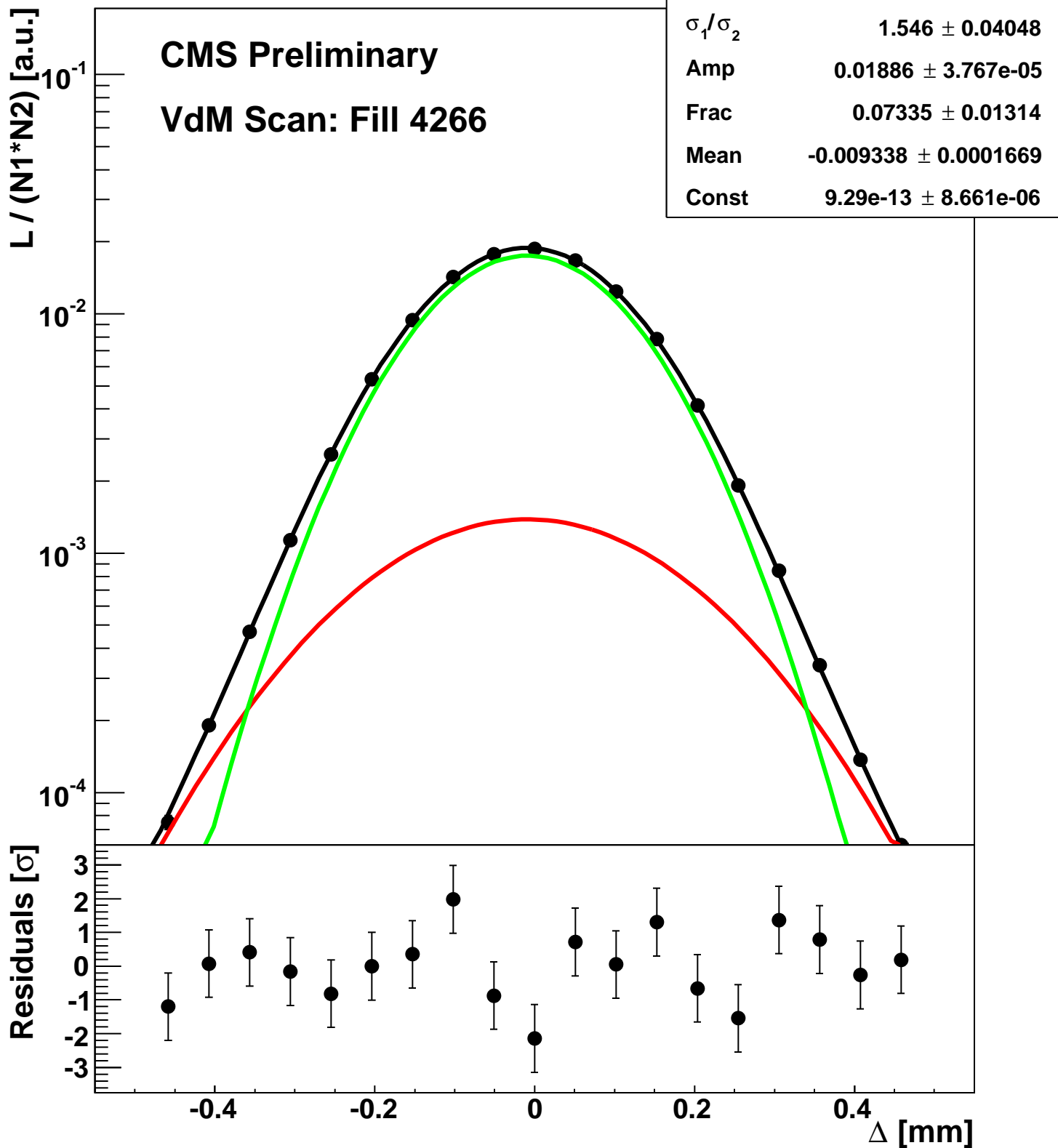
Scan 5: X-plane BCID 1751



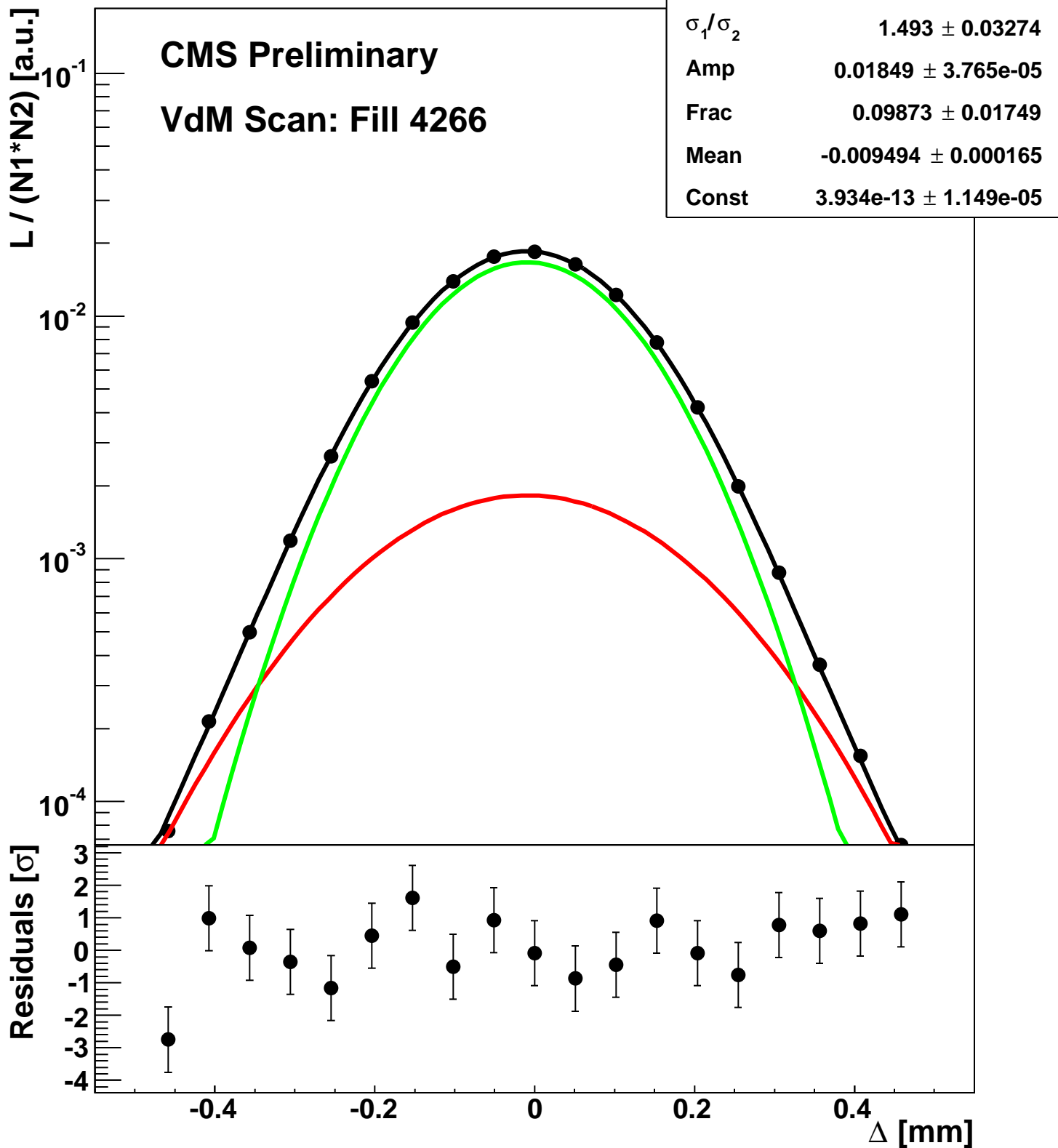
Scan 5: X-plane BCID 1791



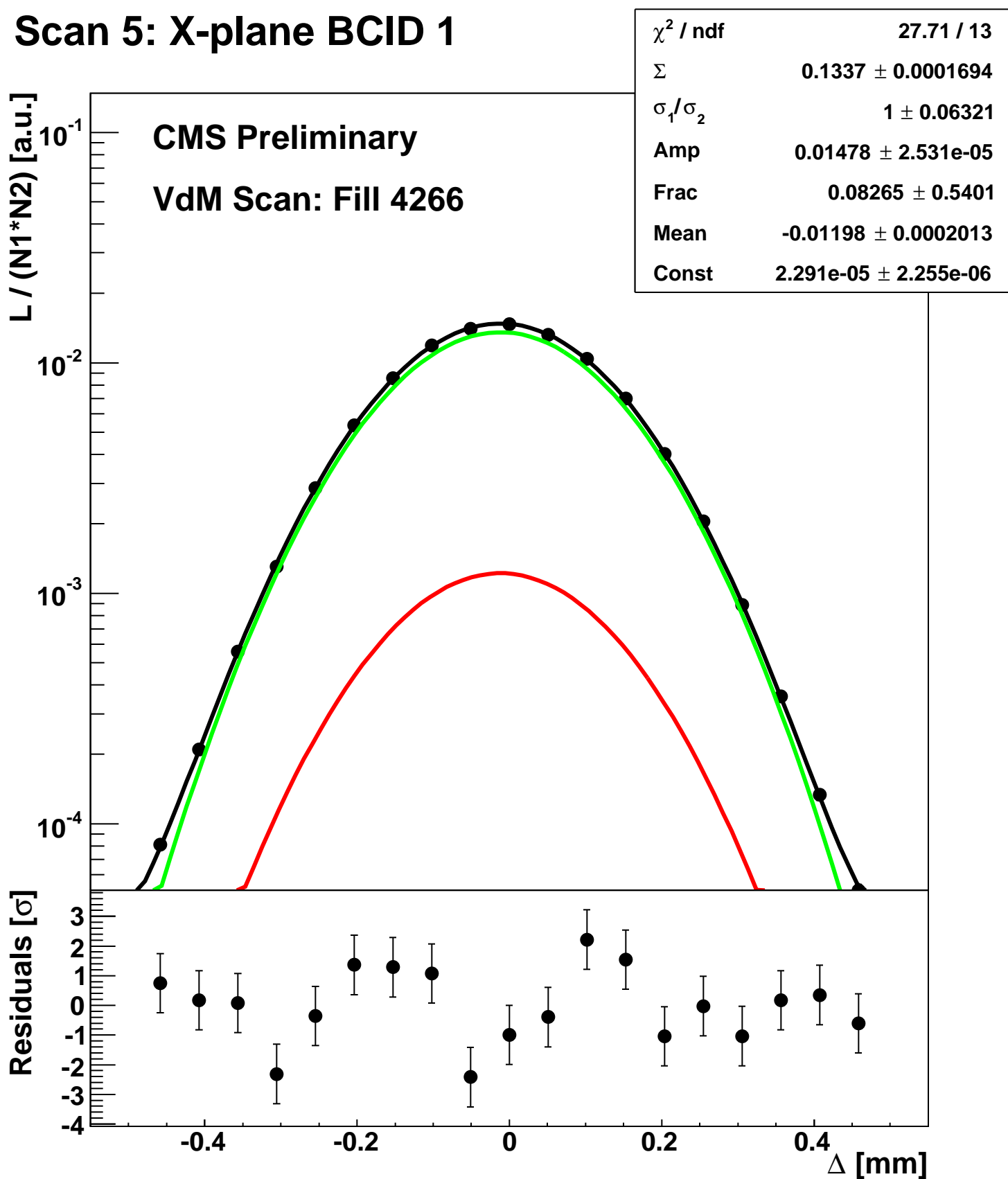
Scan 5: X-plane BCID 1831



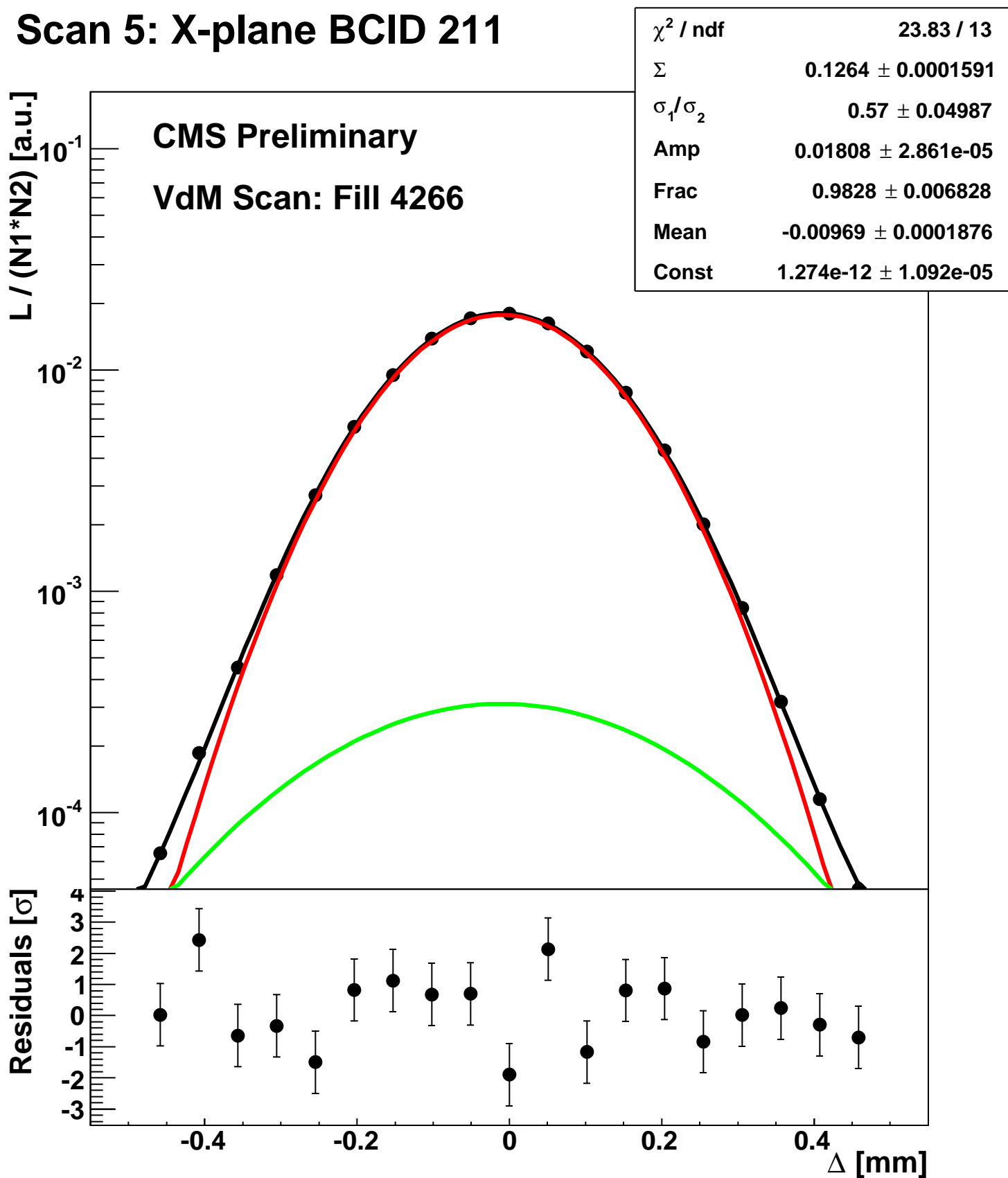
Scan 5: X-plane BCID 1871



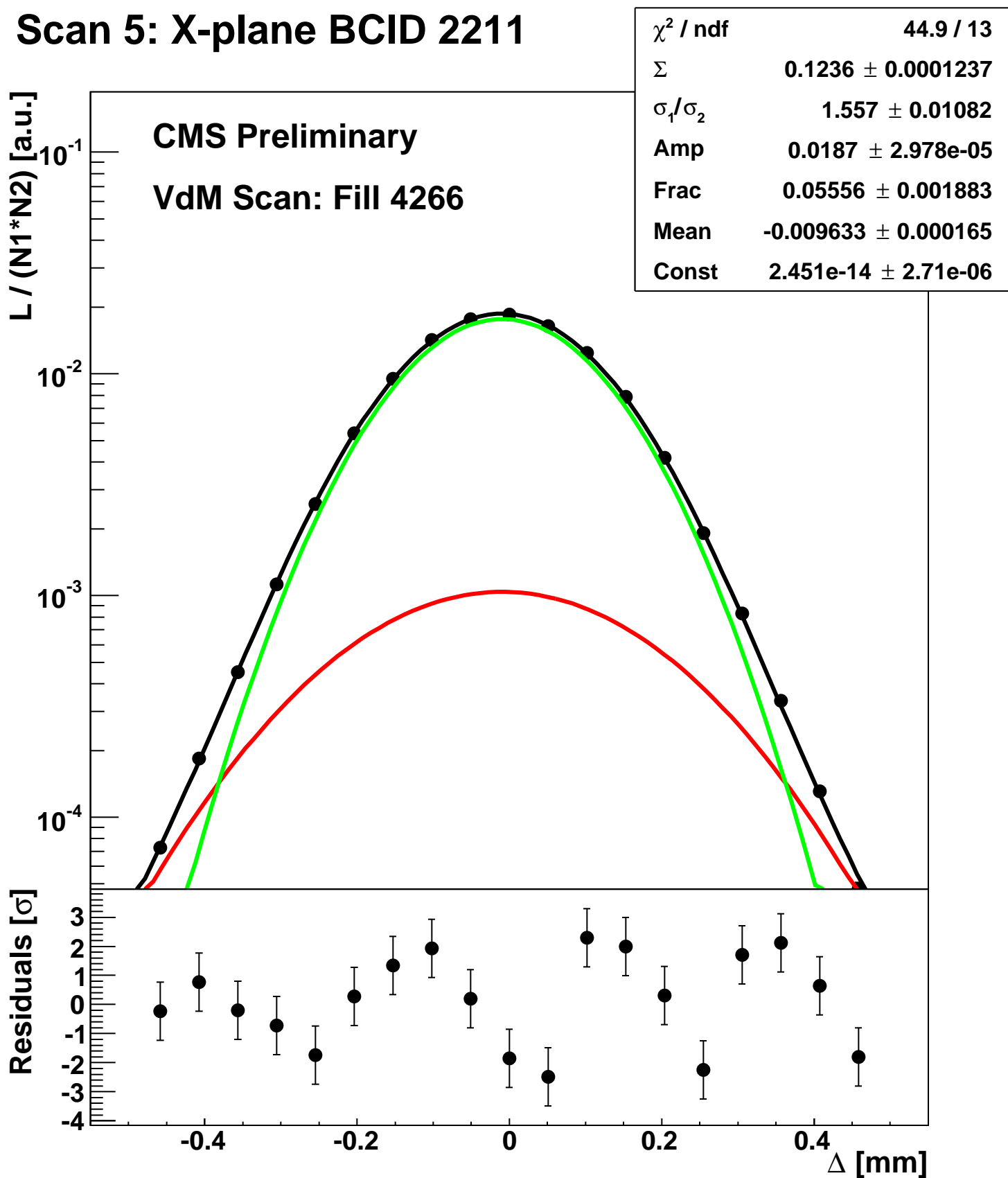
Scan 5: X-plane BCID 1



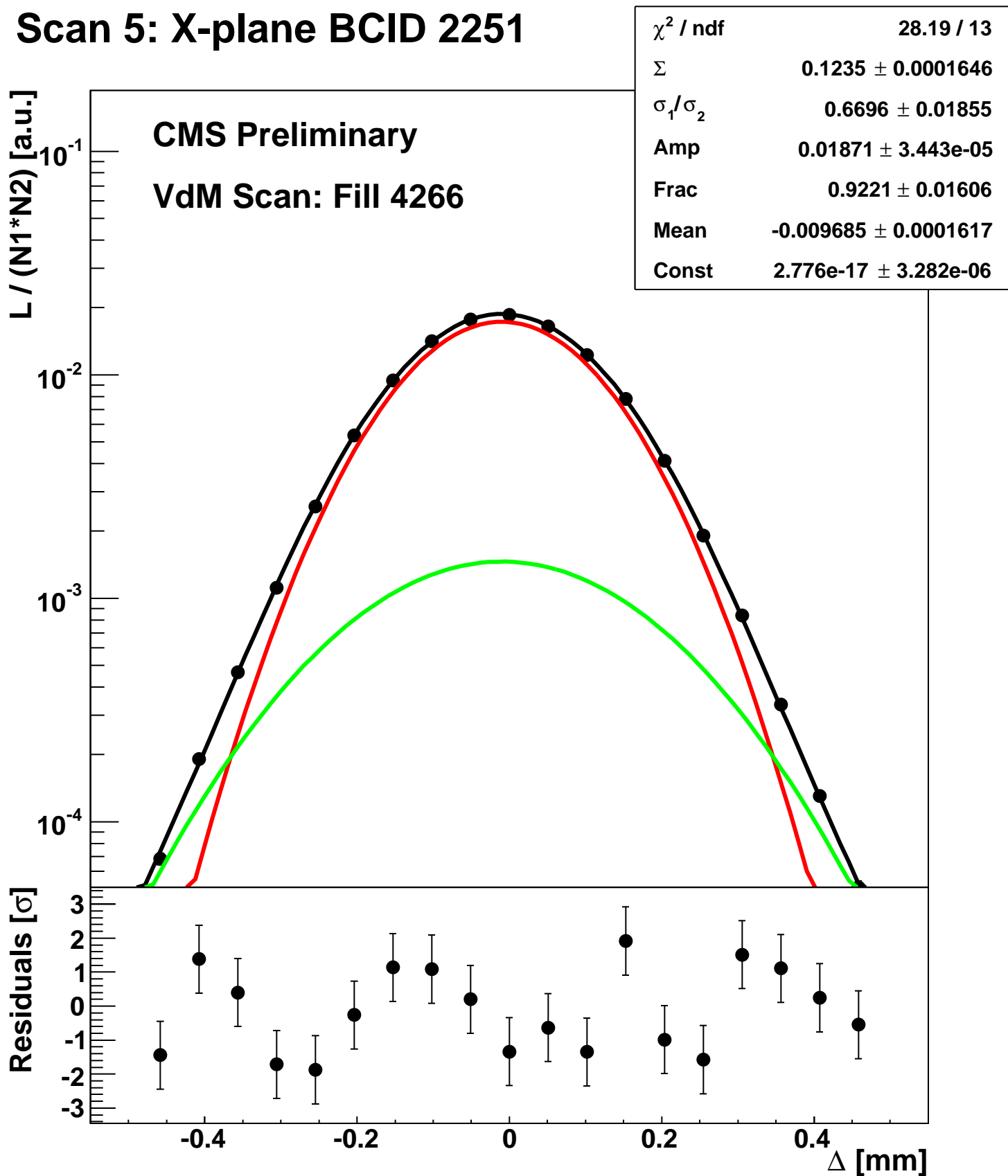
Scan 5: X-plane BCID 211



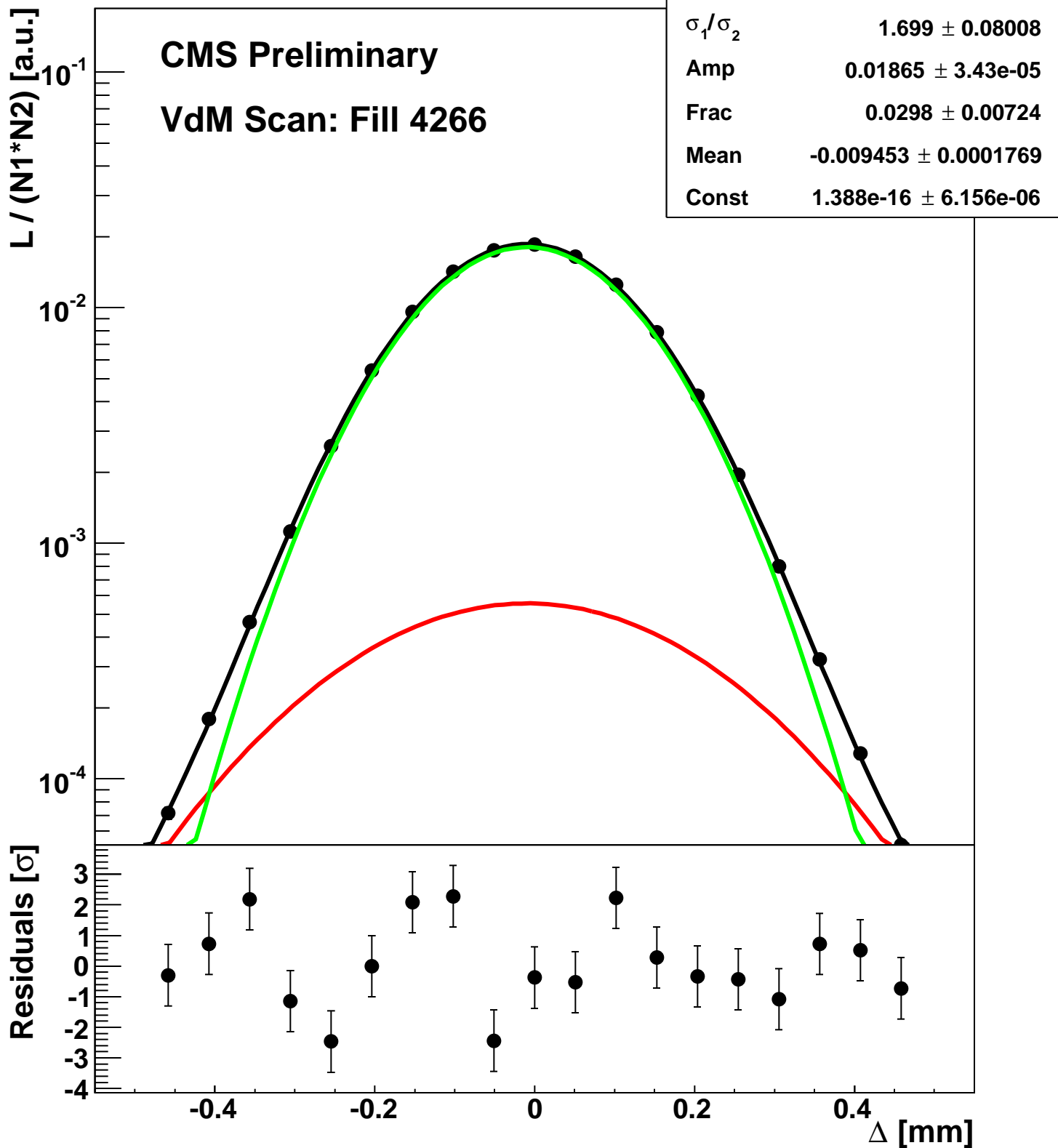
Scan 5: X-plane BCID 2211



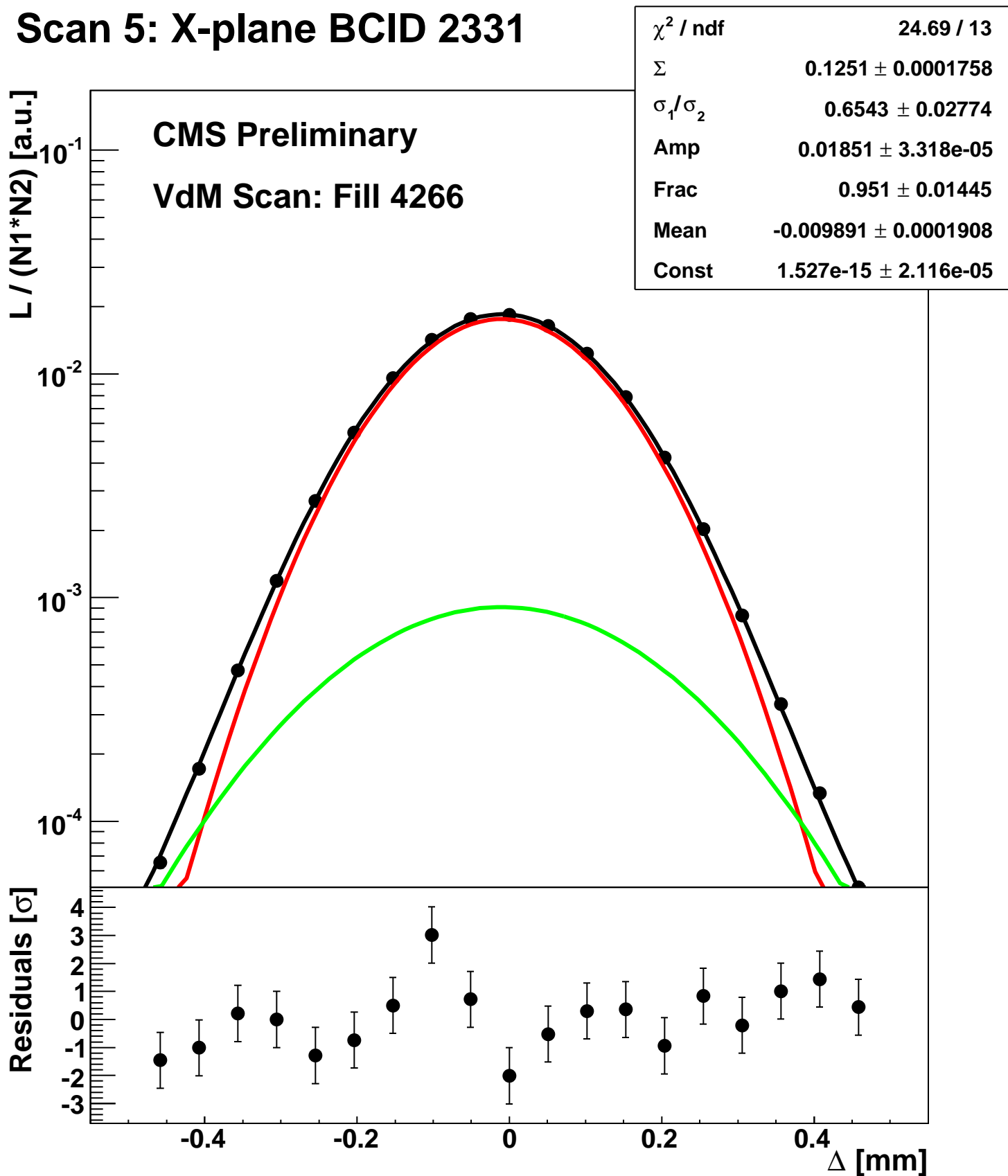
Scan 5: X-plane BCID 2251



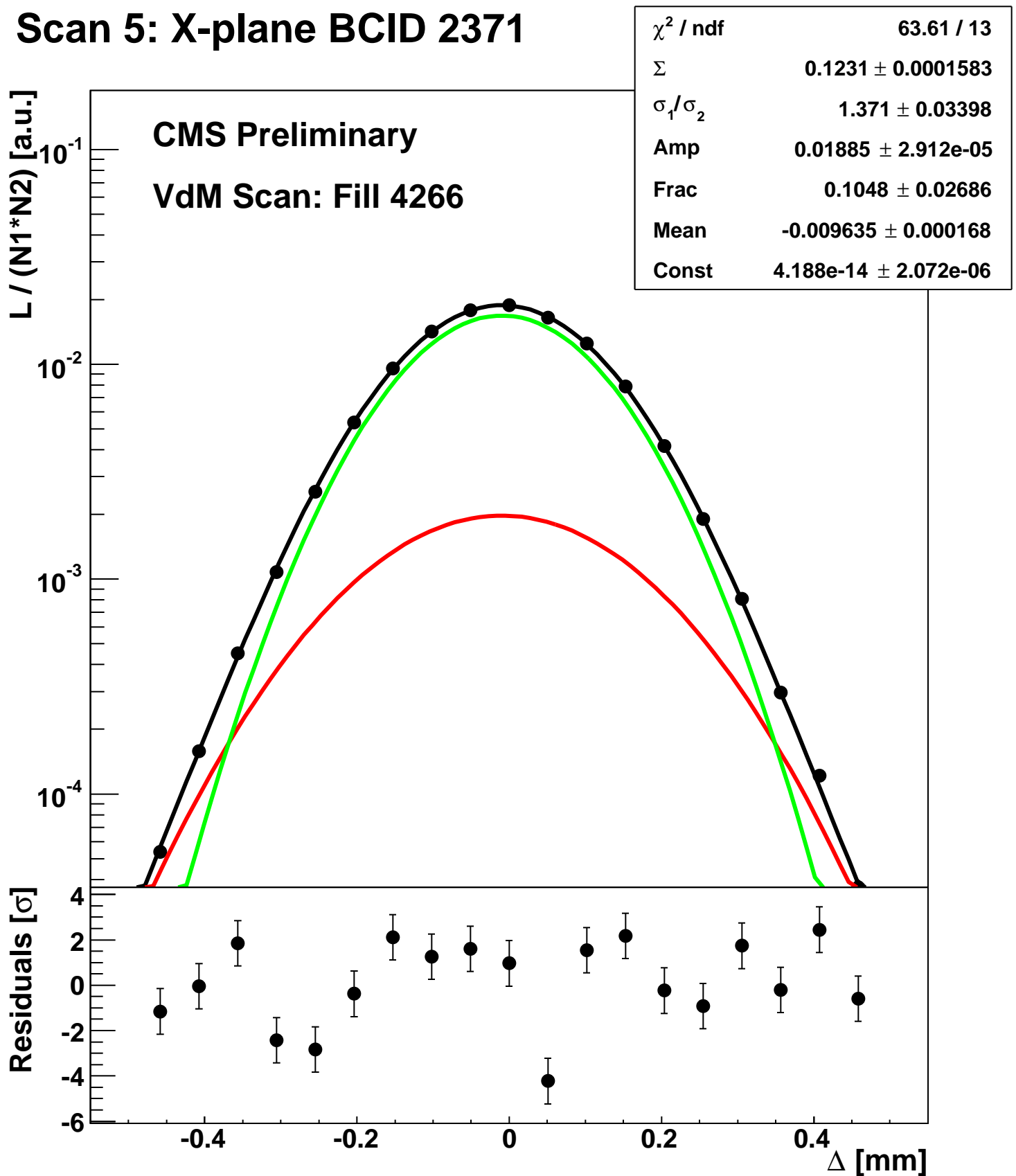
Scan 5: X-plane BCID 2291



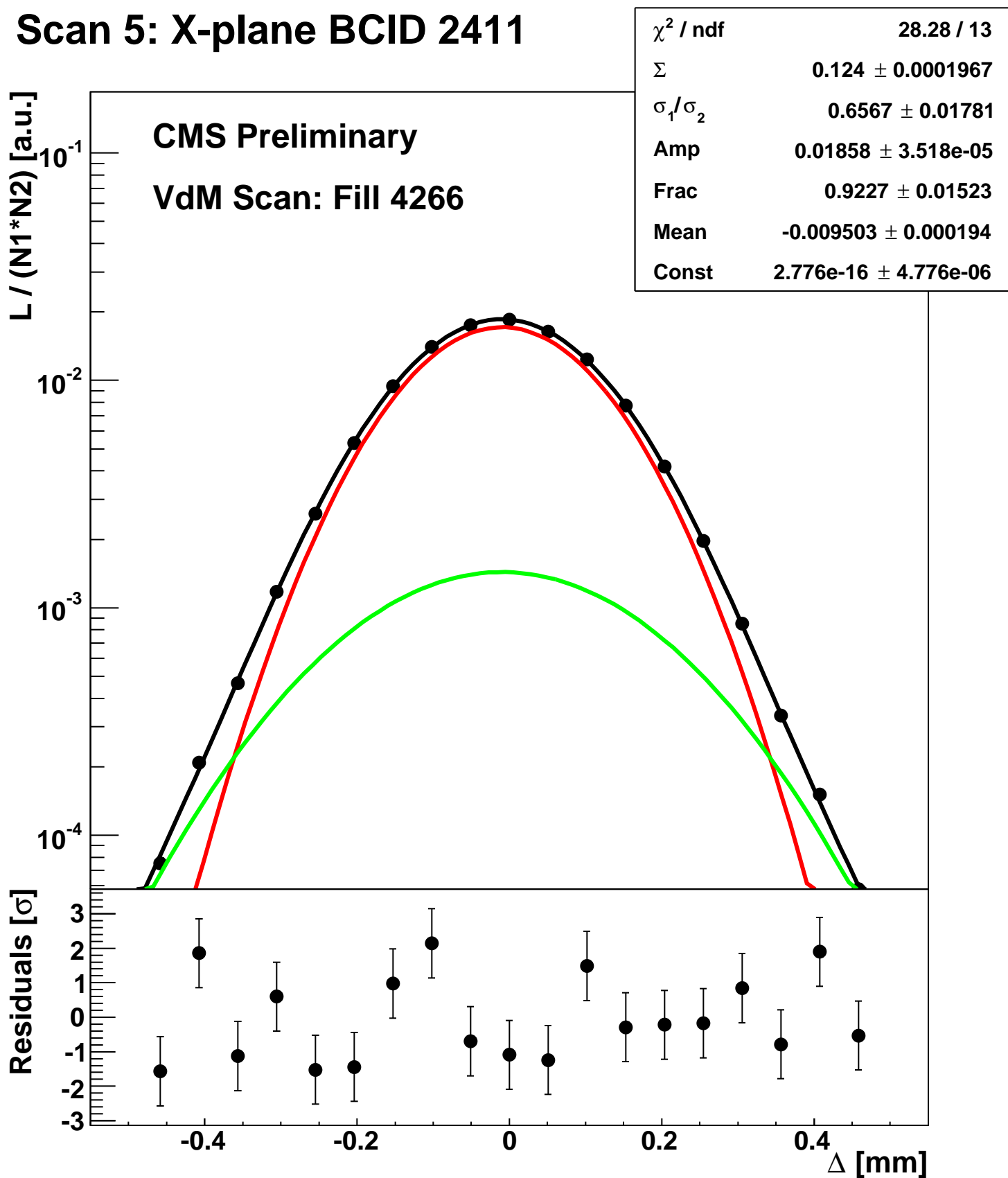
Scan 5: X-plane BCID 2331



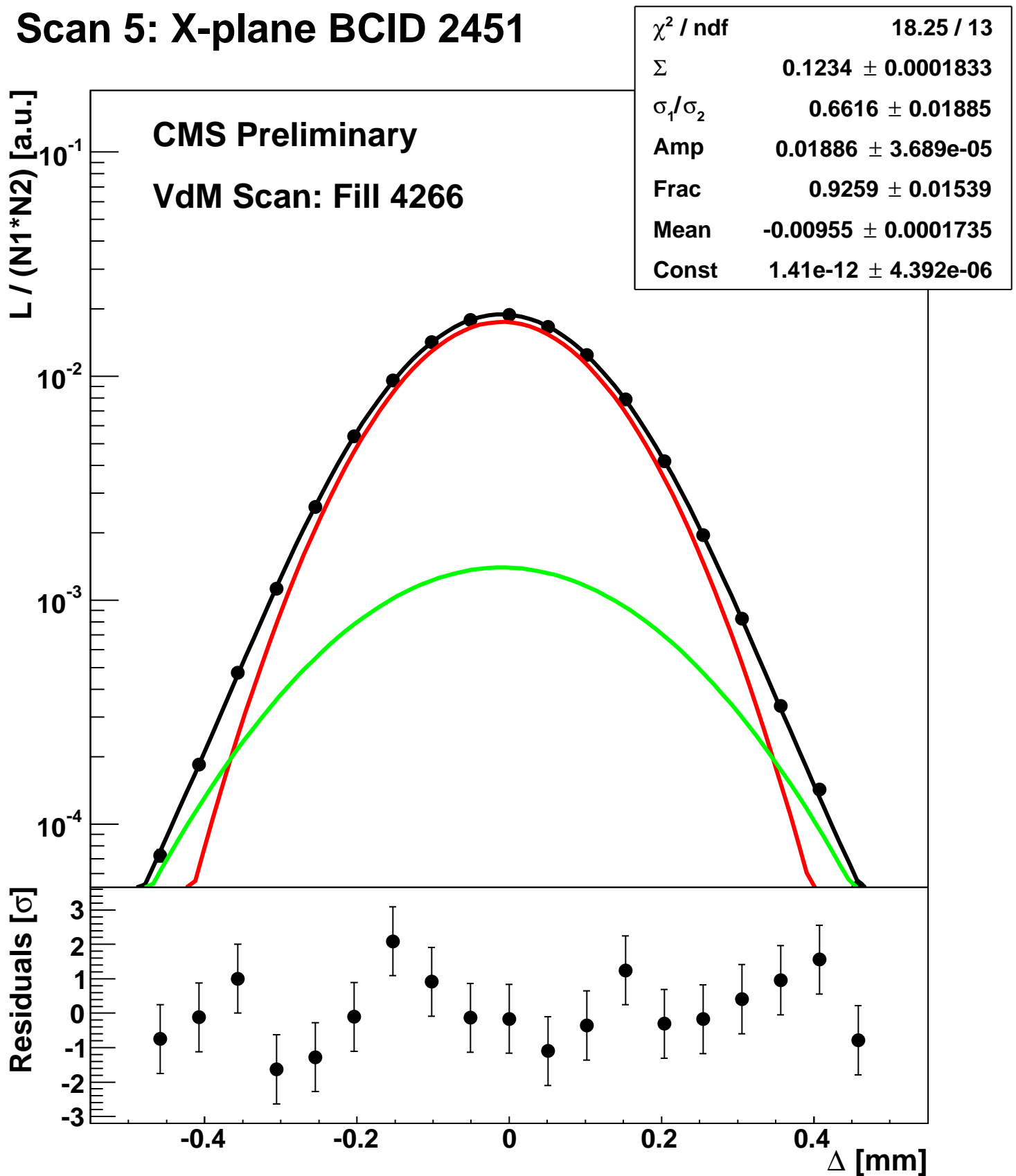
Scan 5: X-plane BCID 2371



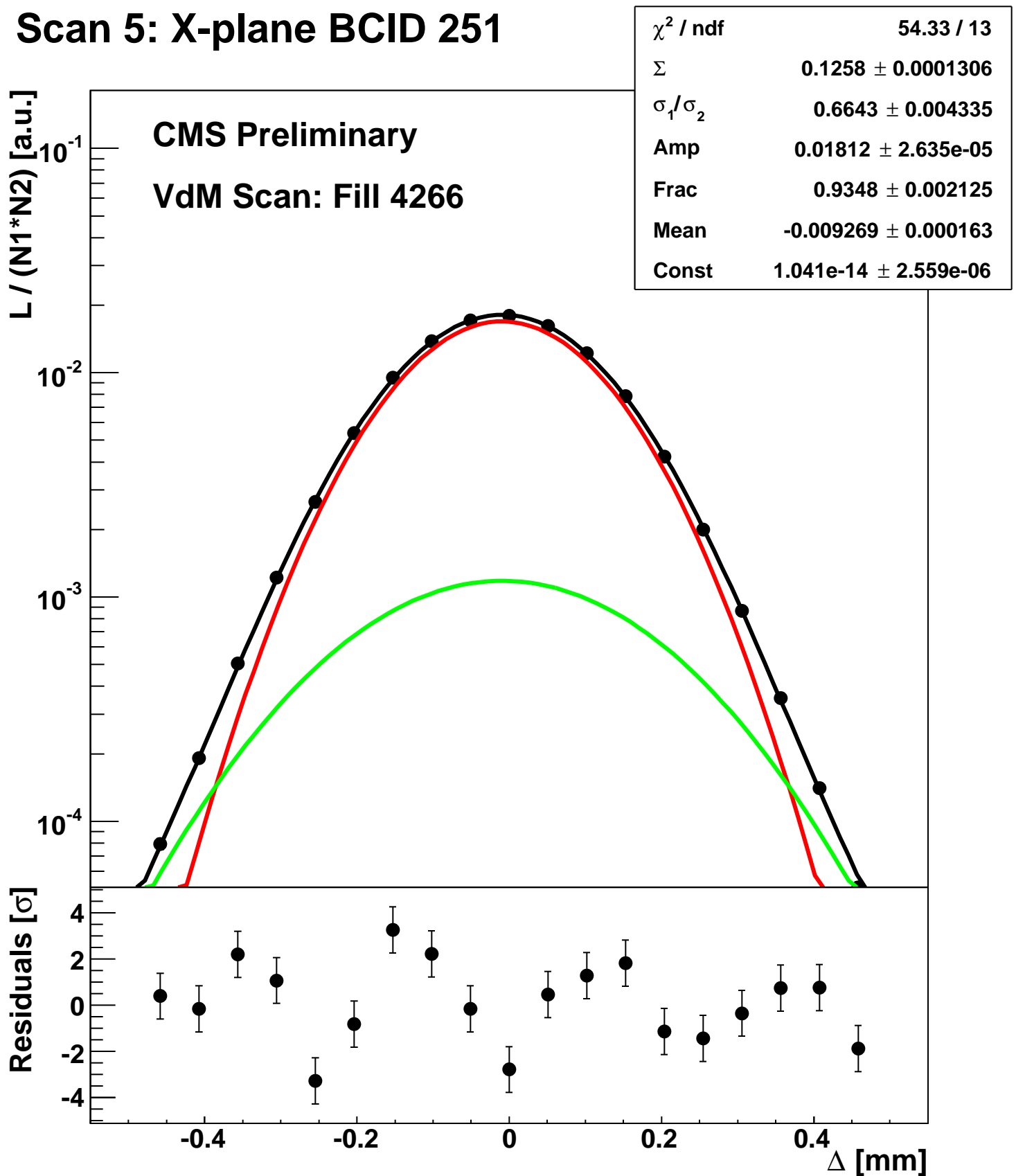
Scan 5: X-plane BCID 2411



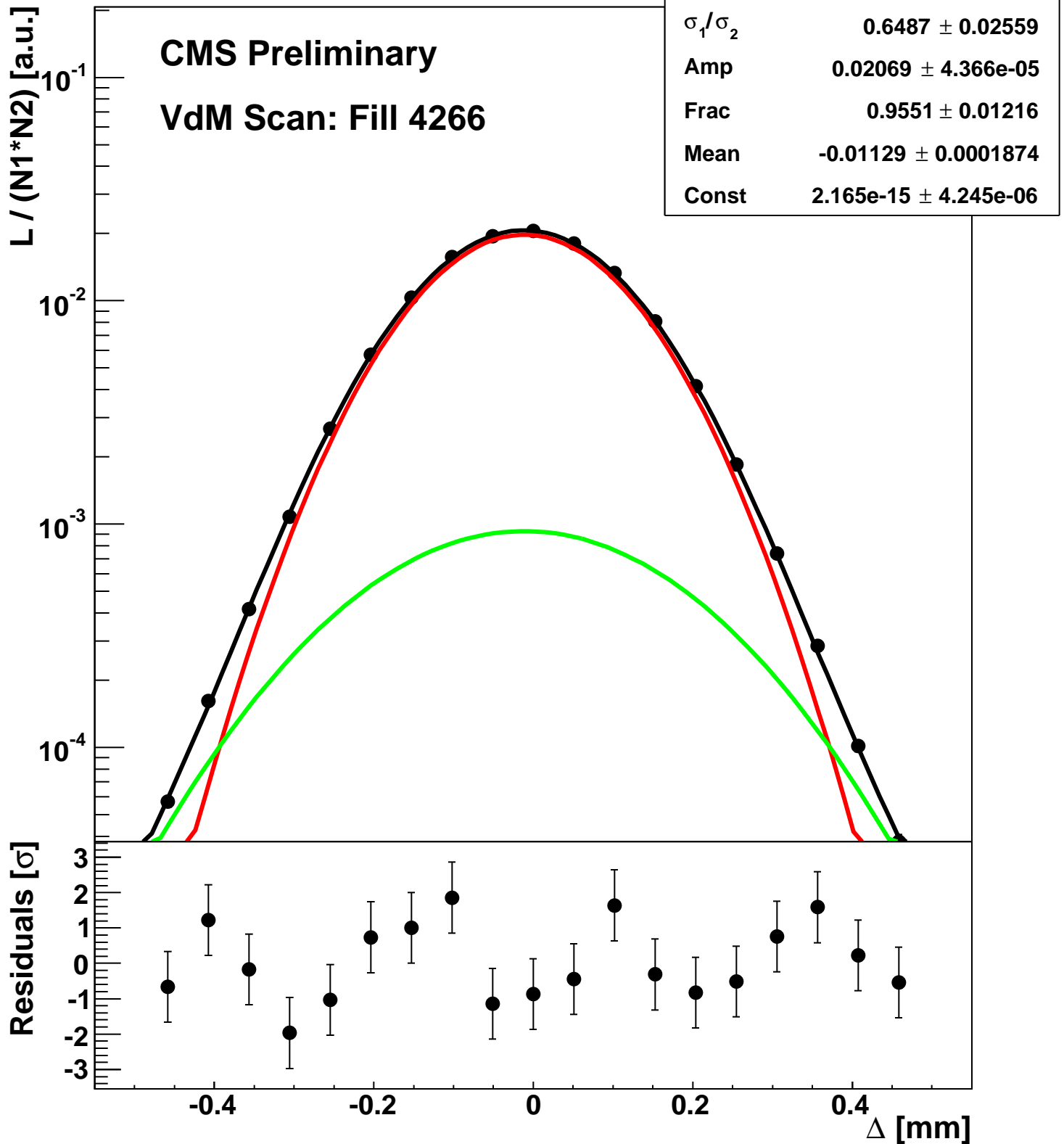
Scan 5: X-plane BCID 2451



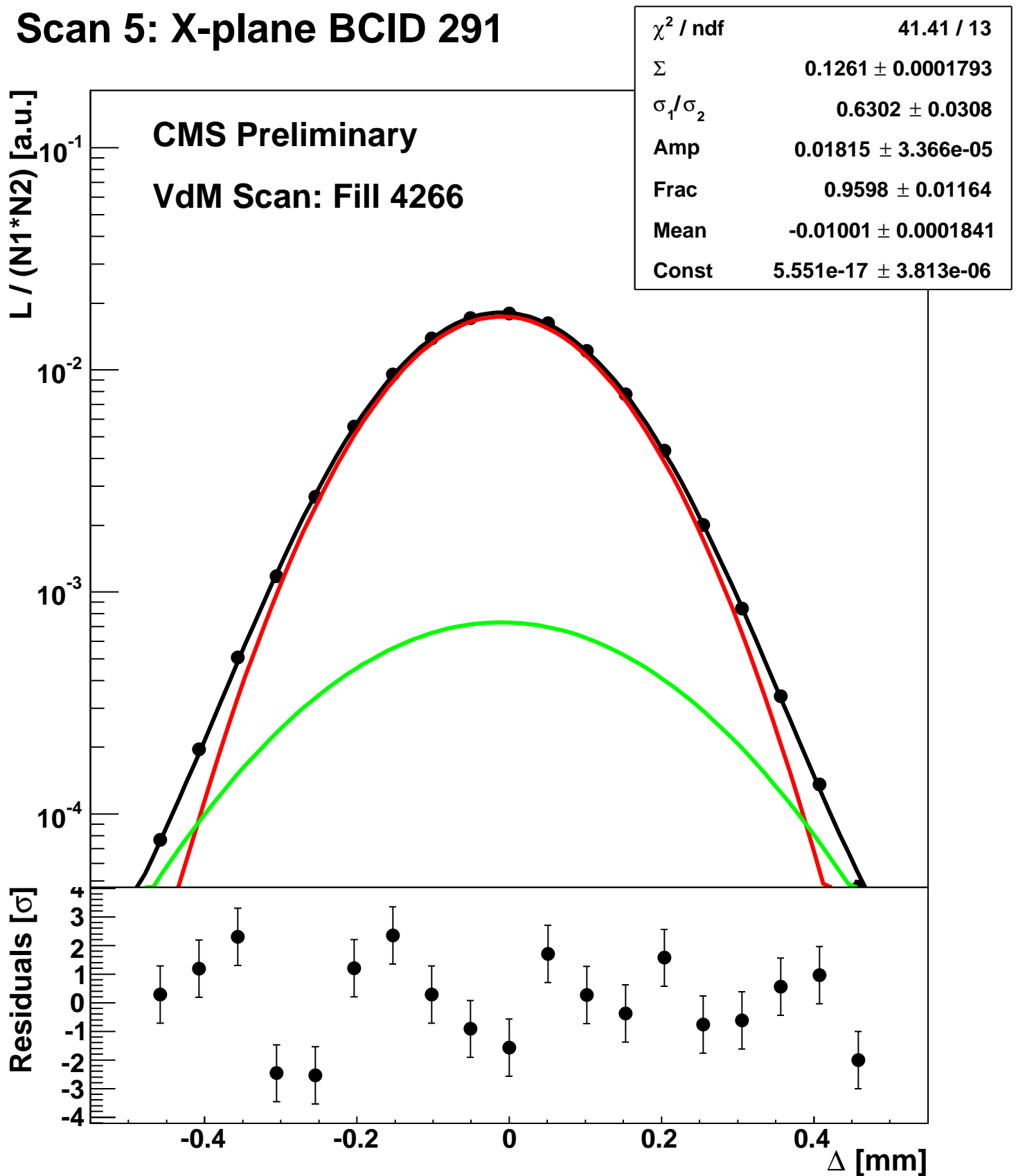
Scan 5: X-plane BCID 251



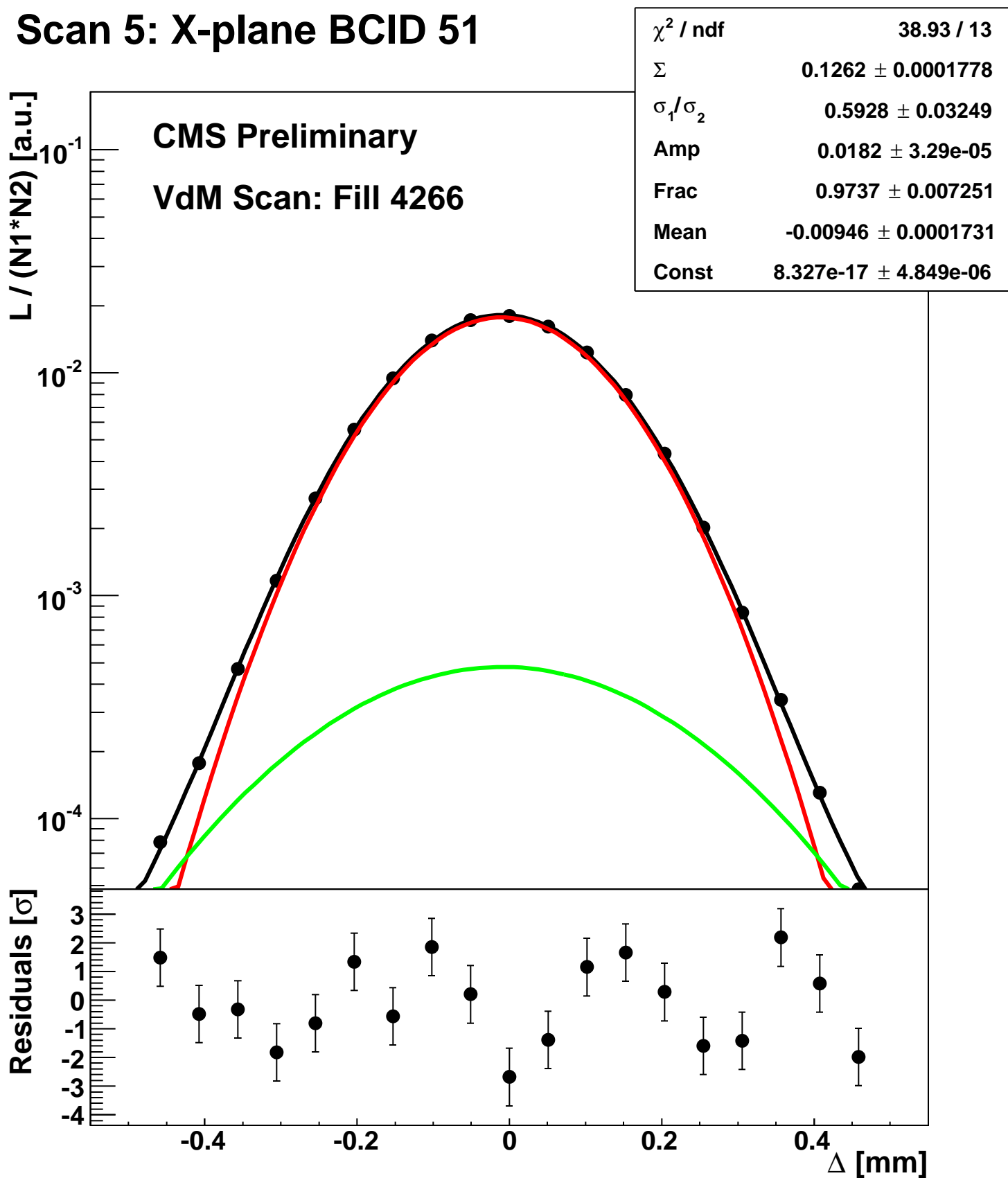
Scan 5: X-plane BCID 2674



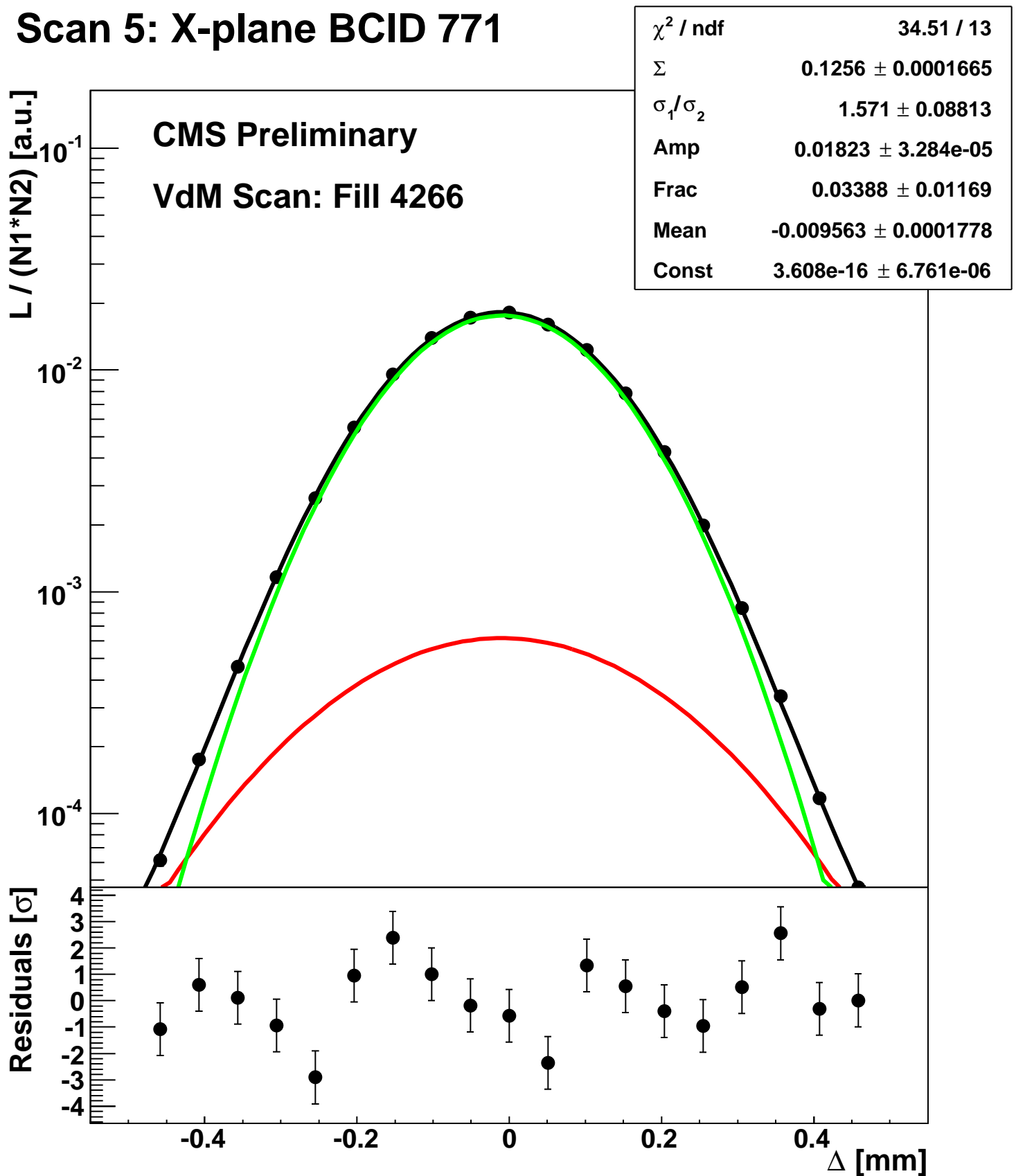
Scan 5: X-plane BCID 291



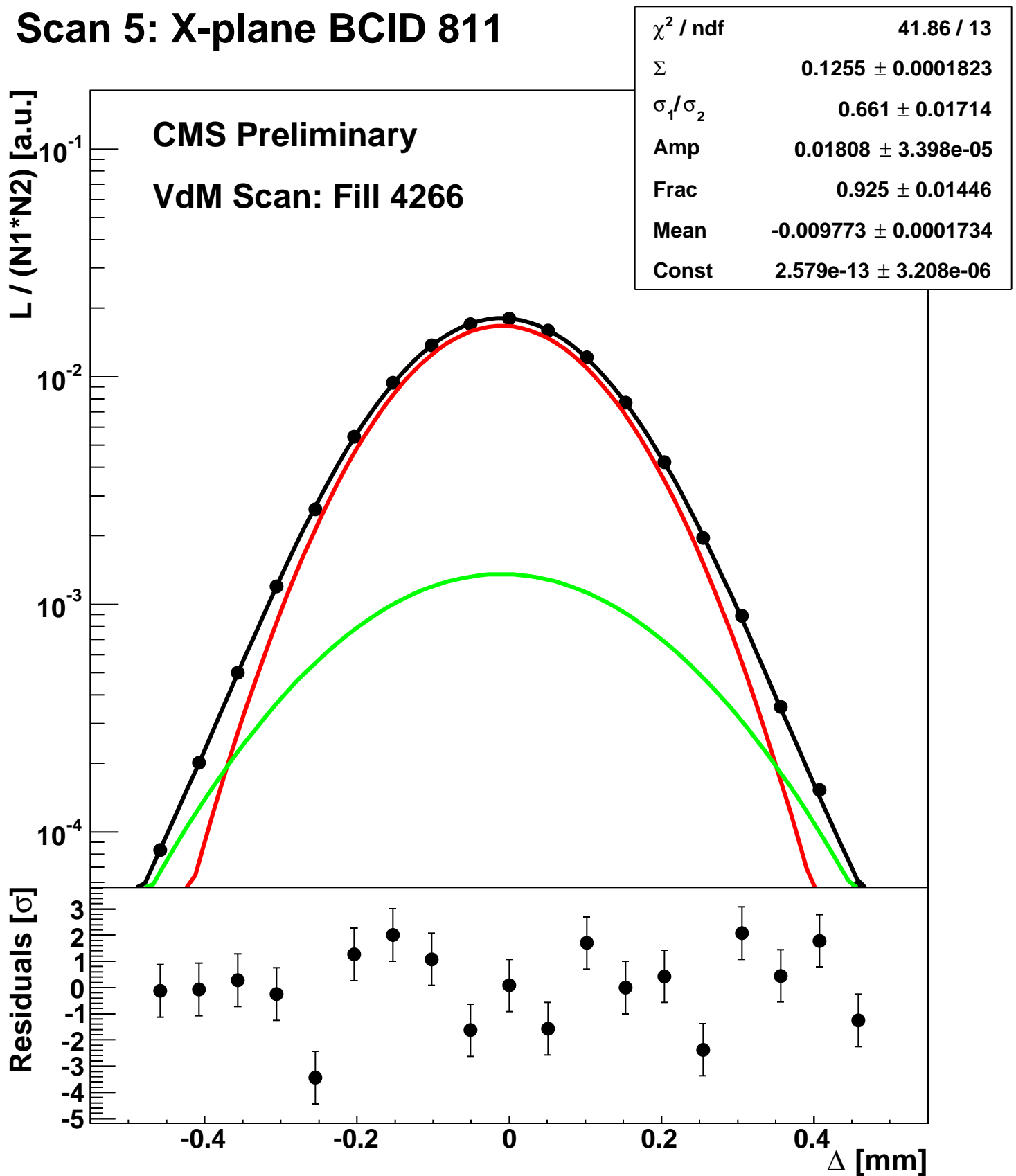
Scan 5: X-plane BCID 51



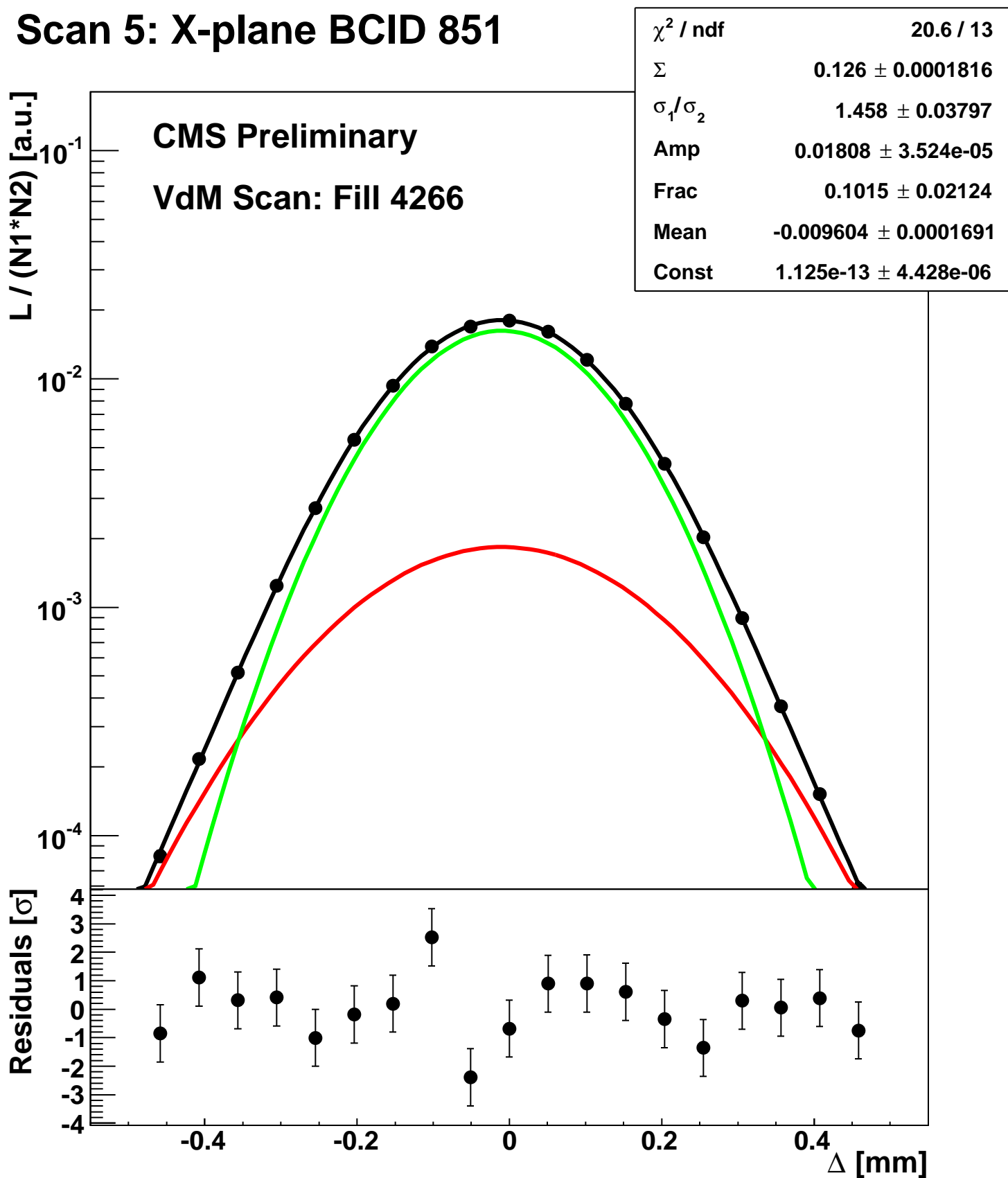
Scan 5: X-plane BCID 771



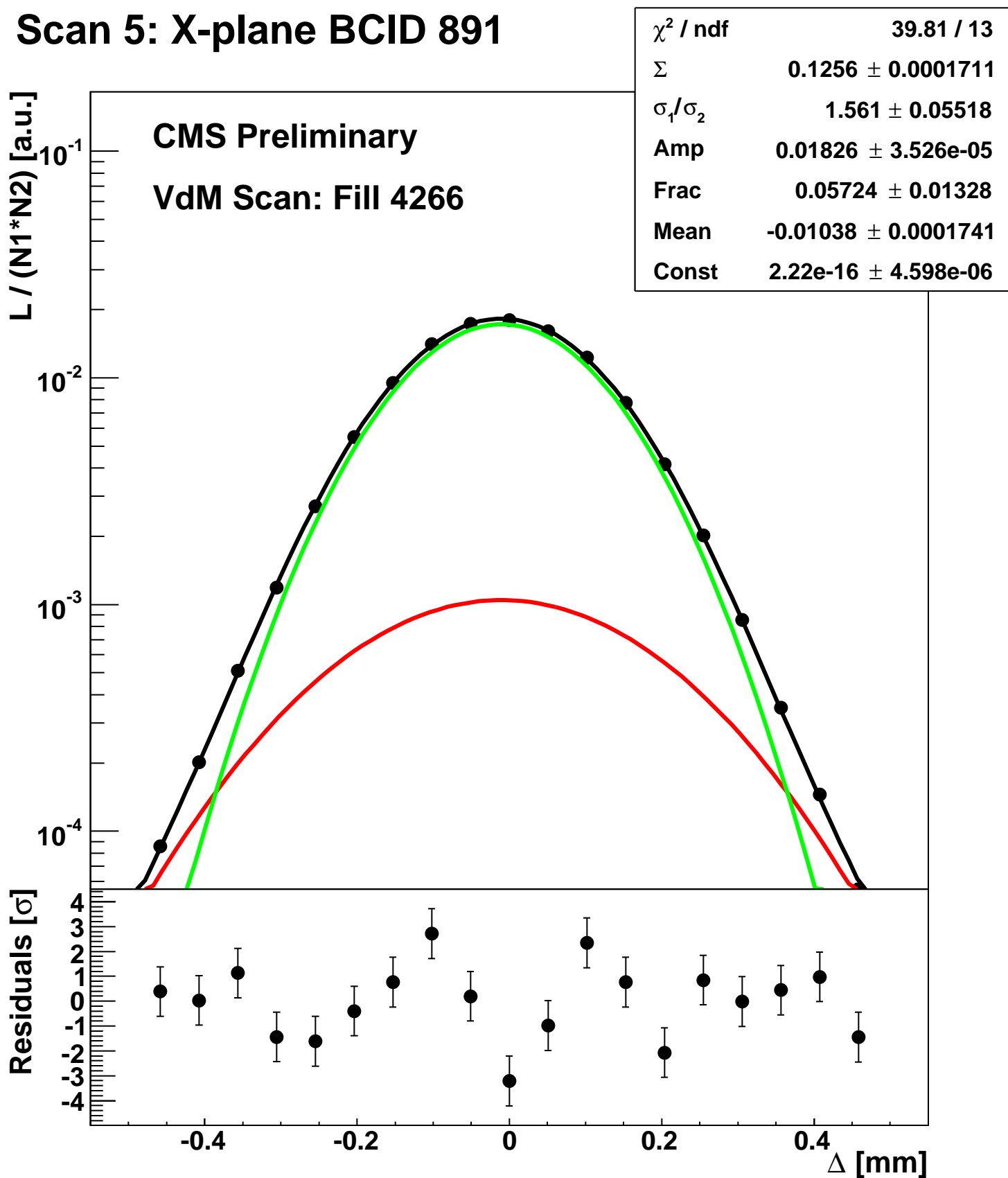
Scan 5: X-plane BCID 811



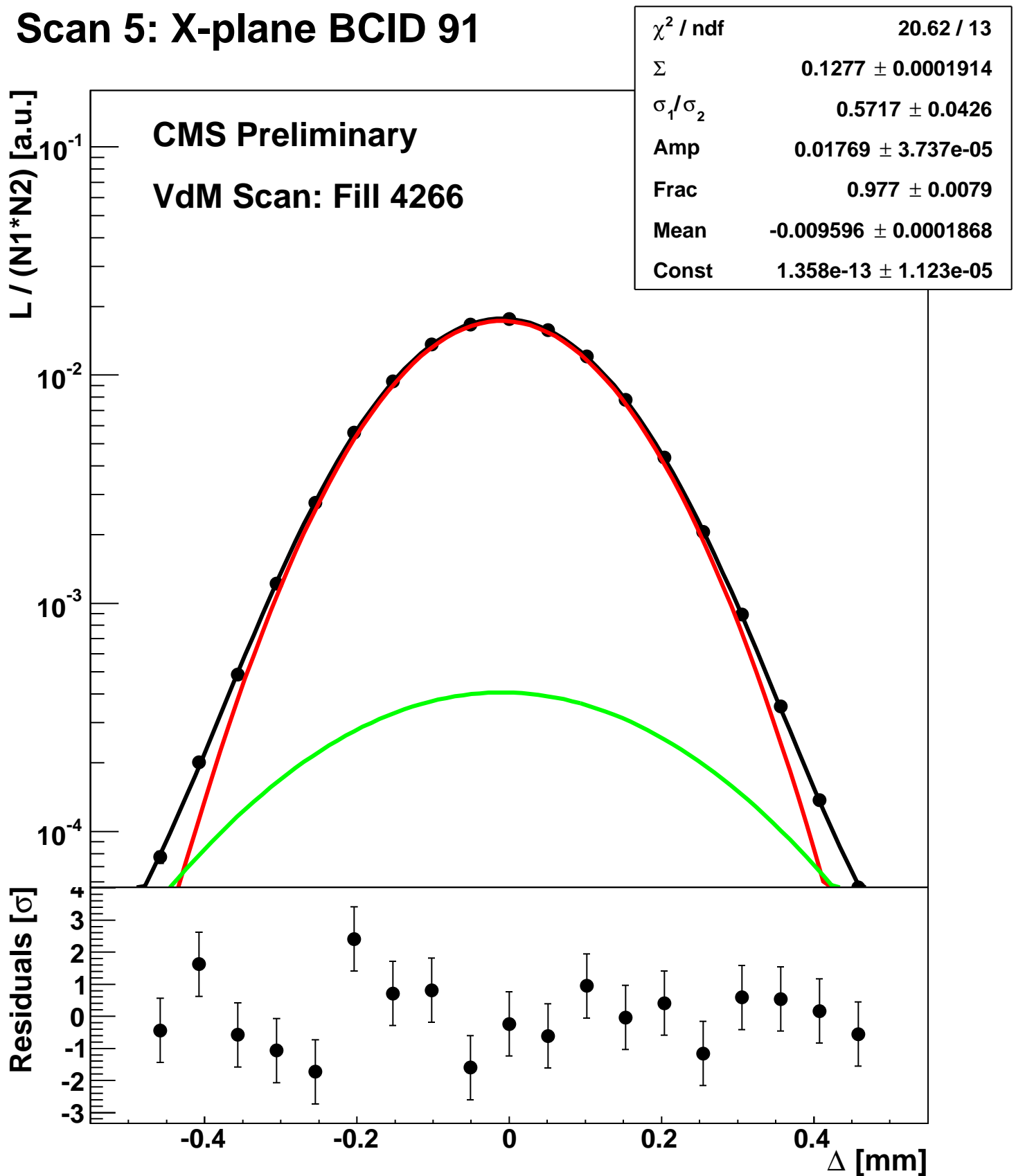
Scan 5: X-plane BCID 851



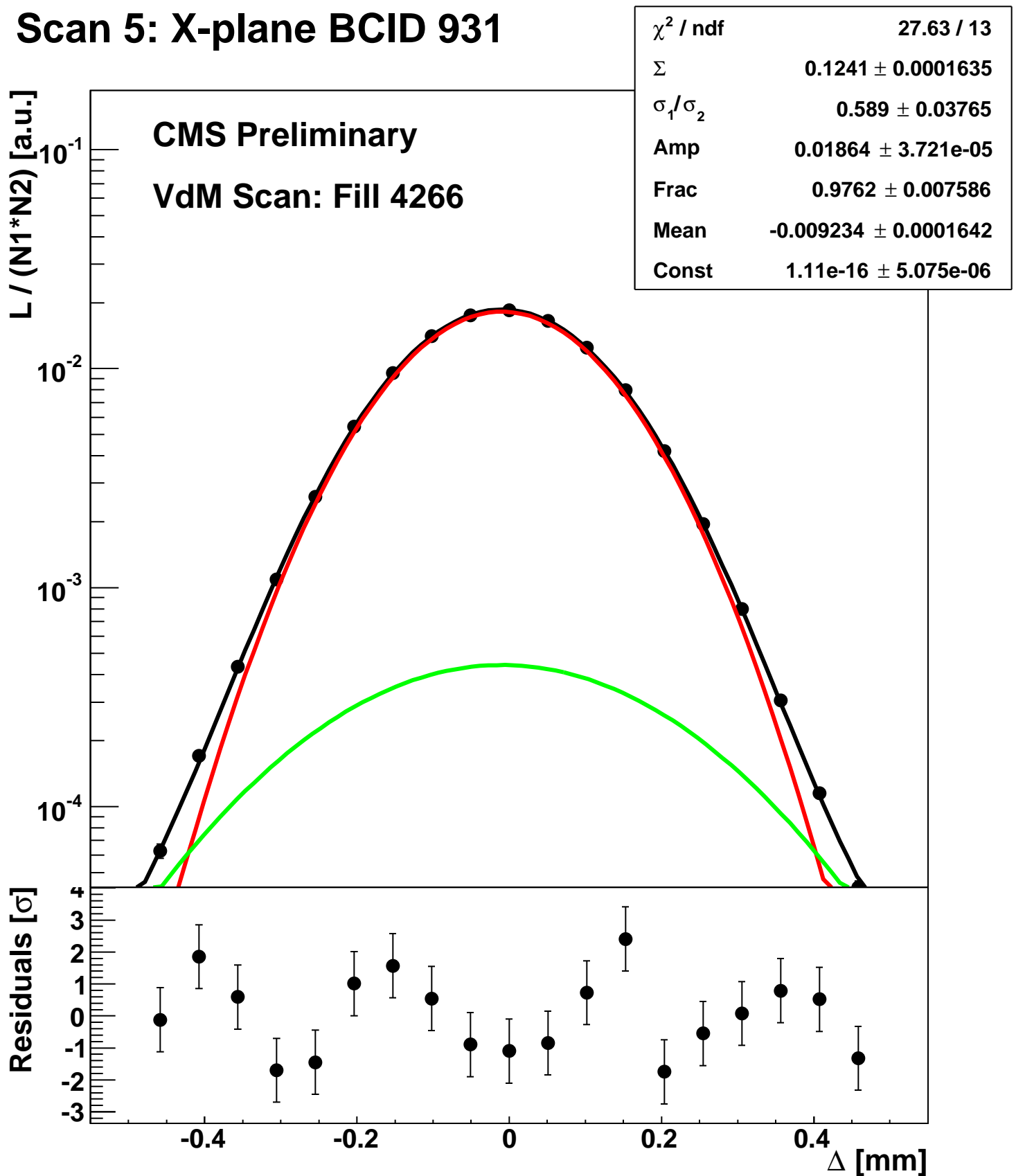
Scan 5: X-plane BCID 891



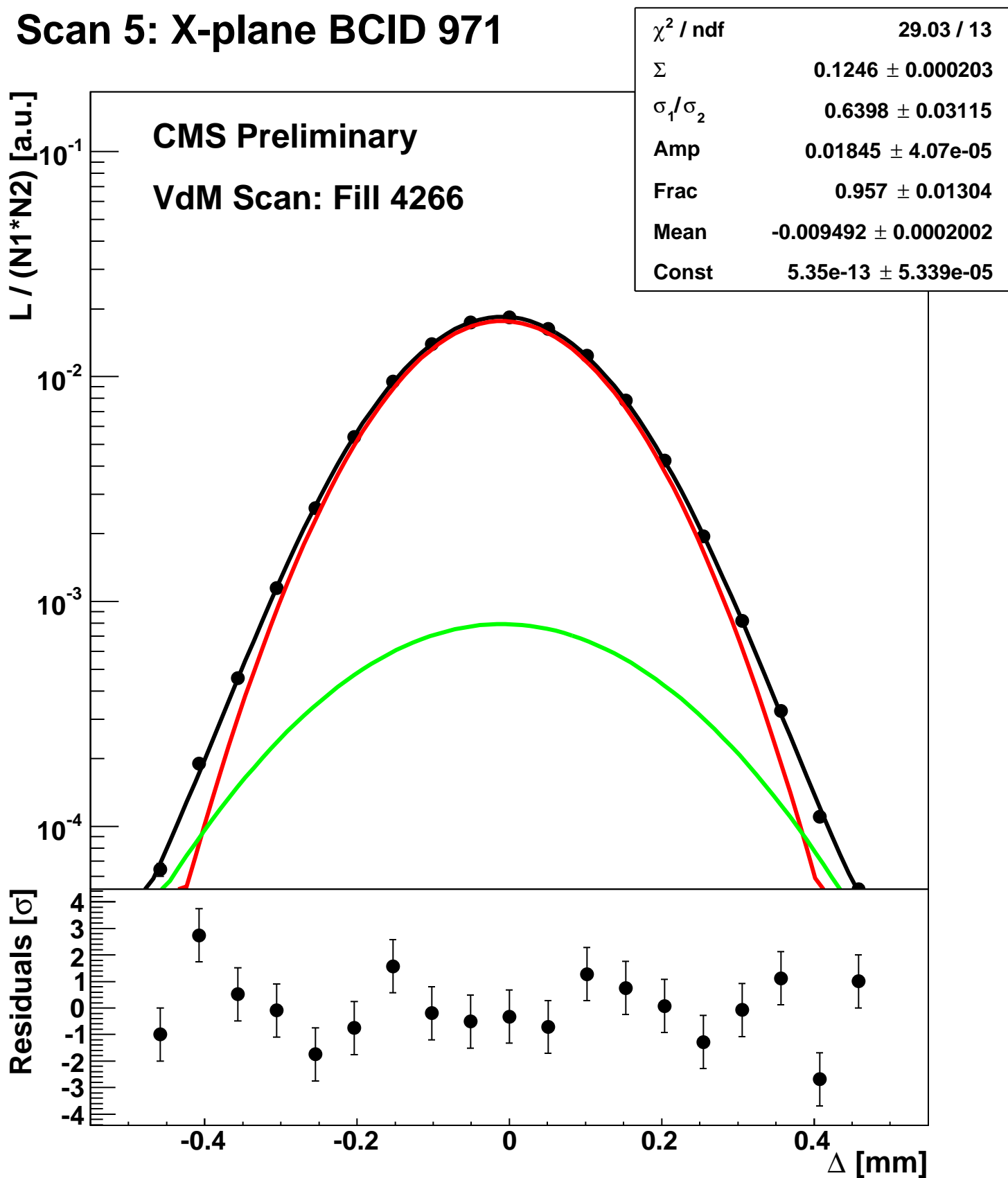
Scan 5: X-plane BCID 91



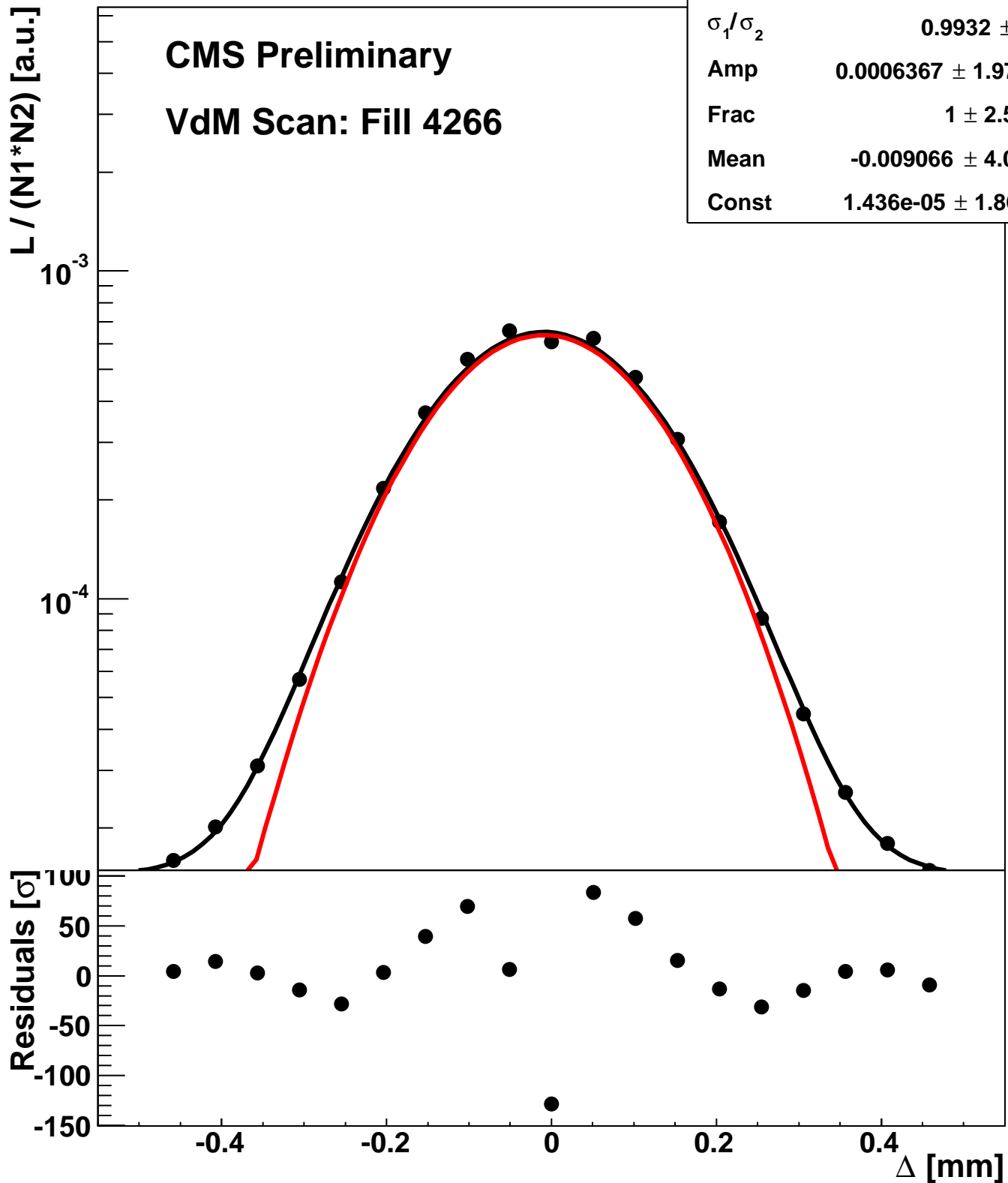
Scan 5: X-plane BCID 931



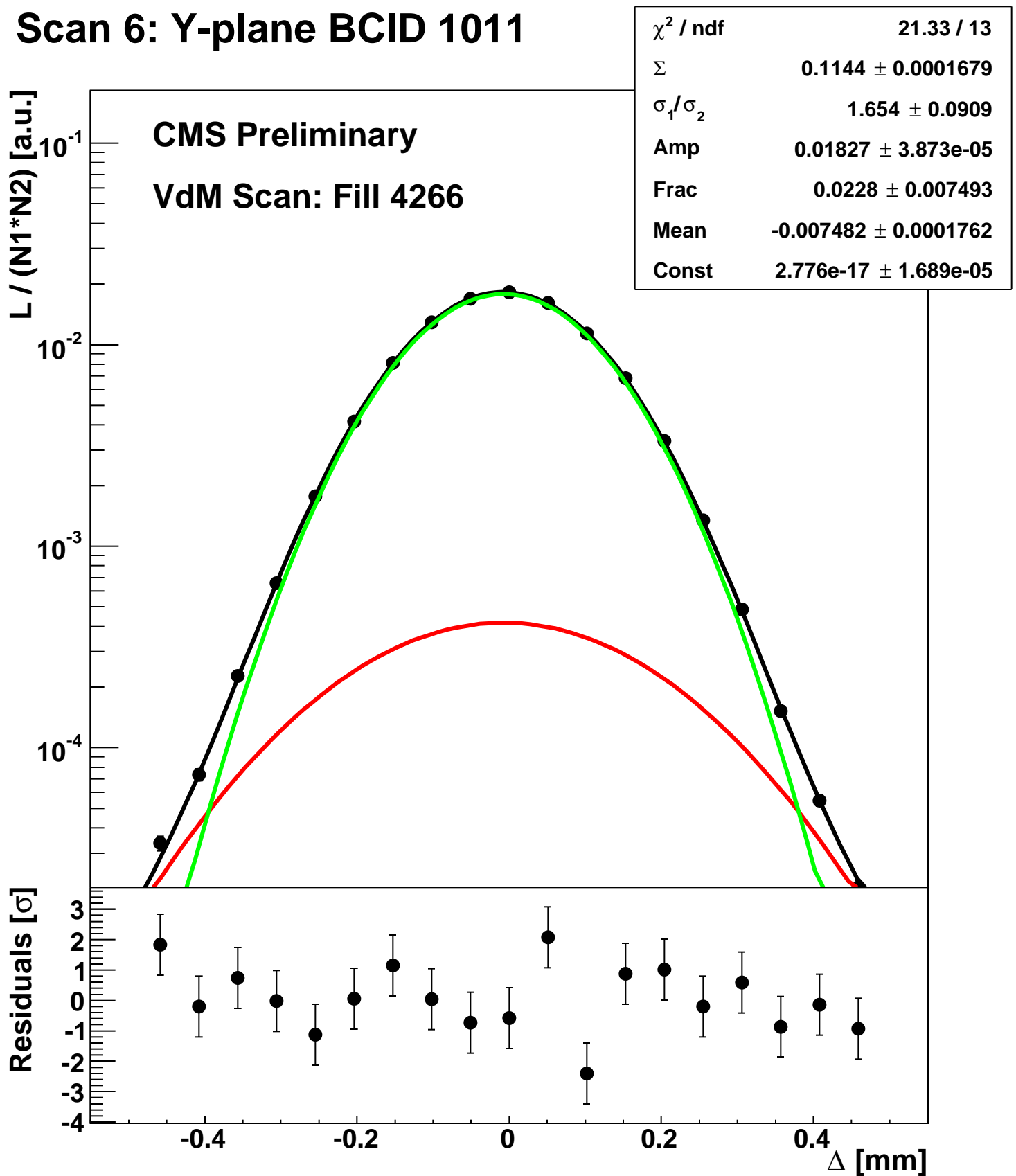
Scan 5: X-plane BCID 971



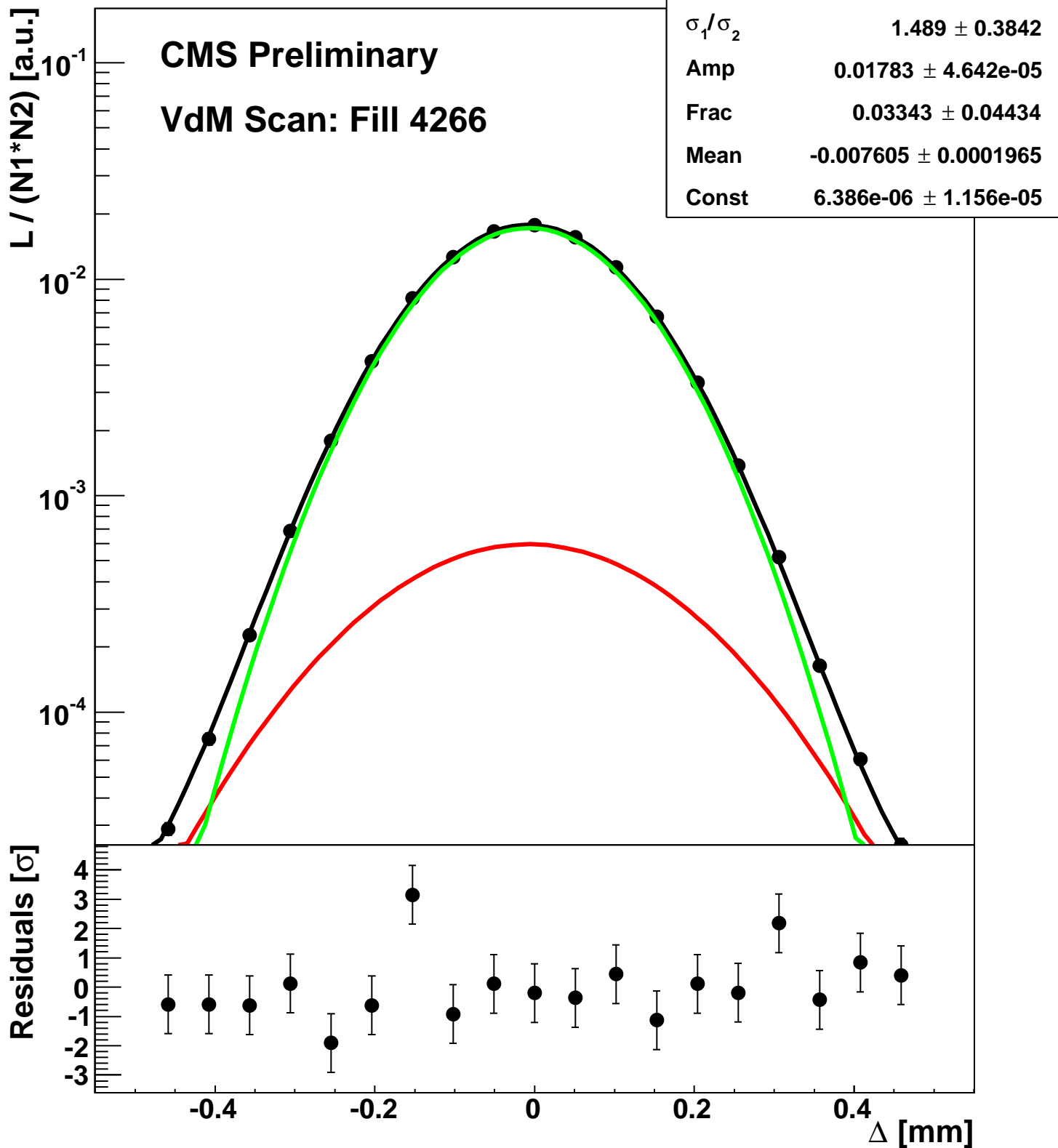
Scan 5: X-plane BCID sum



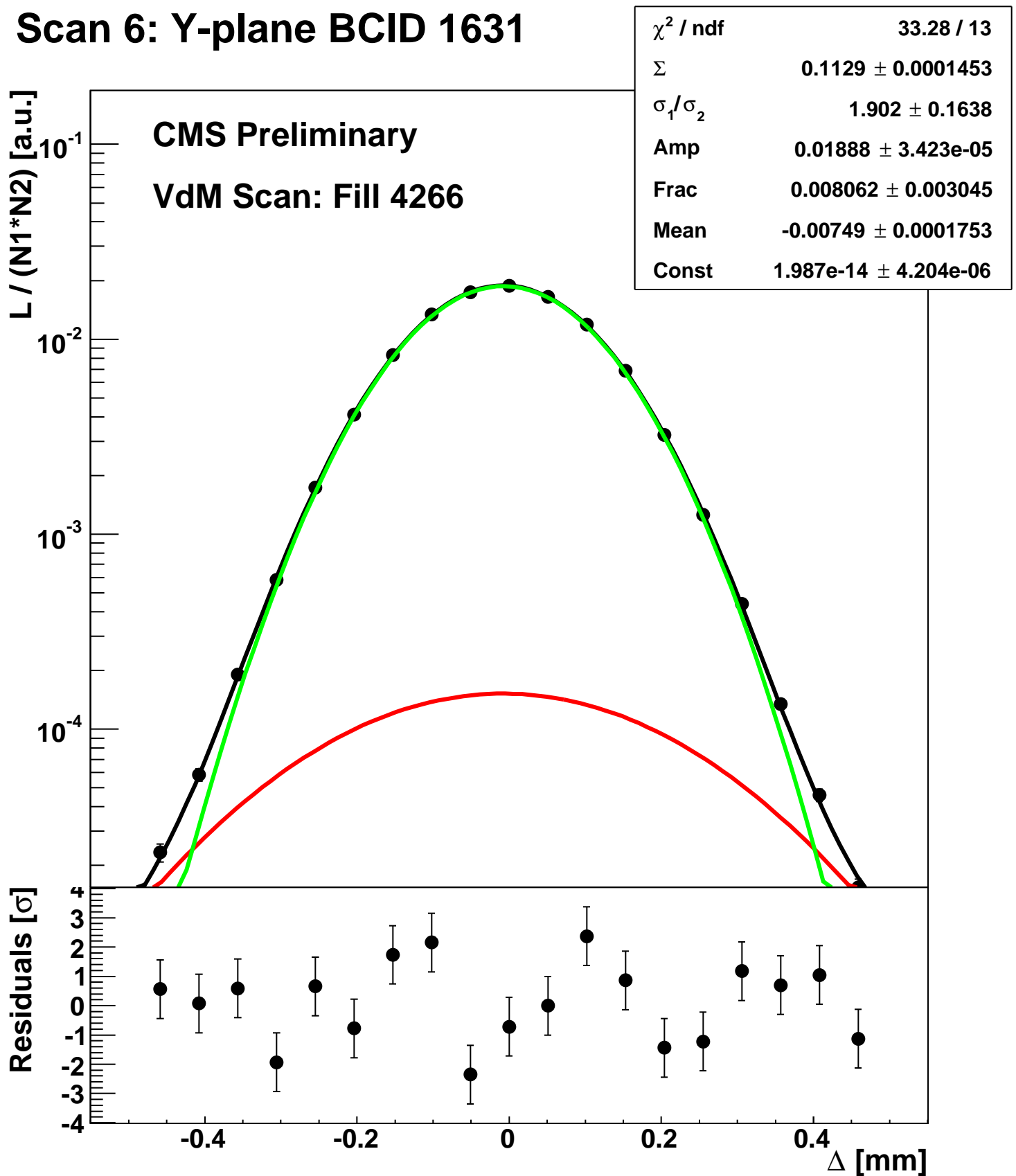
Scan 6: Y-plane BCID 1011



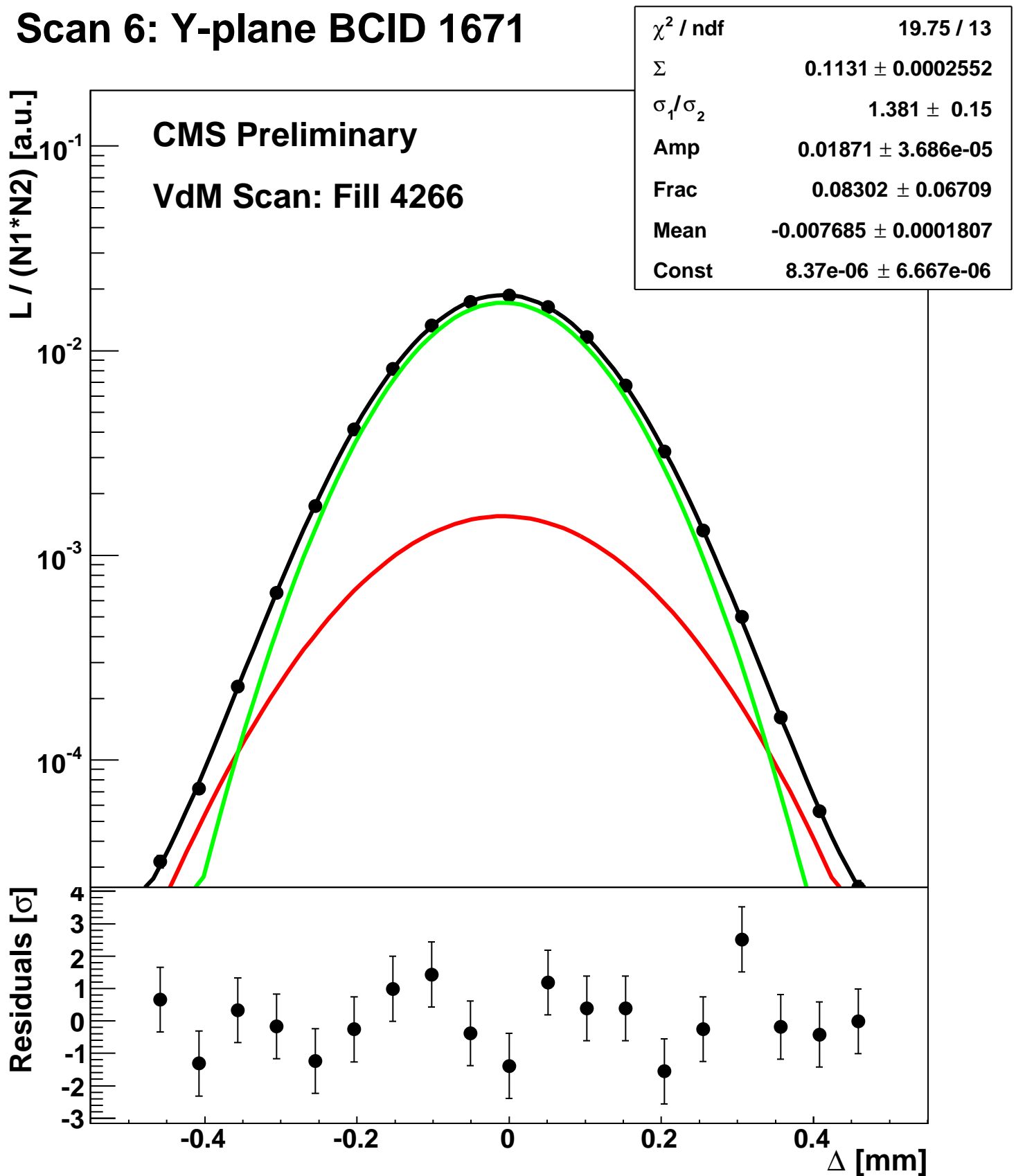
Scan 6: Y-plane BCID 131



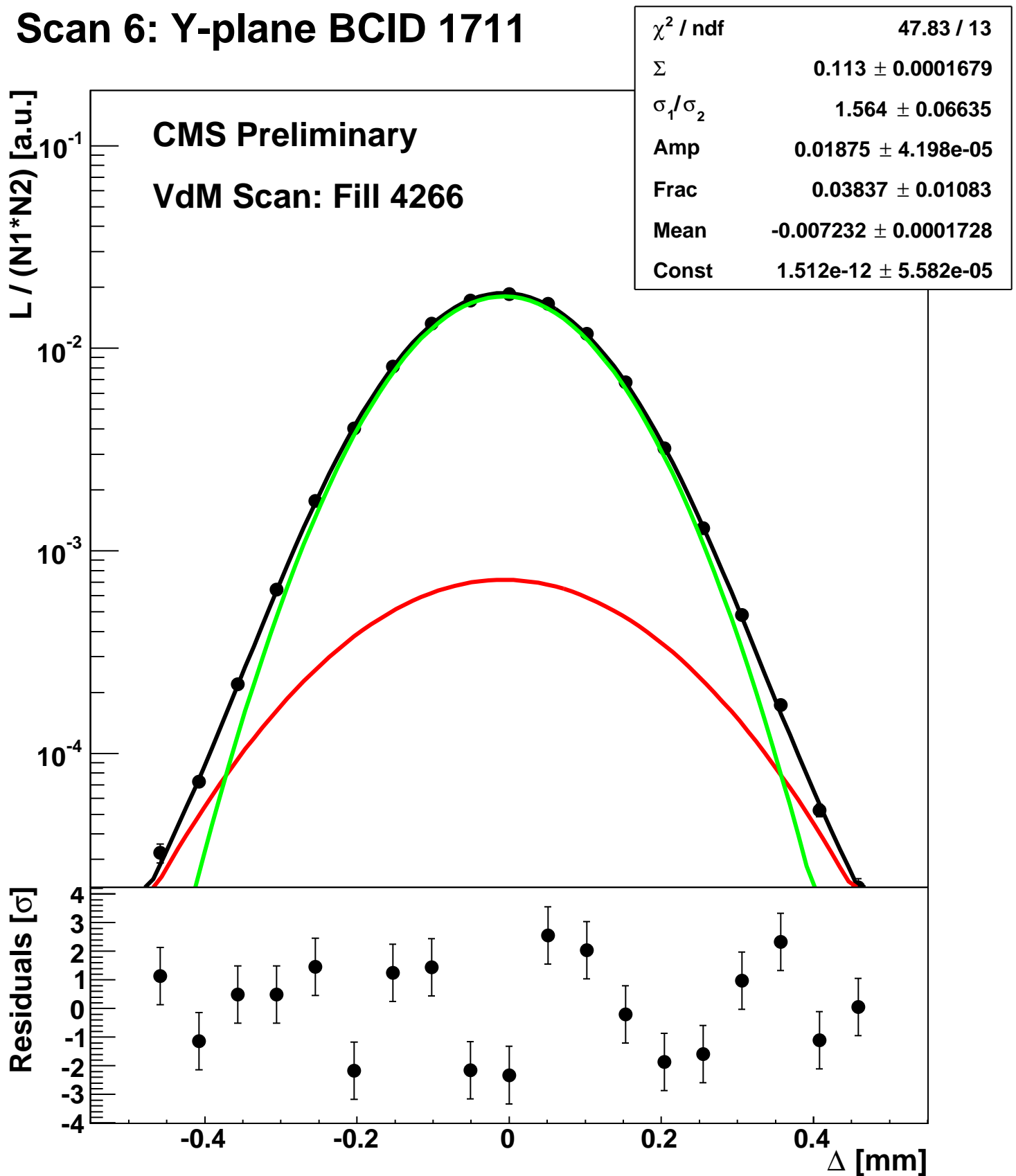
Scan 6: Y-plane BCID 1631



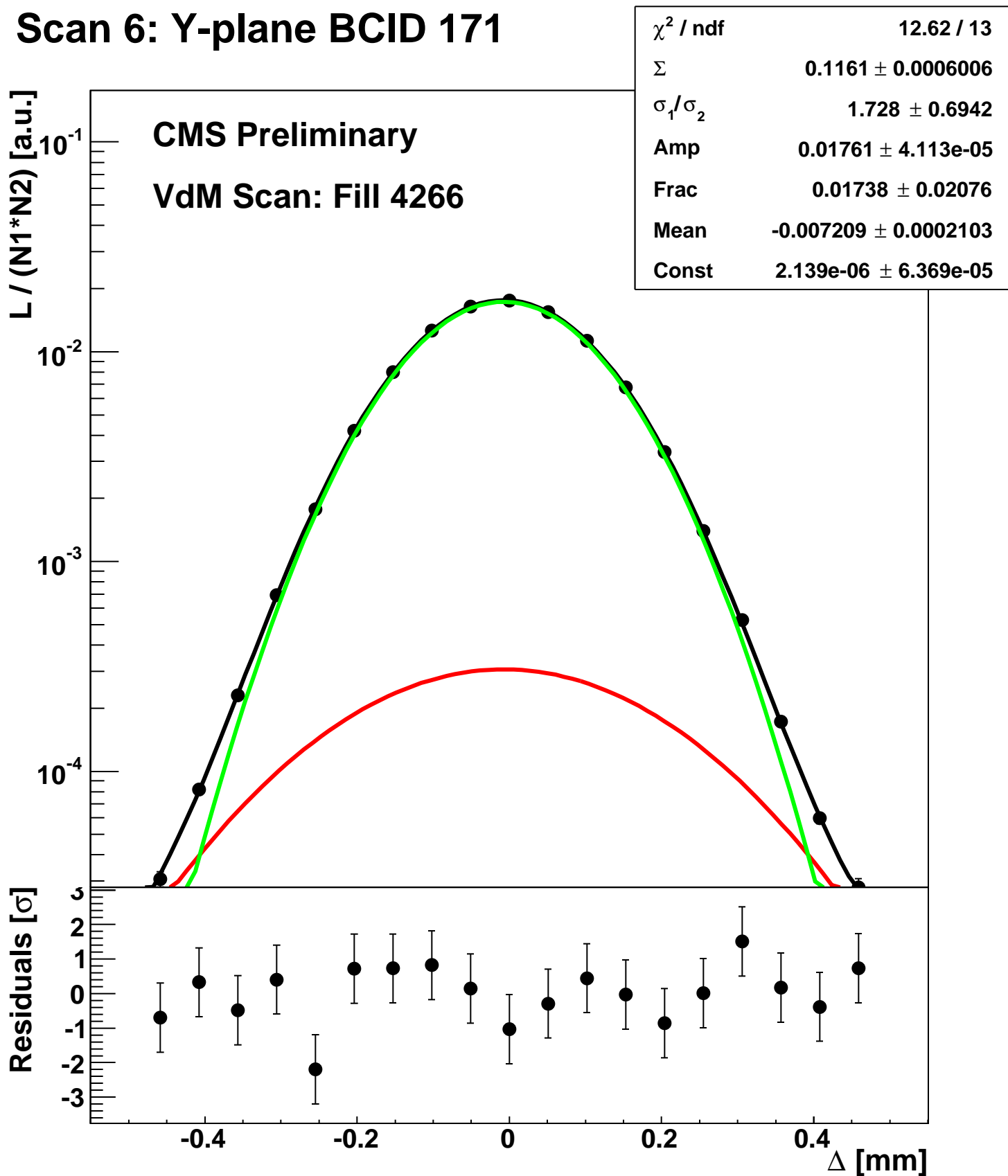
Scan 6: Y-plane BCID 1671



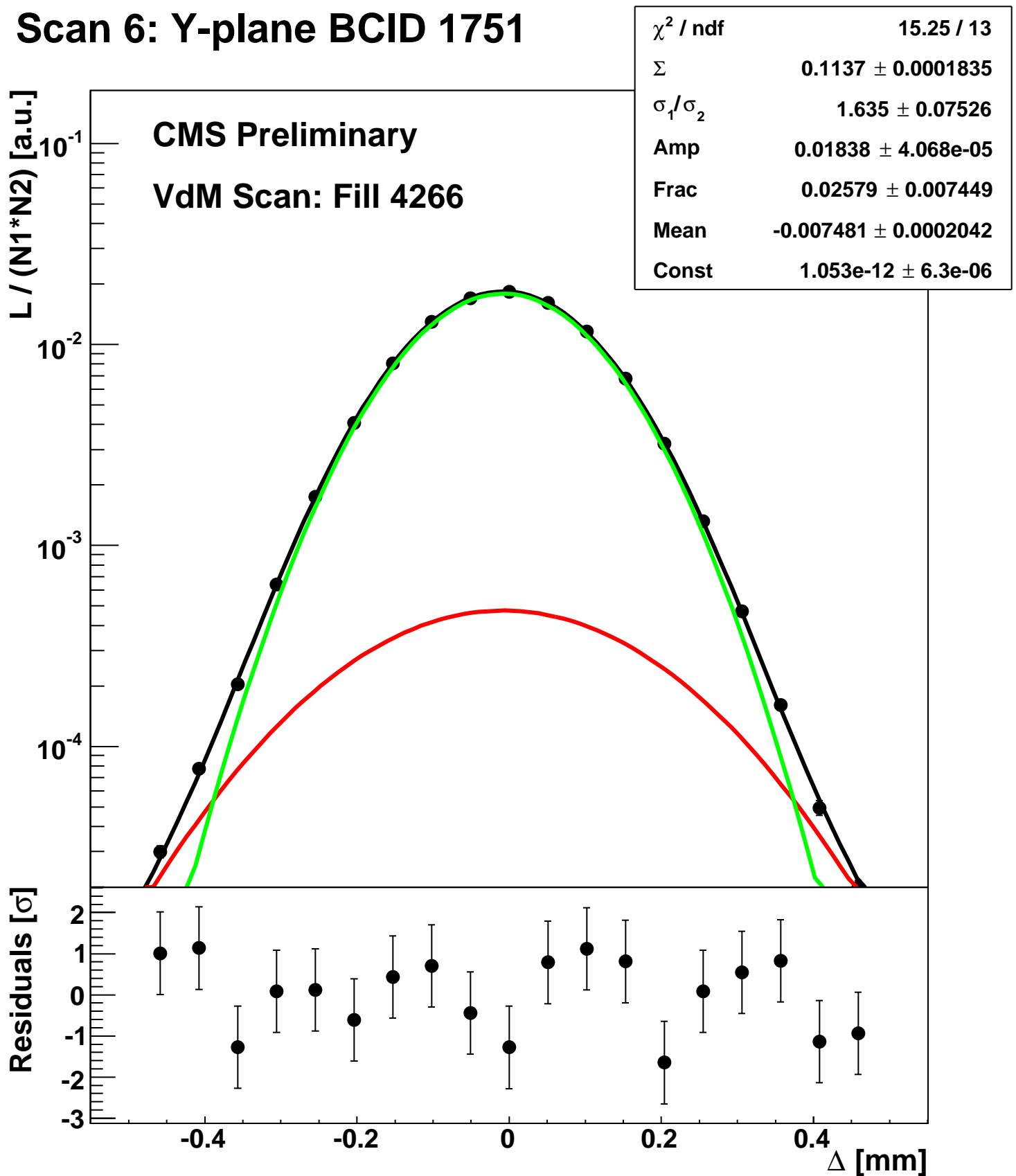
Scan 6: Y-plane BCID 1711



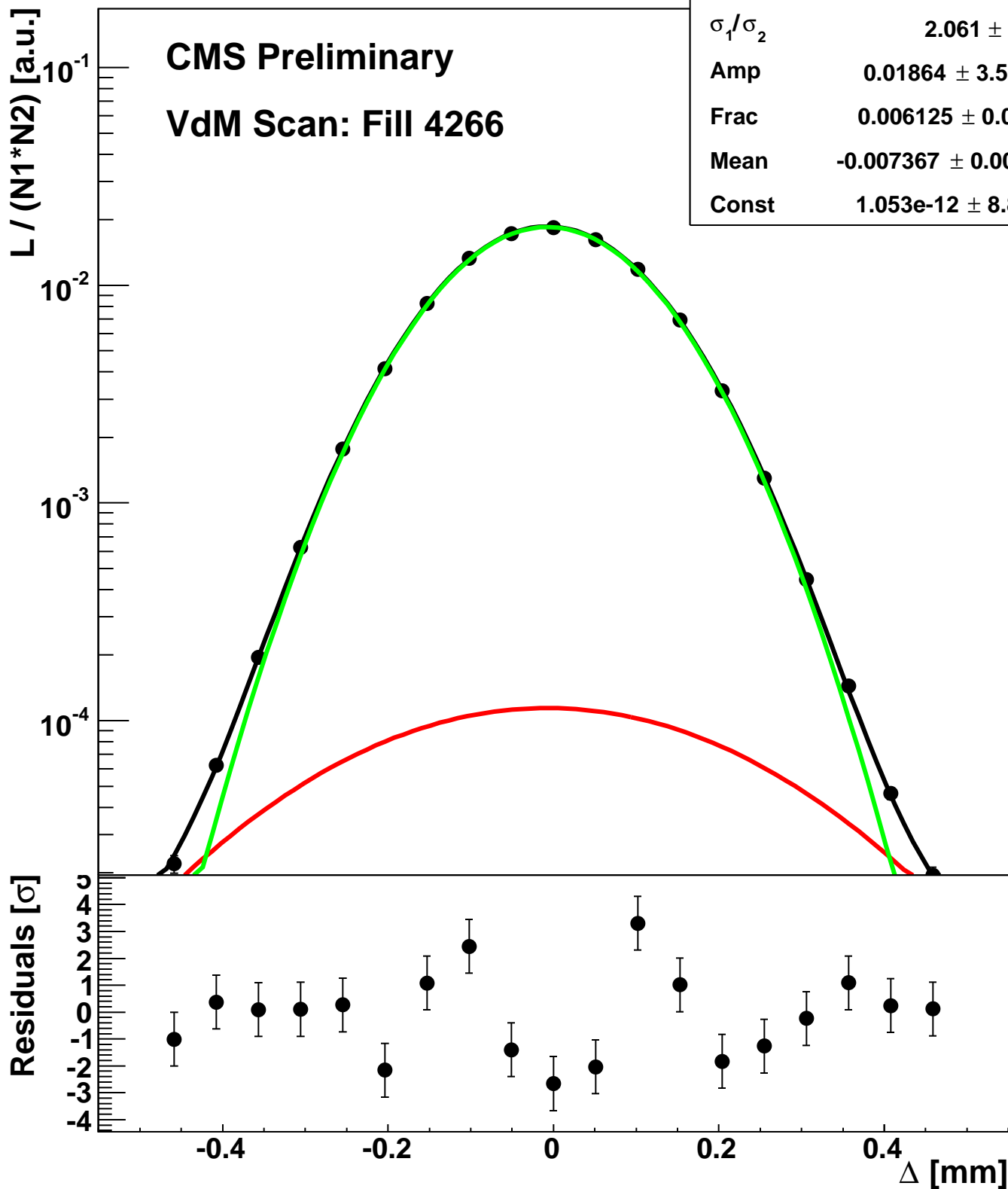
Scan 6: Y-plane BCID 171



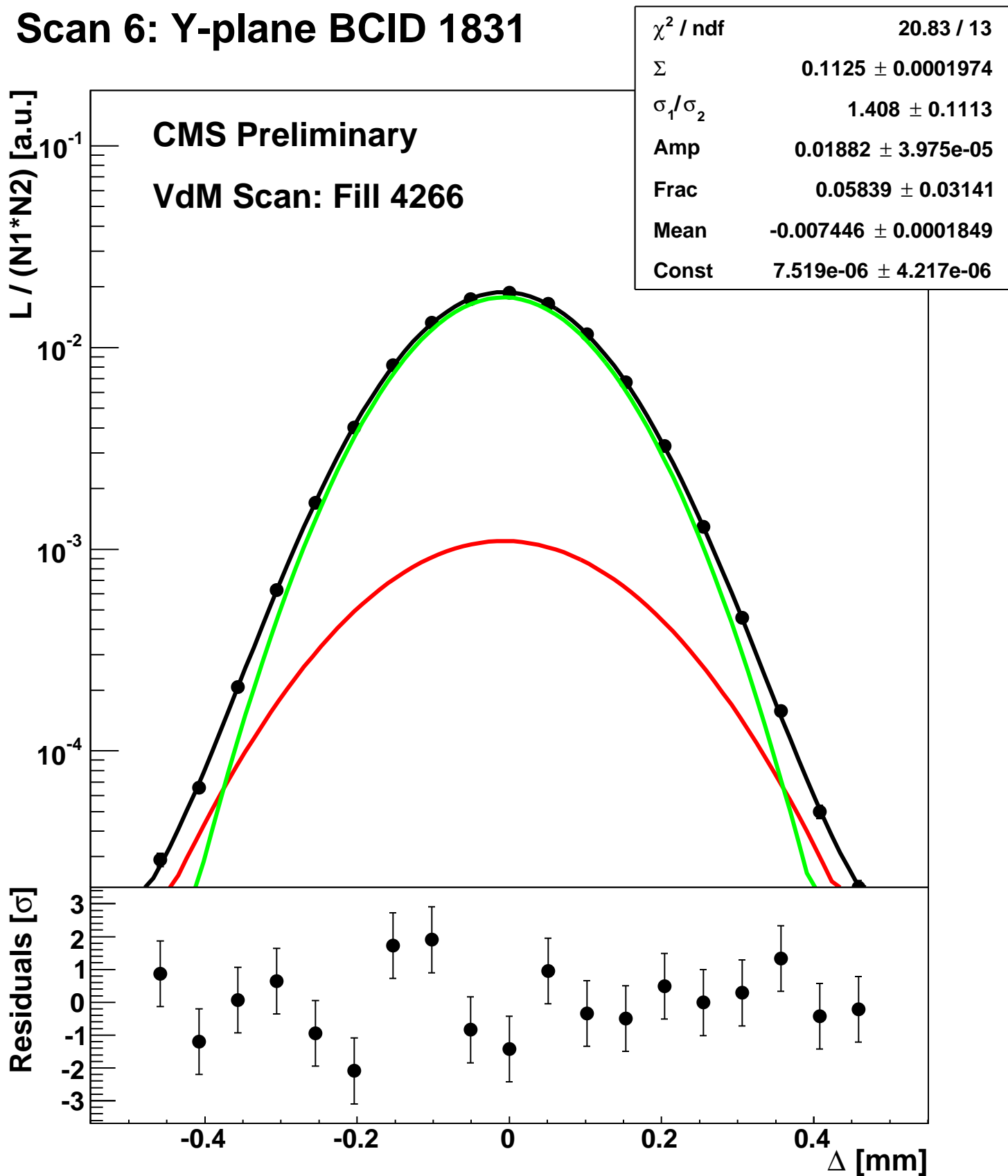
Scan 6: Y-plane BCID 1751



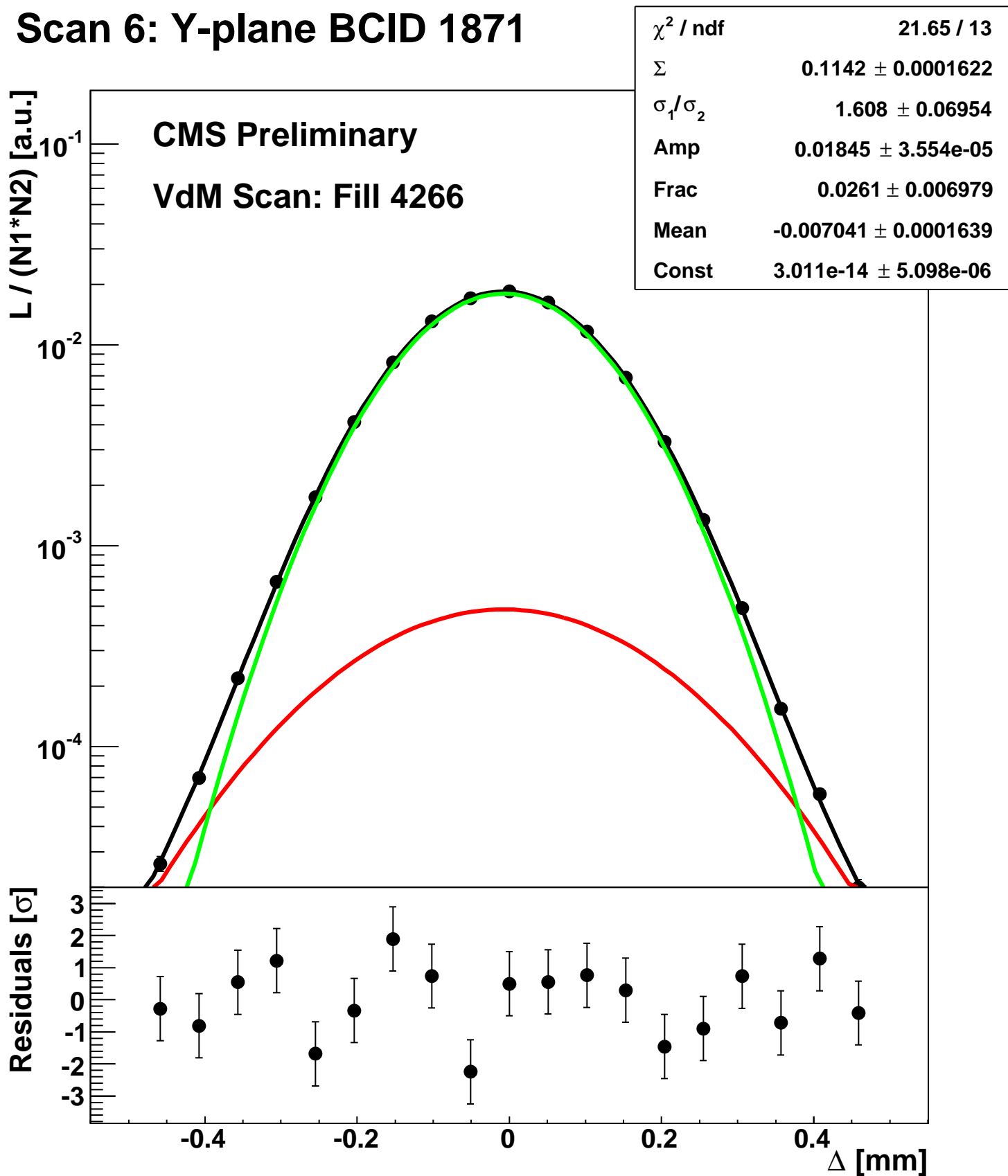
Scan 6: Y-plane BCID 1791



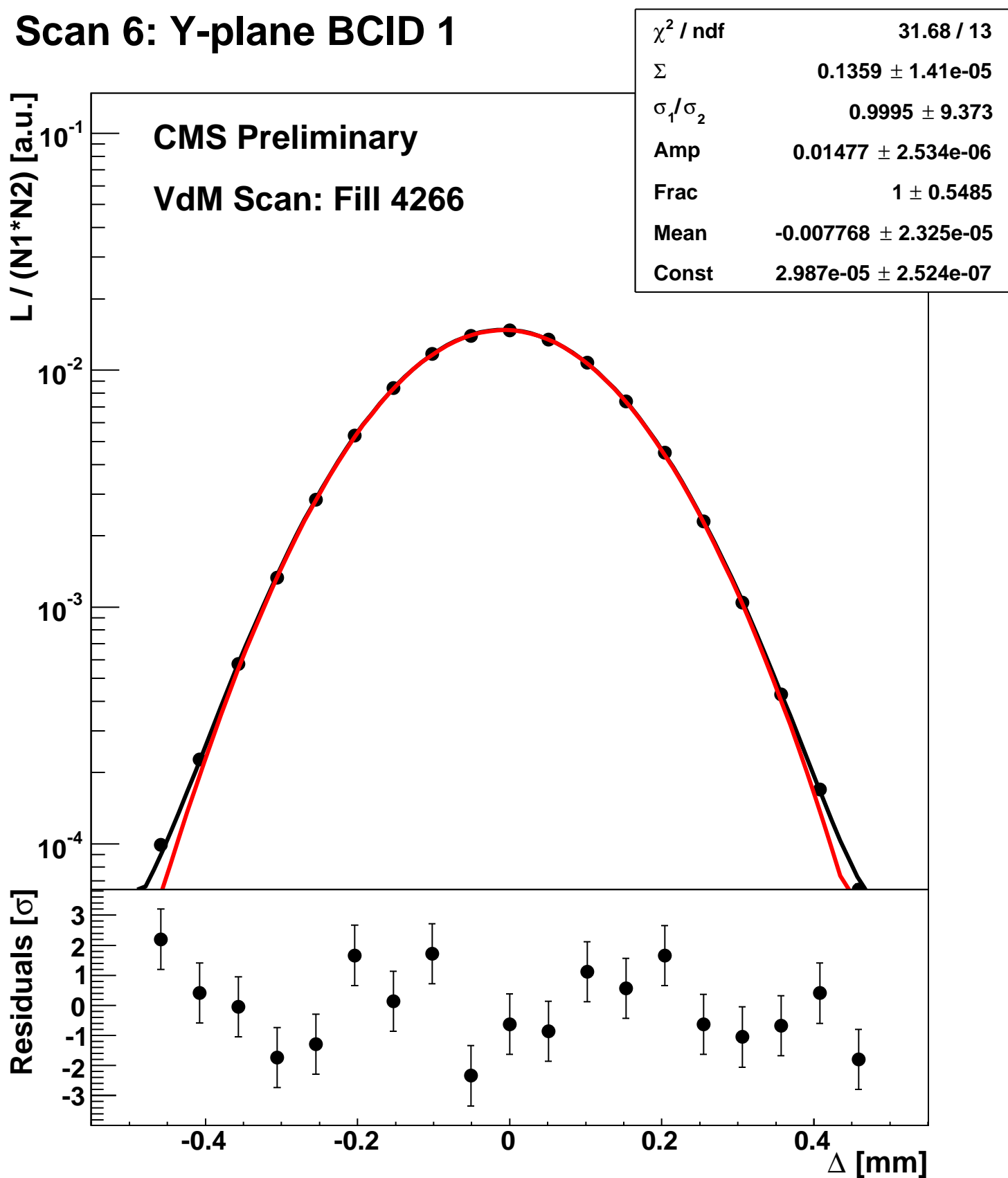
Scan 6: Y-plane BCID 1831



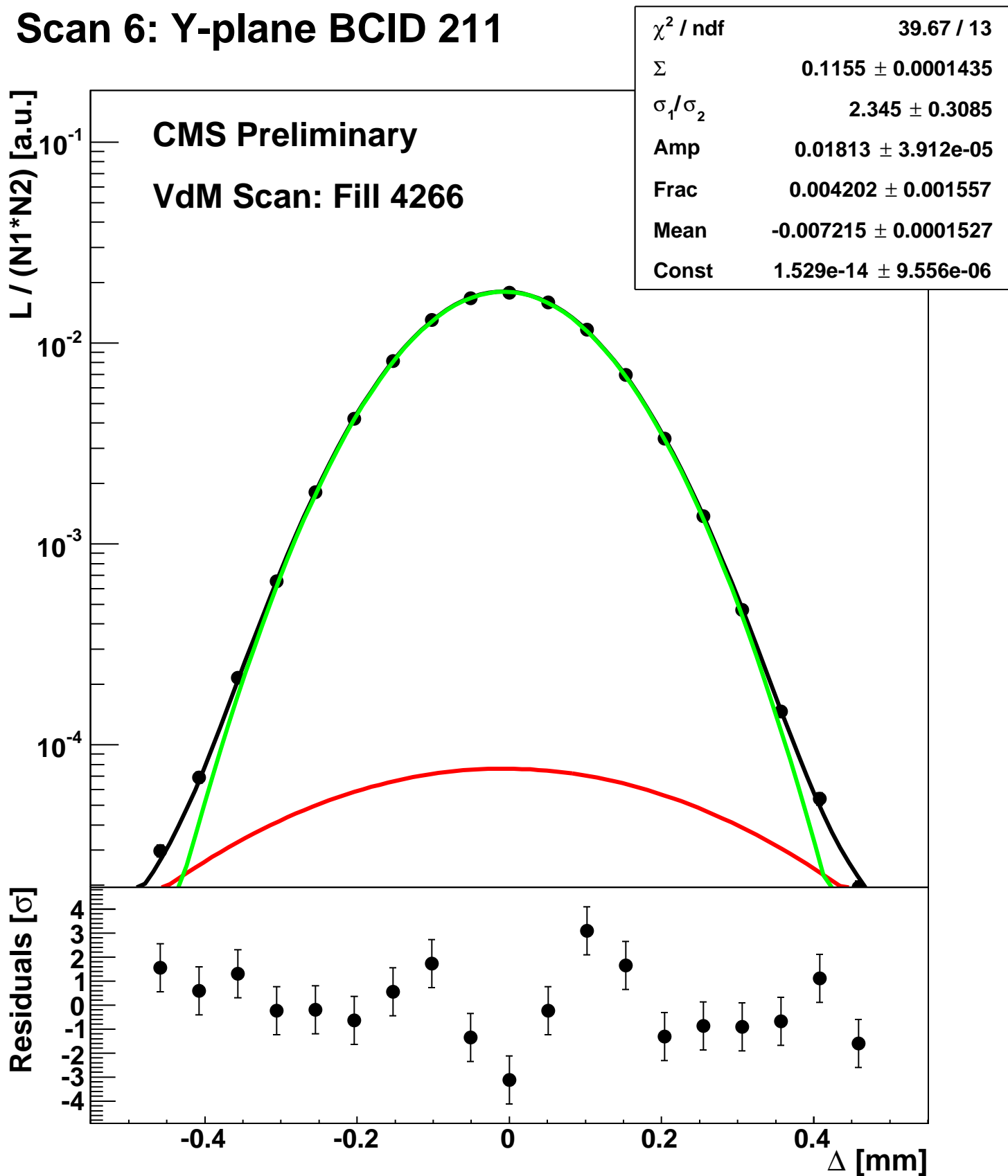
Scan 6: Y-plane BCID 1871



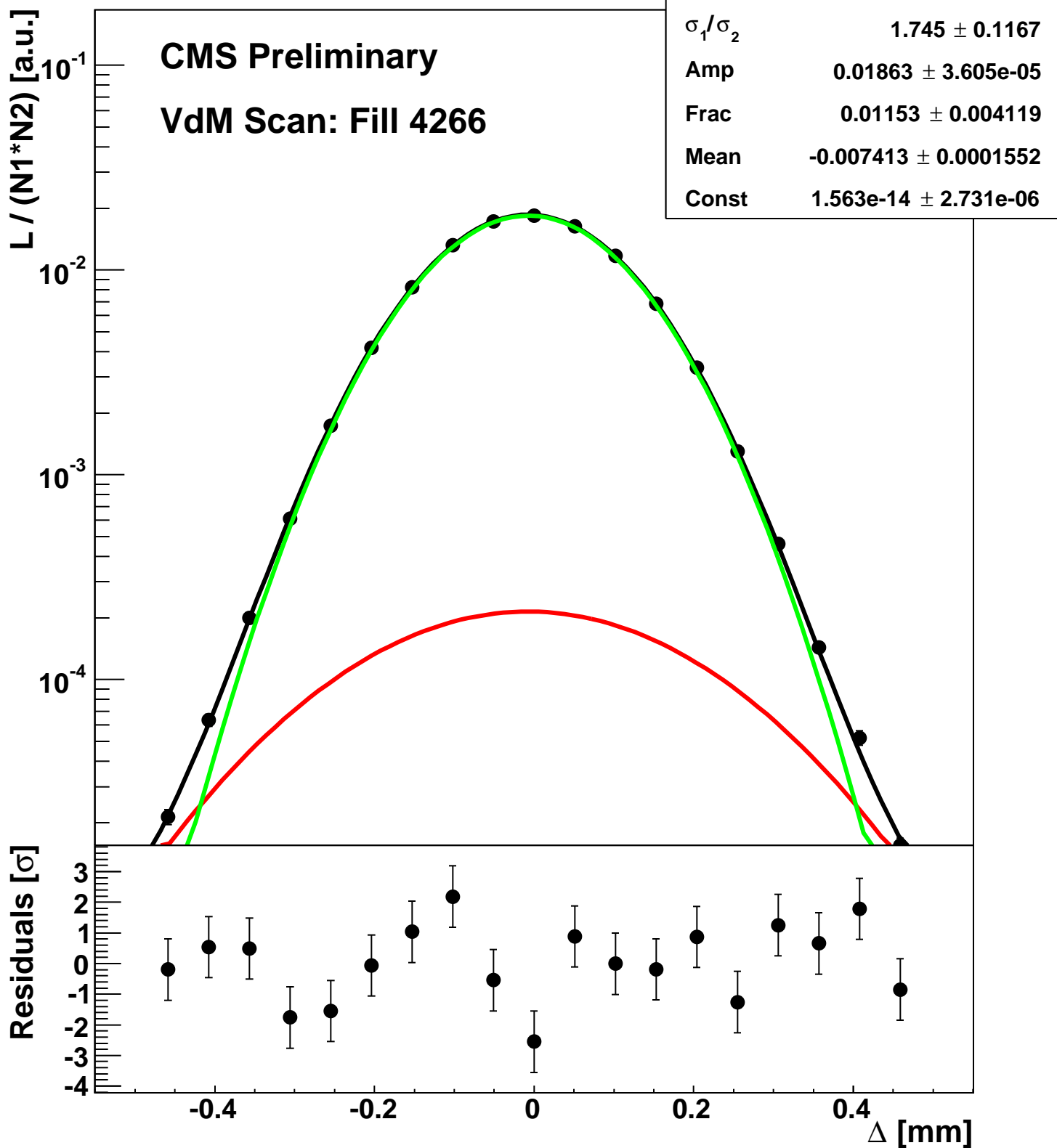
Scan 6: Y-plane BCID 1



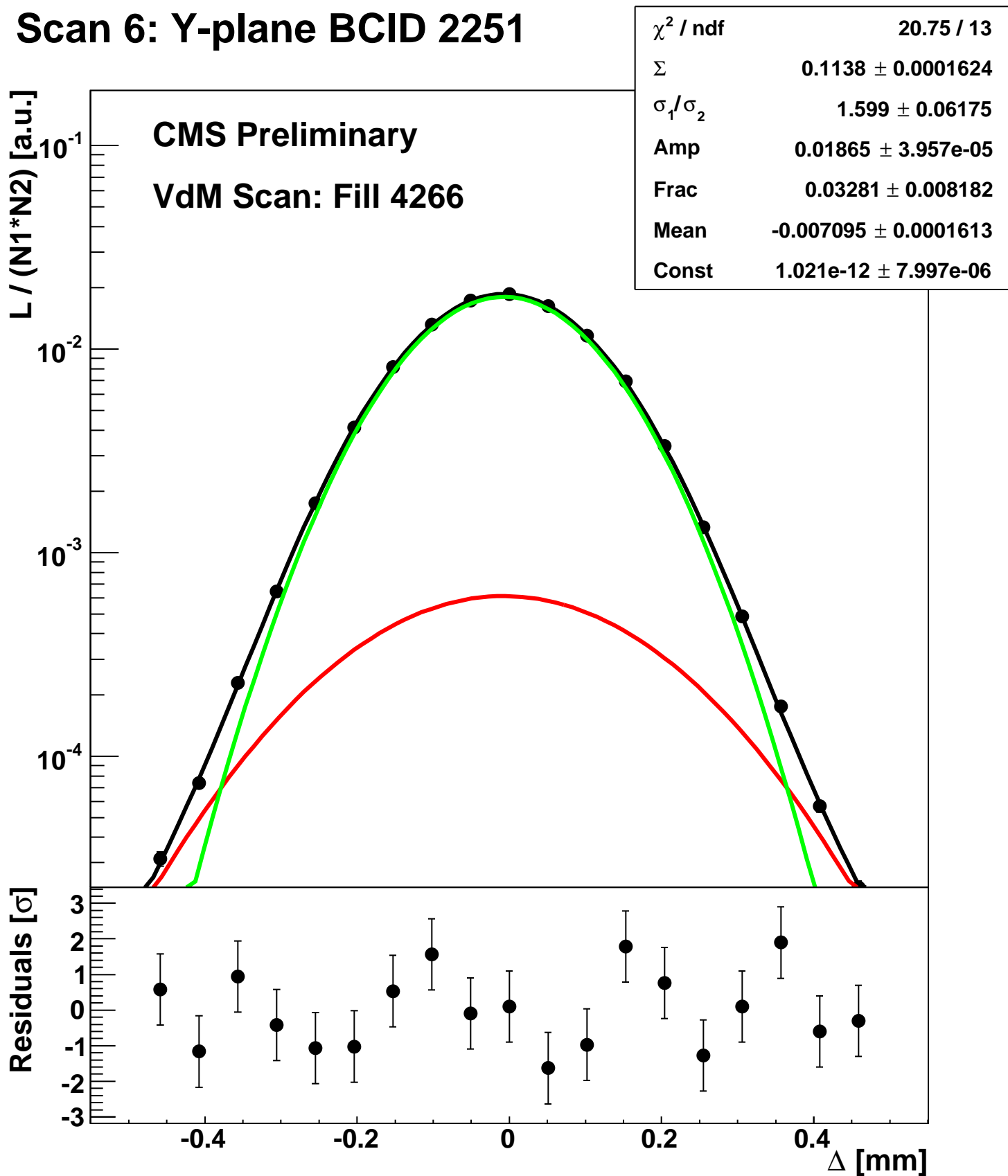
Scan 6: Y-plane BCID 211



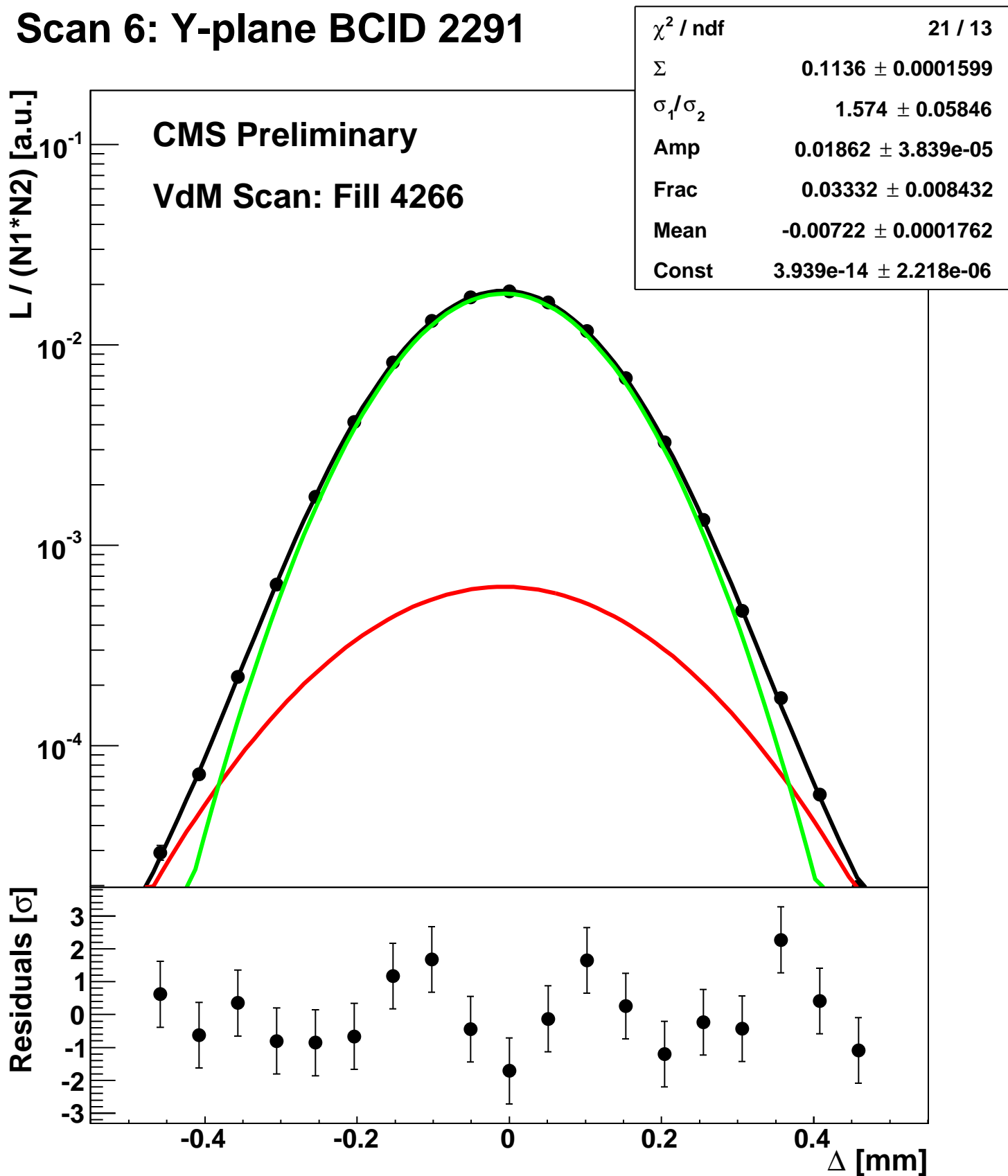
Scan 6: Y-plane BCID 2211



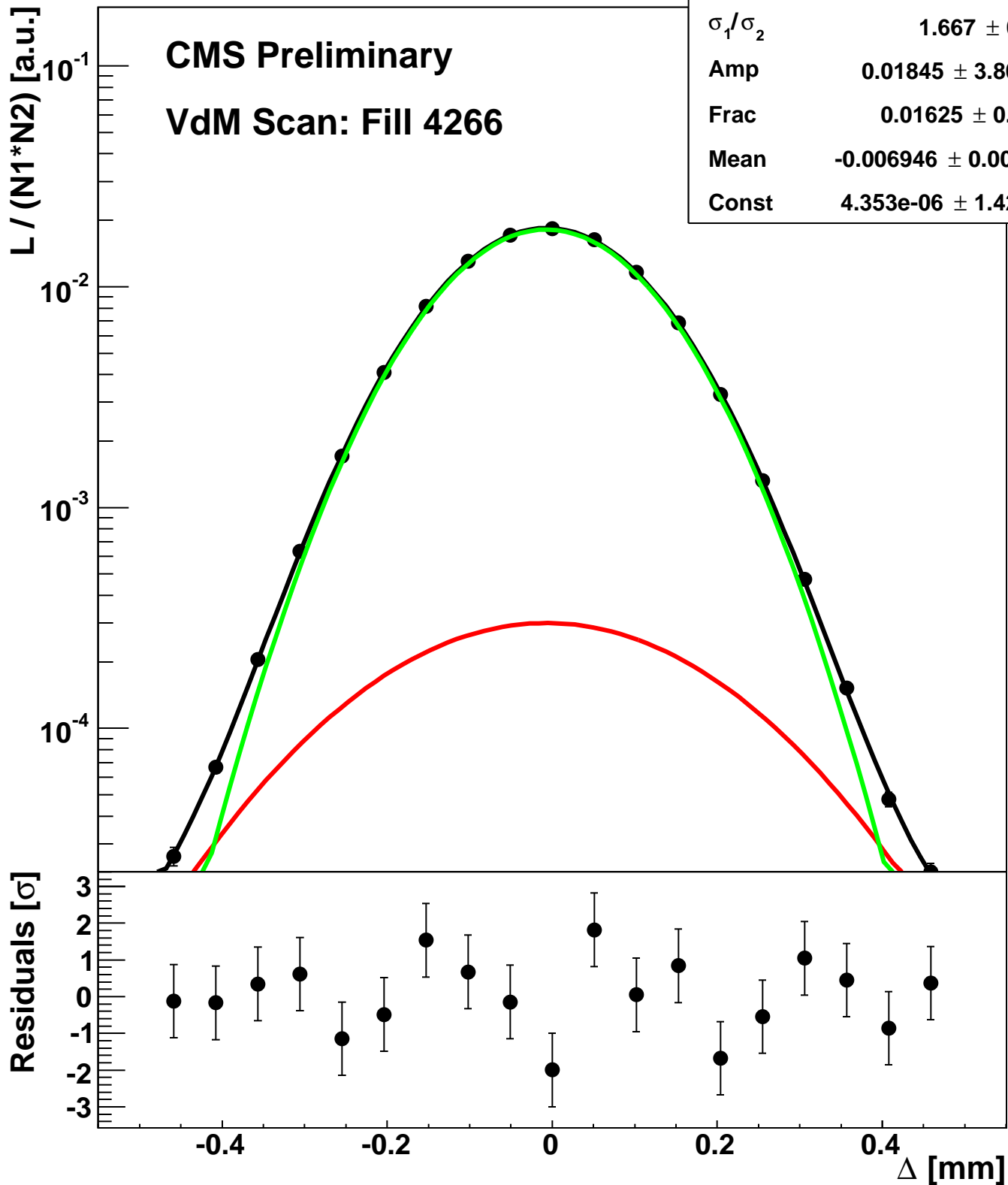
Scan 6: Y-plane BCID 2251



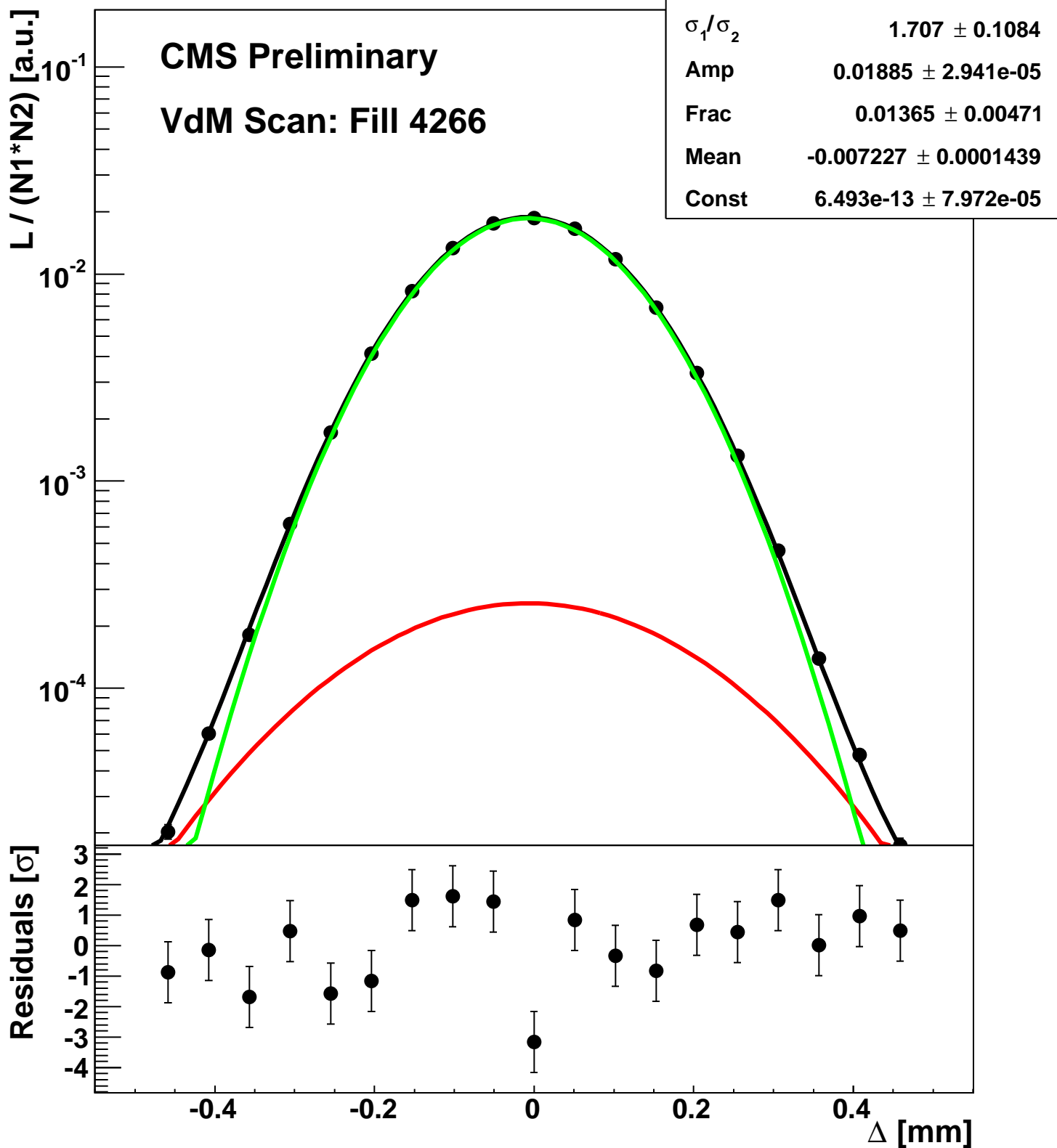
Scan 6: Y-plane BCID 2291



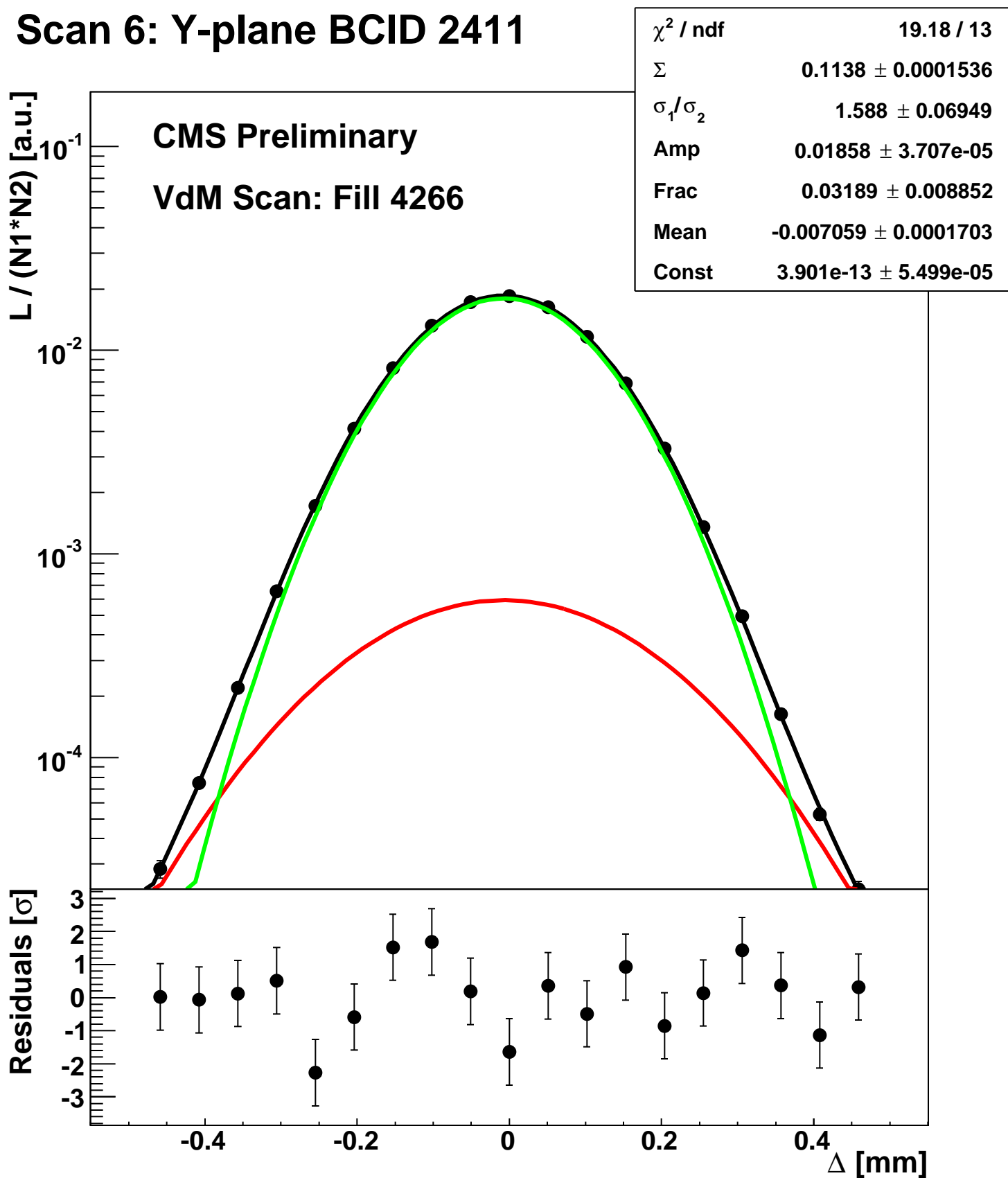
Scan 6: Y-plane BCID 2331



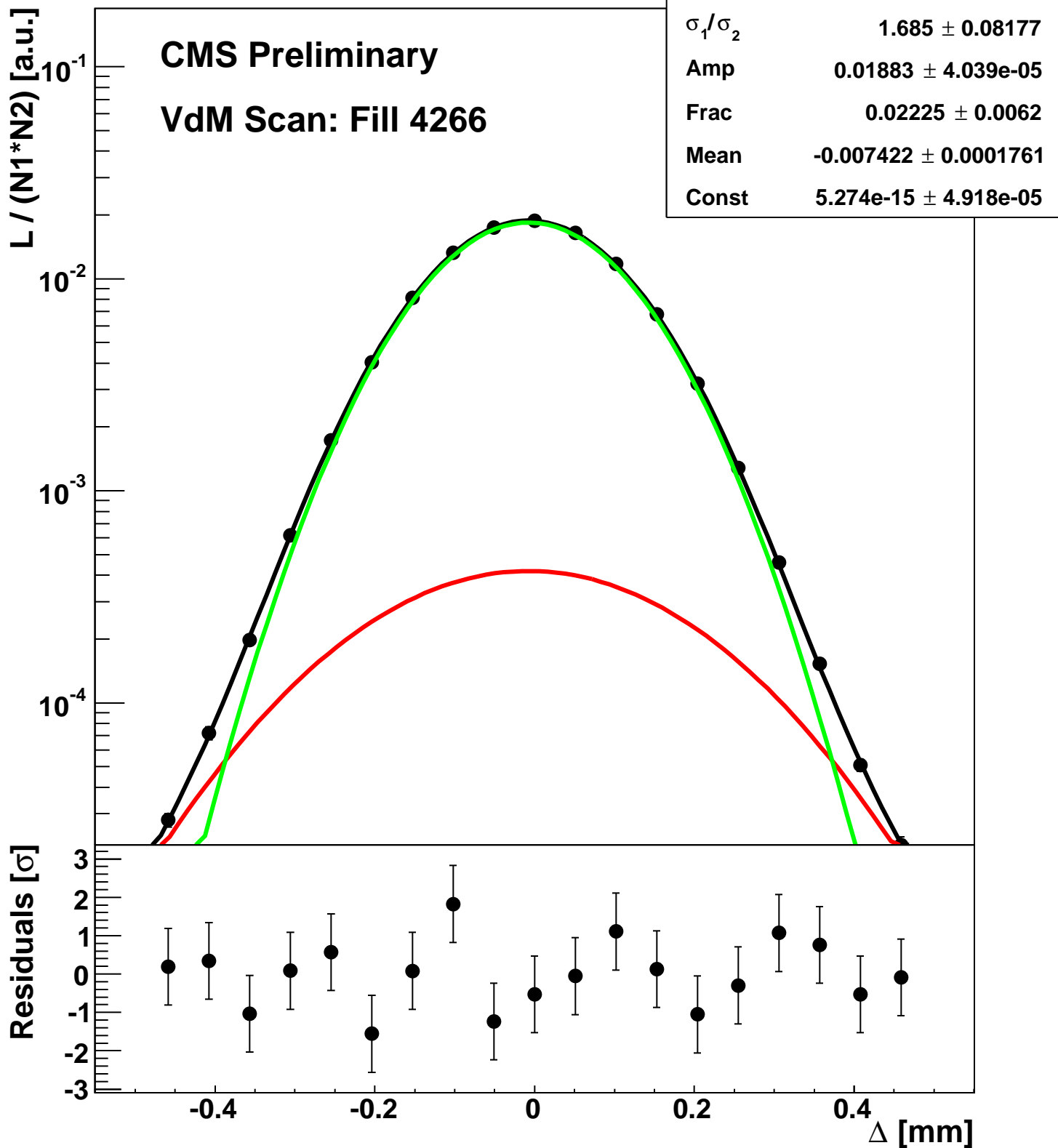
Scan 6: Y-plane BCID 2371



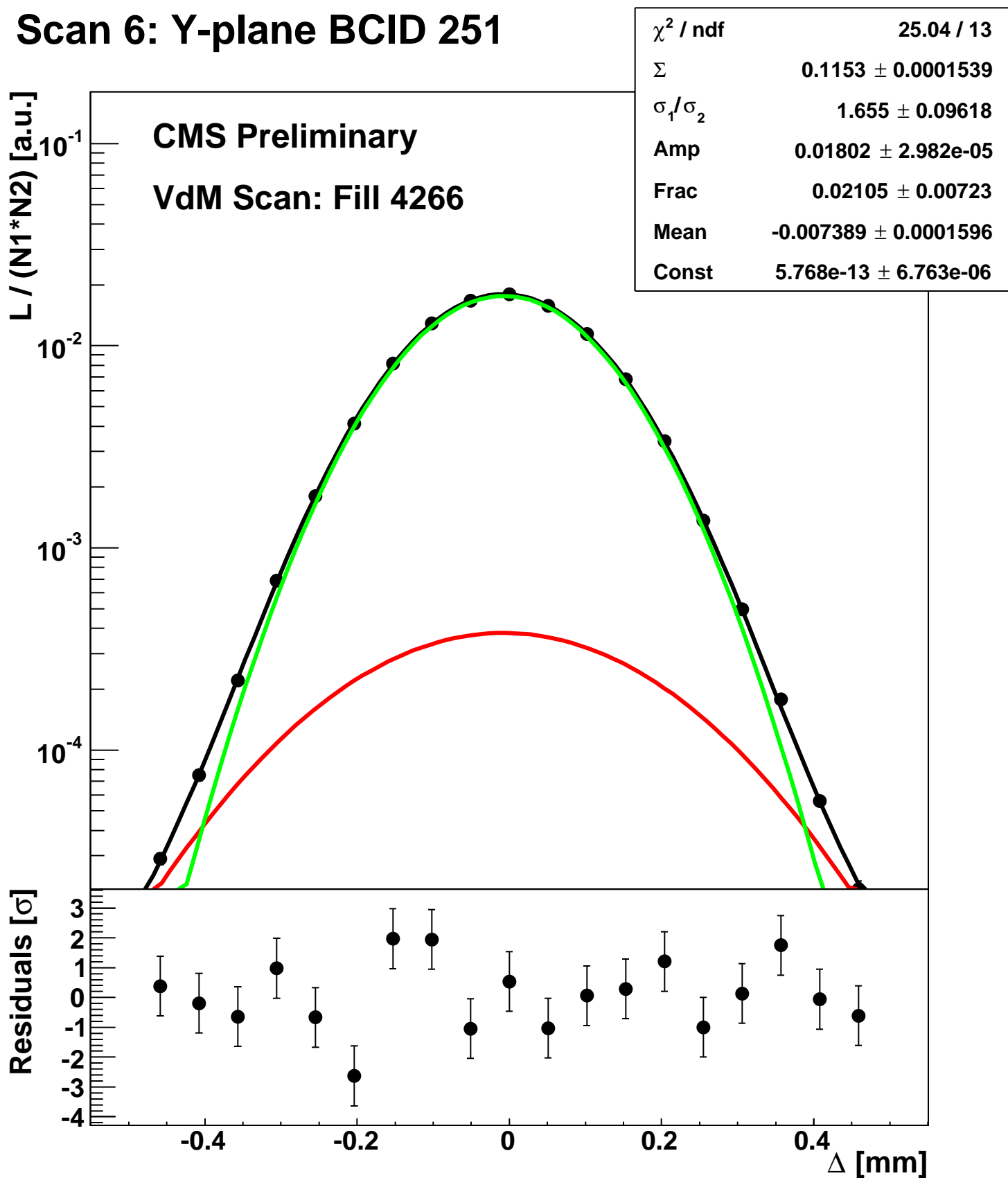
Scan 6: Y-plane BCID 2411



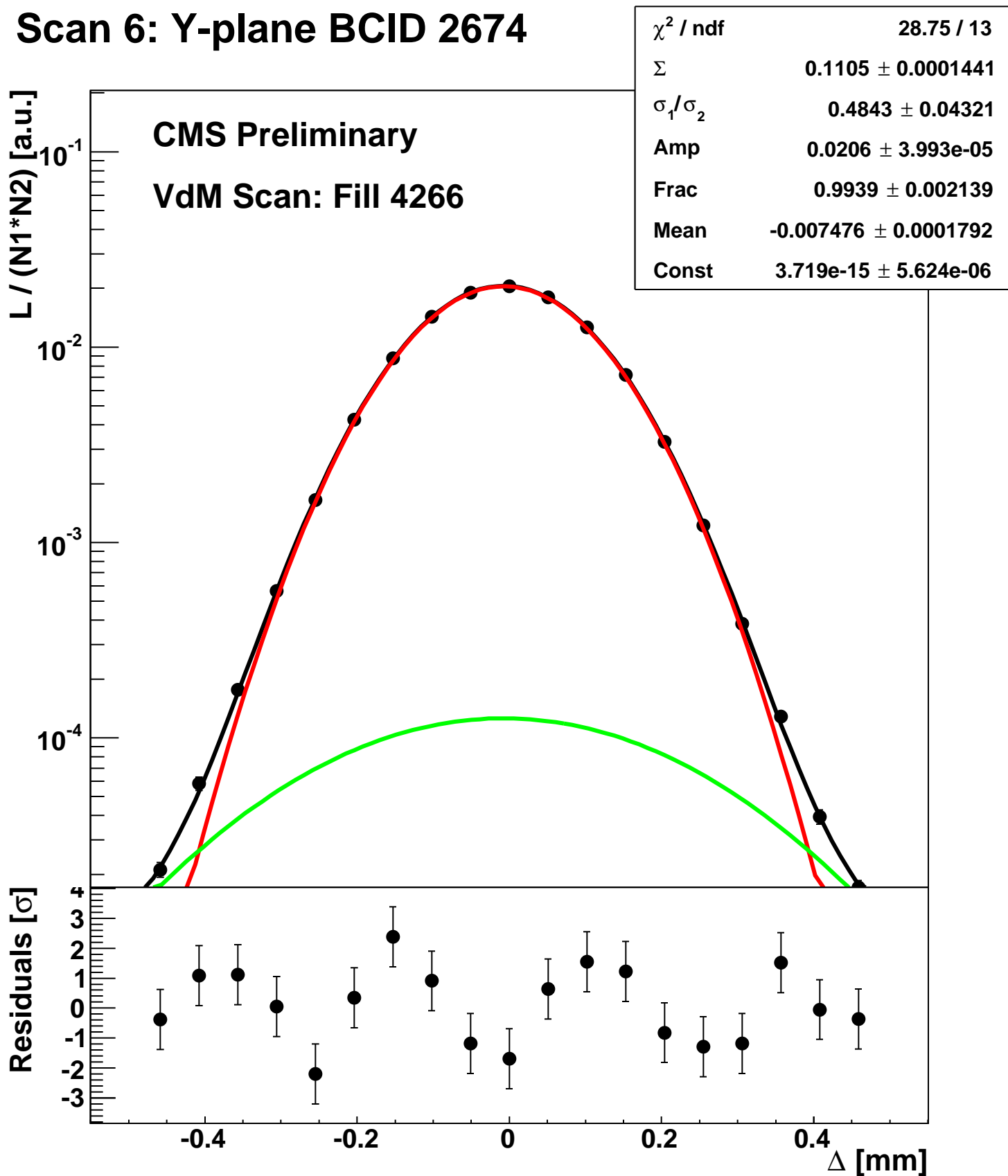
Scan 6: Y-plane BCID 2451



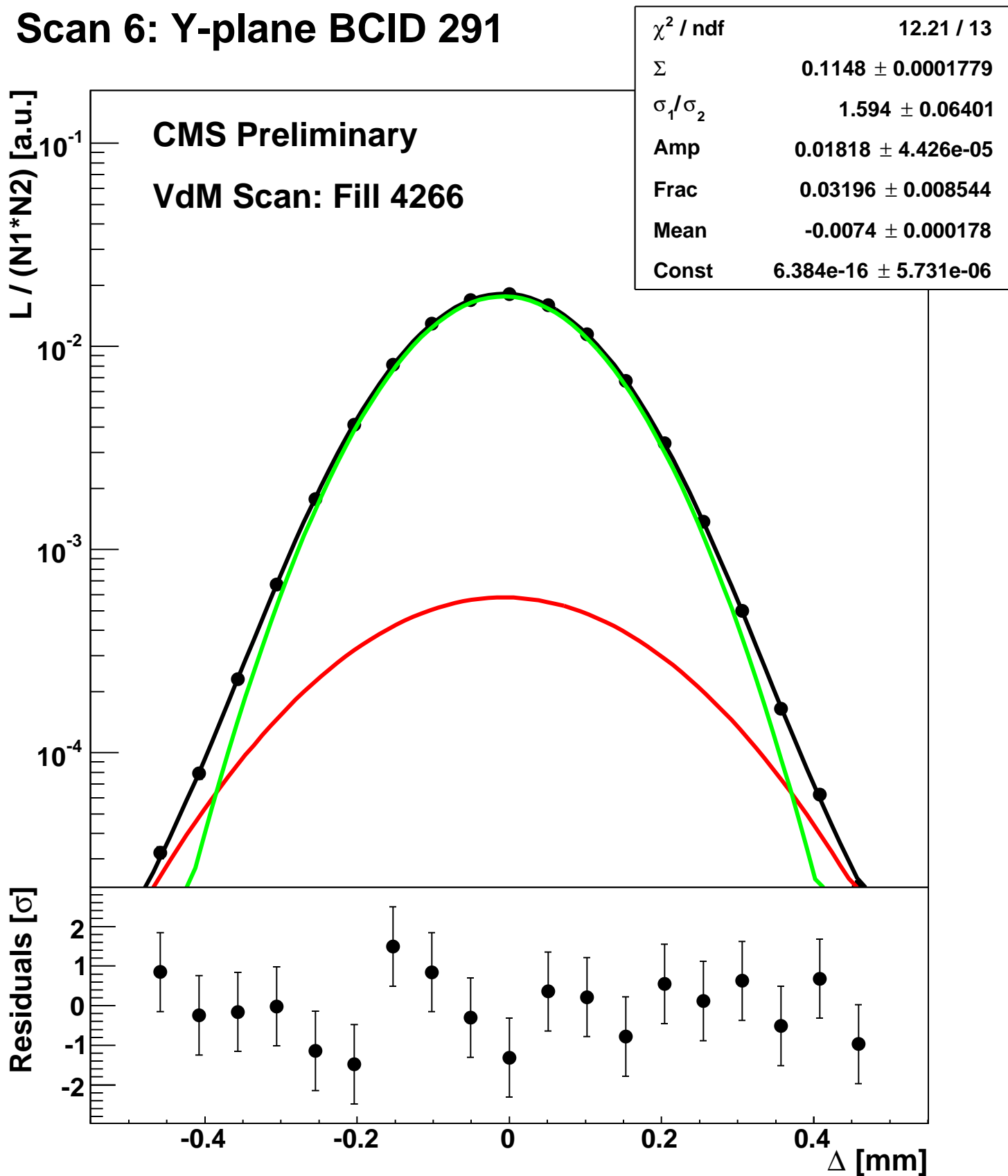
Scan 6: Y-plane BCID 251



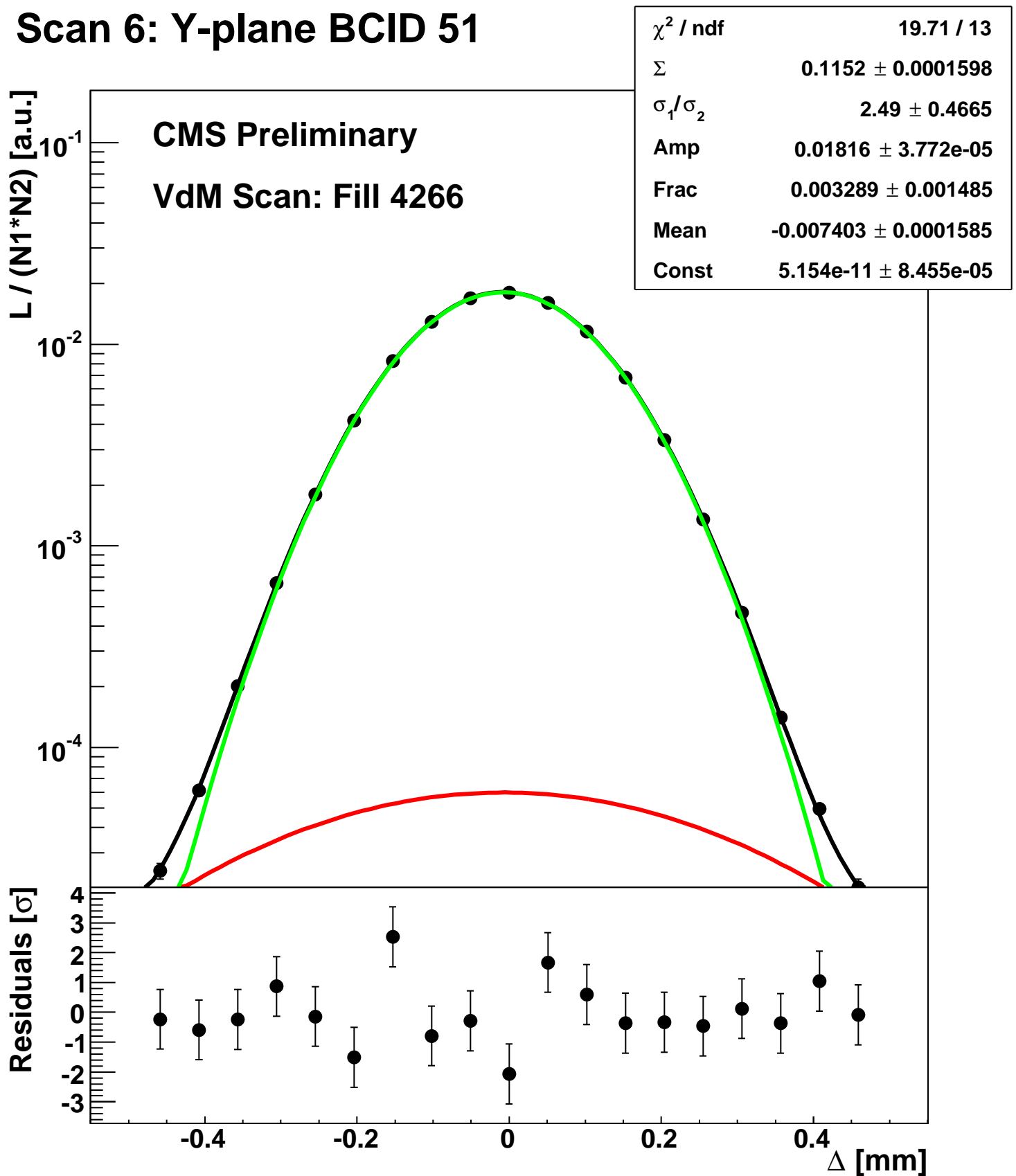
Scan 6: Y-plane BCID 2674



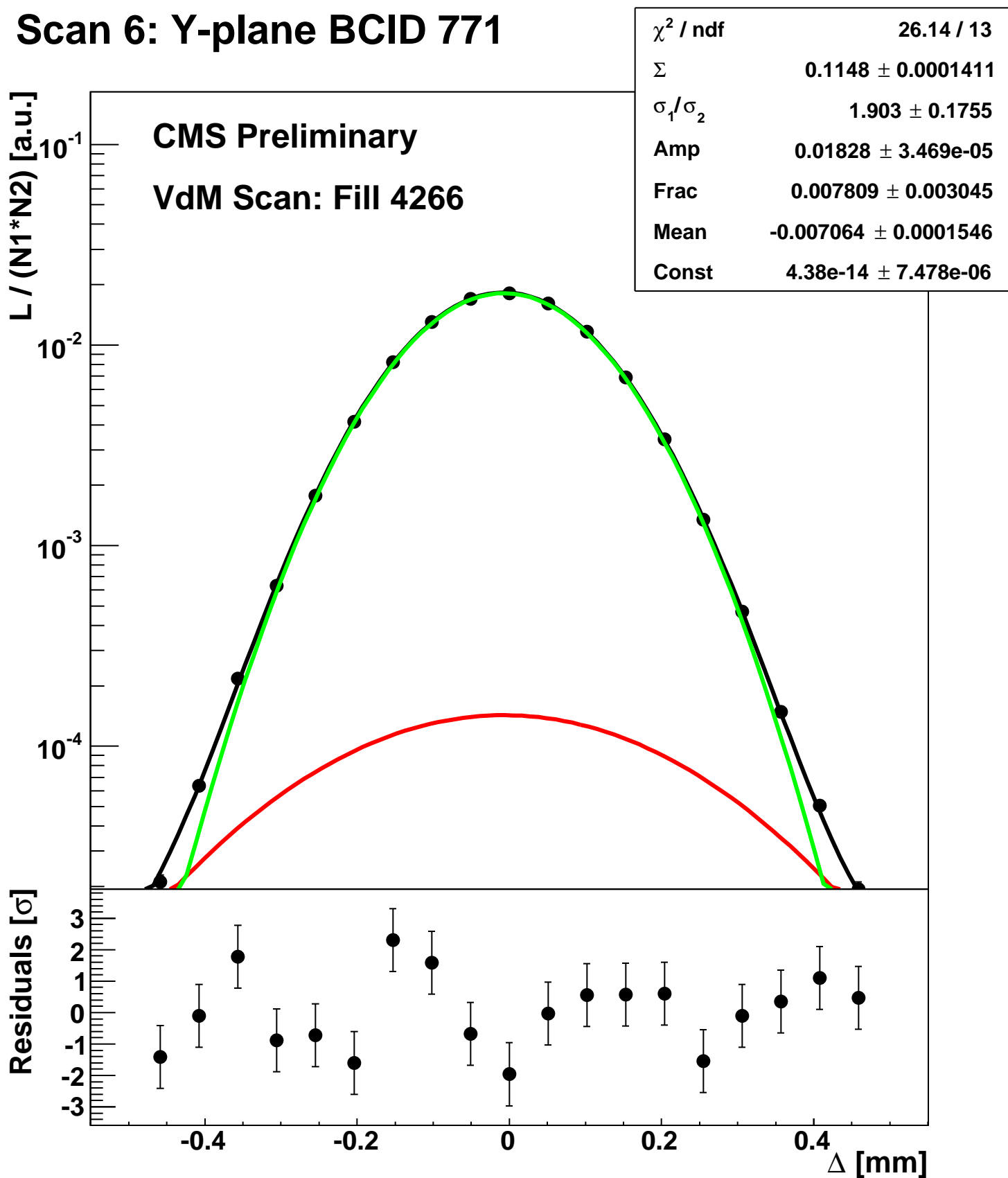
Scan 6: Y-plane BCID 291



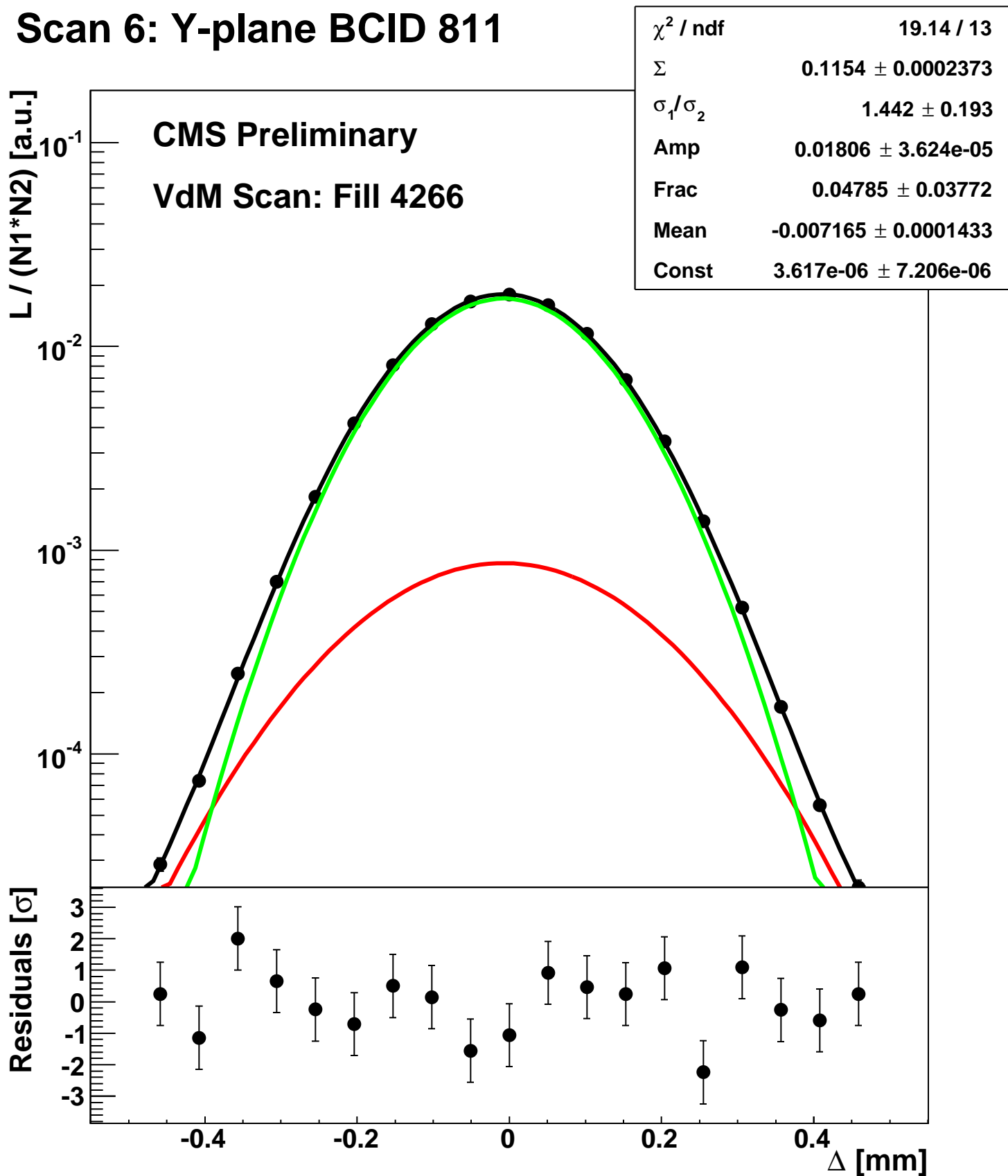
Scan 6: Y-plane BCID 51



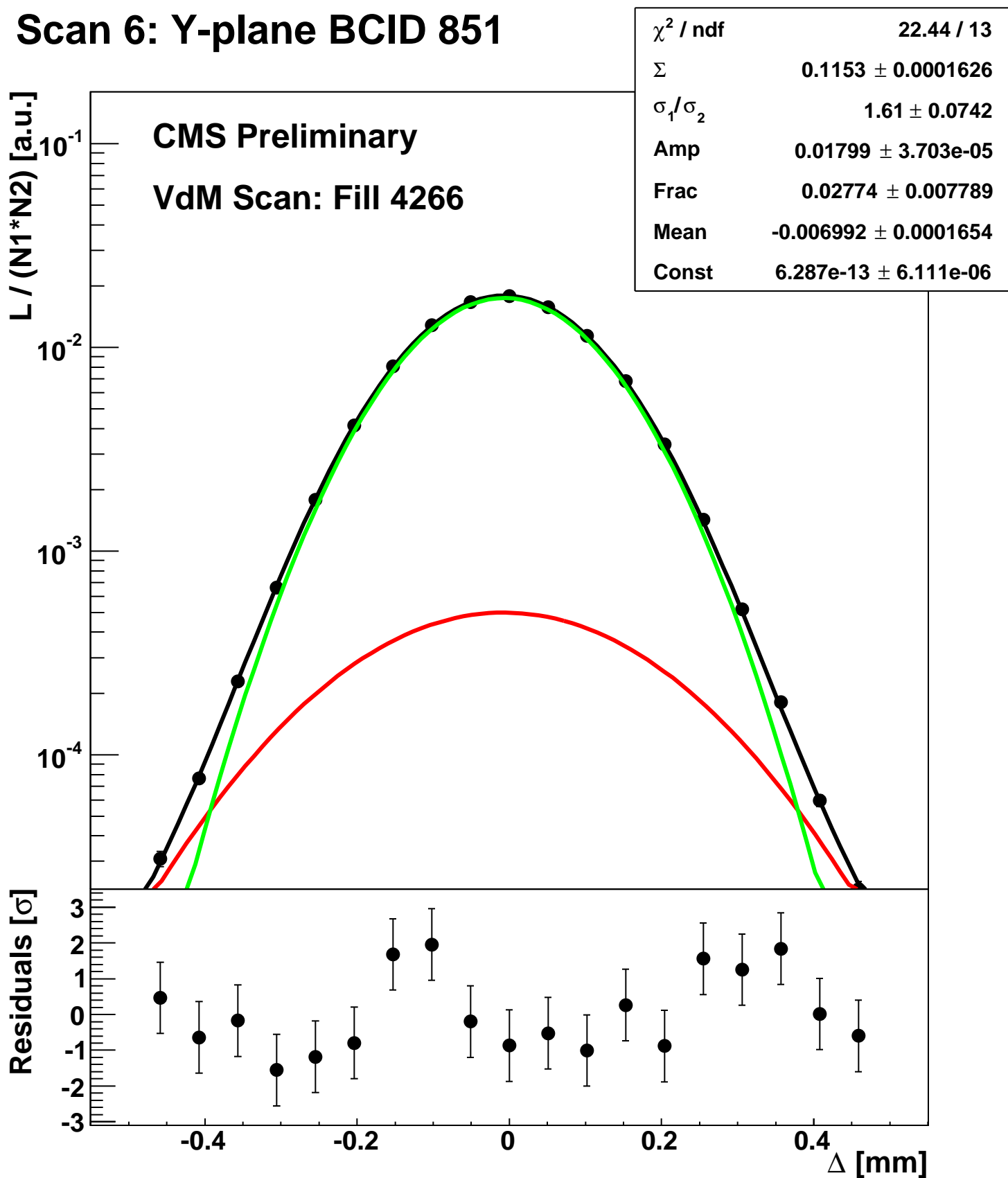
Scan 6: Y-plane BCID 771



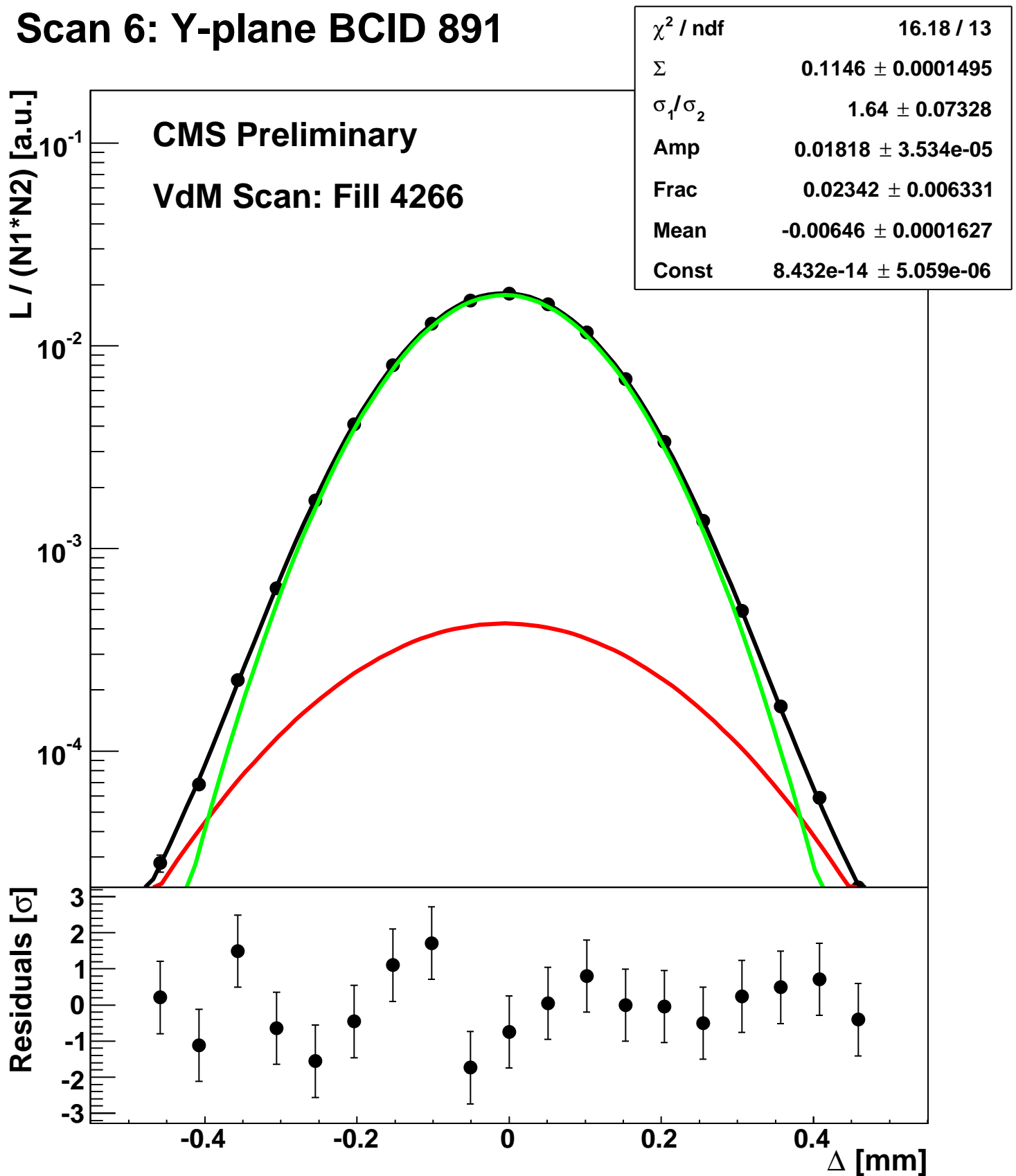
Scan 6: Y-plane BCID 811



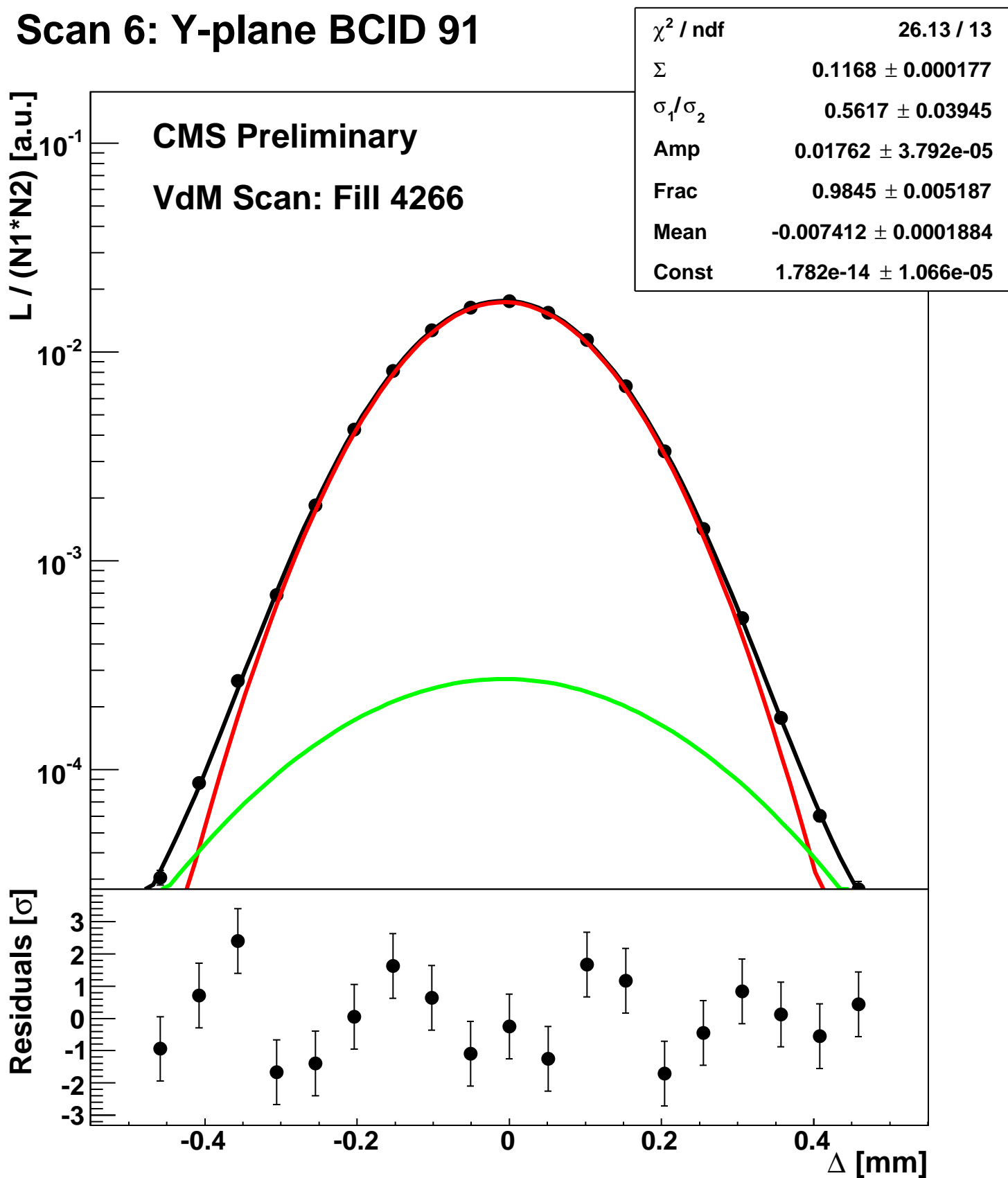
Scan 6: Y-plane BCID 851



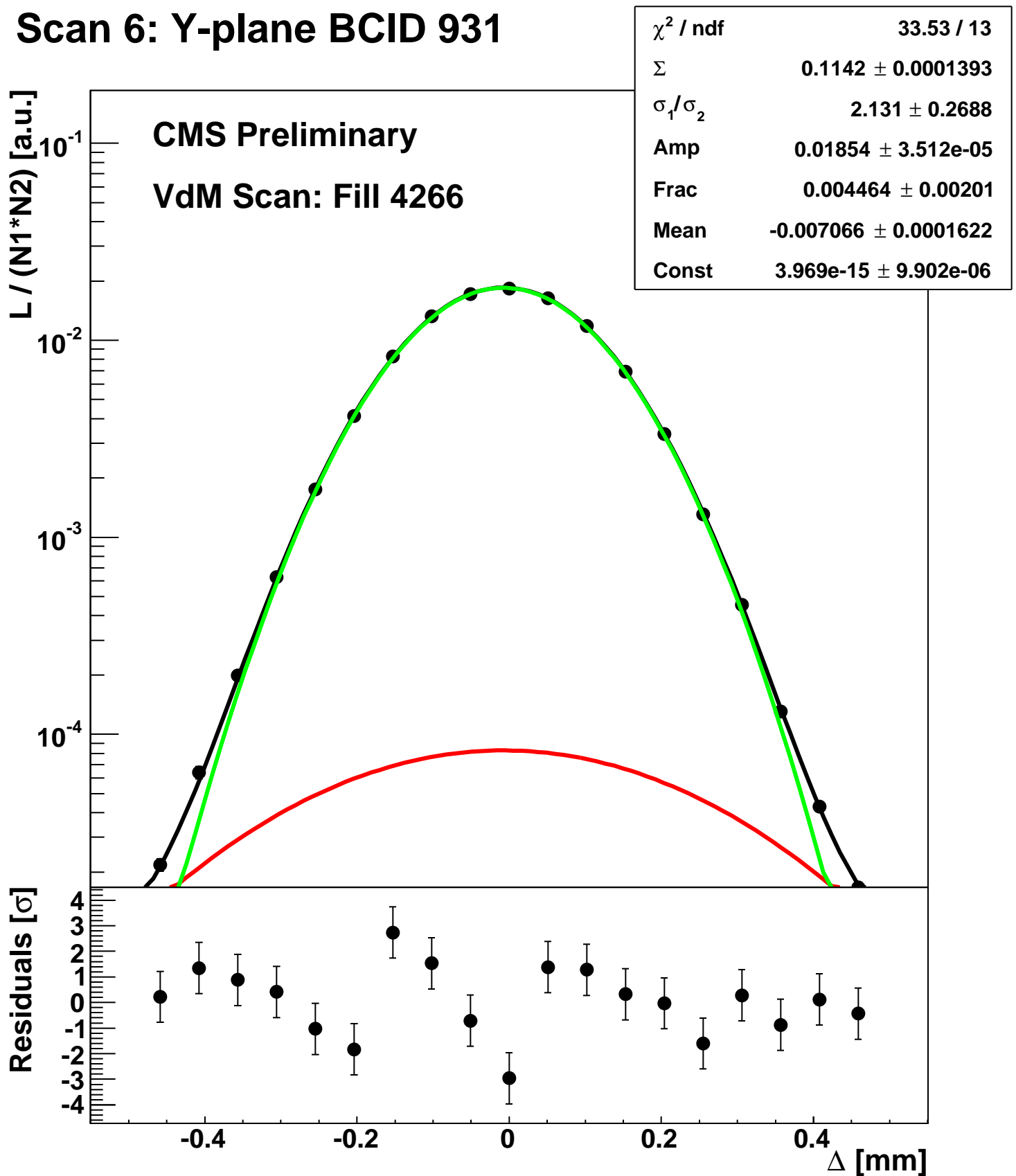
Scan 6: Y-plane BCID 891



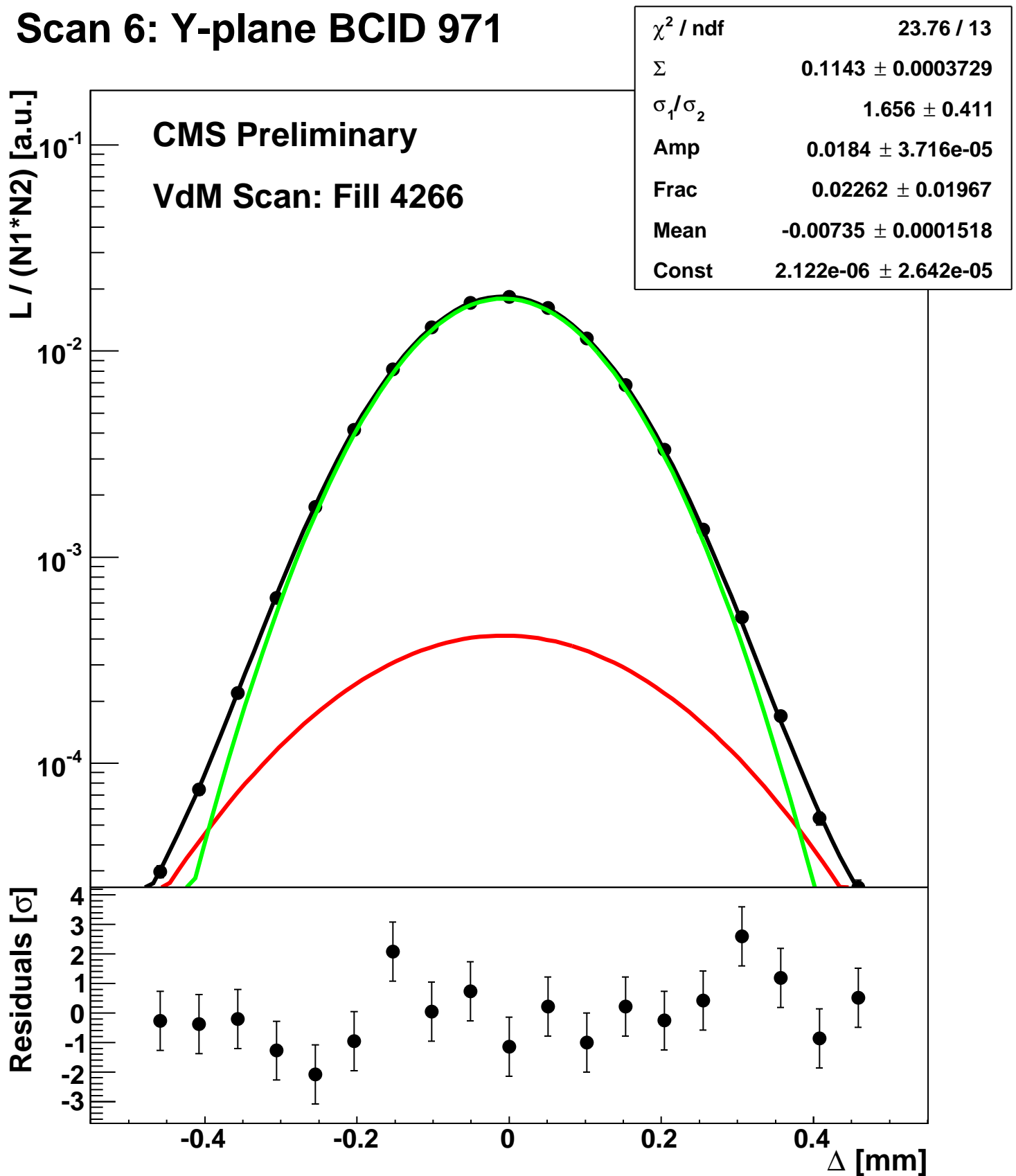
Scan 6: Y-plane BCID 91



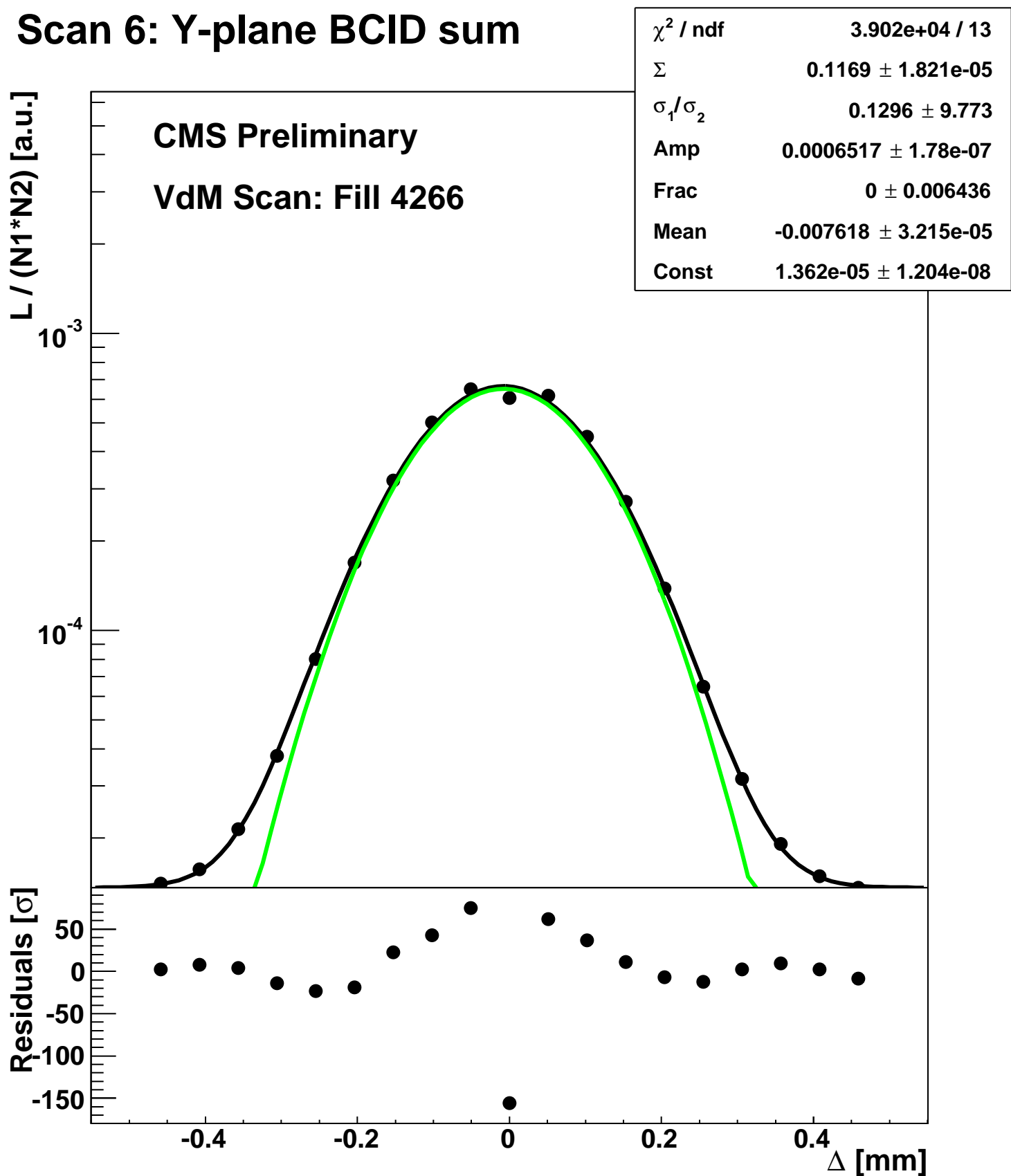
Scan 6: Y-plane BCID 931



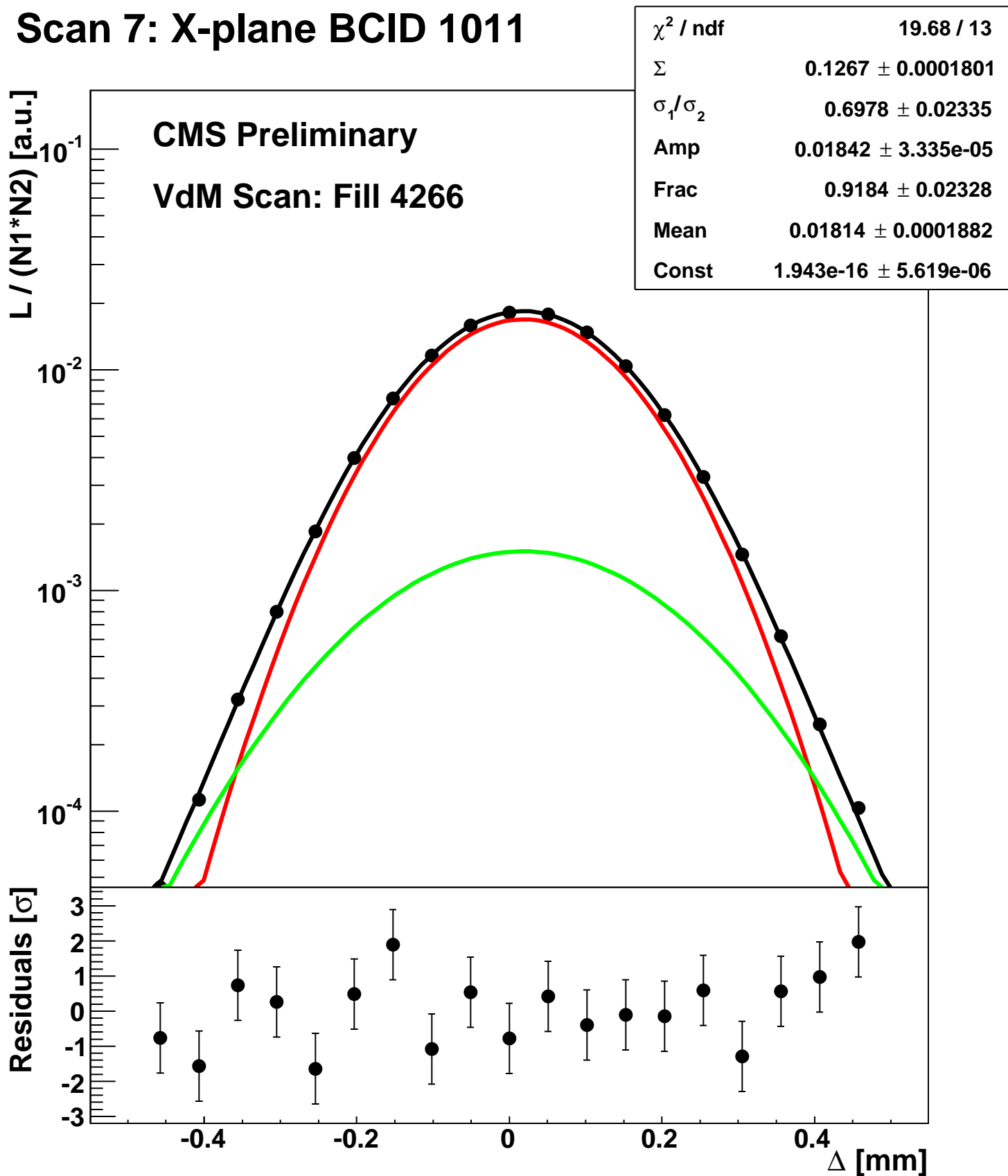
Scan 6: Y-plane BCID 971



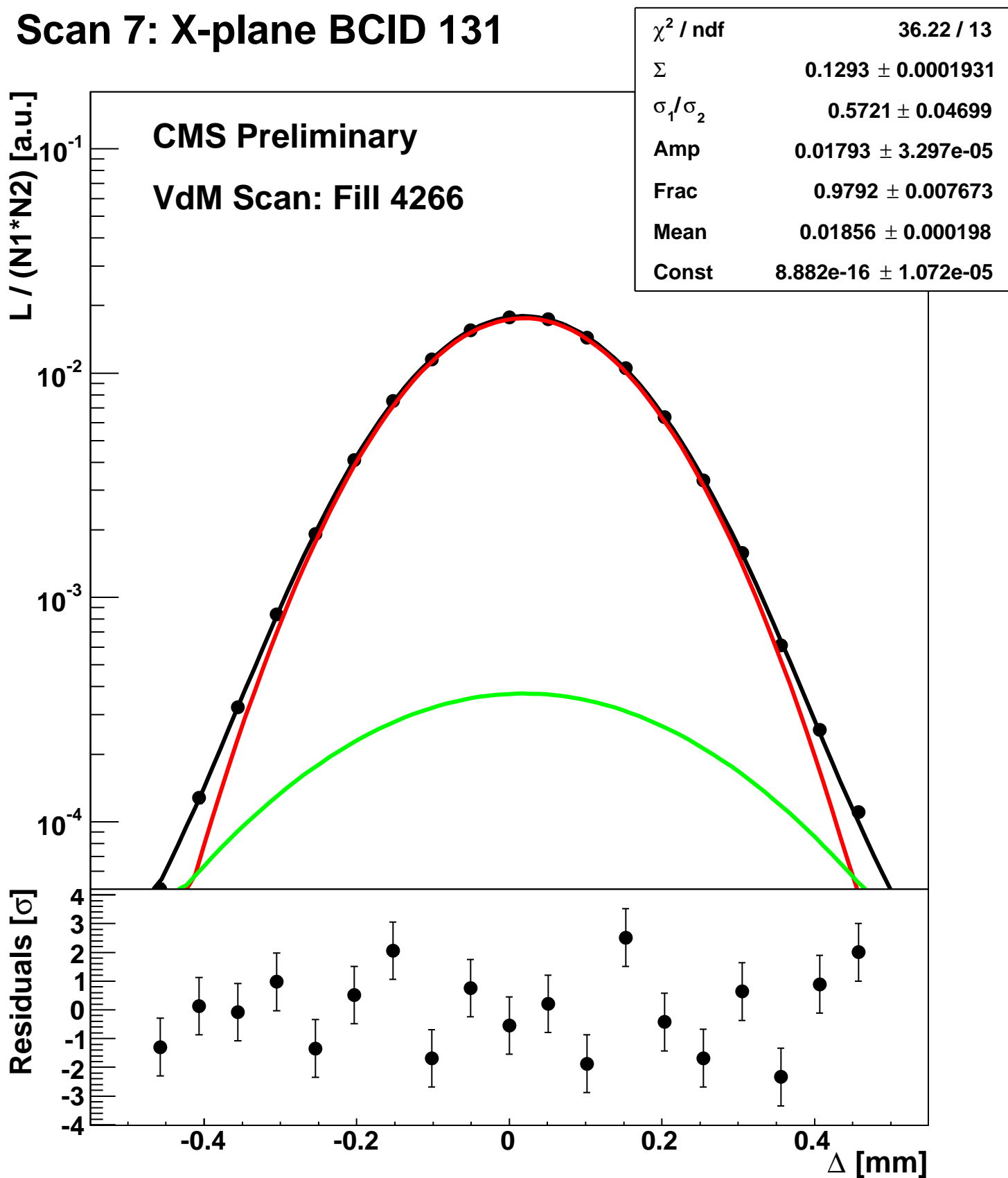
Scan 6: Y-plane BCID sum



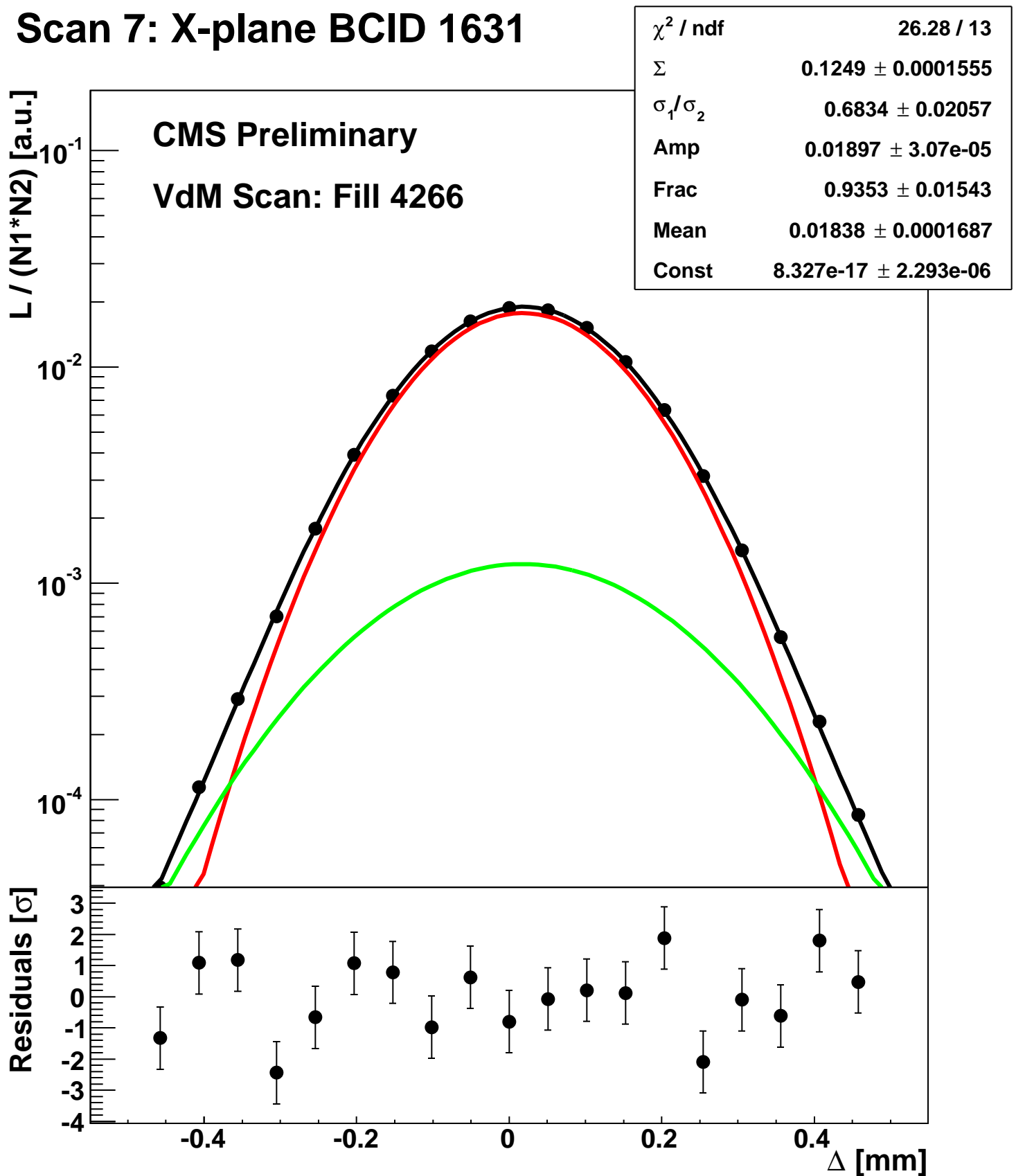
Scan 7: X-plane BCID 1011



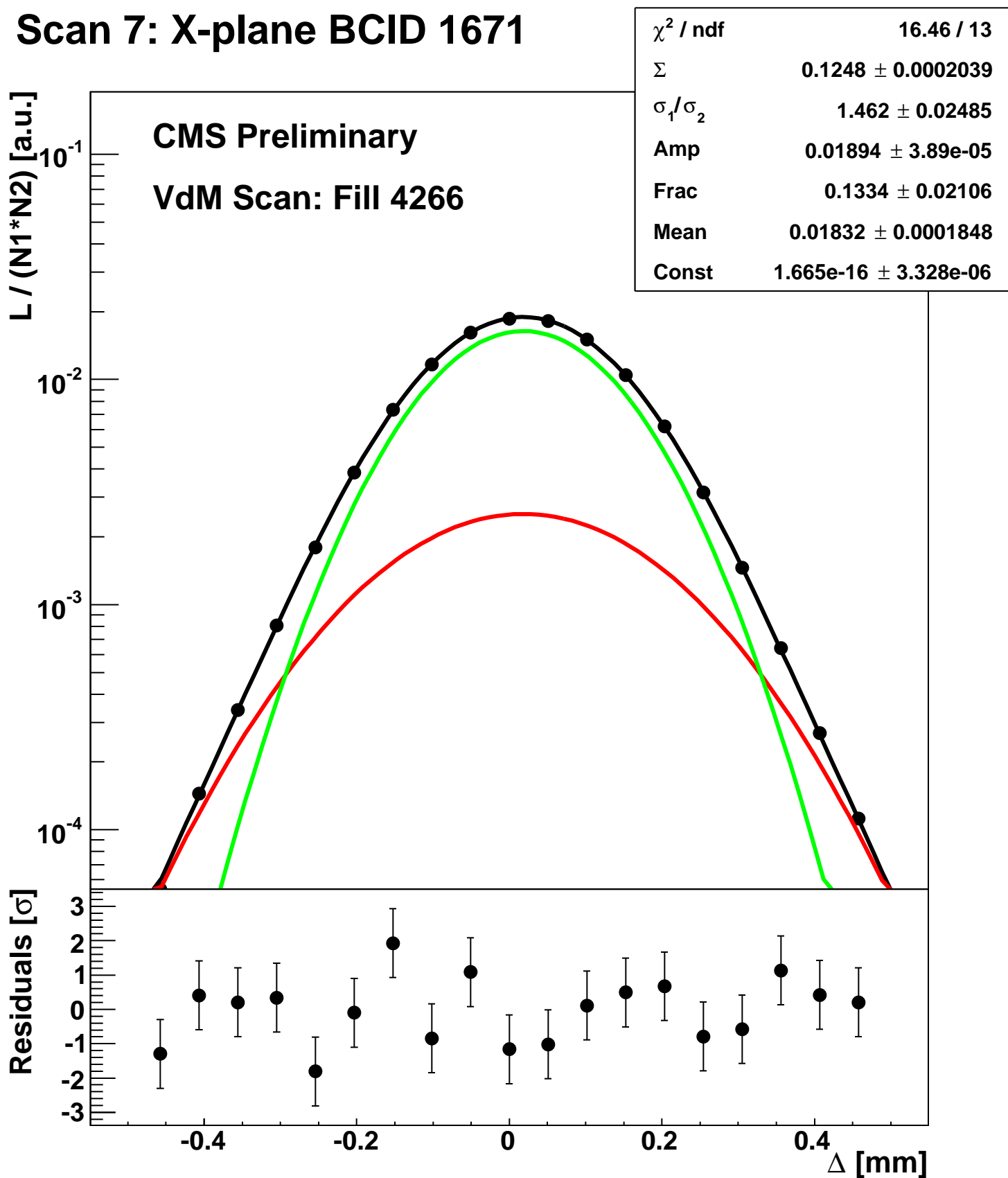
Scan 7: X-plane BCID 131



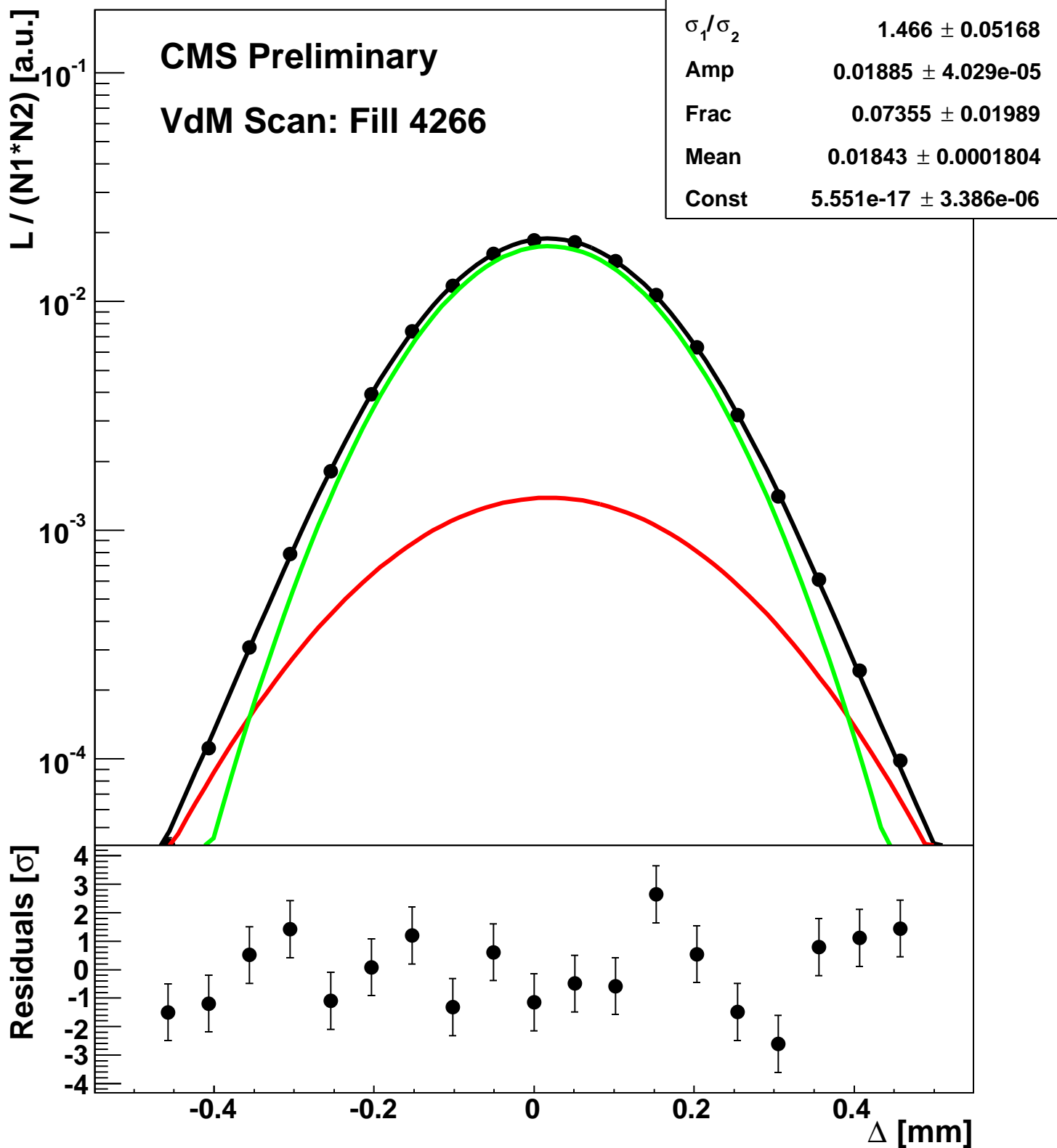
Scan 7: X-plane BCID 1631



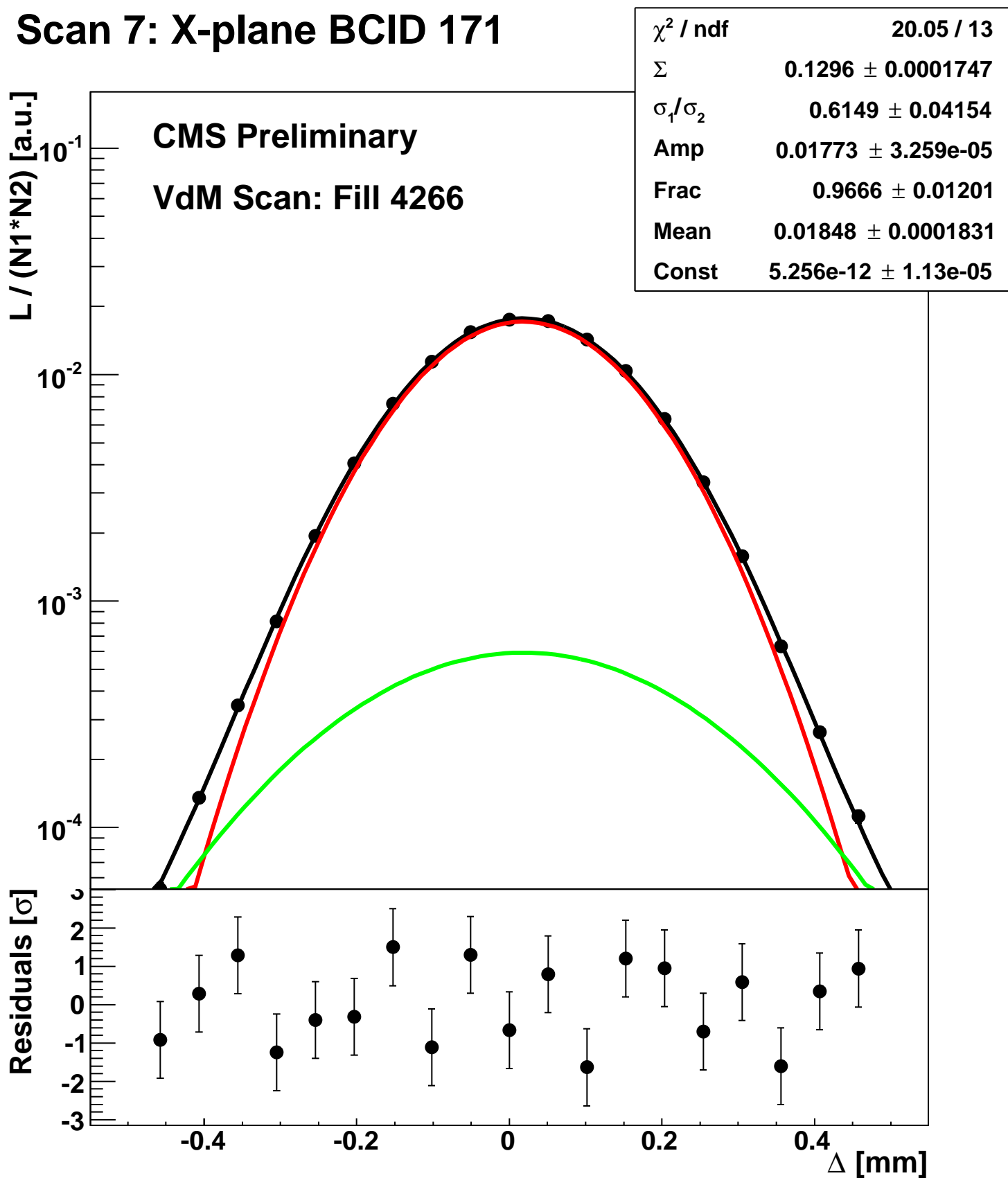
Scan 7: X-plane BCID 1671



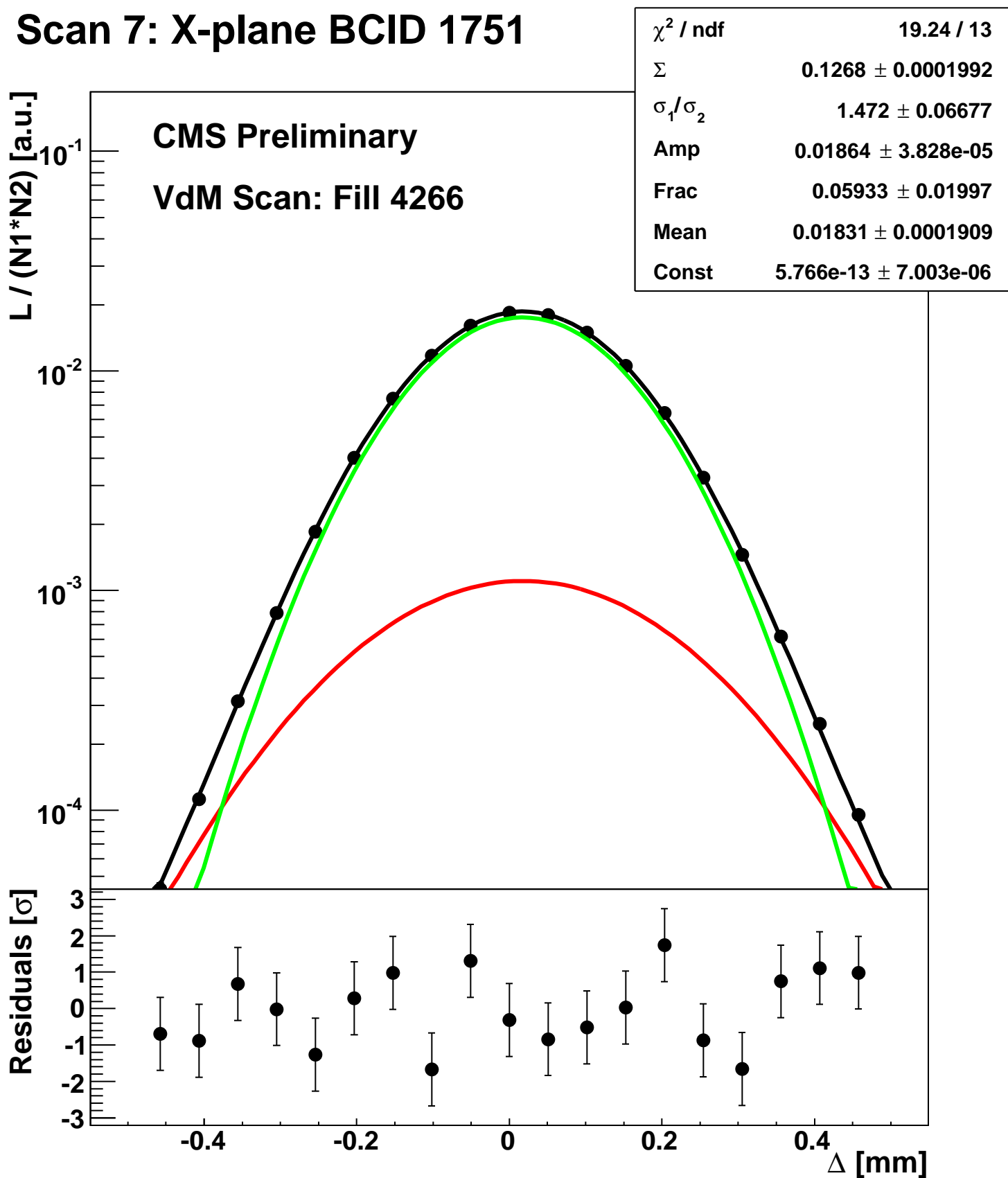
Scan 7: X-plane BCID 1711



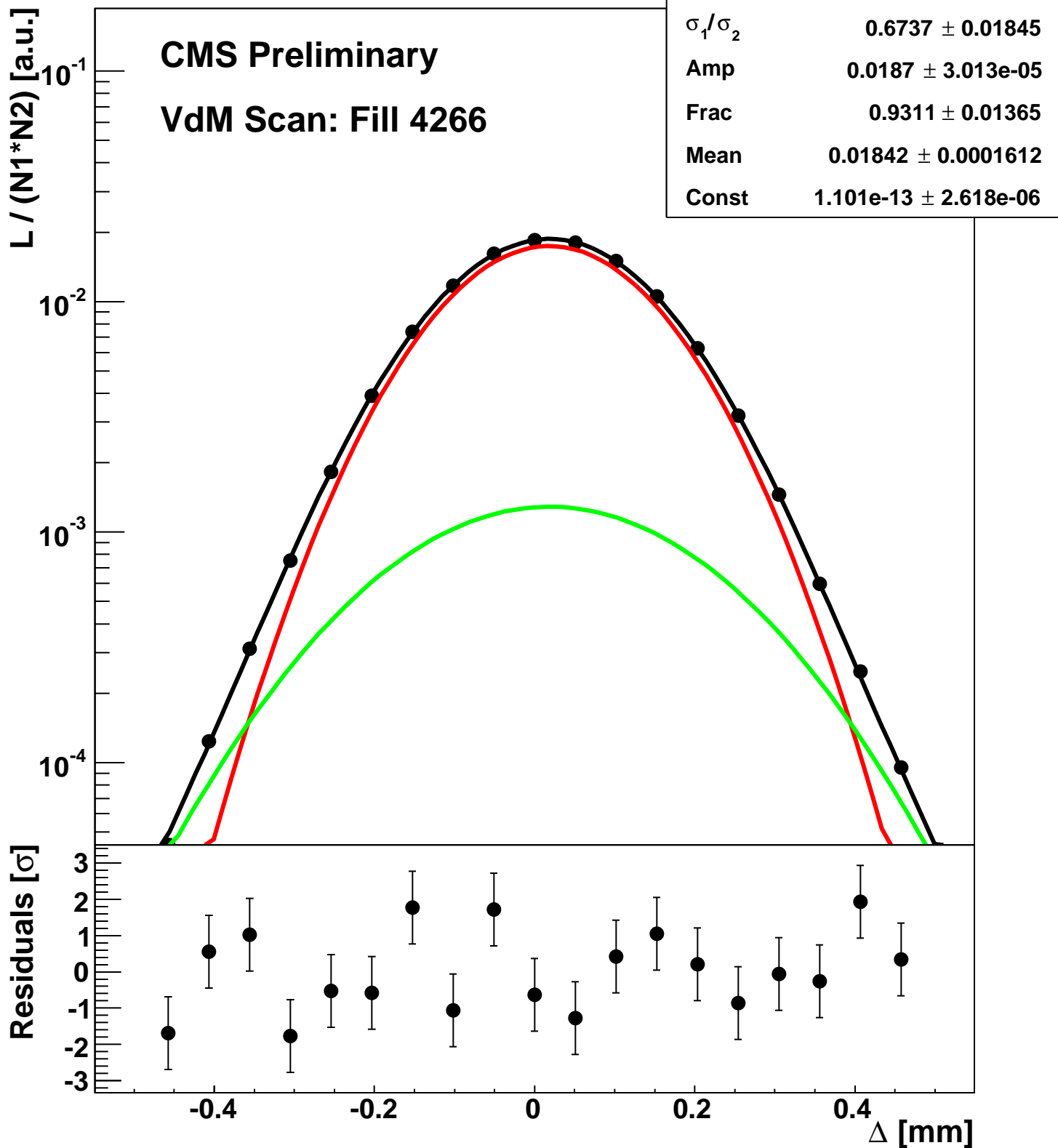
Scan 7: X-plane BCID 171



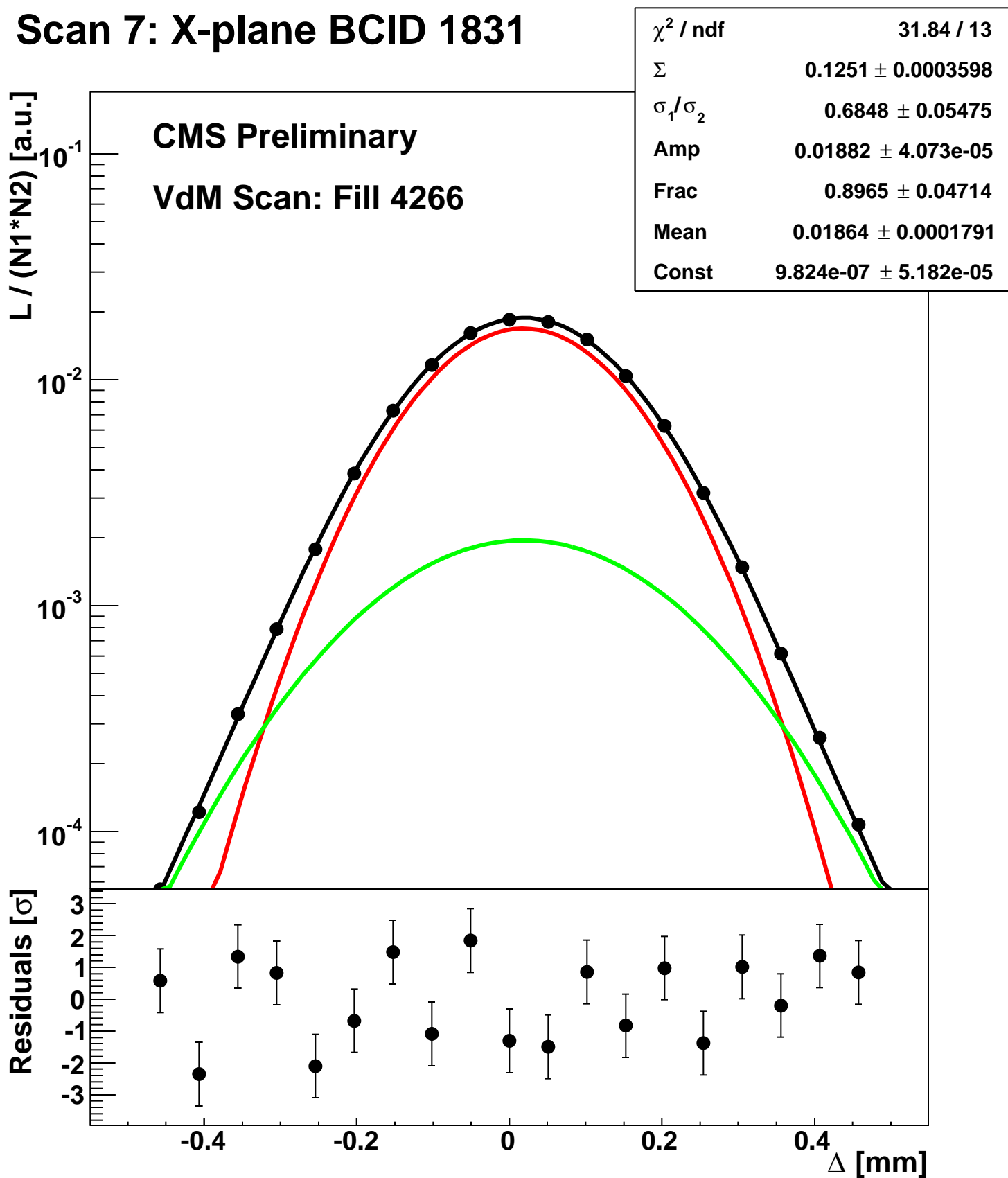
Scan 7: X-plane BCID 1751



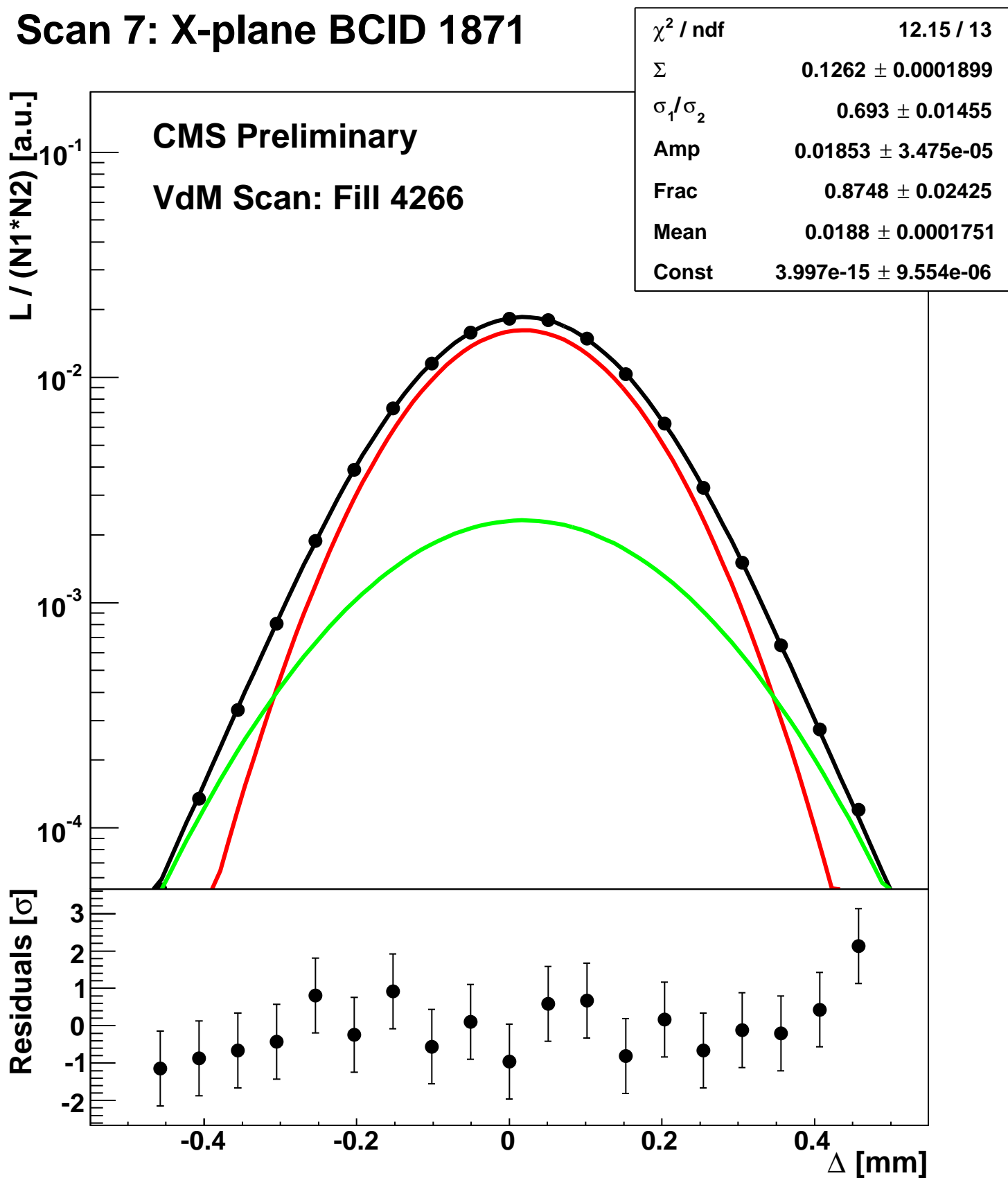
Scan 7: X-plane BCID 1791



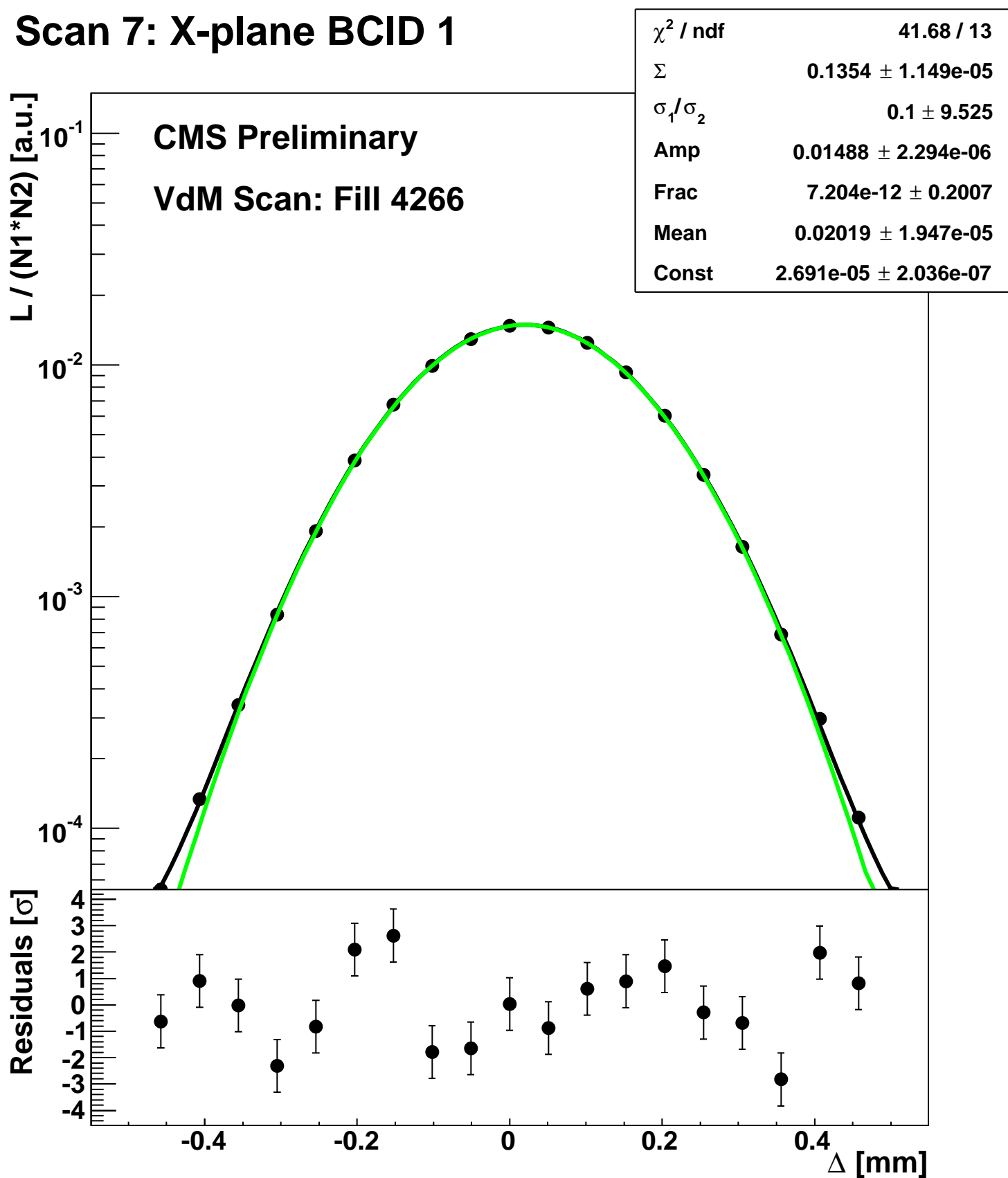
Scan 7: X-plane BCID 1831



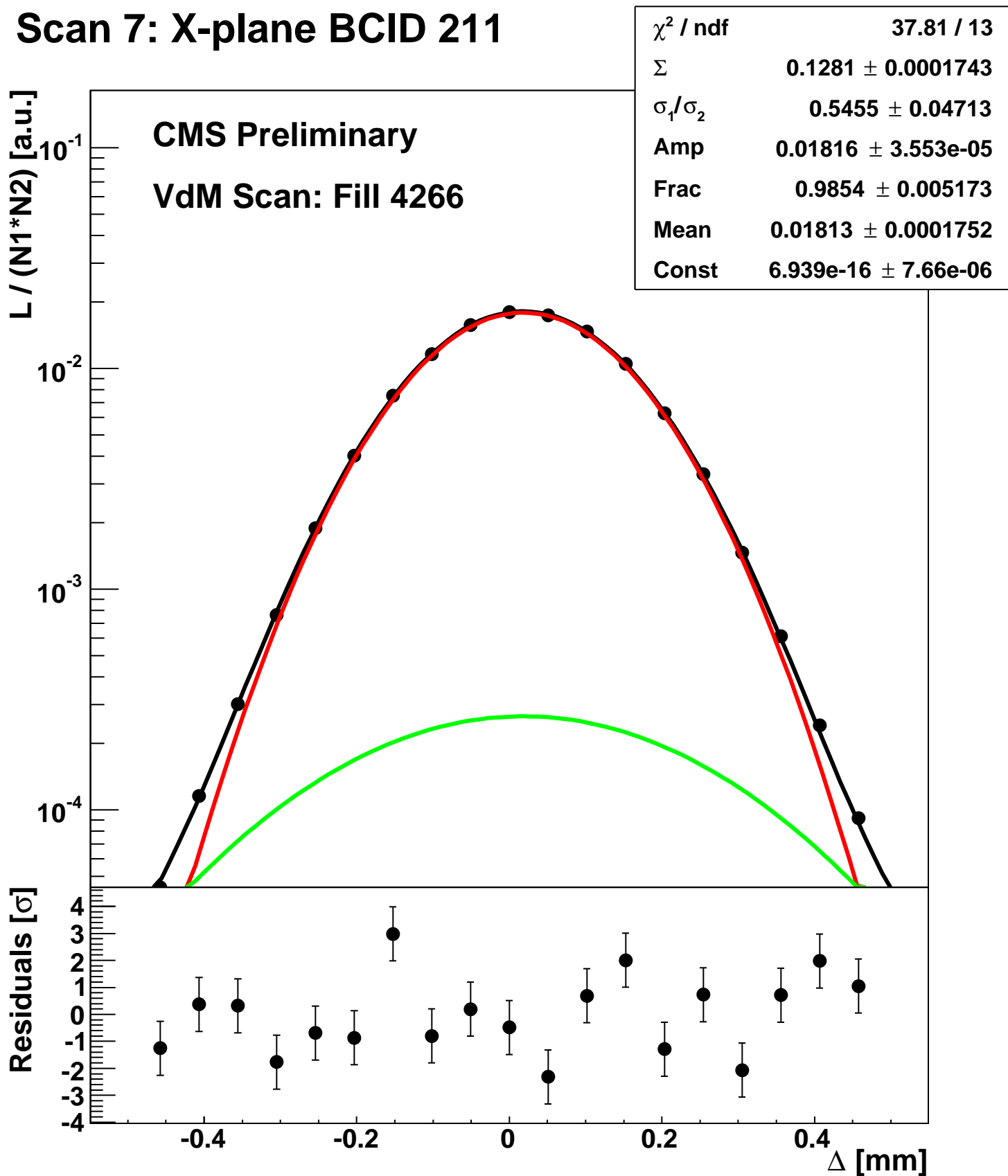
Scan 7: X-plane BCID 1871



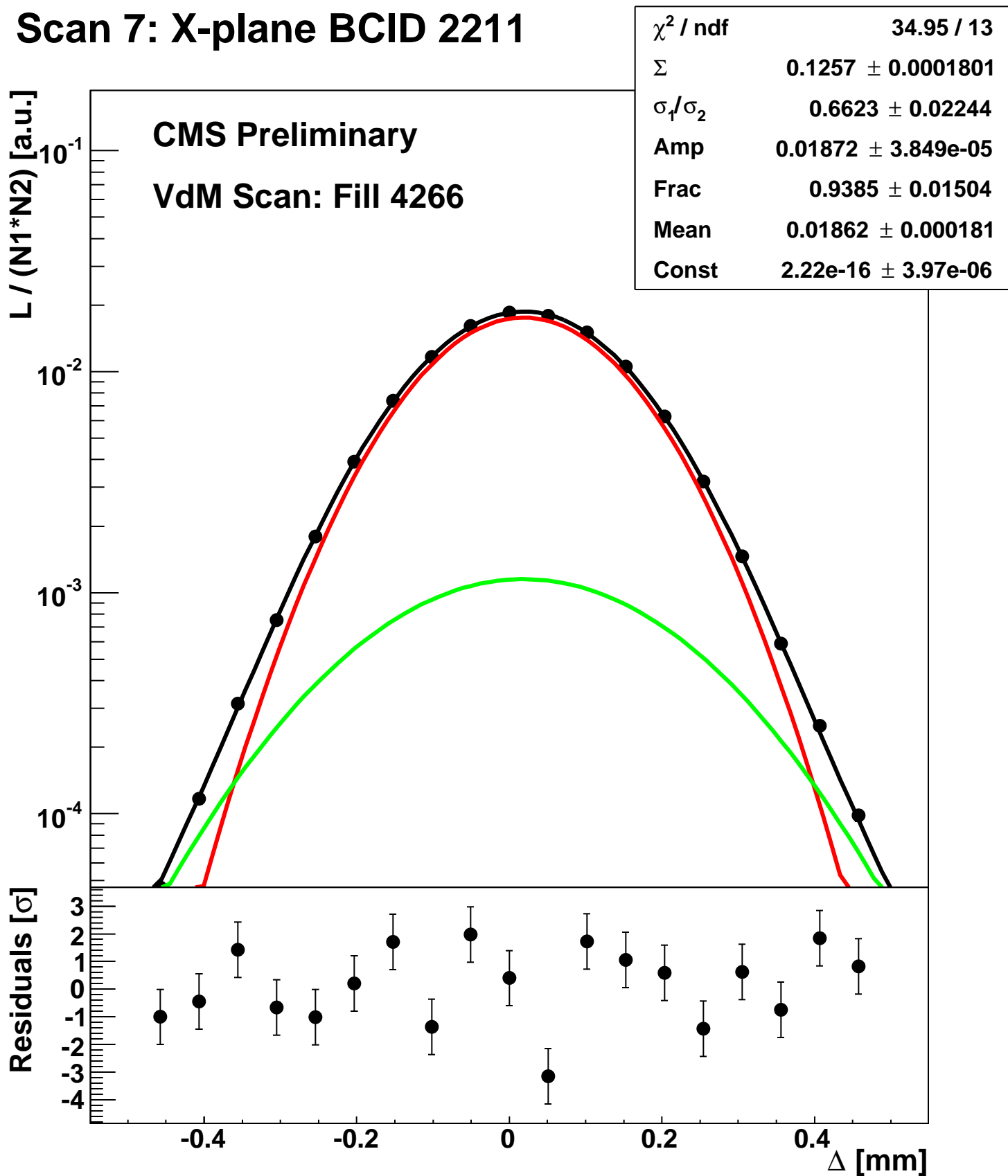
Scan 7: X-plane BCID 1



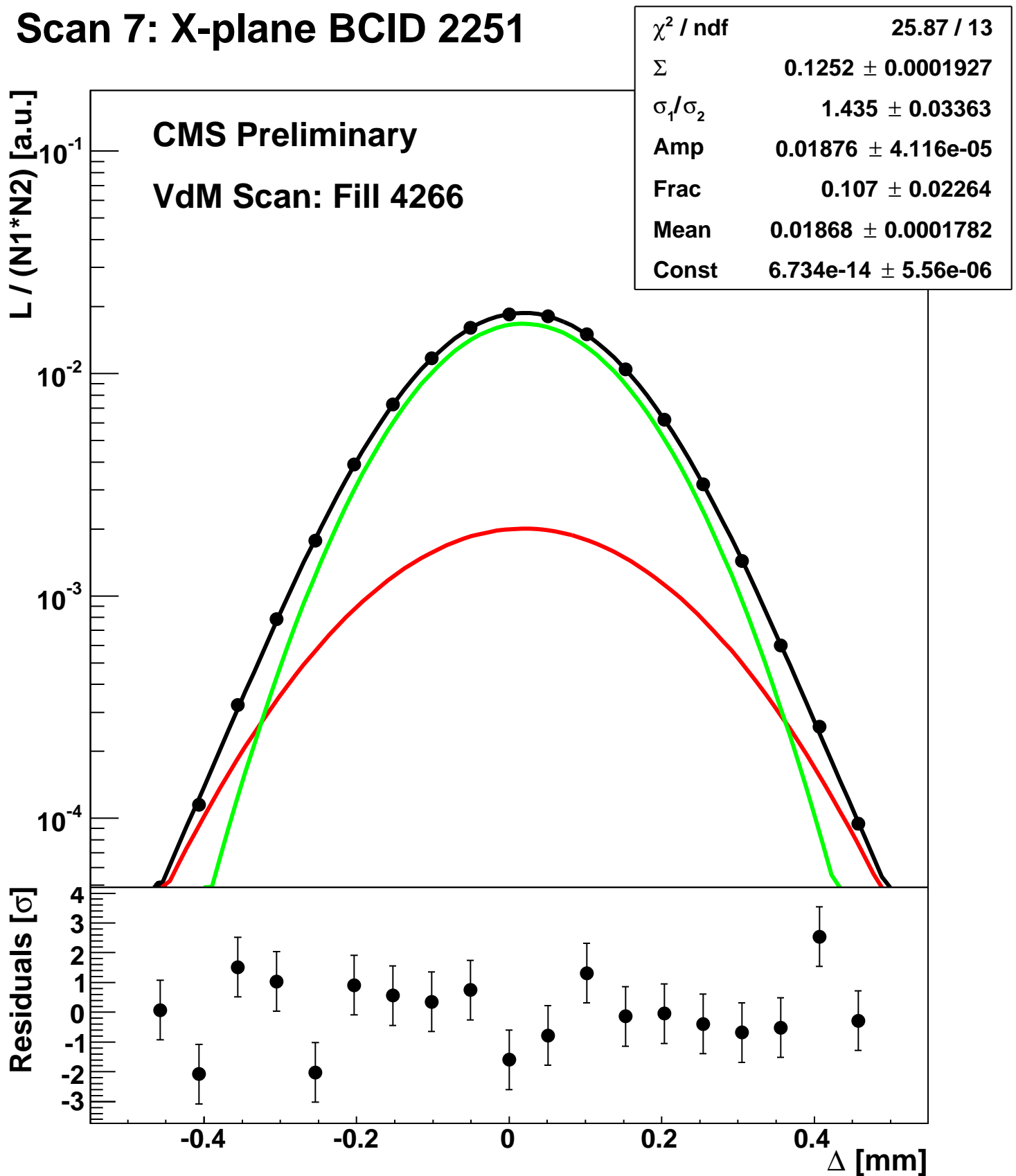
Scan 7: X-plane BCID 211



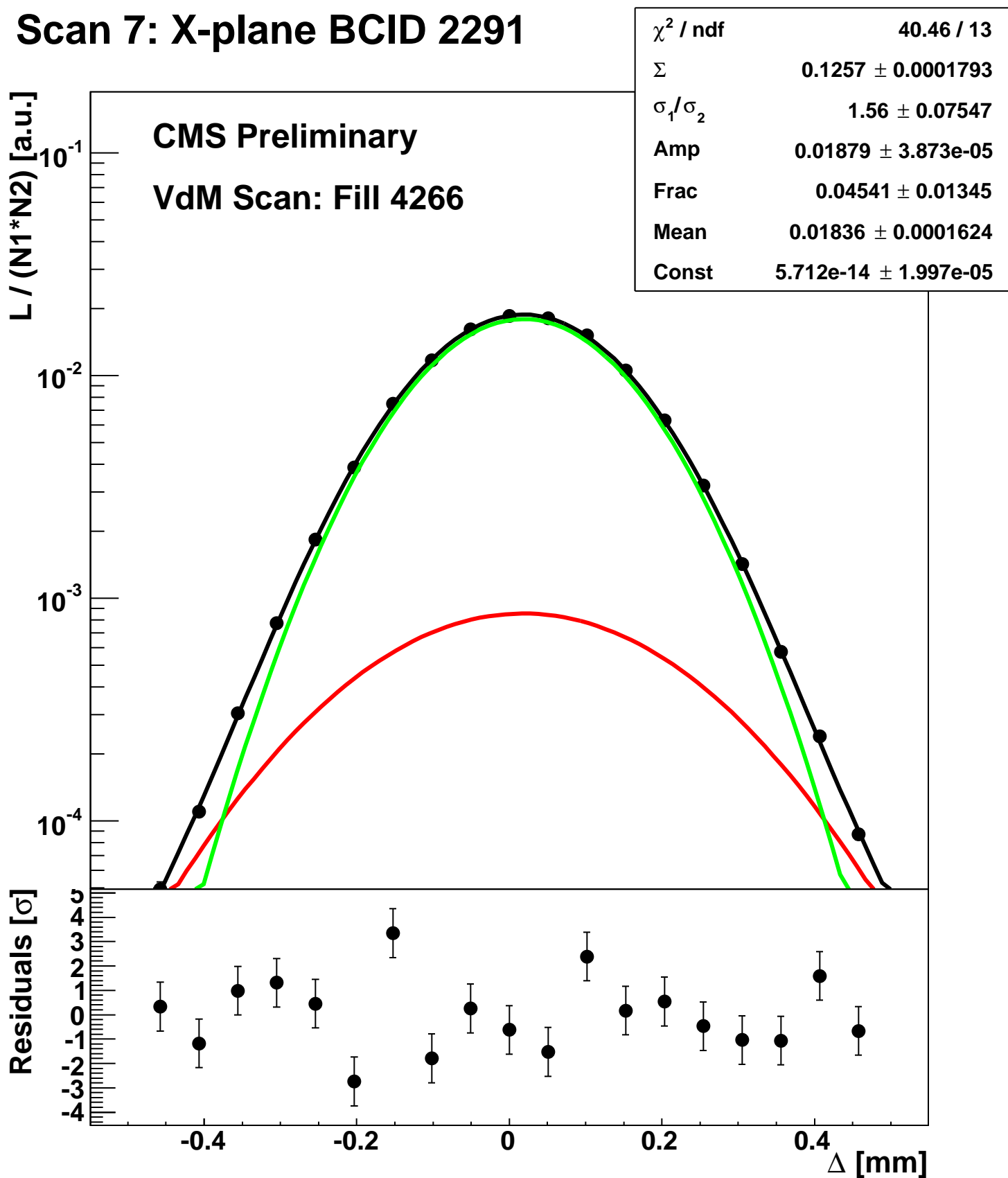
Scan 7: X-plane BCID 2211



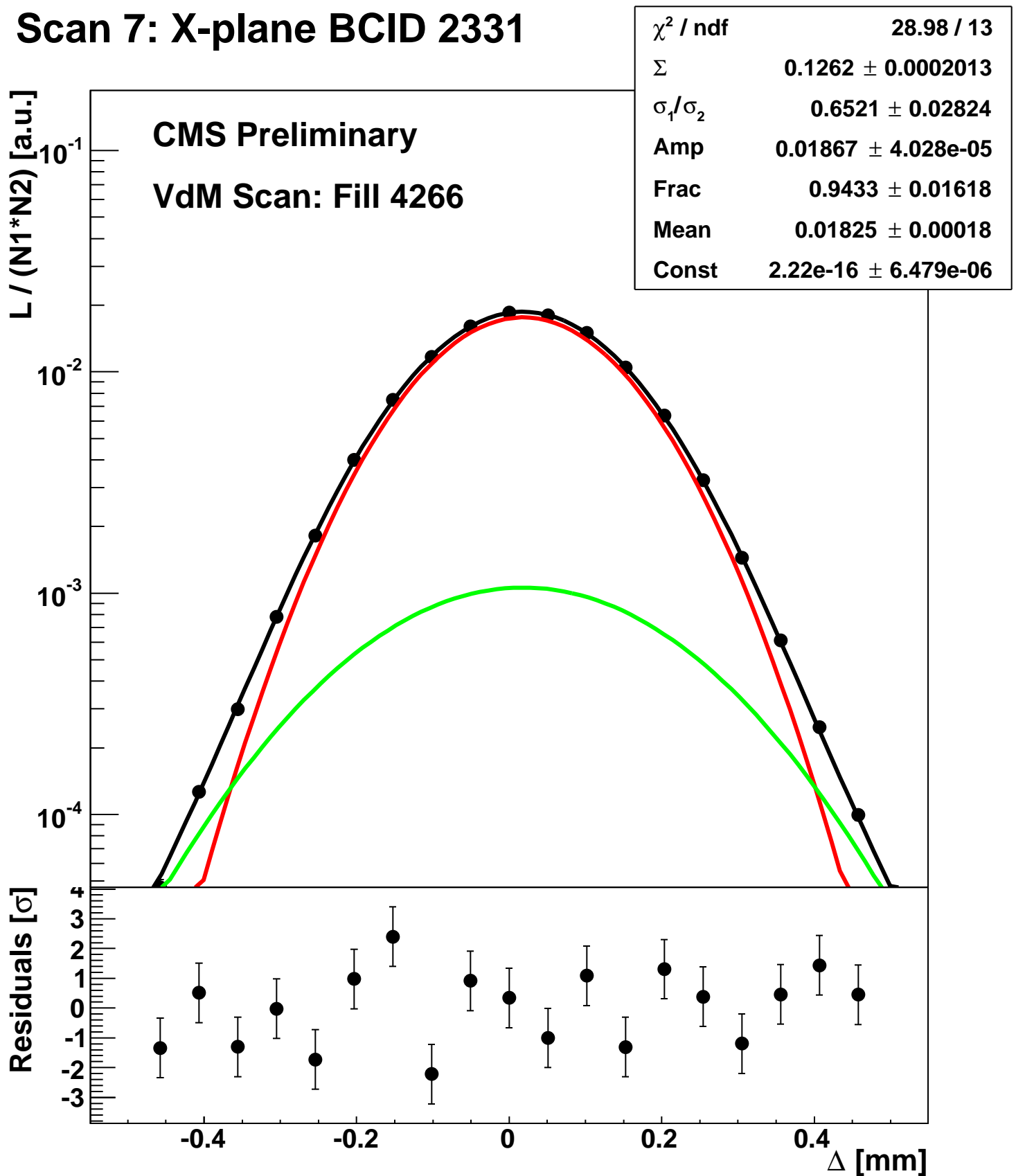
Scan 7: X-plane BCID 2251



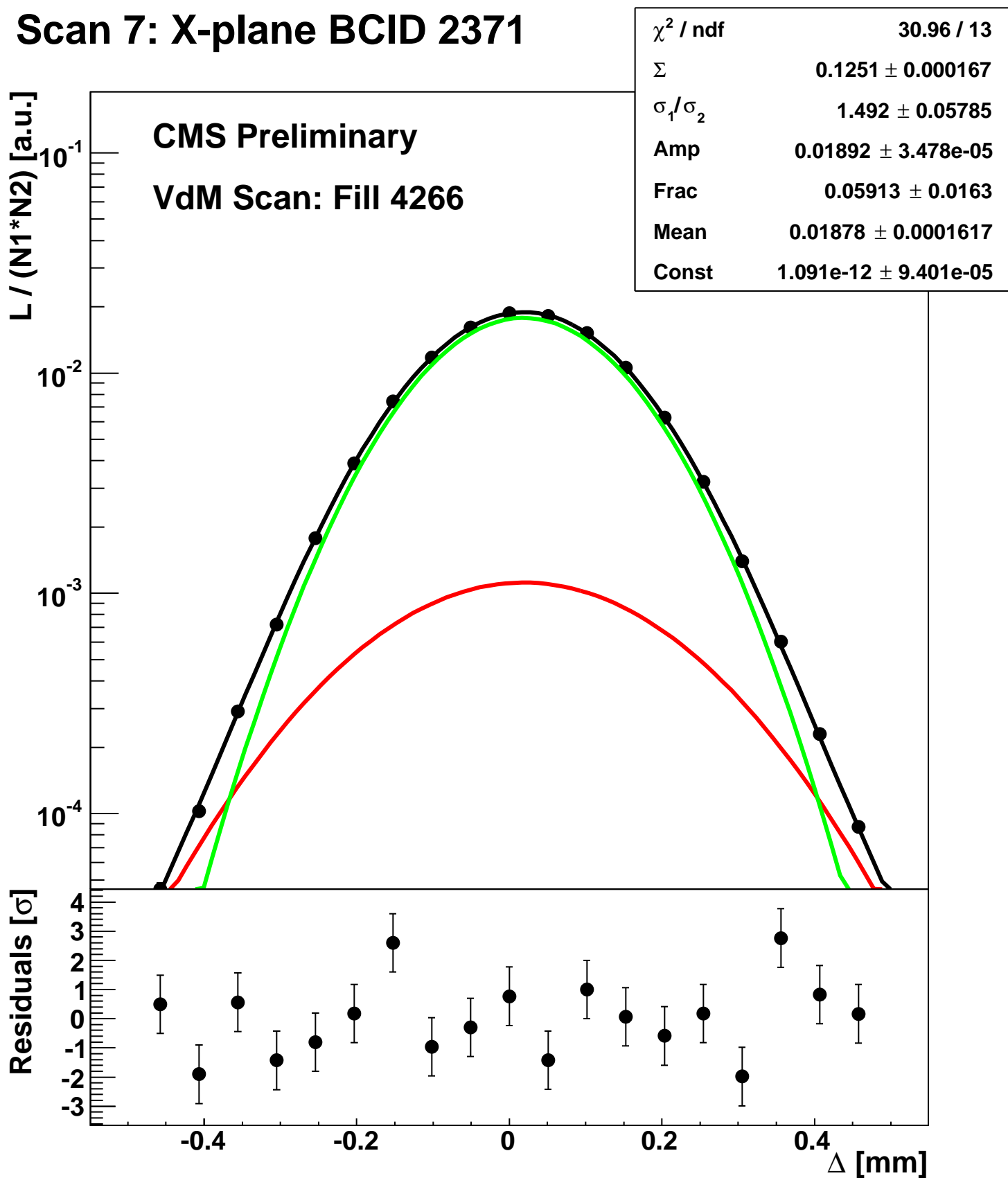
Scan 7: X-plane BCID 2291



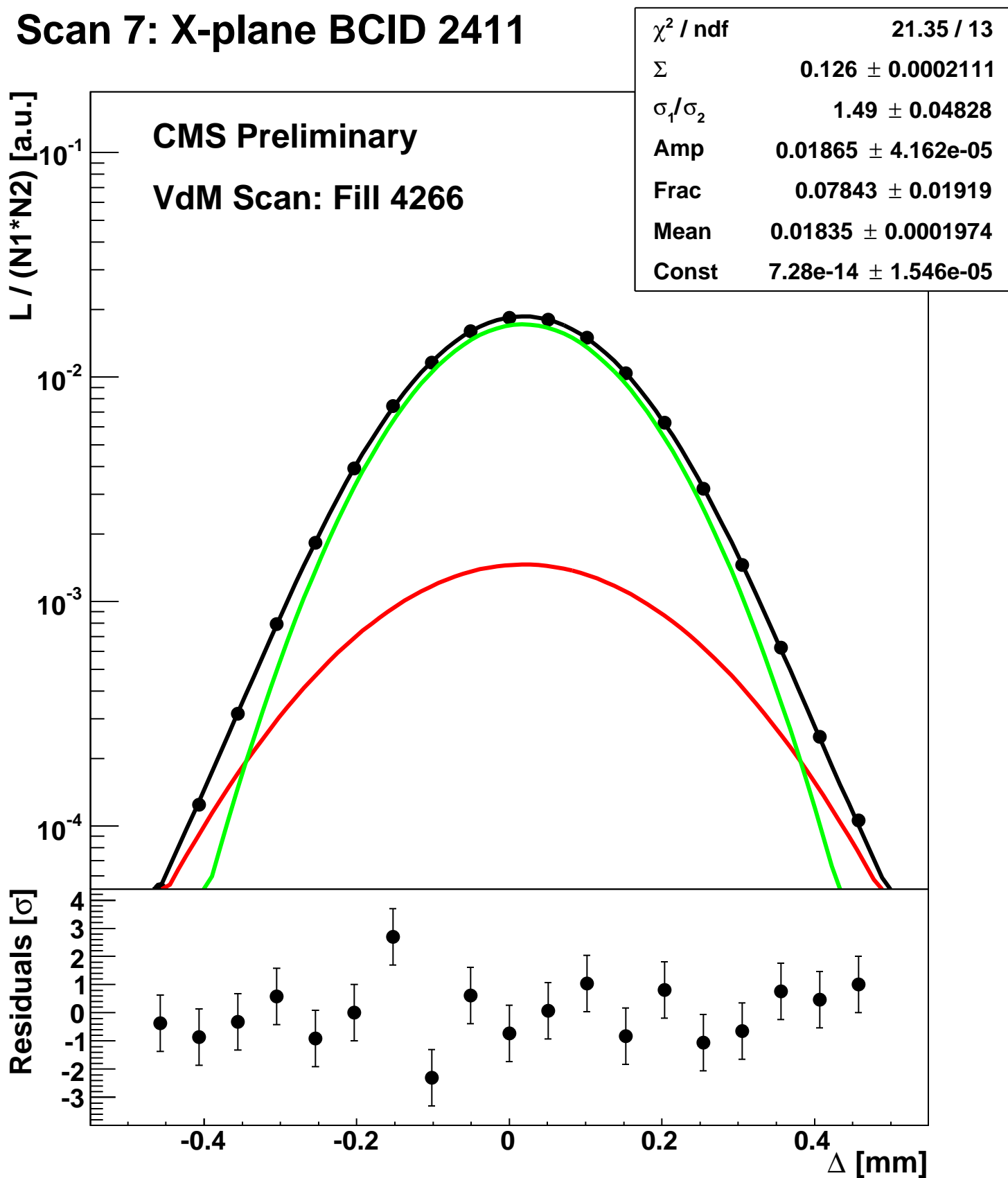
Scan 7: X-plane BCID 2331



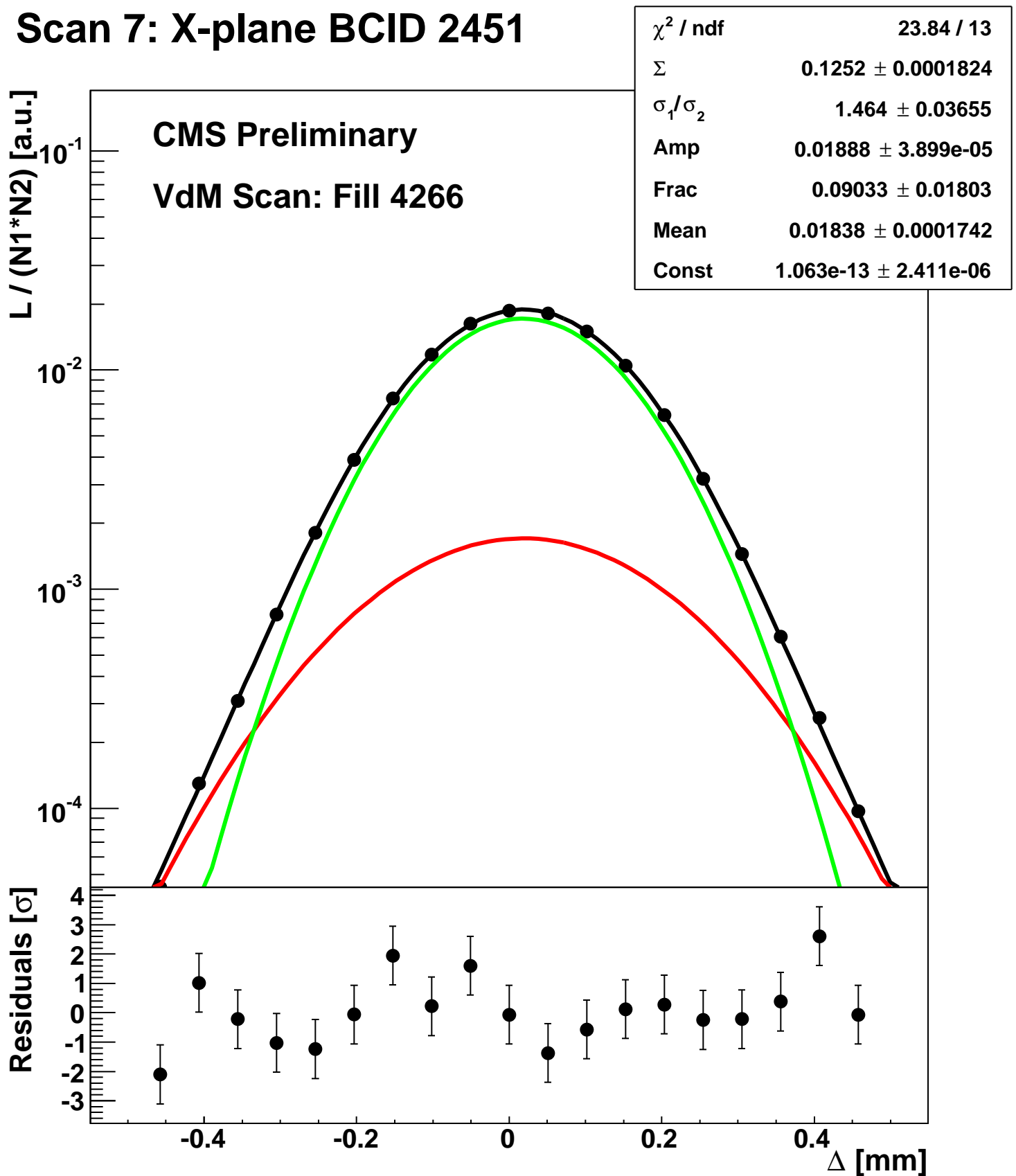
Scan 7: X-plane BCID 2371



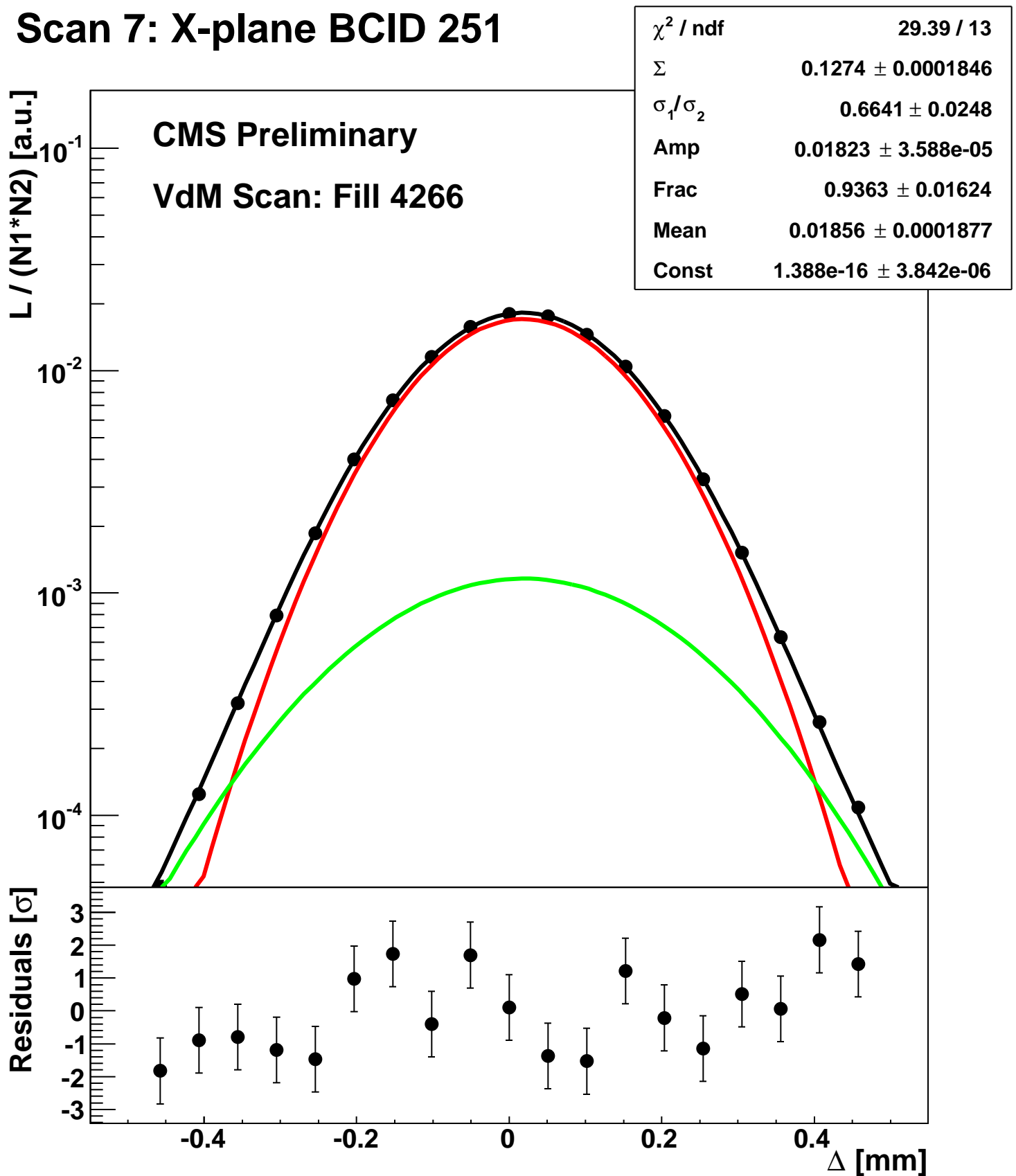
Scan 7: X-plane BCID 2411



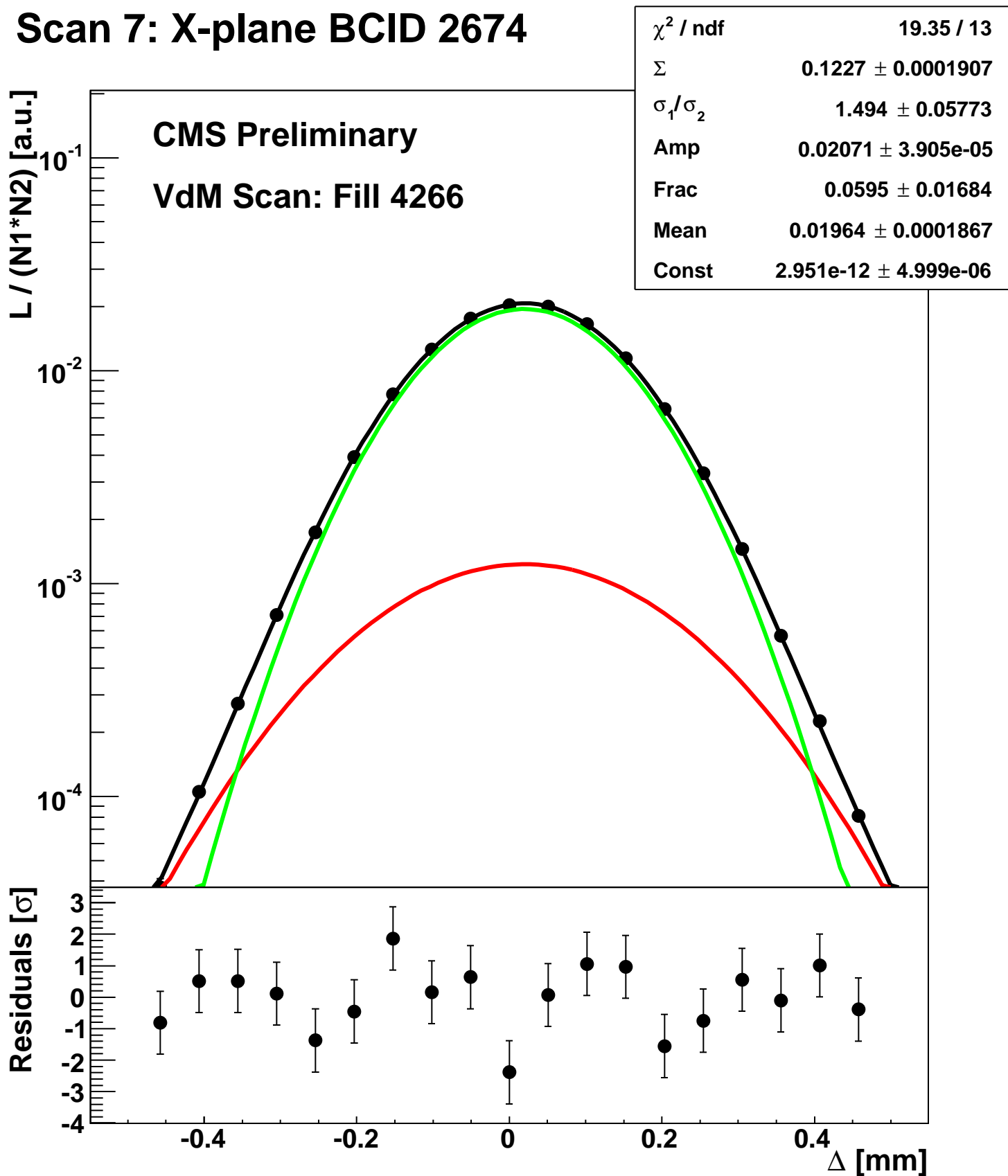
Scan 7: X-plane BCID 2451



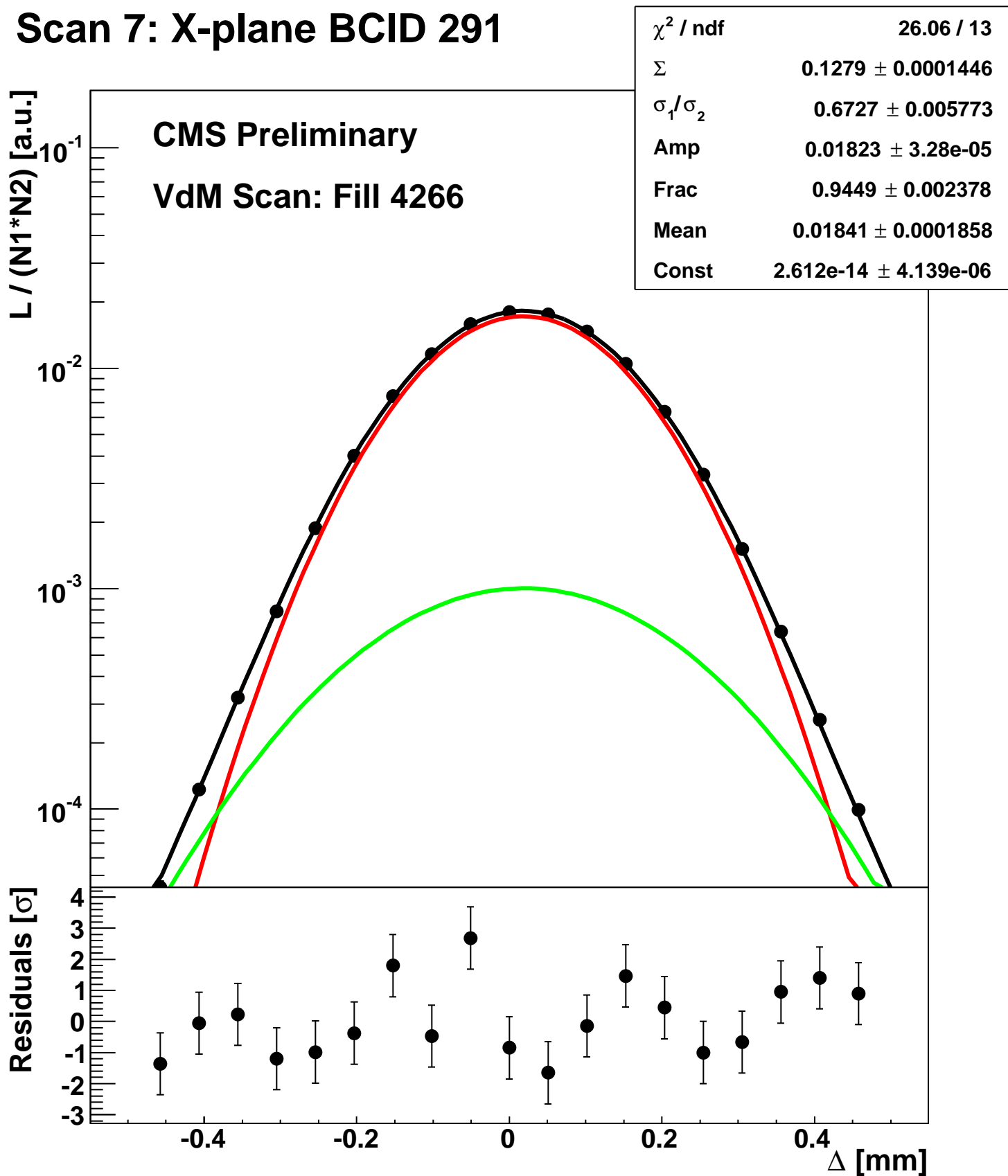
Scan 7: X-plane BCID 251



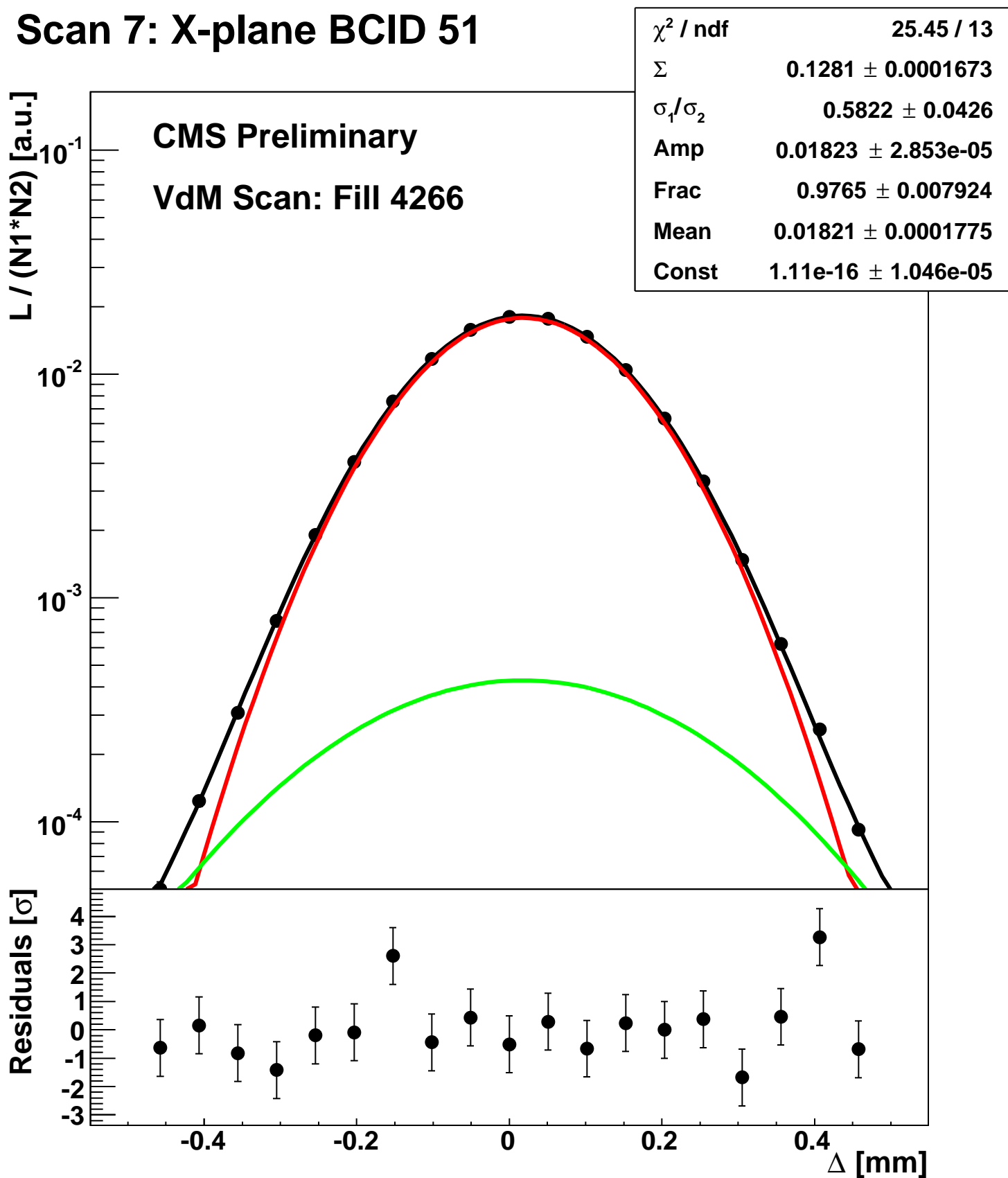
Scan 7: X-plane BCID 2674



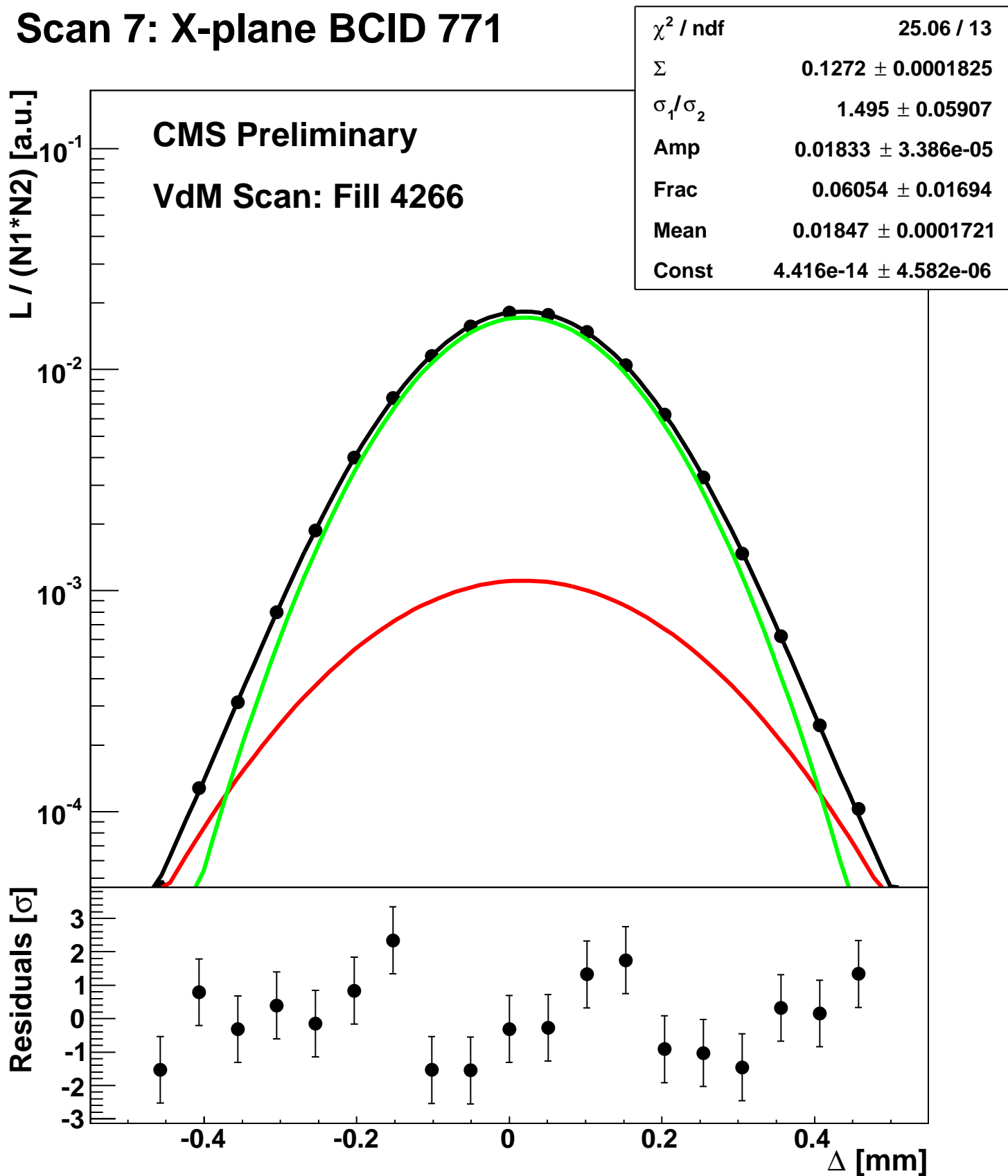
Scan 7: X-plane BCID 291



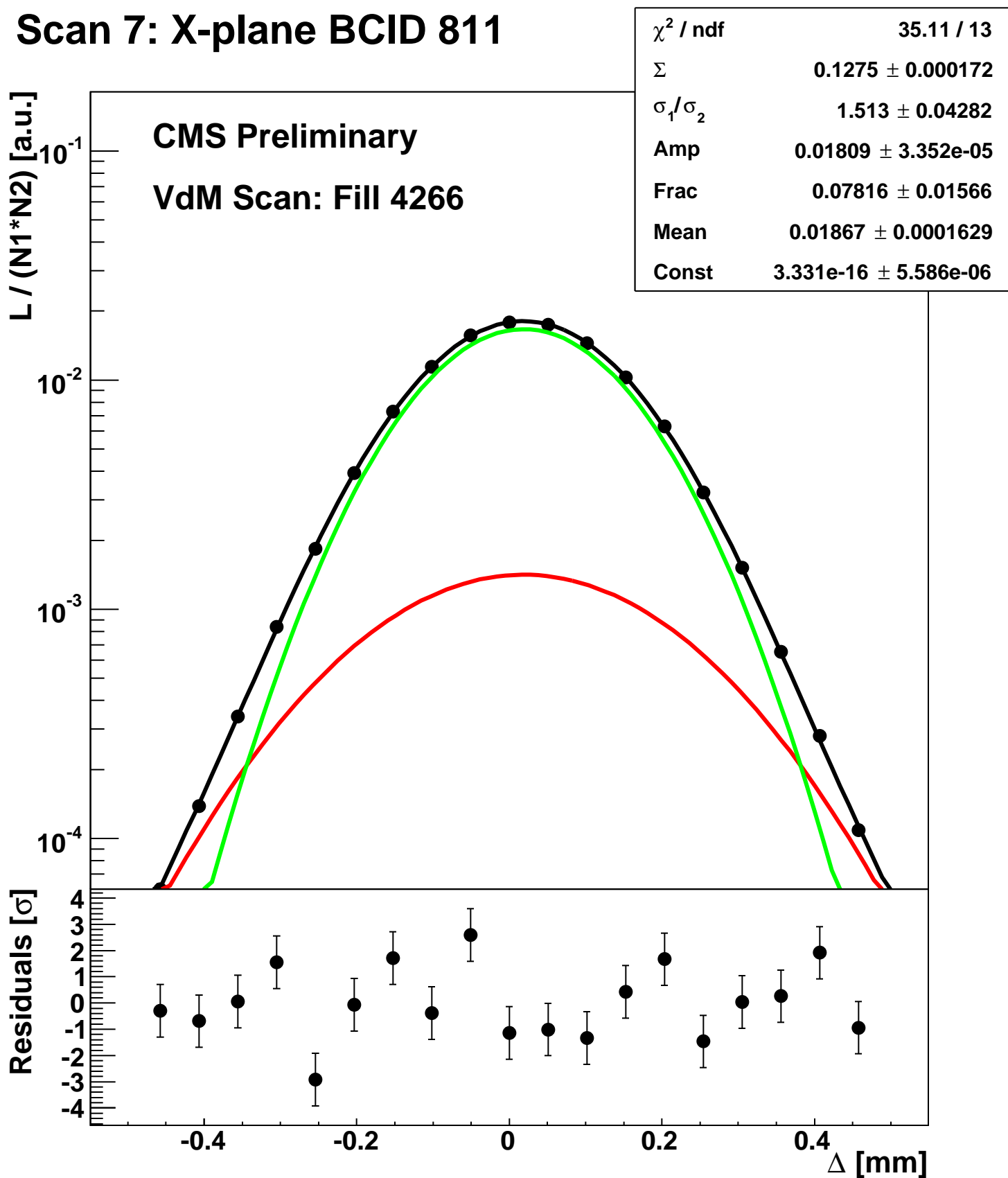
Scan 7: X-plane BCID 51



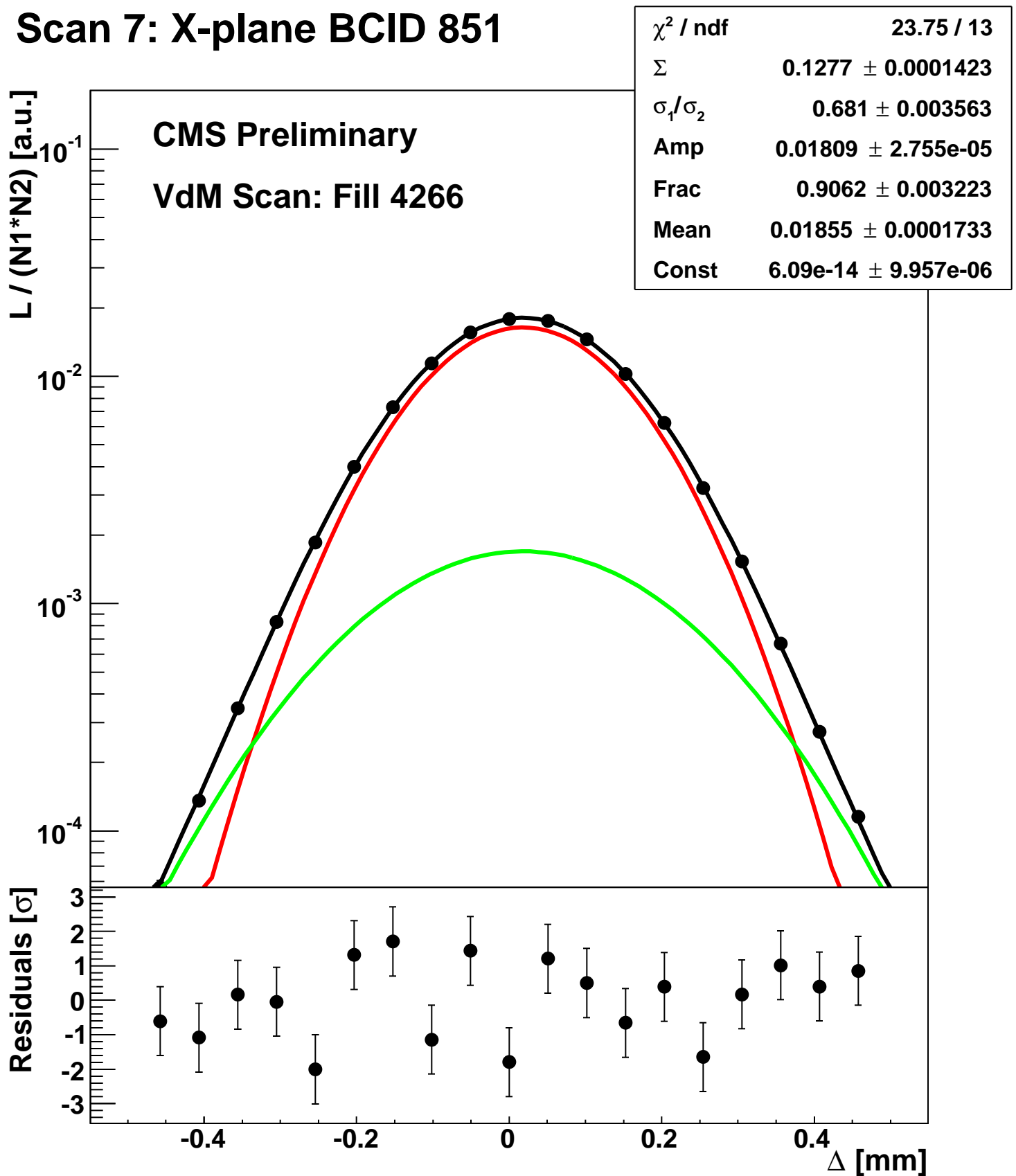
Scan 7: X-plane BCID 771



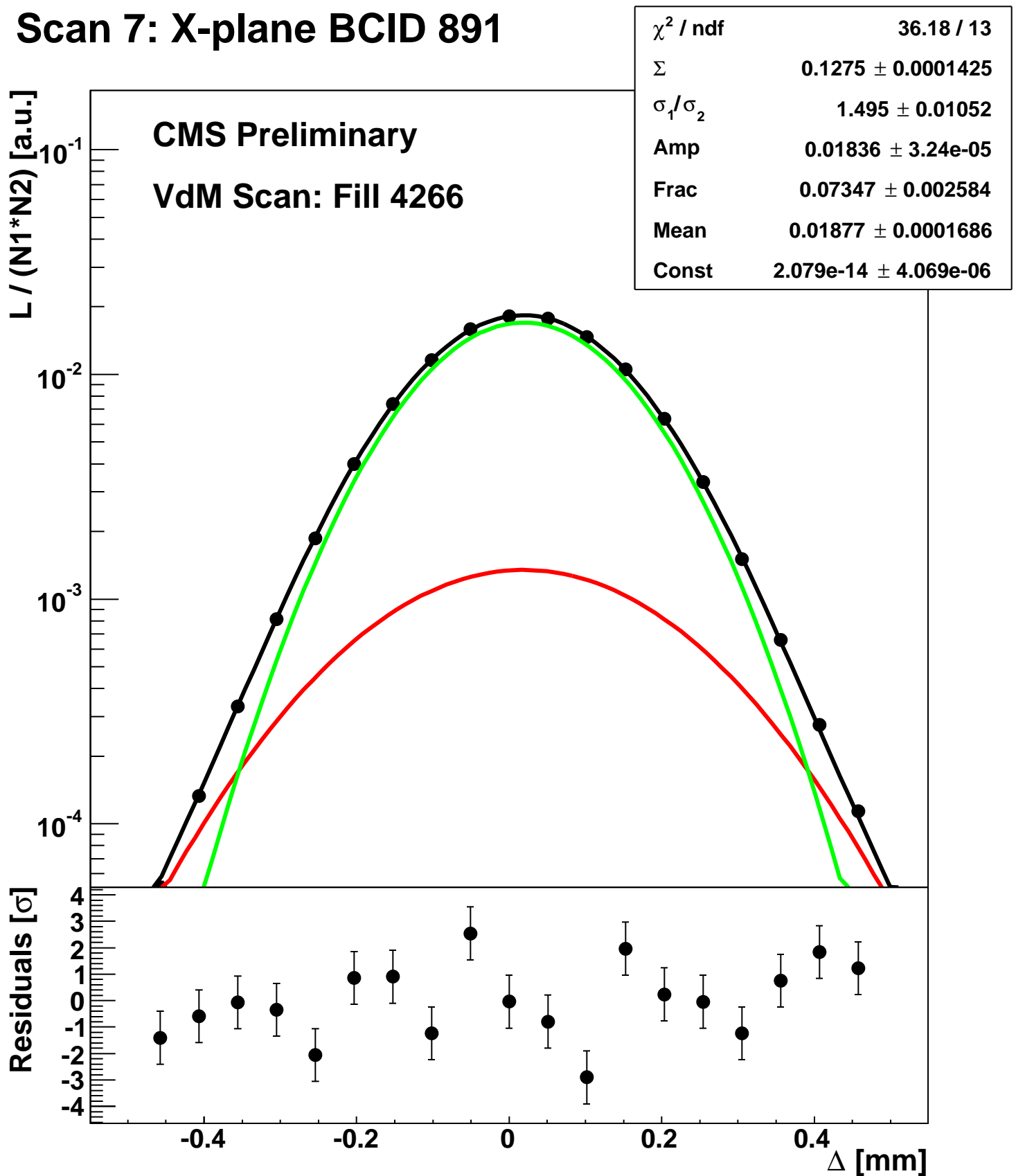
Scan 7: X-plane BCID 811



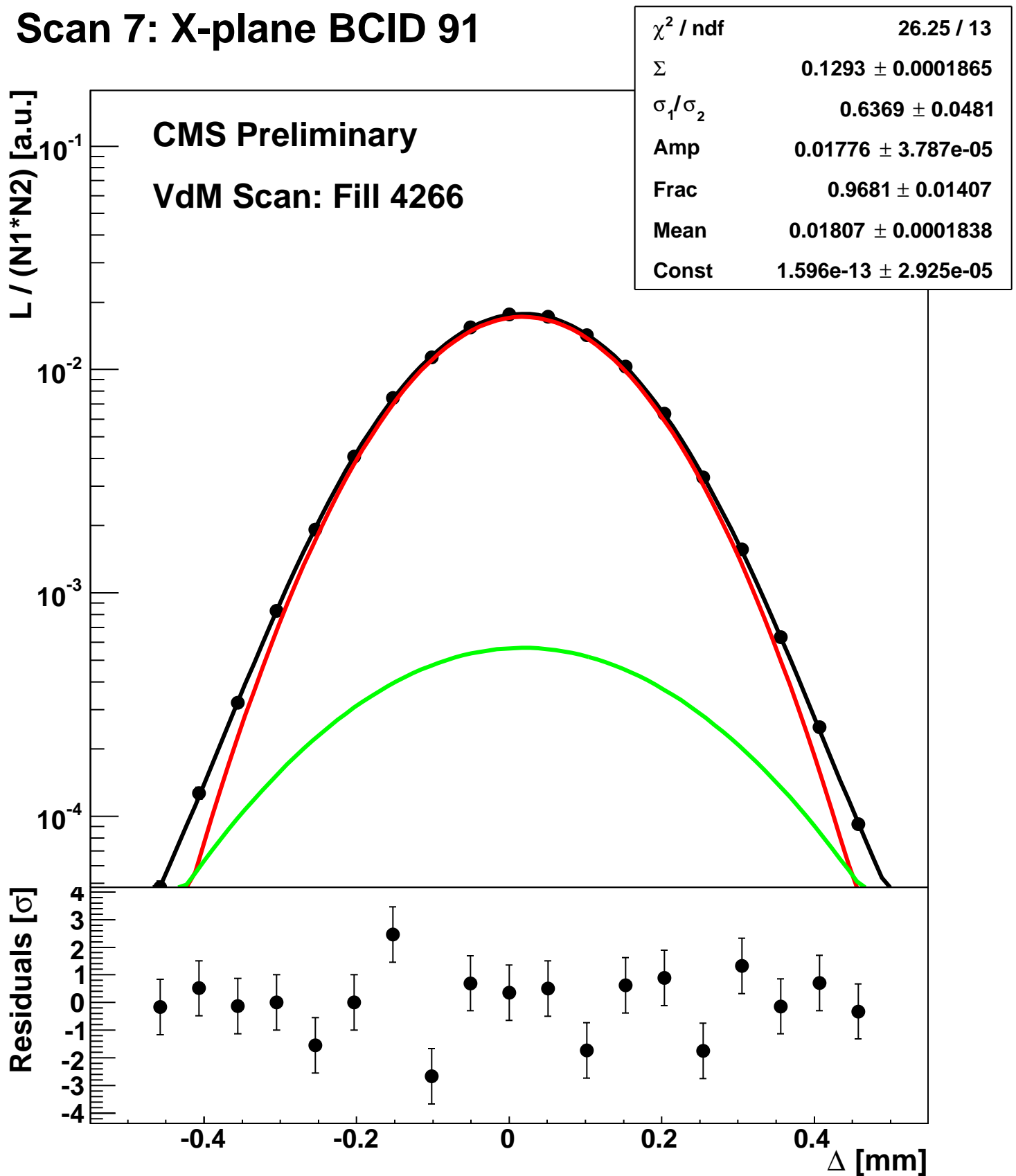
Scan 7: X-plane BCID 851



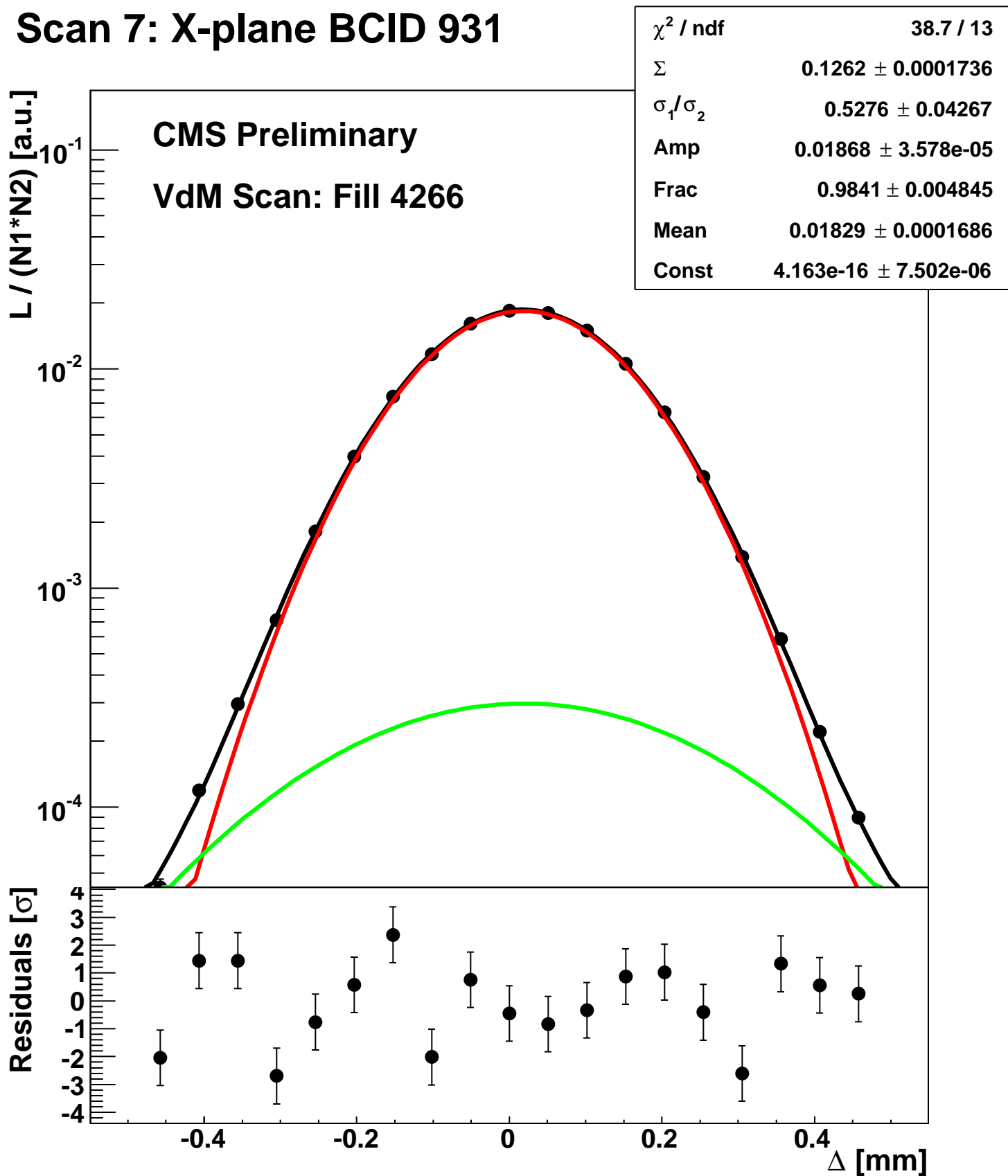
Scan 7: X-plane BCID 891



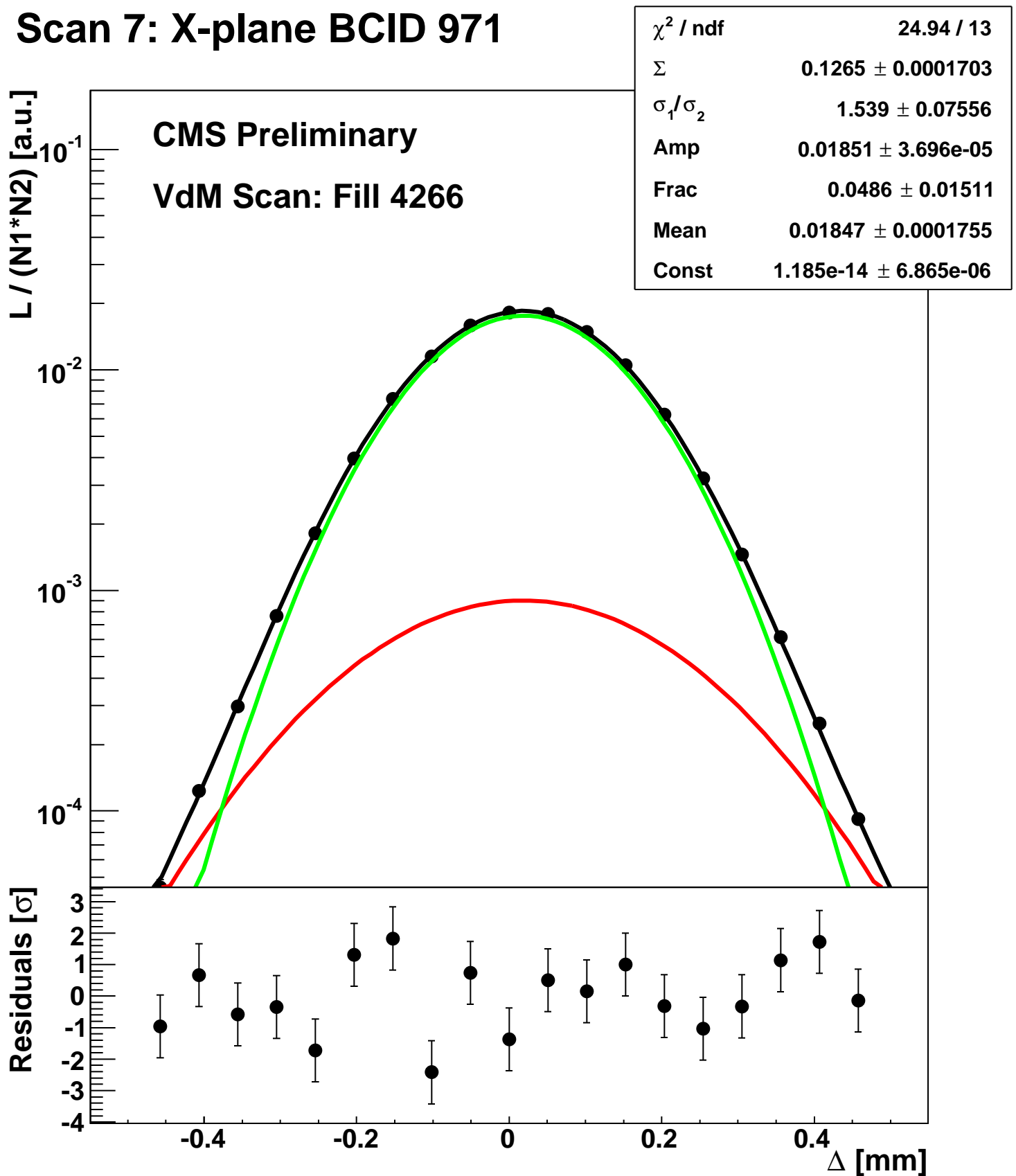
Scan 7: X-plane BCID 91



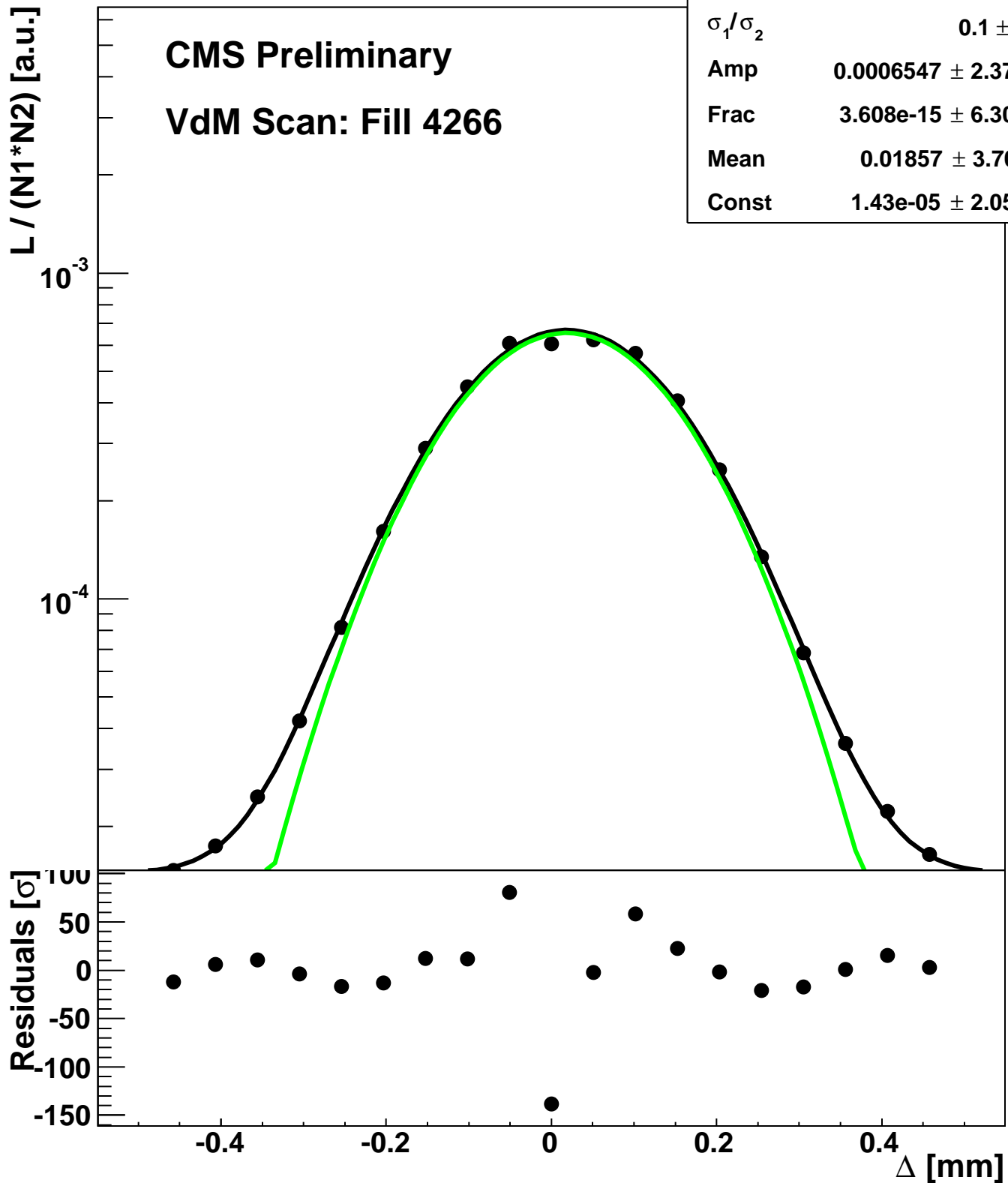
Scan 7: X-plane BCID 931



Scan 7: X-plane BCID 971

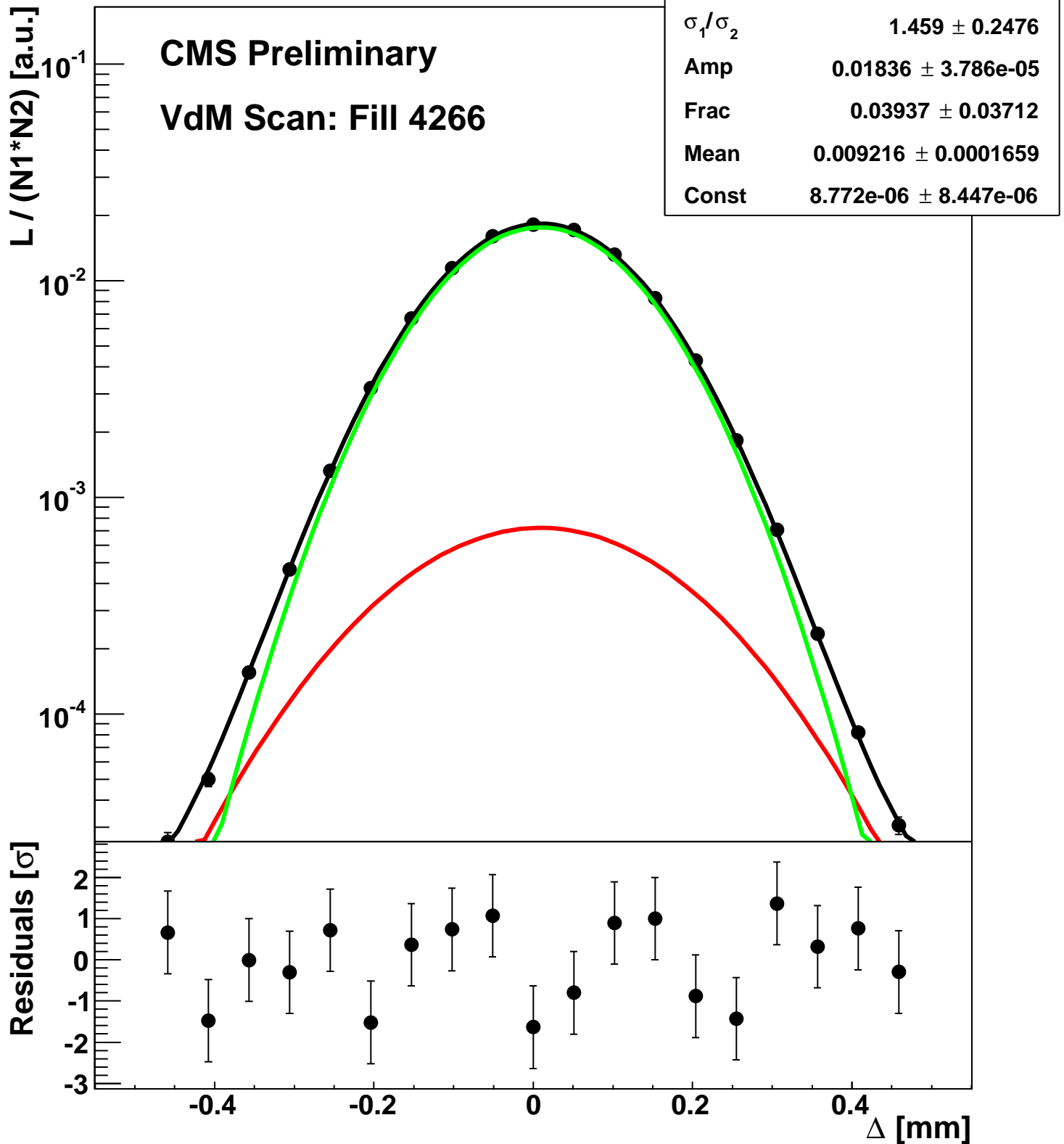


Scan 7: X-plane BCID sum

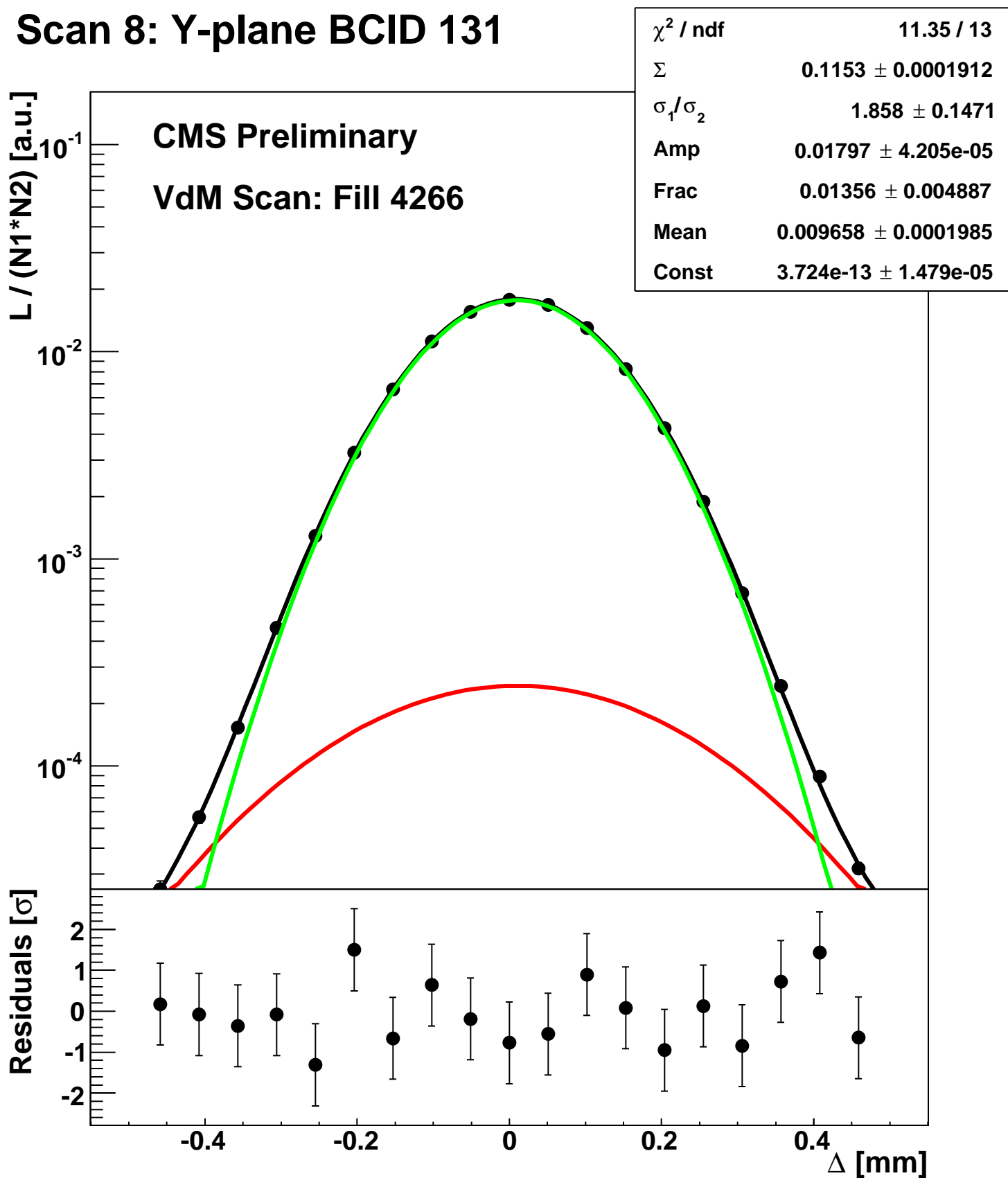


χ^2 / ndf	3.147e+04 / 13
Σ	$0.1292 \pm 3.17\text{e-}05$
σ_1 / σ_2	0.1 ± 7.054
Amp	$0.0006547 \pm 2.374\text{e-}07$
Frac	$3.608\text{e-}15 \pm 6.304\text{e-}06$
Mean	$0.01857 \pm 3.709\text{e-}05$
Const	$1.43\text{e-}05 \pm 2.059\text{e-}08$

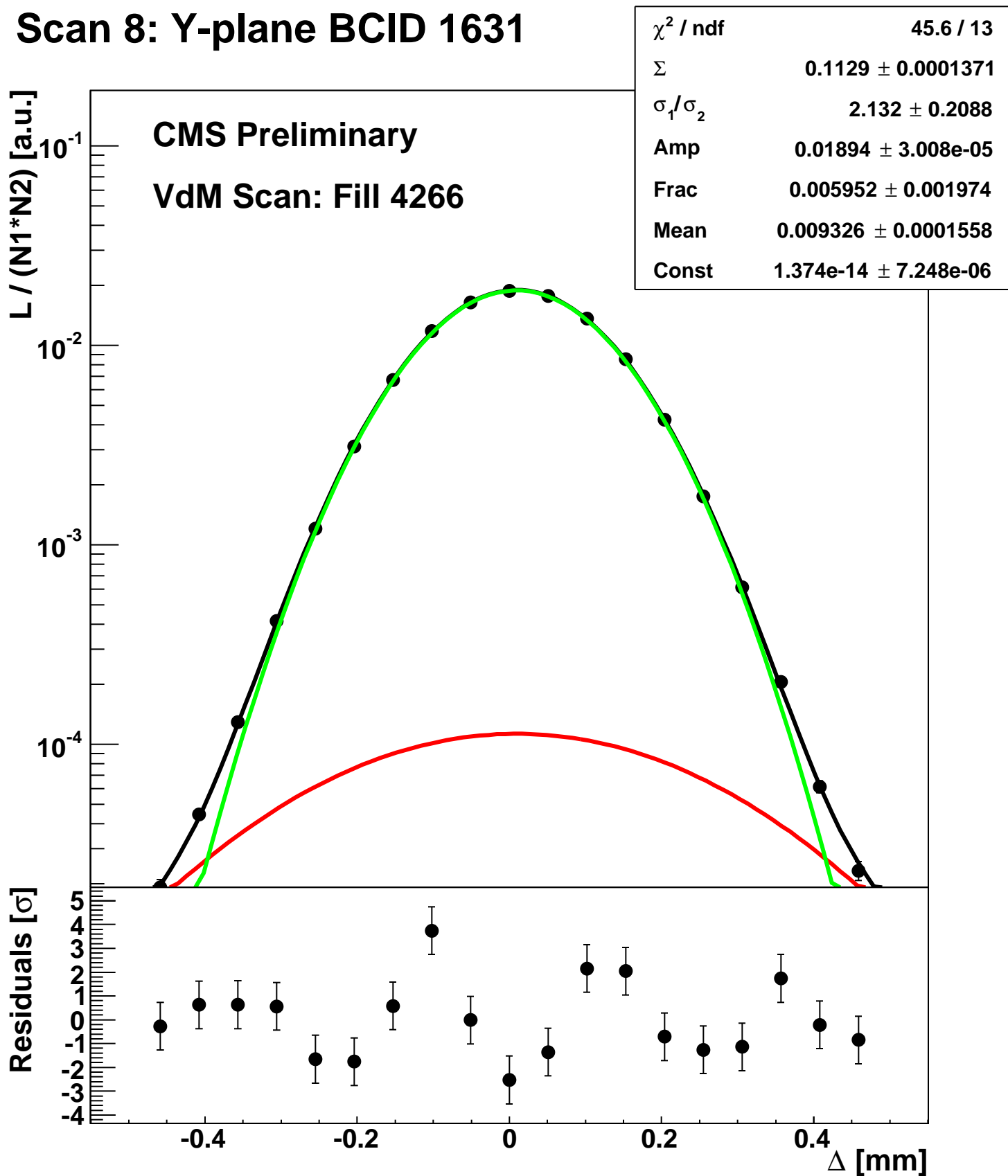
Scan 8: Y-plane BCID 1011



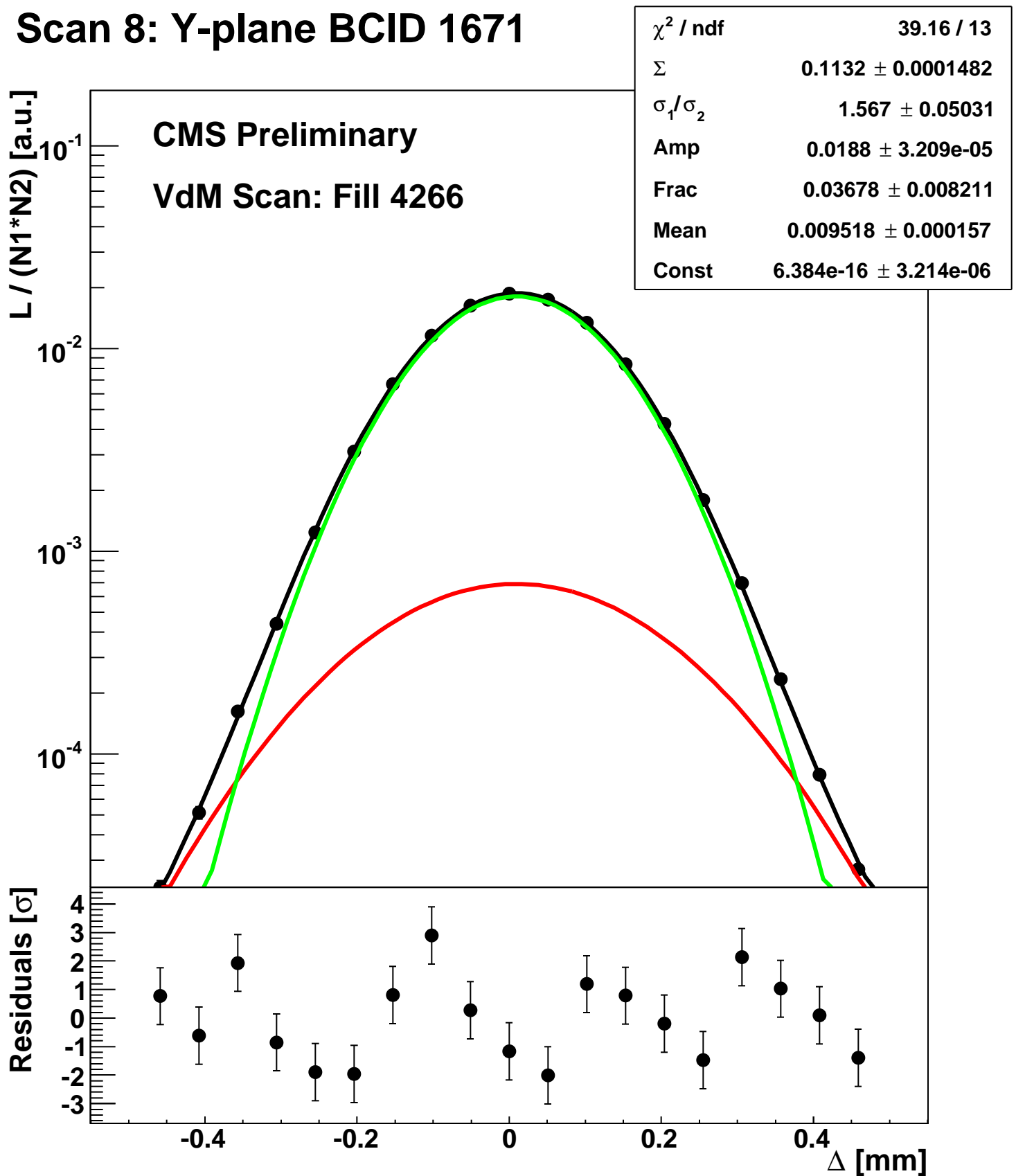
Scan 8: Y-plane BCID 131



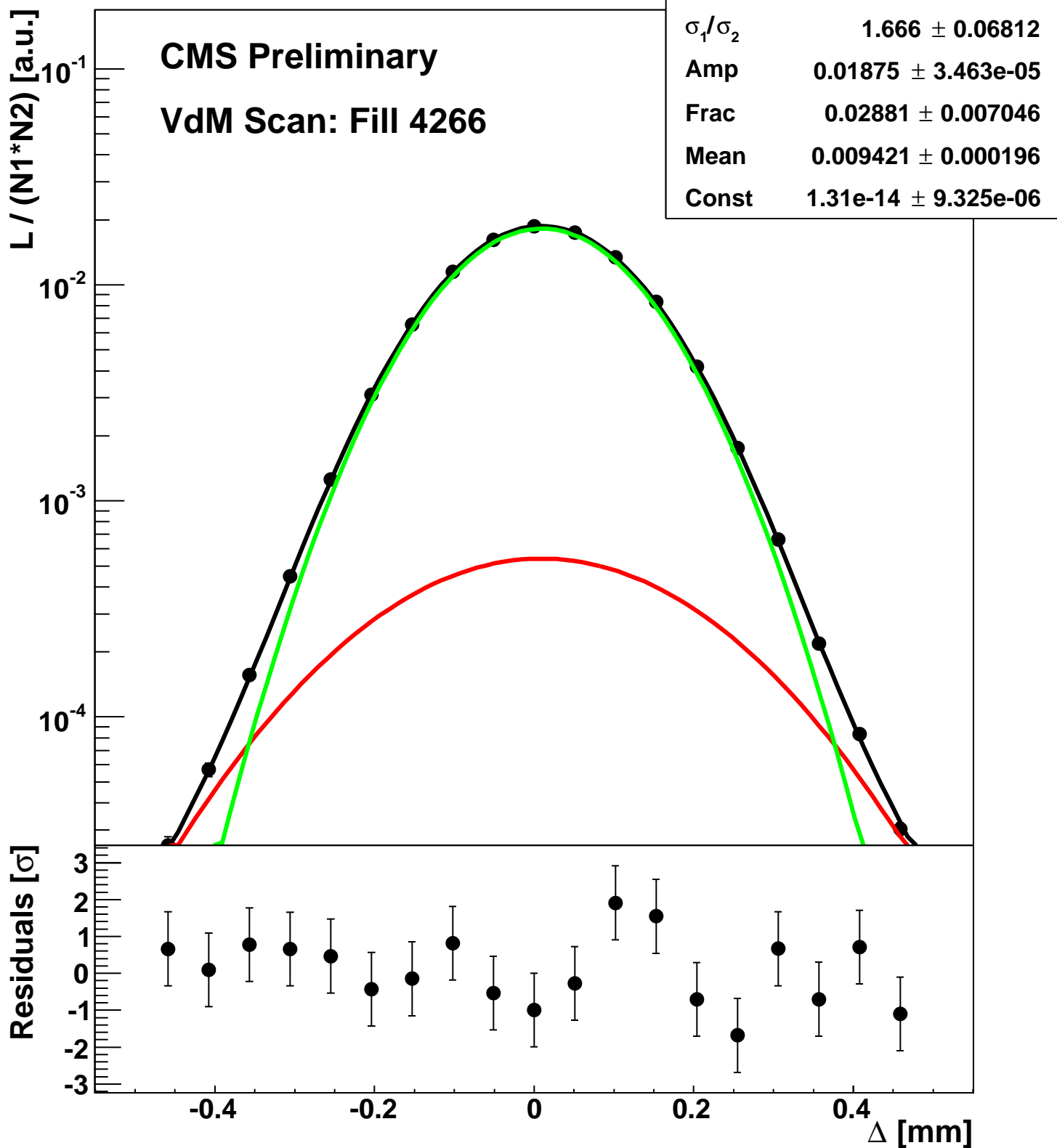
Scan 8: Y-plane BCID 1631



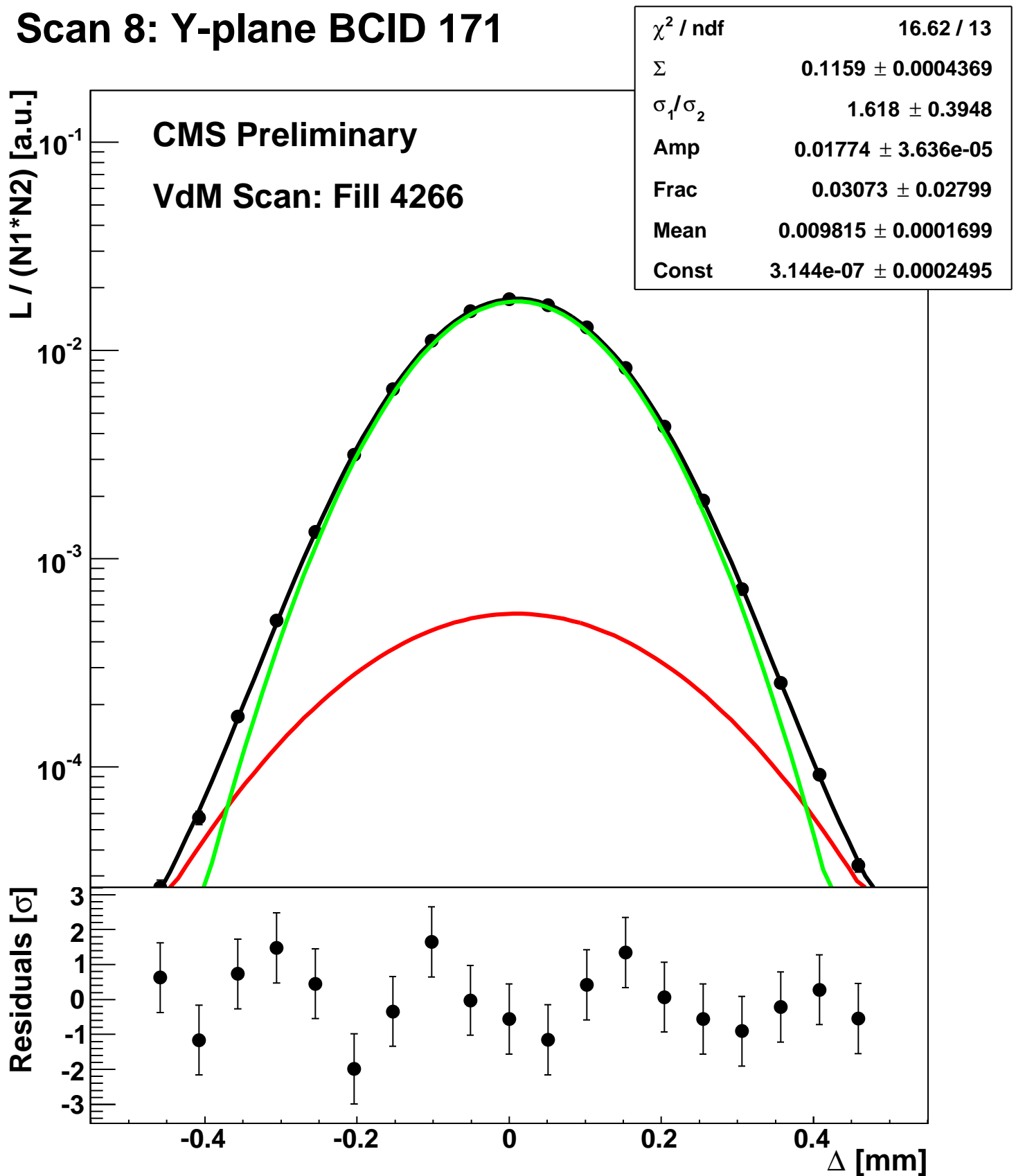
Scan 8: Y-plane BCID 1671



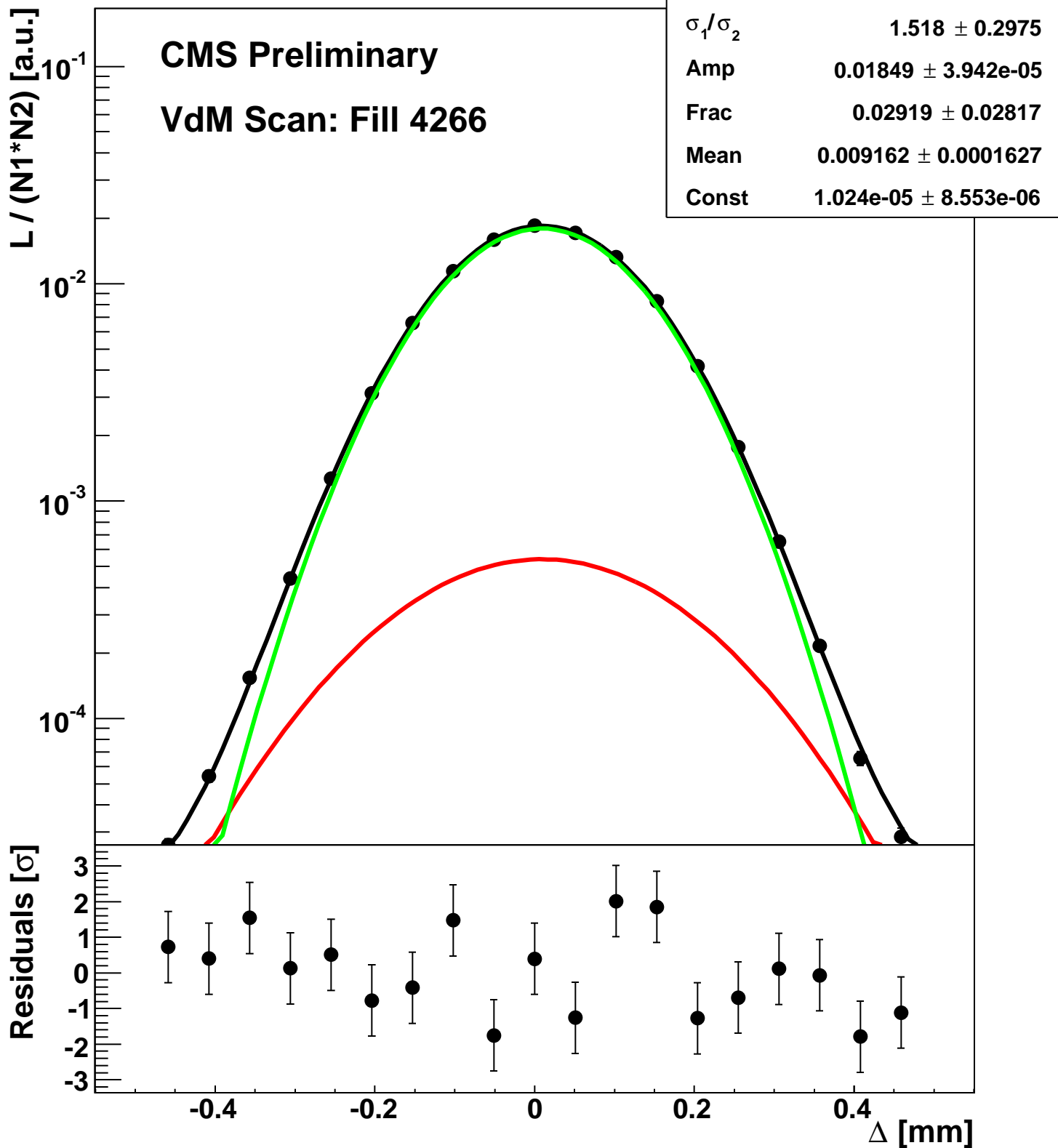
Scan 8: Y-plane BCID 1711



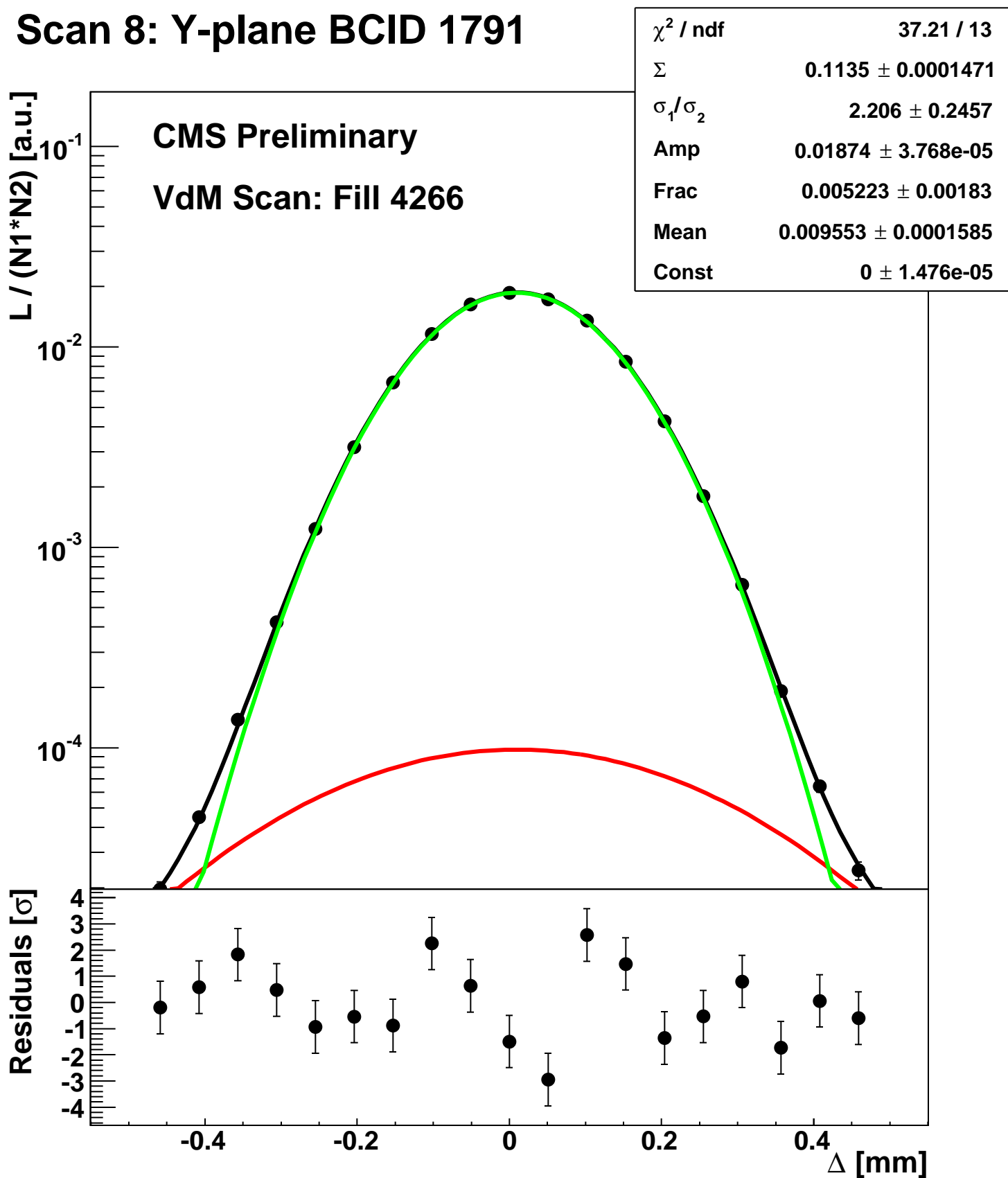
Scan 8: Y-plane BCID 171



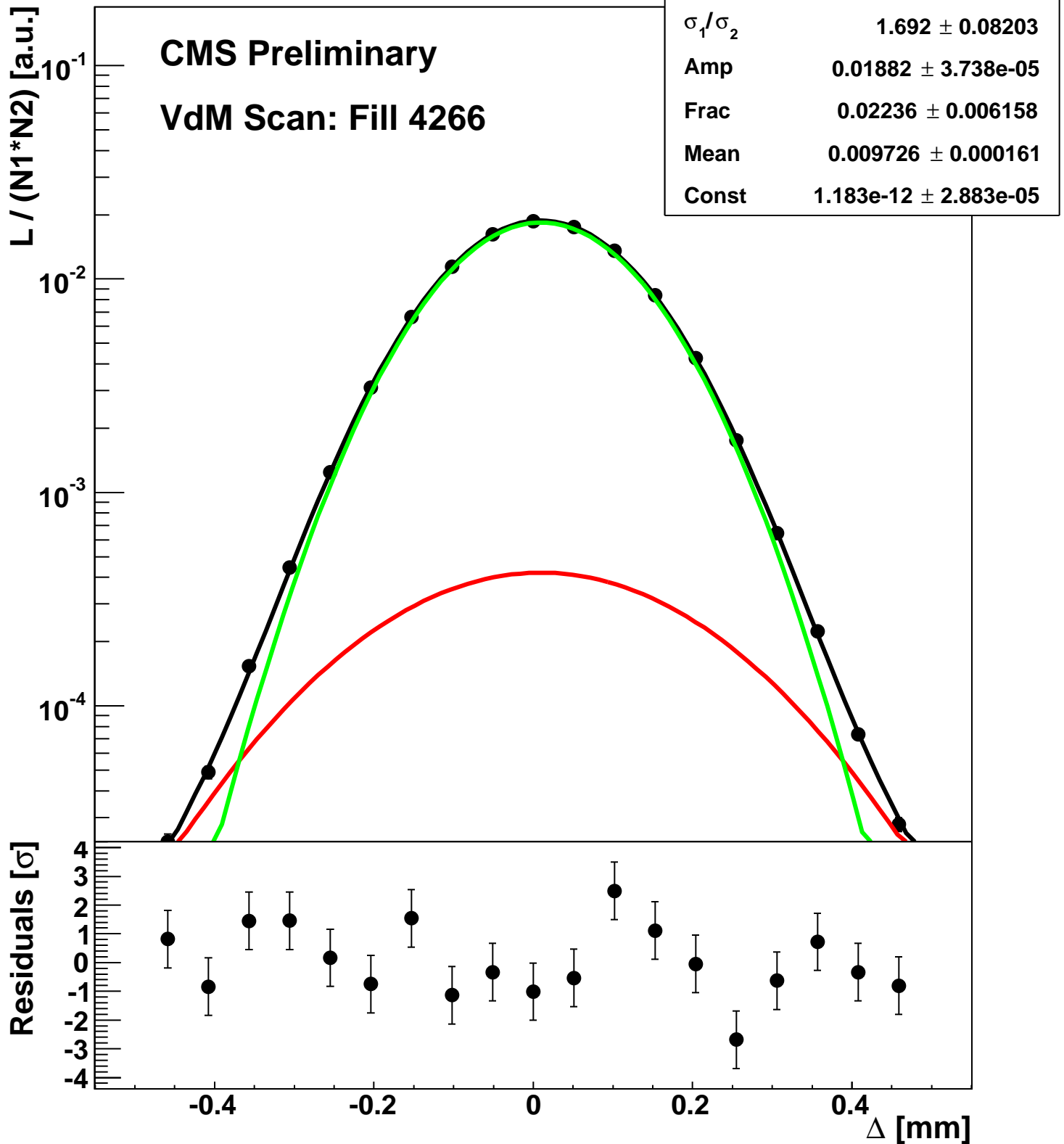
Scan 8: Y-plane BCID 1751



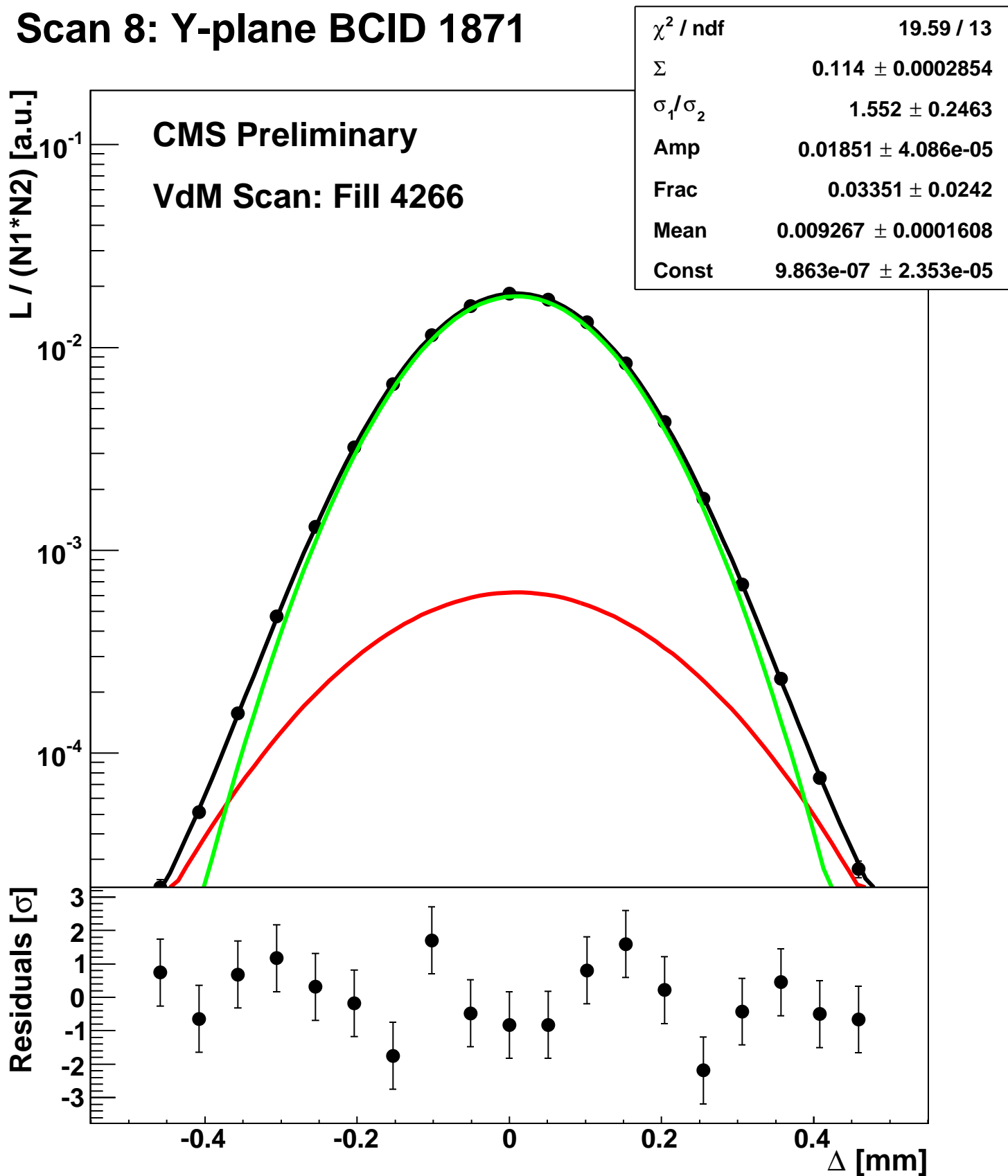
Scan 8: Y-plane BCID 1791



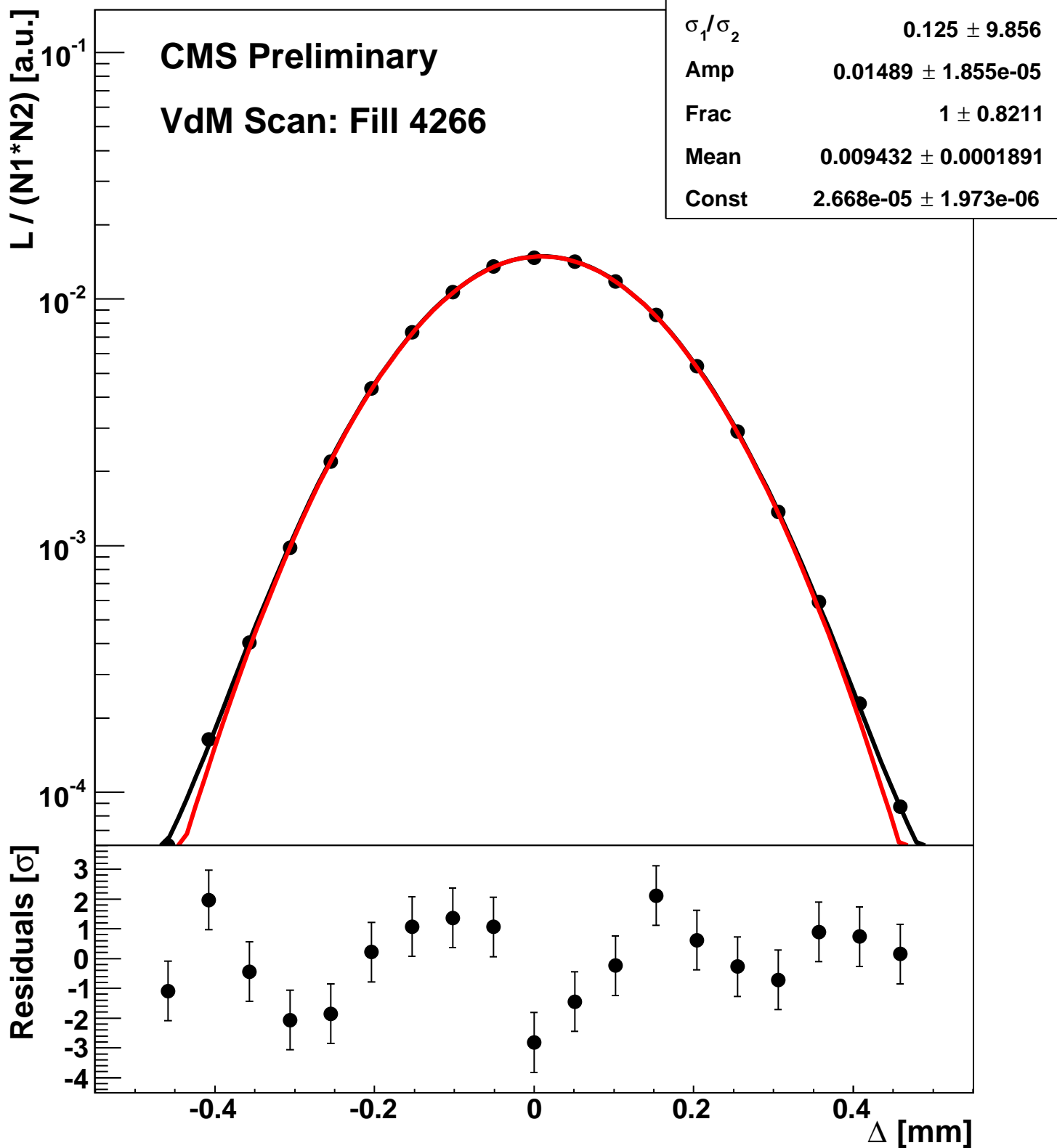
Scan 8: Y-plane BCID 1831



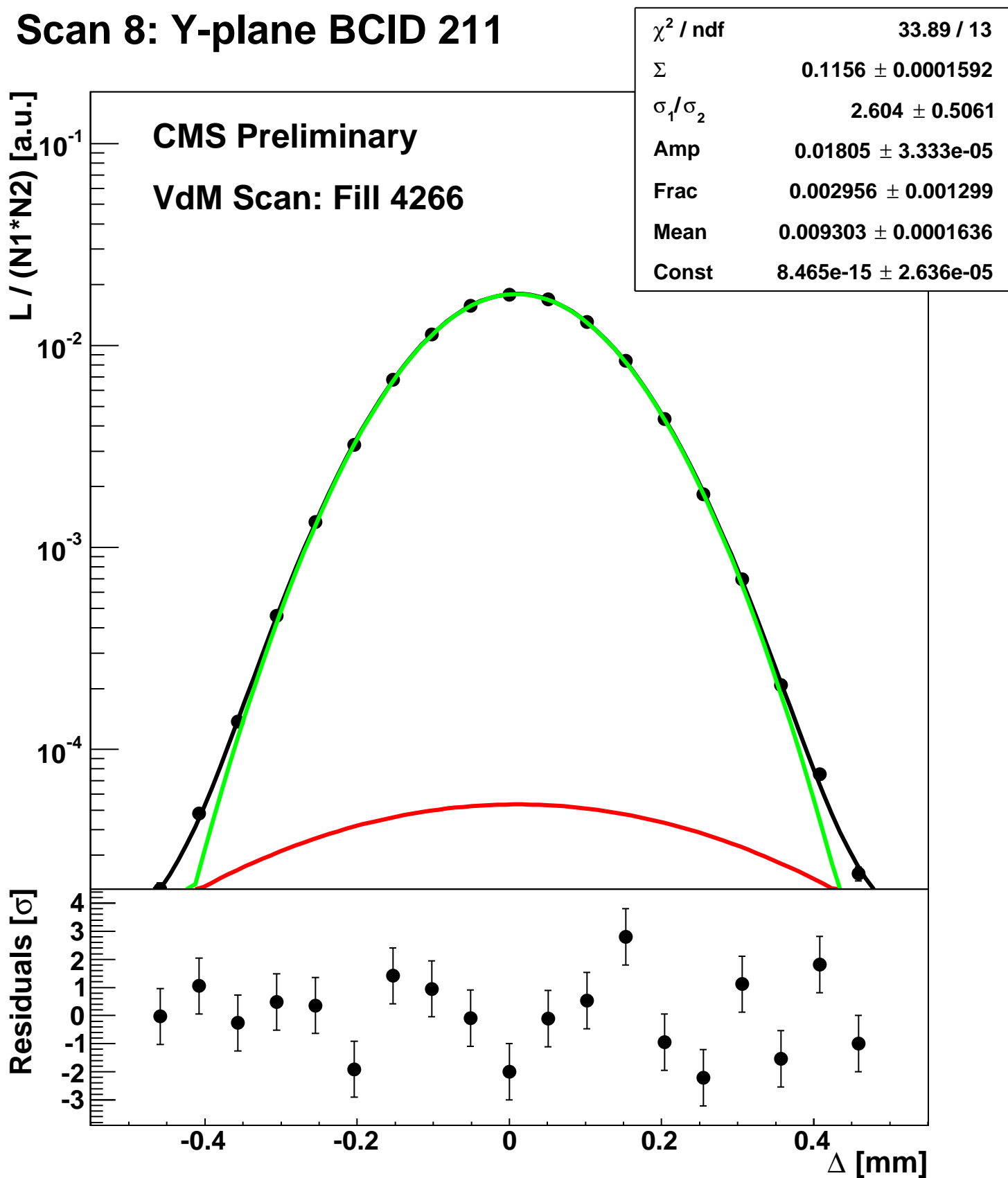
Scan 8: Y-plane BCID 1871



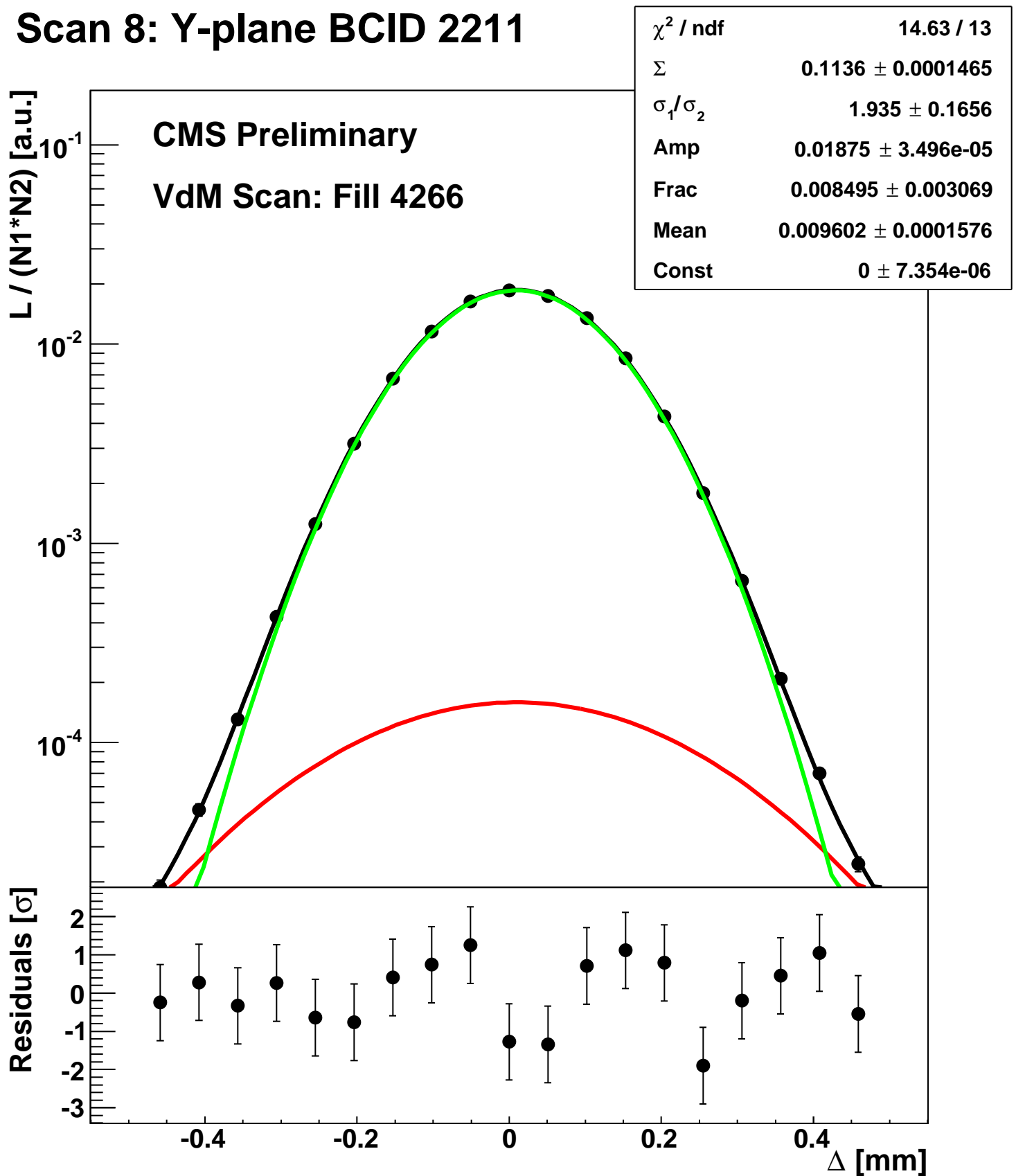
Scan 8: Y-plane BCID 1



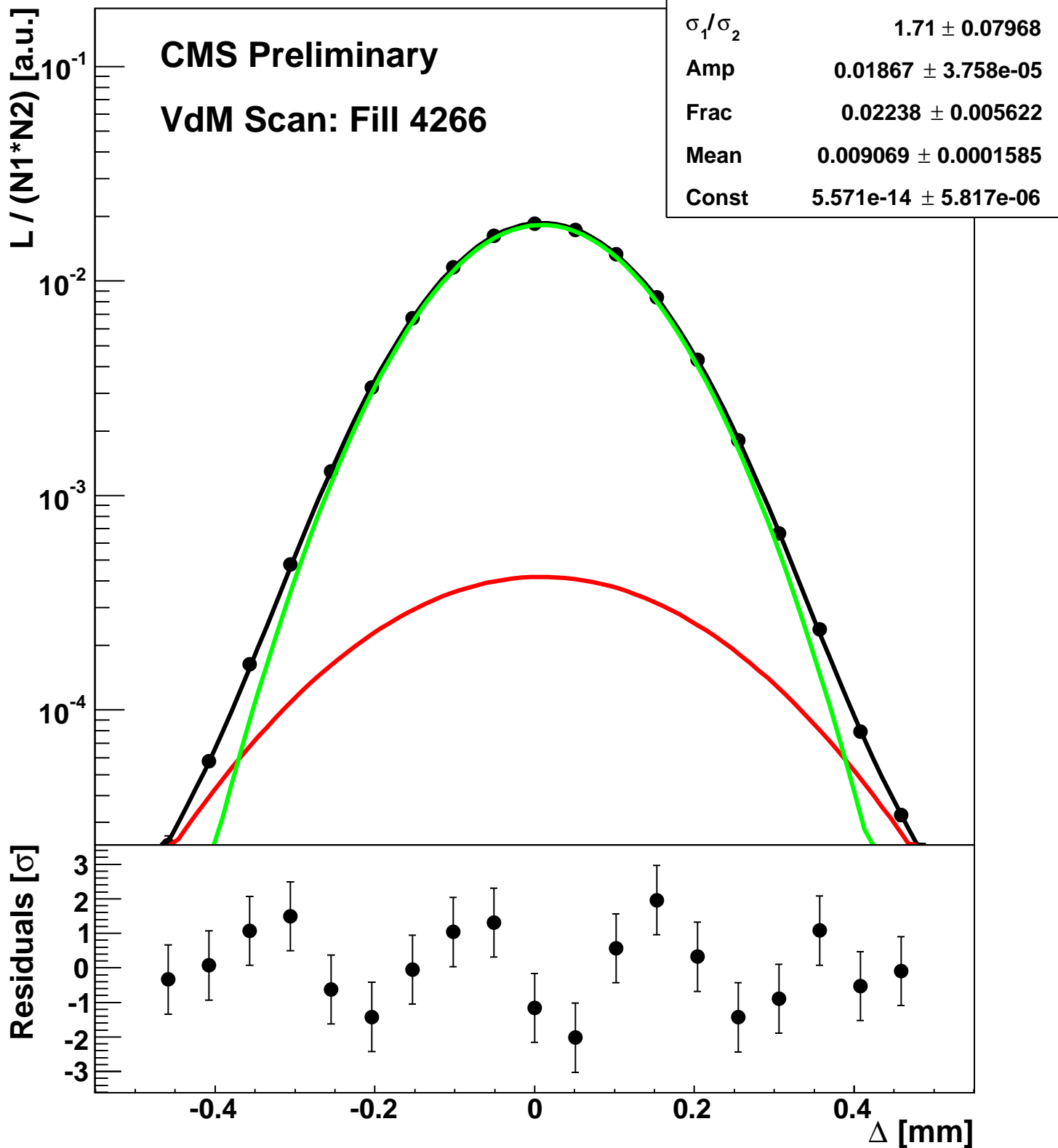
Scan 8: Y-plane BCID 211



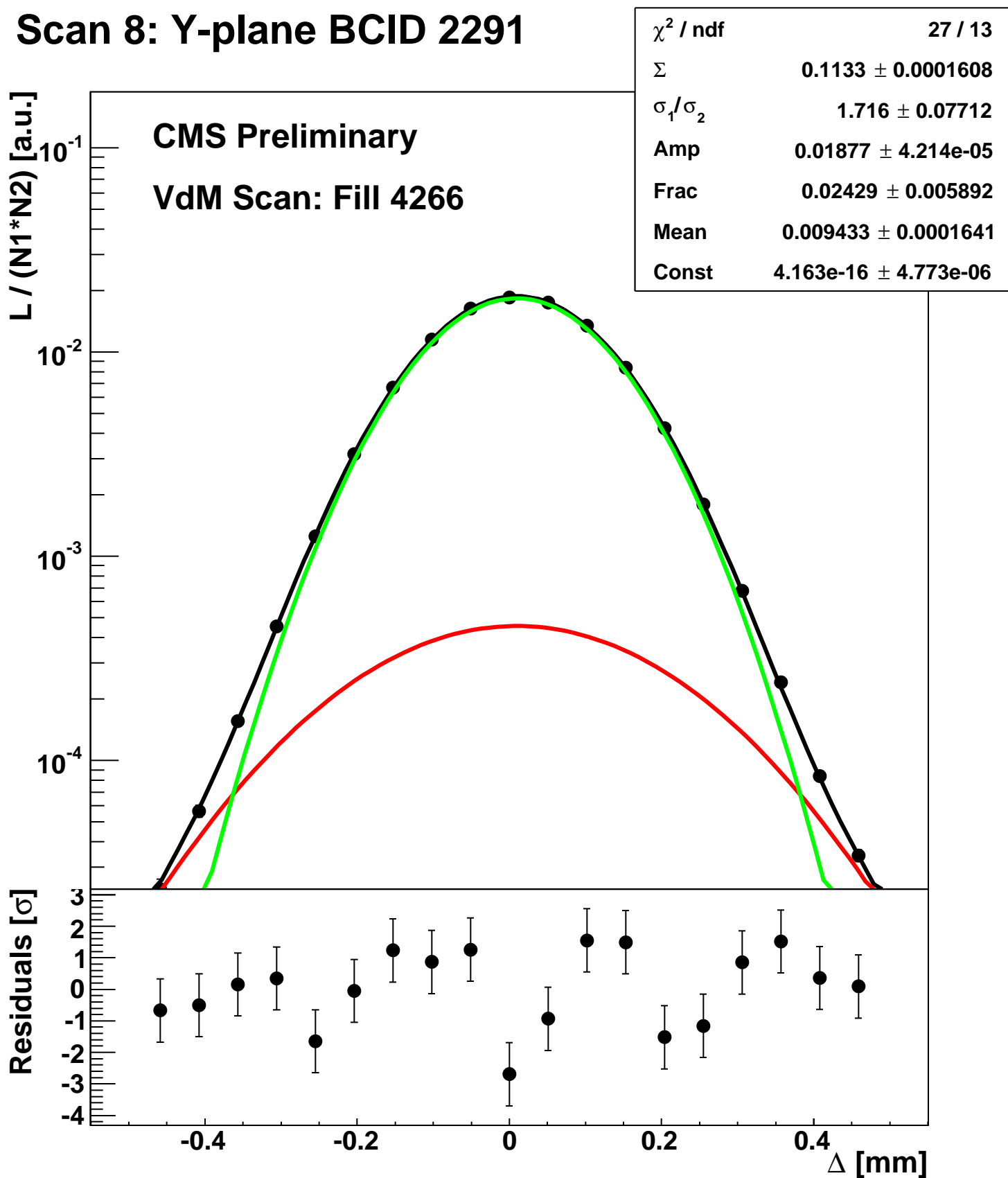
Scan 8: Y-plane BCID 2211



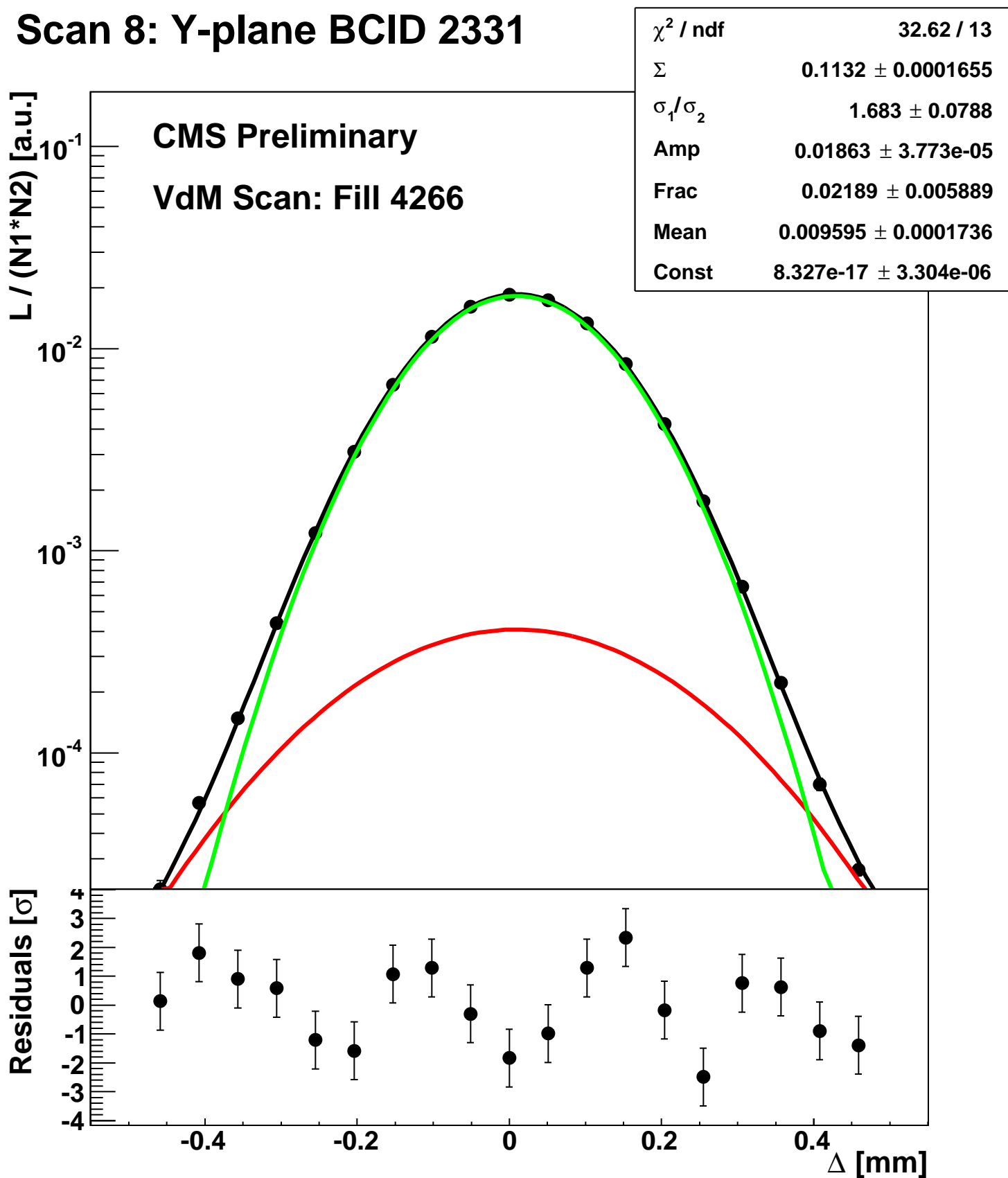
Scan 8: Y-plane BCID 2251



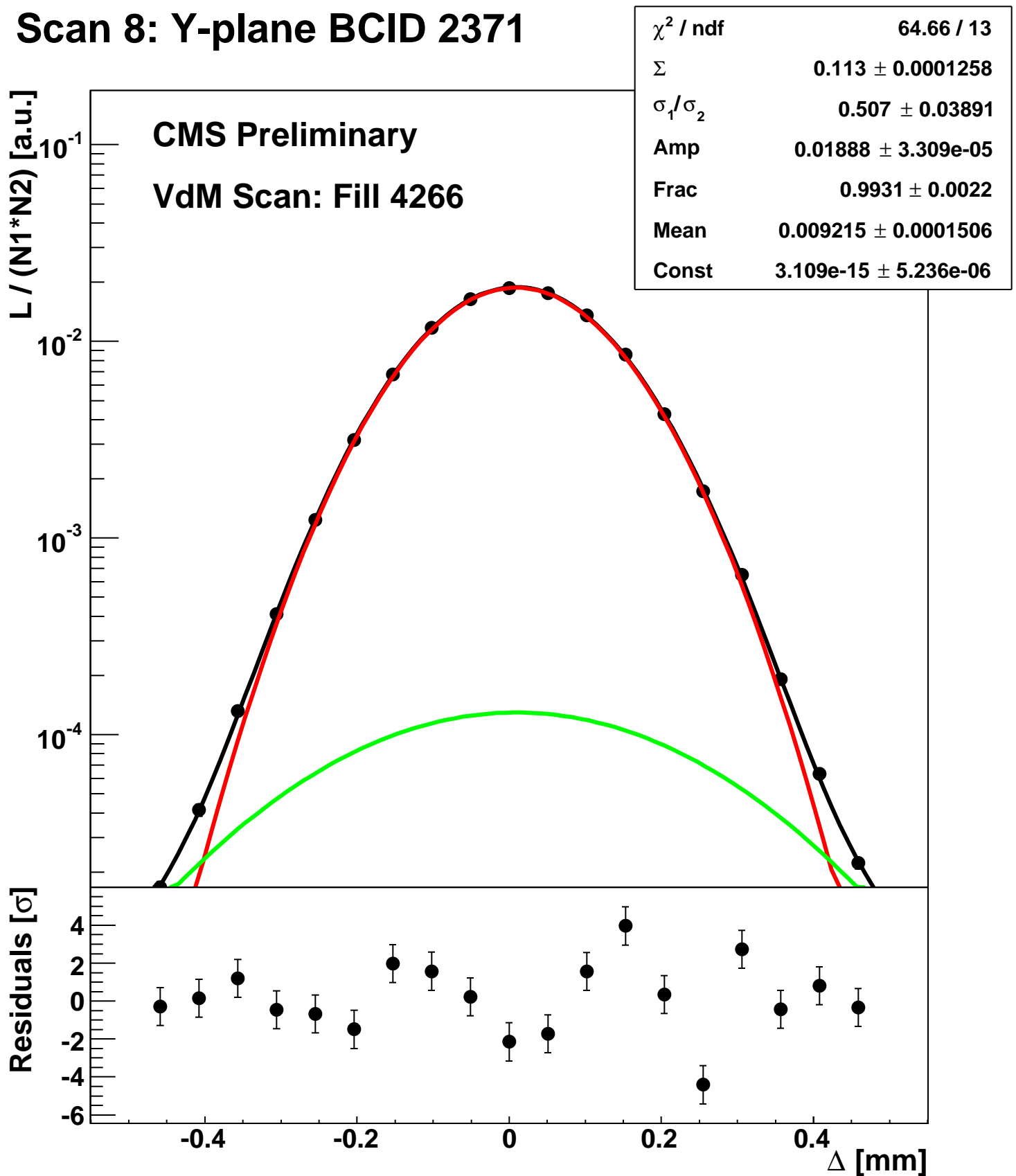
Scan 8: Y-plane BCID 2291



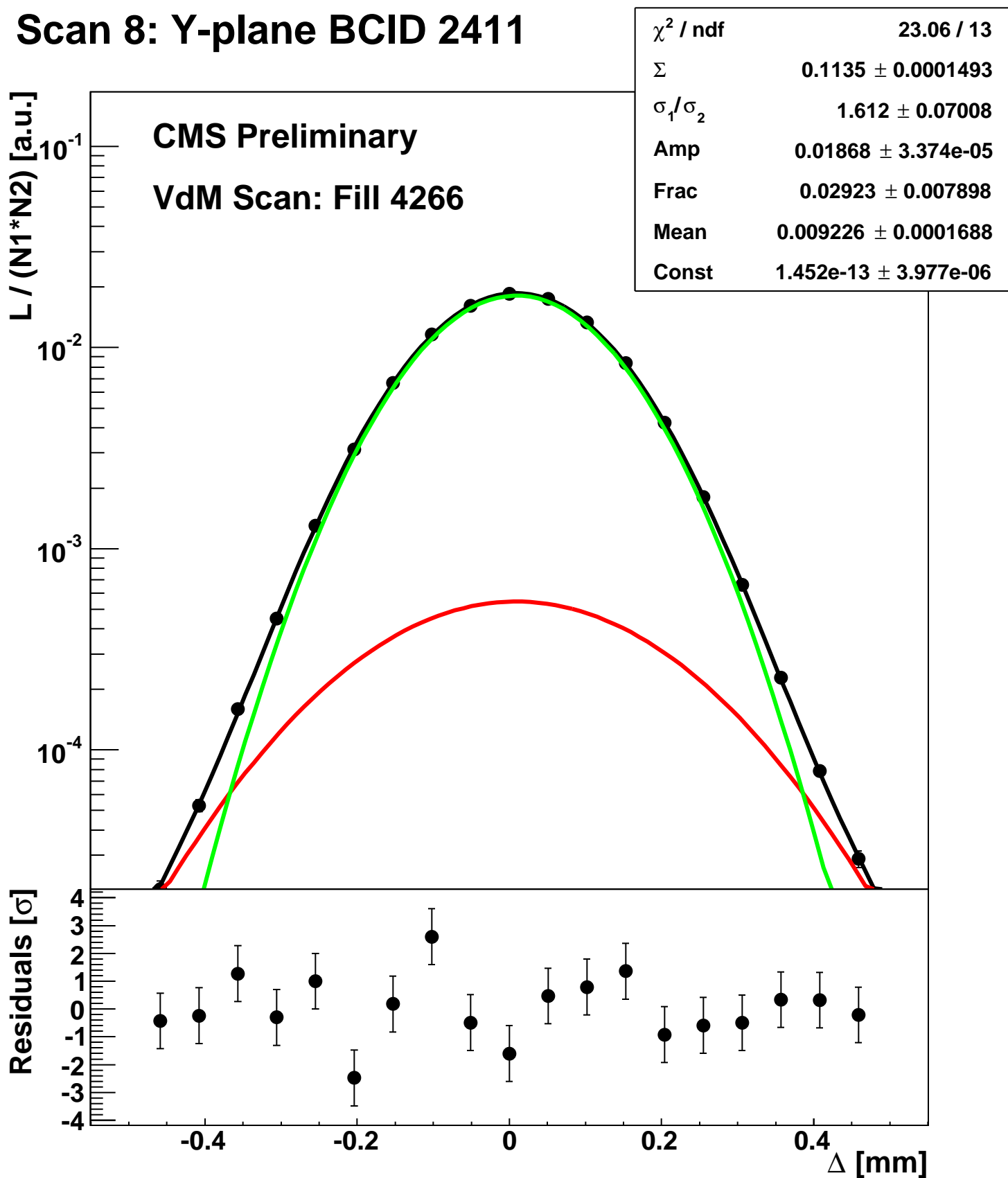
Scan 8: Y-plane BCID 2331



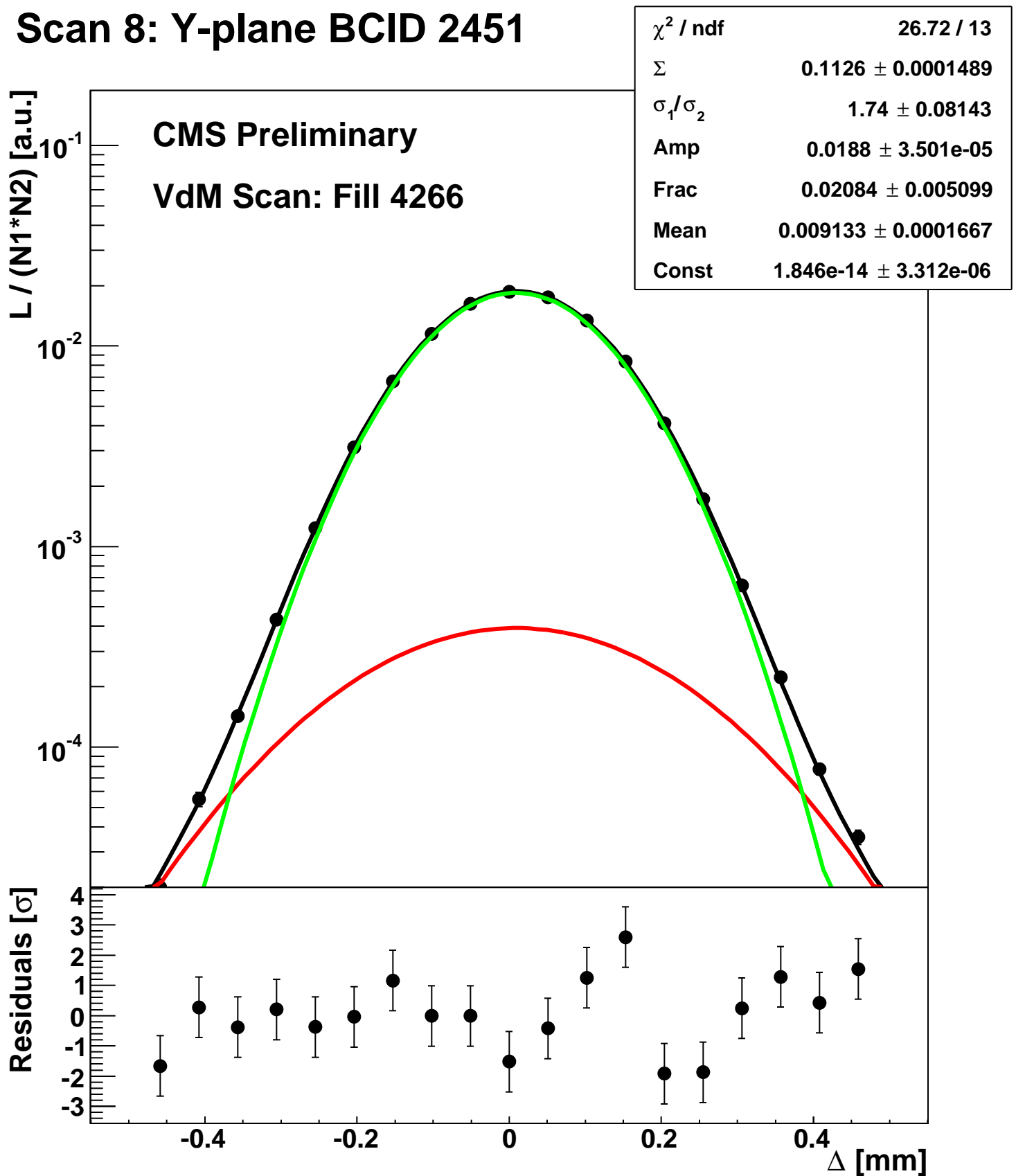
Scan 8: Y-plane BCID 2371



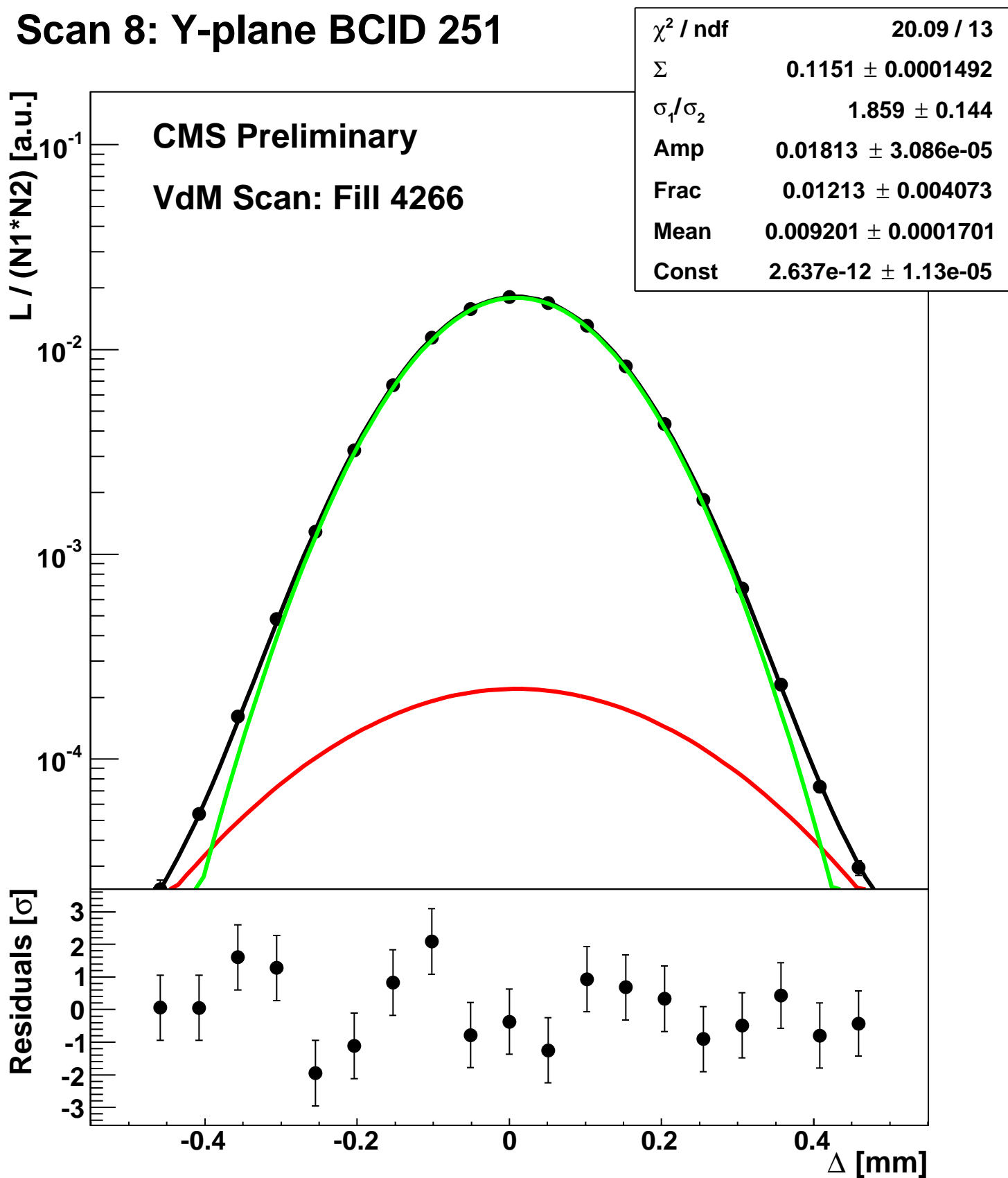
Scan 8: Y-plane BCID 2411



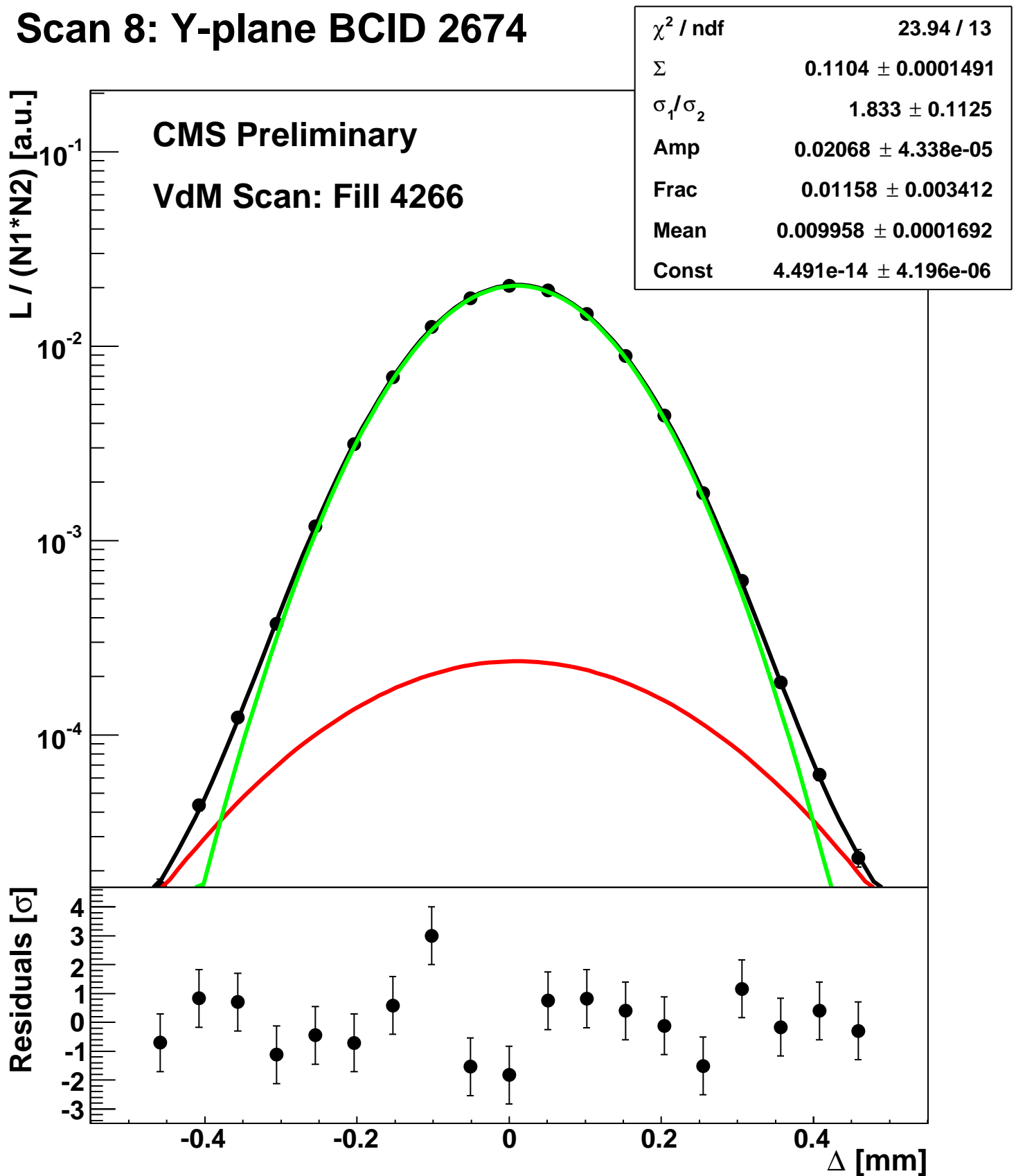
Scan 8: Y-plane BCID 2451



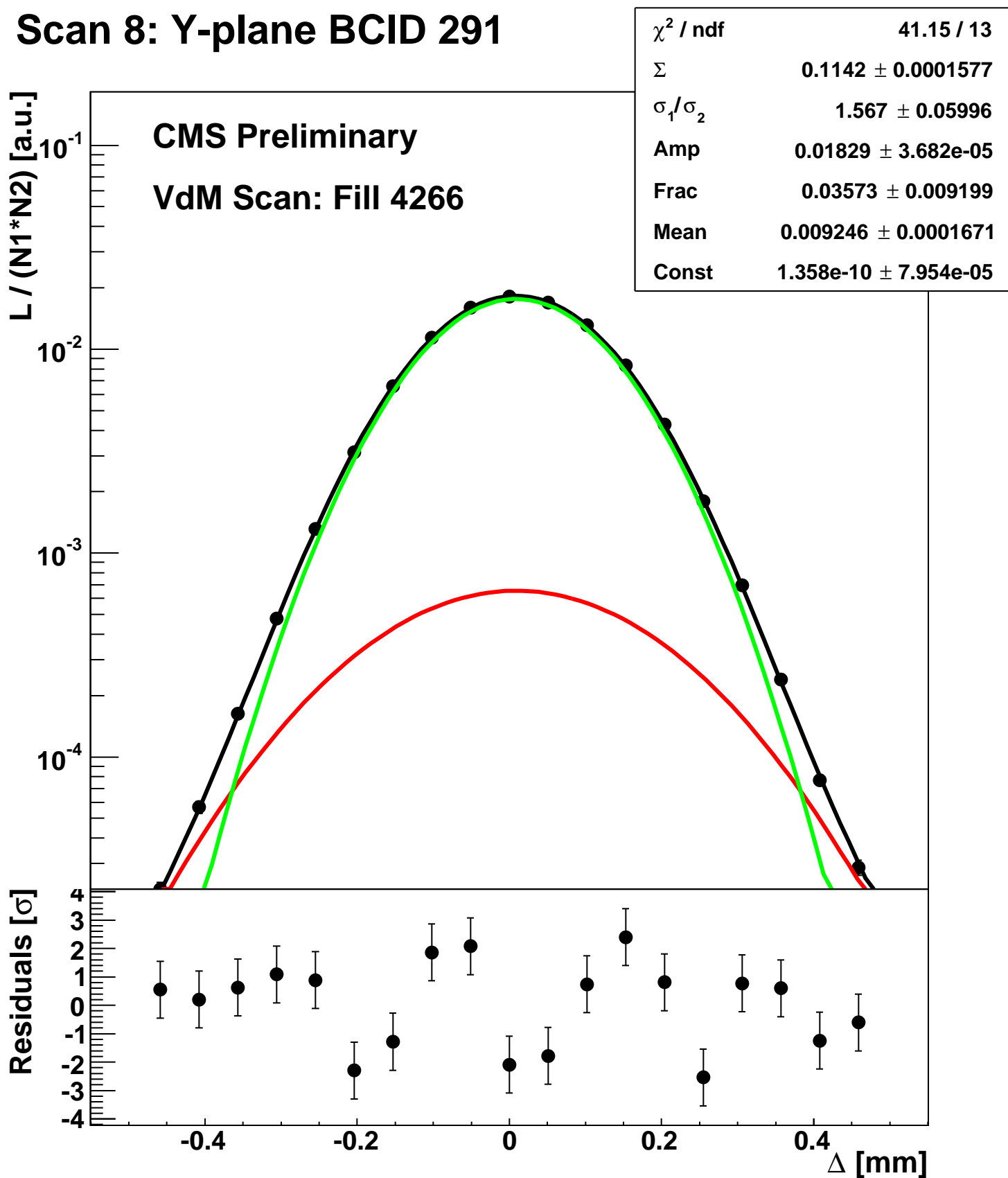
Scan 8: Y-plane BCID 251



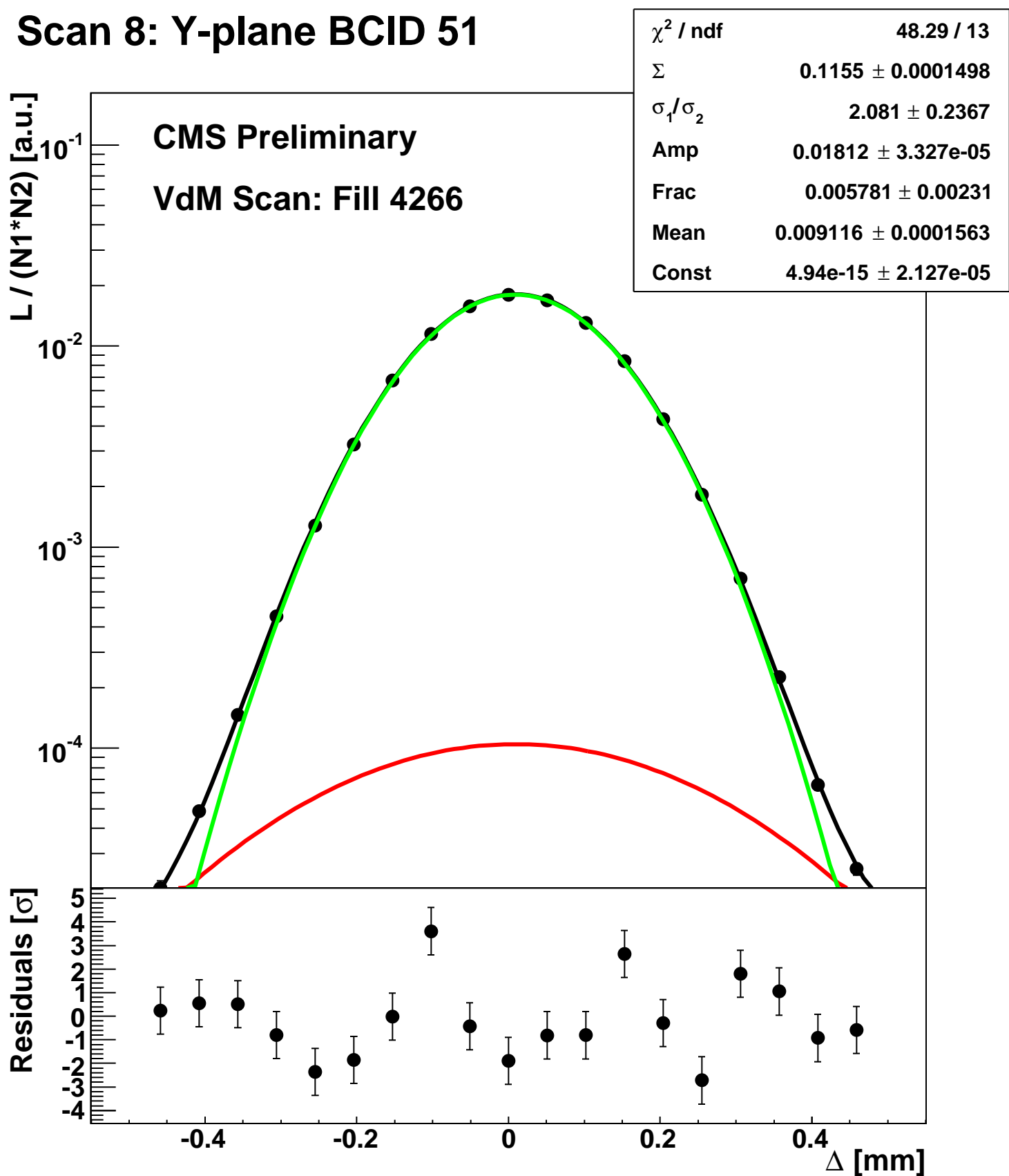
Scan 8: Y-plane BCID 2674



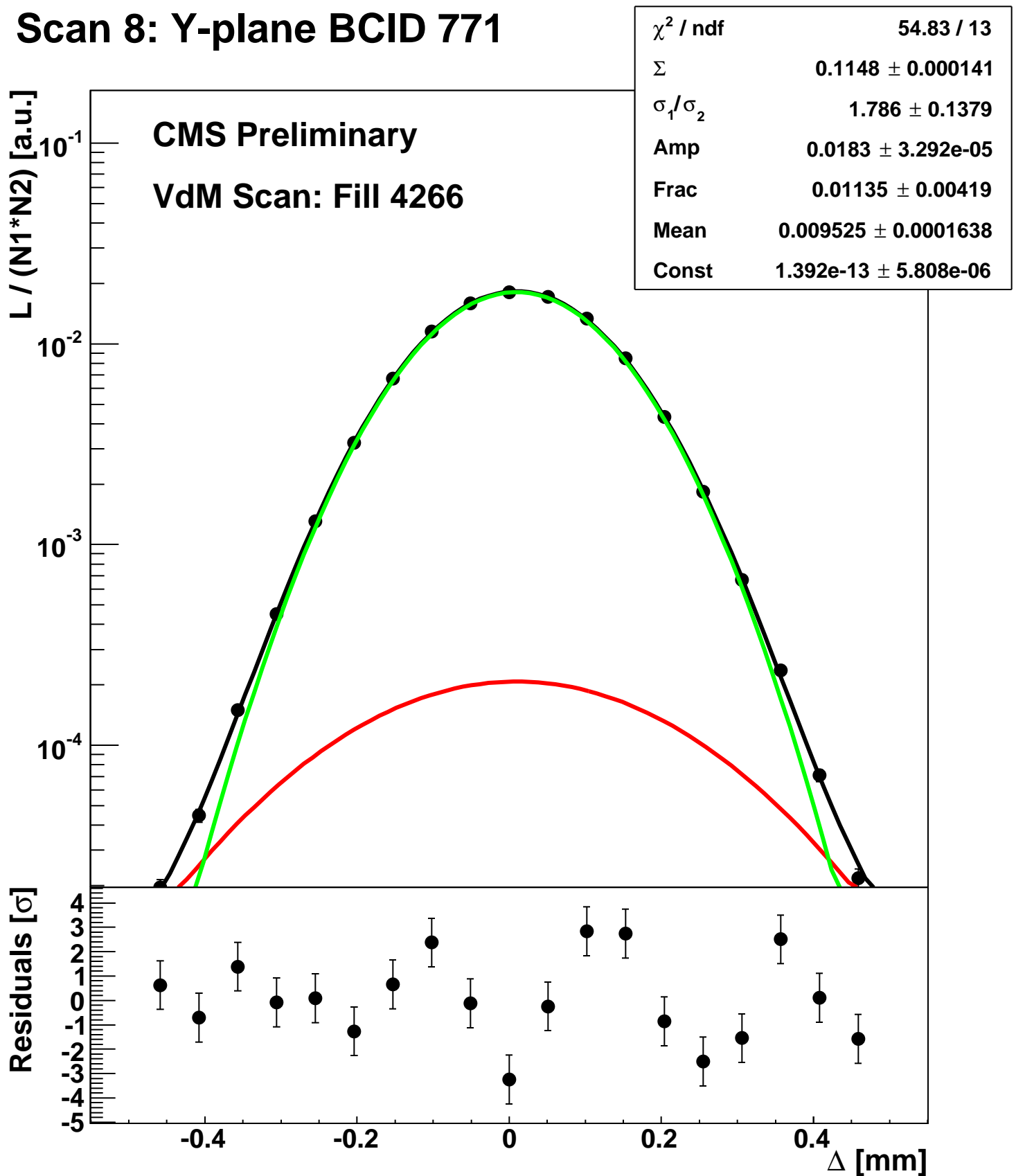
Scan 8: Y-plane BCID 291



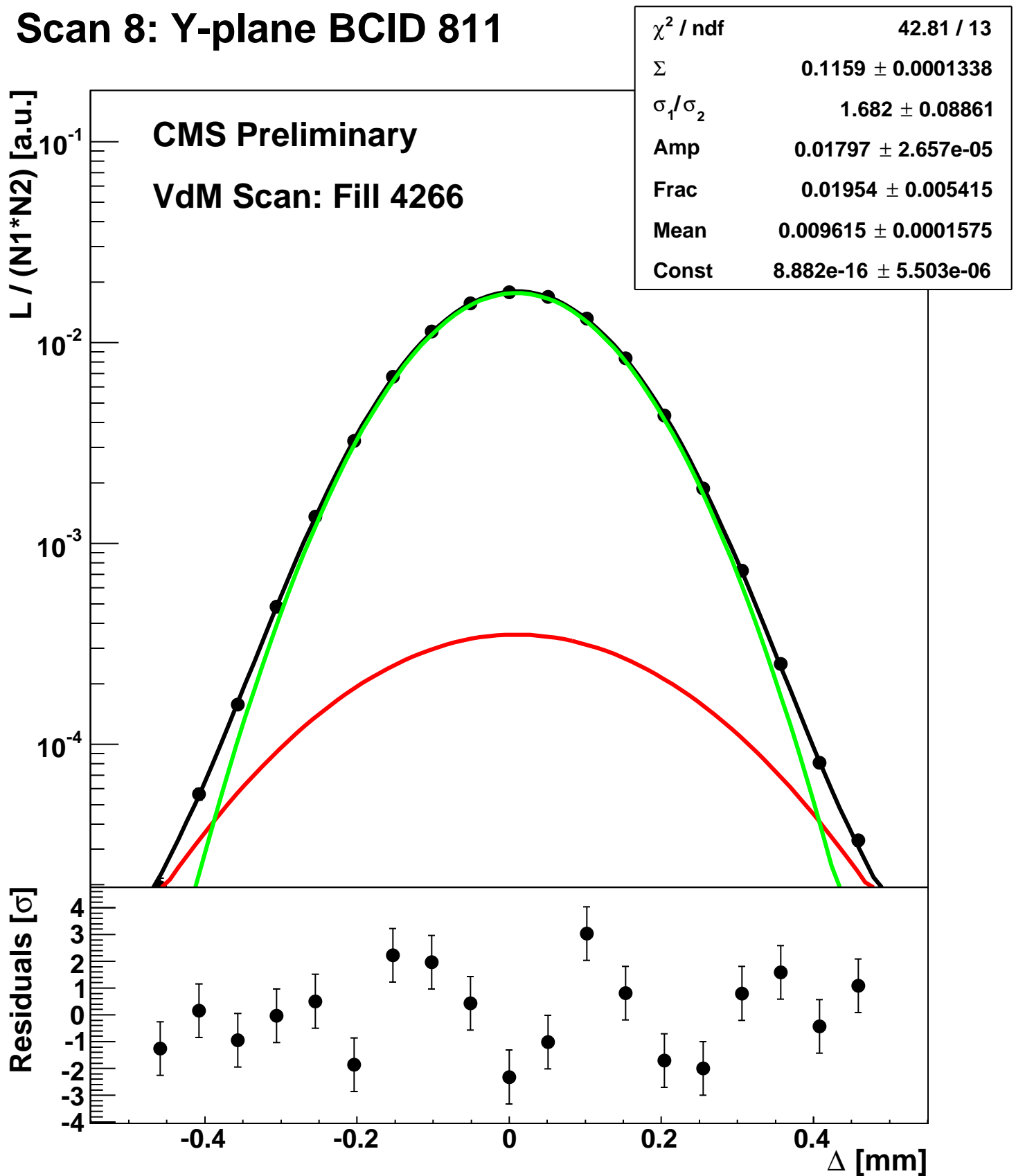
Scan 8: Y-plane BCID 51



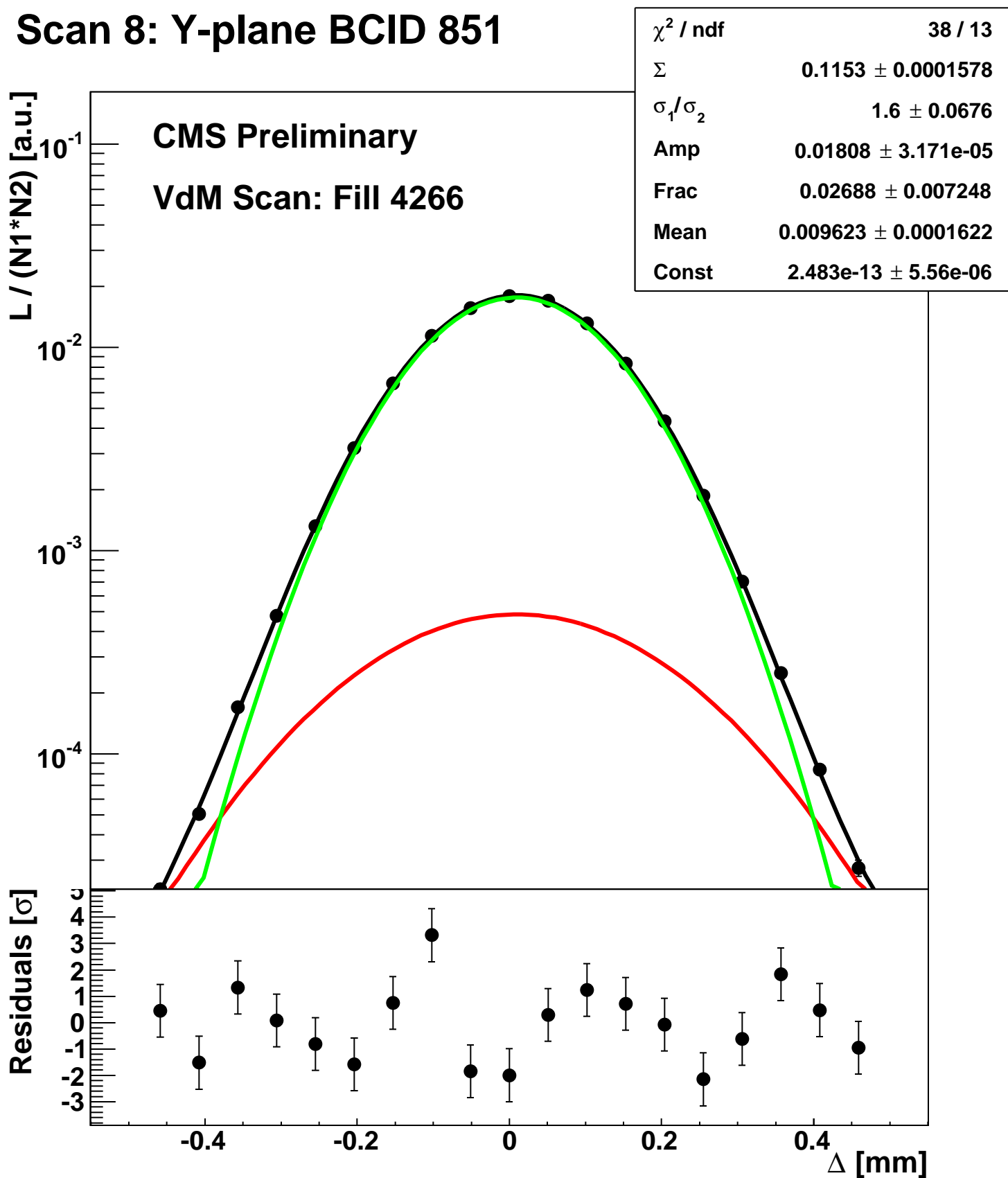
Scan 8: Y-plane BCID 771



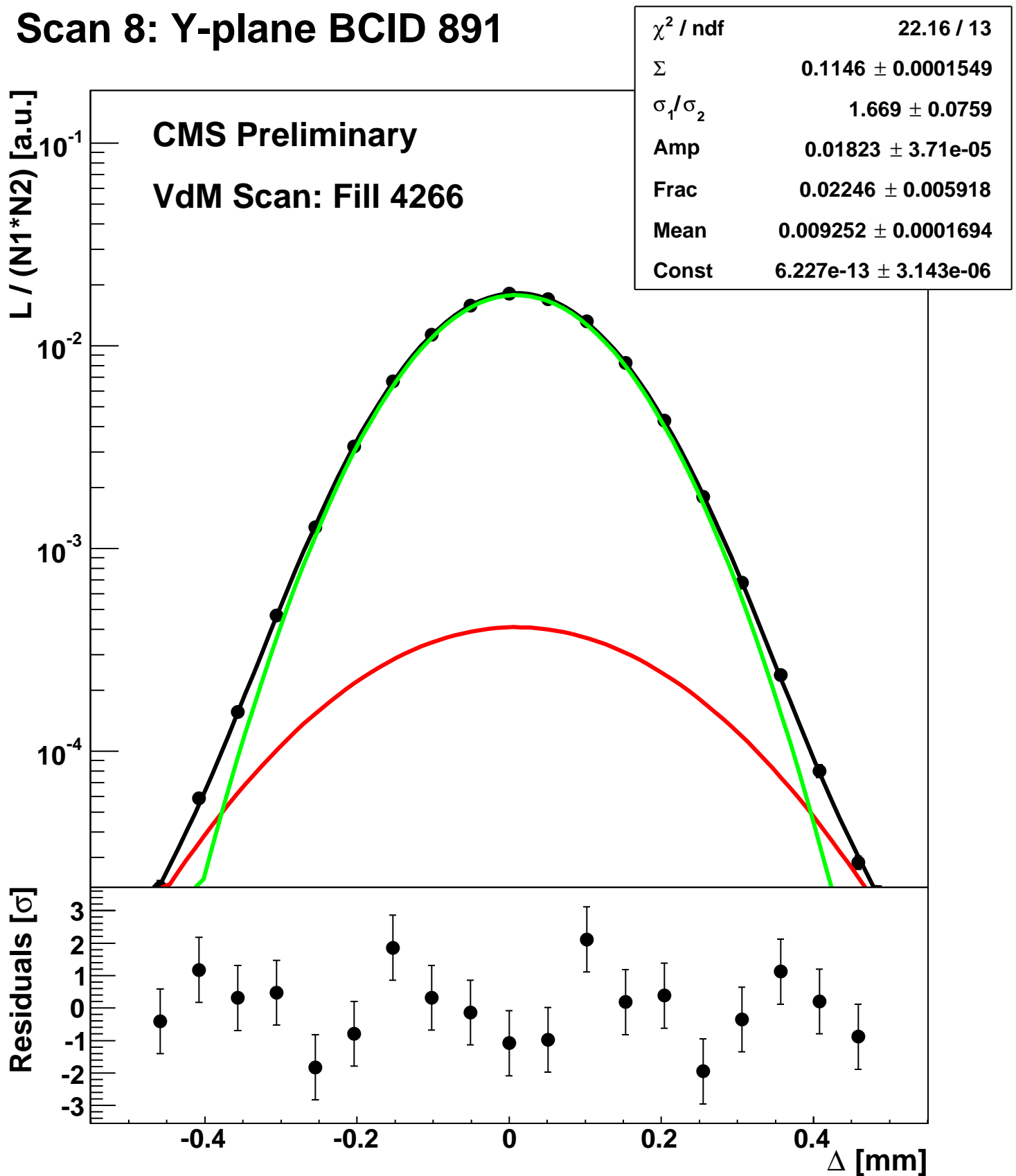
Scan 8: Y-plane BCID 811



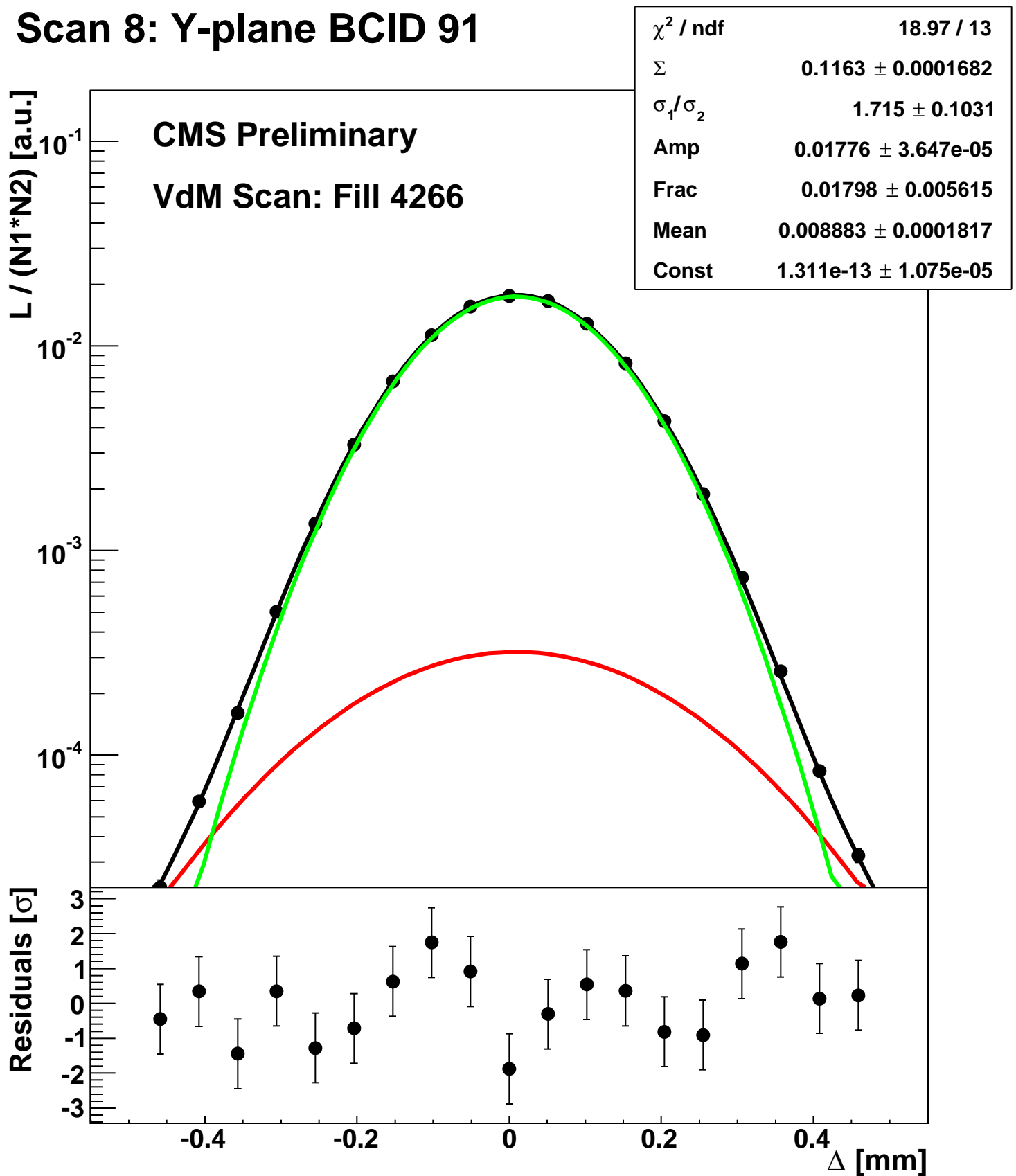
Scan 8: Y-plane BCID 851



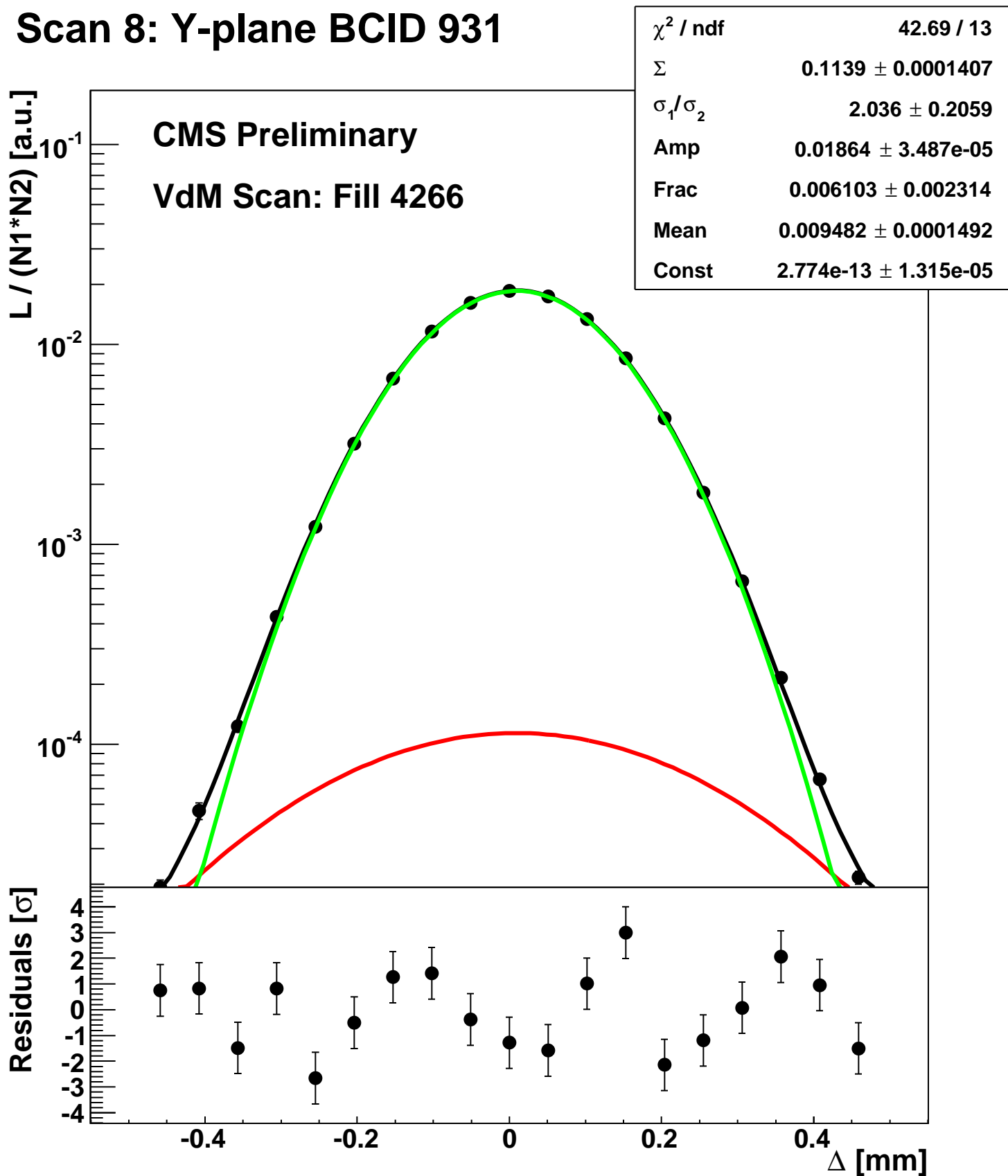
Scan 8: Y-plane BCID 891



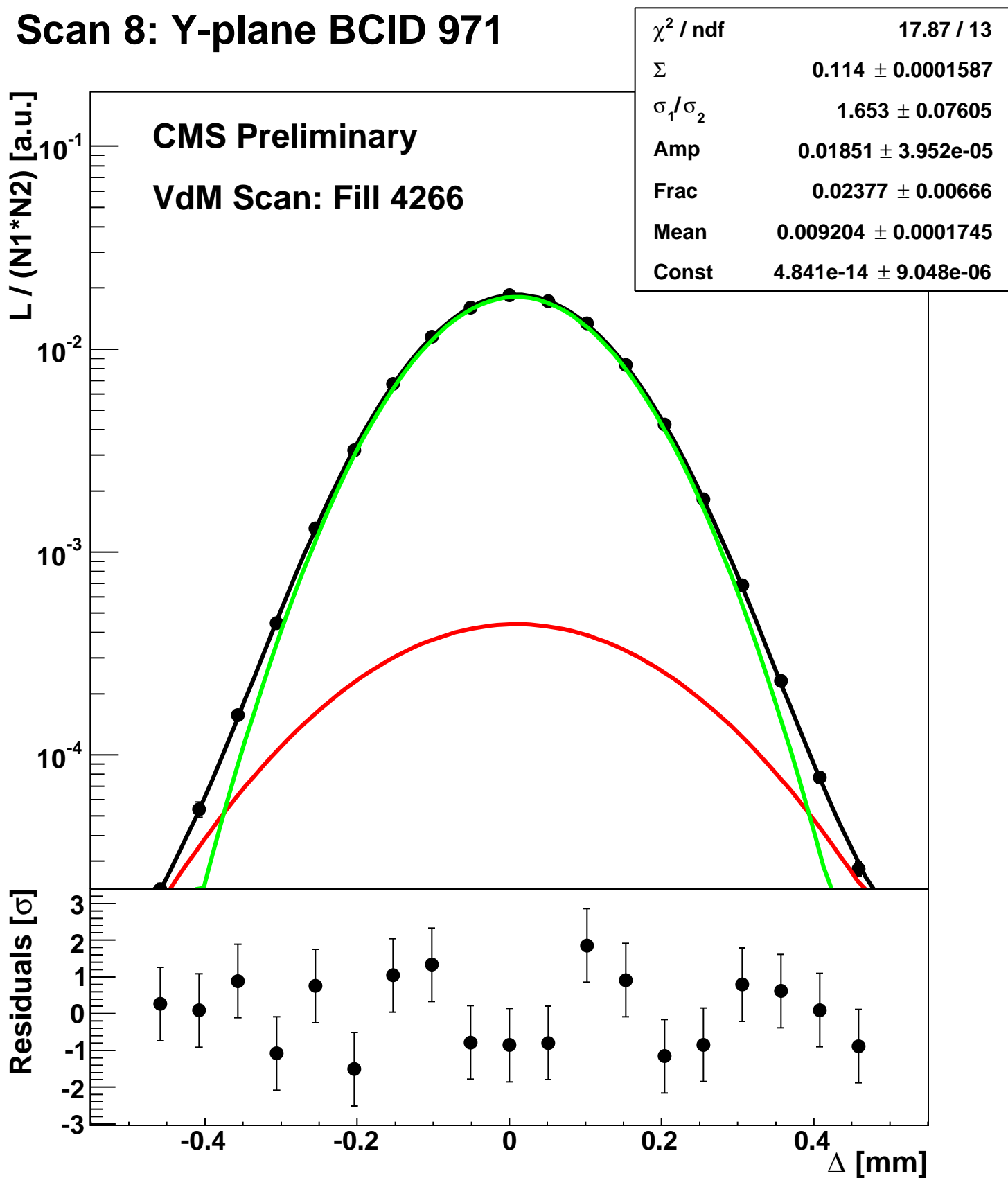
Scan 8: Y-plane BCID 91



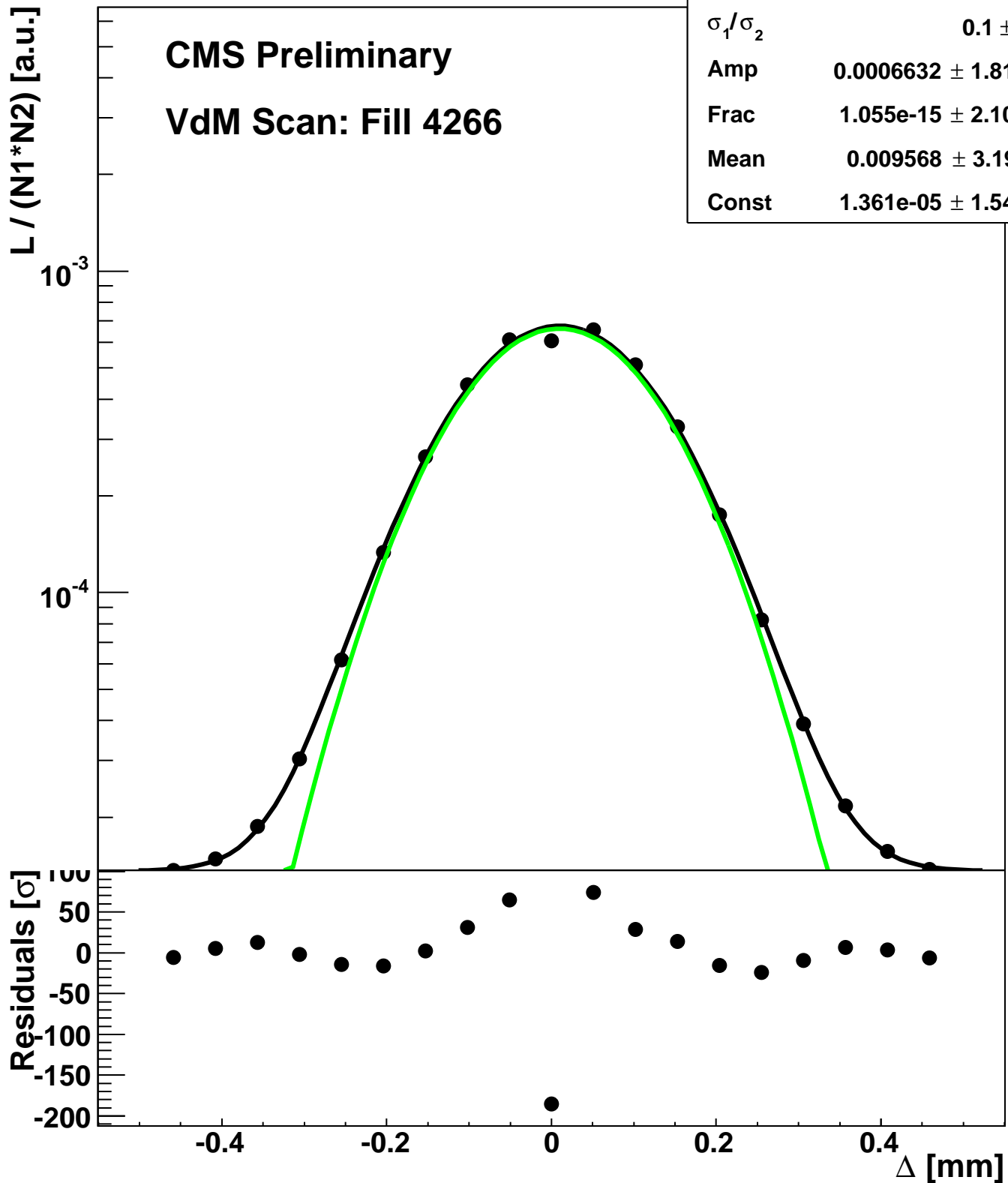
Scan 8: Y-plane BCID 931



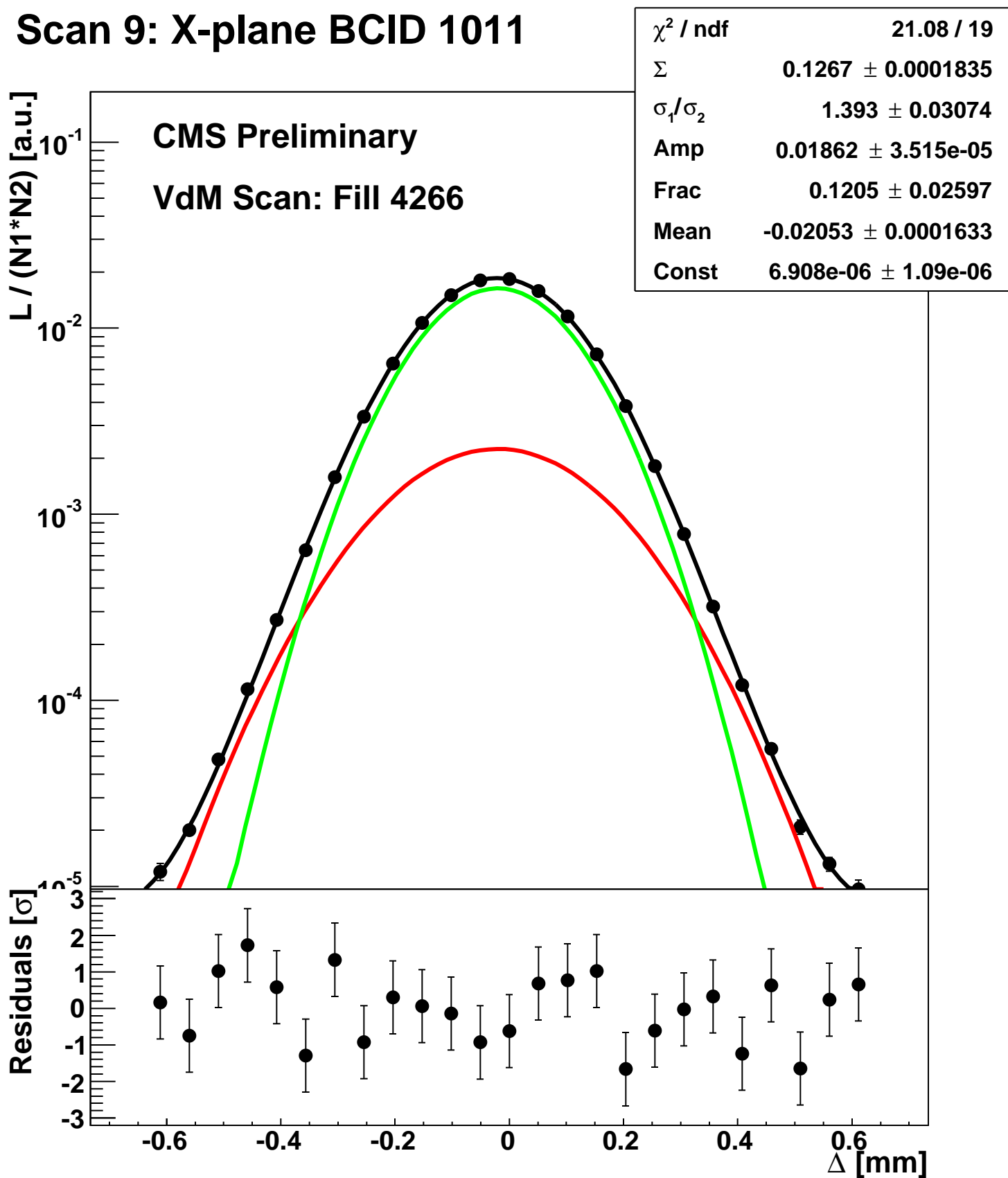
Scan 8: Y-plane BCID 971



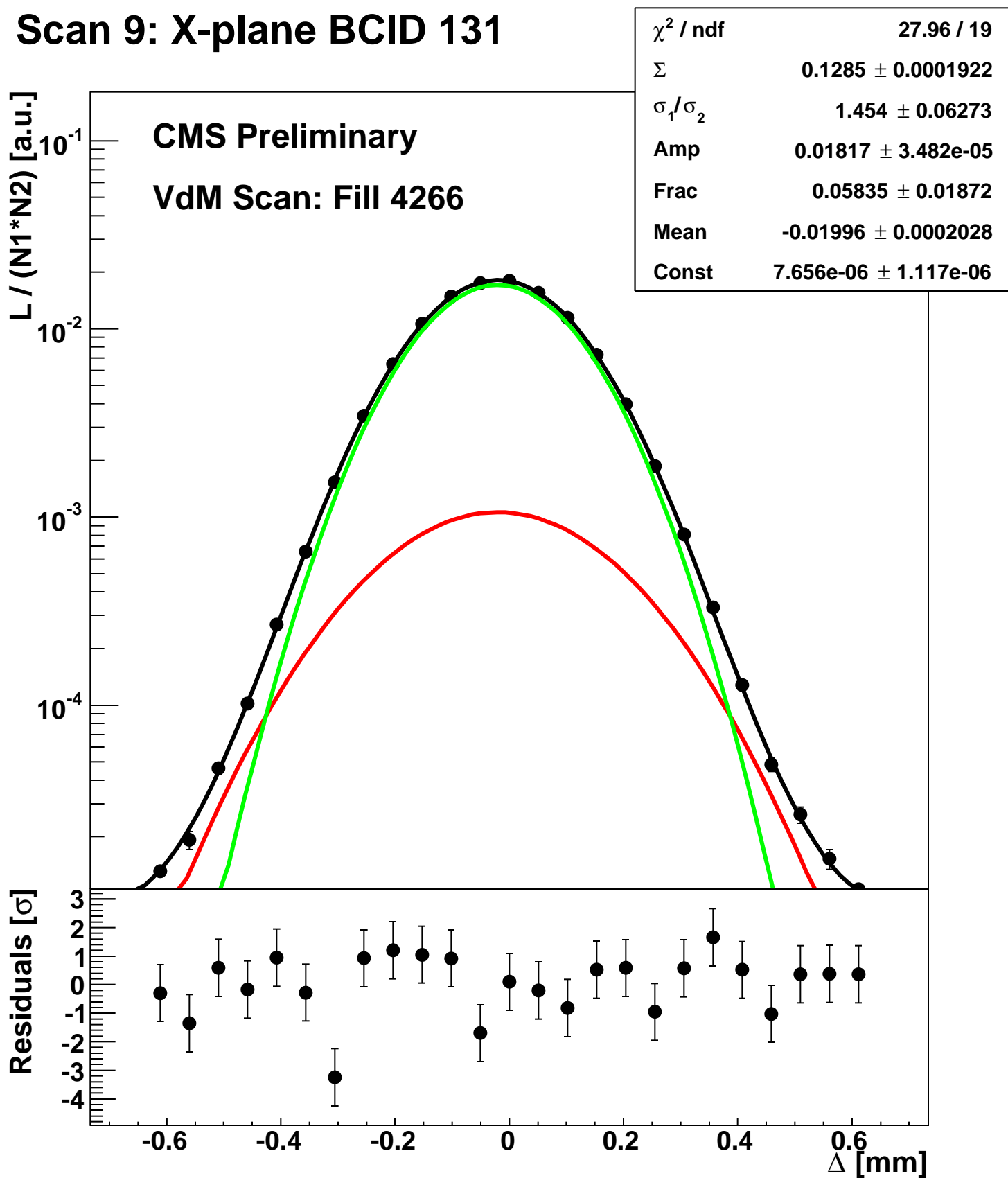
Scan 8: Y-plane BCID sum



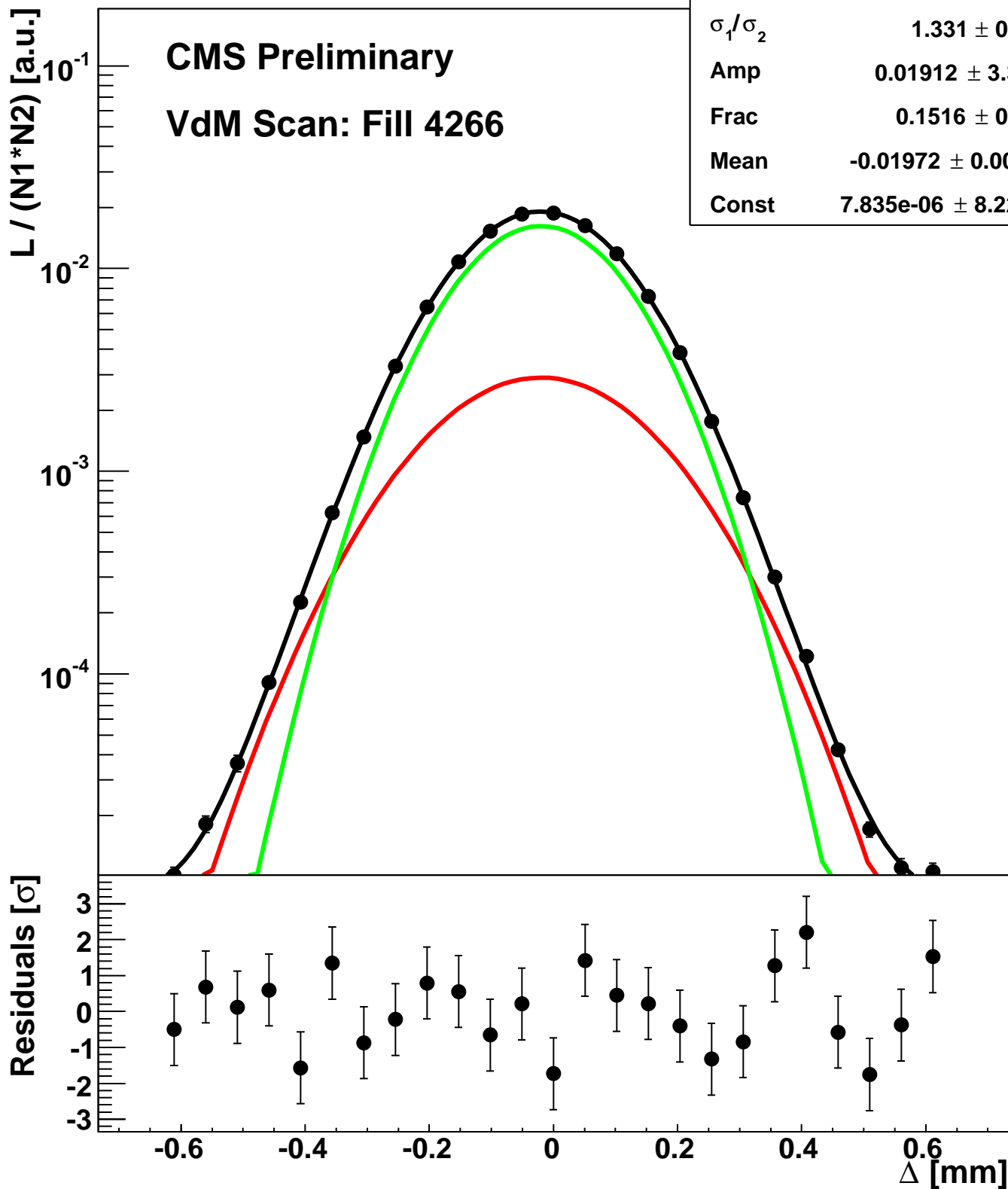
Scan 9: X-plane BCID 1011



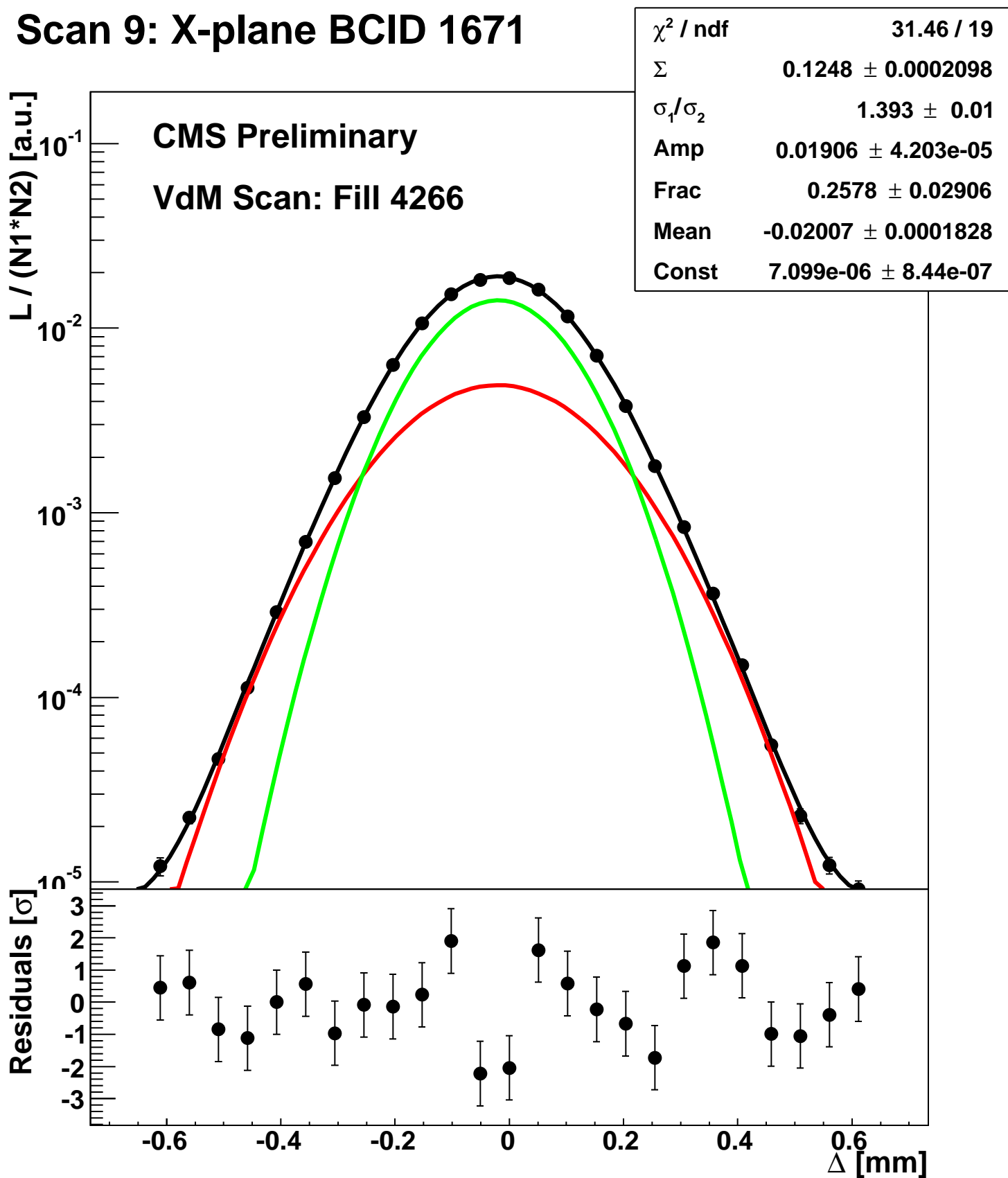
Scan 9: X-plane BCID 131



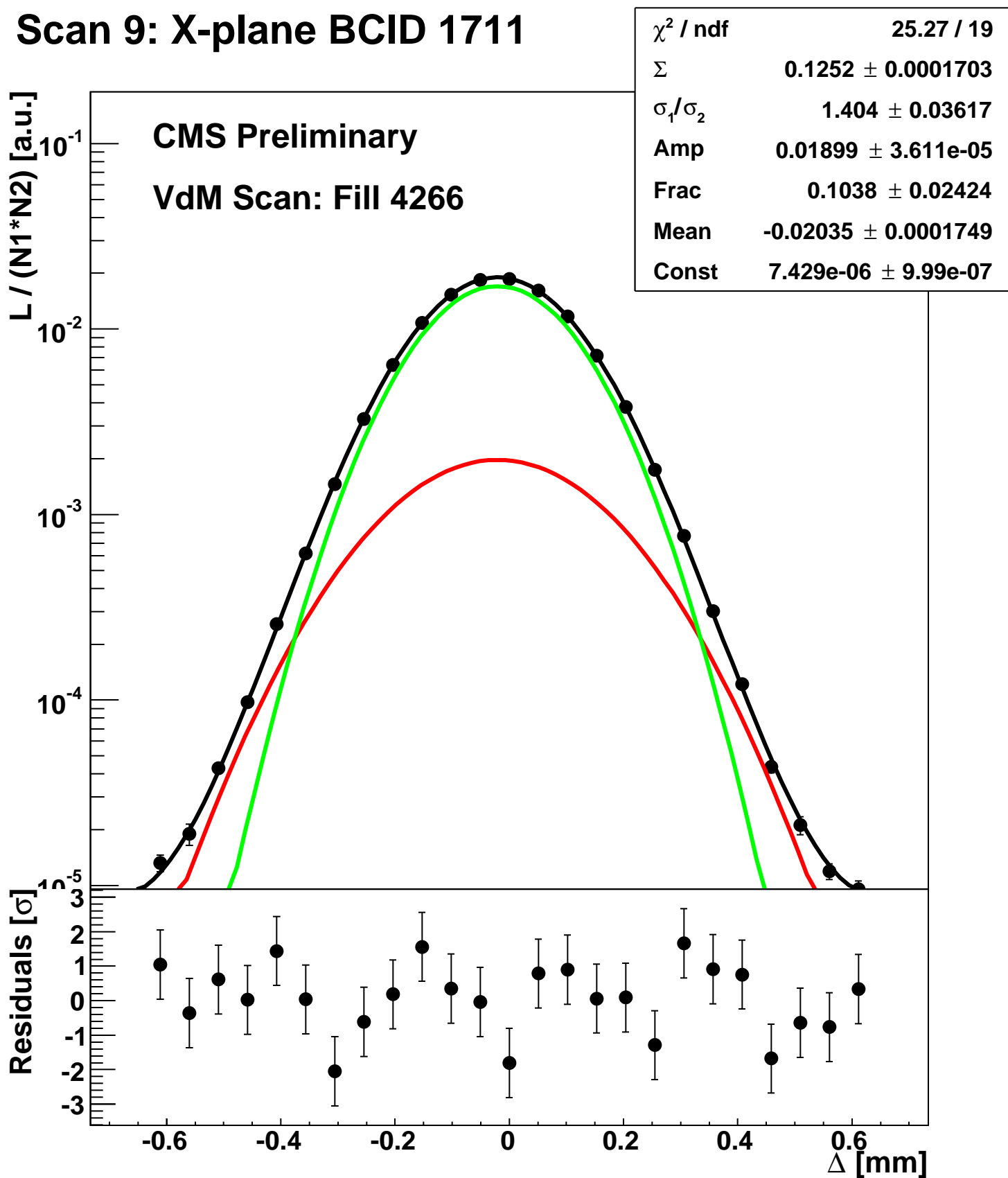
Scan 9: X-plane BCID 1631



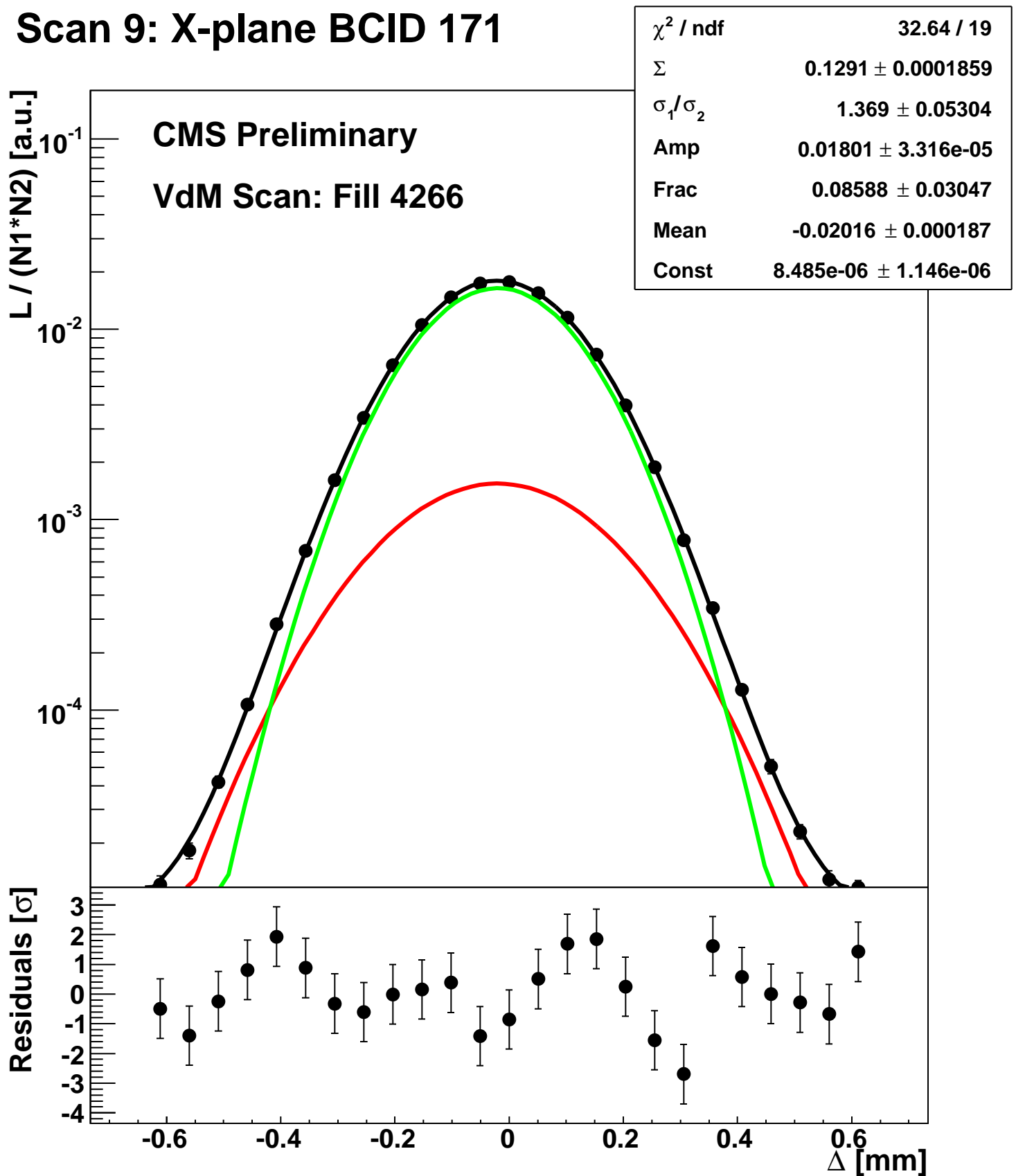
Scan 9: X-plane BCID 1671



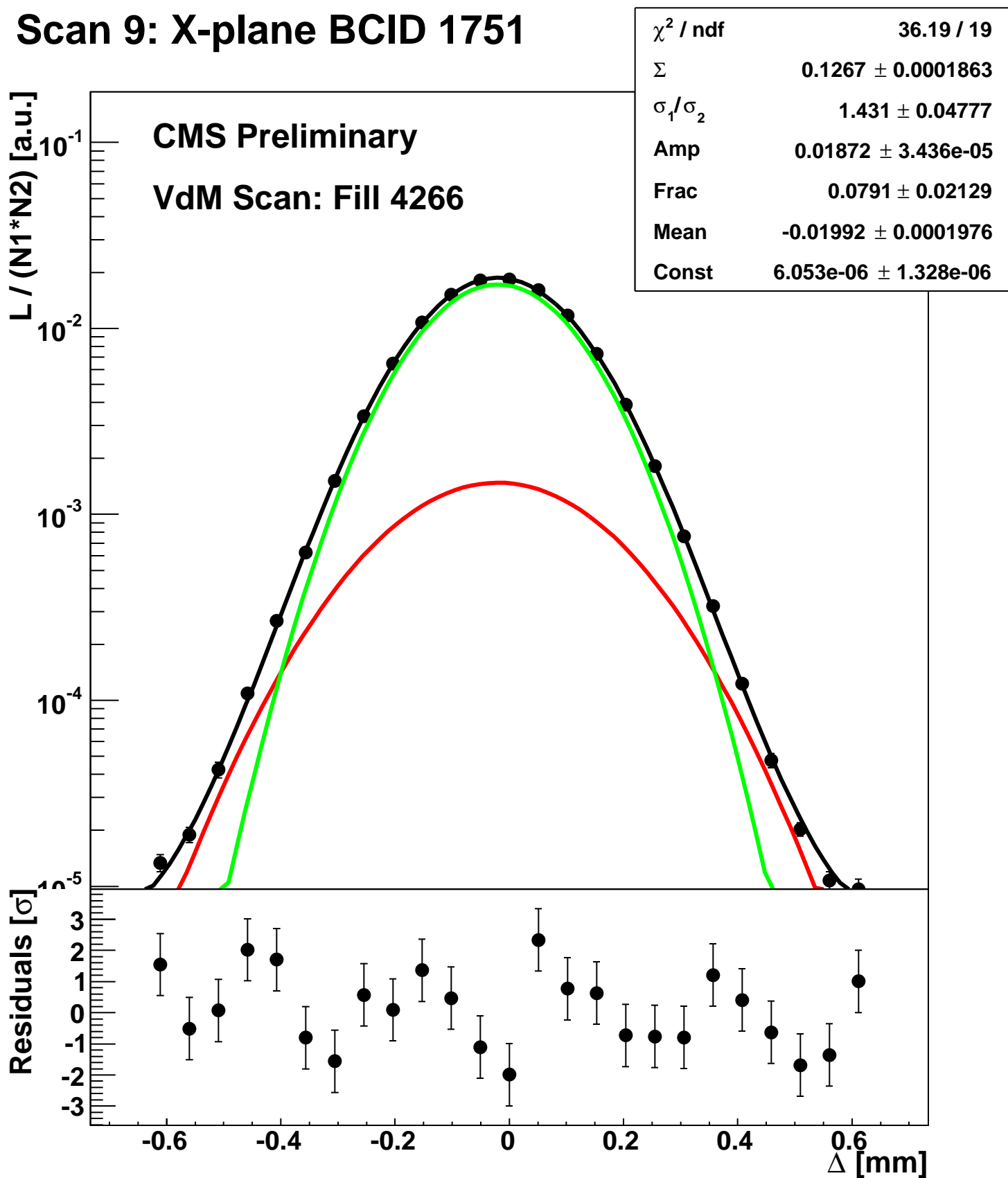
Scan 9: X-plane BCID 1711



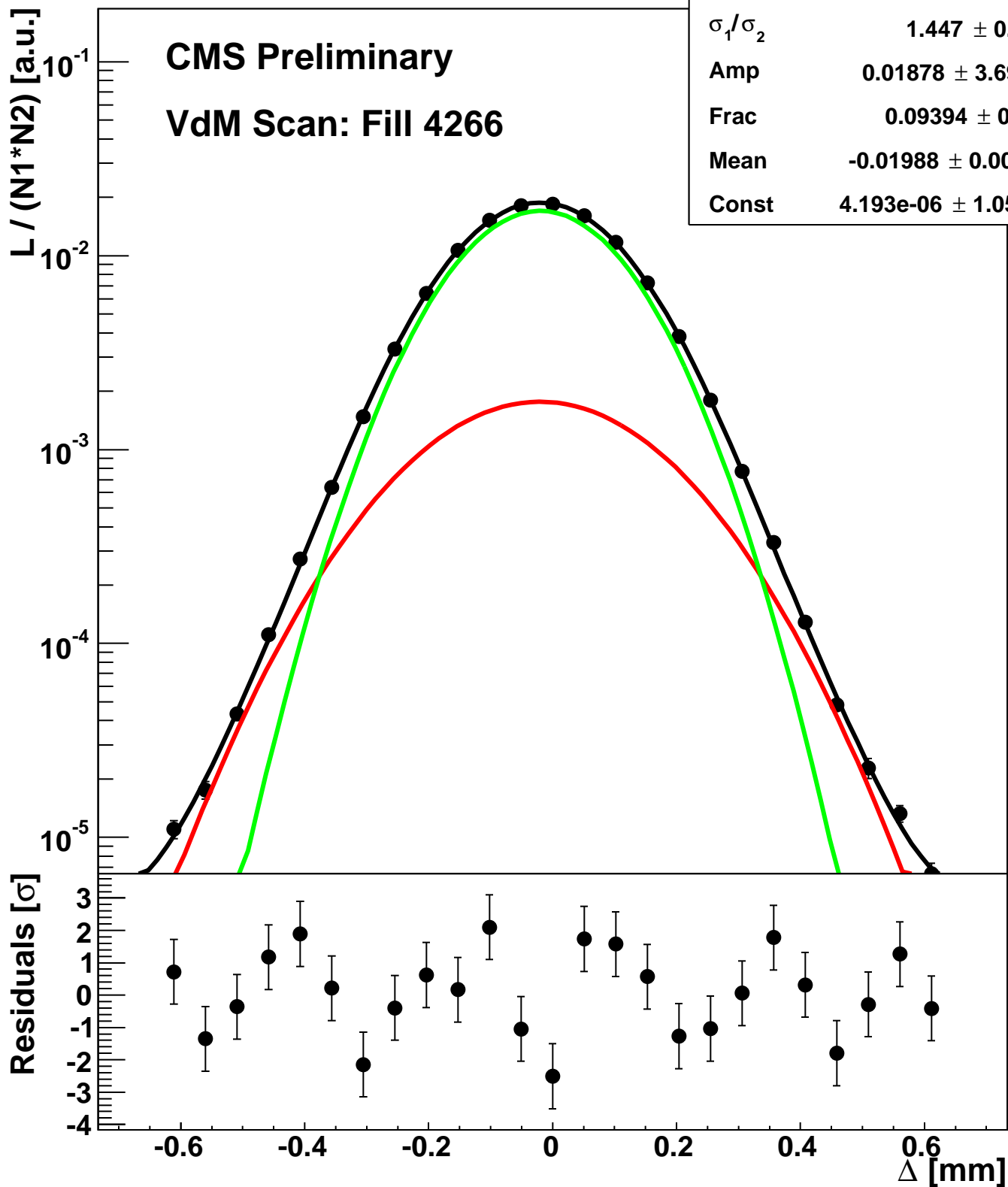
Scan 9: X-plane BCID 171



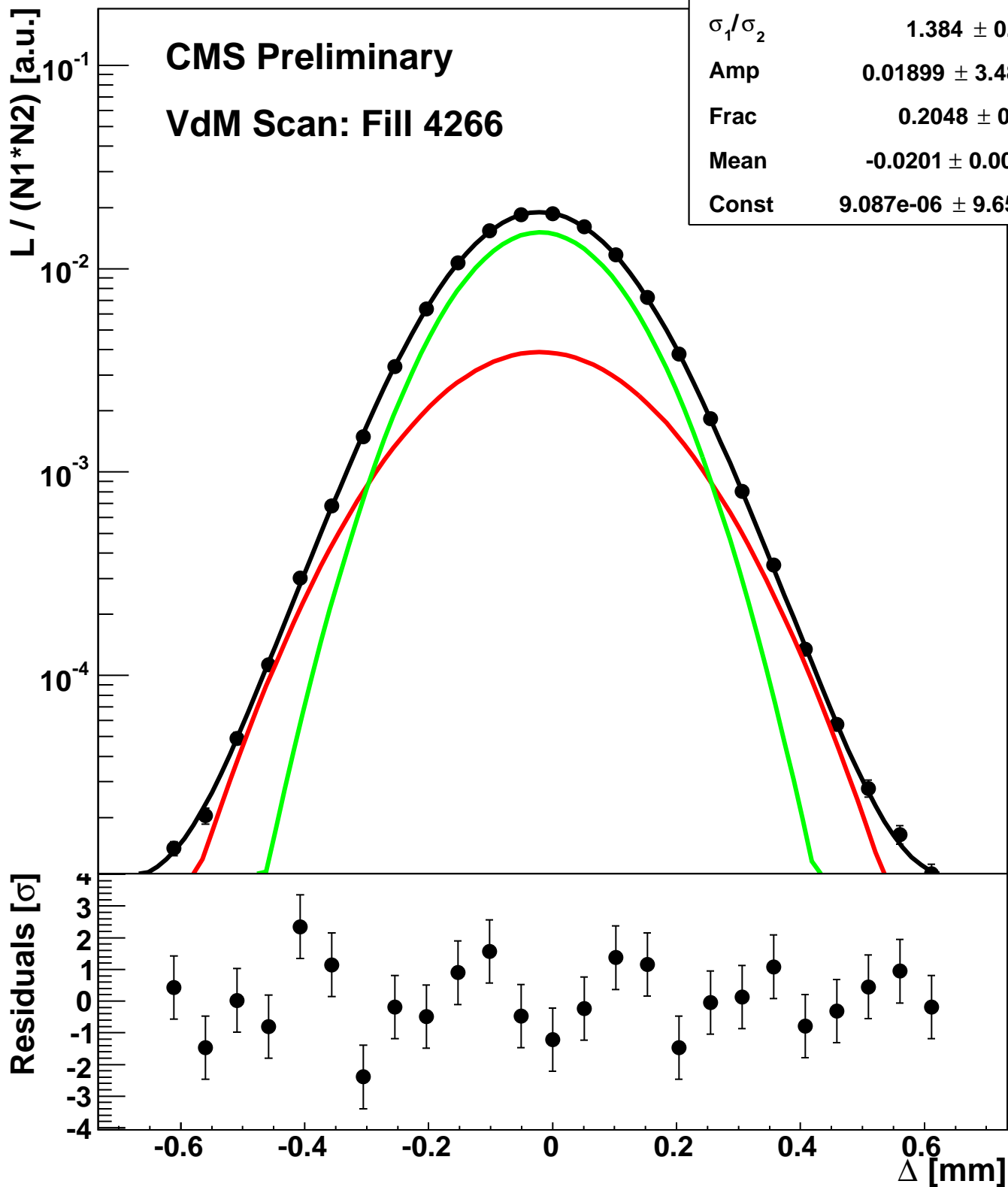
Scan 9: X-plane BCID 1751



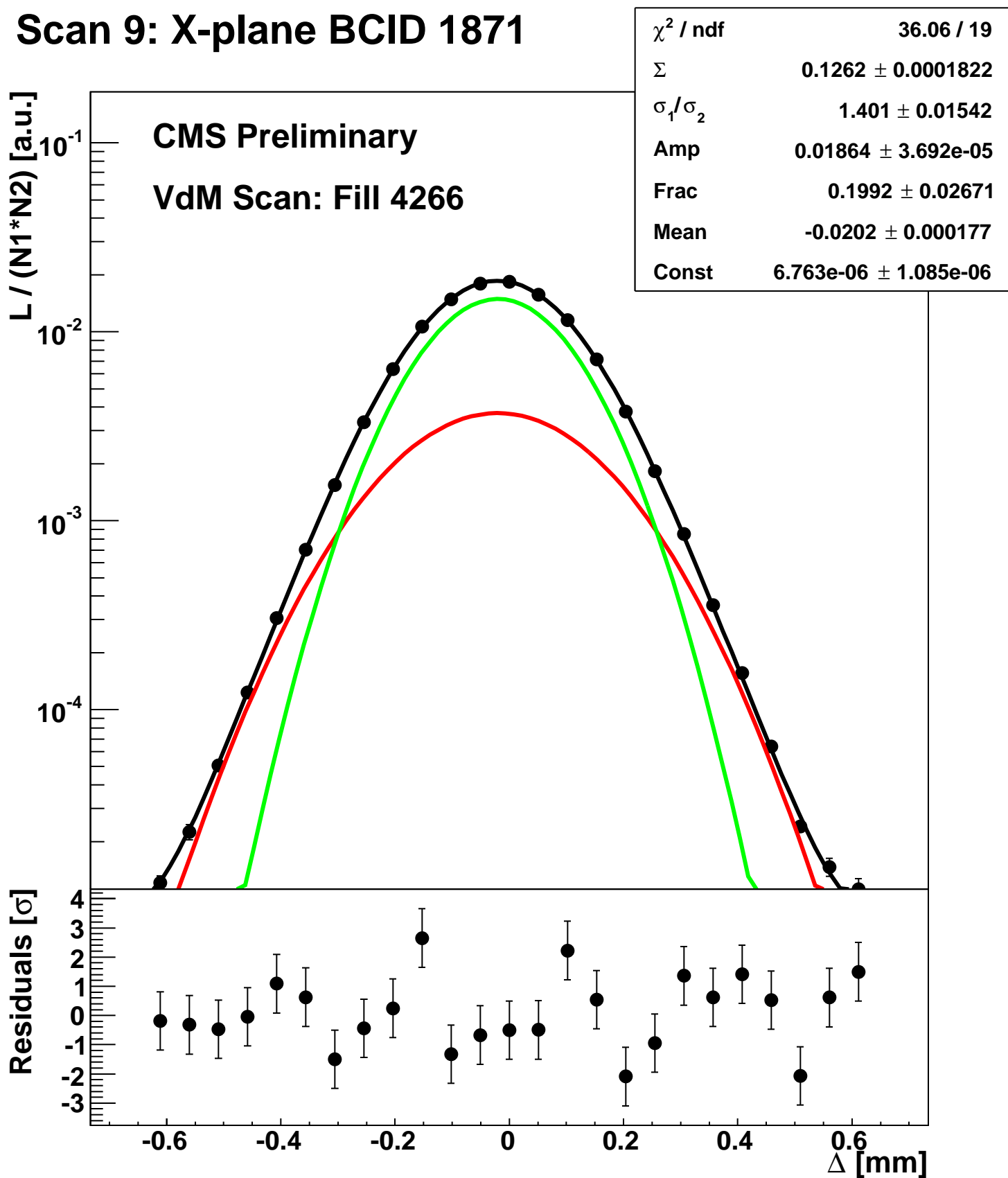
Scan 9: X-plane BCID 1791



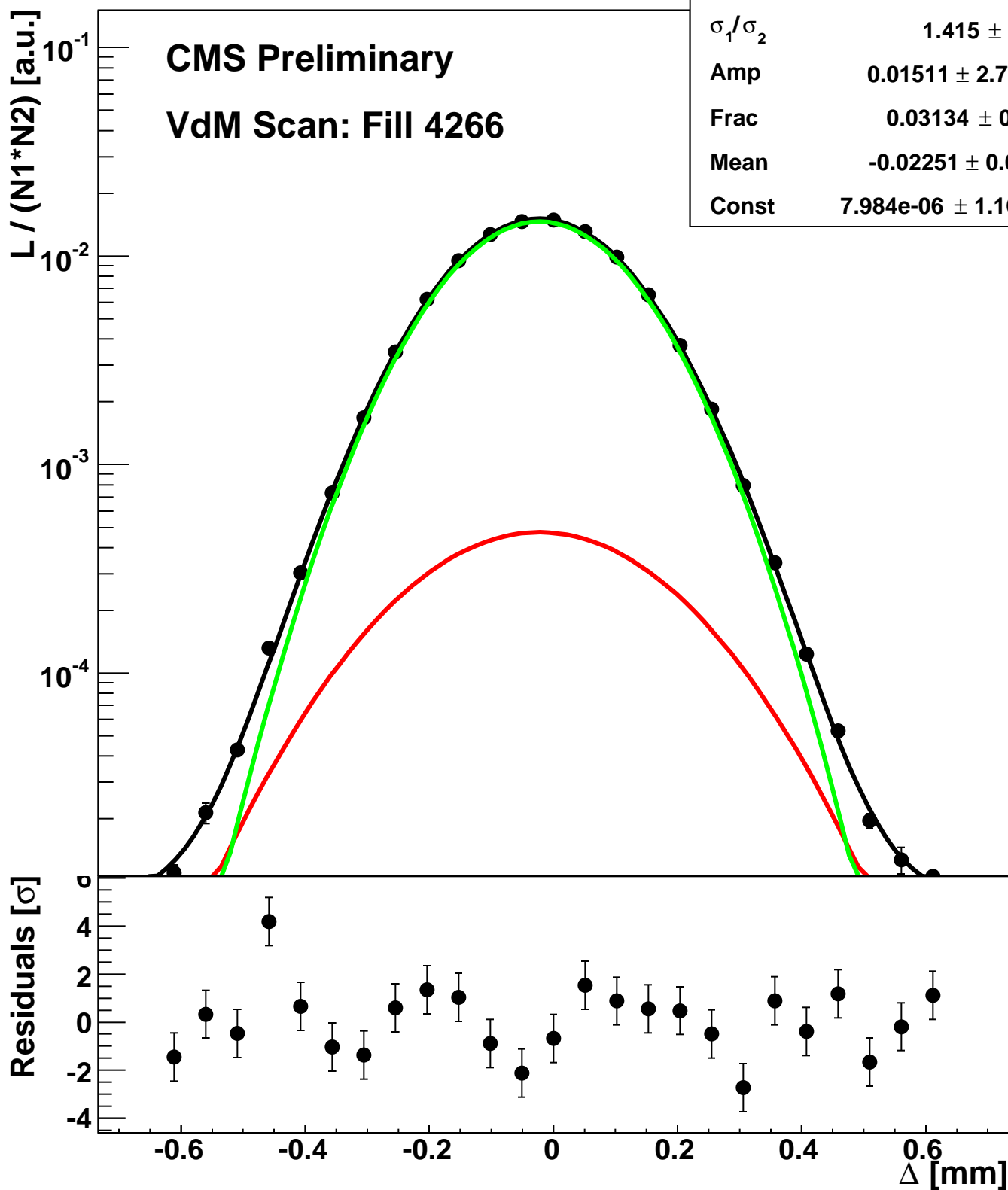
Scan 9: X-plane BCID 1831



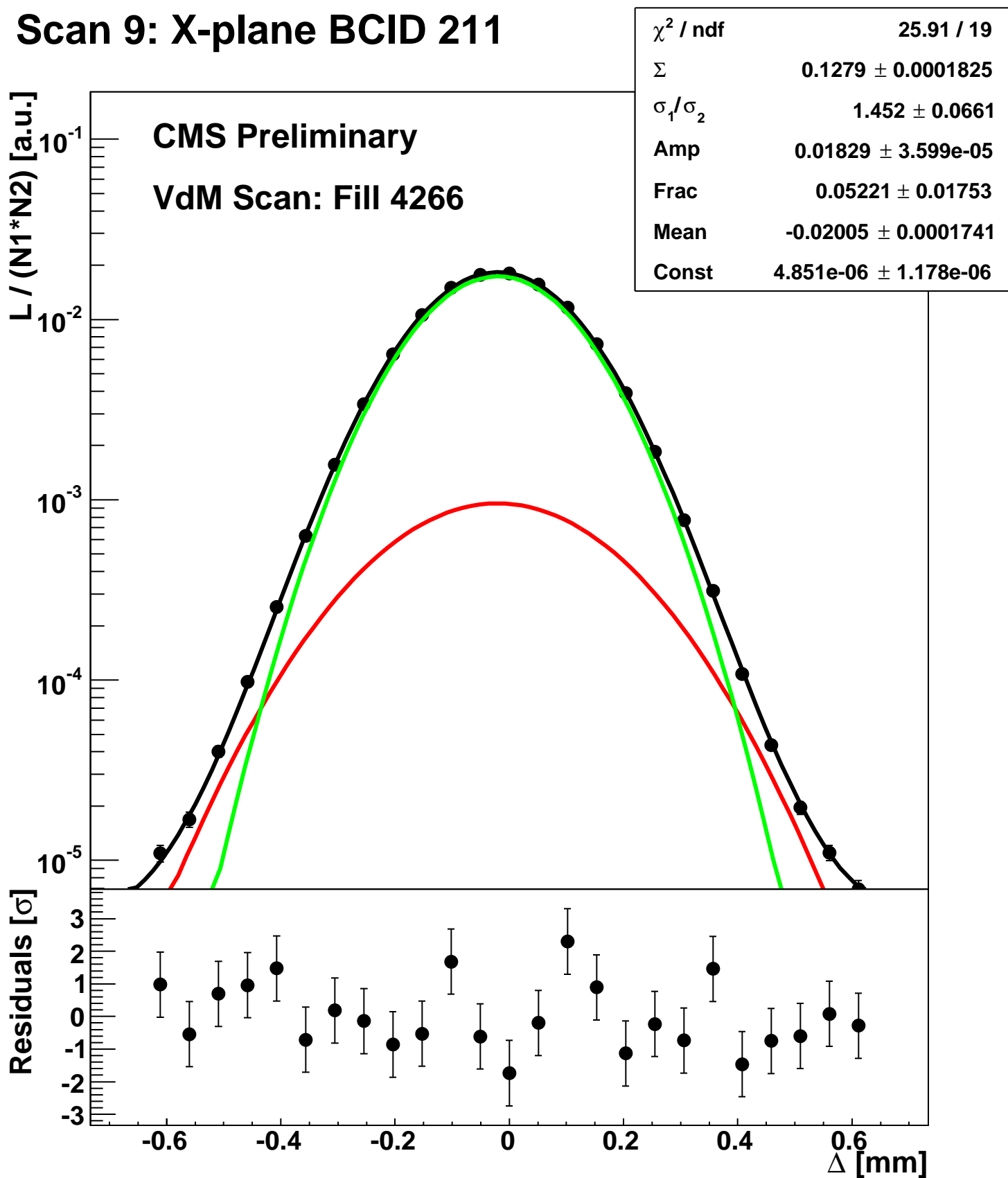
Scan 9: X-plane BCID 1871



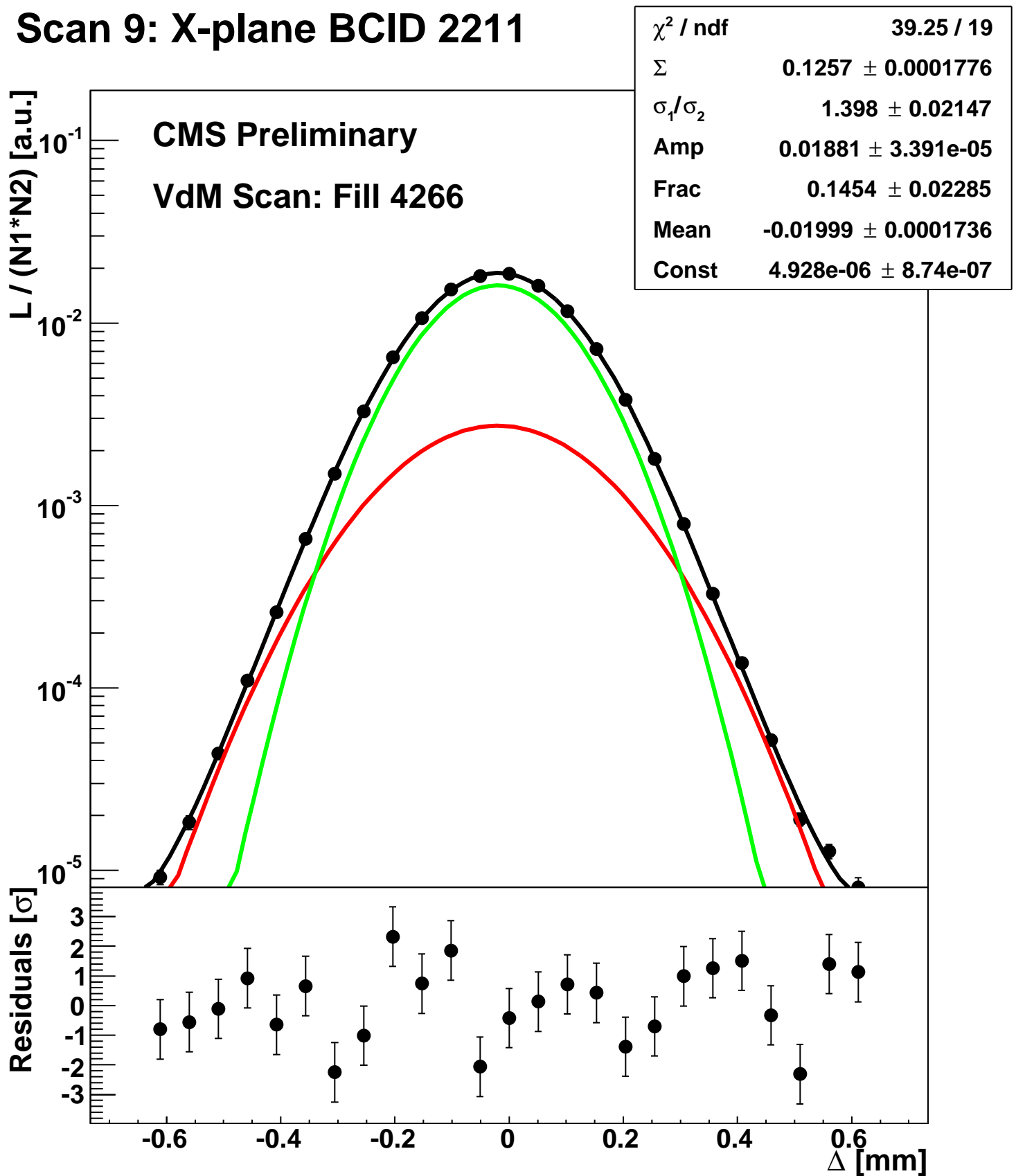
Scan 9: X-plane BCID 1



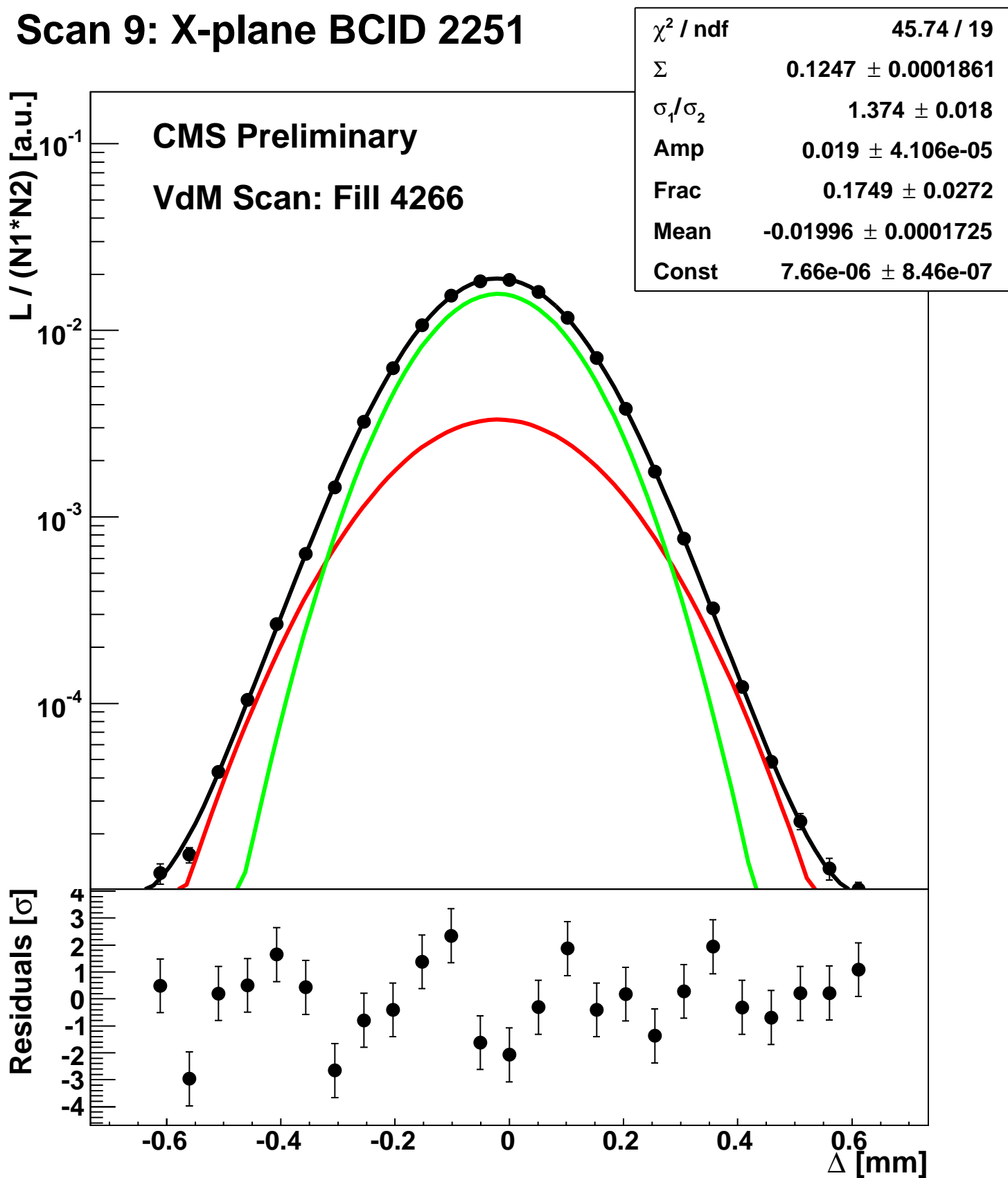
Scan 9: X-plane BCID 211



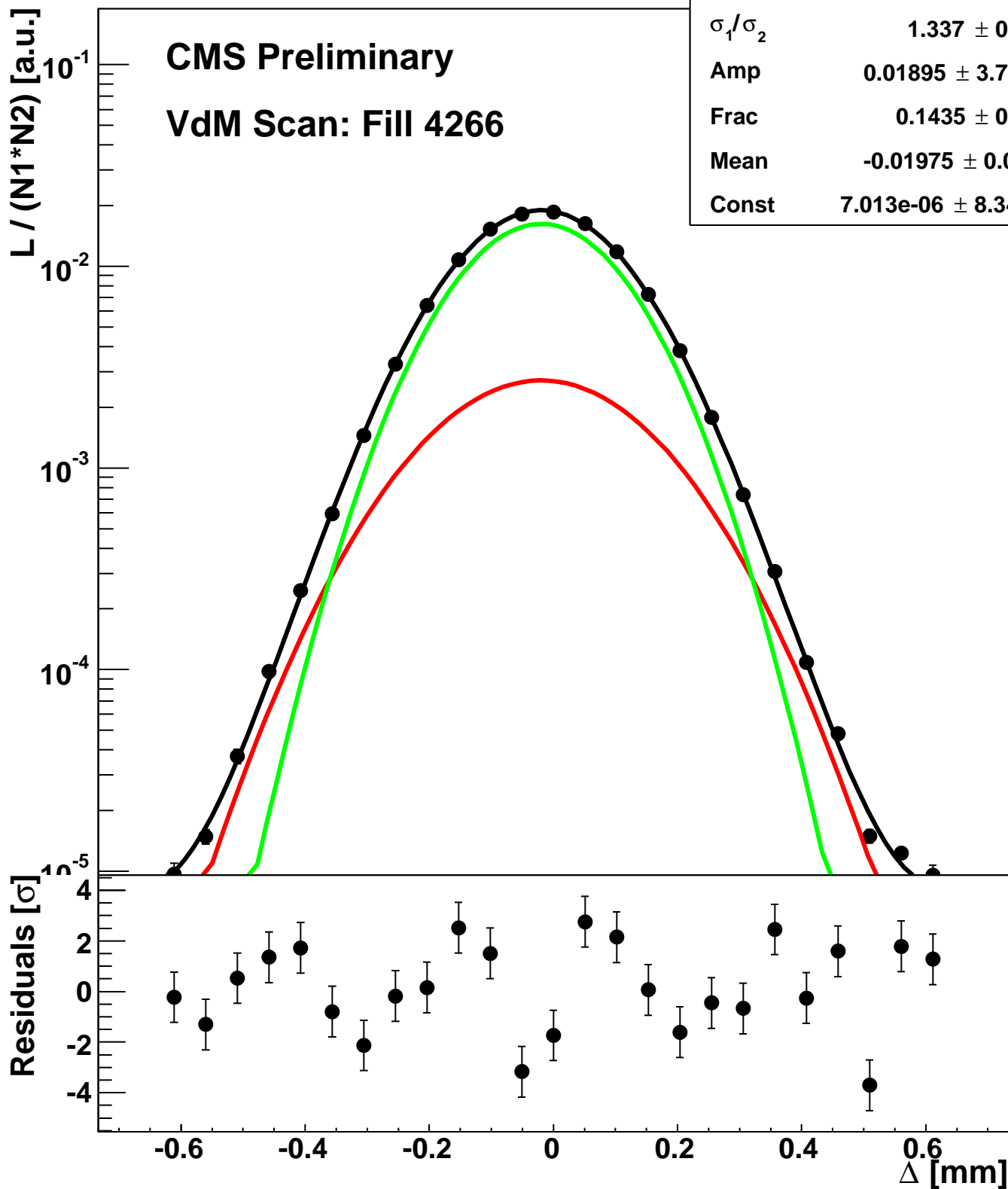
Scan 9: X-plane BCID 2211



Scan 9: X-plane BCID 2251

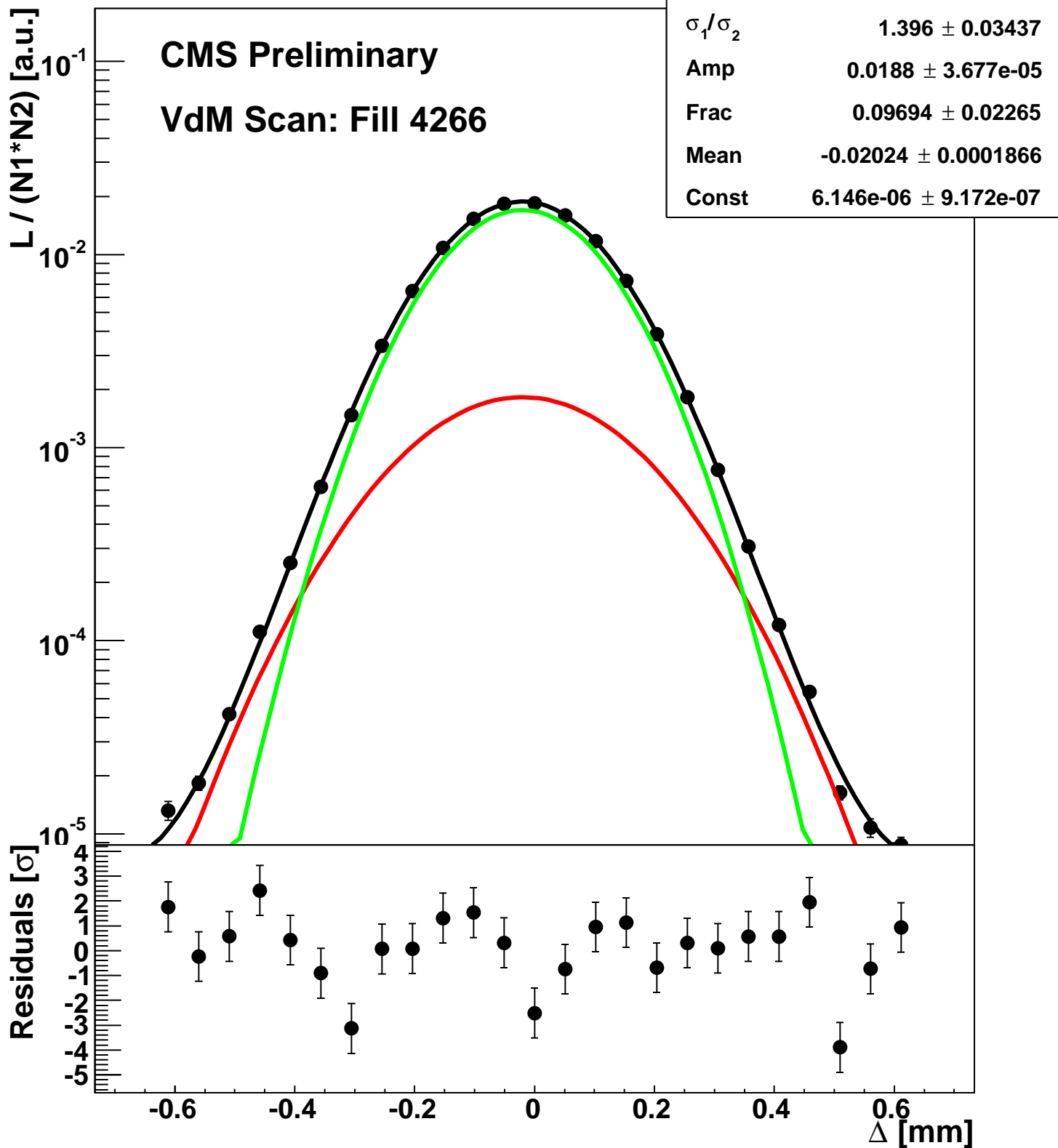


Scan 9: X-plane BCID 2291

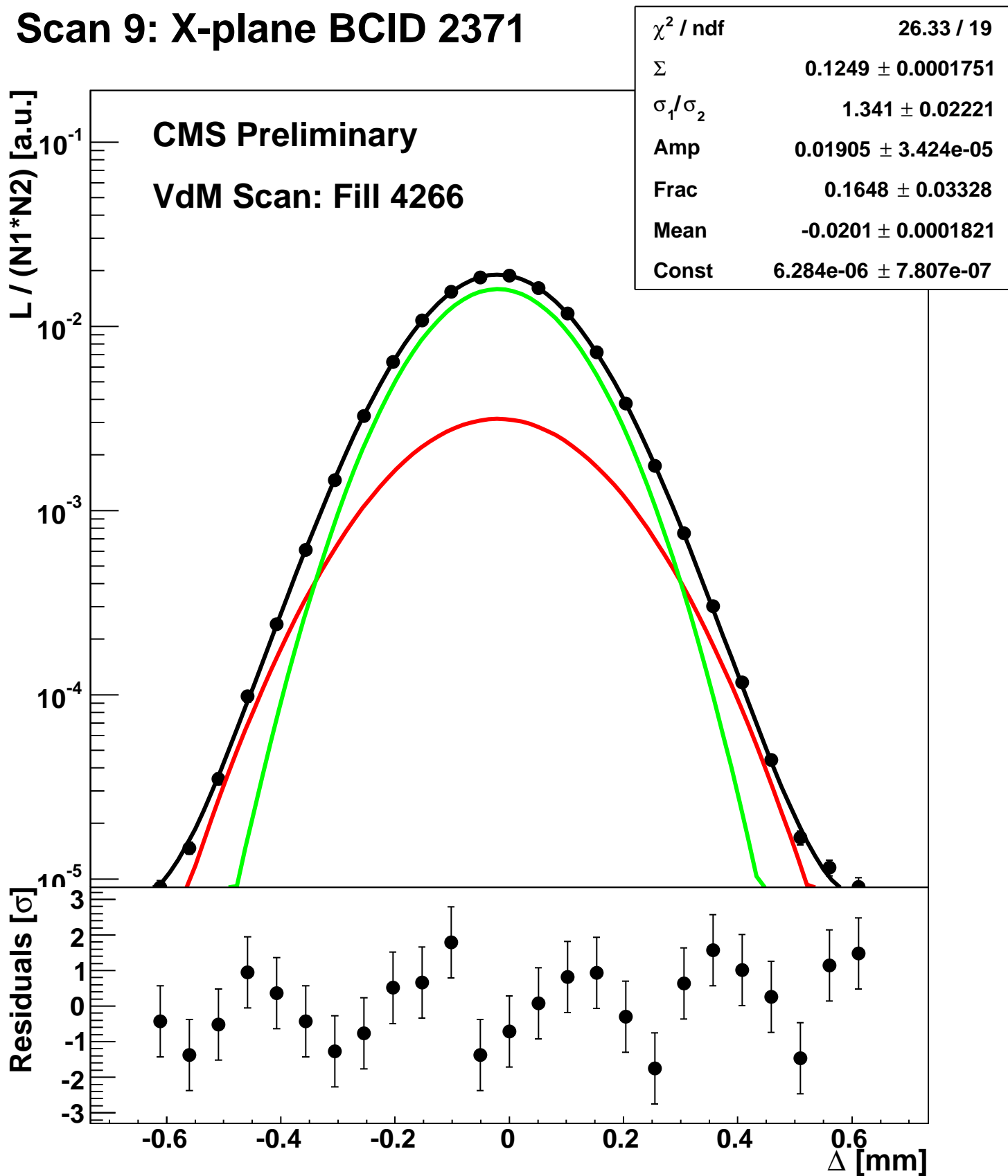


χ^2 / ndf	76.26 / 19
Σ	0.1253 ± 0.0001758
σ_1 / σ_2	1.337 ± 0.02697
Amp	$0.01895 \pm 3.727\text{e-}05$
Frac	0.1435 ± 0.03292
Mean	-0.01975 ± 0.000185
Const	$7.013\text{e-}06 \pm 8.341\text{e-}07$

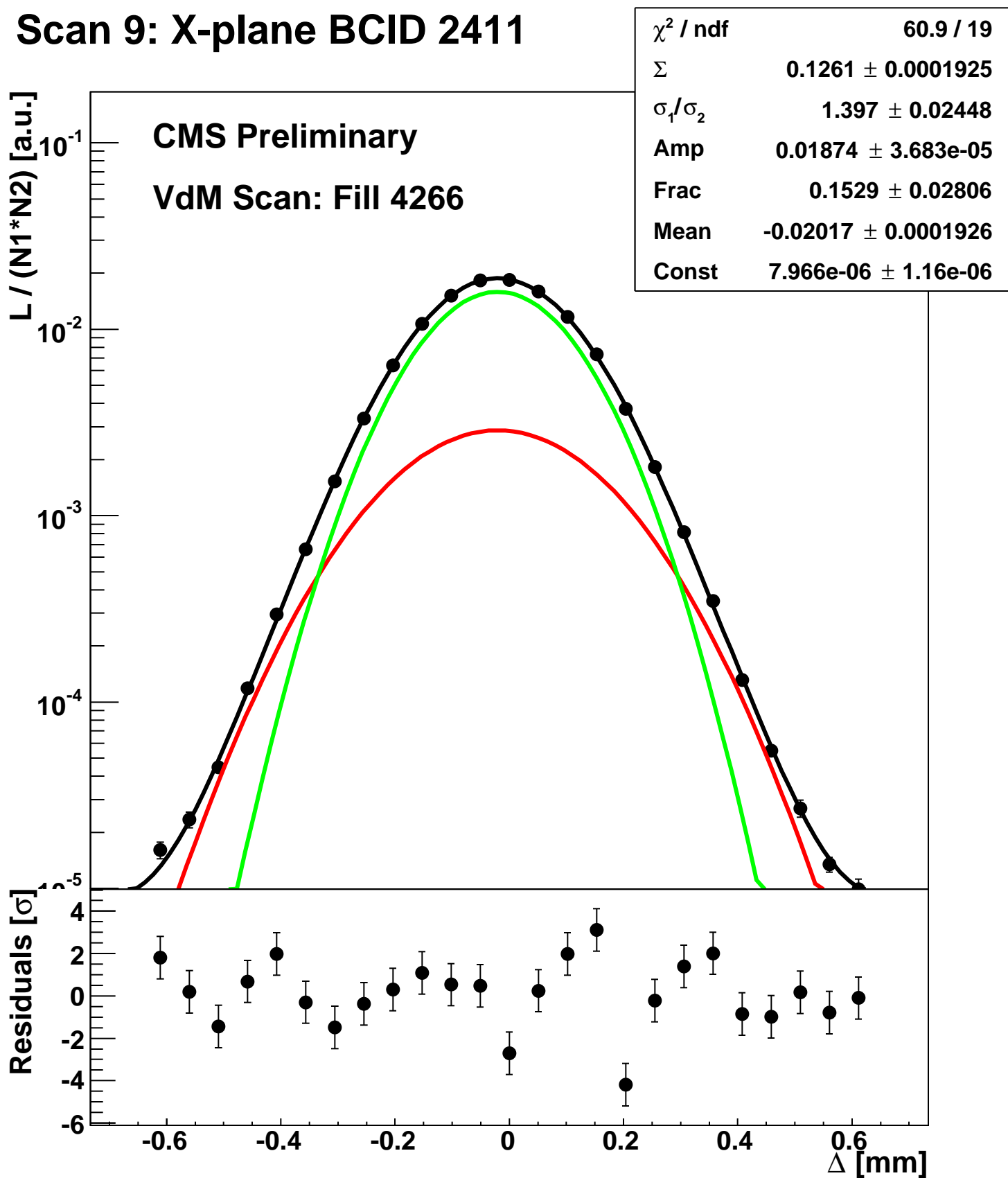
Scan 9: X-plane BCID 2331



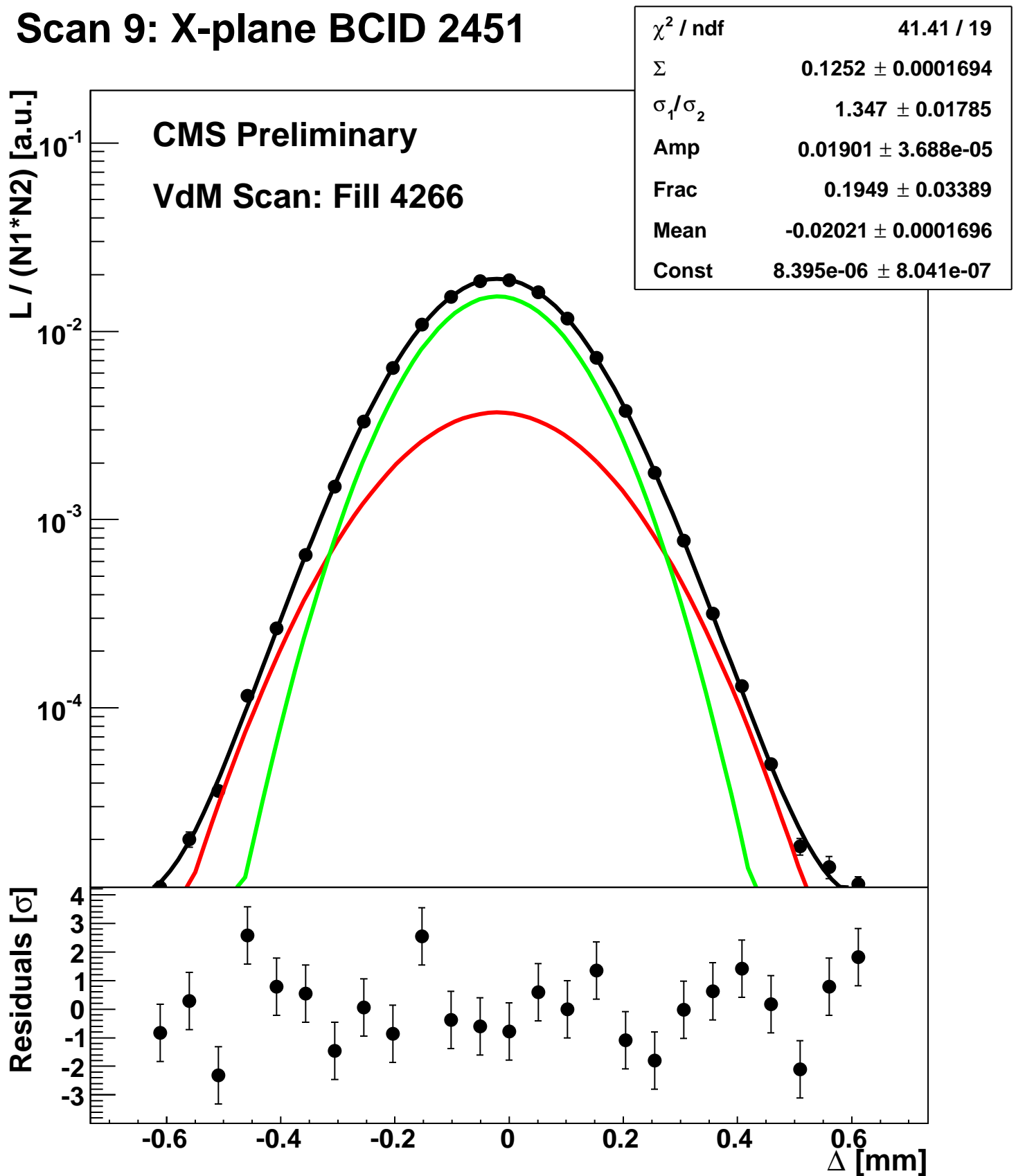
Scan 9: X-plane BCID 2371



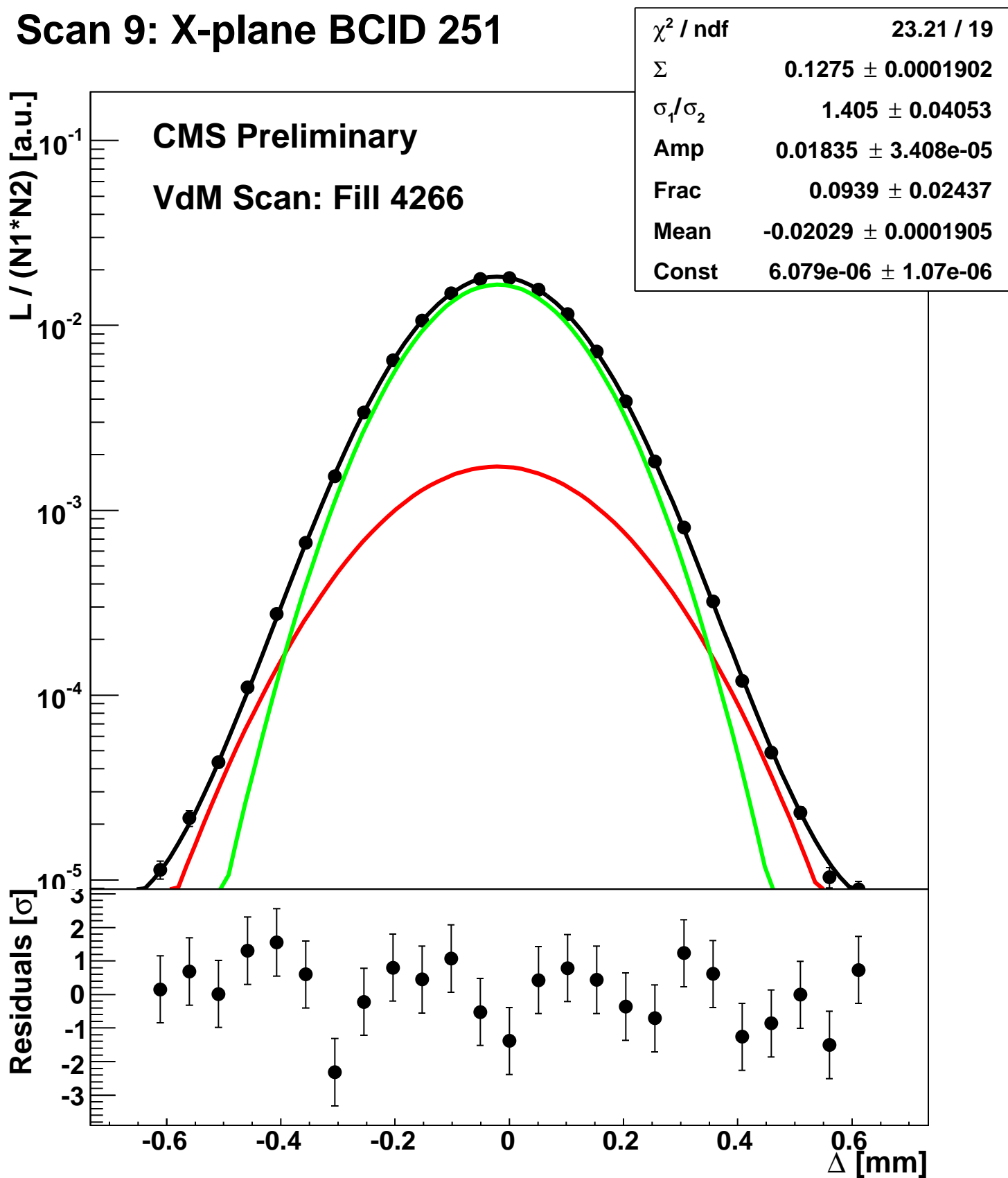
Scan 9: X-plane BCID 2411



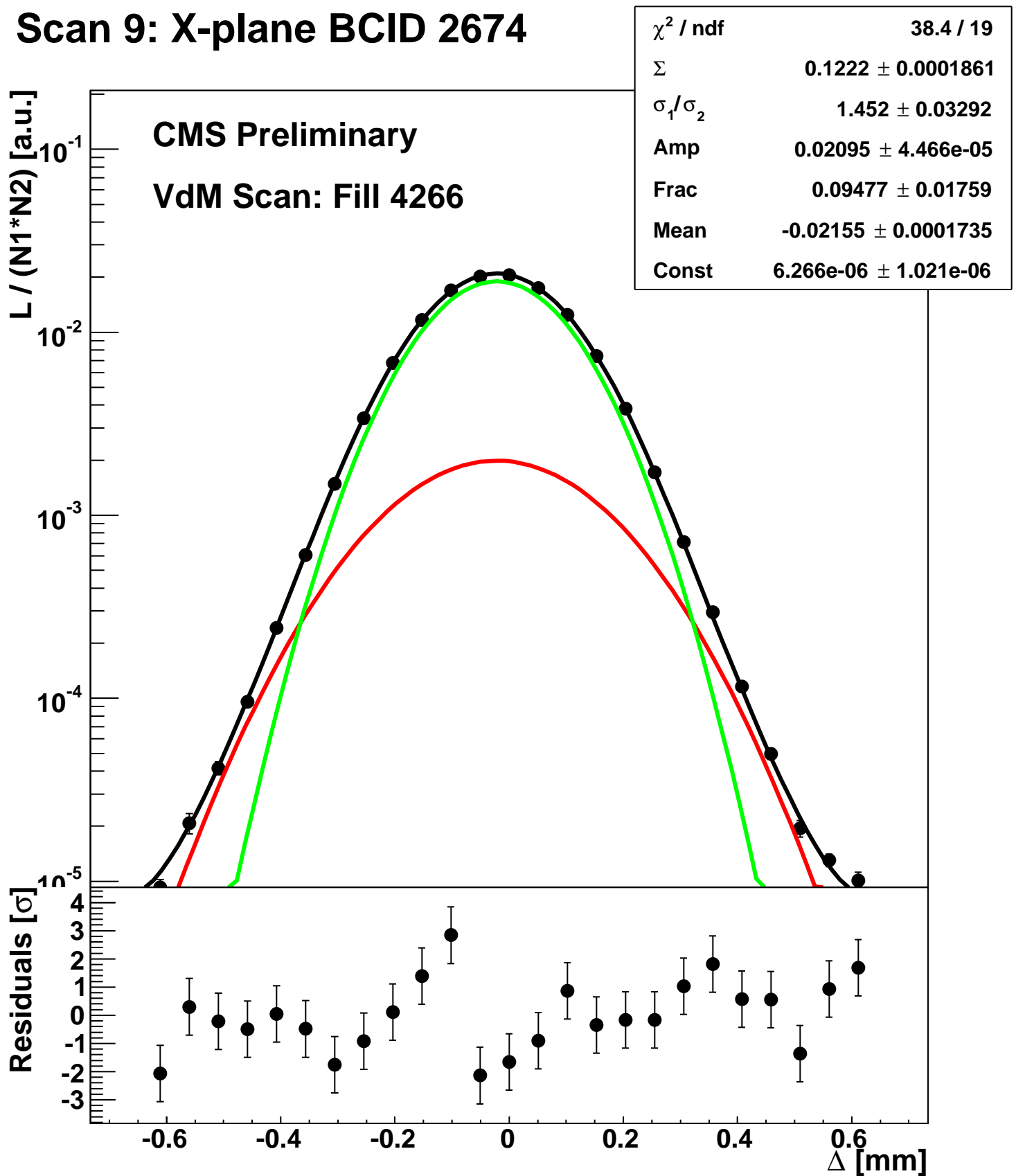
Scan 9: X-plane BCID 2451



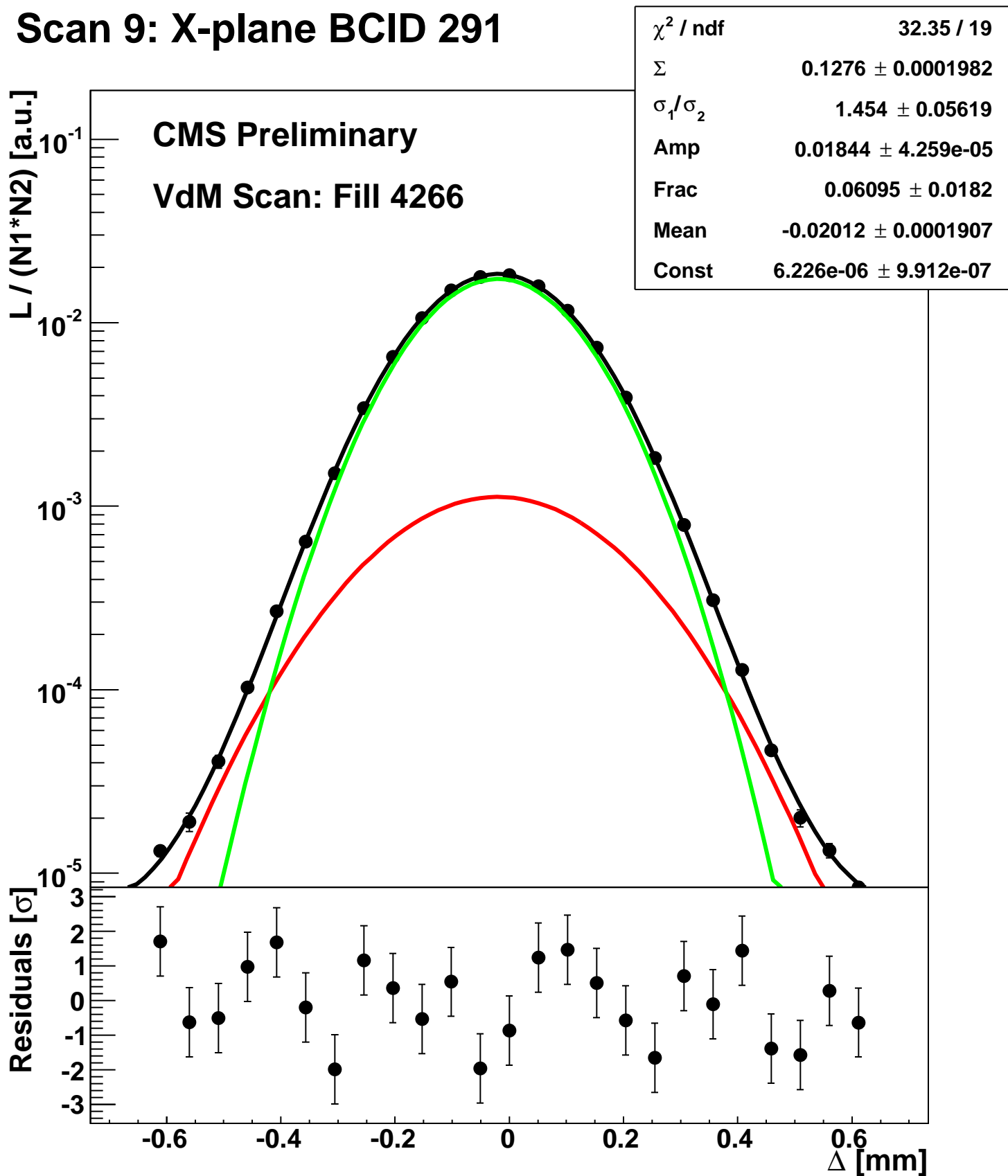
Scan 9: X-plane BCID 251



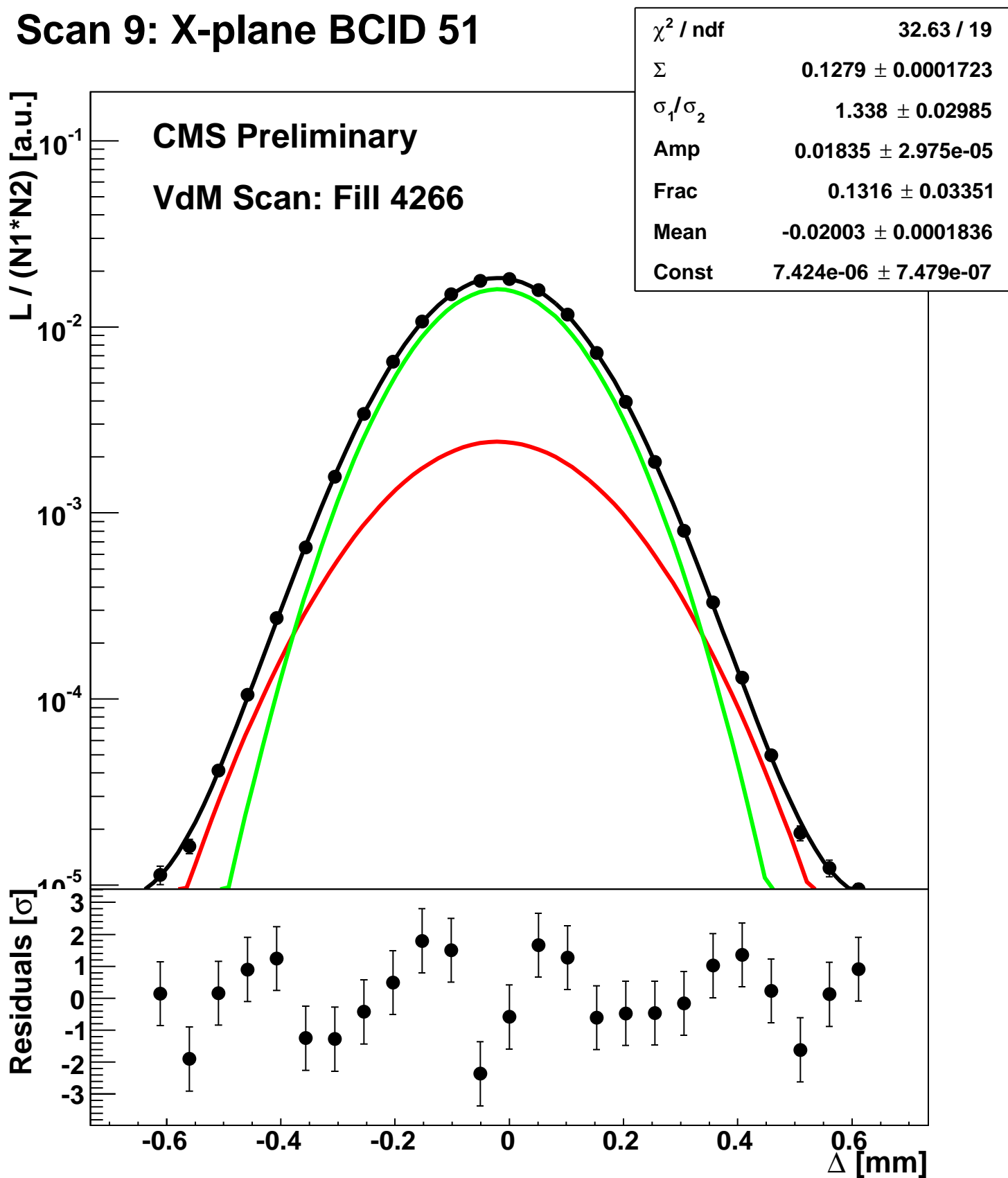
Scan 9: X-plane BCID 2674



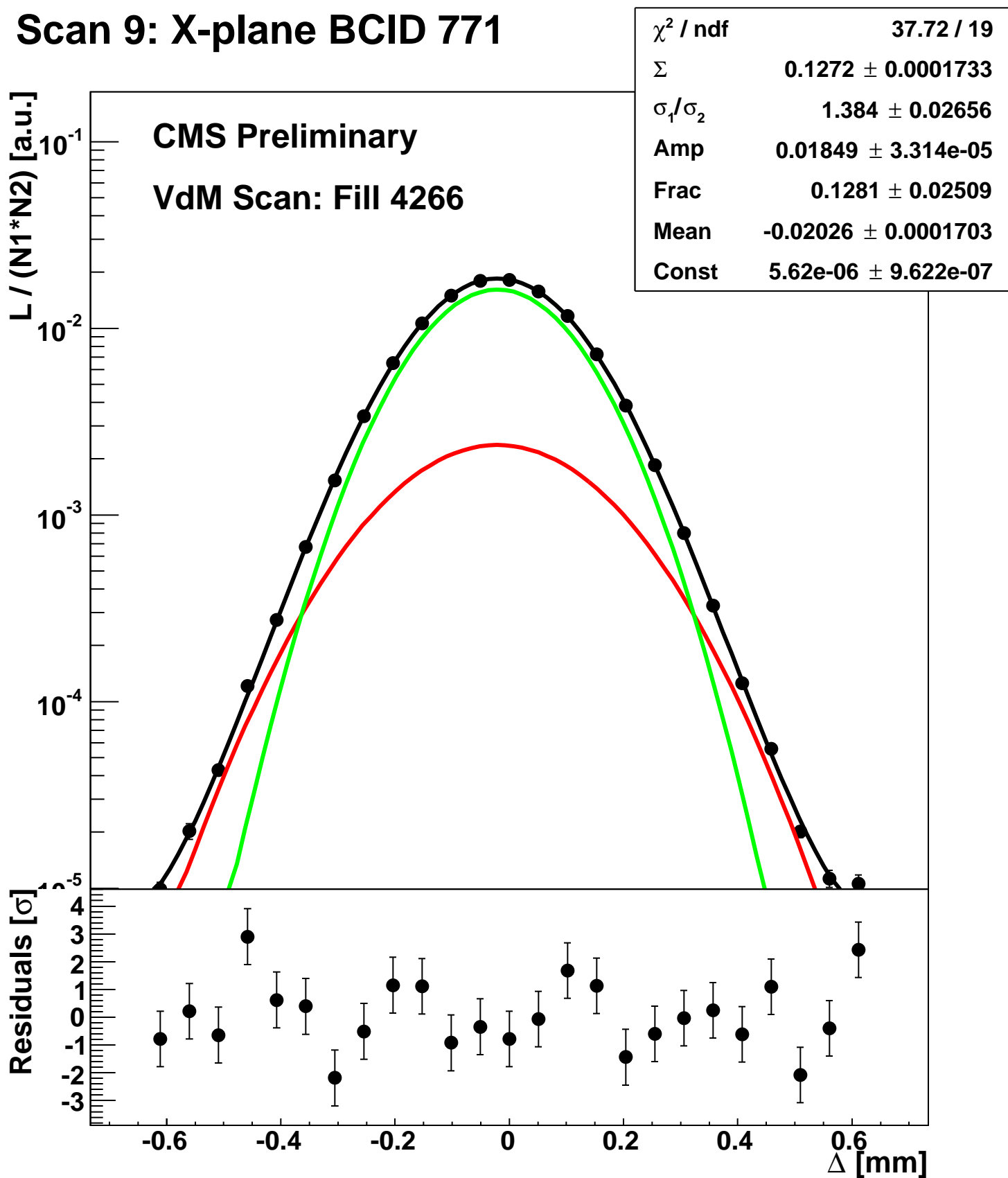
Scan 9: X-plane BCID 291



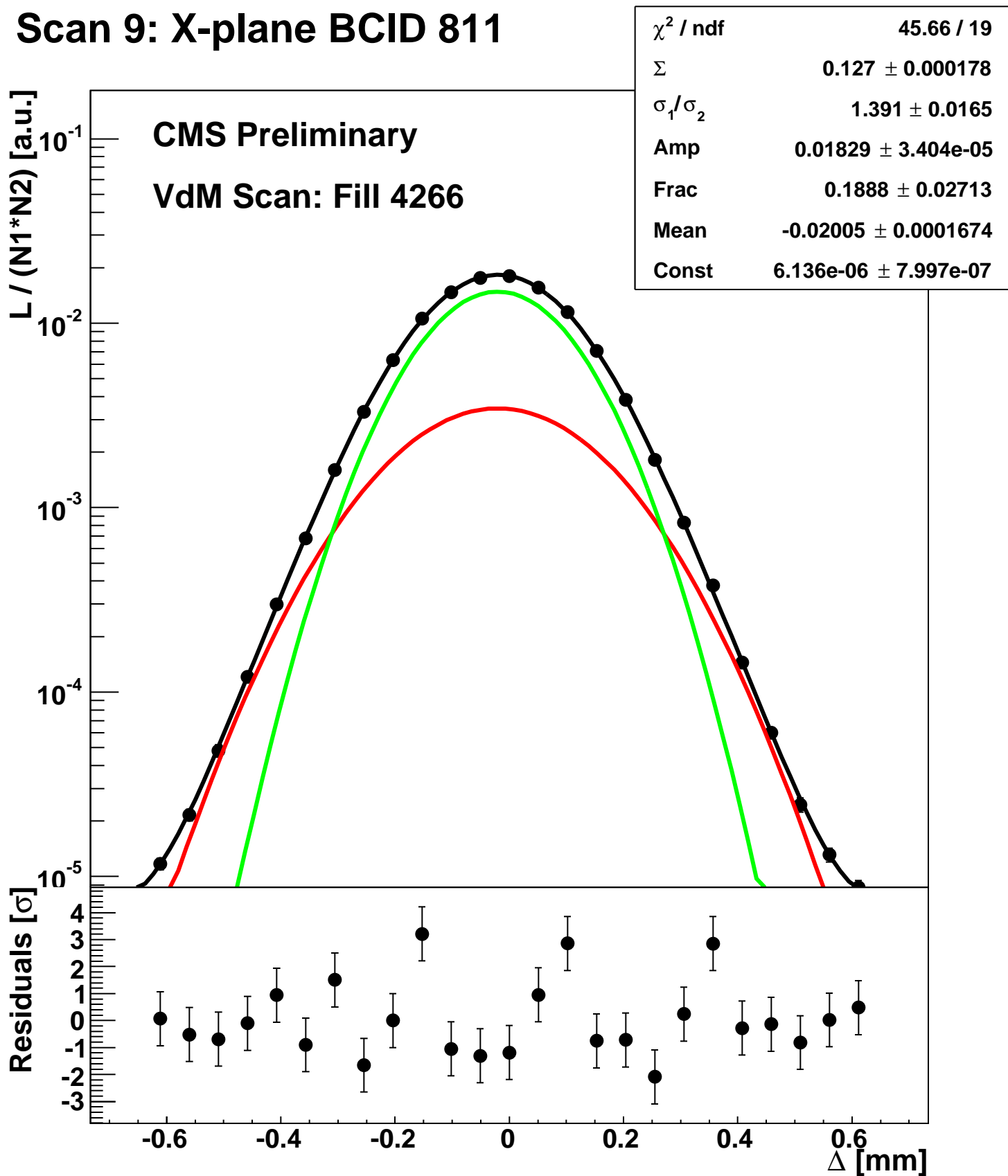
Scan 9: X-plane BCID 51



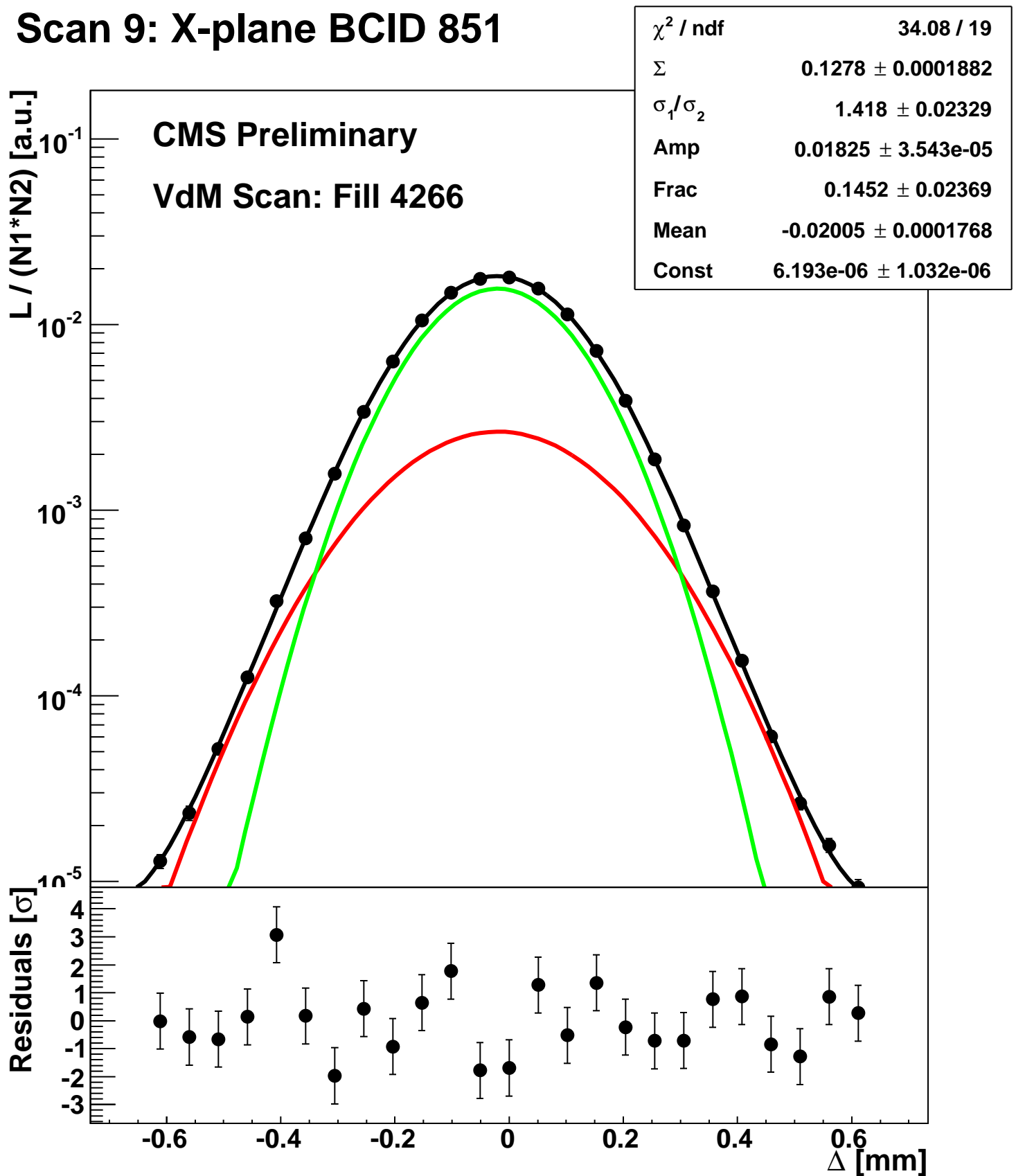
Scan 9: X-plane BCID 771



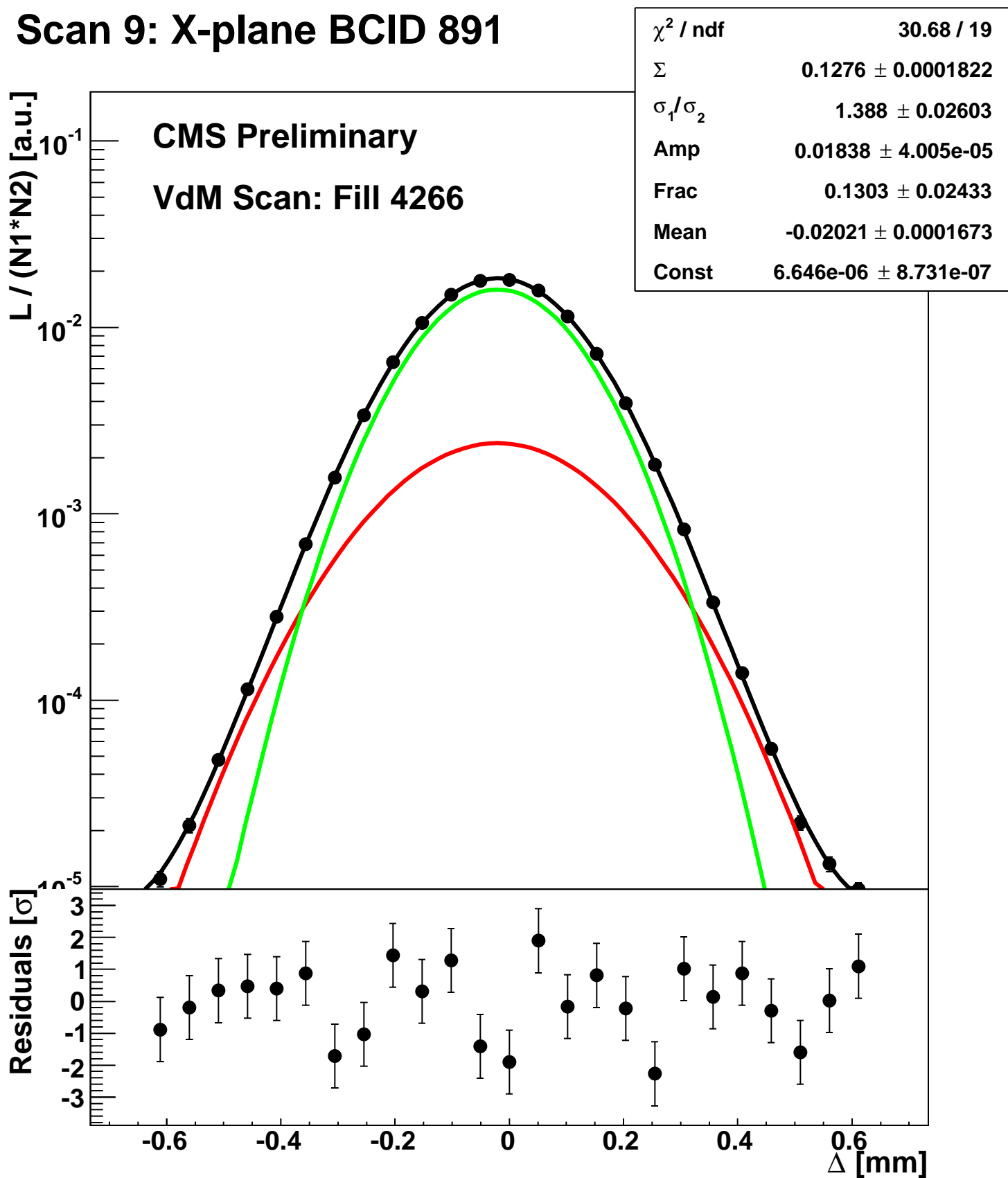
Scan 9: X-plane BCID 811



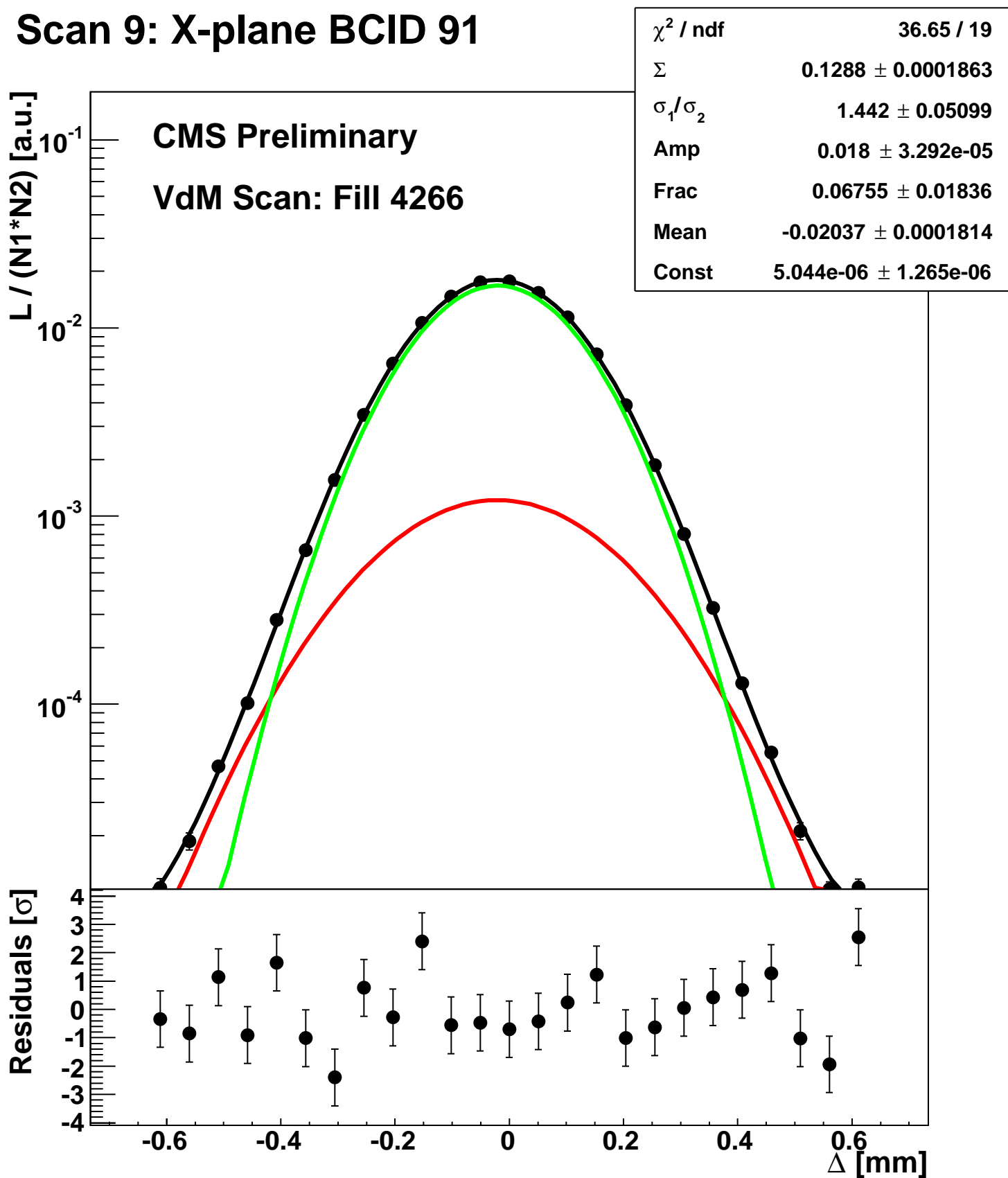
Scan 9: X-plane BCID 851



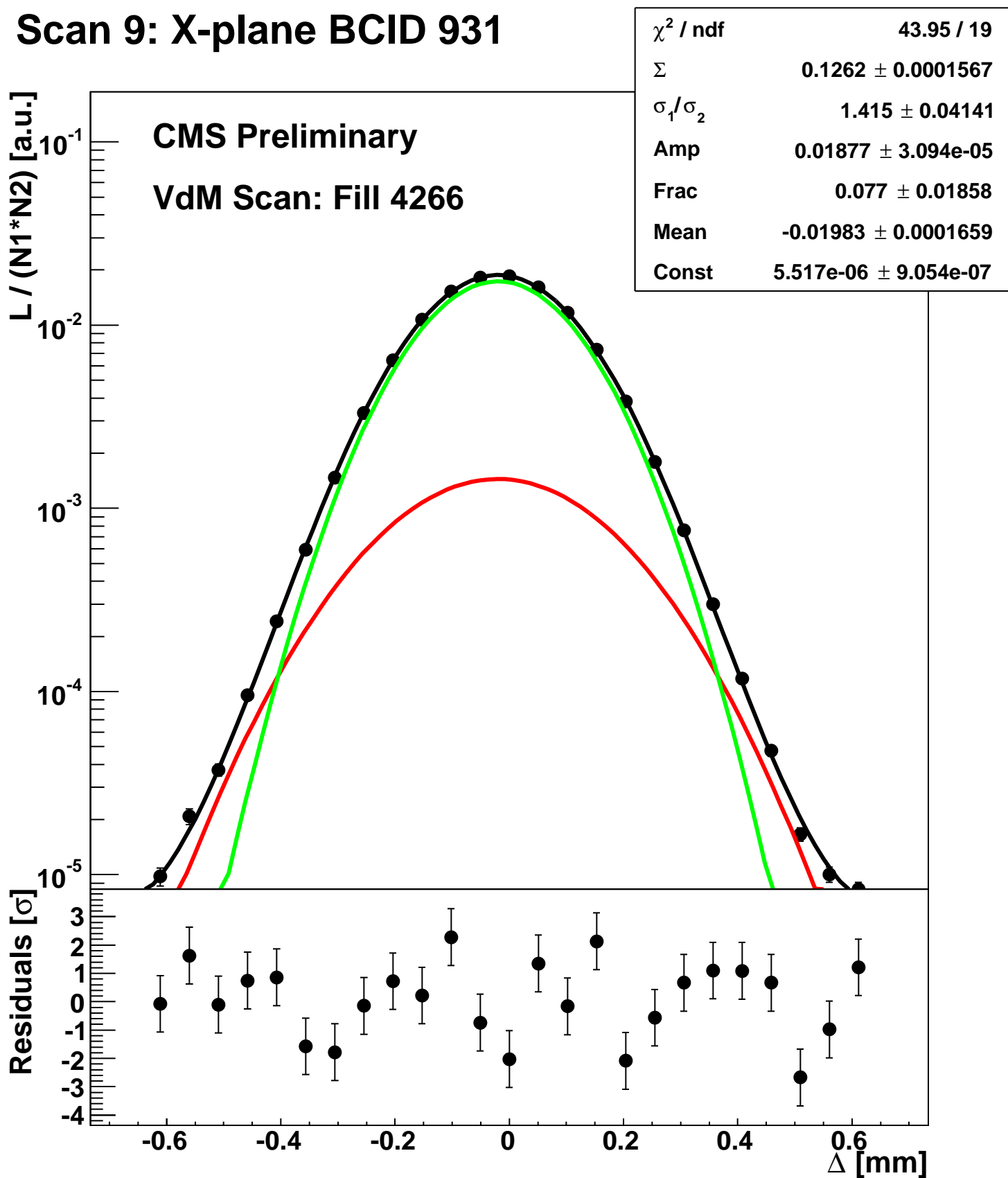
Scan 9: X-plane BCID 891



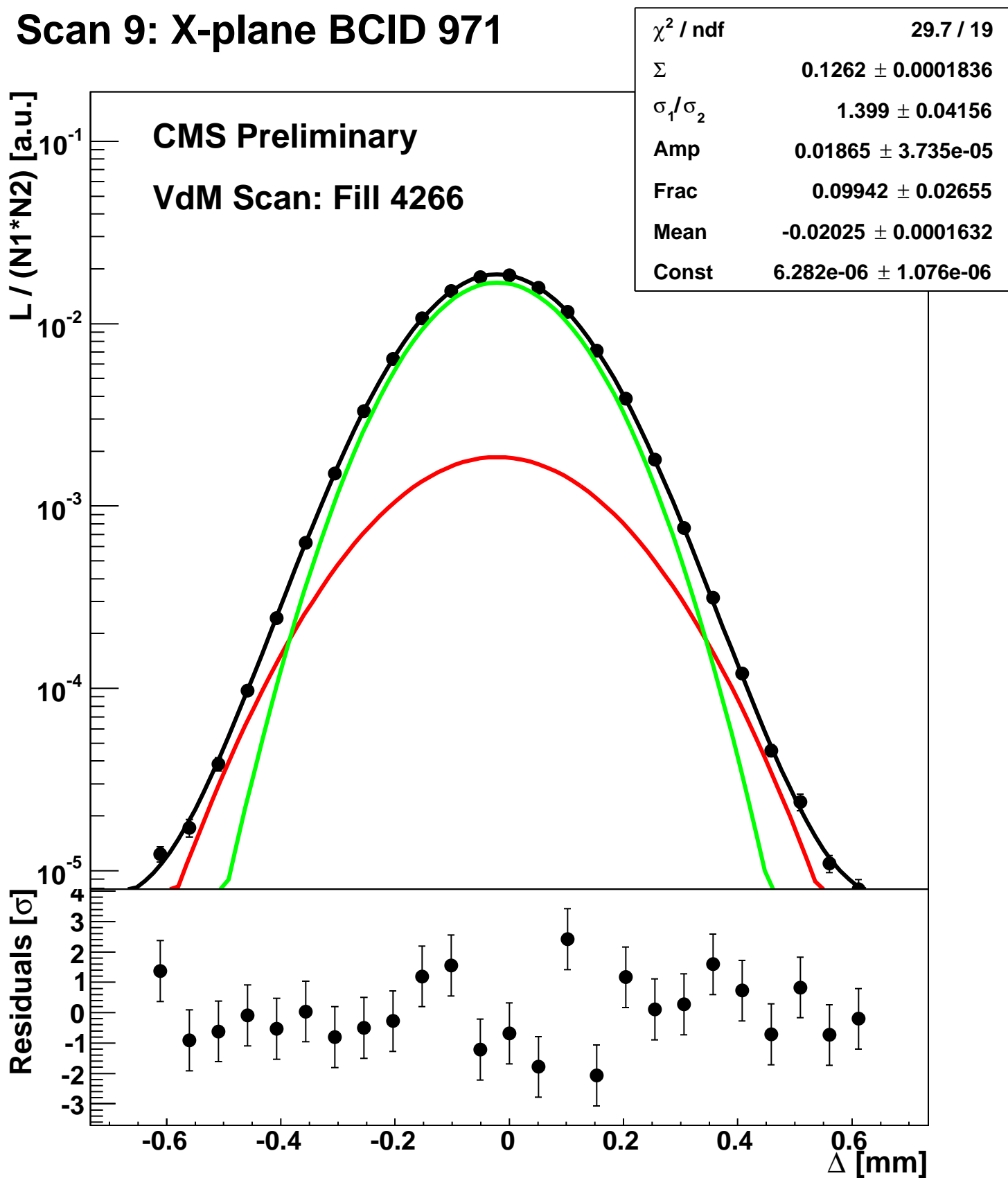
Scan 9: X-plane BCID 91



Scan 9: X-plane BCID 931



Scan 9: X-plane BCID 971



Scan 9: X-plane BCID sum

